

Seguimiento de aves comunes en la Red de Parques Nacionales

Resultados primavera 2025



Acrocephalus scirpaceus. Carricero común

Documento elaborado en base al informe realizado por el Centro Balear de Biología Aplicada, S.L.: "Estudio del estado de conservación de la biodiversidad en la Red de Parques Nacionales basado en las aves. Resultados Primavera 2025".

Autor: Ignacio Encabo Fos. CBBA Centro Balear de Biología Aplicada, S.L.
Coordinadores: Gloria de Mingo-Sancho García y Dolores Rollán (OAPN)
Fotografías: Centro Balear de Biología Aplicada, S.L.

Como citar este documento: CBBA; MIR, F.; ENCABO, I.; DE MINGO-SÁNCHO, G.; ROLLÁN, D. 2026. *Seguimiento de aves comunes en la Red de Parques Nacionales. Informe de resultados: Primavera 2026*. Madrid: Organismo Autónomo Parques Nacionales, Ministerio para la Transición Ecológica y el Reto Demográfico.

Edita: Organismo Autónomo Parques Nacionales

Edición: febrero 2026

Contacto: seguimiento@oapn.es

NIPO: 678-26-002-4

ISSN: 3101-5980

Nota: Las opiniones que se expresan en el texto son responsabilidad del autor y no necesariamente del Organismo Autónomo Parques Nacionales.

Bajo Licencia Creative Commons.



(Reconocimiento - NoComercial - CompartirIgual - 4.0 Internacional)



ORGANISMO
AUTÓNOMO
PARQUES
NACIONALES



ÍNDICE

| | |
|---|------------|
| RESUMEN EJECUTIVO | 1 |
| METODOLOGÍA..... | 10 |
| MÉTODO DE MUESTREO | 10 |
| VARIABLES CONSIDERADAS..... | 20 |
| EVOLUCIÓN DE TEMPORAL DE LAS VARIABLES..... | 21 |
| EVOLUCIÓN TEMPORAL EN FUNCIÓN DEL HÁBITAT | 22 |
| RESULTADOS..... | 23 |
| PARQUE NACIONAL DE DOÑANA | 24 |
| <i>Tendencias generales.....</i> | <i>26</i> |
| <i>Tendencia por especie.....</i> | <i>27</i> |
| <i>Tendencia por hábitats</i> | <i>41</i> |
| PARQUE NACIONAL DE SIERRA NEVADA | 45 |
| <i>Tendencias generales.....</i> | <i>46</i> |
| <i>Tendencia por especies</i> | <i>48</i> |
| <i>Tendencia por hábitats</i> | <i>63</i> |
| PARQUE NACIONAL DE LAS TABLAS DE DAIMIEL..... | 66 |
| <i>Tendencias generales.....</i> | <i>68</i> |
| <i>Tendencia por especies</i> | <i>69</i> |
| <i>Tendencia por hábitats</i> | <i>80</i> |
| PARQUE NACIONAL DE CABAÑEROS | 83 |
| <i>Tendencias generales.....</i> | <i>84</i> |
| <i>Tendencia por especies</i> | <i>86</i> |
| <i>Tendencia por hábitats</i> | <i>101</i> |
| PARQUE NACIONAL DE LOS PICOS DE EUROPA | 104 |
| <i>Tendencias generales.....</i> | <i>106</i> |
| <i>Tendencia por especies</i> | <i>107</i> |
| <i>Tendencia por hábitats</i> | <i>116</i> |
| PARQUE NACIONAL DE ORDESA Y MONTE PERDIDO | 118 |
| <i>Tendencias generales.....</i> | <i>119</i> |
| <i>Tendencia por especie.....</i> | <i>120</i> |
| <i>Tendencia por hábitats</i> | <i>129</i> |
| PARQUE NACIONAL DE AIGÜESTORTES I ESTANY DE SANT MAURICI..... | 132 |
| <i>Tendencias generales.....</i> | <i>133</i> |
| <i>Tendencia por especies</i> | <i>134</i> |
| <i>Tendencia por hábitats</i> | <i>138</i> |
| PARQUE NACIONAL MARÍTIMO-TERRESTRE DEL ARCHIPIÉLAGO DE CABRERA..... | 141 |
| <i>Tendencias generales.....</i> | <i>142</i> |
| <i>Tendencias por especie</i> | <i>143</i> |

| | |
|--|------------|
| <i>Tendencia por hábitats</i> | 147 |
| PARQUE NACIONAL DE LA CALDERA DE TABURIENTE..... | 149 |
| <i>Tendencias generales</i> | 149 |
| <i>Tendencia por especies</i> | 151 |
| <i>Tendencia por hábitats</i> | 153 |
| PARQUE NACIONAL DE GARAJONAY | 154 |
| <i>Tendencias generales</i> | 154 |
| <i>Tendencia por especie</i> | 155 |
| <i>Tendencia por hábitat</i> | 158 |
| PARQUE NACIONAL DEL TEIDE..... | 159 |
| <i>Tendencias generales</i> | 159 |
| <i>Tendencia por especies</i> | 160 |
| <i>Tendencia por hábitats</i> | 162 |
| PARQUE NACIONAL DE TIMANFAYA | 165 |
| <i>Tendencias generales</i> | 165 |
| <i>Tendencia por especies</i> | 166 |
| <i>Tendencia por hábitats</i> | 166 |
| PARQUE NACIONAL MARÍTIMO-TERRESTRE DE LAS ISLAS ATLÁNTICAS DE GALICIA..... | 167 |
| <i>Tendencias generales</i> | 168 |
| <i>Tendencia por especies</i> | 169 |
| <i>Tendencia por hábitat</i> | 180 |
| PARQUE NACIONAL DE MONFRAGÜE | 183 |
| <i>Tendencias generales</i> | 184 |
| <i>Tendencia por especies</i> | 186 |
| <i>Tendencia por hábitat</i> | 200 |
| PARQUE NACIONAL DE LA SIERRA DE GUADARRAMA | 203 |
| <i>Tendencias generales</i> | 204 |
| <i>Tendencia por especies</i> | 206 |
| <i>Tendencia por hábitat</i> | 212 |
| DISCUSIÓN | 214 |
| BIBLIOGRAFÍA | 227 |
| ANEXOS | 230 |

RESUMEN EJECUTIVO

Durante la presente campaña primaveral SACRE 2025 se han identificado un total de 219 especies distintas de aves en el conjunto de la Red de Parques Nacionales de España.

Considerando todos los registros entre 2012 y 2025, el número de taxones reproductores registrados en la Red asciende a 266 especies. Tres de ellos se han citado por primera este año, concretamente el ánade rabudo norteño (*Anas acuta*) y charrancito común (*Sternula albifrons*) en el Parque Nacional de Doñana y págalo grande (*Stercorarius skua*) y en el Parque Nacional de Timanfaya.

A continuación, se exponen los resultados más destacados a nivel particular para cada uno de los parques nacionales.

DOÑANA

En el Parque Nacional de Doñana se ha registrado un total de 104 especies de aves distintas. La evolución temporal de la riqueza de especies a lo largo de la serie temporal permanece estable. Por el contrario, su abundancia, no muestra una evolución clara y califica como de tendencia incierta.

Cuando se analiza los hábitats separadamente, la estabilidad en el número de especies se mantiene en los ambientes forestales y arbustivos, mientras que en los acuáticos la tendencia es incierta. Este mismo patrón se repite si se considera la variable abundancia total de aves.

A nivel particular, un total de 17 taxones han mostrado variaciones estadísticamente significativas en el número de efectivos reproductores respecto al año de comparación.

| Especie | Tendencia |
|------------------------------|-------------------|
| <i>Milvus migrans</i> | Fuerte descenso |
| <i>Cyanistes caeruleus</i> | Descenso moderado |
| <i>Serinus serinus</i> | Descenso moderado |
| <i>Fringilla coelebs</i> | Descenso moderado |
| <i>Lanius senator</i> | Descenso moderado |
| <i>Carduelis carduelis</i> | Estable |
| <i>Cyanopica cooki</i> | Estable |
| <i>Luscinia megarhynchos</i> | Estable |
| <i>Parus major</i> | Estable |

| Especie | Tendencia |
|-----------------------------|---------------------|
| <i>Sylvia undata</i> | Estable |
| <i>Saxicola rubicola</i> | Incremento moderado |
| <i>Chloris chloris</i> | Incremento moderado |
| <i>Columba palumbus</i> | Incremento moderado |
| <i>Pica pica</i> | Incremento moderado |
| <i>Streptopelia turtur</i> | Incremento moderado |
| <i>Sylvia melanocephala</i> | Incremento moderado |
| <i>Turdus merula</i> | Incremento moderado |

SIERRA NEVADA

El Parque Nacional de Sierra Nevada está experimentando un empeoramiento de su estado de conservación respecto a los primeros años del estudio. Tanto el número total de especies que se detecta cada año como su abundancia muestran un descenso moderado conforme avanza las campañas de seguimiento.

La tendencia negativa parece ser más intensa en los hábitat forestal y arbustivo, pues cuando estos ambientes se analizan separadamente se mantiene el retroceso de ambas variables, mientras que en los enclaves con escasa vegetación la tendencia es estable o incierta.

Además, la mayoría de las especies que, a nivel particular muestran pérdida de efectivos reproductores son propias de masas forestales o del estrato arbustivo:

| Especie | Tendencia |
|------------------------------|-------------------|
| <i>Erithacus rubecula</i> | Fuerte descenso |
| <i>Loxia curvirostra</i> | Fuerte descenso |
| <i>Anthus campestris</i> | Descenso moderado |
| <i>Parus major</i> | Descenso moderado |
| <i>Sylvia conspicillata</i> | Descenso moderado |
| <i>Alectoris rufa</i> | Descenso moderado |
| <i>Certhia brachydactyla</i> | Descenso moderado |
| <i>Garrulus glandarius</i> | Descenso moderado |
| <i>Lophophanes cristatus</i> | Descenso moderado |

| Especie | Tendencia |
|--------------------------------|---------------------|
| <i>Serinus serinus</i> | Descenso moderado |
| <i>Sylvia melanocephala</i> | Descenso moderado |
| <i>Alauda arvensis</i> | Estable |
| <i>Emberiza cia</i> | Estable |
| <i>Fringilla coelebs</i> | Estable |
| <i>Linaria cannabina</i> | Estable |
| <i>Phoenicurus ochruros</i> | Estable |
| <i>Troglodytes troglodytes</i> | Estable |
| <i>Oenanthe oenanthe</i> | Incremento moderado |

TABLAS DE DAIMIEL

En el parque nacional se ha registrado 93 especies distintas de aves durante la primavera de 2025. Tanto la riqueza de especies como la abundancia total de individuos no muestran variaciones estadísticamente significativas a lo largo de la serie temporal analizada.

El número de especies que se identifica en los hábitats acuáticos y agrícola sigue la misma tendencia de estabilidad. Sin embargo, la densidad de aves en ambos ambientes presenta importantes fluctuaciones interanuales que imposibilita obtener una tendencia concreta en el tiempo.

Un total de 13 especies de aves presentan variaciones en su abundancia poblacional que responden a dinámicas demográficas definidas. De ellas, cuatro muestran una tendencia regresiva (todas asociadas a ambientes acuáticos), dos mantienen poblaciones reproductoras estables y, los siete restantes (en su mayoría vinculadas a áreas

dominadas por cultivos), evidencian un crecimiento en sus efectivos reproductores. Fueron las siguientes:

| Especie | Tendencia |
|----------------------------------|---------------------|
| <i>Acrocephalus arundinaceus</i> | Fuerte descenso |
| <i>Acrocephalus scirpaceus</i> | Descenso moderado |
| <i>Cettia cetti</i> | Descenso moderado |
| <i>Cisticola juncidis</i> | Descenso moderado |
| <i>Carduelis carduelis</i> | Estable |
| <i>Pica pica</i> | Estable |
| <i>Luscinia megarhynchos</i> | Incremento moderado |

| Especie | Tendencia |
|--------------------------|---------------------|
| <i>Sturnus unicolor</i> | Incremento moderado |
| <i>Upupa epops</i> | Incremento moderado |
| <i>Coracias garrulus</i> | Fuerte incremento |
| <i>Coturnix coturnix</i> | Fuerte incremento |
| <i>Emberiza calandra</i> | Fuerte incremento |
| <i>Galerida cristata</i> | Fuerte incremento |

CABAÑEROS

Durante la presente temporada se ha identificado un total de 64 especies distintas de aves. Esta variable parece experimentar un moderado descenso a lo largo de la serie temporal. Por el contrario, la abundancia de individuos permanece estable en este periodo.

Cuando se analiza los distintos hábitats del parque (arbolado, arbustivo y herbáceo) se observa que el dominado por el matorral ofrece una biodiversidad estable en el tiempo. Sin embargo, especialmente el hábitat forestal, parece estar mostrando una pérdida tanto en el número de especies como en su abundancia.

A nivel particular, se ha examinado la evolución poblacional de 49 especies de aves reproductoras en el espacio protegido. En la mayoría de ellas, no se ha identificado una tendencia clara. Entre las especies con una dinámica definida, predominan aquellas con tendencias regresivas, mientras que solo unas pocas muestran una evolución estable o positiva. Fueron las siguientes:

| Especie | Tendencia |
|------------------------------|-------------------|
| <i>Garrulus glandarius</i> | Fuerte descenso |
| <i>Alectoris rufa</i> | Descenso moderado |
| <i>Cecropis daurica</i> | Descenso moderado |
| <i>Lullula arborea</i> | Descenso moderado |
| <i>Cyanistes caeruleus</i> | Descenso moderado |
| <i>Parus major</i> | Descenso moderado |
| <i>Regulus ignicapilla</i> | Descenso moderado |
| <i>Certhia brachydactyla</i> | Descenso moderado |
| <i>Cuculus canorus</i> | Descenso moderado |
| <i>Emberiza calandra</i> | Descenso moderado |

| Especie | Tendencia |
|--------------------------------|---------------------|
| <i>Emberiza cia</i> | Descenso moderado |
| <i>Turdus merula</i> | Descenso moderado |
| <i>Columba palumbus</i> | Estable |
| <i>Dendrocopos major</i> | Estable |
| <i>Fringilla coelebs</i> | Estable |
| <i>Oriolus oriolus</i> | Estable |
| <i>Sitta europaea</i> | Estable |
| <i>Troglodytes troglodytes</i> | Estable |
| <i>Erithacus rubecula</i> | Incremento moderado |
| <i>Streptopelia turtur</i> | Incremento moderado |

PICOS DE EUROPA

Durante la presente campaña de primavera se han citado un total de 79 especies distintas de aves en el Parque Nacional de los Picos de Europa. La riqueza de especies se mantiene estable a lo largo de la serie temporal, incluso cuando se analiza los distintos hábitats separadamente (salvo el ambiente arbustivo que muestra una tendencia incierta).

La mayor parte de las especies que han evidenciado tendencias estadísticamente significativas mantienen estables sus poblaciones reproductoras. Únicamente cinco reducen su densidad en el parque y una aumenta sus efectivos.

| Especie | Tendencia |
|----------------------------|-------------------|
| <i>Anas platyrhynchos</i> | Descenso moderado |
| <i>Anthus trivialis</i> | Descenso moderado |
| <i>Columba palumbus</i> | Descenso moderado |
| <i>Emberiza citrinella</i> | Descenso moderado |
| <i>Garrulus glandarius</i> | Descenso moderado |
| <i>Anthus spinoletta</i> | Estable |
| <i>Cyanistes caeruleus</i> | Estable |
| <i>Erithacus rubecula</i> | Estable |

| Especie | Tendencia |
|--------------------------------|---------------------|
| <i>Fringilla coelebs</i> | Estable |
| <i>Phoenicurus ochruros</i> | Estable |
| <i>Prunella modularis</i> | Estable |
| <i>Pyrrhocorax pyrrhocorax</i> | Estable |
| <i>Sylvia atricapilla</i> | Estable |
| <i>Turdus merula</i> | Estable |
| <i>Phylloscopus ibericus</i> | Incremento moderado |

Cuando se considera como variable la abundancia total de aves el resultado ofrece estabilidad tanto por hábitats como examinada en su conjunto.

ORDESA Y MONTE PERDIDO

La riqueza de especies registrada en el conjunto del parque nacional evidencia un descenso moderado a lo largo de la serie temporal. Al realizar este análisis en función de los diferentes hábitats, se constata que dicha tendencia negativa se mantiene en el medio herbáceo, donde la pérdida de diversidad resulta más perceptible. En contraste, en el ámbito forestal la riqueza de especies se mantiene estable, sin que se aprecien fluctuaciones relevantes respecto a los valores iniciales.

En lo que respecta a la abundancia total de aves, los resultados muestran un patrón de estabilidad general durante todo el periodo de seguimiento. Esta misma estabilidad se mantiene al analizar de manera independiente las masas forestales (en los pastizales los resultados no son concluyente, y la tendencia califica como incierta).

Por otro lado, al examinar la evolución de las especies de manera individual, la mayor parte de los análisis no permite establecer una trayectoria clara, resultando en tendencias inciertas para la mayoría de los taxones. Tan sólo en 10 especies, la serie temporal se ajusta estadísticamente a una dinámica poblacional significativa, y de éstas,

la gran mayoría se encuentra en regresión, con descensos apreciables en el número de efectivos reproductores.

| Especie | Tendencia |
|------------------------------|---------------------|
| <i>Motacilla cinerea</i> | Fuerte descenso |
| <i>Prunella modularis</i> | Fuerte descenso |
| <i>Cyanistes caeruleus</i> | Fuerte descenso |
| <i>Certhia brachydactyla</i> | Descenso moderado |
| <i>Emberiza citrinella</i> | Descenso moderado |
| <i>Turdus merula</i> | Descenso moderado |
| <i>Fringilla coelebs</i> | Estable |
| <i>Sylvia atricapilla</i> | Estable |
| <i>Erithacus rubecula</i> | Incremento moderado |
| <i>Gyps fulvus</i> | Incremento moderado |

AIGÜESTORTES Y ESTANY DE SANT MAURICI

El número de especies detectadas anualmente en el parque nacional muestra un descenso moderado conforme avanza la serie temporal. Este retroceso no se aprecia en ningún hábitat en concreto, pues en todos ellos, la riqueza de especies se estima estable en el periodo analizado.

La abundancia total de aves permanece igualmente con una tendencia invariable, y esta estabilidad, se refleja en los ecosistemas forestal y arbustivo, mientras que en el herbáceo y con vegetación escasa no se obtiene un resultado concluyente.

A nivel particular, se detectan sólo una especie está experimentando un descenso poblacional, siendo mayoritarias aquellas en las que se estima un incremento de efectivos reproductores en el parque nacional.

| Especie | Tendencia |
|-----------------------------|---------------------|
| <i>Phoenicurus ochruros</i> | Descenso moderado |
| <i>Fringilla coelebs</i> | Incremento moderado |
| <i>Garrulus glandarius</i> | Incremento moderado |
| <i>Sylvia atricapilla</i> | Incremento moderado |

ARCHIPIÉLAGO DE CABRERA

Durante la presente campaña, en el archipiélago de Cabrera se han registrado 34 especies de aves diferentes. El número total de taxones presenta un incremento moderado desde el inicio de la serie temporal.

La abundancia anual de aves muestra una alta variabilidad interanual, sin una tendencia clara a largo plazo.

Algunas especies reproductoras evidencian variaciones destacadas en sus poblaciones, con incrementos o descensos respecto a las estimaciones iniciales. Fueron las siguientes:

| Especie | Tendencia |
|-----------------------------|---------------------|
| <i>Muscicapa striata</i> | Descenso moderado |
| <i>Sylvia balearica</i> | Descenso moderado |
| <i>Sylvia melanocephala</i> | Descenso moderado |
| <i>Columba palumbus</i> | Incremento moderado |
| <i>Linaria cannabina</i> | Incremento moderado |

La tendencia alista en la riqueza de especies se mantiene en los hábitats arbustivos y herbáceos, pero permanece constante en los medios forestales.

La evolución de la abundancia total de individuos en los distintos hábitats califica como incierta en todos ellos.

CALDERA DE TABURIENTE

En la presente campaña se ha identificado 16 especies distintas de aves que contabilizaron un total de 275 individuos. Ambas variables, riqueza y abundancia de aves han mostrado un incremento moderado en el periodo analizado.

Únicamente tres especies mostraron una dinámica poblacional estadísticamente significativa. Dos de ellas mantienen sus poblaciones estables en el parque nacional mientras que el bisbita caminero parece estar experimentando un incremento de sus efectivos reproductores.

| Especie | Tendencia |
|-----------------------------|---------------------|
| <i>Cyanistes teneriffae</i> | Estable |
| <i>Fringilla coelebs</i> | Estable |
| <i>Anthus berthelotii</i> | Incremento moderado |

El hábitat del parque nacional es homogéneo, por lo que no es posible inferir variaciones de riqueza de especies o abundancia en cuanto al tipo de hábitat.

GARAJONAY

El parque nacional presenta un estado de conservación que no ha cambiado significativamente con respecto al inicio del programa de seguimiento, con estabilidad en la riqueza de especies y en la abundancia total de aves.

La tendencia poblacional de tres especies de aves refuerza la idea de un estado de conservación del parque nacional sin cambios, pues todas ellas han mantenido estables sus poblaciones reproductoras.

| Especie | Tendencia |
|---------|-----------|
|---------|-----------|

| | |
|---------------------------------|---------|
| <i>Cyanistes teneriffae</i> | Estable |
| <i>Fringilla coelebs</i> | Estable |
| <i>Phylloscopus canariensis</i> | Estable |

El hábitat del parque nacional es relativamente homogéneo, por lo que no es posible inferir variaciones de riqueza de especies o abundancia en cuanto al tipo de hábitat.

TEIDE

Desde el inicio del programa de seguimiento, las series temporales de riqueza específica y densidad poblacional muestran un descenso moderado en el parque nacional. Esta tendencia regresiva se concentra en el hábitat arbolado.

Únicamente, dos especies han evidenciado reducciones significativas en el tamaño de sus poblaciones reproductoras.

| Especie | Tendencia |
|---------------------------------|-------------------|
| <i>Falco tinnunculus</i> | Descenso moderado |
| <i>Phylloscopus canariensis</i> | Descenso moderado |

TIMANFAYA

Los muestreos realizados en primavera en el Parque Nacional de Timanfaya registraron un total de 13 especies de aves, con 232 individuos contabilizados.

Tanto la riqueza específica como la abundancia total no han mostrado variaciones estadísticamente significativas a lo largo del periodo analizado, por lo que ambas se consideran estables.

A nivel individual, ninguna de las especies analizadas presenta una dinámica poblacional definida, estimándose todas ellas como de tendencia incierta.

ISLAS ATLÁNTICAS DE GALICIA

En esta campaña primaveral de 2025 se han contabilizado 41 especies distintas de aves, uno de los valores más bajos de toda la serie temporal. Pese a ello, la riqueza de especies muestra una tendencia estable a lo largo de la serie temporal. Este mismo resultado se encuentra en los hábitats forestal y arbustivo mientras que, en los enclaves agrícolas, el número de taxones parece mostrar un incremento moderado.

Por el contrario, la abundancia total de individuos muestra una evolución negativa, aunque no parece trasladarse a los distintos hábitats, pues tanto en ambientes forestales como agrícolas la tendencia es estable (en el matorral la dinámica es incierta).

De manera particular 13 especies muestran dinámicas poblacionales significativas. Dos de ellas ofrecen retroceso poblacional, cinco mantienen sus poblaciones estables,

mientras que el resto experimentan un incremento, en ocasiones muy notable, de sus efectivos reproductores.

| Especie | Tendencia |
|--------------------------------|-------------------|
| <i>Sylvia melanocephala</i> | Fuerte descenso |
| <i>Certhia brachydactyla</i> | Descenso moderado |
| <i>Erithacus rubecula</i> | Estable |
| <i>Periparus ater</i> | Estable |
| <i>Phoenicurus ochruros</i> | Estable |
| <i>Troglodytes troglodytes</i> | Estable |
| <i>Turdus merula</i> | Estable |

| Especie | Tendencia |
|----------------------------|---------------------|
| <i>Aegithalos caudatus</i> | Incremento moderado |
| <i>Chloris chloris</i> | Incremento moderado |
| <i>Fringilla coelebs</i> | Incremento moderado |
| <i>Prunella modularis</i> | Incremento moderado |
| <i>Carduelis carduelis</i> | Fuerte incremento |
| <i>Saxicola rubicola</i> | Fuerte incremento |

MONFRAGÜE

La riqueza de especies en el parque nacional se mantiene estable a lo largo del periodo analizado, tanto si analizan los datos conjuntamente como si se dividen en los distintos tipos de hábitats (arbolado y matorral).

La abundancia de aves por el contrario se incrementa, pero es significativo su aumento sólo en las masas forestales, mientras que en el hábitat arbustivo permanece estable.

Específicamente, las aves suelen mostrar mayoritariamente un aumento en sus poblaciones que es extensible tanto a taxones propios de ambientes arbolados como arbustivos. Las especies con retrocesos poblacionales son escasas.

| Especie | Tendencia |
|----------------------------|---------------------|
| <i>Hirundo rustica</i> | Descenso moderado |
| <i>Milvus migrans</i> | Descenso moderado |
| <i>Cyanistes caeruleus</i> | Estable |
| <i>Lullula arborea</i> | Estable |
| <i>Oriolus oriolus</i> | Estable |
| <i>Turdus merula</i> | Estable |
| <i>Alectoris rufa</i> | Incremento moderado |
| <i>Parus major</i> | Incremento moderado |
| <i>Sylvia cantillans</i> | Incremento moderado |

| Especie | Tendencia |
|--------------------------------|---------------------|
| <i>Troglodytes troglodytes</i> | Incremento moderado |
| <i>Certhia brachydactyla</i> | Incremento moderado |
| <i>Columba palumbus</i> | Incremento moderado |
| <i>Erithacus rubecula</i> | Incremento moderado |
| <i>Fringilla coelebs</i> | Incremento moderado |
| <i>Luscinia megarhynchos</i> | Incremento moderado |
| <i>Streptopelia turtur</i> | Incremento moderado |
| <i>Sylvia atricapilla</i> | Incremento moderado |
| <i>Sylvia melanocephala</i> | Fuerte incremento |

SIERRA DE GUADARRAMA

Durante la primavera de 2025 se identificaron 54 especies de aves en el parque nacional, una cifra inferior a la registrada en años anteriores, aunque se mantiene la dinámica estable en la riqueza específica.

De igual modo, la abundancia total muestra únicamente fluctuaciones interanuales leves, manteniéndose en valores relativamente constantes a lo largo de la serie temporal.

Esta falta de tendencia al cambio que se obtiene a nivel global únicamente se traslada al hábitat arbolado. En el ambiente herbáceo se aprecia un incremento de la riqueza de especies y de su abundancia mientras que en el matorral también se detecta un aumento, aunque sólo de la densidad de aves.

Un total de ocho especies han mostrado cambios sustanciales en sus abundancias desde el inicio de los muestreos.

| Especie | Tendencia |
|------------------------------|---------------------|
| <i>Regulus regulus</i> | Descenso moderado |
| <i>Fringilla coelebs</i> | Estable |
| <i>Prunella modularis</i> | Estable |
| <i>Regulus ignicapilla</i> | Estable |
| <i>Certhia brachydactyla</i> | Incremento moderado |
| <i>Periparus ater</i> | Incremento moderado |
| <i>Picus sharpei</i> | Incremento moderado |
| <i>Turdus viscivorus</i> | Incremento moderado |

METODOLOGÍA

Método de Muestreo

Los recuentos de aves se han llevado a cabo en el interior de los distintos parques nacionales que componen la Red de Parques Nacionales de España (Tabla 2.1), salvo el parque nacional de la Sierra de las Nieves, debido a su reciente declaración.

Los muestreos se organizan en itinerarios, cada uno de los cuales está constituido por 20 puntos de muestreo (separados entre sí idealmente al menos un kilómetro) en los que el ornitólogo registra todas las aves vista u oídas, separando entre aquellas situadas dentro y fuera de un radio imaginario de 25 metros. En cada punto de muestreo el recuento de aves se realiza durante cinco minutos.

El número de itinerarios realizado dentro de cada espacio protegido no fue el mismo, sino que se ajustó en función de la superficie ocupada por cada parque nacional. Así, el número de itinerarios varía entre 1 (por ejemplo, Parque Nacional del Archipiélago de Cabrera) y 6 (por ejemplo, Parque Nacional de Sierra Nevada; Tabla 2.1).

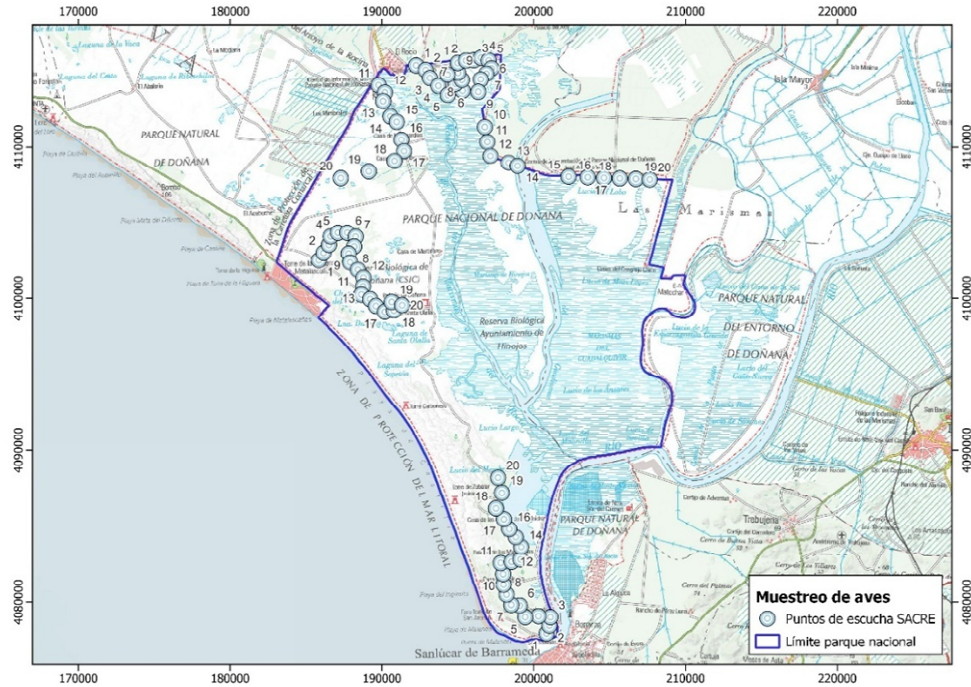
Tabla 2.1. Espacios protegidos muestreados e integrados en la Red de Parques Nacionales de España. Se indica el número de itinerarios realizados en cada uno de los parques nacionales y el número total de puntos de muestreo.

| PARQUE NACIONAL | NÚMERO ITINERARIOS | PUNTOS DE MUESTREO |
|------------------------------------|--------------------|--------------------|
| Sierra Nevada | 6 | 120 |
| Picos de Europa | 5 | 100 |
| Cabañeros | 4 | 80 |
| Doñana | 4 | 80 |
| Islas Atlánticas de Galicia | 3 | 60 |
| Ordesa y Monte Perdido | 3 | 60 |
| Monfragüe | 3 | 60 |
| Sierra de Guadarrama | 3 | 60 |
| Aigüestortes i Estany Sant Maurici | 2 | 40 |
| Las Tablas de Daimiel | 2 | 40 |
| Teide | 2 | 40 |
| Archipiélago de Cabrera | 1 | 20 |
| La Caldera de Taburiente | 1 | 20 |
| Timanfaya | 1 | 20 |
| Garajonay | 1 | 20 |

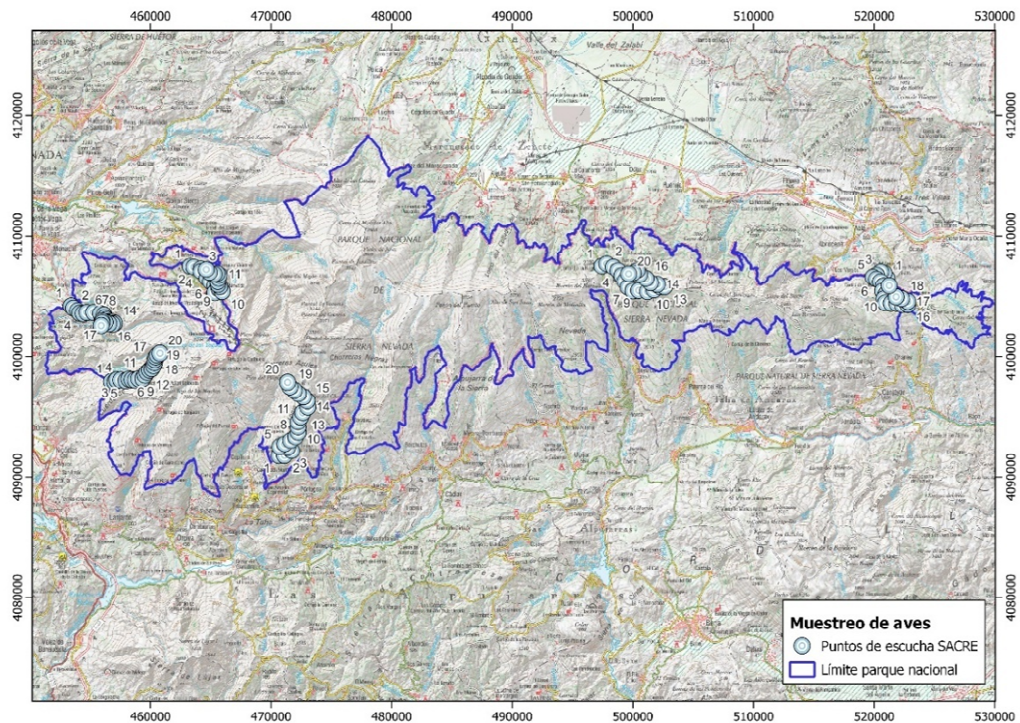
Desde el inicio del proyecto en 2012, el número y ubicación de los itinerarios han permanecido invariables en los distintos parques nacionales. En el caso del Parque Nacional de la Sierra de Guadarrama los muestreos de seguimiento de aves empezaron en 2013 tras su declaración. Este hecho supone el empleo de un esfuerzo constante año tras año, asegurando la obtención de datos que son directamente comparables a lo largo del tiempo y cuyos cambios no se deben a modificaciones en los muestreos, sino que reflejan los cambios naturales que sufren las poblaciones (Bermejo 2004).

Los itinerarios de muestreo en la Red de Parques Nacionales se distribuyen en función de los distintos hábitats presentes en cada uno de los espacios protegidos y con un reparto proporcional a la extensión de cada uno de ellos. A continuación, se muestra la posición relativa de los itinerarios de invierno en cada uno de los parques nacionales:

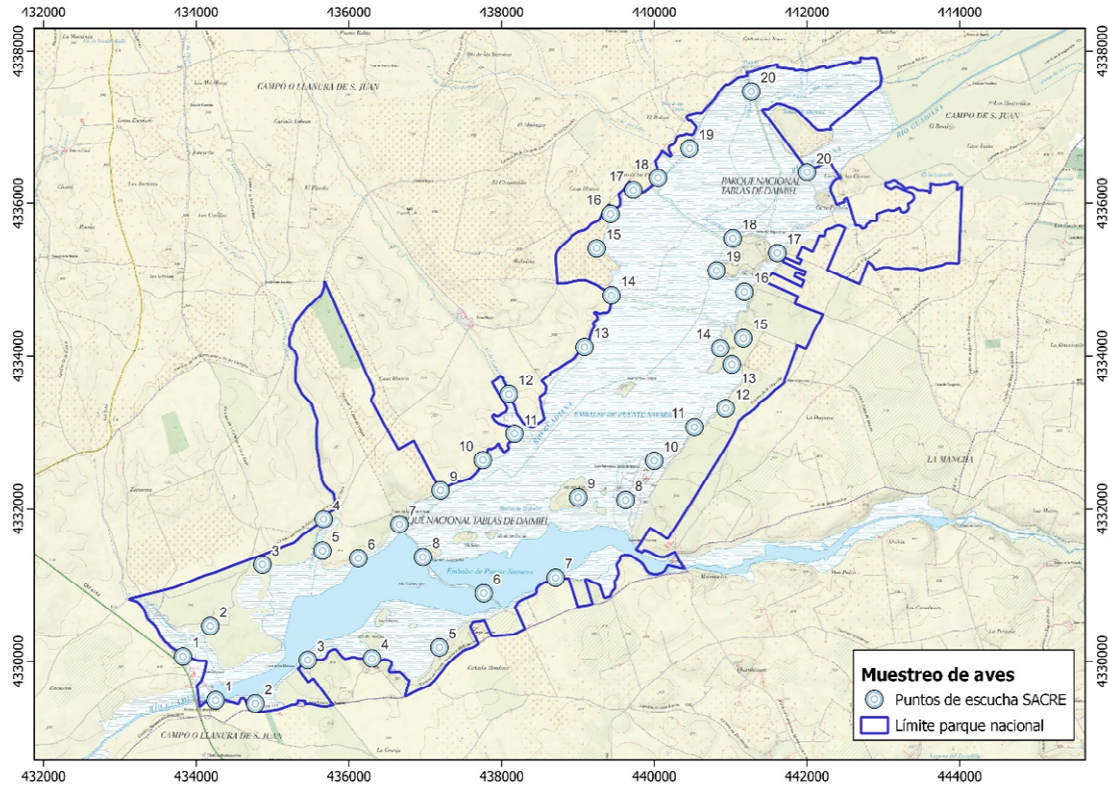
PARQUE NACIONAL DE DOÑANA



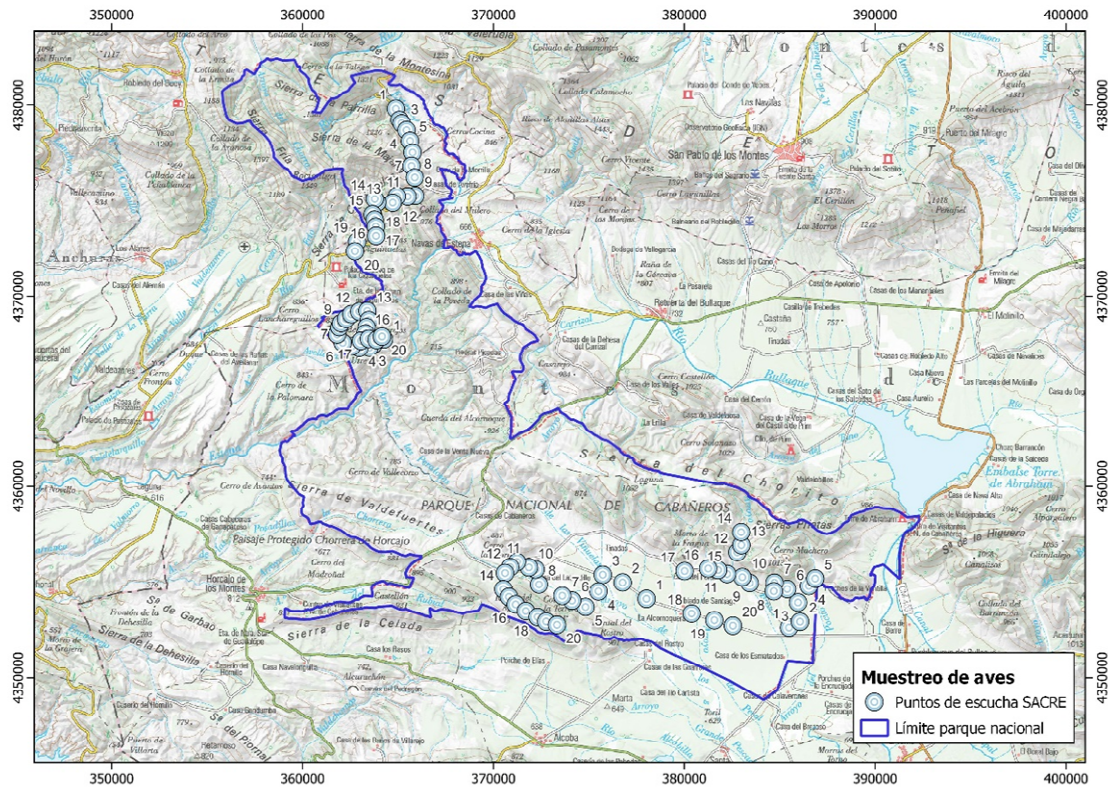
PARQUE NACIONAL DE SIERRA NEVADA



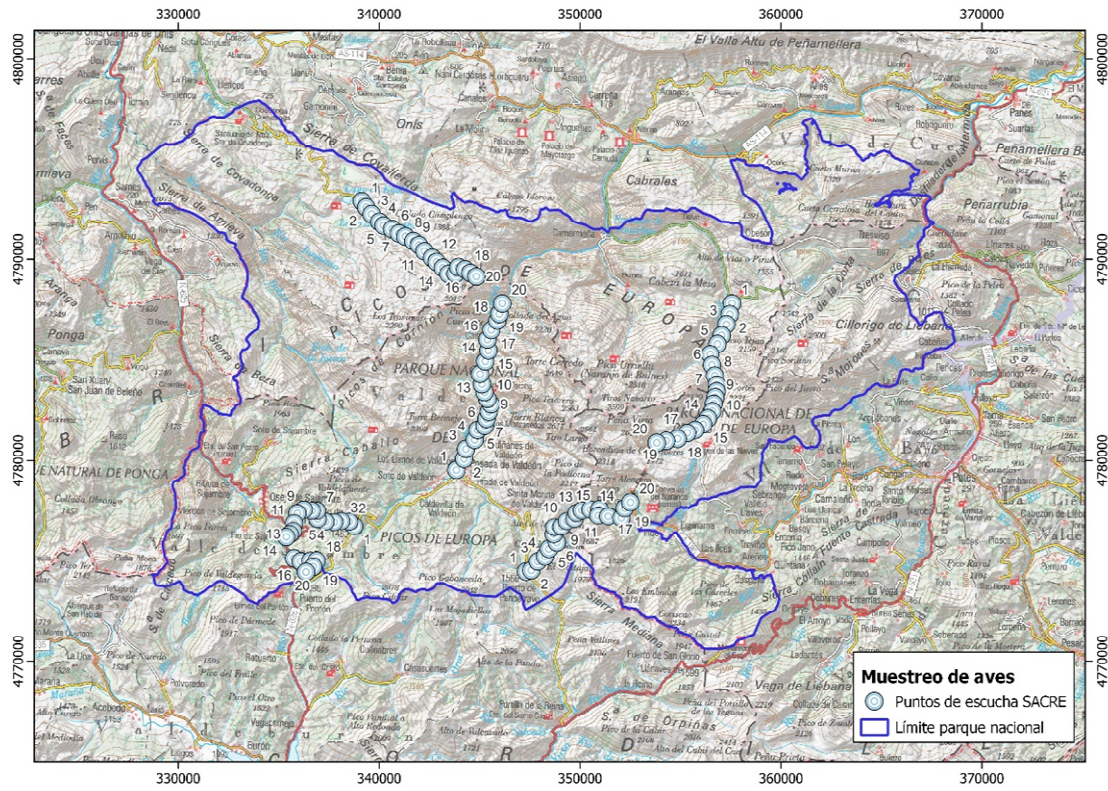
PARQUE NACIONAL DE LAS TABLAS DE DAIMIEL



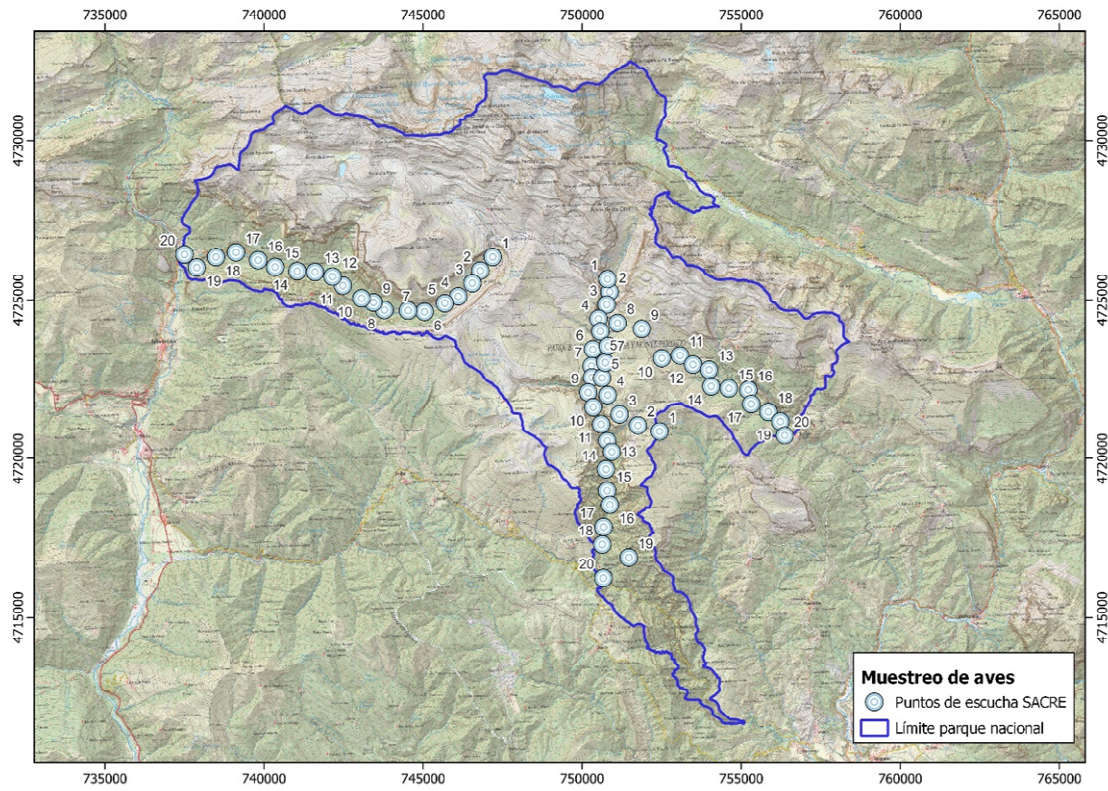
PARQUE NACIONAL DE CABAÑEROS



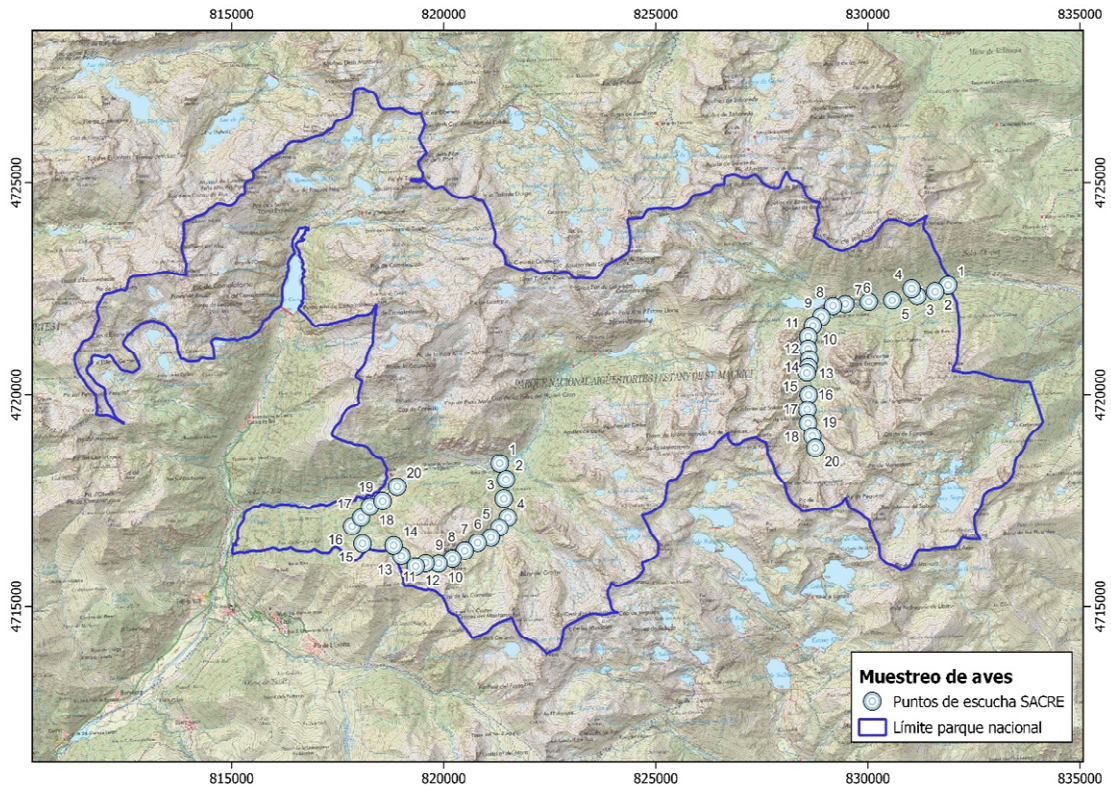
PARQUE NACIONAL DE LOS PICOS DE EUROPA



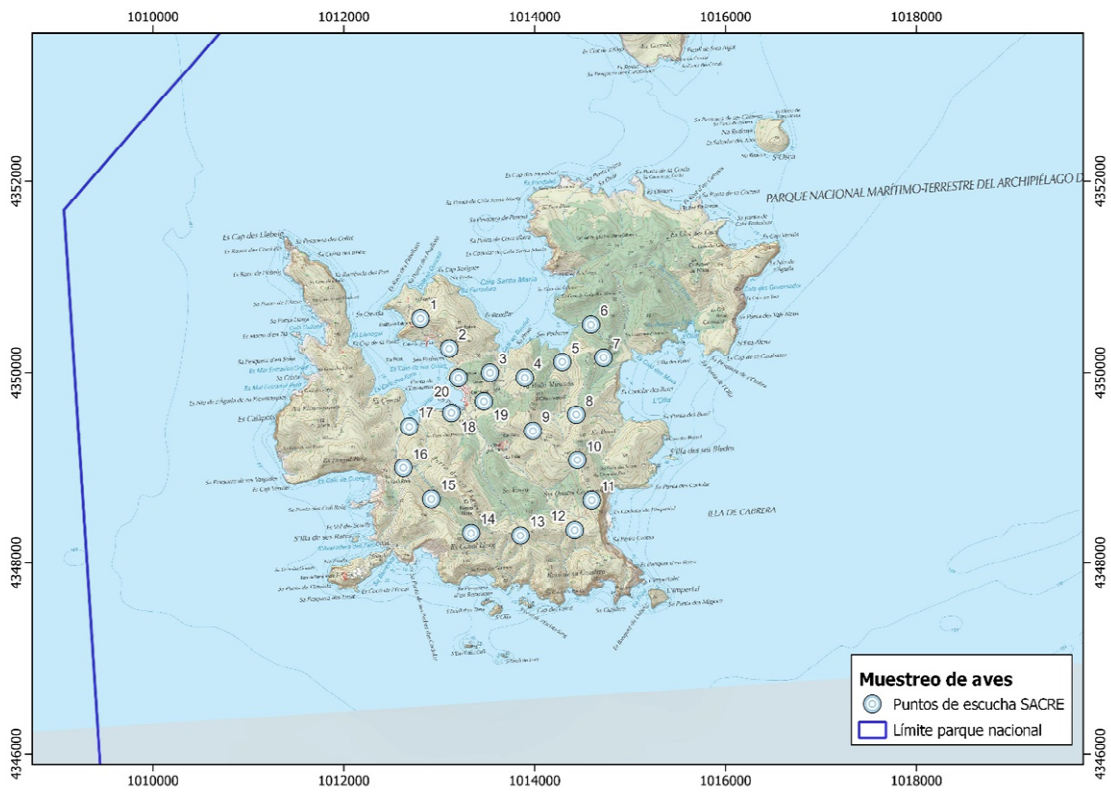
PARQUE NACIONAL DE ORDESA Y MONTE PERDIDO



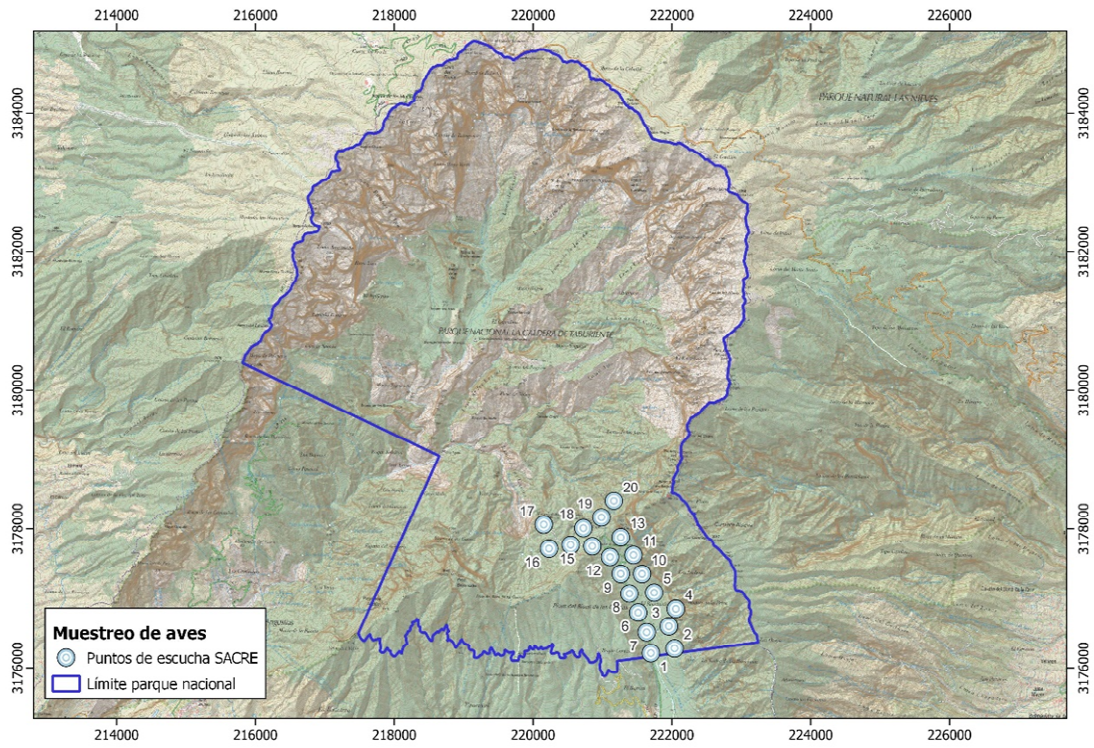
PARQUE NACIONAL DE AIGÜESTORTES I ESTANY DE SANT MAURICI



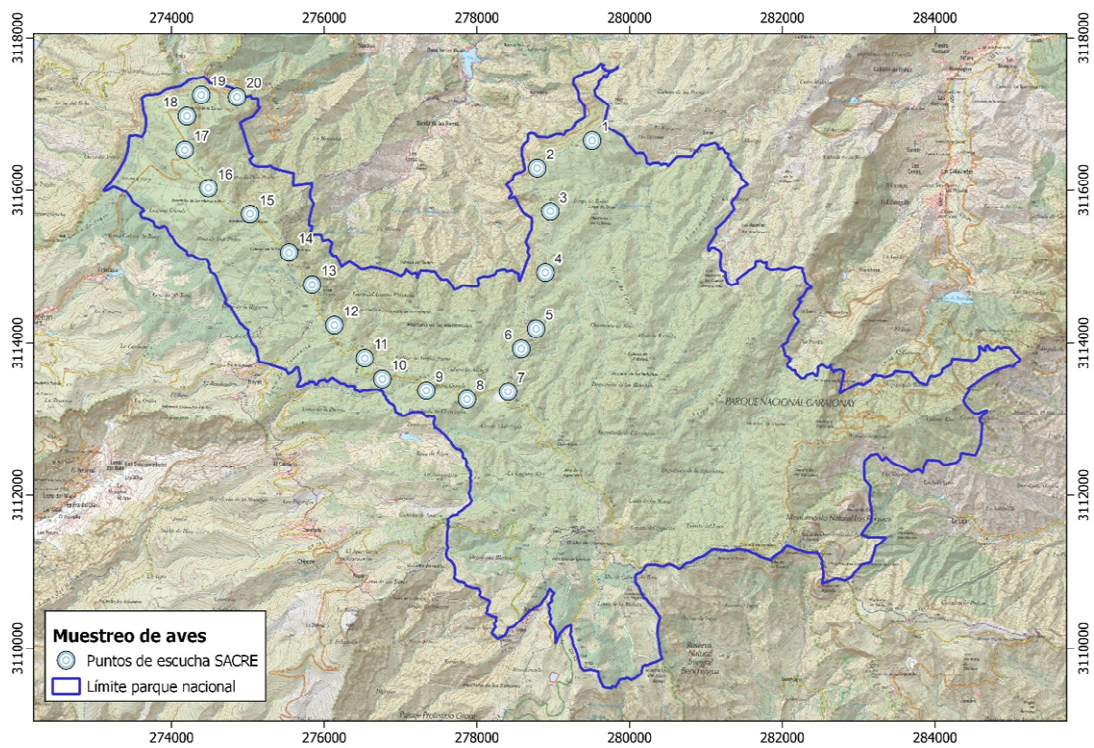
PARQUE NACIONAL MARÍTIMO-TERRESTRE DEL ARCHIPIÉLAGO DE CABRERA



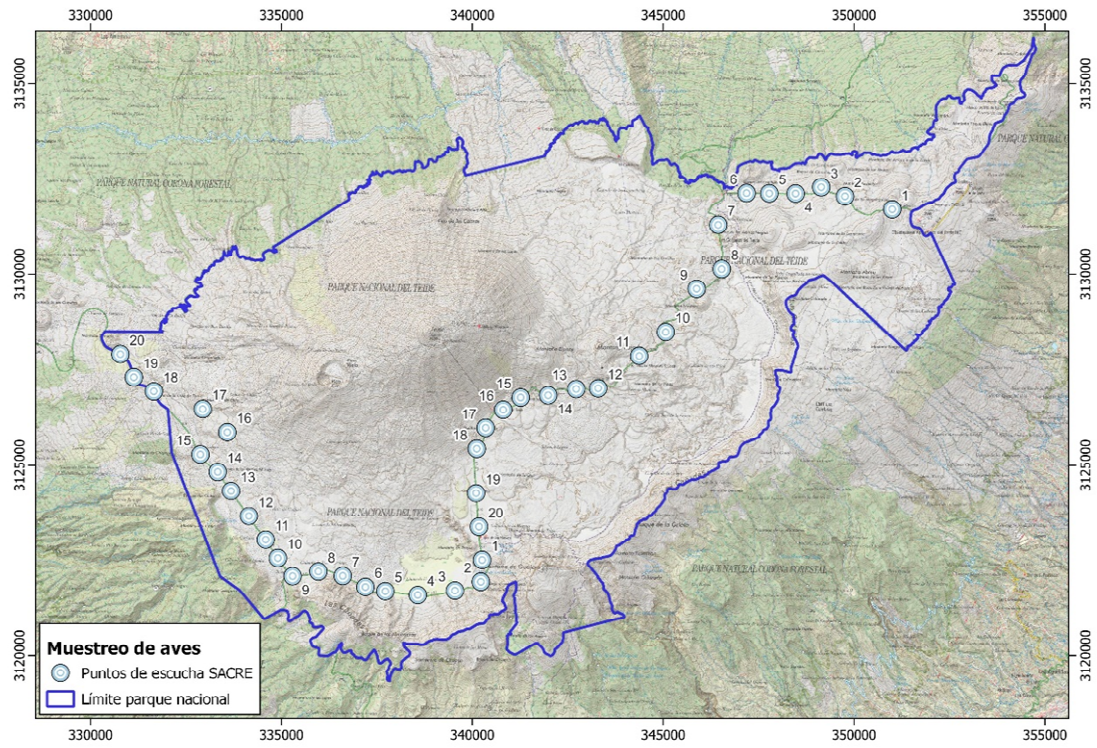
PARQUE NACIONAL DE LA CALDERA DE TABURIENTE



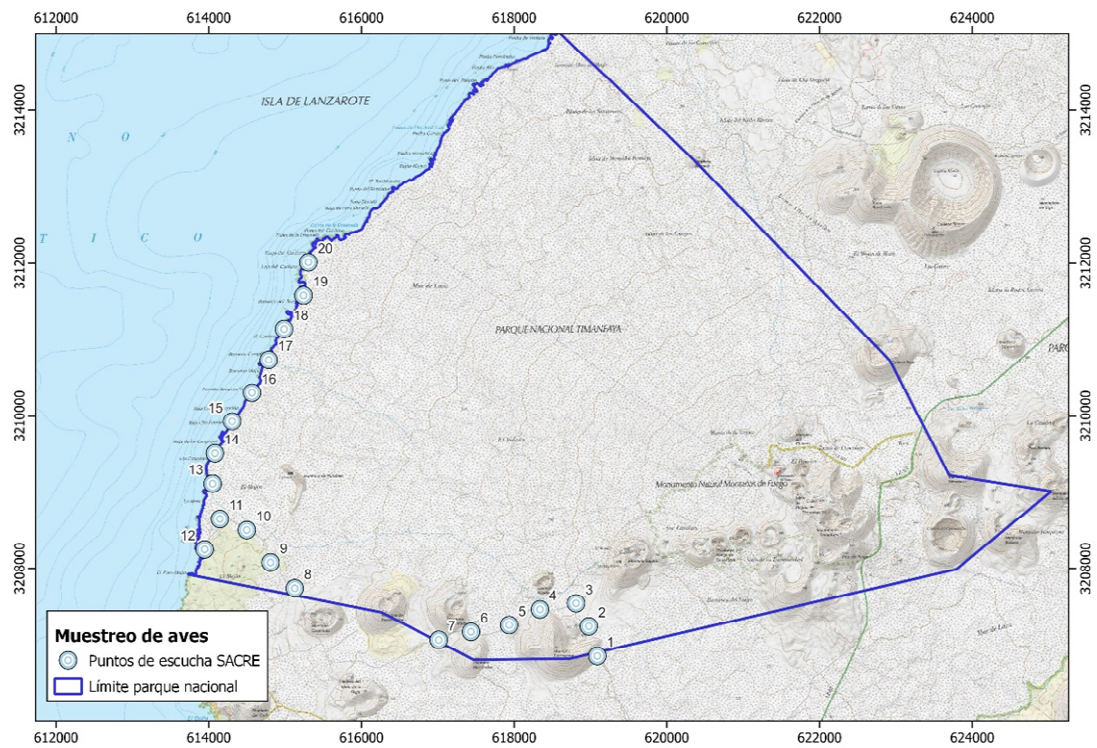
PARQUE NACIONAL DE GARAJONAY



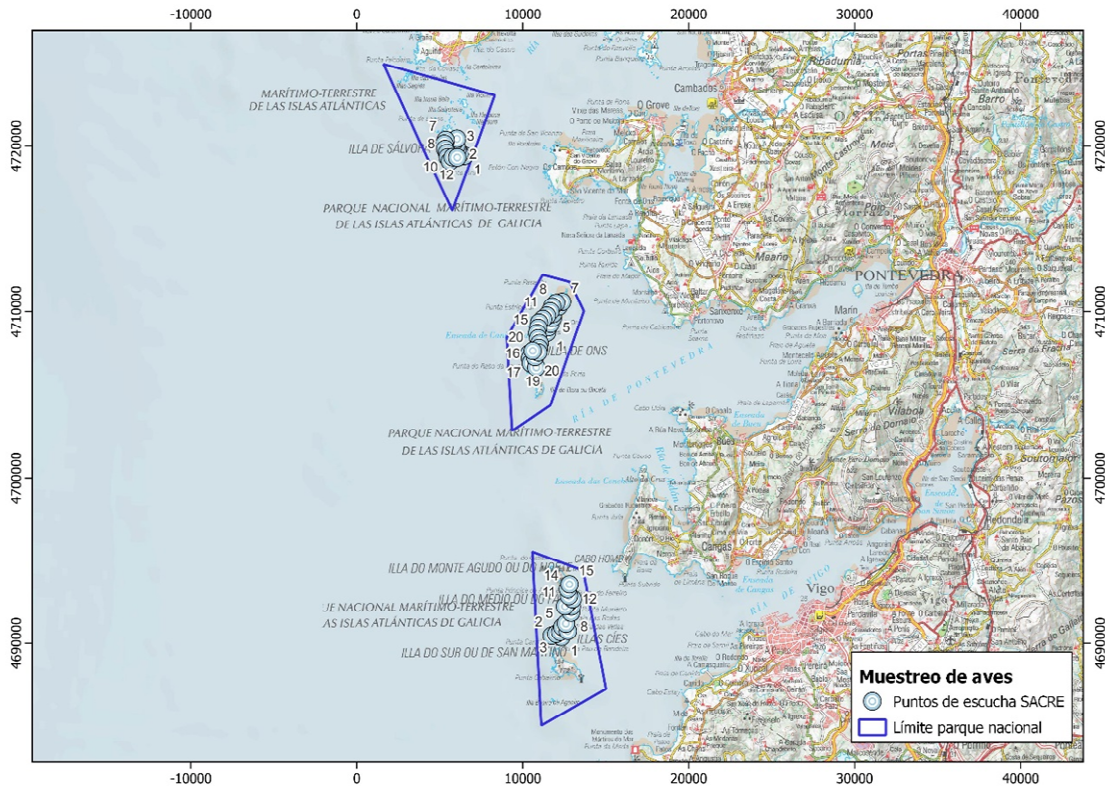
PARQUE NACIONAL DEL TEIDE



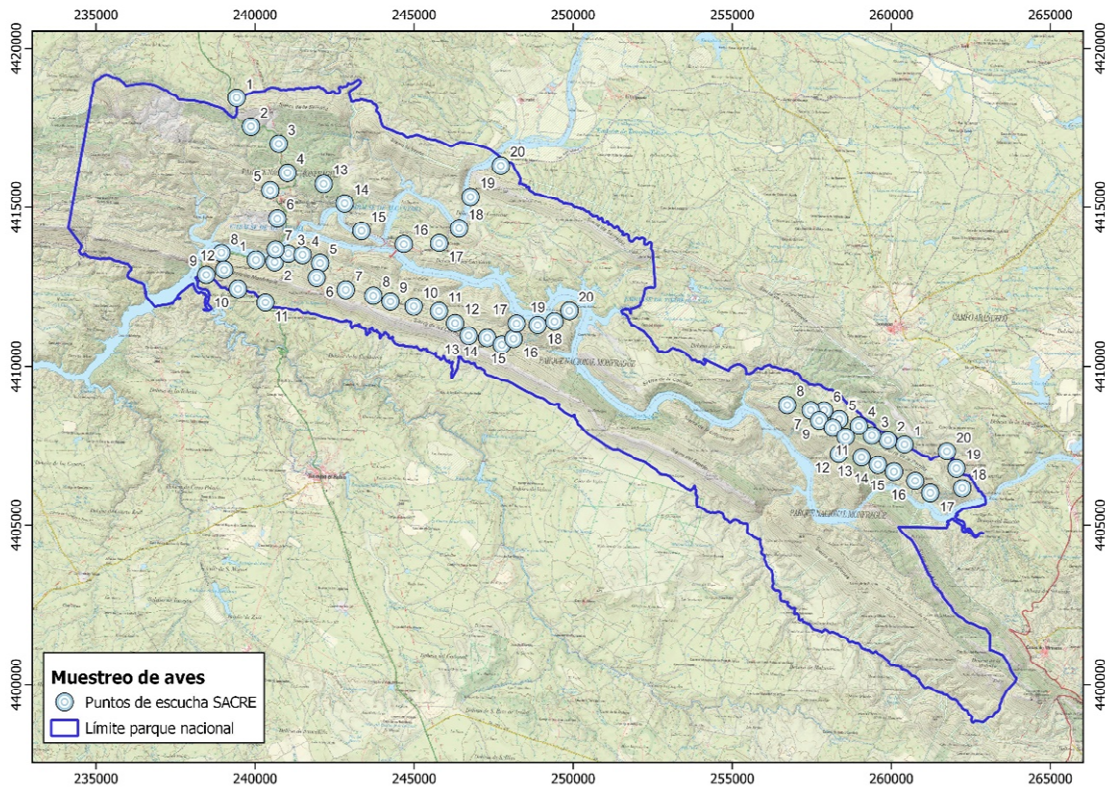
PARQUE NACIONAL DE TIMANFAYA



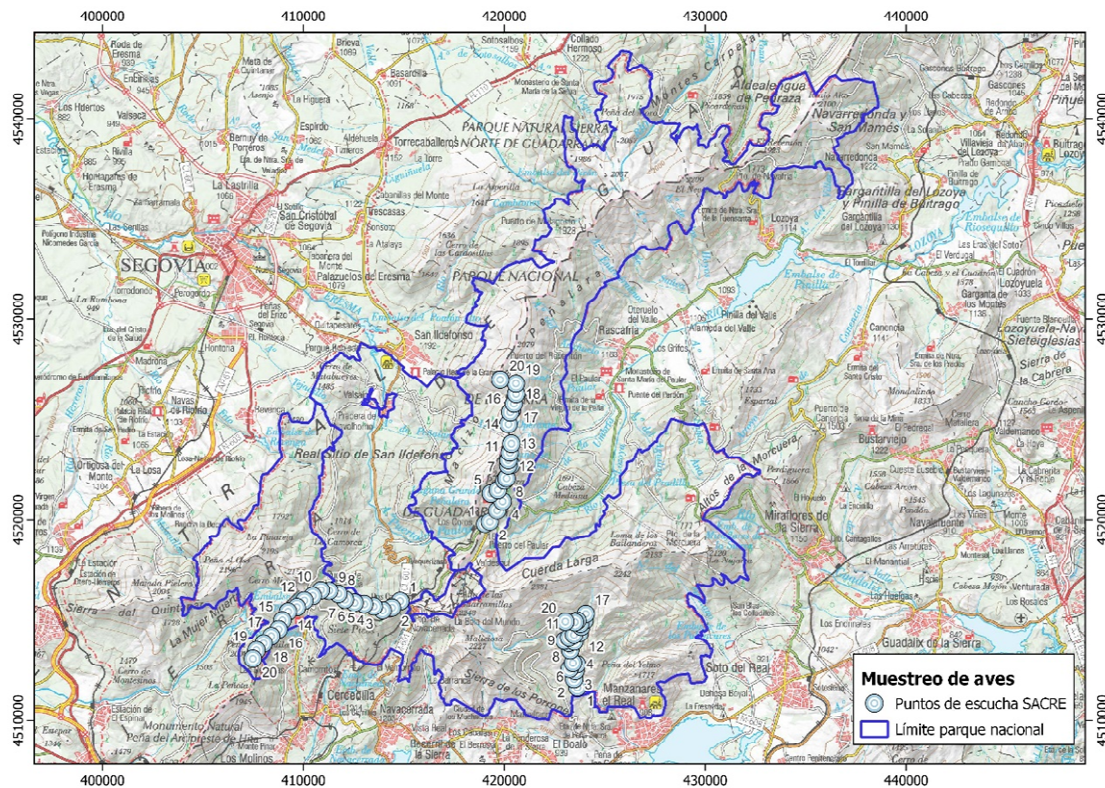
PARQUE NACIONAL MARÍTIMO-TERRESTRE DE LAS ISLAS ATLÁNTICAS DE GALICIA



PARQUE NACIONAL DE MONFRAGÜE



PARQUE NACIONAL DE LA SIERRA DE GUADARRAMA



En cada punto de muestreo se toman datos sobre el hábitat (en base a una plantilla común a todos los parques; Anexo I) para registrar posibles cambios. El objetivo es poder relacionar la evolución poblacional de las especies con las transformaciones ambientales que puedan haberse producido.

A grandes rasgos, los hábitats diferenciados han sido el arbolado (o forestal), el arbustivo (o matorral), el herbáceo, el acuático, agrícola, humanizado y el desprovisto de vegetación.

El protocolo establece dos visitas durante la primavera a cada punto de muestreo. La primera visita (Visita 1 de aquí en adelante) entre el 15 de abril y el 15 de mayo (centrada en el periodo de máxima actividad de reproductores sedentarios y presaharianos) y la segunda (Visita 2) entre el 15 de mayo y el 15 de junio (en el periodo de máxima actividad de reproductores transaharianos). Las fechas de muestreo fueron ajustadas en cada zona en función de la fenología reproductora de las aves.

Las fechas exactas de realización de los muestreos se muestran en la Tabla 2.2.

Tabla 2.2. Fechas de muestreo en los distintos parques nacionales.

| PARQUE NACIONAL | | VISITA 1 | VISITA 2 |
|------------------------------------|-------------|------------|------------|
| Doñana | Transecto 1 | 29/04/2025 | 24/05/2025 |
| | Transecto 2 | 02/05/2025 | 27/05/2025 |
| | Transecto 3 | 05/05/2025 | 28/05/2025 |
| | Transecto 4 | 06/05/2025 | 29/05/2025 |
| Sierra Nevada | Transecto 1 | 26/04/2025 | 21/05/2025 |
| | Transecto 2 | 03/05/2025 | 31/05/2025 |
| | Transecto 3 | 04/05/2025 | 01/06/2025 |
| | Transecto 4 | 10/05/2025 | 14/06/2025 |
| | Transecto 5 | 15/05/2025 | 21/06/2025 |
| | Transecto 6 | 16/05/2025 | 21/06/2025 |
| Las Tablas de Daimiel | Transecto 1 | 07/05/2025 | 10/06/2025 |
| | Transecto 2 | 07/05/2025 | 10/06/2025 |
| Picos de Europa | Transecto 1 | 01/05/2025 | 17/05/2025 |
| | Transecto 2 | 02/05/2025 | 31/05/2025 |
| | Transecto 3 | 10/05/2025 | 10/06/2025 |
| | Transecto 4 | 13/05/2025 | 16/06/2025 |
| | Transecto 5 | 17/05/2025 | 29/06/2025 |
| Ordesa y Monte Perdido | Transecto 1 | 16/04/2025 | 11/06/2025 |
| | Transecto 2 | 17/04/2025 | 12/06/2025 |
| | Transecto 3 | 21/04/2025 | 13/06/2025 |
| Aigüestortes i Estany Sant Maurici | Transecto 1 | 24/04/2025 | 15/06/2025 |
| | Transecto 2 | 25/04/2025 | 16/06/2025 |
| La Caldera de Taburiente | Transecto 1 | 10/05/2025 | 14/06/2025 |
| Garajonay | Transecto 1 | 17/04/2025 | 24/05/2025 |
| Teide | Transecto 1 | 18/04/2025 | 30/05/2025 |
| | Transecto 2 | 19/04/2025 | 31/05/2025 |
| Timanfaya | Transecto 1 | 11/05/2025 | 15/06/2025 |
| Cabañeros | Transecto 1 | 05/05/2025 | 09/06/2025 |
| | Transecto 2 | 05/05/2025 | 09/06/2025 |
| | Transecto 3 | 06/05/2025 | 11/06/2025 |
| | Transecto 4 | 06/05/2025 | 11/06/2025 |
| Islas Atlánticas de Galicia | Transecto 1 | 28/04/2025 | 21/05/2025 |
| | Transecto 2 | 08/05/2025 | 16/06/2025 |
| | Transecto 3 | 15/05/2025 | 13/06/2025 |
| Monfragüe | Transecto 1 | 25/04/2025 | 23/05/2025 |
| | Transecto 2 | 28/04/2025 | 02/06/2025 |
| | Transecto 3 | 05/05/2025 | 05/06/2025 |
| Sierra de Guadarrama | Transecto 1 | 29/04/2025 | 28/05/2025 |
| | Transecto 2 | 29/04/2025 | 29/05/2025 |
| | Transecto 3 | 06/05/2025 | 29/05/2025 |
| Archipiélago de Cabrera | Transecto 1 | 20/04/2025 | 21/05/2025 |

VARIABLES CONSIDERADAS

Se ha calculado diversos parámetros para valorar el estado de conservación de la Red de Parques Nacionales en base a la comunidad de aves. A continuación, se señala cada uno de ellos y el modo en el que han sido obtenidos.

- **Riqueza específica:** Estimada como el número total de especies de aves distintas detectadas dentro de un parque nacional, considerando conjuntamente el total de muestreos realizados. La riqueza específica es uno de los principales componentes de la biodiversidad en los ecosistemas naturales (Rodrigues *et al.* 2004). Debido a que es una estimación relativamente fácil de obtener, se emplea comúnmente para determinar el efecto de las perturbaciones humanas y para tomar decisiones de gestión medioambiental (Myers *et al.* 2000; Billeter *et al.* 2008). Además, la riqueza específica de un determinado grupo taxonómico suele emplearse también como indicador indirecto del conjunto de la riqueza general del ecosistema analizado.
- **Abundancia total:** Considerada como el sumatorio de la abundancia de cada especie dentro del parque nacional.

Para obtener la abundancia de una determinada especie en un parque nacional concreto se ha analizado cada punto de escucha independientemente. A su vez, dentro de cada uno de ellos, también se ha considerado las dos visitas de manera separada (*Visita 1* y *Visita 2*), de manera que la abundancia de un ave en dicho punto de muestreo se ha estimado como el valor máximo de ejemplares registrados entre las dos visitas.

En el siguiente ejemplo se muestra el número total de registros en un punto de escucha en la *Visita 1* y en la *Visita 2* para tres especies diferentes en un hipotético parque nacional. Se ha considerado como valor de abundancia el mayor valor registrado (Tabla 2.3), pues refleja el mínimo número de individuos presentes en este hipotético recorrido durante la primavera.

Tabla 2.3. Ejemplo hipotético de cálculo de la abundancia (número mínimo de ejemplares) de tres especies en base a los muestreos realizados a un mismo punto de censo en las dos visitas.

| ESPECIE | VISITA 1 | VISITA 2 | ABUNDANCIA |
|------------------------------|----------|----------|------------|
| <i>Parus major</i> | 4 | 2 | 4 |
| <i>Lophophanes cristatus</i> | 2 | 2 | 2 |
| <i>Erithacus rubecula</i> | 0 | 7 | 7 |

La abundancia total de una determinada especie dentro de un parque nacional se ha calculado como la suma de los valores máximos registrados en los distintos puntos de censo.

Evolución de temporal de las variables

Dentro de cada parque nacional, el análisis de la evolución temporal de las distintas variables (riqueza específica y abundancia total) y de la densidad particular de las distintas especies de aves, se ha calculado mediante el programa estadístico TRIM (TRends & Indices for Monitoring data, Pannekoek y van Strien 2005), desarrollado por Statistics Netherlands.

Para el caso concreto del análisis de la abundancia, se ha considerado cada itinerario (compuesto por 20 puntos de escucha) como la unidad muestral.

De las diferentes opciones que ofrece el programa se escogió el modelo de tendencia lineal (*Linear trend model*), seleccionándose como base el año 2012 (inicio de los muestreos), salvo en el caso del Parque Nacional de la Sierra de Guadarrama que fue declarado como tal con posterioridad (el año base se consideró 2013).

Este programa ha sido diseñado especialmente para el análisis de la evolución de poblaciones animales con series de datos de varios años y permite considerar valores intermedios "perdidos" que son recalculados en función de los datos de años anteriores y posteriores y de la calidad de la población en otras estaciones en esa temporada.

TRIM genera un índice anual de abundancia para cada especie considerada, que se basa en la regresión loglineal de Poisson, pero con la posibilidad de corregir dicha regresión con correlaciones seriales a través de estimas de los parámetros del modelo, dado que las series temporales de un año a otro no son totalmente independientes.

TRIM es la herramienta estadística cuyo uso recomienda el EBCC (European Bird Census Council) para este tipo de análisis y es la que se aplica en el Programa Pan-Europeo de seguimiento de aves reproductoras de BirdLife International.

El programa TRIM permite obtener un índice medio anual de cambio o pendiente (β) con su intervalo de confianza. En base a ello establece diversas categorías de tendencia poblacional:

- Fuerte incremento (implica duplicar la abundancia en 15 años): se incluye en esta categoría cuando el intervalo de confianza más bajo de la pendiente se sitúa por encima del 1.05.
- Incremento moderado: el intervalo de confianza menor se sitúa entre 1.00 y 1.05.
- Estable: La pendiente media se aproxima a 1.00 y los intervalos de confianza se sitúan entre 0.95 y 1.05.
- Incierta (sin tendencia definida): El intervalo de confianza engloba el valor 1.00 pero la dispersión de los datos produce que los límites de confianza se sitúen por debajo de 0.95 o por encima de 1.05.

- Descenso moderado: el intervalo de confianza de la pendiente se sitúa entre 0.95 y 1.00.
- Fuerte Descenso (reducción a la mitad de la población en 15 años): se incluyen datos cuyo límite superior de confianza se sitúa por debajo de 0.95.

El grado de fiabilidad de la tendencia obtenida viene dado por el valor " P ", de manera que cuanto menor es este valor mayor es la probabilidad de que la tendencia obtenida no sea fruto del azar. El programa TRIM, en el caso de tendencias significativas, ofrece un valor " P " inferior a 0,05 o inferior a 0,01. De aquí en adelante ambos índices se reflejarán en el texto como uno (*) o dos (**) asteriscos respectivamente.

Evolución temporal en función del hábitat

En la Red de Parques Nacionales existe una gran diversidad de ecosistemas, pero la metodología, para facilitar los análisis, los agrupa en siete grandes hábitats: (1) arbolado, (2) arbustivo, (3) herbáceo, (4) acuático, (5) agrícola, (6) humanizado y (7) ambientes con escasa vegetación.

Se ha ejecutado el programa TRIM para las distintas variables consideradas (riqueza específica y abundancia) en función de los grandes hábitats presentes en cada parque nacional. Para ello, se ha procedido de manera similar que, en el apartado anterior, pero considerando en los análisis exclusivamente aquellos recorridos dominados por un hábitat concreto.

Como anteriormente, se ha considerado cada itinerario como la unidad muestral, pero en este caso, no siempre incluye 20 puntos de muestreo ya que alguno de ellos podía presentar un hábitat diferente al resto.

Evidentemente, el análisis temporal no se ha podido llevar a cabo en aquellos parques con un único tipo de hábitat (por ejemplo, Garajonay).

Es posible que, ocasionalmente, puedan producirse sesgos a la hora de decidir a qué tipo de hábitat pertenece un determinado punto de censo, pues se trata de una selección subjetiva del ornitólogo en base a la cobertura vegetal que presenta un determinado hábitat a lo largo del itinerario de censo. Es decir, es posible que, ante un ambiente heterogéneo, por ejemplo, de masa forestal y matorral, un ornitólogo identifique un recorrido como "Arbolado" mientras que otro lo haga como "Arbustivo".

Por otro lado, algunos puntos de muestreo se realizan en ecotonos (el límite entre dos ecosistemas), de manera que pueden registrarse aves que no son propias del ambiente principal. Por ejemplo, en el Parque Nacional de Tablas de Daimiel los puntos tienen un marcado carácter acuático, pero existen campos de cultivos de secano contiguos que permiten la aparición de otro tipo de aves no ligadas a las masas de agua.

Con el fin de eliminar estas fuentes de variación y, como una prueba adicional para valorar el efecto del hábitat sobre la avifauna, se ha ejecutado un análisis de la evolución temporal de la abundancia, pero considerando conjuntamente especies propias de un determinado hábitat (por ejemplo, el pinzón vulgar y el agateador euroasiático para un hábitat forestal).

La elección de las especies para este análisis, siempre que fue posible, se realizó al azar entre aquellas que no mostraron una tendencia poblacional significativa a nivel particular, pues ello, en sí mismo, ya puede interpretarse como un efecto del hábitat sobre la especie. Así, dentro de cada hábitat de un parque nacional, se seleccionaron 2-4 taxones representativos de este y se ejecutó el programa TRIM considerando sus abundancias anuales.

Este análisis se ha llevado a cabo siempre que hubiera un número suficiente de especies y/o datos de abundancia.

RESULTADOS

Durante la campaña primaveral SACRE 2025 se ha identificado un total de 219 especies distintas de aves en el conjunto de la Red de Parques Nacionales de España. Considerando todos los registros entre 2012 y la temporada actual, el número de taxones registrados en la Red asciende a 266 especies.

Un total de 153 taxones (57,5% del total) han sido registrados en alguna de las campañas de la serie temporal en, al menos, uno de los parques nacionales. En el extremo opuesto, 14 especies (5,3%) han sido citadas únicamente en una ocasión a lo largo de los años de seguimiento.

En la campaña actual, la mayoría de las especies analizadas no muestran una tendencia clara en sus estimas de abundancia, por lo que han sido clasificadas como de tendencia incierta. Esta falta de definición se explica por la alta variabilidad interanual de los datos, que genera una gran dispersión y conduce a regresiones no significativas desde el punto de vista estadístico.

Entre las tendencias significativas, predominan ligeramente las que reflejan una reducción de efectivos reproductores, que representan aproximadamente el 36% del total, si bien la mayoría corresponden a descensos de carácter moderado.

Las especies con incrementos poblacionales suponen cerca de un tercio de los casos, una proporción similar a la de aquellas que mantienen una evolución estable en sus abundancias reproductoras (32%; Ilustración 1).

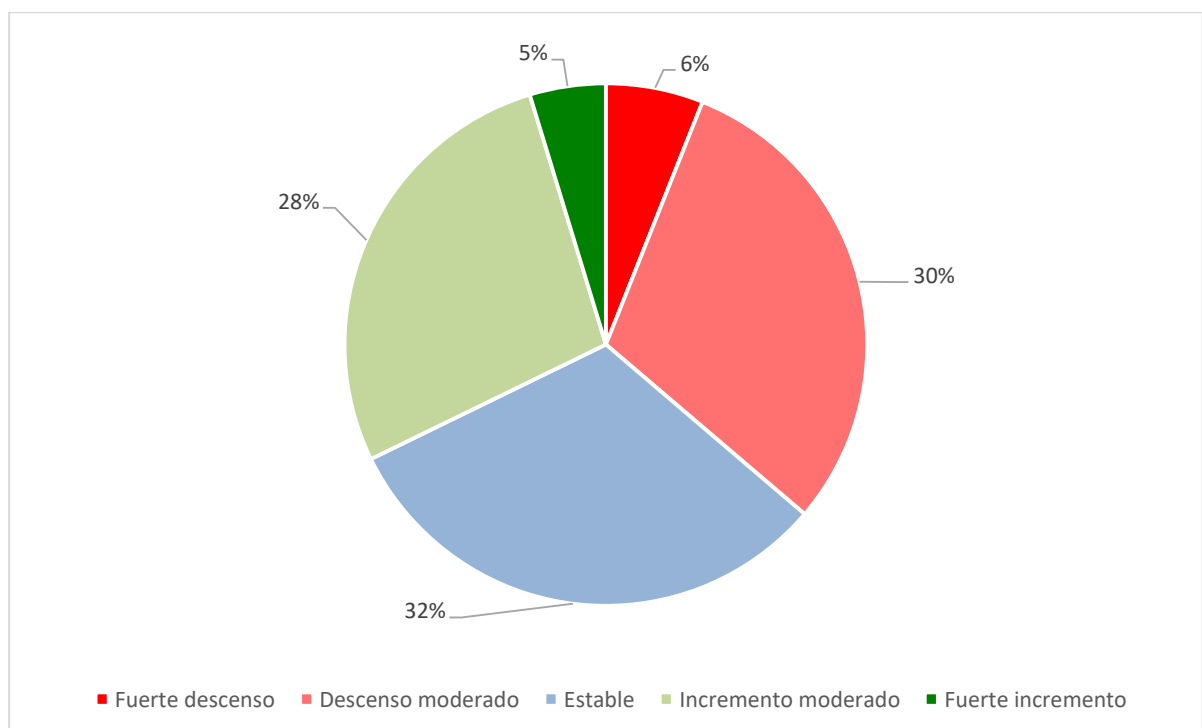


Ilustración 1. Proporción de las distintas tendencias poblacionales obtenidas

A continuación, se ofrece los resultados obtenidos en función de los distintos parques nacionales considerados.

Parque Nacional de Doñana

Durante los muestreos primaverales en el Parque Nacional de Doñana se ha registrado un total de 104 especies de aves distintas. Por encima del millar de individuos destacan la gaviota picofina, pagaza piconegra, morito común y, especialmente, el flamenco común con 2063 ejemplares contabilizados. El resto de las aves se encuentra muy por debajo de estos valores.

Algunas especies han sido citadas por primera vez desde el inicio del programa de seguimiento, concretamente el martín pescador, ánade rabudo, porrón pardo, chorlitejo patinegro y charrancito común.

Tabla 1. Especies y número de individuos contabilizados en el Parque Nacional de Doñana en primavera de 2025.

| NOMBRE CIENTÍFICO | NOMBRE COMÚN | INDIVIDUOS |
|-----------------------------------|-----------------------|------------|
| <i>Aegithalos caudatus</i> | Mito común | 3 |
| <i>Alaudala rufescens</i> | Terrera marismeña | 2 |
| <i>Alcedo atthis</i> | Martín pescador común | 1 |
| <i>Alectoris rufa</i> | Perdiz roja | 35 |
| <i>Anas acuta</i> | Ánade rabudo | 3 |
| <i>Anas platyrhynchos</i> | Ánade azulón | 22 |
| <i>Apus apus</i> | Vencejo común | 94 |
| <i>Ardea alba</i> | Garceta grande | 5 |
| <i>Ardea cinerea</i> | Garza real | 39 |
| <i>Ardea purpurea</i> | Garza imperial | 18 |
| <i>Ardeola ralloides</i> | Garcilla cangrejera | 4 |
| <i>Aythya ferina</i> | Porrón europeo | 22 |
| <i>Aythya nyroca</i> | Porrón pardo | 1 |
| <i>Bubulcus ibis</i> | Garcilla bueyera | 312 |
| <i>Burhinus oediconemus</i> | Alcaraván común | 1 |
| <i>Buteo buteo</i> | Busardo ratonero | 3 |
| <i>Calandrella brachydactyla</i> | Terrera común | 11 |
| <i>Calidris ferruginea</i> | Correlimos zarapitín | 10 |
| <i>Carduelis carduelis</i> | Jilguero europeo | 131 |
| <i>Cecropis daurica</i> | Golondrina dáurica | 3 |
| <i>Certhia brachydactyla</i> | Agateador europeo | 43 |
| <i>Cettia cetti</i> | Cetia ruiseñor | 9 |
| <i>Charadrius alexandrinus</i> | Chorlitejo patinegro | 4 |
| <i>Charadrius dubius</i> | Chorlitejo chico | 350 |
| <i>Charadrius hiaticula</i> | Chorlitejo grande | 84 |
| <i>Chlidonias hybrida</i> | Fumarel cariblanco | 51 |
| <i>Chlidonias niger</i> | Fumarel común | 155 |
| <i>Chloris chloris</i> | Verderón común | 79 |
| <i>Chroicocephalus genei</i> | Gaviota picofina | 1020 |
| <i>Chroicocephalus ridibundus</i> | Gaviota reidora | 261 |

| NOMBRE CIENTÍFICO | NOMBRE COMÚN | INDIVIDUOS |
|-------------------------------|----------------------|------------|
| <i>Ciconia ciconia</i> | Cigüeña blanca | 60 |
| <i>Circaetus gallicus</i> | Culebrera europea | 5 |
| <i>Circus pygargus</i> | Aguilucho cenizo | 1 |
| <i>Cisticola juncidis</i> | Cistícola buitrón | 21 |
| <i>Clamator glandarius</i> | Críalo europeo | 4 |
| <i>Columba palumbus</i> | Paloma torcaz | 187 |
| <i>Corvus corax</i> | Cuervo grande | 11 |
| <i>Coturnix coturnix</i> | Codorniz común | 14 |
| <i>Cuculus canorus</i> | Cuco común | 14 |
| <i>Cyanistes caeruleus</i> | Herrerillo común | 12 |
| <i>Cyanopica cookii</i> | Rabilargo ibérico | 73 |
| <i>Delichon urbicum</i> | Avión común | 1 |
| <i>Dendrocopos major</i> | Pico picapinos | 1 |
| <i>Egretta garzetta</i> | Garceta común | 63 |
| <i>Emberiza calandra</i> | Escribano triguero | 27 |
| <i>Falco naumanni</i> | Cernícalo primilla | 15 |
| <i>Falco tinnunculus</i> | Cernícalo vulgar | 2 |
| <i>Fringilla coelebs</i> | Pinzón vulgar | 83 |
| <i>Fulica atra</i> | Focha común | 5 |
| <i>Galerida cristata</i> | Cogujada común | 12 |
| <i>Galerida theklae</i> | Cogujada montesina | 63 |
| <i>Gallinula chloropus</i> | Gallineta común | 6 |
| <i>Gelochelidon nilotica</i> | Pagaza piconegra | 1014 |
| <i>Glareola pratincola</i> | Canastera común | 36 |
| <i>Gyps fulvus</i> | Buitre leonado | 5 |
| <i>Hieraaetus pennatus</i> | Águila calzada | 19 |
| <i>Himantopus himantopus</i> | Cigüeñuela común | 239 |
| <i>Hippolais polyglotta</i> | Zarcero políglota | 15 |
| <i>Hirundo rustica</i> | Golondrina común | 25 |
| <i>Lanius meridionalis</i> | Alcaudón real | 17 |
| <i>Lanius senator</i> | Alcaudón común | 7 |
| <i>Larus michahellis</i> | Gaviota patiamarilla | 2 |
| <i>Linaria cannabina</i> | Pardillo común | 1 |
| <i>Lophophanes cristatus</i> | Herrerillo capuchino | 23 |
| <i>Lullula arborea</i> | Alondra totovía | 6 |
| <i>Luscinia megarhynchos</i> | Ruiseñor común | 124 |
| <i>Mareca strepera</i> | Ánade friso | 1 |
| <i>Melanocorypha calandra</i> | Calandria común | 34 |
| <i>Merops apiaster</i> | Abejaruco europeo | 59 |
| <i>Milvus migrans</i> | Milano negro | 110 |
| <i>Milvus milvus</i> | Milano real | 3 |

| NOMBRE CIENTÍFICO | NOMBRE COMÚN | INDIVIDUOS |
|--------------------------------|-----------------------|------------|
| <i>Motacilla flava</i> | Lavandera boyera | 11 |
| <i>Muscicapa striata</i> | Papamoscas gris | 25 |
| <i>Netta rufina</i> | Pato colorado | 6 |
| <i>Nycticorax nycticorax</i> | Martinete común | 43 |
| <i>Oriolus oriolus</i> | Oropéndola europea | 8 |
| <i>Oxyura leucocephala</i> | Malvasía cabeciblanca | 2 |
| <i>Parus major</i> | Carbonero común | 53 |
| <i>Passer domesticus</i> | Gorrión común | 82 |
| <i>Passer hispaniolensis</i> | Gorrión moruno | 126 |
| <i>Phoenicopterus roseus</i> | Flamenco común | 2063 |
| <i>Phylloscopus trochilus</i> | Mosquitero musical | 1 |
| <i>Pica pica</i> | Urraca común | 25 |
| <i>Platalea leucorodia</i> | Espátula común | 236 |
| <i>Plegadis falcinellus</i> | Morito común | 1381 |
| <i>Podiceps cristatus</i> | Somormujo lavanco | 1 |
| <i>Porphyrio porphyrio</i> | Calamón común | 2 |
| <i>Rallus aquaticus</i> | Rascón europeo | 1 |
| <i>Recurvirostra avosetta</i> | Avoceta común | 15 |
| <i>Saxicola rubicola</i> | Tarabilla europea | 29 |
| <i>Serinus serinus</i> | Serín verdecillo | 112 |
| <i>Sternula albifrons</i> | Charrancito común | 1 |
| <i>Streptopelia decaocto</i> | Tórtola turca | 6 |
| <i>Streptopelia turtur</i> | Tórtola europea | 54 |
| <i>Sturnus unicolor</i> | Estornino negro | 71 |
| <i>Sylvia atricapilla</i> | Curruca capirotada | 1 |
| <i>Sylvia melanocephala</i> | Curruca cabecinegra | 319 |
| <i>Sylvia undata</i> | Curruca rabilarga | 69 |
| <i>Tachybaptus ruficollis</i> | Zampullín común | 11 |
| <i>Tadorna tadorna</i> | Tarro blanco | 20 |
| <i>Tringa totanus</i> | Archibebe común | 1 |
| <i>Troglodytes troglodytes</i> | Chochín paleártico | 26 |
| <i>Turdus merula</i> | Mirlo común | 100 |
| <i>Upupa epops</i> | Abubilla | 31 |

Tendencias generales

El número de especies detectadas anualmente en el parque nacional presenta ciertas oscilaciones interanuales, aunque sin una tendencia clara de aumento o disminución. En general, la riqueza específica fluctúa en torno a los 90–100 taxones por año. Por tanto, se considera que la diversidad de especies presentes en Doñana se mantiene **ESTABLE** a lo largo del periodo analizado.

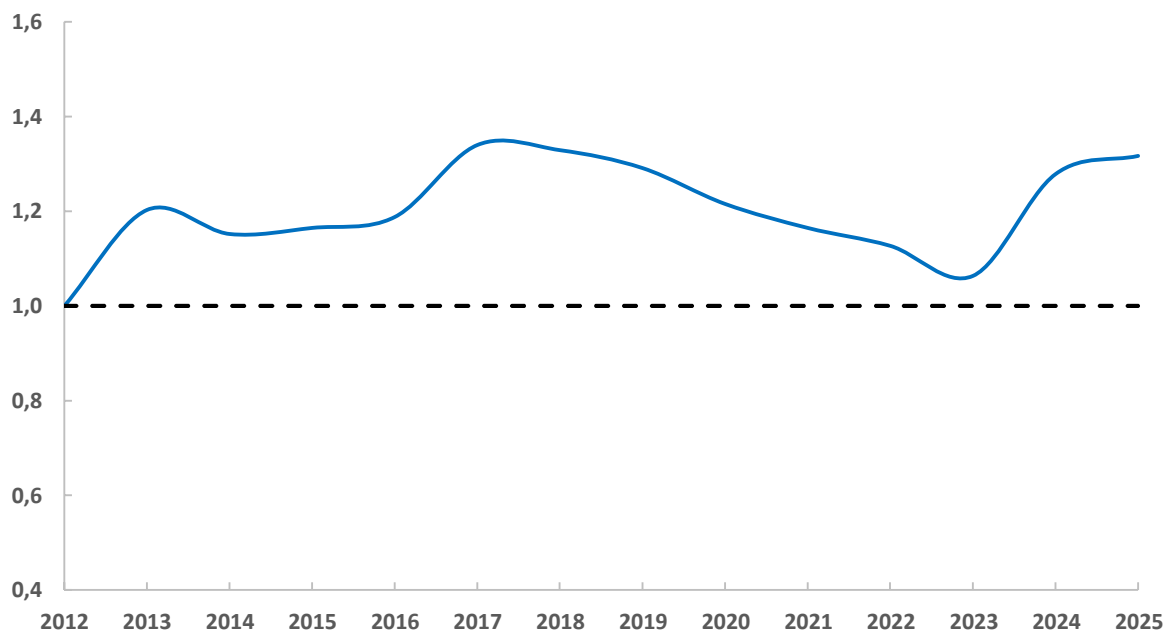


Ilustración 2. Índice de cambio del número total de especies detectadas en el Parque Nacional de Doñana

La abundancia total de aves registrada en el parque nacional ofrece un resultado diferente. Muestra fluctuaciones interanuales acusadas que no permiten establecer una dirección clara en su evolución a lo largo de la serie temporal analizada.

Se observan periodos con ligeros incrementos o descensos en el número total de individuos, pero estos cambios no son consistentes ni estadísticamente significativos. Por lo tanto, la tendencia en términos de abundancia total se cataloga como INCIERTA, sin que se pueda confirmar una dinámica de crecimiento ni de regresión.

Tendencia por especie

Del total de 61 especies de aves analizadas, la mayoría presenta una tendencia poblacional incierta, lo que impide establecer patrones concluyentes sobre su evolución en el tiempo. En concreto, 44 especies (72,1%) muestran una tendencia incierta, lo que refleja una elevada variabilidad interanual o una falta de señales claras de cambio. Por otro lado, siete especies (11,5%) experimentan un incremento moderado, mientras que cinco especies (8,2%) mantienen una población estable. En contraste, también se identifican cuatro especies (6,8%) con un descenso moderado y una especie (1,6%) que presenta un fuerte descenso poblacional.

Este conjunto de resultados pone de manifiesto la diversidad de respuestas entre las especies y evidencia la complejidad de los procesos ecológicos que afectan a la avifauna del área estudiada. A pesar de que se detectan dinámicas estadísticamente significativas, el elevado número de tendencias inciertas, subraya la necesidad de mantener y reforzar el programa de seguimiento a largo plazo. Solo así será posible identificar con mayor precisión las dinámicas subyacentes y los factores que condicionan la conservación de estas comunidades.

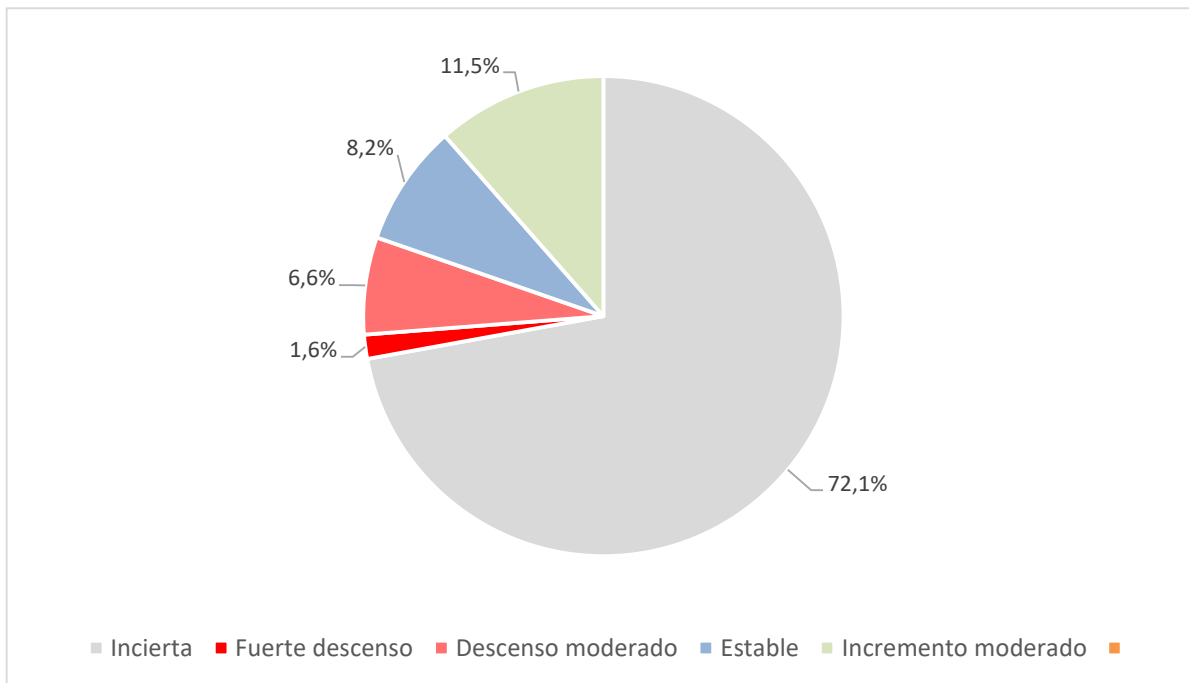


Ilustración 3. Proporción de tendencias poblacionales obtenidas en el Parque Nacional de Doñana

A continuación, se muestran las especies que mostraron variaciones poblacionales estadísticamente significativas según su tendencia.

Fuerte descenso

Milano negro (*Milvus migrans*) Tendencia (2012-2025): -8,0%

Prácticamente desde los primeros años de seguimiento se ha producido un descenso en los valores de abundancia del milano negro, si bien se produjo un cierto repunte en 2019, cuando se alcanzaron valores similares al año de referencia. Sin embargo, la pérdida de efectivos reproductores se puso rápidamente en evidencia en la temporada siguiente y continúan descendiendo hasta la actualidad (en estos últimos años a un ritmo más pausado). En este sentido, los datos se ajustan a un **FUERTE DESCENSO*** de su población reproductora.

En las primeras campañas, los avistamientos de la especie arrojaban cifras por encima de los 200 ejemplares, pero en los últimos años esta cifra se ha reducido a prácticamente la mitad, situándose en esta campaña en los 110 individuos.

El resultado obtenido en este estudio contrasta marcadamente con los datos proporcionados por otros programas de seguimiento contemporáneos. En Cataluña, por ejemplo, la especie ha experimentado un notable incremento poblacional desde 2002, multiplicándose aproximadamente por cinco hasta la actualidad. No obstante, en la última década su evolución se considera incierta (ICO 2025).

Asimismo, el III Atlas de las Aves en Época de Reproducción en España indica que, en el caso concreto de Doñana, la población permanece estable o presenta un leve aumento (Blanco y Sergio 2022).

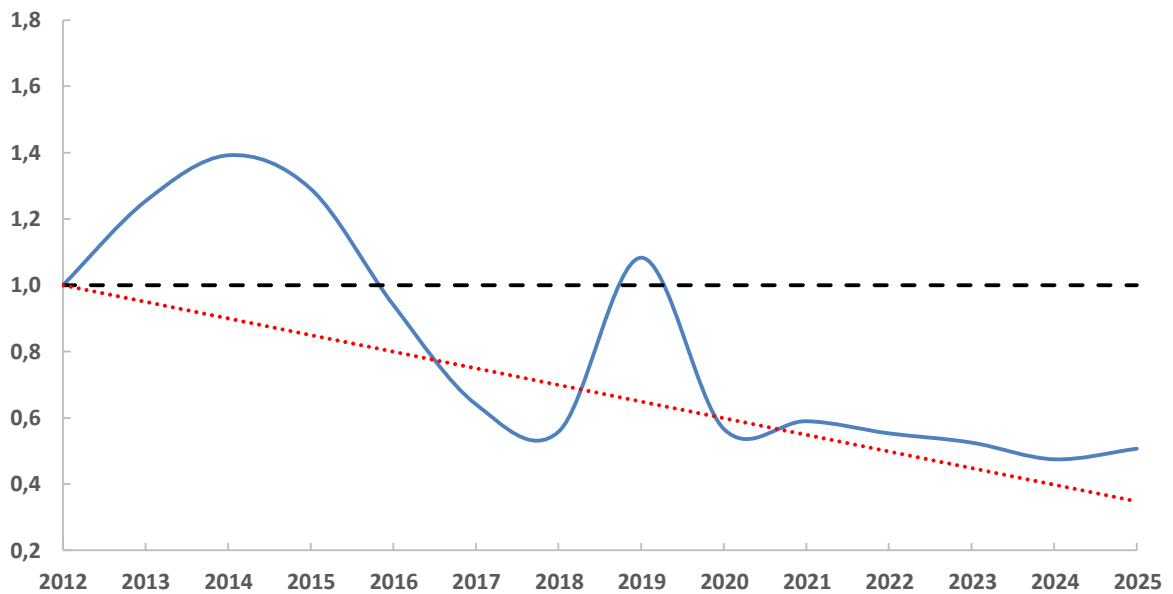


Ilustración 4. Índice de cambio del número total de individuos de milano negro contabilizados anualmente en el Parque Nacional de Doñana

Esta discrepancia podría explicarse, al menos en parte, por la metodología de censo utilizada en el presente trabajo, que no está específicamente diseñada para estimar con precisión la abundancia de aves rapaces. No obstante, la disminución en el número de avistamientos registrados para esta especie en el Parque Nacional de Doñana resulta preocupante y justifica la necesidad de promover estudios específicos centrados en su evaluación.

Descenso moderado

Herrerillo común (*Cyanistes caeruleus*) Tendencia (2012-2025): -6,9%

La población reproductora de la especie en el parque nacional muestra un **DESCENSO MODERADO***.

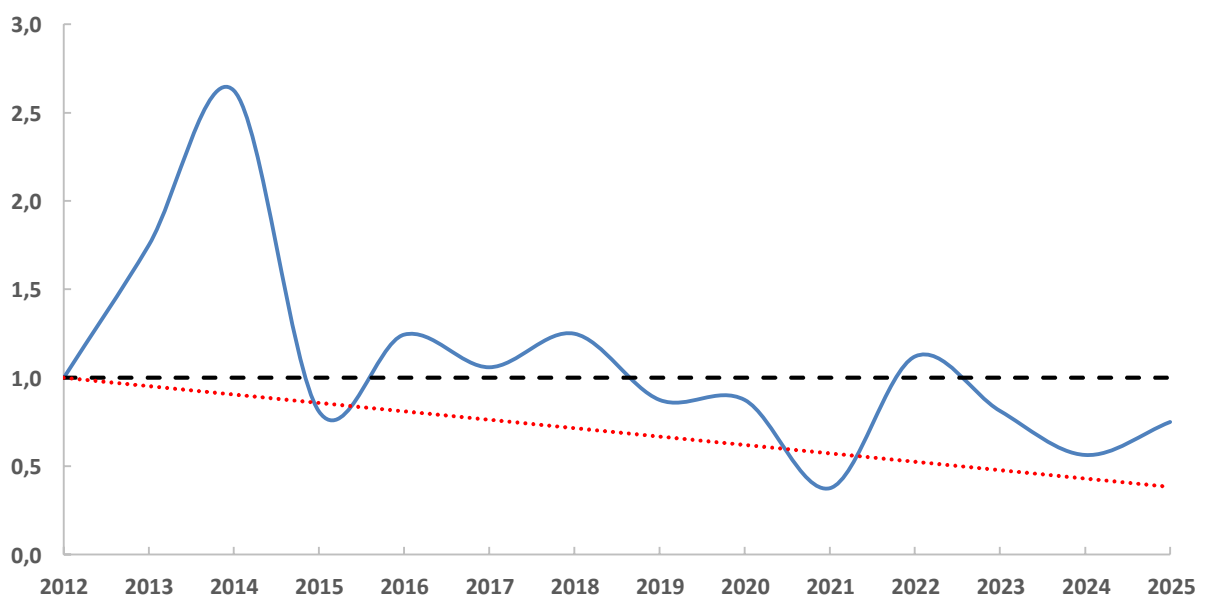


Ilustración 5. Índice de cambio del número total de individuos de herrerillo común contabilizados anualmente en el Parque Nacional de Doñana

El número de herrerillos comunes que se contabilizan cada año no es muy numeroso, por lo que los cambios entre unos años y otros pueden traducirse en importantes variaciones interanuales. Sin embargo, parece evidente que los recuentos de las últimas campañas (desde 2019) suelen ser inferiores a los registrados en años anteriores y, en concreto, con respecto al año de comparación (2012), sugiriendo una dinámica negativa. En este sentido, los datos de abundancia se ajustan estadísticamente a una regresión de su población reproductora.

Estos mismos resultados se han obtenido en los muestreos realizados a nivel nacional, donde la especie muestra un retroceso de efectivos reproductores en la última década (Escandell *et al.* 2023). Esto parece sugerir una tendencia global de la especie a mayor escala geográfica, pero, en contrapartida, existen regiones como Cataluña, donde la población reproductora parece mantenerse estable (ICO 2025).

Se requiere la extensión del periodo de muestreo con el fin de certificar la tendencia demográfica de la especie en el parque nacional.

Descenso moderado

Pinzón vulgar (*Fringilla coelebs*) Tendencia (2012-2025): -3,5%

A pesar de que el pinzón vulgar ha mantenido niveles de abundancia constantes durante la mayor parte del programa de seguimiento, se aprecia un **DESCENSO MODERADO**** en su población nidificante. Esta tendencia negativa se inició con una disminución significativa en 2021 que perdura hasta la actualidad, lo que ha llevado a que las estimaciones actuales de su población se sitúen notablemente por debajo del centenar de individuos, en contraste con los valores iniciales.

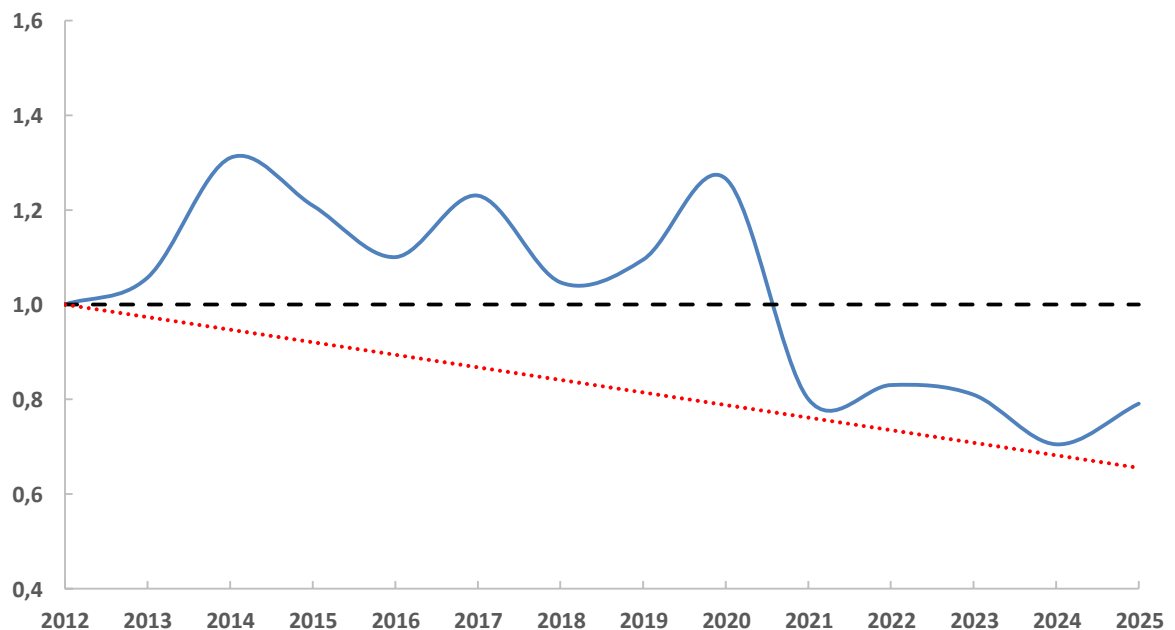


Ilustración 6. Índice de cambio del número total de individuos de pinzón vulgar contabilizados anualmente en el Parque Nacional de Doñana

Los estudios de seguimiento realizados en Cataluña y a nivel nacional muestran un incremento poblacional significativo de la especie (Escandell *et al.* 2023, ICO 2025), lo que contrasta con la

tendencia observada en el parque nacional. Se plantea como hipótesis que el deterioro de la masa forestal del parque podría ser el principal factor responsable de la disminución poblacional de la especie, dada la preferencia del pinzón vulgar por este tipo de hábitat.

Descenso moderado

Alcaudón común (*Lanius senator*) Tendencia (2012-2025): -9,9%

Los datos de las últimas campañas de seguimiento indican un **DESCENSO MODERADO**** en la población reproductora del alcaudón común, si se tiene en consideración el año de referencia. Este declive resulta más evidente si se considera el contraste con las abundancias excepcionalmente altas registradas durante 2013 y 2014.

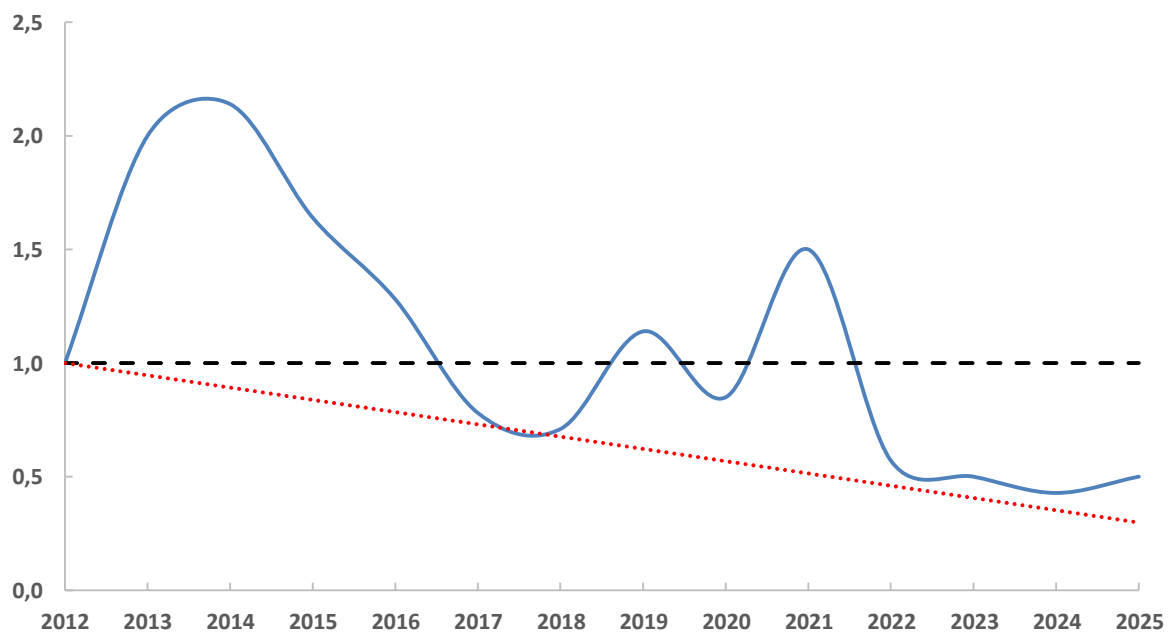


Ilustración 7. Índice de cambio del número total de individuos de alcaudón común contabilizados anualmente en el Parque Nacional de Doñana

La dinámica poblacional encontrada es opuesta a los resultados obtenidos en los programas de seguimiento realizados en Cataluña y a nivel nacional, donde los efectivos reproductores de la especie parecen mantenerse estables en la última década (Escandell *et al.* 2023, ICO 2025).

Se ha sugerido que el cambio climático pueda estar provocando una progresiva disminución de insectos (Sánchez-Bayo y Wyckhuys 2019) y puede ser que esta afección sea especialmente intensa en el parque nacional, traduciéndose en una diferente evolución poblacional con respecto a los otros estudios de seguimiento de aves.

Descenso moderado

Serín verdicillo (*Serinus serinus*) Tendencia (2012-2025): -3,4%

La población reproductora de la especie ha mostrado un descenso gradual y continuo a lo largo del periodo de estudio. Aunque se han observado repuntes leves y temporales en la abundancia, estos no han alcanzado los niveles de campañas anteriores. Los datos confirman una tendencia de **DESCENSO MODERADO***, con una reducción estimada de la población en torno al 35%.

Específicamente, las estimaciones iniciales de 150-160 ejemplares han disminuido a 100-110 individuos en las últimas campañas.

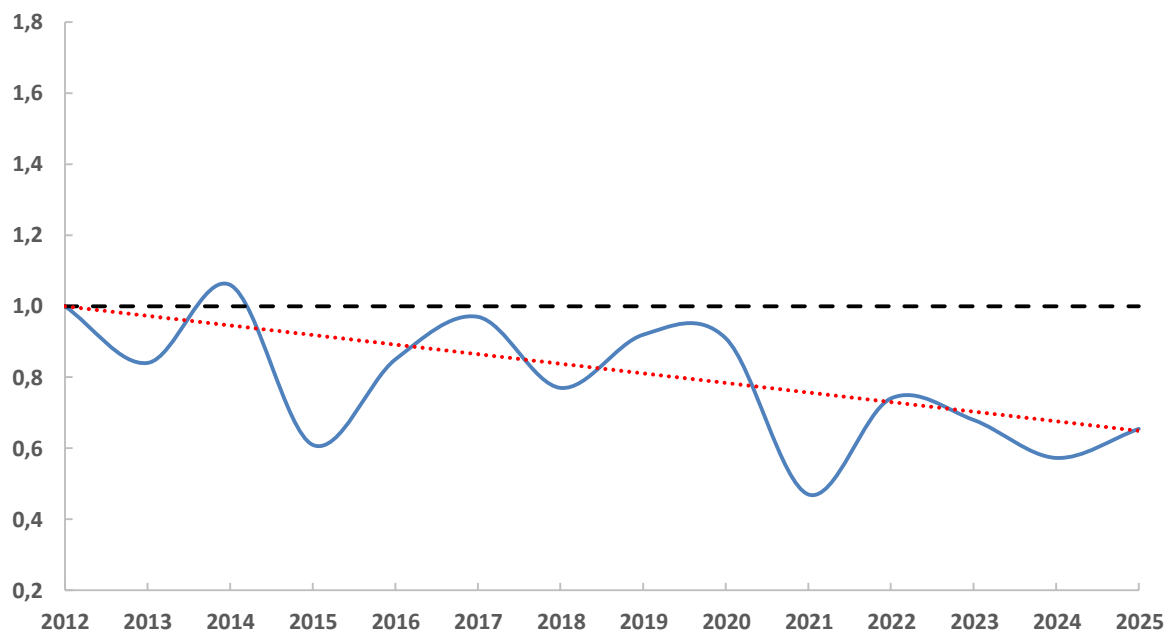


Ilustración 8. Índice de cambio del número total de individuos de serín verdicillo contabilizados anualmente en el Parque Nacional de Doñana

Los programas de seguimiento en Cataluña (ICO 2025) y a nivel nacional (Escandell *et al.* 2023) confirman la misma tendencia poblacional negativa que la observada en este estudio. Por lo tanto, se puede concluir que la evolución de la población podría estar condicionada por factores ambientales de mayor escala geográfica, que van más allá del ámbito del parque.

Estable

Jilguero europeo (*Carduelis carduelis*)

Las fluctuaciones en los valores de abundancia del jilguero europeo presentan un patrón sinuoso. Sin embargo, los registros de los muestreos primaverales se han mantenido consistentemente en el rango de 100-150 individuos por campaña, con oscilaciones interanuales limitadas. Por lo tanto, los datos sugieren una dinámica poblacional **ESTABLE** para la población reproductora de la especie.

La tendencia poblacional del jilguero europeo en los muestreos realizados a nivel nacional y en Cataluña muestra un descenso moderado de su población reproductora (Escandell *et al.* 2023, ICO 2025) si se considera toda la serie temporal (desde el año 1998 y 2002 respectivamente). Sin embargo, al tener en cuenta únicamente la última década (que se ajusta más fielmente al periodo considerado en este estudio) se obtiene estabilidad en tierras catalanas y sigue una tendencia negativa a nivel nacional. Podría considerarse que las fluctuaciones encontradas en el parque nacional ofrecen un patrón particular con respecto a otras poblaciones cercanas.

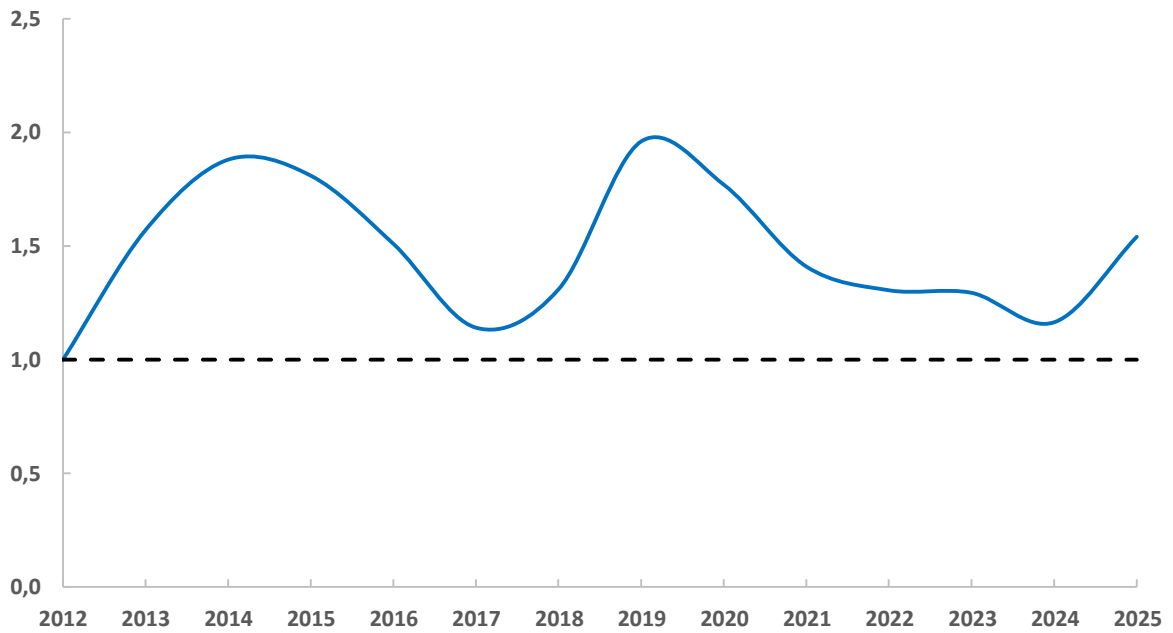


Ilustración 9. Índice de cambio del número total de individuos de jilguero europeo contabilizados anualmente en el Parque Nacional de Doñana

Estable

Rabilargo ibérico (*Cyanopica cookii*)

La abundancia del rabilargo europeo ha mostrado importantes variaciones interanuales, pero con el avance de la serie temporal no se han alejado significativamente de los valores iniciales del año 2012, mostrando una tendencia **ESTABLE**.

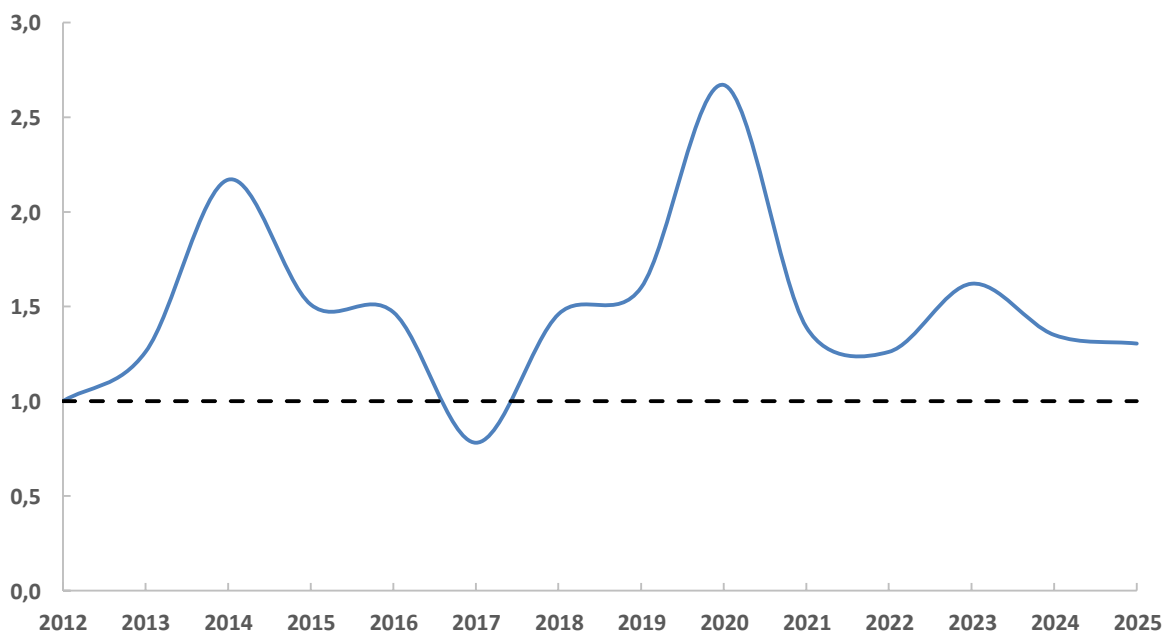


Ilustración 10. Índice de cambio del número total de individuos de rabilargo ibérico contabilizados anualmente en el Parque Nacional de Doñana

A nivel nacional, la población de la especie también se considera estable en la última década (Escandell *et al.* 2023).

Estable

Ruiseñor común (*Luscinia megarhynchos*)

A pesar de las fluctuaciones poblacionales notables observadas en ciertos años, la densidad del ruiseñor común en Doñana se ha mantenido **ESTABLE**. Los datos de abundancia de múltiples campañas son consistentes con el valor inicial registrado en 2012.

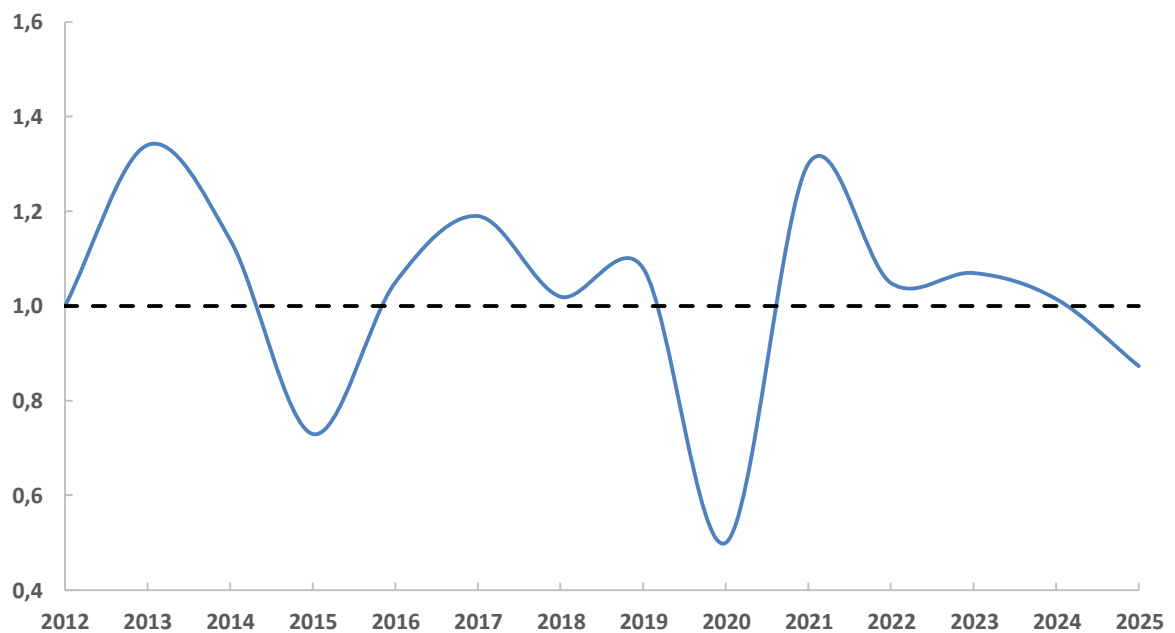


Ilustración 11. Índice de cambio del número total de individuos de ruiseñor común contabilizados anualmente en el Parque Nacional de Doñana

De acuerdo con los programas de seguimiento llevados a cabo en Cataluña y a nivel nacional (Escandell *et al.* 2023, ICO 2025), la especie muestra una evolución positiva, con un incremento moderado de sus efectivos reproductores.

Estable

Carbonero común (*Parus major*)

Los valores de abundancia del carbonero común han permanecido relativamente invariables con respecto a los registros obtenidos al inicio de la serie temporal, exceptuando las densidades elevadas obtenidas en las campañas de 2017 y 2018. De este modo, su evolución poblacional se ajusta a una dinámica **ESTABLE** a lo largo del tiempo.

La estabilidad poblacional de la especie en el parque nacional coincide con las tendencias observadas en programas de seguimiento de Cataluña y a nivel nacional, donde los efectivos reproductores del carbonero común se mantienen sin variaciones significativas (Escandell *et al.* 2023, ICO 2025).

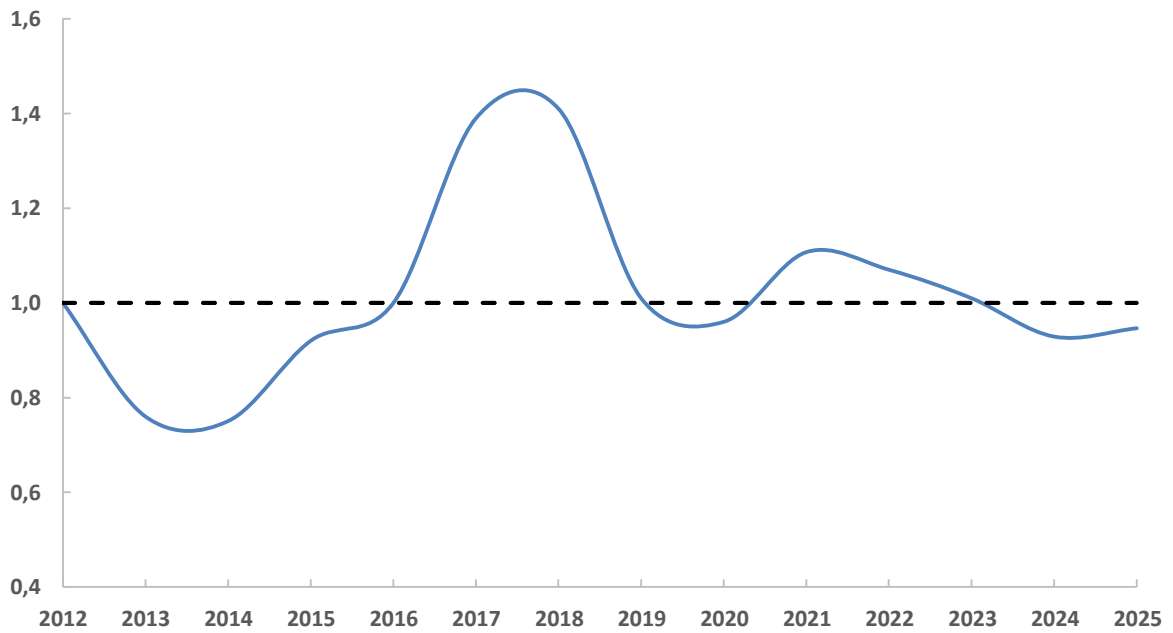


Ilustración 12. Índice de cambio del número total de individuos de carbonero común contabilizados anualmente en el Parque Nacional de Doñana

Estable

Curruca rabilarga (*Sylvia undata*)

A lo largo del periodo de estudio, la especie ha exhibido fluctuaciones notables en su abundancia, con un rango de 59 a 148 individuos entre 2012 y 2025. No obstante, la mayoría de los datos se agrupan en el rango de 80-120 ejemplares, lo que confirma una tendencia poblacional **ESTABLE**.

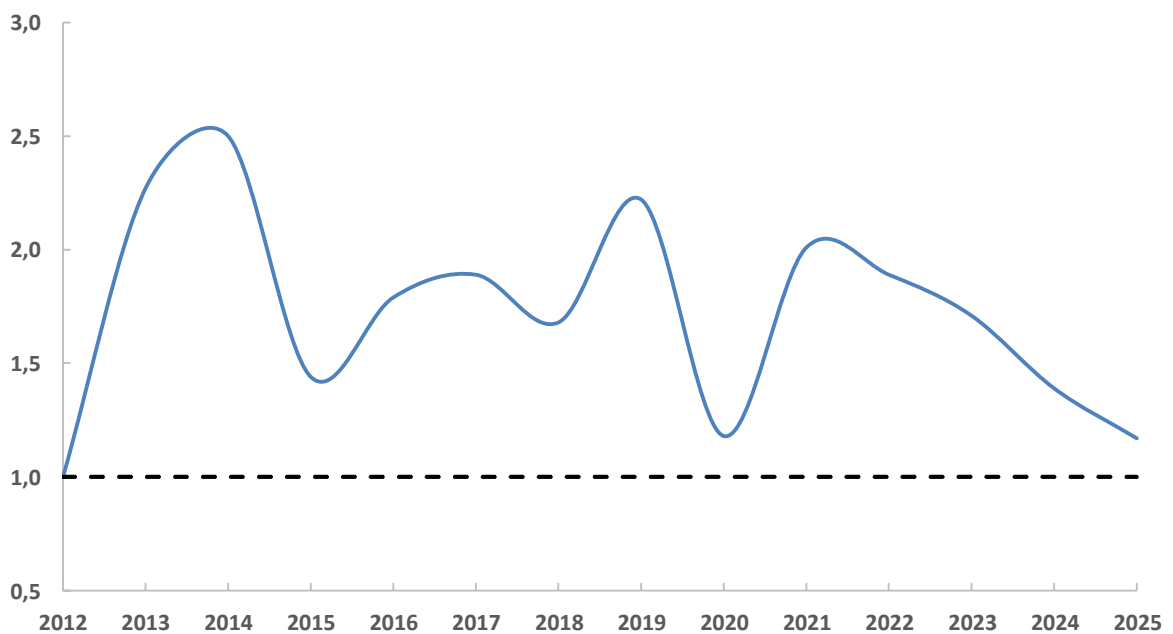


Ilustración 13. Índice de cambio del número total de individuos de curruca rabilarga contabilizados anualmente en el Parque Nacional de Doñana

La dinámica poblacional de la curruca rabilarga en el parque nacional difiere significativamente de las tendencias registradas en otros ámbitos geográficos. Los programas de seguimiento en Cataluña y a nivel nacional indican una evolución claramente negativa de la especie (Escandell *et al* 2023, ICO 2025), lo que sugiere que la población del parque nacional parece mantener un estado de conservación favorable.

Incremento moderado

Verderón común (*Chloris chloris*) Tendencia (2012-2025): +5,4%

El verderón común ofrece unas importantes fluctuaciones de su abundancia en el parque nacional a lo largo de los años, con fuertes incrementos e intensos descensos posteriores. Estos últimos, por lo general, volvían a situarse próximos al valor inicial del año de comparación, pero en las últimas temporadas, las fluctuaciones suelen ser menores y su densidad se mantiene por encima de los de periodos anteriores, ajustándose matemáticamente a una ecuación de **INCREMENTO MODERADO****. Su población actual es prácticamente el doble de la contabilizada al inicio del programa de seguimiento.

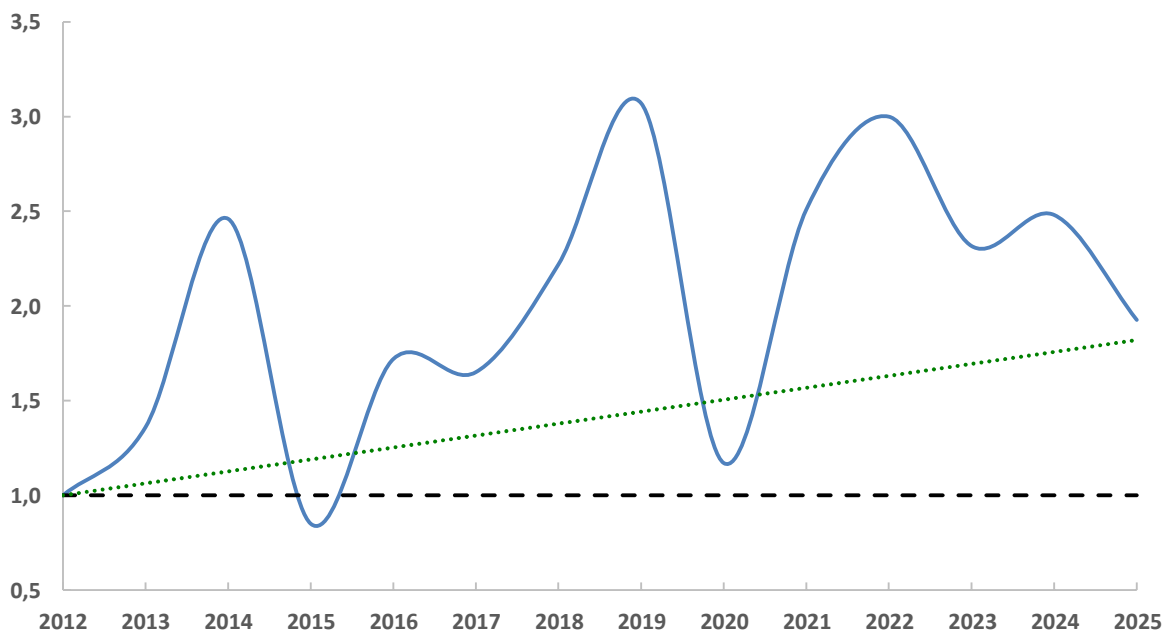


Ilustración 14. Índice de cambio del número total de individuos de verderón común contabilizados anualmente en el Parque Nacional de Doñana

En un periodo similar al aquí analizado, el seguimiento poblacional a largo plazo del verderón común se estima como estable a nivel nacional (Escandell *et al* 2023). Este resultado contrasta con lo observado en otras regiones, como Cataluña, donde los seguimientos muestran un descenso moderado de la población nidificante (ICO 2025).

Este hecho pone de manifiesto que la evolución del verderón común no es uniforme, sino que depende de la localidad, existiendo zonas donde la especie se encuentra en expansión y otras en las que sus poblaciones presentan una tendencia regresiva. En el parque nacional parece que se están dando condiciones para su crecimiento poblacional.

Incremento moderado

Paloma torcaz (*Columba palumbus*) Tendencia (2012-2025): +4,6%

La paloma torcaz presenta una dinámica poblacional muy similar a la descrita con anterioridad, con importantes oscilaciones interanuales que, en ningún caso, se han situado por debajo del valor de referencia inicial. Del mismo modo, las estimas de abundancia se han situado y mantenido por encima del año de comparación en las últimas campañas, de manera que su evolución se ajusta igualmente a un **INCREMENTO MODERADO**** de sus efectivos reproductores.

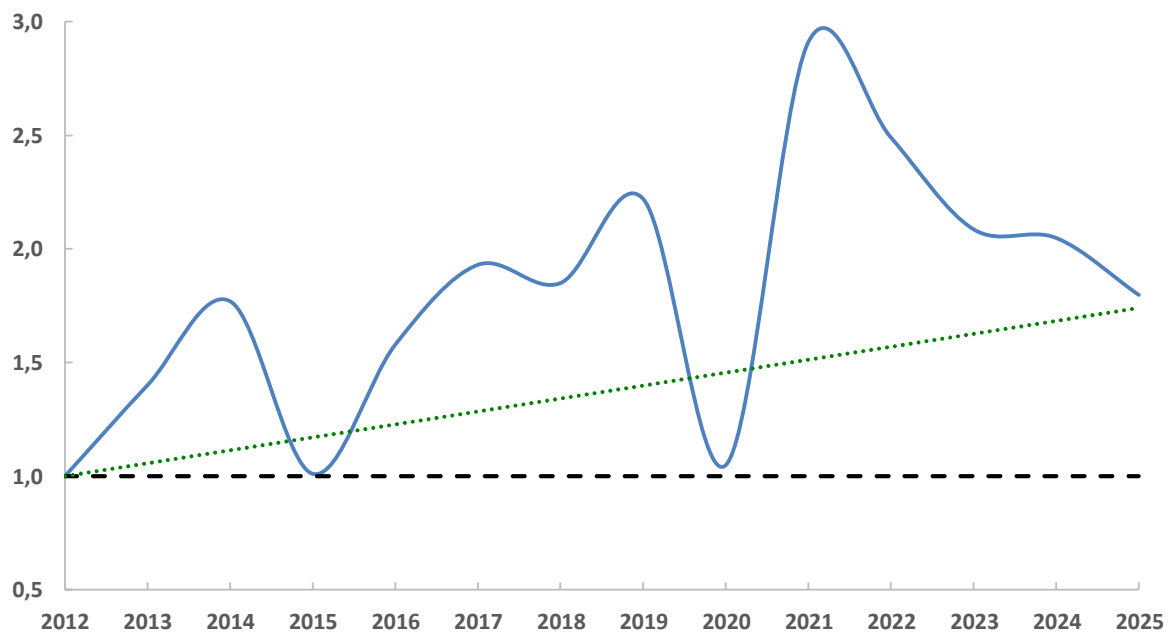


Ilustración 15. Índice de cambio del número total de individuos de paloma torcaz contabilizados anualmente en el Parque Nacional de Doñana

Las últimas estimas de abundancia realizadas este año resultan un 75% superiores a las registradas 14 años atrás.

La tendencia positiva registrada en el parque nacional de Doñana es un fenómeno global de la especie que se encuentra en expansión. Así, tanto en los programas de seguimiento realizados en Cataluña como a escala nacional se observa aumento notable de su población reproductora (Escandell *et al* 2023, ICO 2025).

Incremento moderado

Urraca común (*Pica pica*) Tendencia (2012-2025): +6,8%

Durante los primeros años de la serie temporal, la especie pareció experimentar cierta estabilidad, pero desde la campaña de 2017, cuando se alcanzó la estimación mínima de abundancia, la urraca ha mostrado un **INCREMENTO MODERADO**** de su población reproductora en el parque nacional.

En esta última campaña, el recuento de individuos se ha reducido respecto a las últimas campañas, cuando su población se estimó del orden de más de dos veces la inicial. Los datos de 2025 son algo más discretos, pero implican un aumento poblacional del 56% con respecto al año de comparación.

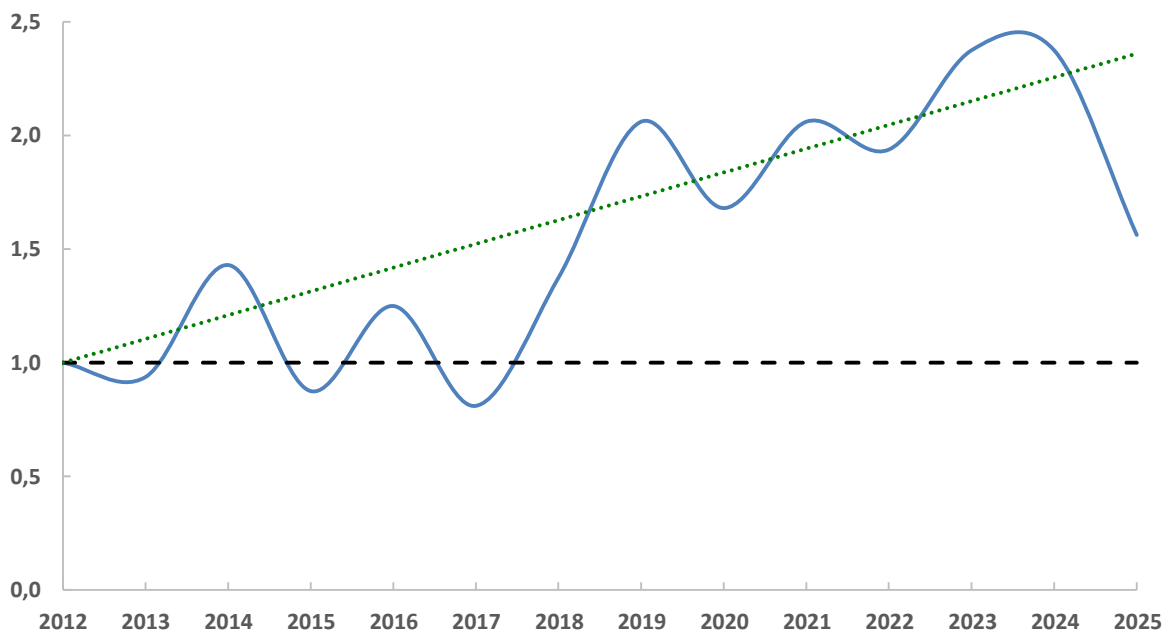


Ilustración 16. Índice de cambio del número total de individuos de urraca común contabilizados anualmente en el Parque Nacional de Doñana

Paradójicamente, los análisis de seguimiento poblacional de la especie a nivel nacional y autonómico no se ajustan a lo encontrado en Doñana. A nivel nacional, sus efectivos reproductores se consideran estables en años recientes (Escandell et al 2023), mientras que en Cataluña la especie muestra signos de descenso poblacional durante la primavera (ICO 2025). Este incremento en el parque nacional podría responder a una mayor presencia de paisajes abiertos con cierta cobertura arbustiva o de arboleda, originados quizás por la ganadería en algunas zonas. En cualquier caso, la evolución de la urraca en Doñana difiere significativamente de lo encontrado en otras zonas geográficas, por lo que las causas últimas deben tener un componente local.

Incremento moderado

Tarabilla común (*Saxicola rubicola*) Tendencia (2012-2025): +8,8%

La tarabilla común muestra un **INCREMENTO MODERADO*** de su población reproductora que se viene confirmando desde 2015 cuando se alcanzaron los valores mínimos de abundancia de la especie en el parque nacional. Desde entonces ha experimentado un crecimiento sostenido, aunque con fluctuaciones acusadas (especialmente en la campaña de 2022), con una tasa de crecimiento cercana al 9% anual.

Las estimas actuales resultan cerca del doble de los recuentos obtenidos al inicio de la serie temporal, pero seis veces superiores a los contabilizados en 2015 (5 ejemplares frente a los 29 de la presente campaña).

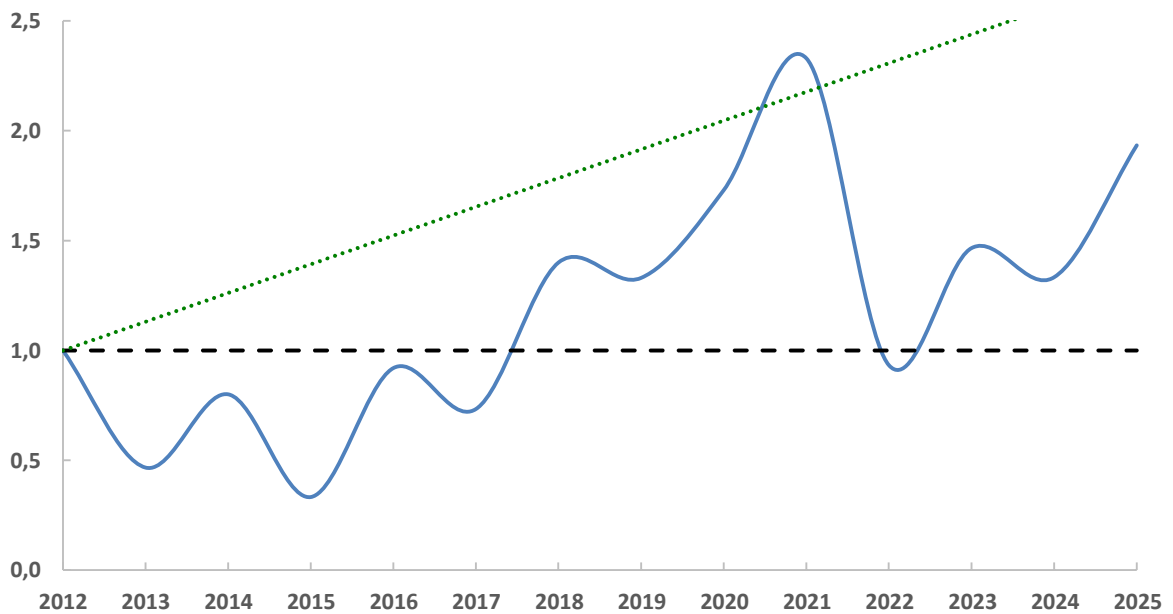


Ilustración 17. Índice de cambio del número total de individuos de tarabilla común contabilizados anualmente en el Parque Nacional de Doñana

A nivel nacional y en Cataluña, la tarabilla se considera estable en primavera (Escandell *et al* 2023, ICO 2025), de manera que las causas de este aumento en Doñana debe responder a factores del propio espacio protegido.

Incremento moderado

Tórtola europea (*Streptopelia turtur*) Tendencia (2012-2025): +12,7%

La tórtola europea también parece estar experimentando un **INCREMENTO MODERADO**** de su población reproductora en el parque nacional.

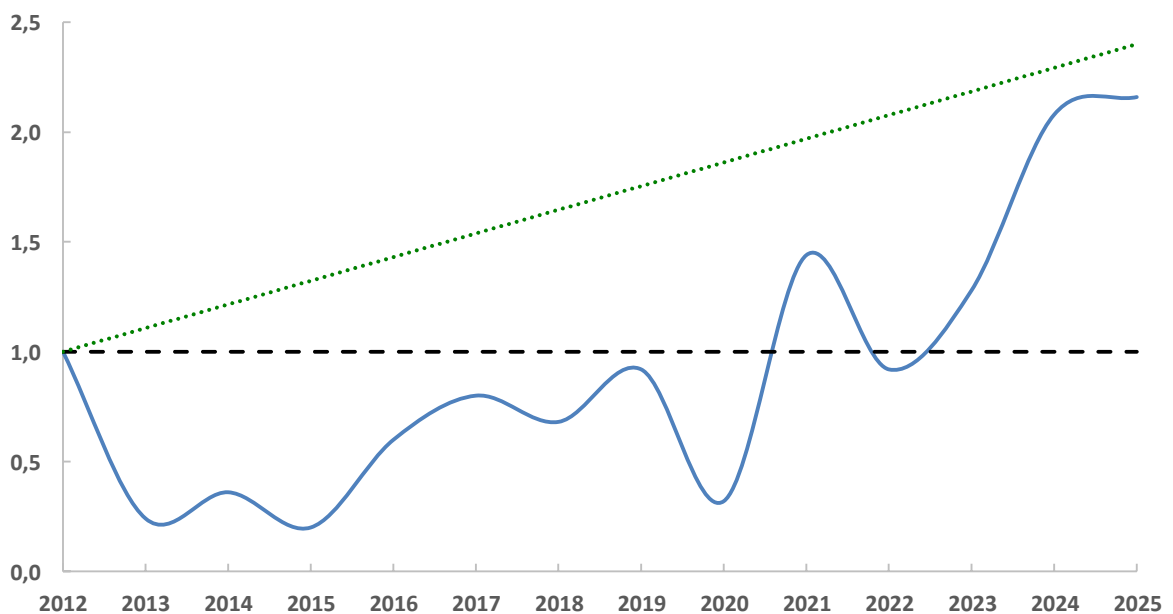


Ilustración 18. Índice de cambio del número total de individuos de tórtola europea contabilizados anualmente en el Parque Nacional de Doñana

En las fases iniciales del programa de seguimiento en el parque nacional, la población se mantuvo en valores relativamente constantes. Posteriormente, y pese a presentar oscilaciones interanuales, se ha registrado una tendencia general de incremento, pasando de aproximadamente 10 individuos en los primeros muestreos a cerca de 50 en la campaña más reciente. Durante la presente primavera, las estimaciones han superado incluso estos valores máximos alcanzados en la temporada anterior.

Este mismo incremento también se ha observado a nivel nacional (Escandell *et al* 2023) probablemente por la veda de caza sobre la especie. En Cataluña esta recuperación no es tan evidente y su población se considera estable en los últimos años (ICO 2025).

Incremento moderado

Curruca cabecinegra (*Sylvia melanocephala*) Tendencia (2012-2025): +3,4%

Aunque las estimas de abundancia de la curruca cabecinegra presentan marcadas oscilaciones interanuales, con valores comprendidos entre los 167 individuos registrados en 2020 y los 319 ejemplares contabilizados en la presente campaña, el análisis conjunto de la serie temporal refleja una tendencia de **INCREMENTO MODERADO****. Este patrón se explica porque, en los últimos años, la población reproductora se ha mantenido de forma más constante en torno a los 300 individuos, frente a los aproximadamente 180 registrados en el año de referencia.

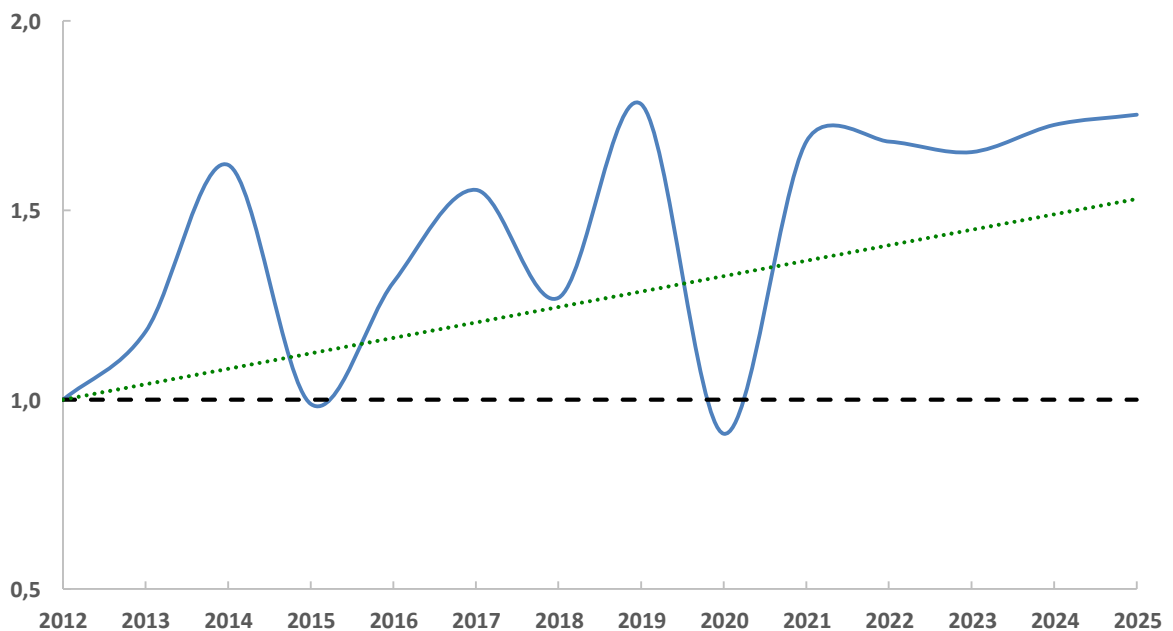


Ilustración 19. Índice de cambio del número total de individuos de curruca cabecinegra contabilizados anualmente en el Parque Nacional de Doñana

En otros programas de seguimiento realizados en la actualidad, la tendencia de la especie se estima como estable (Escandell *et al* 2023, ICO 2025), de manera que su dinámica particular parece ser exclusivamente de ámbito local.

Incremento moderado

Mirlo común (*Turdus merula*) Tendencia (2012-2025): +3,2%

Con la excepción de la estima anormalmente baja registrada en la campaña de 2020, los efectivos reproductores del mirlo común evidencian una tendencia clara de **INCREMENTO MODERADO**** de su población reproductora.

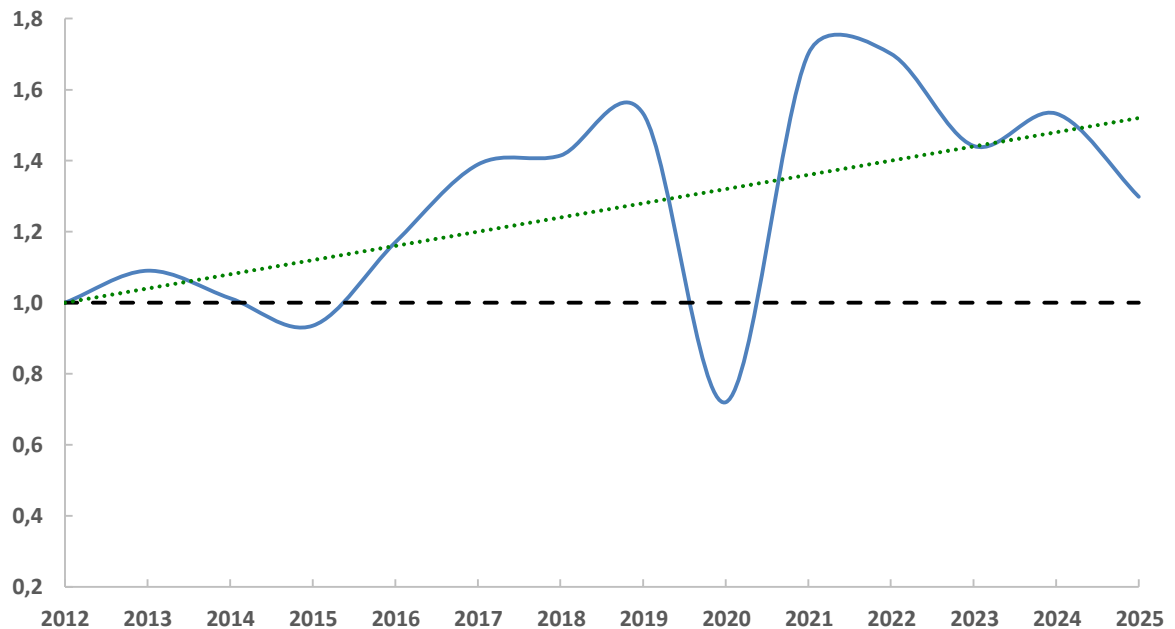


Ilustración 20. Índice de cambio del número total de individuos de mirlo común contabilizados anualmente en el Parque Nacional de Doñana

La estima de la presente campaña, ligeramente inferior a las cuatro anteriores, ya resulta ser un 30% superior a la registrada al inicio de la serie temporal, sugiriendo esta dinámica positiva de la especie.

En Cataluña los datos del mirlo común sugieren estabilidad de su población reproductora (ICO 2025). Podría tratarse de una evolución particular del parque nacional, aunque no puede confirmarse por completo ya que la tendencia es igualmente positiva a la aquí descrita a nivel estatal, registrándose un incremento moderado de sus efectivos en primavera (Escandell *et al* 2023).

Tendencia por hábitats

En el Parque Nacional de Doñana el hábitat principal donde se ubican los puntos de muestreo es el dominado por la masa de arbolado (47 puntos). En menor medida están representados los enclaves arbustivos (17) y acuáticos (16).

El hábitat acuático muestra importantes fluctuaciones interanuales en el número de especies de aves que se registran cada temporada, probablemente un aspecto que está estrechamente relacionado con el mayor o menor nivel de agua que puede, a su vez, atraer a un número diferente de taxones. No obstante, a pesar de estas oscilaciones, la riqueza de especies se

mantiene dentro de unos límites relativamente constantes, ajustándose estadísticamente a una dinámica ESTABLE.

Las variaciones anuales en el resto de los hábitats son notablemente inferiores, como consecuencia de una mayor estabilidad del ecosistema. Los valores de riqueza específica se diferencian poco del obtenido en el año de referencia, de manera que, tanto en los ambientes forestales como arbustivos la variable permanece ESTABLE.

Esta estabilidad en los diferentes hábitats sugiere, por lo tanto, que todos ellos mantienen un estado de conservación similar con respecto al inicio de los muestreos.

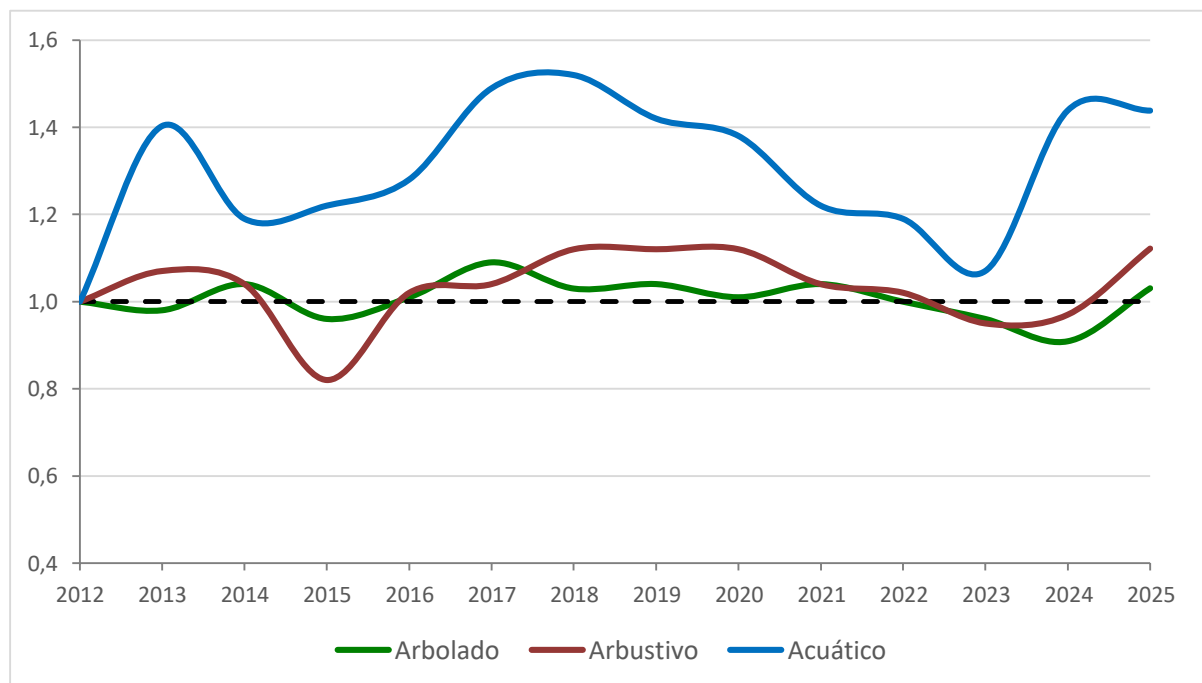


Ilustración 21. Índice de cambio del número especies contabilizadas anualmente en los distintos hábitats del Parque Nacional de Doñana

Las fluctuaciones detectadas en el hábitat acuático resultan todavía más notorias cuando se analiza el número total de ejemplares contabilizados entre 2012 y 2025. En este sentido, la abundancia registrada en cada campaña viene marcada, en gran medida, por la dinámica de las aves acuáticas.

Estas especies pueden concentrarse en el área de estudio en forma de pequeños grupos en algunos años o, por el contrario, aparecer en grandes agregaciones que multiplican de manera repentina los conteos anuales, todo ello estrechamente relacionado con la superficie inundada en el parque nacional. Un ejemplo ilustrativo lo constituye la presencia del morito (*Plegadis falcinellus*), cuya abundancia ha variado de manera extrema; en la campaña actual se han censado más de 1.400 individuos, mientras que en el año precedente apenas se registraron 380.

Este tipo de episodios se repite con otras especies acuáticas y explica que la variabilidad interanual en este hábitat sea mucho más acusada que en otros medios analizados.

Como consecuencia, y pese a disponer de una serie temporal relativamente amplia, la tendencia estadística derivada para el hábitat acuático no permite establecer una dirección clara de evolución poblacional. La elevada irregularidad de los registros hace que la tendencia global de

este grupo se catalogue como INCIERTA, reflejando la fuerte dependencia de factores externos como la disponibilidad de agua, la productividad del ecosistema o las condiciones meteorológicas de cada temporada.

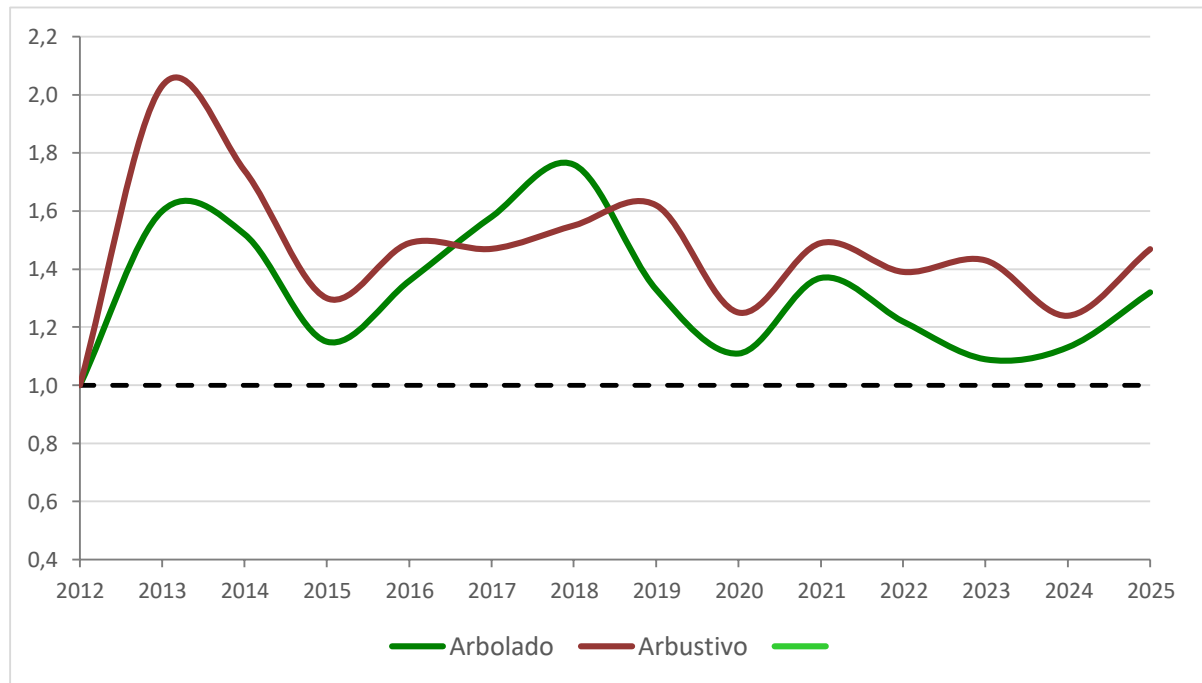


Ilustración 22. Índice de cambio del número total de individuos contabilizados anualmente en los distintos hábitats del Parque Nacional de Doñana

En contraste con lo observado en el medio acuático, los hábitats arbolado y arbustivo presentan una mayor estabilidad en sus características ecológicas, lo que se traduce en una menor variabilidad en la abundancia total de aves. En ambos casos, los valores de densidad se mantienen prácticamente constantes a lo largo de la serie temporal, por lo que su evolución poblacional se califica como **ESTABLE**.

Cuando se seleccionan aves representativas de distintos ambientes; forestales (agateador común, herrerillo capuchino y papamoscas gris), arbustivos (perdiz roja, terrera común, cogujada montesina y escribano triguero) y acuáticos (ruiseñor bastardo, cistícola buitrón y lavandera boyera) los resultados obtenidos reproducen de manera general las mismas pautas descritas previamente en el análisis global por hábitats. En el caso de las especies vinculadas a humedales, se observa una marcada variabilidad interanual en los índices de abundancia. Estas fluctuaciones, de gran amplitud y sin un patrón definido a largo plazo, dificultan la identificación de una tendencia clara, por lo que quedan clasificadas en la categoría de tendencia INCIERTA. Como se mencionó con anterioridad, este comportamiento podría estar asociado a la propia dinámica de los hábitats acuáticos, que son altamente sensibles a factores externos como la disponibilidad hídrica, lo cual repercute de manera inmediata en las poblaciones de aves que dependen de ellos.

En cambio, las especies seleccionadas como representativas de ambientes forestales y arbustivos muestran una mayor estabilidad en sus poblaciones a lo largo de la serie temporal considerada. Los índices de abundancia se mantienen relativamente constantes, sin grandes oscilaciones interanuales, lo que permite clasificarlas estadísticamente como poblaciones de dinámica **ESTABLE**. Esta homogeneidad se explica en parte por la mayor constancia ecológica de los hábitats

arbolados y arbustivos, donde los cambios estructurales y de disponibilidad de recursos son más graduales que en los humedales.

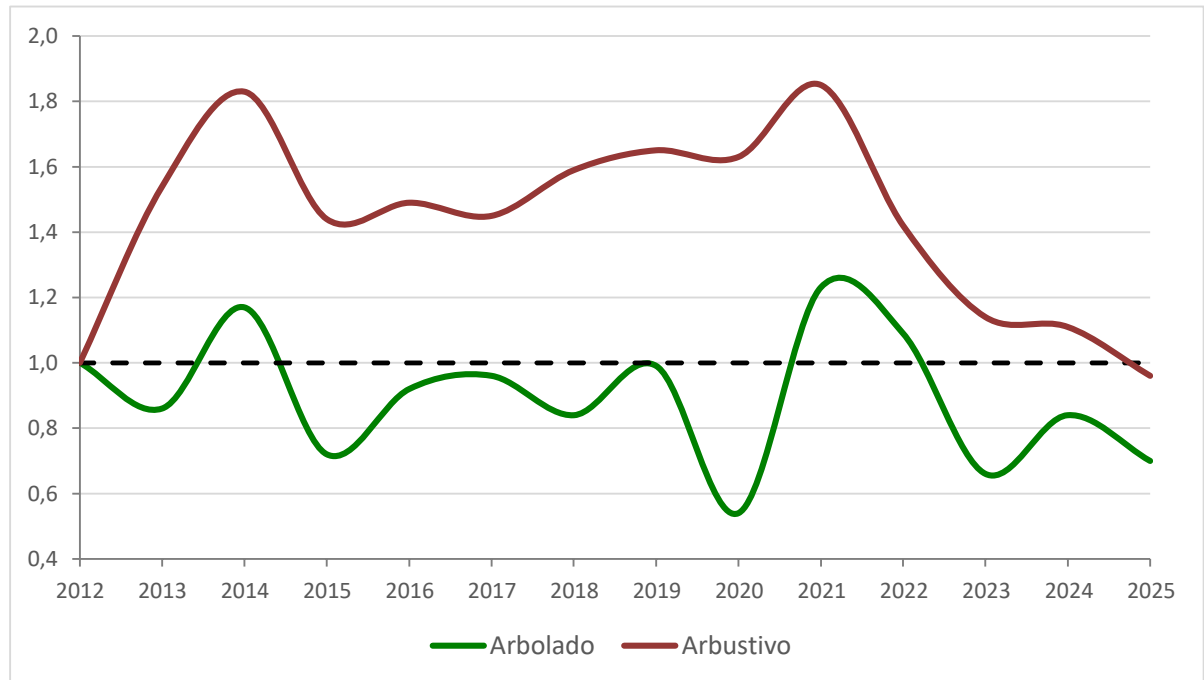


Ilustración 23. Índice de cambio del número total de individuos de especies representativas de los distintos hábitats del Parque Nacional de Doñana (véase texto para más detalles).

No obstante, resulta relevante destacar que, en los últimos años de seguimiento, particularmente a partir de la campaña de 2021, se ha detectado un ligero, pero constante descenso en las densidades de estas especies forestales y arbustivas (Ilustración 19). Aunque la magnitud de esta disminución no es suficiente para modificar su clasificación de tendencia en el presente análisis, sí constituye un indicio que requiere especial atención. Será necesario mantener los programas de seguimiento poblacional con el fin de determinar si se trata de una anomalía coyuntural vinculada a factores específicos de corto plazo (como condiciones climáticas adversas o cambios locales en la estructura del hábitat) o si, por el contrario, estamos ante el inicio de un cambio poblacional sostenido que podría conducir a un deterioro en su estatus de conservación.

Parque Nacional de Sierra Nevada

En el transcurso de los muestreos primaverales de aves realizados en el Parque Nacional de Sierra Nevada se registró la presencia de 62 especies diferentes, con un total de 1.857 individuos contabilizados. Las especies más abundantes fueron el vencejo común, seguido por el pinzón vulgar, la alondra común y el pardillo común, que en conjunto concentraron una proporción significativa del total de aves detectadas.

Tabla 2. Especies y número de individuos contabilizados en el Parque Nacional de Sierra Nevada en la primavera de 2025.

| NOMBRE CIENTÍFICO | NOMBRE COMÚN | INDIVIDUOS |
|------------------------------|------------------------|------------|
| <i>Aegithalos caudatus</i> | Mito común | 29 |
| <i>Alauda arvensis</i> | Alondra común | 140 |
| <i>Alectoris rufa</i> | Perdiz roja | 8 |
| <i>Anthus campestris</i> | Bisbita campestre | 19 |
| <i>Apus apus</i> | Vencejo común | 205 |
| <i>Aquila chrysaetos</i> | Águila real | 4 |
| <i>Athene noctua</i> | Mochuelo europeo | 1 |
| <i>Buteo buteo</i> | Busardo ratonero | 1 |
| <i>Carduelis carduelis</i> | Jilguero europeo | 31 |
| <i>Certhia brachydactyla</i> | Agateador europeo | 9 |
| <i>Chloris chloris</i> | Verderón común | 2 |
| <i>Circaetus gallicus</i> | Culebrera europea | 2 |
| <i>Columba palumbus</i> | Paloma torcaz | 75 |
| <i>Corvus corax</i> | Cuervo grande | 1 |
| <i>Cuculus canorus</i> | Cuco común | 6 |
| <i>Cyanistes caeruleus</i> | Herrerillo común | 18 |
| <i>Delichon urbicum</i> | Avión común | 19 |
| <i>Dendrocopos major</i> | Pico picapinos | 5 |
| <i>Emberiza calandra</i> | Escribano triguero | 3 |
| <i>Emberiza cia</i> | Escribano montesino | 91 |
| <i>Emberiza cirrus</i> | Escribano soteño | 5 |
| <i>Emberiza hortulana</i> | Escribano hortelano | 19 |
| <i>Erithacus rubecula</i> | Petirrojo europeo | 2 |
| <i>Falco tinnunculus</i> | Cernícalo vulgar | 12 |
| <i>Fringilla coelebs</i> | Pinzón vulgar | 170 |
| <i>Galerida theklae</i> | Cogujada montesina | 2 |
| <i>Garrulus glandarius</i> | Arrendajo euroasiático | 10 |
| <i>Gypaetus barbatus</i> | Quebrantahuesos | 1 |
| <i>Gyps fulvus</i> | Buitre leonado | 18 |
| <i>Hieraaetus pennatus</i> | Águila calzada | 7 |
| <i>Hirundo rustica</i> | Golondrina común | 27 |
| <i>Linaria cannabina</i> | Pardillo común | 161 |
| <i>Lophophanes cristatus</i> | Herrerillo capuchino | 8 |

| NOMBRE CIENTÍFICO | NOMBRE COMÚN | INDIVIDUOS |
|--------------------------------|----------------------|------------|
| <i>Loxia curvirostra</i> | Piquituerto común | 12 |
| <i>Lullula arborea</i> | Alondra totovía | 17 |
| <i>Luscinia megarhynchos</i> | Ruiseñor común | 1 |
| <i>Merops apiaster</i> | Abejaruco europeo | 18 |
| <i>Monticola saxatilis</i> | Roquero rojo | 3 |
| <i>Muscicapa striata</i> | Papamoscas gris | 1 |
| <i>Oenanthe leucura</i> | Collalba negra | 1 |
| <i>Oenanthe oenanthe</i> | Collalba gris | 102 |
| <i>Parus major</i> | Carbonero común | 41 |
| <i>Passer domesticus</i> | Gorrión común | 14 |
| <i>Periparus ater</i> | Carbonero garrapinos | 94 |
| <i>Petronia petronia</i> | Gorrión chillón | 8 |
| <i>Phoenicurus ochruros</i> | Colirrojo tizón | 34 |
| <i>Phylloscopus bonelli</i> | Mosquitero papialbo | 16 |
| <i>Pica pica</i> | Urraca común | 11 |
| <i>Picus sharpei</i> | Pito real ibérico | 4 |
| <i>Prunella collaris</i> | Acentor alpino | 8 |
| <i>Ptyonoprogne rupestris</i> | Avión roquero | 96 |
| <i>Pyrhacorax pyrrhocorax</i> | Chova piquirroja | 68 |
| <i>Regulus ignicapilla</i> | Reyezuelo listado | 12 |
| <i>Saxicola rubicola</i> | Tarabilla europea | 34 |
| <i>Serinus serinus</i> | Serín verdicillo | 38 |
| <i>Sitta europaea</i> | Trepador azul | 1 |
| <i>Sylvia conspicillata</i> | Curruca tomillera | 17 |
| <i>Sylvia melanocephala</i> | Curruca cabecinegra | 11 |
| <i>Sylvia undata</i> | Curruca rabilarga | 14 |
| <i>Troglodytes troglodytes</i> | Chochín paleártico | 33 |
| <i>Turdus merula</i> | Mirlo común | 32 |
| <i>Turdus viscivorus</i> | Zorzal charlo | 5 |

Tendencias generales

El número de especies distintas que se identifican anualmente en el parque nacional muestra un **DESCENSO MODERADO****, con una tasa promedio de pérdida del 2,1% anual. Hasta la temporada del 2017 los valores fueron relativamente similares al año de comparación, con las fluctuaciones propias de una dinámica poblacional. A partir de esa campaña, el valor de diversidad cayó aproximadamente un 20% y no ha vuelto a recuperar los valores iniciales desde entonces, por lo que su evolución es negativa.

Algunas especies presentes en los primeros años de seguimiento, como el águila perdicera, el escribano soteño, la cogujada montesina, la collalba rubia o la oropéndola europea, han dejado de ser habituales en los muestreos más recientes.

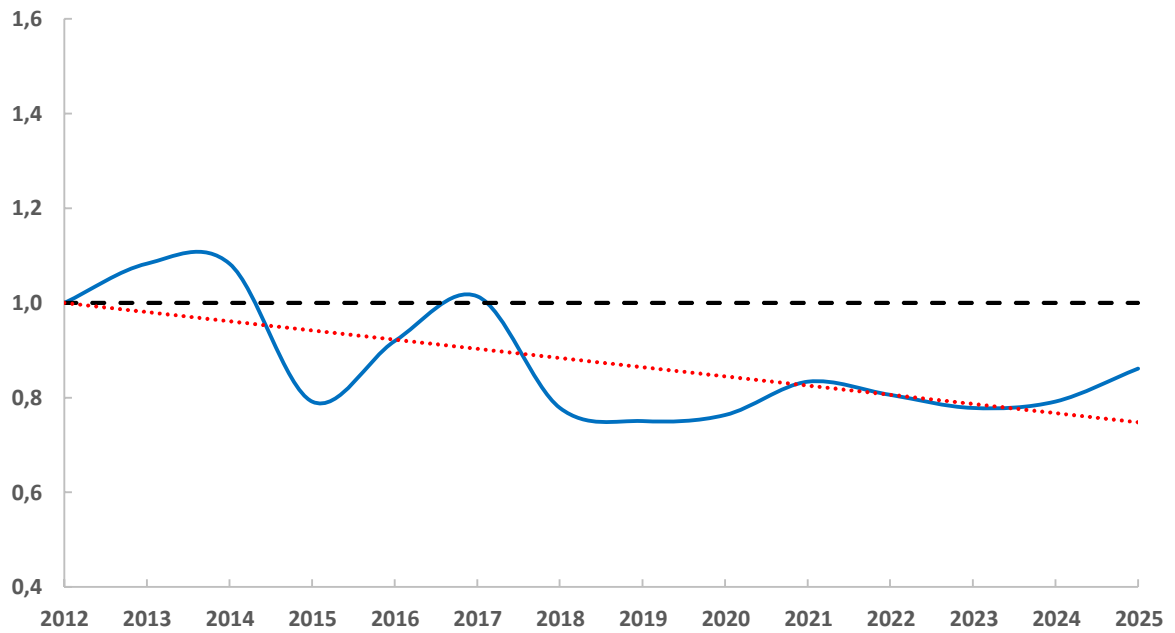


Ilustración 24. Índice de cambio del número total de especies detectadas anualmente en el Parque Nacional de Sierra Nevada

Al igual que la diversidad de especies, el parque nacional también muestra un **DESCENSO MODERADO**** en la abundancia total de individuos, con una pérdida de efectivos reproductores estimada del 2,3% anual.

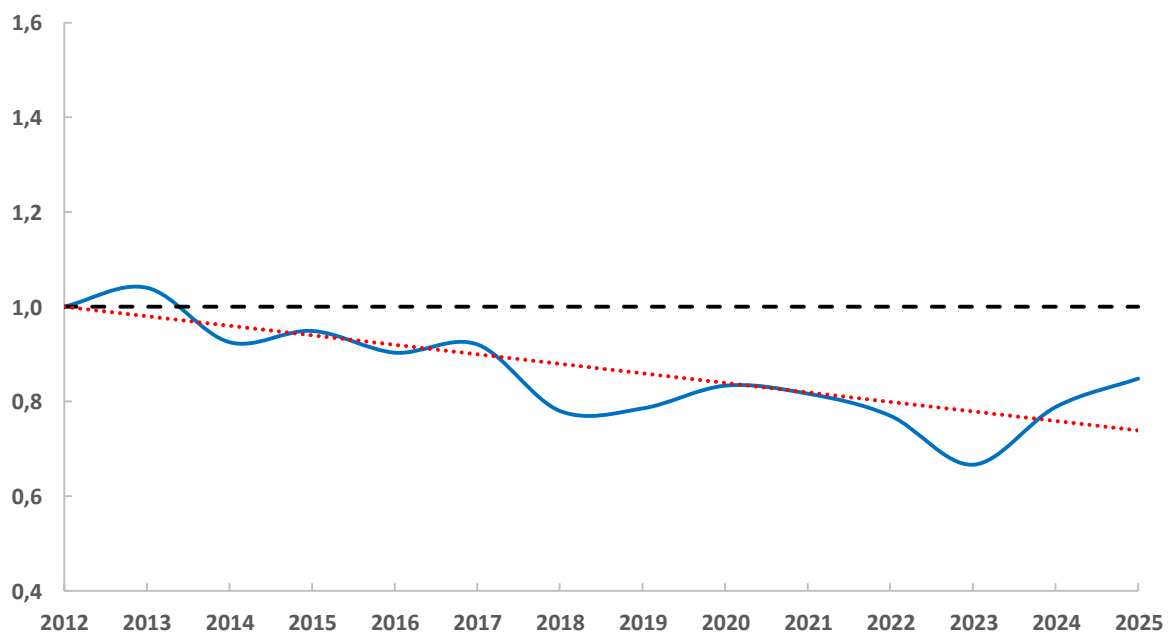


Ilustración 25. Índice de cambio del número total de individuos detectados anualmente en el Parque Nacional de Sierra Nevada

La densidad de aves muestra una reducción constante y gradual de manera que, aunque en estas dos últimas campañas parece existir un leve repunte, no se ha logrado alcanzar los valores iniciales. Las estimas de la presente campaña representan un 84% de las que se obtuvieron en el año de referencia.

Tendencia por especies

Se dispone de datos suficientes de abundancia primaveral para 42 especies de aves presentes en el Parque Nacional de Sierra Nevada, lo que permite analizar su dinámica poblacional. De ellas, 11 taxones muestran una tendencia de descenso moderado y 2 especies evidencian un fuerte descenso. Solo una especie, la collalba gris, presenta un incremento moderado, mientras que en seis especies se ha constatado una tendencia poblacional estable. En el resto de los taxones (34 en total), la tendencia resulta incierta, probablemente debido a las elevadas fluctuaciones interanuales que dificultan la detección de patrones consistentes de cambio poblacional.

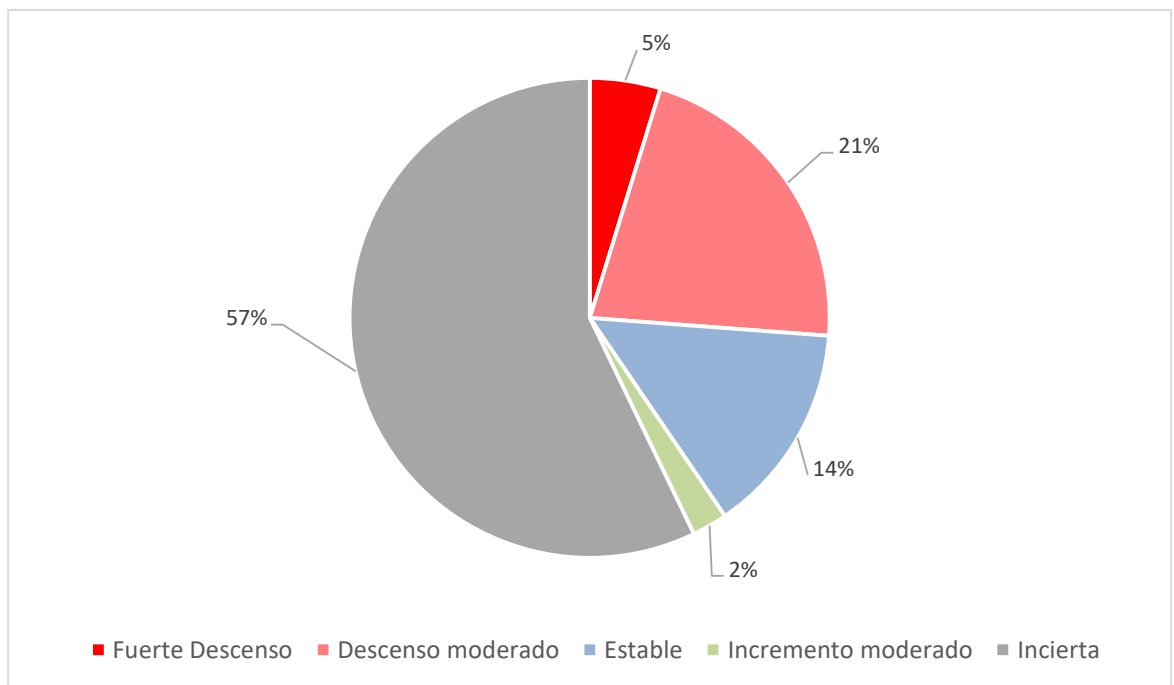


Ilustración 26. Proporción de tendencias poblacionales obtenidas en el Parque Nacional de Sierra Nevada

A continuación, se muestran las especies que mostraron variaciones poblacionales estadísticamente significativas según su tendencia.

Fuerte descenso

Piquituerto común (*Loxia curvirostra*) Tendencia (2012-2025): -13,9%

La dinámica poblacional del piquituerto común en el parque nacional mostró importantes oscilaciones interanuales en los primeros años de seguimiento, calificando como de evolución incierta. Pero en las últimas campañas, las estimas han sido más regulares y con una fluctuación menor. Estas estimas están siendo significativamente menores que las obtenidas en el año de comparación, reflejando una rápida disminución, de manera que los datos se ajustan estadísticamente a un **FUERTE DESCENSO***.

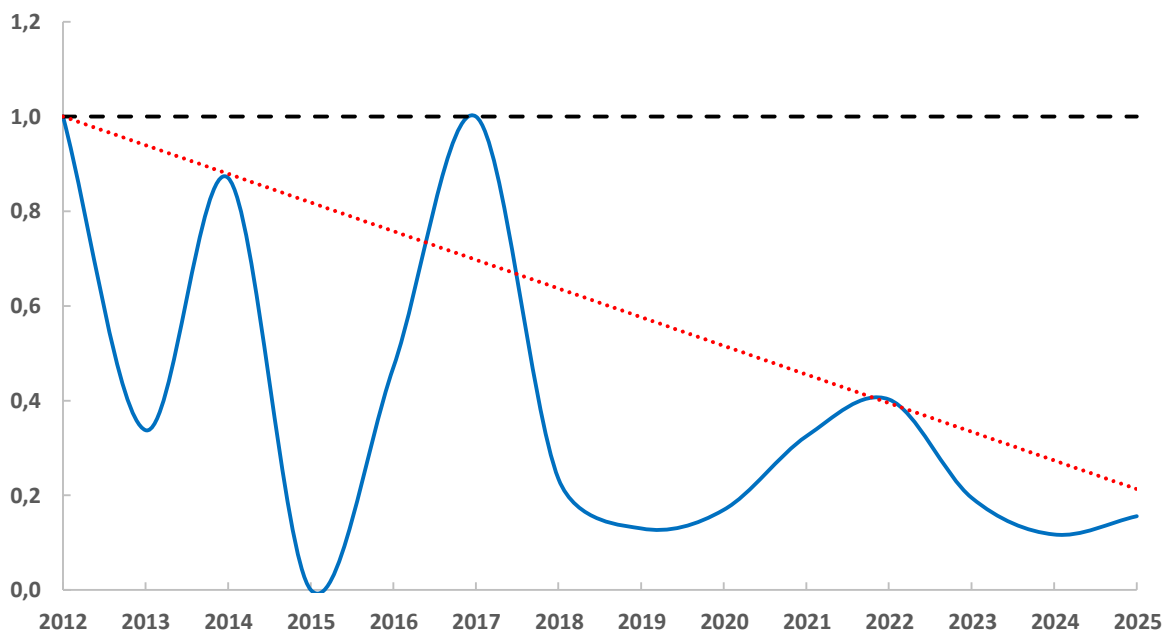


Ilustración 27. Índice de cambio del número total de individuos de piquituerto común contabilizados anualmente en el Parque Nacional de Sierra Nevada

Actualmente, las estimas de la especie resultan ser cerca de un 85% menor a las registradas en el primer año de seguimiento.

A nivel nacional, el estudio a largo plazo realizado sobre la especie muestra una tendencia incierta, pero en el caso concreto de Cataluña, también se obtiene una pérdida moderada de efectivos reproductores, aunque en este caso de menor intensidad, más moderada (ICO 2025). Por lo tanto, no es descartable que la evolución de la especie en el parque nacional sea el reflejo de un proceso más general.

Fuerte descenso

Petirrojo europeo (*Erithacus rubecula*) Tendencia (2012-2025): -15,1%

Las estimas iniciales de abundancia del petirrojo europeo se encuentran muy por encima de las obtenidas en estas últimas campañas. En el año de referencia, por ejemplo, se contabilizaron 18 individuos (o 20 ejemplares en 2015) mientras que desde el año 2018 hasta la actualidad no se ha superado la media docena de aves por temporada. En esta campaña en concreto, se ha registrado únicamente dos individuos, de manera que, con respecto al primer muestreo, su población en el Parque Nacional de Sierra Nevada se ha reducido cerca de un 90%.

Este retroceso se ha producido en un corto espacio de tiempo y es de gran intensidad, de manera que su evolución en el periodo analizado presenta una tendencia de **FUERTE DESCENSO***.

La tendencia observada en este estudio contrasta con la registrada en otros programas de seguimiento de aves. Tanto a escala nacional como en Cataluña, el petirrojo europeo muestra signos claros de expansión poblacional, con incrementos moderados en su contingente reproductor (Escandell *et al.* 2023, ICO 2025). Por tanto, la evolución de la especie en este espacio protegido resulta atípica en comparación con el patrón general y, por lo tanto, debe responder a factores intrínsecos del parque nacional.

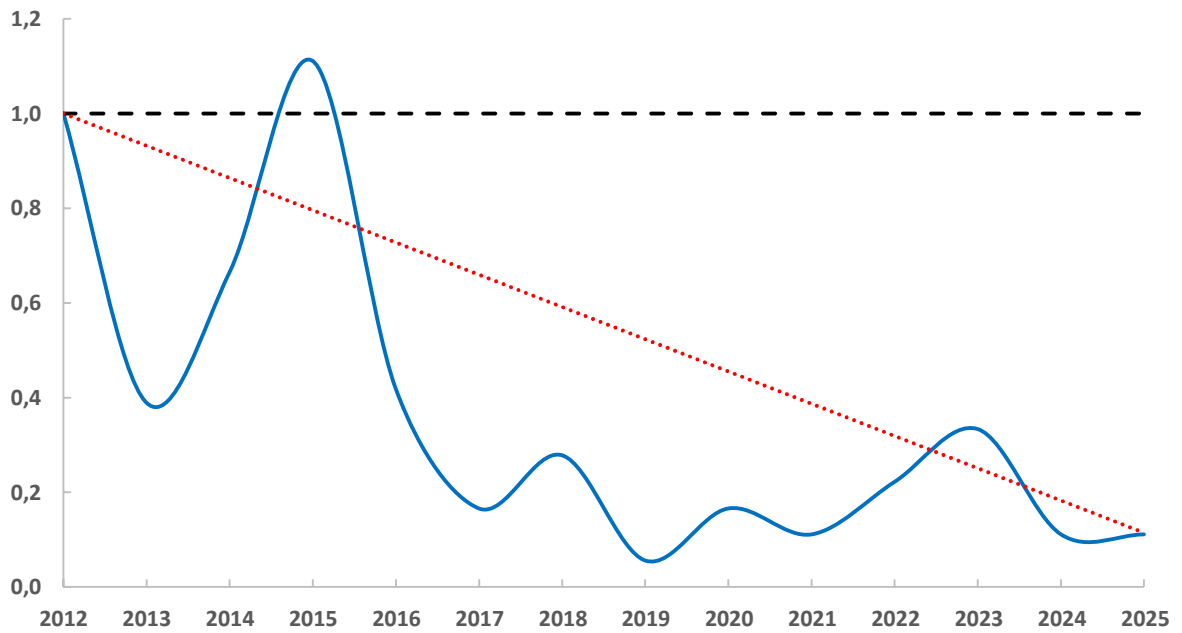


Ilustración 28. Índice de cambio del número total de individuos de petirrojo europeo contabilizados anualmente en el Parque Nacional de Sierra Nevada

Descenso moderado

Perdiz roja (*Alectoris rufa*) Tendencia (2012-2025): -9,8%

La perdiz roja está experimentando un **DESCENSO MODERADO**** de su población reproductora en el parque nacional.

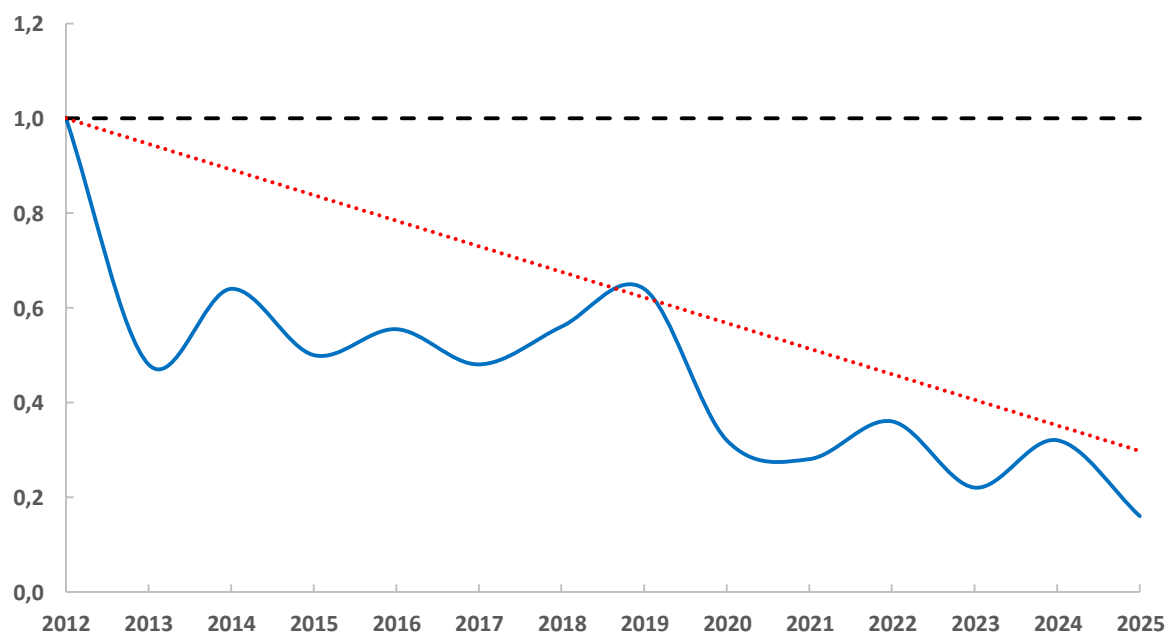


Ilustración 29. Índice de cambio del número total de individuos de perdiz roja contabilizados anualmente en el Parque Nacional de Sierra Nevada

En 2013 se produjo una caída significativa en el número de aves registradas durante los muestreos con respecto al año anterior de comparación. Desde entonces, aunque de manera

más gradual y con ciertas fluctuaciones interanuales, su densidad no ha hecho más que descender. El número de perdices rojas contabilizadas en el presente año supone cerca de un 16% de las obtenidas en el año de referencia (y un 33% con respecto a las estimas de 2013).

La evolución observada en este trabajo parece alinearse con los resultados obtenidos en los programas de muestreo realizados en Cataluña y a nivel nacional. Si bien es cierto que, en ambos trabajos, la tendencia de la especie es incierta en la última década, si se considera la serie temporal desde sus inicios (1998 a nivel nacional y 2002 en Cataluña), ambos encuentran un descenso moderado de la especie (Escandell *et al* 2023, ICO 202), por lo que se podría pensar que la tendencia regresiva de la especie podría responder a factores metapoblacionales.

Descenso moderado

Bisbita campestre (*Anthus campestris*) Tendencia (2012-2025): -10,8%

La especie ha mostrado fuertes oscilaciones poblacionales a lo largo de la serie temporal, especialmente en los primeros años. Sin embargo, desde 2018 su densidad se ha mantenido muy por debajo de los valores iniciales y, aunque han existido ciertos repuntes, en ningún momento se han mantenido en el tiempo, no recuperándose esos primeros registros. En este sentido, la especie se ajusta a un **DESCENSO MODERADO*** de su contingente reproductor en el parque nacional.

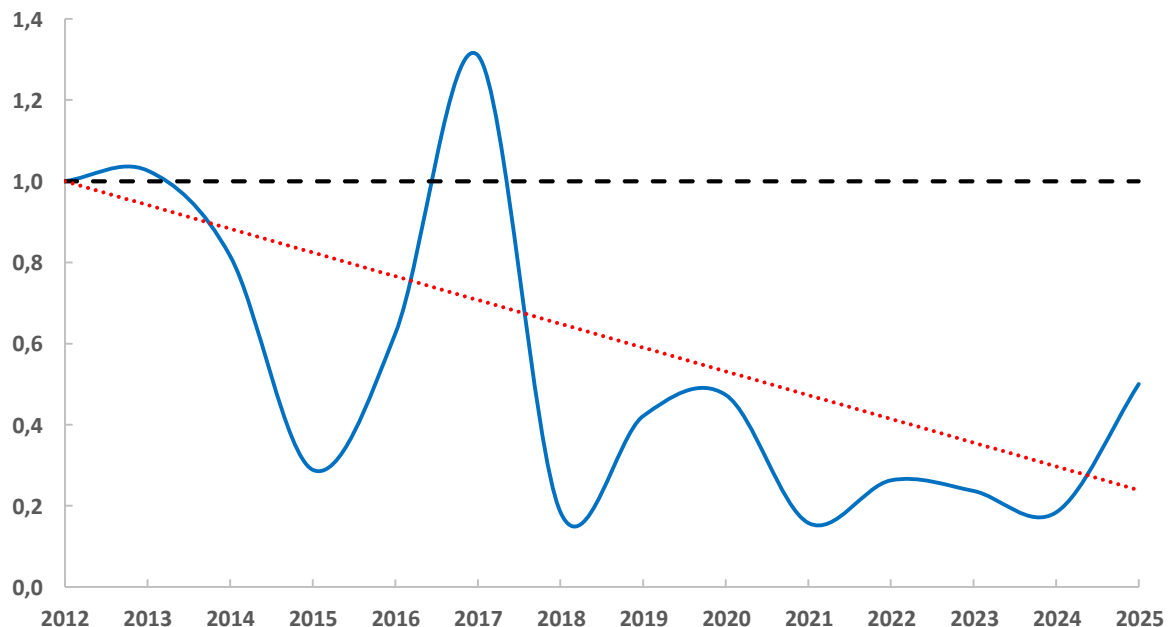


Ilustración 30. Índice de cambio del número total de individuos de bisbita campestre contabilizados anualmente en el Parque Nacional de Sierra Nevada

El muestreo de la presente campaña ha registrado la mitad de los ejemplares contabilizados al inicio del periodo de estudio.

La tendencia observada en el parque nacional concuerda con la evolución poblacional registrada para la especie tanto a nivel nacional como en Cataluña, donde también se ha documentado un descenso en la abundancia reproductora (Escandell *et al* 2023, ICO 2025), indicando que se

trataría de factores que afectan al conjunto de la población y no a causas intrínsecas del espacio protegido.

Descenso moderado

Agateador europeo (*Certhia brachydactyla*) Tendencia (2012-2025): -10,2%

El agateador europeo experimentó ciertas oscilaciones iniciales en su abundancia, con una tendencia aparente hacia el incremento poblacional, al menos hasta el año 2017, cuando se alcanzó su máxima densidad con 36 individuos contabilizados.

Sin embargo, en 2018 existió un significativo descenso de su densidad, que se ha hecho cada vez más patente con el transcurso de los años. En 2025 se han contabilizado 9 ejemplares frente a los 28 del año 2012, lo que supone una reducción cercana al 70%. En base a esta dinámica poblacional, la especie muestra un **DESCENSO MODERADO****.

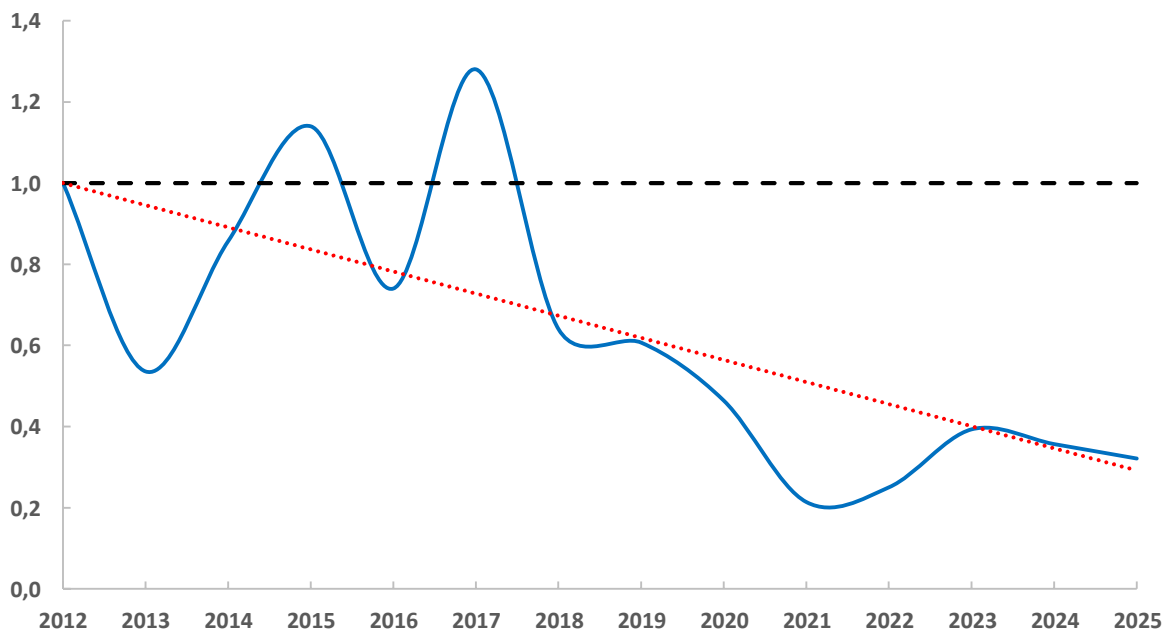


Ilustración 31. Índice de cambio del número total de individuos de agateador europeo contabilizados anualmente en el Parque Nacional de Sierra Nevada

Esta evolución negativa contrasta con el seguimiento a largo plazo realizado en España y Cataluña, donde la especie muestra un incremento poblacional prolongado (Escandell *et al* 2023, ICO 2025), probablemente por el abandono de tierras y su colonización posterior por masas de arbolado.

Por lo tanto, es posible que en el parque nacional estén actuando factores exclusivamente locales en detrimento de la especie. Por ejemplo, las masas forestales podrían estar perdiendo densidad (menor cobertura de arbolado o en peor estado de conservación) como consecuencia de una precipitación cada vez menos abundantes, con periodos de sequía cada vez más prolongados y una cobertura de nieve cada vez menor.

Descenso moderado

Arrendajo euroasiático (*Garrulus glandarius*) Tendencia (2012-2025): -9,2%

El arrendajo euroasiático ha mostrado un descenso prolongado de su abundancia desde los inicios del programa de seguimiento, hasta alcanzar su mínimo en 2022. Desde entonces, se ha mantenido unos valores relativamente estables.

Los recuentos de los muestreos actuales representan únicamente el 60% de los registros obtenidos en el año de comparación de manera que estadísticamente, su población nidificante está experimentando un **DESCENSO MODERADO****.

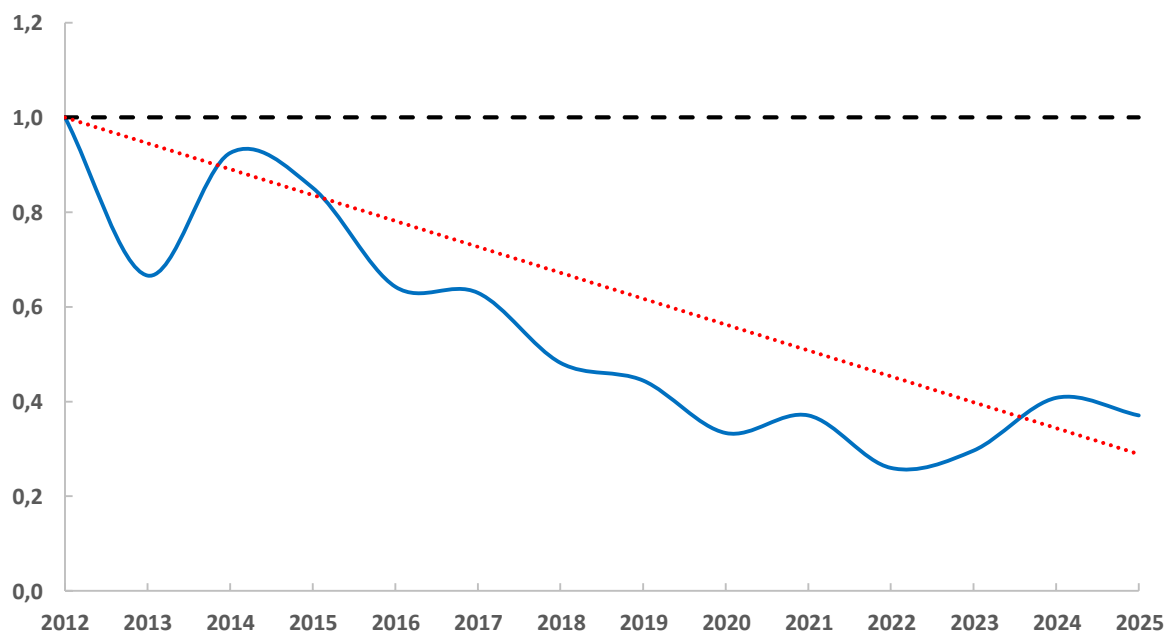


Ilustración 32. Índice de cambio del número total de individuos de arrendajo euroasiático contabilizados anualmente en el Parque Nacional de Sierra Nevada

En los programas de seguimiento realizados a nivel nacional y en Cataluña se muestra que la especie presenta una población reproductora estable, al menos, considerando la última década (Escandell *et al* 2023, ICO 2025). Por lo tanto, la regresión que se observa en el parque nacional debe estar responder a aspectos de índole local.

Descenso moderado

Herrerillo capuchino (*Lophophanes cristatus*) Tendencia (2012-2025): -9,4%

La abundancia de herrerillo capuchino en el parque nacional mostró valores muy elevados con respecto al año de referencia (del orden de tres veces superior) entre las campañas 2013 y 2017. Posteriormente, los valores han disminuido considerablemente. De hecho, el recuento en 2025 se ha situado en 8 individuos cuando en 2013 el recuento alcanzó los 33 ejemplares, es decir, cuatro veces inferior. Como consecuencia de esta considerable disminución, se considera que su población nidificante muestra un **DESCENSO MODERADO***.

Sin embargo, los valores de las últimas campañas son similares al año de comparación (2012), por lo que no es descartable que la especie pueda encontrarse estable dentro del espacio protegido.

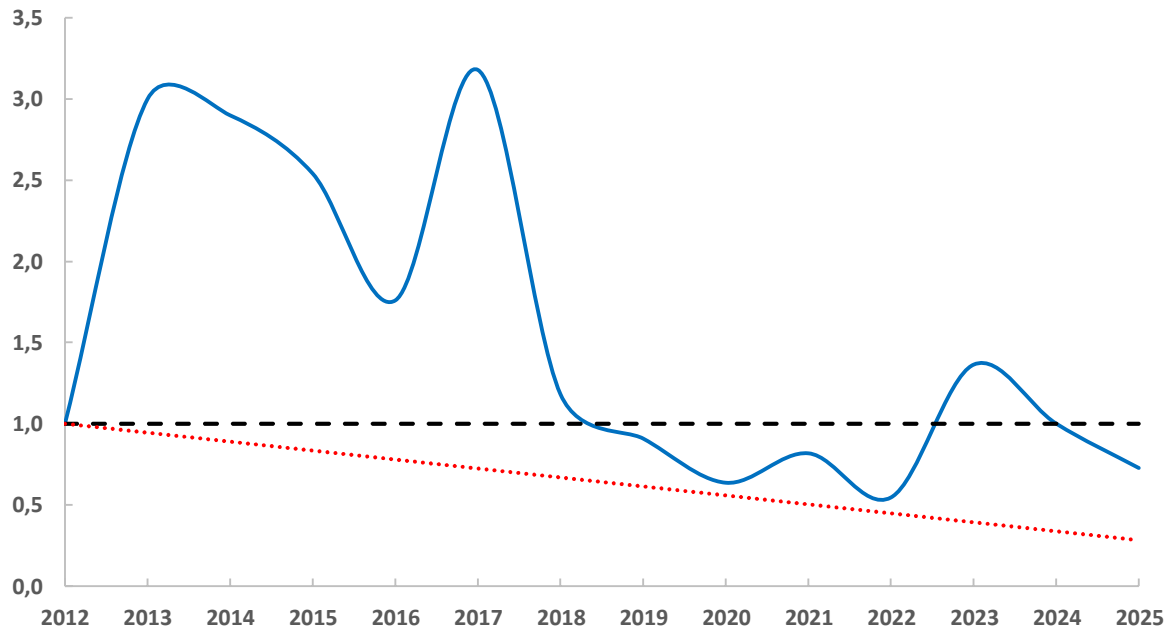


Ilustración 33. Índice de cambio del número total de individuos de herrerillo capuchino contabilizados anualmente en el Parque Nacional de Sierra Nevada

En ese sentido, el resultado estaría en consonancia con los trabajos realizados a nivel nacional y en Cataluña donde se ha detectado que su densidad permanece constante (Escandell *et al* 2023, ICO 2025). Por lo tanto, las próximas campañas serán determinantes para verificar si existen realmente cambios en su población reproductora.

Descenso moderado

Carbonero común (*Parus major*) Tendencia (2012-2025): -5,2%

Las estimas de la población reproductora de carbonero común han mostrado importantes fluctuaciones interanuales, pero los repuntes de densidad no han acostumbrado a superar los de campañas anteriores, por lo que ha existido una clara tendencia de **DESCENSO MODERADO***, relativamente gradual.

El valor mínimo se alcanzó en 2023 con 26 ejemplares contabilizados. En la presente campaña se ha registrado 41 individuos, lo que todavía representa una reducción de cerca del 20% con respecto al valor inicial de 2012.

En otros programas de seguimiento, su población reproductora parece mantenerse estable (Escandell *et al* 2023, ICO 2025), por lo que la causa de este descenso cabría atribuirlo exclusivamente a incidencias negativas circunscritas al parque nacional.

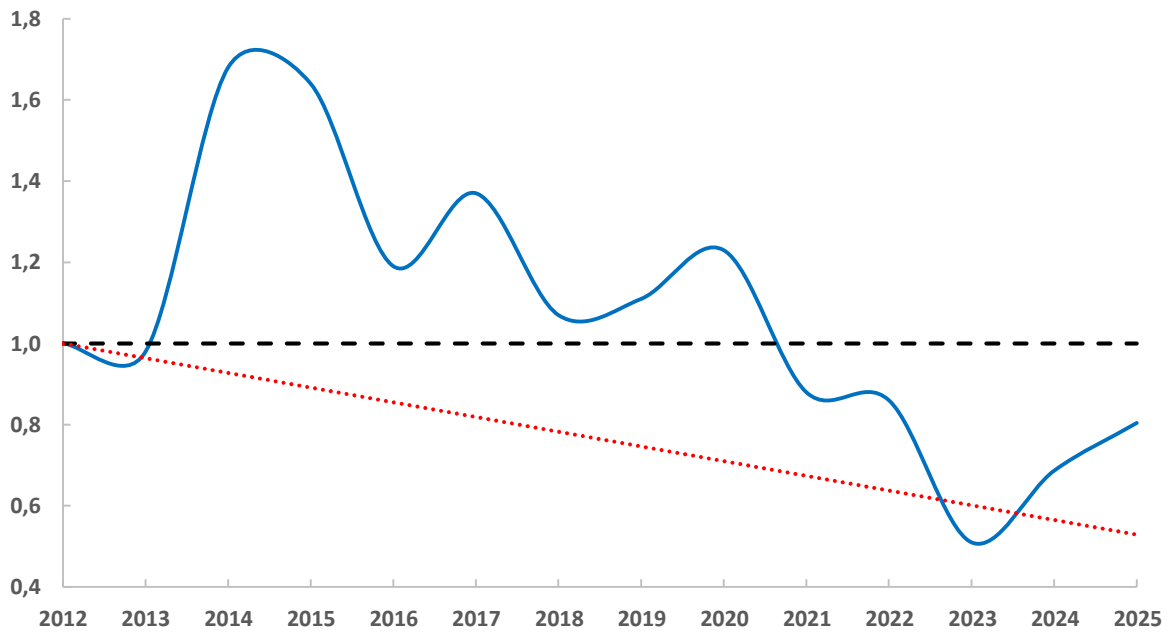


Ilustración 34. Índice de cambio del número total de individuos de carbonero común contabilizados anualmente en el Parque Nacional de Sierra Nevada

Descenso moderado

Serín verdecillo (*Serinus serinus*) Tendencia (2012-2025): -10,9%

Tras unas primeras temporadas de considerables oscilaciones interanuales, la abundancia del serín verdecillo ha experimentado una paulatina disminución hasta la presente campaña, aunque el mínimo valor se estimó en 2023. En el último recuento se registraron 38 individuos frente los 71 del año de referencia.

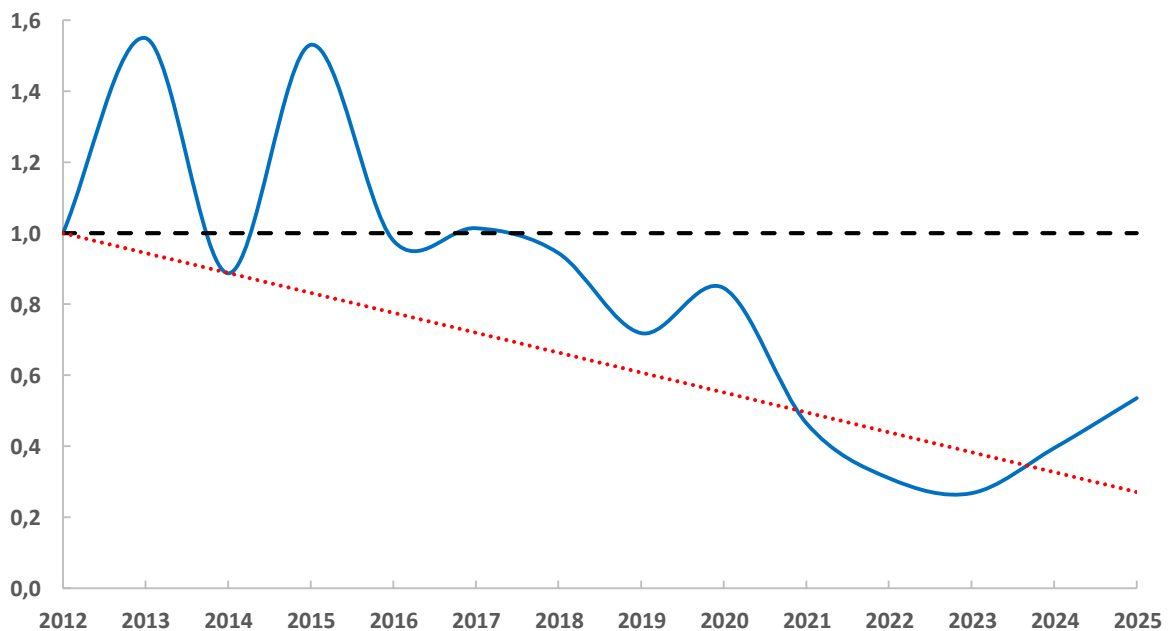


Ilustración 35. Índice de cambio del número total de individuos de serín verdecillo contabilizados anualmente en el Parque Nacional de Sierra Nevada

En este sentido, los datos se ajustan estadísticamente a una tendencia de **DESCENSO MODERADO*** con una tasa promedio de pérdida cercana al 11% anual.

En otros trabajos, los resultados son dispares. Mientras a nivel nacional los datos parecen reflejar igualmente una disminución de su población nidificante (Escandell *et al* 2023), en el seguimiento realizado en Cataluña se obtiene una tendencia totalmente opuesta, estimándose un incremento poblacional (ICO 2025). En este sentido, parece que su evolución parece depender del ámbito geográfico, por lo que podría indicar igualmente que los factores que originan su declive poblacional habría que buscarlos en el seno del parque nacional.

Descenso moderado

Curruca tomillera (*Sylvia conspicillata*) Tendencia (2012-2025): -5,1%

Desde la temporada reproductora del año 2015 la abundancia de la curruca tomillera ha mostrado un aspecto sinuoso, pero con una clara tendencia descendente. Así, los valores poblacionales registrados en la actualidad representan un 55% de los obtenidos en el año de referencia. Es por ello que se obtiene un **DESCENSO MODERADO*** de forma escalonada.

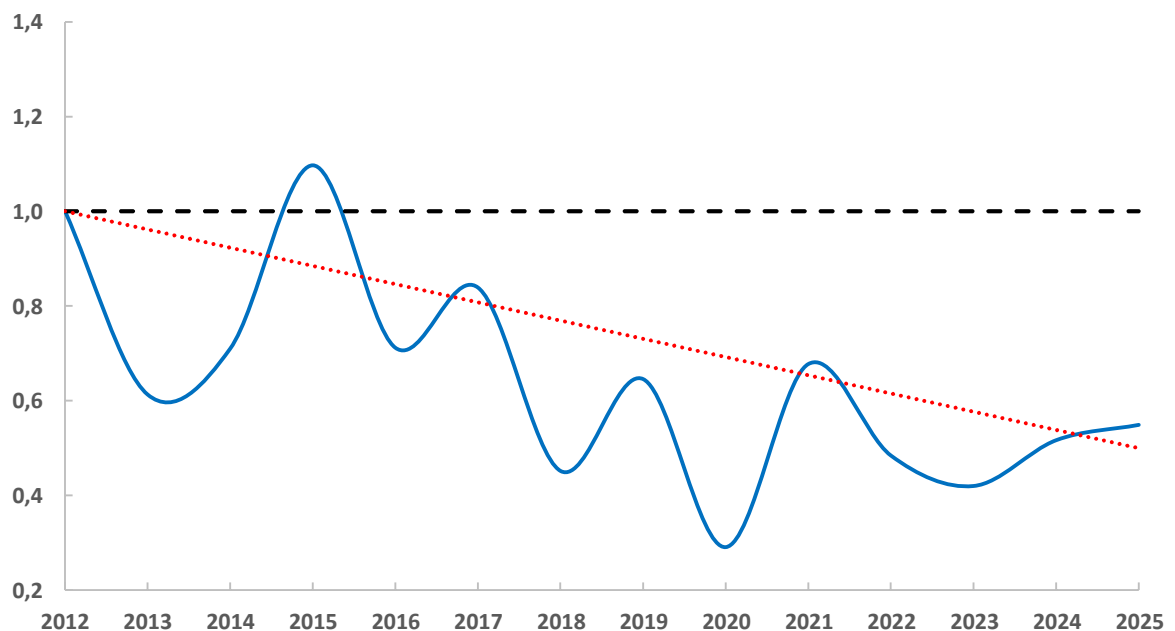


Ilustración 36. Índice de cambio del número total de individuos de curruca tomillera contabilizados anualmente en el Parque Nacional de Sierra Nevada

En Cataluña, la especie también muestra indicios de retroceso poblacional en la última década, mostrando igualmente un descenso moderado de sus efectivos reproductores (ICO 2025). La coincidencia entre ambos muestreos podría estar indicando que la especie está experimentando un retroceso poblacional a gran escala, de ámbito geográfico mayor.

A nivel nacional, se obtiene una tendencia incierta, sin una evolución clara hacia la estabilidad, incremento o descenso poblacional. De este modo, por el momento, no es posible reforzar o refutar esta hipótesis con los resultados de otros programas de seguimiento.

Descenso moderado

Curruca cabecinegra (*Sylvia melanocephala*) Tendencia (2012-2025): -9,5%

La curruca cabecinegra presenta una disminución evidente de su contingente reproductor en el parque nacional, más acentuada a partir de la campaña de 2015

Los muestreos iniciales estimaron 24 ejemplares, mientras que, en las últimas campañas se están obteniendo los valores más bajos de toda la serie temporal, representando una disminución de aproximadamente el 50% respecto a los valores iniciales. Así, los datos se ajustan estadísticamente a un **DESCENSO MODERADO****.

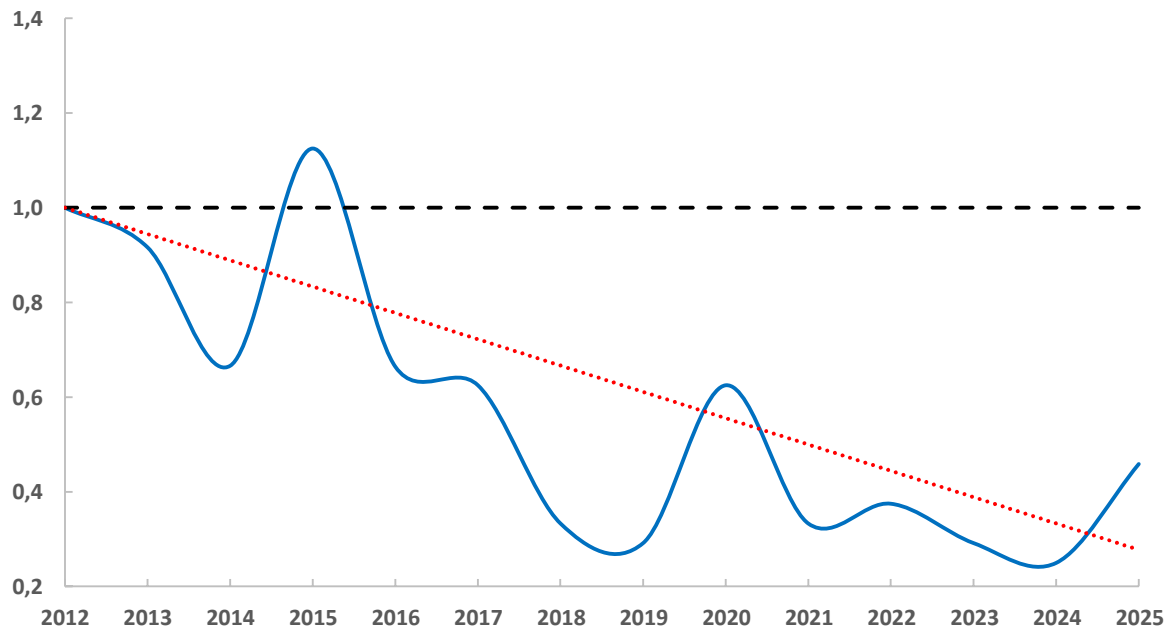


Ilustración 37. Índice de cambio del número total de individuos de curruca cabecinegra contabilizados anualmente en el Parque Nacional de Sierra Nevada

En otros programas de seguimiento no se obtiene en absoluto esta evolución. Muy al contrario, la población reproductora de la curruca cabecinegra muestra indicios de estabilidad, sin variaciones significativas en sus valores de abundancia, al menos, en la última década (Escandell *et al* 2023, ICO 2025).

Esta falta de ajuste entre los resultados del presente trabajo y los seguimientos a largo plazo realizados en Cataluña y a nivel nacional, podrían estar indicando que la tendencia negativa de la especie podría derivarse de cambios en el estado de conservación del parque nacional.

Estable

Alondra común (*Alauda arvensis*)

Las estimas de abundancia de la alondra común han experimentado ciertas fluctuaciones a lo largo de los diferentes años, pero se han alejado escasamente de los valores obtenidos al inicio de la serie temporal, situándose por lo general en torno a los 150 individuos por campaña. De este modo, su dinámica poblacional se considera **ESTABLE**.

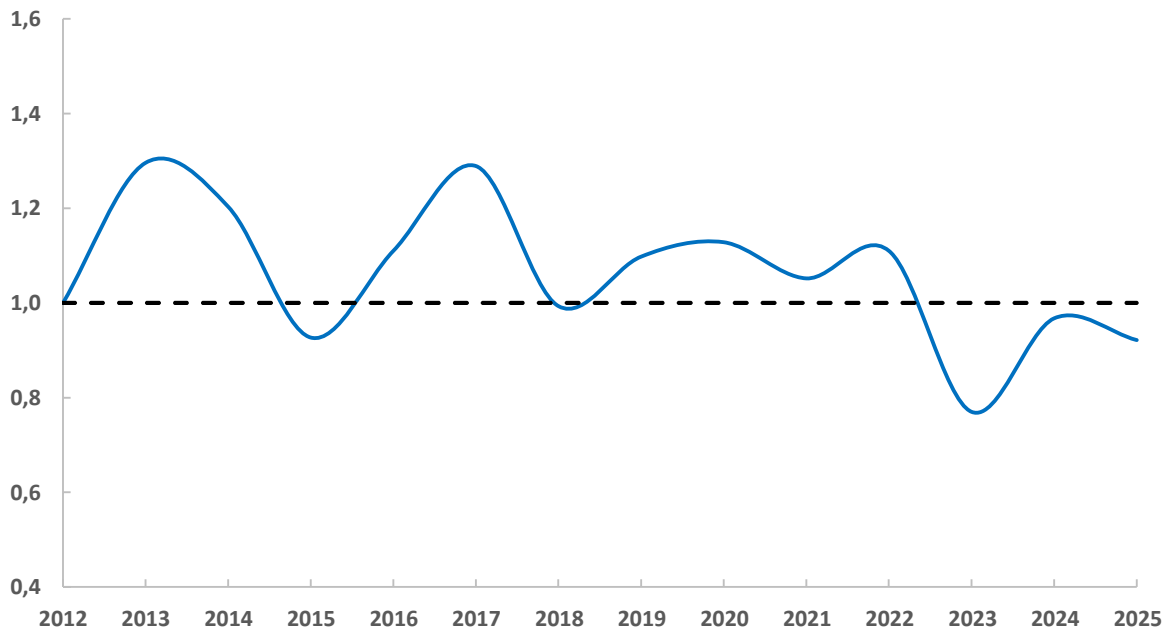


Ilustración 38. Índice de cambio del número total de individuos de alondra común contabilizados anualmente en el Parque Nacional de Sierra Nevada

En Cataluña se obtiene la misma tendencia que en este trabajo, con registros estables en la última década (ICO 2025). Sin embargo, a nivel nacional, en un periodo similar se ha reflejado una disminución poblacional (Escandell *et al* 2023). No es descartable que esto último se esté produciendo en el parque nacional, al menos desde 2017, ya que desde entonces la tendencia parece ser negativa. Los próximos años confirmarán si se produce o no esta reducción poblacional.

Estable

Escribano montesino (*Emberiza cia*)

El escribano montesino ha mostrado gran variabilidad en sus estimas de abundancia a lo largo del periodo analizado, con máximos en 2015 (156 individuos) y mínimos en 2013 (50 ejemplares). A pesar de estas cifras extremas, su densidad se ha enmarcado en torno al centenar de aves, por lo que su evolución se ajusta estadísticamente a una tendencia **ESTABLE**.

Resulta paradójico que, en otros estudios de seguimiento a largo plazo de aves en época reproductora, la dinámica de la especie sea negativa. Así, en los muestreos de ámbito nacional se observa un descenso moderado de su población (Escandell *et al* 2023), mientras que en Cataluña esta mengua poblacional se estima más intensa, considerándose como un fuerte descenso de efectivos reproductores en la última década (ICO 2025).

Por lo tanto, los datos parecen sugerir que los factores que afectan negativamente a la especie en otros marcos geográficos no han alcanzado o no son todavía visibles en los límites del parque nacional.

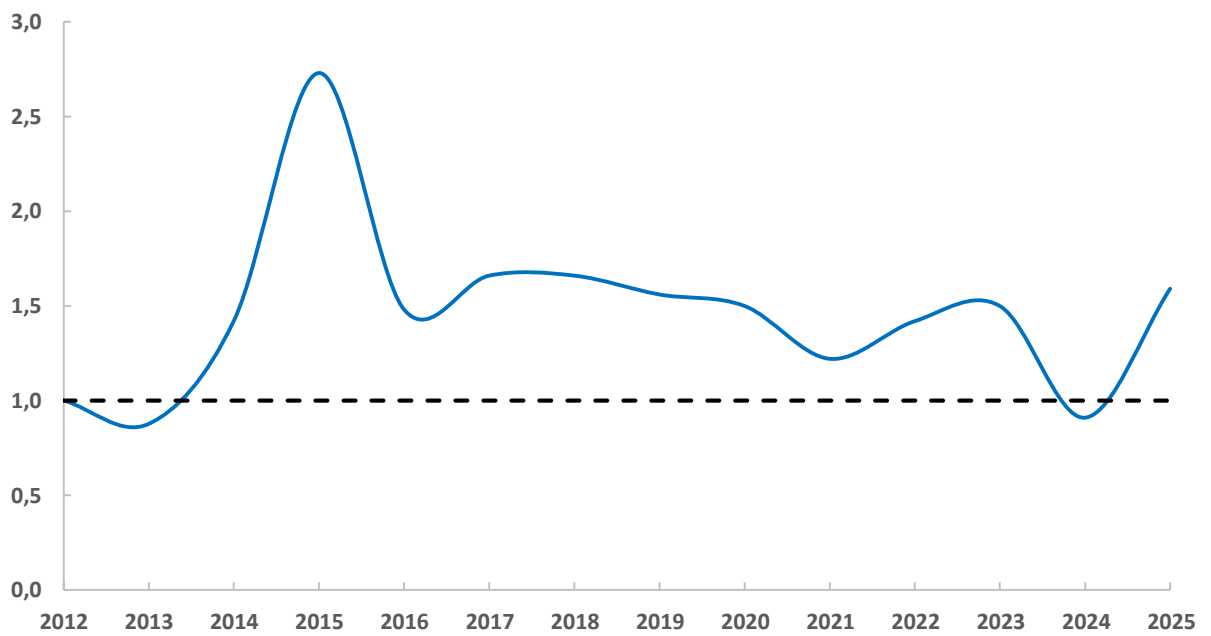


Ilustración 39. Índice de cambio del número total de individuos de escribano montesino contabilizados anualmente en el Parque Nacional de Sierra Nevada

Estable

Pinzón vulgar (*Fringilla coelebs*)

El pinzón vulgar ha mantenido, a lo largo de toda la serie temporal, valores de abundancia anuales cercanos a los 200 individuos. Esta estabilidad en las estimaciones de densidad, sin variaciones significativas, indica una tendencia poblacional **ESTABLE**.

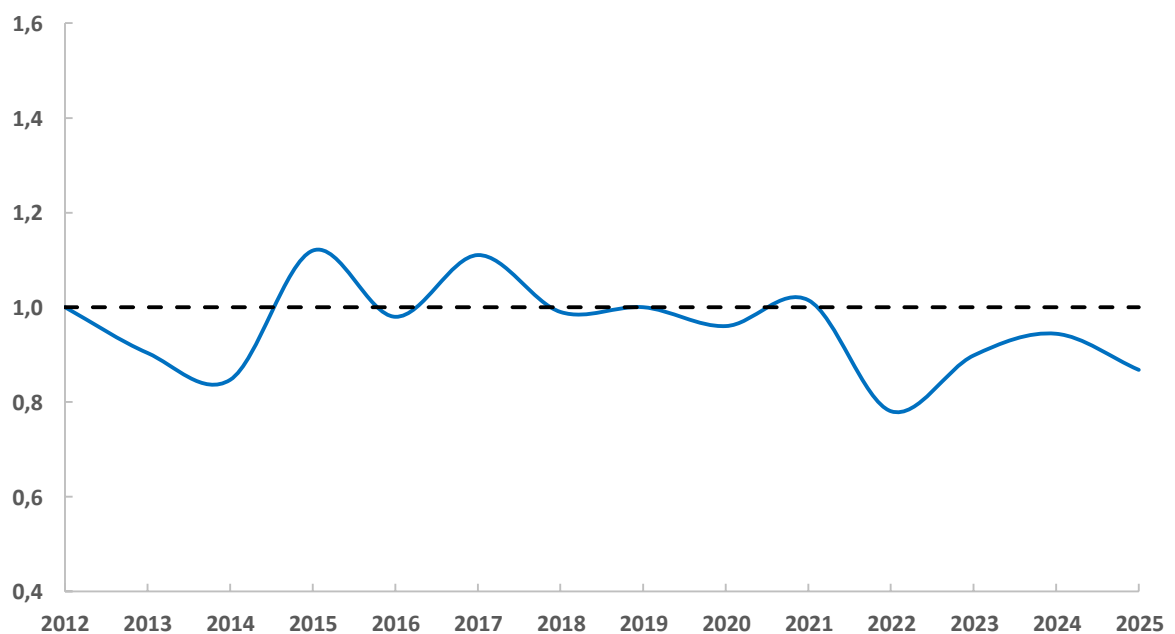


Ilustración 40. Índice de cambio del número total de individuos de pinzón vulgar contabilizados anualmente en el Parque Nacional de Sierra Nevada

Este resultado contrasta con los datos obtenidos en los programas de seguimiento consultados a nivel nacional y en Cataluña, donde la especie muestra un incremento moderado de sus efectivos reproductores en los últimos años (Escandell *et al* 2023, ICO 2025).

Estable

Pardillo común (*Linaria cannabina*)

La serie temporal definida por las estimas de abundancia de la especie muestra una notable variabilidad interanual, aunque sin una tendencia sostenida clara a lo largo del periodo 2012–2025. Se observa un pico en 2015, seguido de un descenso prolongado hasta alcanzar el valor mínimo en 2020. A partir de ese año, se detecta una recuperación gradual de los valores, hasta situarse en 2025 ligeramente por encima del valor de referencia inicial (2012). La estabilidad observada en las estimaciones de densidad, sin variaciones significativas a lo largo del periodo analizado, se traduce en una tendencia poblacional **ESTABLE**.

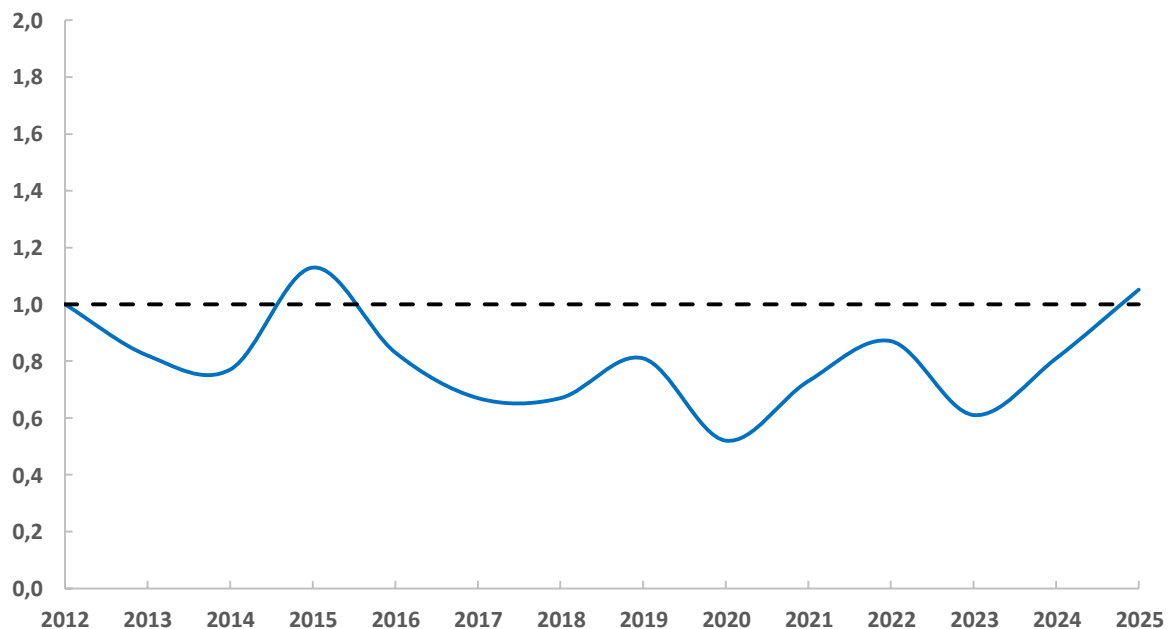


Ilustración 41. Índice de cambio del número total de individuos de pardillo común contabilizados anualmente en el Parque Nacional de Sierra Nevada

El pardillo común parece alinearse con la evolución que sigue la especie a mayor escala geográfica. En este sentido, tanto en los muestreos realizados en Cataluña como a nivel nacional, también se encuentra que su población reproductora, en la última década, se mantiene sin variaciones significativas.

Estable

Colirrojo tizón (*Phoenicurus ochruros*)

En el periodo 2012-2017 las estimas de abundancia de la especie mostraron una gran variabilidad interanual, pero desde entonces, su densidad se ha mantenido relativamente invariable en torno a la treintena de ejemplares, calificando su tendencia como **ESTABLE**.

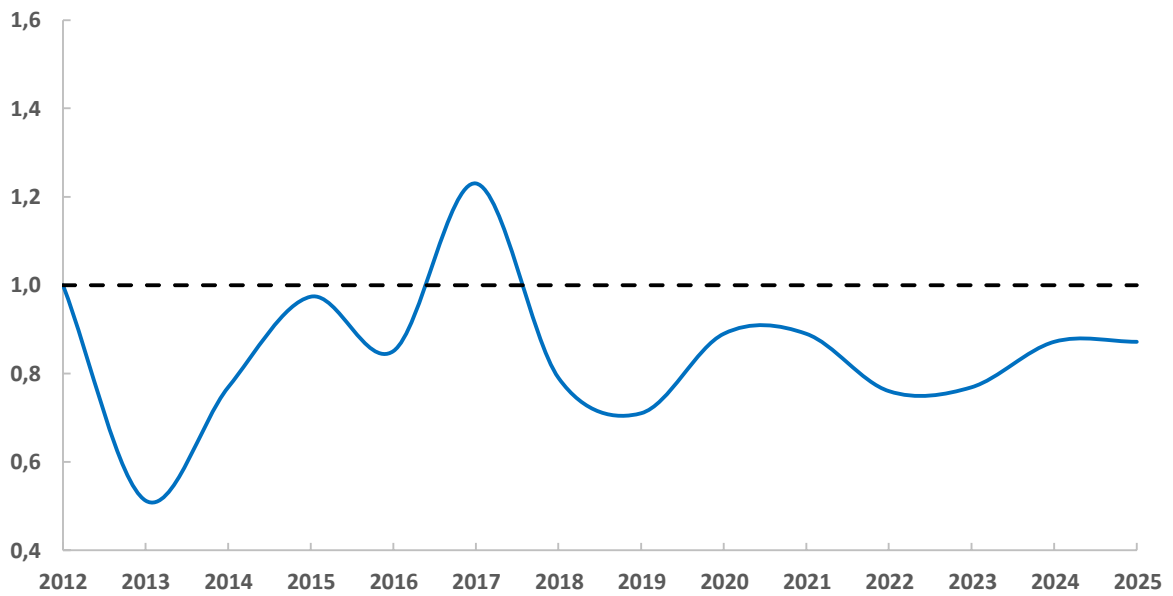


Ilustración 42. Índice de cambio del número total de individuos de colirrojo tizón contabilizados anualmente en el Parque Nacional de Sierra Nevada

Según los programas de seguimiento de aves consultados, durante la última década el pinzón vulgar ha mostrado un incremento moderado de sus efectivos reproductores a nivel nacional, mientras que en Cataluña su población se ha mantenido estable en ese mismo periodo (Escandell *et al* 2023, ICO 2025).

Estable

Chochín paleártico (*Troglodytes troglodytes*)

La especie se ajusta estadísticamente a una tendencia **ESTABLE** dentro del parque nacional.

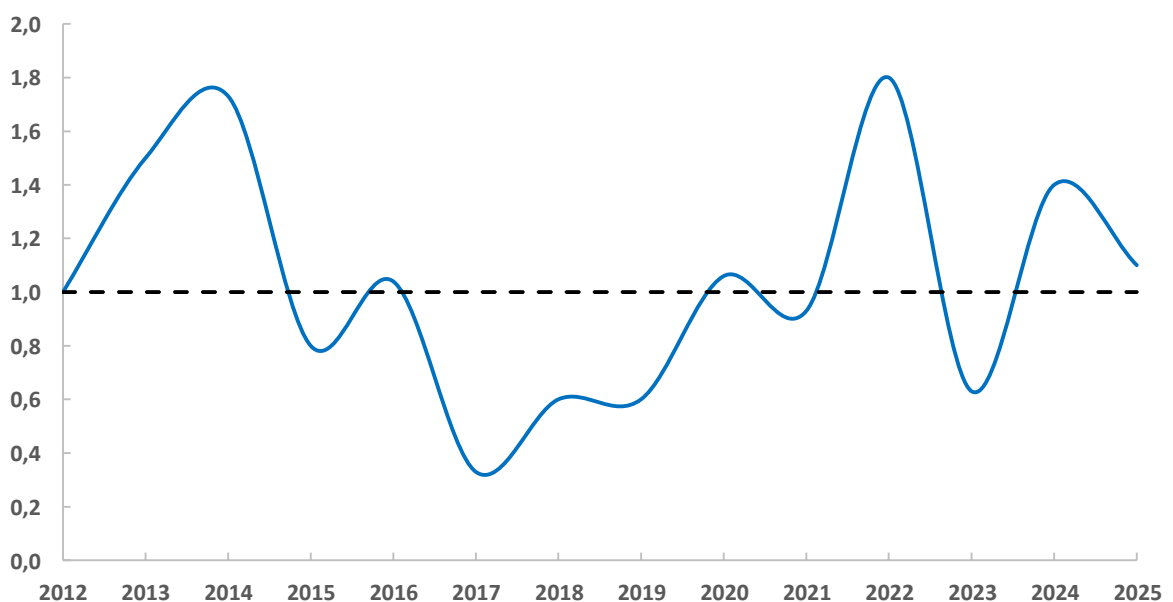


Ilustración 43. Índice de cambio del número total de individuos de chochín paleártico contabilizados anualmente en el Parque Nacional de Sierra Nevada

Los resultados en otros programas de seguimiento muestran resultados dispares y en ningún caso coincidentes con los obtenidos en este estudio. En Cataluña la especie parece experimentar un retroceso poblacional (ICO 2025), mientras que, a nivel nacional, la tendencia es opuesta, con un incremento de efectivos en la última década (Escandell *et al* 2023).

Incremento moderado

Collalba gris (*Oenanthe oenanthe*) Tendencia (2012-2025): +3,2%

La especie ha mostrado, durante la primera mitad del periodo estudiado, unos valores relativamente constantes en torno a los 50-60 ejemplares contabilizados por temporada. Pero desde la campaña de 2019 se ha producido un **INCREMENTO MODERADO*** de su población reproductora en el parque nacional, superando ligeramente los valores iniciales del año de referencia. En la actualidad, su población es un 17 superior a la contabilizada en 2012 (año de comparación) y cerca del doble de la registrada en ese primer periodo.

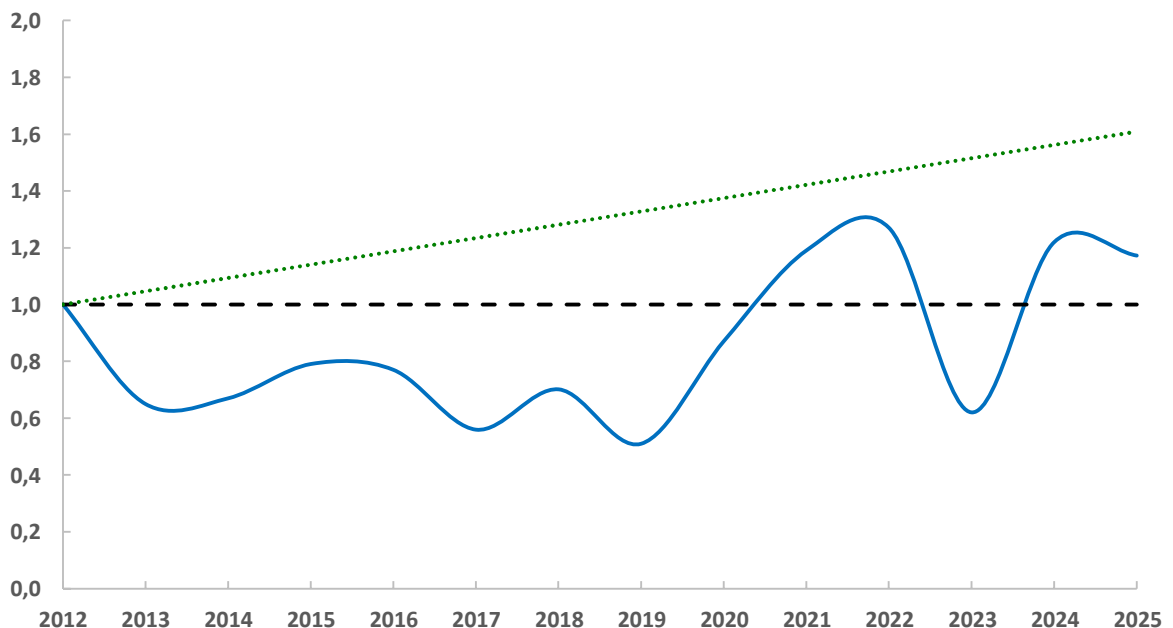


Ilustración 44. Índice de cambio del número total de individuos de collalba gris contabilizados anualmente en el Parque Nacional de Sierra Nevada

En Cataluña, los muestreos no reflejan esta tendencia positiva y consideran a la especie como estable (ICO 2025). Sin embargo, los resultados a escala nacional son claramente opuestos y sugieren que la collalba gris está experimentando una regresión de sus efectivos reproductores durante la última década (Escandell *et al.* 2023).

En este contexto, los datos del parque nacional, que indican una evolución positiva de la especie, podrían estar condicionados por factores locales específicos, responsables de un comportamiento poblacional distinto al observado en otras regiones.

Tendencia por hábitats

Los puntos de muestreo en el Parque Nacional de Sierra Nevada se distribuyen mayoritariamente en zonas dominadas por matorral (79 puntos), siguiendo por los situados en formaciones forestales (34 puntos) y, en menor medida, en áreas desprovistas de vegetación (7 puntos).

El análisis de la riqueza de especies revela diferencias significativas en función del tipo de hábitat. En particular, se observa un **DESCENSO MODERADO** en los ambientes forestales y arbustivos, siendo esta tendencia más acusada en estos últimos, que presentan una tasa media de pérdida anual del 4,0%, frente al 2,2% registrado en los hábitats forestales.

En contraste, en los ecosistemas de alta montaña, caracterizados por la ausencia de cobertura vegetal, el número de especies registradas se ha mantenido **ESTABLE** a lo largo del periodo analizado.

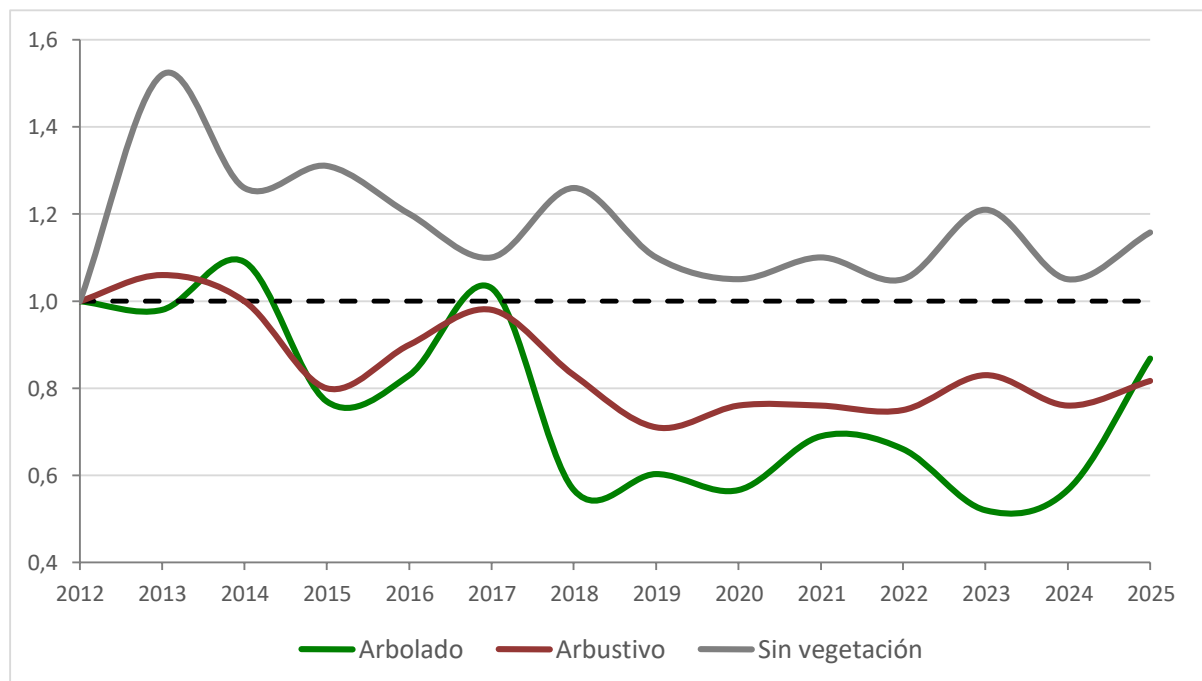


Ilustración 45. Índice de cambio del número especies contabilizadas anualmente en los distintos hábitats del Parque Nacional de Sierra Nevada

El análisis de la abundancia total de aves en los distintos tipos de hábitat del parque nacional muestra resultados en líneas generales similares a los obtenidos en el estudio de la riqueza específica. Igualmente, en los hábitats forestales y arbustivos, se detecta una disminución progresiva de la densidad de individuos a lo largo de la serie temporal analizada. Esta evolución negativa se ajusta, en ambos casos, a una tendencia de **DESCENSO MODERADO**, con una tasa media anual de pérdida de efectivos reproductores ligeramente inferior al 3%. Concretamente, se ha estimado una reducción del 2,9 % anual en medios forestales y del 2,5 % anual en áreas de matorral.

Este patrón descendente sugiere una pérdida sostenida de abundancia que podría estar asociada a cambios en la estructura del hábitat, presiones antrópicas externas o a fenómenos de origen climático.

Por el contrario, en los ambientes caracterizados por su escasa cobertura vegetal, no se ha podido establecer una evolución estadísticamente significativa de la abundancia de aves. La variabilidad interanual observada no responde a una dirección clara de cambio, por lo que esta categoría ha sido calificada como de tendencia INCIERTA.

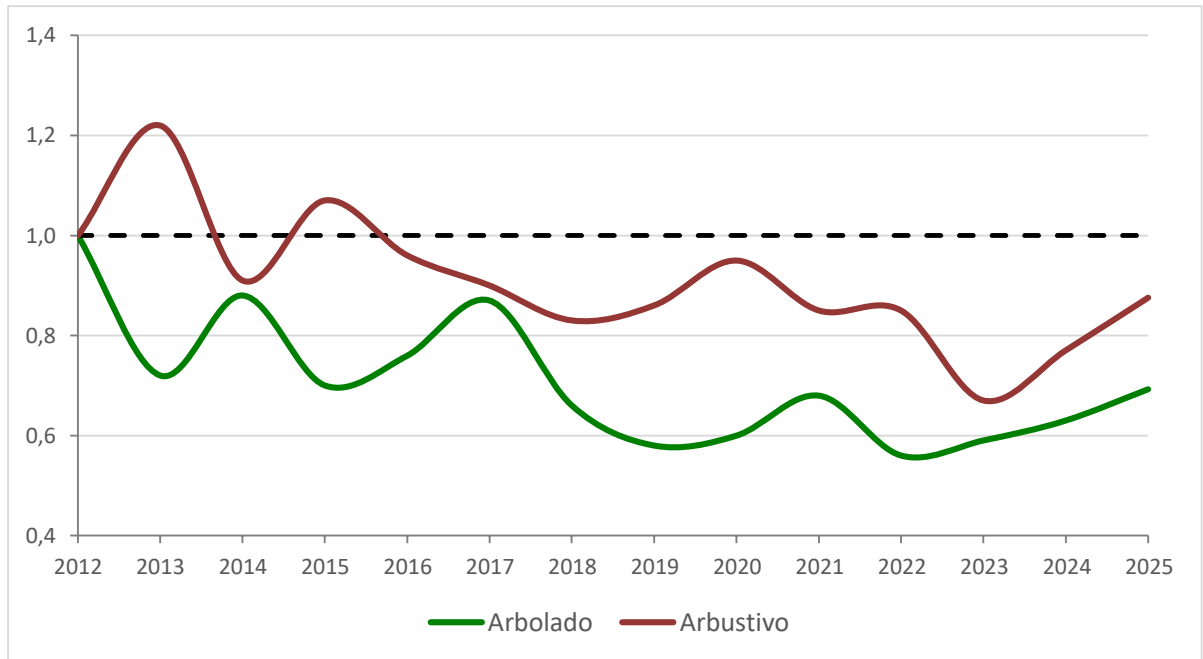


Ilustración 46. Índice de cambio del número total de individuos contabilizados anualmente en los distintos hábitats del Parque Nacional de Sierra Nevada

Si se escoge especies representativas del hábitat arbolado (mito, herrerillo común, carbonero garrapinos y reyezuelo listado) y arbustivo (escribano hortelano, tarabilla común y curruca rabilarga) los análisis muestran una dinámica ESTABLE de su abundancia.

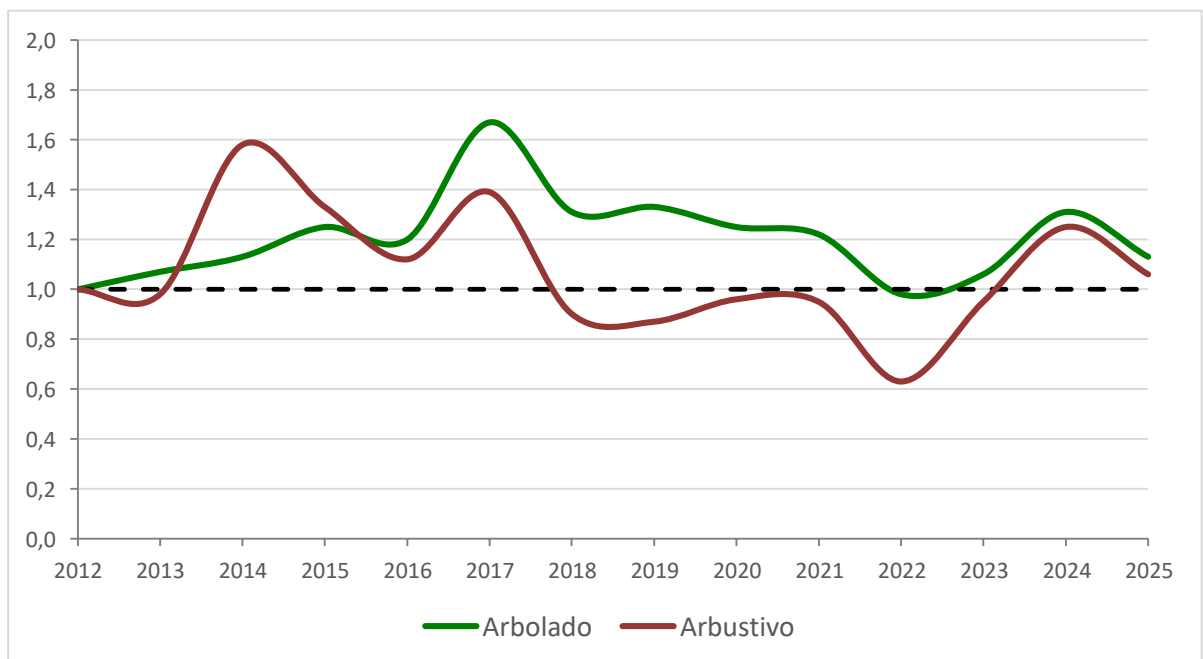


Ilustración 47. Índice de cambio del número total de individuos de especies representativas de los distintos hábitats del Parque Nacional de Sierra Nevada (véase texto para más detalles).

En ambos enclaves, se han observado ciertas variaciones interanuales, pero los valores no se alejan significativamente de los registros iniciales.

En el caso de las aves seleccionadas como representativas del hábitat con escasa vegetación (alondra totovía y roquero rojo) los resultados no son concluyentes, pues se observa fuertes variaciones interanuales y la tendencia obtenida es INCIERTA.

Parque Nacional de las Tablas de Daimiel

Durante los muestreos realizados en primavera en el Parque Nacional de Las Tablas de Daimiel se registraron un total de 93 especies de aves, con un recuento global de 1.936 individuos. La especie más abundante fue el escribano triguero, seguida por la focha común y el flamenco común. Cabe destacar la observación de un ejemplar de águila real, ya que representa la primera cita de esta especie en el marco del programa de seguimiento en el parque nacional.

Tabla 3. Especies y número de individuos contabilizados en el Parque Nacional de Las Tablas de Daimiel en primavera de 2025.

| NOMBRE CIENTÍFICO | NOMBRE COMÚN | INDIVIDUOS |
|-----------------------------------|-------------------------------|------------|
| <i>Acrocephalus arundinaceus</i> | Carricero tordal | 21 |
| <i>Acrocephalus scirpaceus</i> | Carricero común | 49 |
| <i>Actitis hypoleucos</i> | Andarríos chico | 4 |
| <i>Alectoris rufa</i> | Perdiz roja | 5 |
| <i>Anas platyrhynchos</i> | Ánade azulón | 43 |
| <i>Anser anser</i> | Ánsar común | 31 |
| <i>Apus apus</i> | Vencejo común | 37 |
| <i>Aquila chrysaetos</i> | Águila real | 1 |
| <i>Ardea alba</i> | Garceta grande | 14 |
| <i>Ardea cinerea</i> | Garza real | 2 |
| <i>Ardea purpurea</i> | Garza imperial | 6 |
| <i>Aythya ferina</i> | Porrón europeo | 10 |
| <i>Aythya nyroca</i> | Porrón pardo | 9 |
| <i>Bubulcus ibis</i> | Garcilla bueyera | 2 |
| <i>Burhinus oediconemus</i> | Alcaraván común | 2 |
| <i>Buteo buteo</i> | Busardo ratonero | 1 |
| <i>Carduelis carduelis</i> | Jilguero europeo | 48 |
| <i>Cecropis daurica</i> | Golondrina dáurica | 1 |
| <i>Cettia cetti</i> | Cetia ruiseñor | 40 |
| <i>Charadrius dubius</i> | Chorlitejo chico | 2 |
| <i>Chlidonias hybrida</i> | Fumarel cariblanco | 82 |
| <i>Chloris chloris</i> | Verderón común | 12 |
| <i>Chroicocephalus ridibundus</i> | Gaviota reidora | 61 |
| <i>Ciconia ciconia</i> | Cigüeña blanca | 3 |
| <i>Circus aeruginosus</i> | Aguilucho lagunero occidental | 18 |
| <i>Cisticola juncidis</i> | Cisticola buitrón | 56 |
| <i>Columba livia</i> | Paloma bravía | 7 |
| <i>Columba oenas</i> | Paloma zurita | 3 |
| <i>Columba palumbus</i> | Paloma torcaz | 77 |
| <i>Coracias garrulus</i> | Carraca europea | 9 |
| <i>Corvus monedula</i> | Grajilla occidental | 9 |
| <i>Coturnix coturnix</i> | Codorniz común | 31 |
| <i>Cuculus canorus</i> | Cuco común | 1 |
| <i>Cyanistes caeruleus</i> | Herrerillo común | 3 |
| <i>Cyanopica cookii</i> | Rabilargo ibérico | 2 |

| NOMBRE CIENTÍFICO | NOMBRE COMÚN | INDIVIDUOS |
|------------------------------------|------------------------|------------|
| <i>Egretta garzetta</i> | Garceta común | 14 |
| <i>Emberiza calandra</i> | Escribano triguero | 126 |
| <i>Emberiza schoeniclus</i> | Escribano palustre | 2 |
| <i>Erithacus rubecula</i> | Petirrojo europeo | 4 |
| <i>Falco tinnunculus</i> | Cernícalo vulgar | 1 |
| <i>Fulica atra</i> | Focha común | 121 |
| <i>Galerida cristata</i> | Cogujada común | 40 |
| <i>Gallinula chloropus</i> | Gallineta común | 17 |
| <i>Garrulus glandarius</i> | Arrendajo euroasiático | 1 |
| <i>Himantopus himantopus</i> | Cigüeñuela común | 28 |
| <i>Hippolais polyglotta</i> | Zarcero polígloa | 1 |
| <i>Hirundo rustica</i> | Golondrina común | 73 |
| <i>Lanius senator</i> | Alcaudón común | 3 |
| <i>Larus michahellis</i> | Gaviota patiamarilla | 2 |
| <i>Linaria cannabina</i> | Pardillo común | 33 |
| <i>Locustella luscinioides</i> | Buscarla unicolor | 13 |
| <i>Luscinia megarhynchos</i> | Ruiseñor común | 59 |
| <i>Mareca strepera</i> | Ánade friso | 8 |
| <i>Marmaronetta angustirostris</i> | Cerceta pardilla | 1 |
| <i>Merops apiaster</i> | Abejaruco europeo | 31 |
| <i>Motacilla flava</i> | Lavandera boyera | 11 |
| <i>Netta rufina</i> | Pato colorado | 87 |
| <i>Nycticorax nycticorax</i> | Martinete común | 2 |
| <i>Oriolus oriolus</i> | Oropéndola europea | 4 |
| <i>Panurus biarmicus</i> | Bigotudo | 2 |
| <i>Parus major</i> | Carbonero común | 10 |
| <i>Passer domesticus</i> | Gorrión común | 15 |
| <i>Passer montanus</i> | Gorrión molinero | 19 |
| <i>Phalacrocorax carbo</i> | Cormorán grande | 24 |
| <i>Phasianus colchicus</i> | Faisán vulgar | 2 |
| <i>Phoenicopterus roseus</i> | Flamenco común | 115 |
| <i>Pica pica</i> | Urraca común | 53 |
| <i>Picus sharpei</i> | Pito real ibérico | 1 |
| <i>Platalea leucorodia</i> | Espátula común | 3 |
| <i>Plegadis falcinellus</i> | Morito común | 21 |
| <i>Podiceps cristatus</i> | Somormujo lavanco | 35 |
| <i>Podiceps nigricollis</i> | Zampullín cuellinegro | 11 |
| <i>Porphyrio porphyrio</i> | Calamón común | 2 |
| <i>Pterocles alchata</i> | Ganga ibérica | 4 |
| <i>Rallus aquaticus</i> | Rascón europeo | 2 |
| <i>Remiz pendulinus</i> | Pájaro-moscón europeo | 2 |
| <i>Riparia riparia</i> | Avión zapador | 1 |
| <i>Saxicola rubicola</i> | Tarabilla europea | 40 |
| <i>Serinus serinus</i> | Serín verdecillo | 4 |
| <i>Spatula clypeata</i> | Cuchara común | 5 |
| <i>Streptopelia decaocto</i> | Tórtola turca | 10 |

| NOMBRE CIENTÍFICO | NOMBRE COMÚN | INDIVIDUOS |
|-------------------------------|---------------------|------------|
| <i>Streptopelia turtur</i> | Tórtola europea | 4 |
| <i>Sturnus unicolor</i> | Estornino negro | 96 |
| <i>Sylvia cantillans</i> | Curruca carrasqueña | 2 |
| <i>Sylvia melanocephala</i> | Curruca cabecinegra | 7 |
| <i>Sylvia undata</i> | Curruca rabilarga | 3 |
| <i>Tachybaptus ruficollis</i> | Zampullín común | 10 |
| <i>Tadorna tadorna</i> | Tarro blanco | 6 |
| <i>Tetrax tetrax</i> | Sisón común | 1 |
| <i>Tringa totanus</i> | Archibebe común | 1 |
| <i>Turdus merula</i> | Mirlo común | 4 |
| <i>Upupa epops</i> | Abubilla | 24 |
| <i>Vanellus vanellus</i> | Avefría europea | 13 |

Tendencias generales

La riqueza de especies en el parque nacional ha experimentado pocas fluctuaciones a lo largo de la serie temporal. Gran parte de los años registran valores cercanos a los 80 taxones, aunque esta cifra puede oscilar dependiendo de la superficie ocupada por la lámina de agua. Así, en las últimas dos campañas, el nivel de agua se ha situado notablemente por encima de los años inmediatamente anteriores y ello se ha traducido en una mayor diversidad de aves. En cualquier caso, las estimas nunca se alejan ostensiblemente de unos registros situados en torno a las 79-87 especies anuales, indicando una tendencia temporal **ESTABLE**.

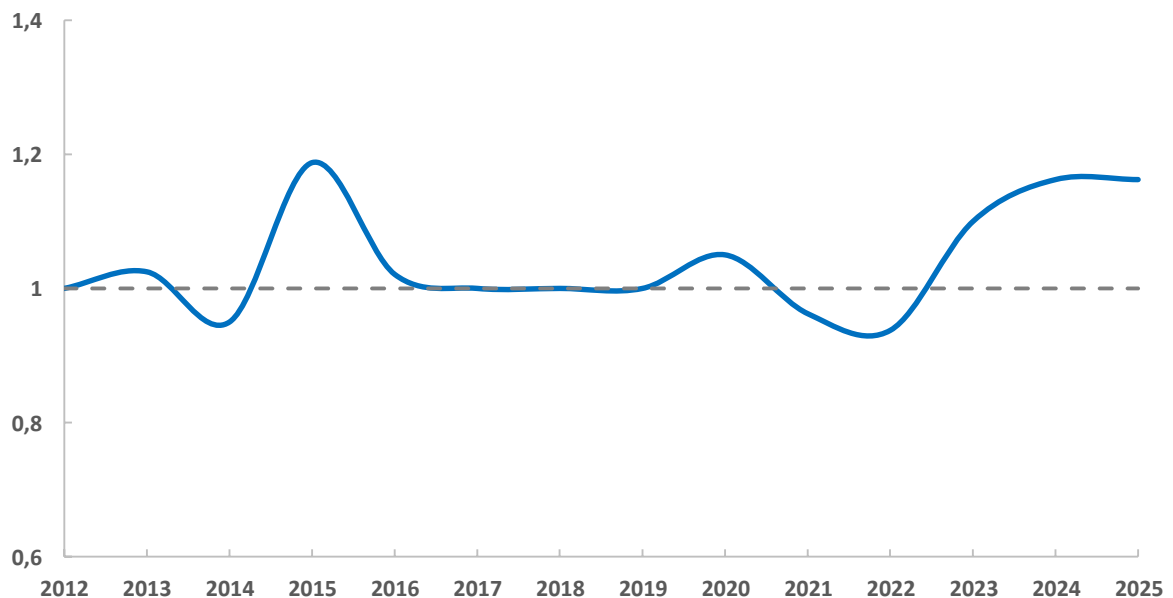


Ilustración 48. Índice de cambio del número total de especies detectadas en el Parque Nacional de Las Tablas de Daimiel

La abundancia total de aves parece seguir una dinámica similar. Las oscilaciones son más acusadas entre unos años y otros, pero igualmente la tendencia registrada es **ESTABLE** a lo largo de la serie temporal, con un promedio próximo a los 1.800 ejemplares por año. Estas variaciones probablemente también estén estrechamente relacionadas con la extensión de la lámina de agua,

permitiendo a un mayor número de aves reproducirse en este enclave cuando su superficie es mayor.

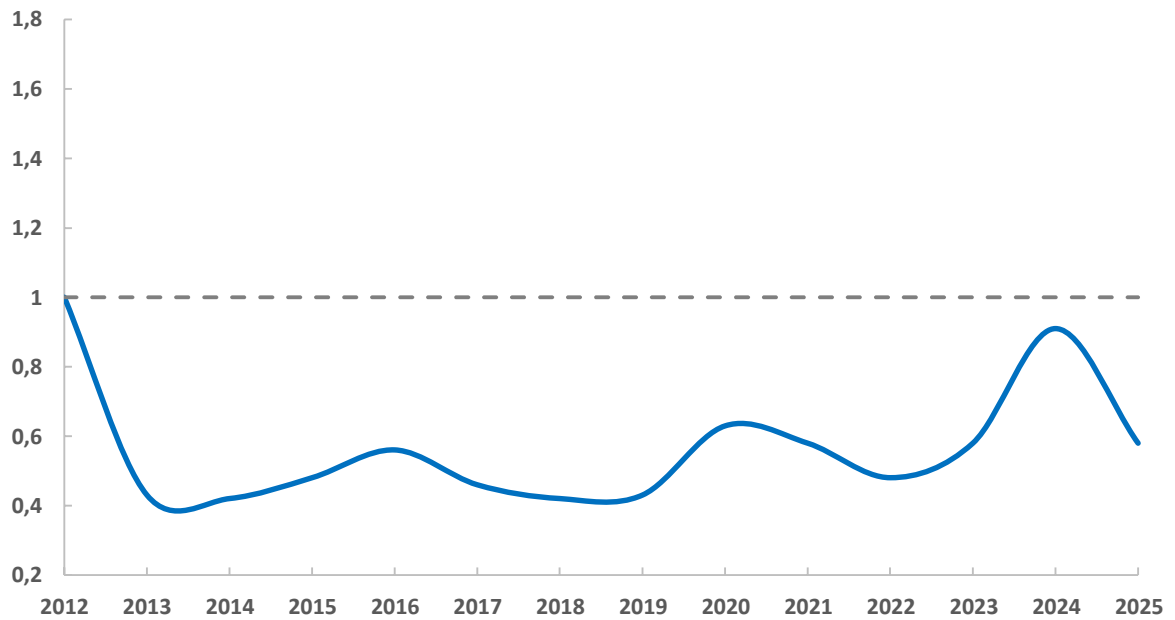


Ilustración 49. Índice de cambio del número total de individuos detectados en el Parque Nacional de Las Tablas de Daimiel

Tendencia por especies

Se ha analizado las tendencias poblacionales de un total de 46 aves reproductoras para las cuales existían suficientes datos de abundancia a lo largo de la serie temporal (Ilustración 50).

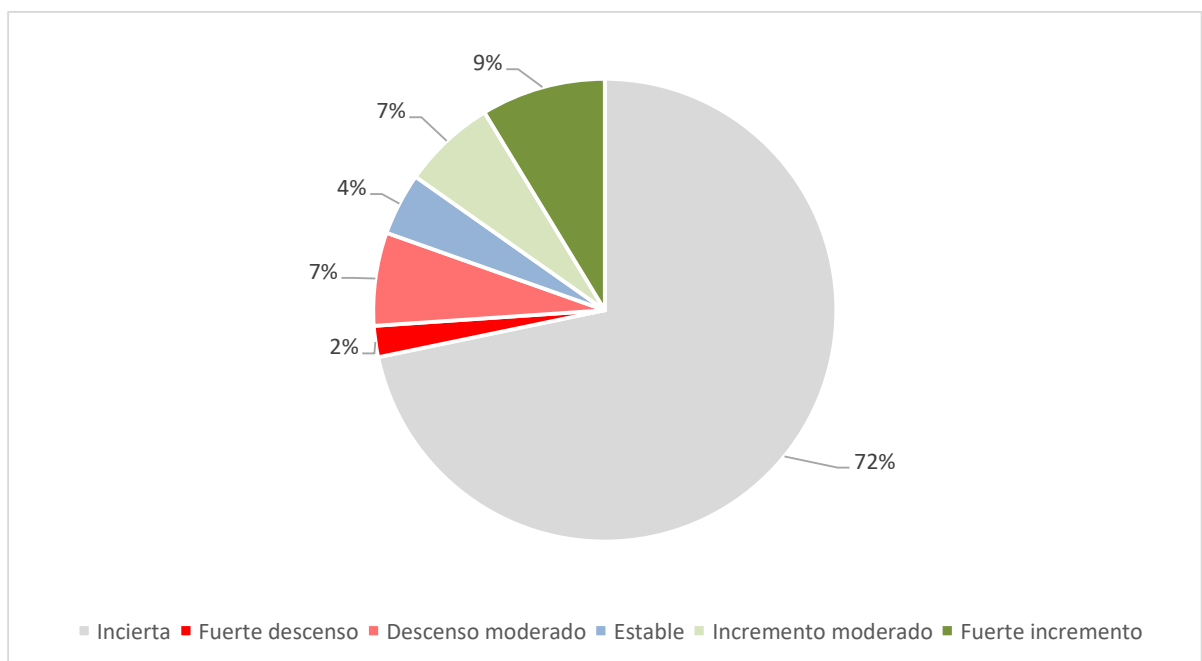


Ilustración 50. Proporción de tendencias poblacionales obtenidas en el Parque Nacional de Las Tablas de Daimiel

Para la mayoría de ellas (33 taxones), no es posible obtener una dinámica poblacional concreta que permita predecir su evolución a futuro con ciertas garantías, calificando como de tendencia

incierto. Para el resto, se ha obtenido evoluciones poblacionales negativas (4 taxones), estables (2) y positivas (7) en diferente proporción (Ilustración 50).

A continuación, se muestran las especies que mostraron variaciones poblacionales estadísticamente significativas según su tendencia.

Fuerte descenso

Carricero tordal (*Acrocephalus arundinaceus*) Tendencia (2012-2025): -11,0%

Desde el inicio de los muestreos en el parque nacional en 2012, la población reproductora de carricero tordal ha mostrado un paulatino descenso, habiendo disminuido hasta representar en la actualidad únicamente el 40% de su tamaño original. En consecuencia, se considera que la especie está sufriendo un **FUERTE DESCENSO***.

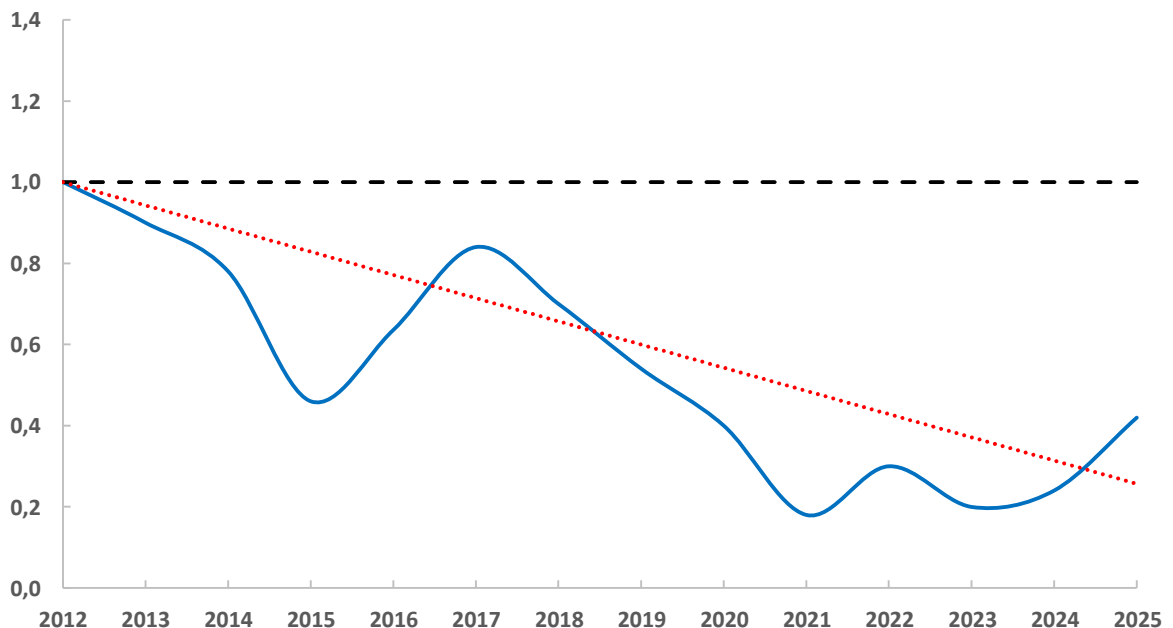


Ilustración 51. Índice de cambio del número total de individuos de carricero tordal contabilizados anualmente en el Parque Nacional de Las Tablas de Daimiel.

A nivel nacional su tendencia es estable (Escandell *et al.* 2023), mientras que, en el caso concreto de Cataluña, su dinámica poblacional es incierta (ICO 2025). De este modo, es posible que la evolución negativa de la especie sea consecuencia de afecciones locales relacionadas con la extensión y el estado de conservación del carrizal, donde el ave encuentra su hábitat óptimo.

Descenso moderado

Carricero común (*Acrocephalus scirpaceus*) Tendencia (2012-2025): -9,0%

El carricero común muestra una tendencia similar, aunque ha existido ligeros repuntes de su abundancia en años concretos que han amortiguado la evolución negativa. La pérdida de efectivos reproductores ha sido más patente desde 2017 cuando ya no se han vuelto a recuperar los valores iniciales obtenidos en el año de referencia. Las estimas actuales son un 50% inferiores a las obtenidas en la primera campaña de la serie temporal, calificando su tendencia poblacional como de **DESCENSO MODERADO****.

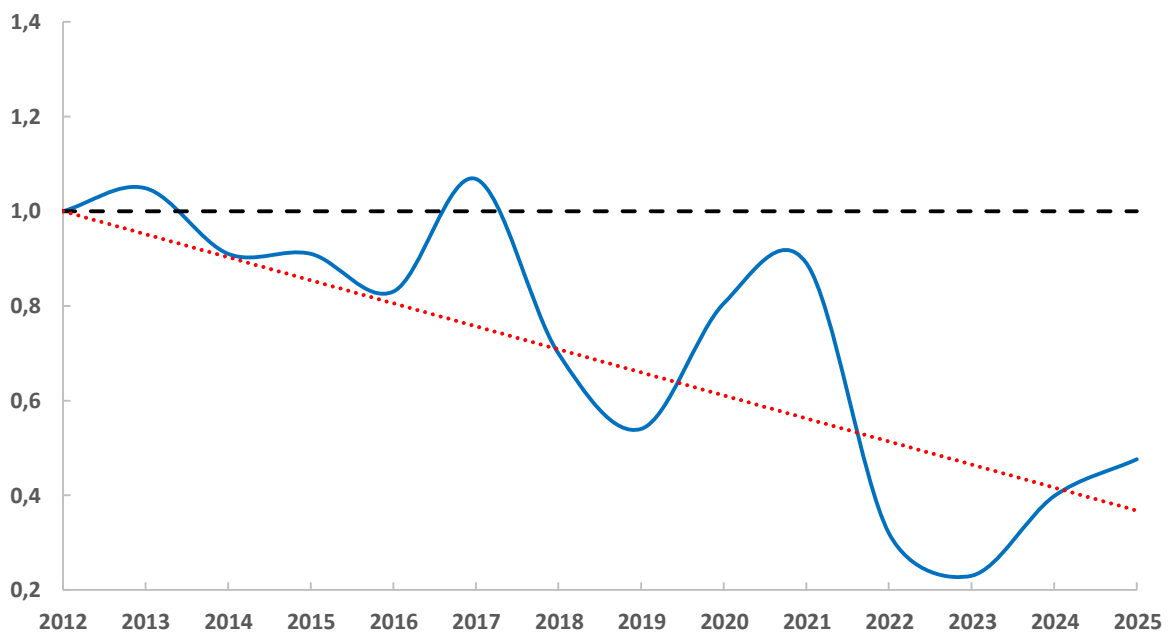


Ilustración 52. Índice de cambio del número total de individuos de carricero común contabilizados anualmente en el Parque Nacional de Las Tablas de Daimiel

Este comportamiento de la especie es contrario al obtenido en otros programas de seguimiento. Así, el carricero común muestra poblaciones estables tanto si se considera exclusivamente el territorio catalán (ICO 2025) como a nivel nacional (Escandell *et al.* 2023). Esta disparidad de tendencias lleva a pensar que las causas de esta disminución podrían estar vinculadas a factores locales, principalmente asociados al estado de conservación del humedal.

Descenso moderado

Cetia ruiseñor (*Cettia cetti*) Tendencia (2012-2025): -3,9%

La especie muestra un **DESCENSO MODERADO*** de sus efectivos reproductores en el parque nacional.

Durante los primeros años de muestreo, la población experimentó un aumento importante, llegando a duplicar su abundancia respecto al inicio de la serie temporal. En 2017 el cetia ruiseñor alcanzó su abundancia máxima y, desde entonces, sus efectivos reproductores han ido menguando hasta situarse por debajo del valor de referencia durante las campañas de 2023 y 2024. Este hecho ha originado que el análisis muestre una tendencia negativa.

Sin embargo, la especie ha mostrado cierto repunte esta primavera, volviendo a valores por encima de los iniciales (40 individuos contados en 2025 frente a los 33 ejemplares de 2012). Si esta tendencia positiva se mantiene en el tiempo o su densidad permanece relativamente invariable en torno a las cifras actuales, probablemente la regresión negativa se desvanezca.

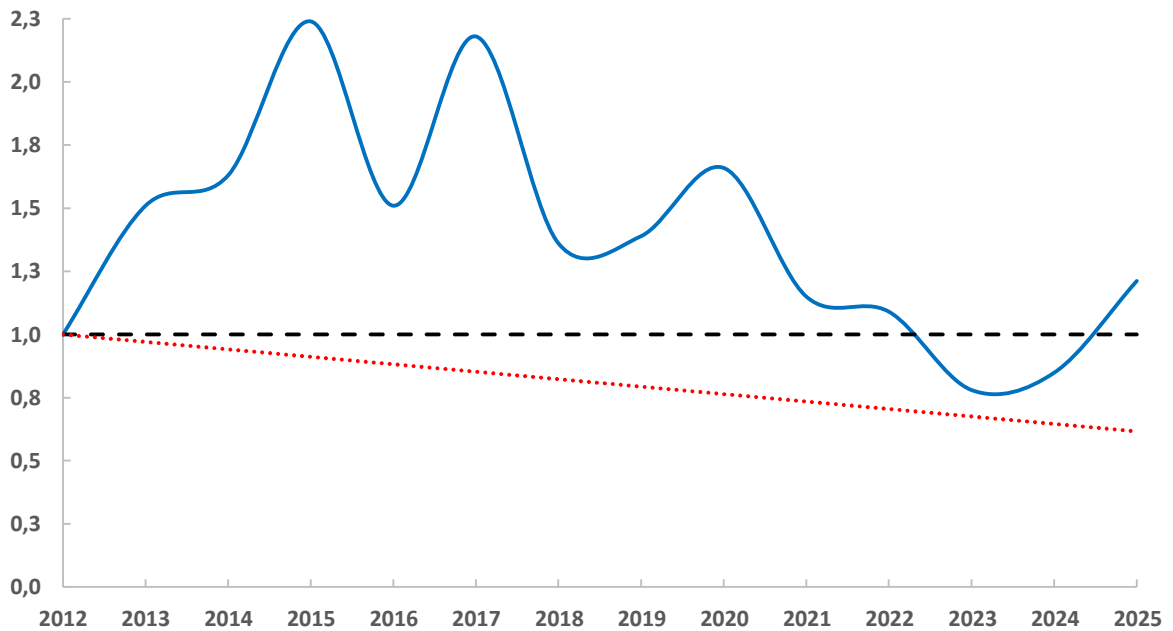


Ilustración 53. Índice de cambio del número total de individuos de cetia ruiseñor contabilizados anualmente en el Parque Nacional de Las Tablas de Daimiel

Su evolución poblacional se ajustaría más a lo encontrado en los programas de seguimiento de Cataluña y España, donde la especie permanece estable (ICO 2025) o con un incremento moderado (Escandell *et al.* 2023) respectivamente. Por lo tanto, los próximos años serán determinantes para afianzar la verdadera dinámica de la especie en el parque nacional.

Descenso moderado

Cisticola buitrón (*Cisticola juncidis*) Tendencia (2012-2025): -7,8%

La población del cisticola buitrón en el Parque Nacional de Las Tablas de Daimiel muestra un **DESCENSO MODERADO*** de sus efectivos reproductores (Ilustración 54).

Su abundancia presentó oscilaciones considerables desde el inicio del programa de seguimiento hasta la campaña de 2020, pero con valores relativamente próximos a los del año de comparación, lo que sugería cierta estabilidad.

En 2021 se obtiene el menor recuento de la especie desde el inicio de la serie temporal, con un descenso de efectivos del 90% respecto al año de comparación. Desde entonces, la especie parece que viene recuperándose paulatinamente porque el número de individuos aumenta con los años. Pero a pesar de ello, en términos generales, no se han alcanzado las estimas iniciales y la especie se considera en retroceso en el parque nacional.

No es descartable, sin embargo, que el descenso poblacional sea un fenómeno a mayor escala, que se extiende al conjunto de la población europea occidental, pues esta misma tendencia regresiva se observa en Cataluña y a nivel nacional (Escandell *et al.* 2023, ICO 2025), con un descenso moderado de parejas reproductoras en la última década.

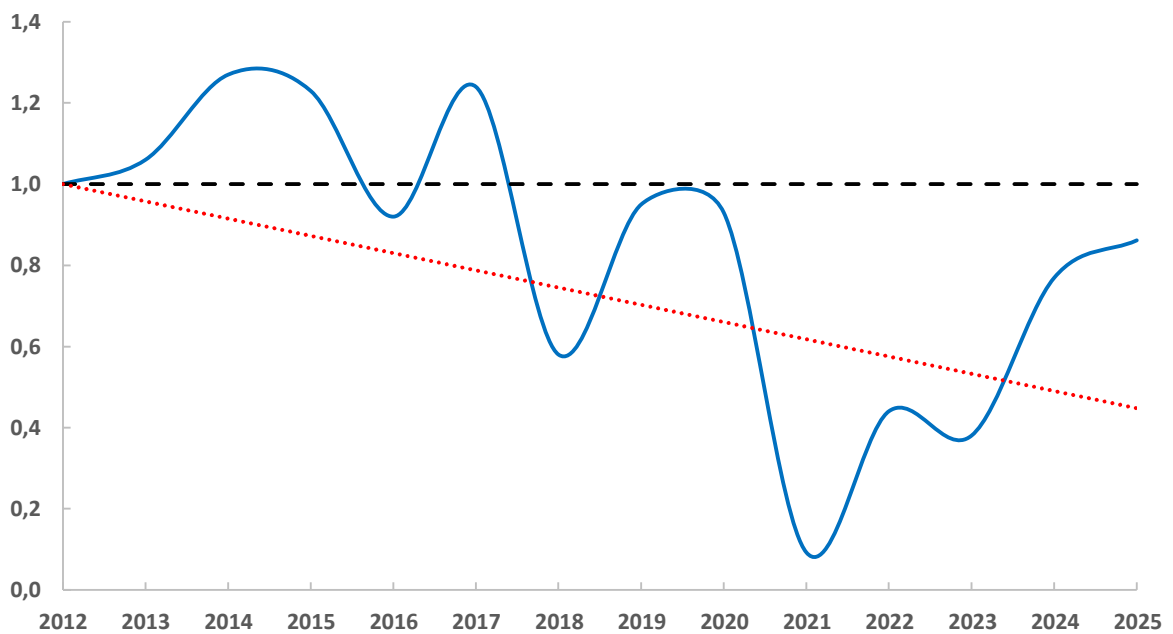


Ilustración 54. Índice de cambio del número total de individuos de cisticola buitrón contabilizados anualmente en el Parque Nacional de Las Tablas de Daimiel

Estable

Jilguero europeo (*Carduelis carduelis*)

La evolución poblacional del jilguero en el parque nacional presenta un comportamiento fluctuante con un primer periodo de aumento hasta 2015, seguido de una caída significativa hasta 2017, una recuperación parcial hasta 2022, un descenso en 2023, y una nueva recuperación en los dos últimos años registrados.

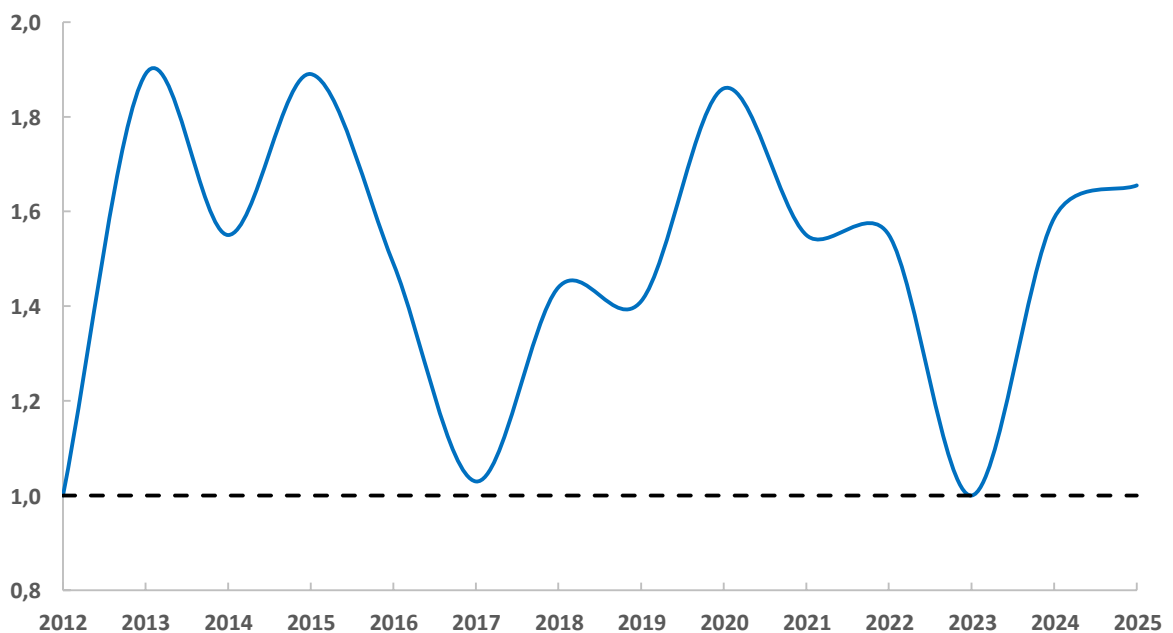


Ilustración 55. Índice de cambio del número total de individuos de jilguero europeo contabilizados anualmente en el Parque Nacional de Las Tablas de Daimiel

A pesar de estas importantes fluctuaciones, en términos generales, la población no varía con el paso del tiempo, es decir, fluctúa respecto a una población constante que se sitúa en torno a los 40-45 ejemplares, de manera que se estima que la abundancia de la especie se mantiene **ESTABLE**.

Este resultado se alinea con los resultados recabados en Cataluña donde también se encuentra este patrón de estabilidad durante la última década (ICO 2025). Por el contrario, a nivel nacional, la especie ofrece un descenso moderado de su población (Escandell *et al.* 2023),

Estable

Urraca común (*Pica pica*)

Los efectivos reproductores de urraca común han mostrado oscilaciones a lo largo de la serie temporal, pero se han mantenido relativamente invariables en torno a una población de 50 individuos, de manera que su evolución califica como **ESTABLE**.

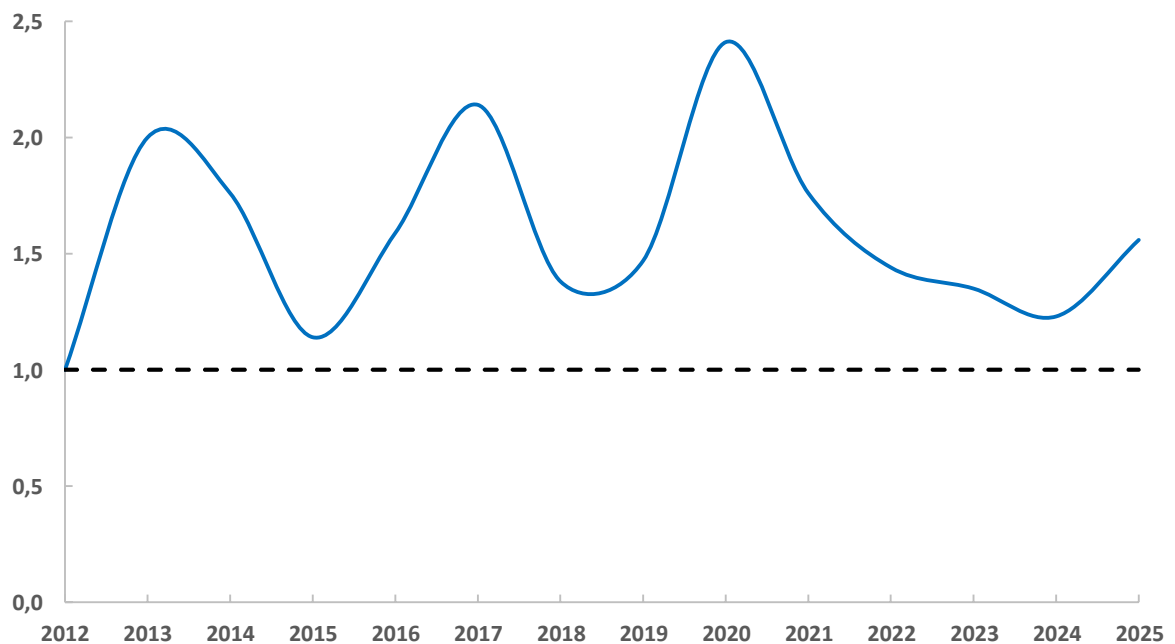


Ilustración 56. Índice de cambio del número total de individuos de urraca común contabilizados anualmente en el Parque Nacional de Las Tablas de Daimiel

A nivel nacional, considerando exclusivamente la última década, su estatus es igualmente estable, pero en el conjunto de este seguimiento (periodo 1998-2023) su población se encuentra en regresión (Escandell *et al.* 2023).

En Cataluña esta tendencia negativa es más patente, mostrando, tanto a lo largo de toda la serie temporal (periodo 2002-2023) como en la última década, un descenso moderado (ICO 2025).

Cabe estudiar en los próximos años cual es la evolución de la especie en el parque nacional ya que, si bien la situación puede parecer constante en ciertos contextos, existen estudios que apuntan hacia tendencias opuestas.

Incremento moderado

Ruiseñor común (*Luscinia megarhynchos*) Tendencia (2012-2025): +4,5%

Las estimas de abundancia del ruiseñor común en las Tablas de Daimiel muestra un **INCREMENTO MODERADO**** a lo largo del periodo analizado. Aunque durante las primeras temporadas se registraron ligeras fluctuaciones en su densidad, desde el año 2017 se produce un crecimiento prácticamente sostenido.

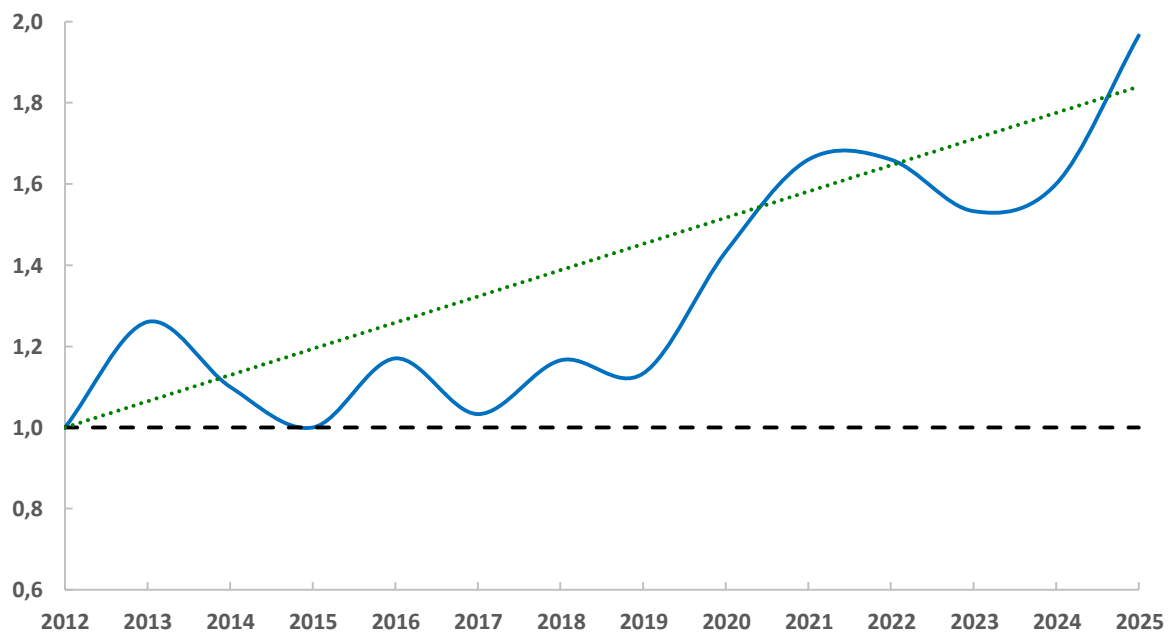


Ilustración 57. Índice de cambio del número total de individuos de ruiseñor común contabilizados anualmente en el Parque Nacional de Las Tablas de Daimiel.

Los muestreos realizados en la presente temporada muestran una abundancia que prácticamente duplica a la registrada al inicio de la serie temporal.

Su evolución positiva en el parque nacional parece ser el reflejo del proceso que la especie está experimentando a mayor escala, pues se aprecia un aumento de efectivos reproductores tanto en España como en Cataluña (Escandell *et al.* 2023, ICO 2025).

Incremento moderado

Estornino negro (*Sturnus unicolor*) Tendencia (2012-2025): +11,9%

El estornino negro ha mostrado oscilaciones de abundancia en los primeros años de seguimiento. Algunas de estas fluctuaciones fueron muy acusadas como la registrada en 2018, pero finalmente, los valores del siguiente año volvían a amortiguarse y a no distanciarse excesivamente de las estimas iniciales de 2012.

Desde el año 2021, se siguen registrando estas oscilaciones, sin embargo, los años siguientes no retornan a los valores de referencia si no que muestran una clara tendencia ascendente, por

lo que se considera que la especie muestra un **INCREMENTO MODERADO**** de su población reproductora en el parque nacional.

Las estimas de abundancia obtenidas en 2025 son casi cinco veces superiores a las obtenidas en 2012

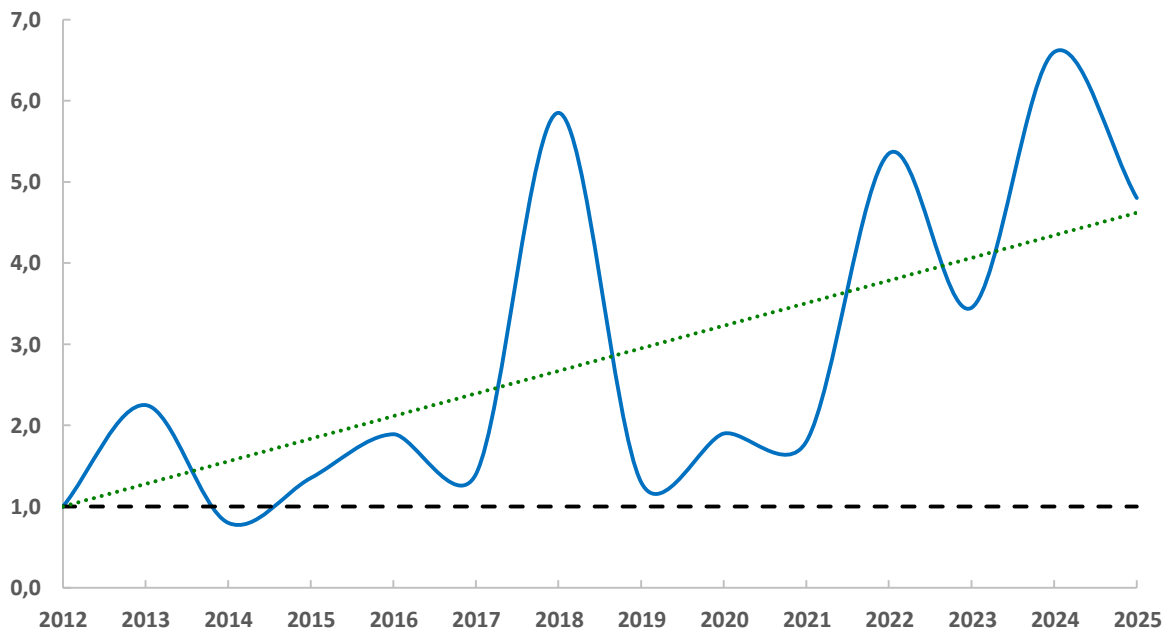


Ilustración 58. Índice de cambio del número total de individuos de estornino negro contabilizados anualmente en el Parque Nacional de Las Tablas de Daimiel.

Parece que su población, al menos, dentro del ámbito geográfico nacional, se mantiene estable en la última década (Escandell *et al.* 2023), por lo que la dinámica de la especie en el parque nacional debe responder a factores locales.

Incremento moderado

Abubilla (*Upupa epops*) Tendencia (2012-2025): +4,3%

El análisis estadístico de las estimas de abundancia de la abubilla común durante la primavera indica que la especie parece estar experimentando un **INCREMENTO MODERADO**** de su población en el parque nacional.

Sin embargo, este resultado puede estar afectado por la estima muy baja detectada en 2014 y, pocos años después, por unos valores elevados de abundancia, especialmente en 2020 y 2021. De hecho, son frecuentes los años en los que los valores obtenidos son iguales o relativamente similares al año de referencia. Por ejemplo, en 2017 y en este 2025 se han contabilizado 26 y 24 ejemplares respectivamente frente a los también 24 individuos del año de comparación (2012). Por lo tanto, no hay que descartar la posibilidad de que la especie se mantenga estable en el parque nacional.

A nivel nacional y en Cataluña su población reproductora se encuentra en aumento (Escandell *et al.* 2023, ICO 2025), por lo que los futuros muestreos en el parque nacional serán decisivos para

determinar con mayor fiabilidad si la especie sigue una tendencia igual o diferente a la encontrada a mayor escala geográfica.

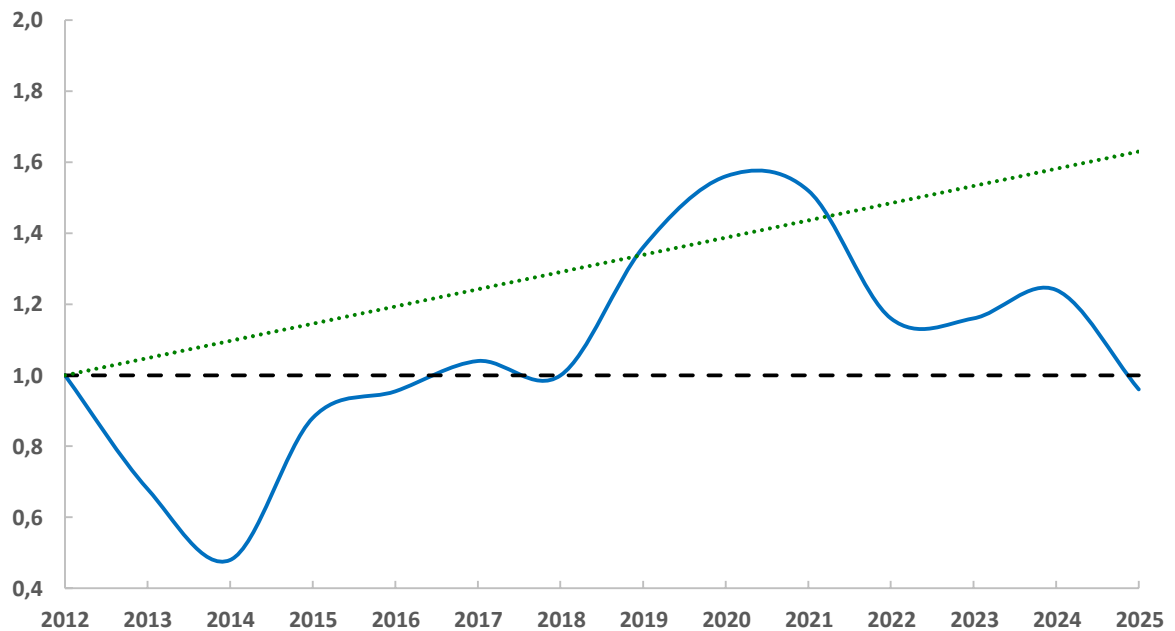


Ilustración 59. Índice de cambio del número total de individuos de abubilla común contabilizados anualmente en el Parque Nacional de Las Tablas de Daimiel.

Fuerte incremento

Carraca europea (*Coracias garrulus*) Tendencia (2012-2025): +16,6%

La especie está experimentando un **FUERTE INCREMENTO*** poblacional en el parque nacional.

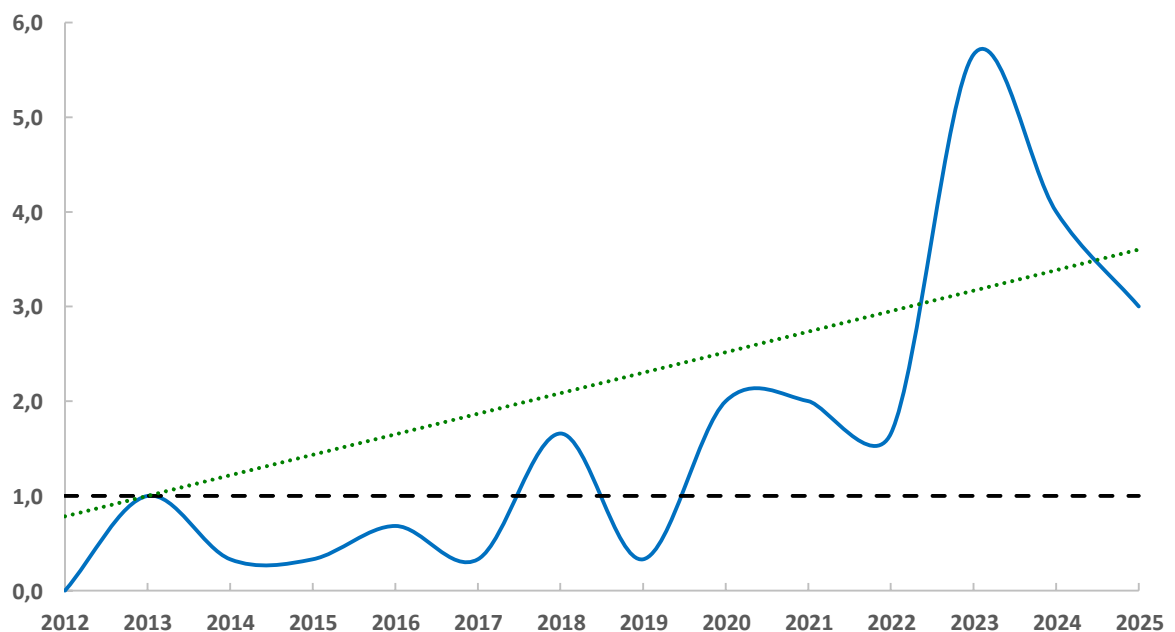


Ilustración 60. Índice de cambio del número total de individuos de carraca europea contabilizados anualmente en el Parque Nacional de Las Tablas de Daimiel.

Las estimas de abundancia de la carraca europea durante los primeros se han caracterizado por ligeras fluctuaciones sin una tendencia definida, pero escasamente alejadas de los valores registrados inicialmente en 2012.

Sin embargo, desde 2019 se ha producido un incremento en las observaciones de la especie, habiéndose alcanzado el máximo recuento en 2023 con 17 ejemplares. En la presente campaña, se ha contabilizado 9 individuos frente a los 3 de 2013 (en 2012 no se registró ninguna observación y no se ha considerado esta campaña como valor de referencia).

En los últimos años se ha colocado cajas-nido en diversos lugares alrededor del parque nacional para favorecer su presencia y reproducción, lo que podría haber originado estas últimas estimas más elevadas de abundancia. No obstante, no hay que descartar que este fenómeno sea fruto, total o parcialmente, de una tendencia positiva de la especie a mayor escala pues, en el conjunto de Cataluña, su dinámica poblacional es igualmente positiva (ICO 2025).

Fuerte incremento

Codorniz común (*Coturnix coturnix*) Tendencia (2012-2025): +25,6%

Durante los primeros años de seguimiento (2012-2017), las citas de codorniz común eran muy escasas (promedio: 1,6 individuos por temporada). En 2018 se contabiliza un número mayor de ejemplares (5) y supone el punto de inflexión a partir del cual su abundancia no ha dejado de incrementarse hasta alcanzar este año los 31 individuos, representando casi ocho veces la estima obtenida el primer año de la serie temporal. En este sentido, los datos se ajustan estadísticamente a un **FUERTE INCREMENTO*** de su población reproductora.

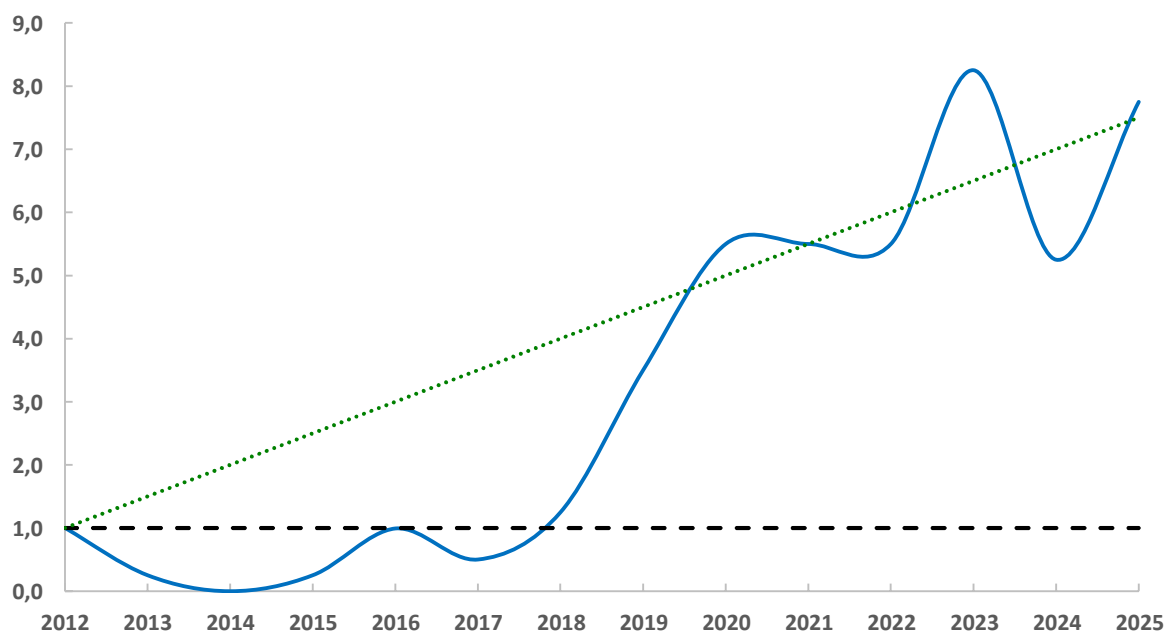


Ilustración 61. Índice de cambio del número total de individuos de codorniz común contabilizados anualmente en el Parque Nacional de Las Tablas de Daimiel.

La tendencia observada contrasta con la registrada tanto en Cataluña como a nivel estatal, donde muestra un claro retroceso (Escandell *et al.* 2023, ICO 2025). Esto sugiere que en el parque nacional podrían estar dándose condiciones favorables que estén facilitando su presencia.

Fuerte incremento

Escribano triguero (*Emberiza calandra*) Tendencia (2012-2025): +8,7%

El caso del escribano triguero es similar al mencionado con anterioridad. Sus estimas fueron relativamente estables hasta la temporada 2017, pero a partir de la siguiente temporada se experimentó un **FUERTE INCREMENTO**** de sus efectivos reproductores en el parque nacional. En este caso, no ha sido tan notable, pero en pocos años se ha pasado unas estimas poblacionales que aproximadamente duplican los valores iniciales (67 individuos en 2012 frente a los 126 ejemplares de la presente campaña).

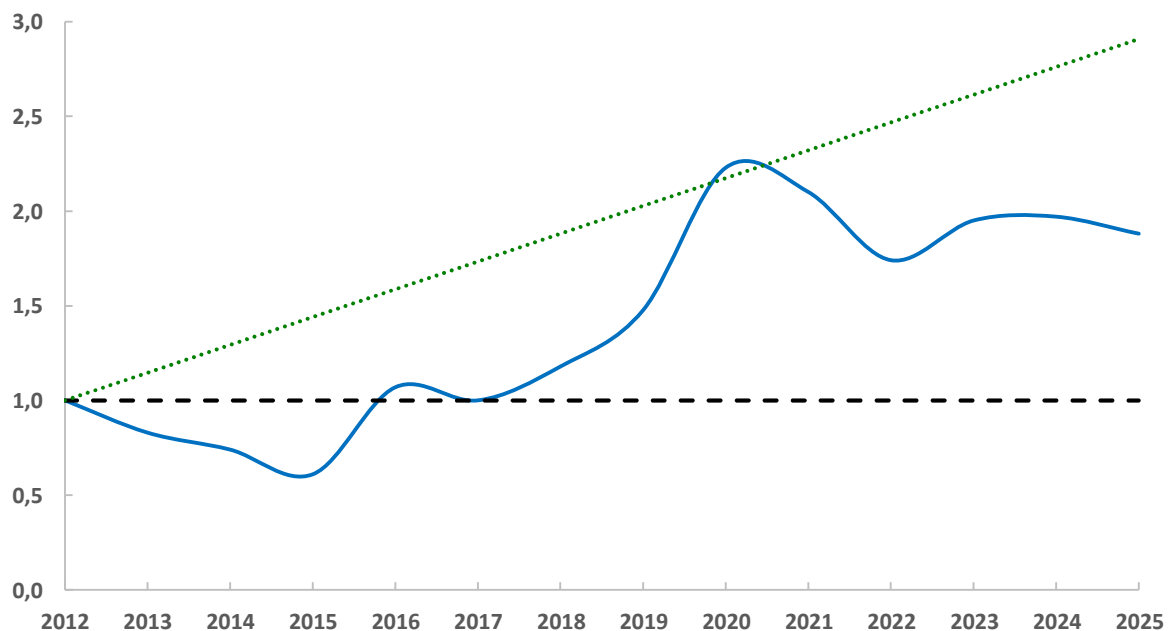


Ilustración 62. Índice de cambio del número total de individuos de escribano triguero contabilizados anualmente en el Parque Nacional de Las Tablas de Daimiel.

Sin duda, está encontrando en el parque nacional condiciones favorables para su desarrollo poblacional pues en otros programas de seguimiento como los realizados a nivel nacional y en Cataluña la especie no muestra la misma tendencia. En España su población parece estar mostrando un retroceso moderado (Escandell *et al.* 2023) mientras que, en Cataluña, parece mantenerse estable durante la última década (ICO 2025).

Fuerte incremento

Cogujada común (*Galerida cristata*) Tendencia (2012-2025): +13,2%

Desde la campaña de 2019, la cogujada común ha mostrado un **FUERTE INCREMENTO**** en el parque nacional, con un crecimiento especialmente notable en los últimos años. En las campañas previas, la población presentó leves fluctuaciones interanuales, pero a partir de ese punto su densidad ha aumentado de forma sostenida, salvo esta temporada que las estimas han sido algo menores, pero, en cualquier caso, muy por encima de las iniciales. Así, mientras que al inicio del programa de seguimiento se registraron 11 individuos, en la campaña actual se han contabilizado 40, lo que supone casi cuatro veces más.

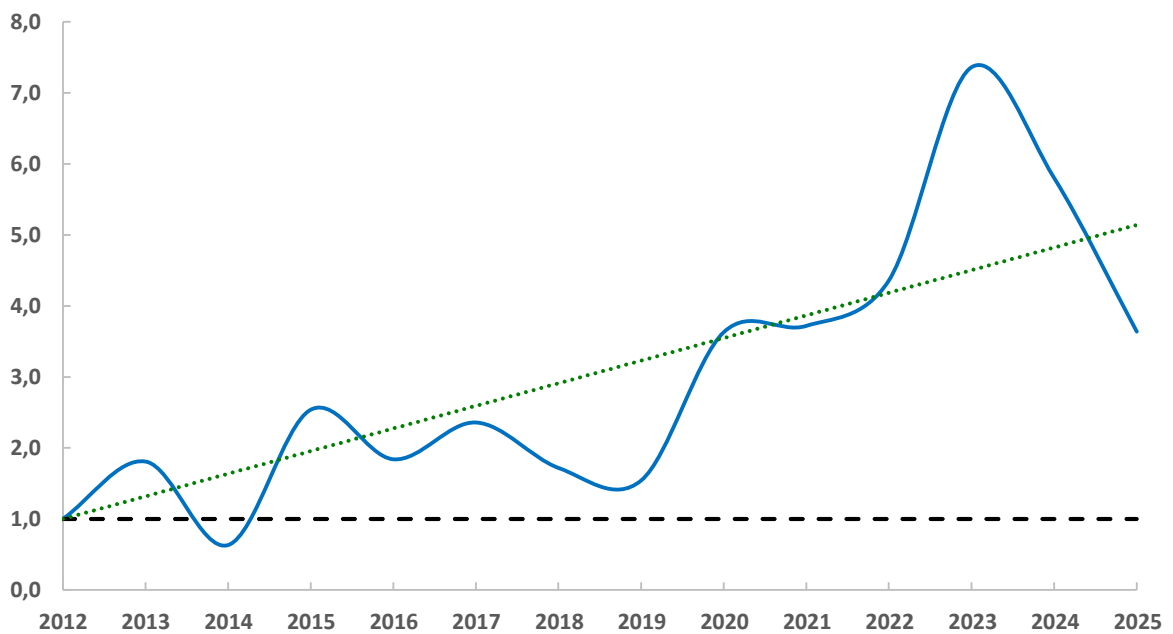


Ilustración 63. Índice de cambio del número total de individuos de cogujada común contabilizados anualmente en el Parque Nacional de Las Tablas de Daimiel.

En la última década, la información disponible a nivel nacional y catalán, muestra que la población reproductora de la especie permanece estable (Escandell *et al.* 2023, ICO 2025), de manera que habría que achacar la tendencia positiva encontrada en el parque nacional a factores fundamentalmente locales.

Tendencia por hábitats

Los puntos de muestreo en el Parque Nacional de Las Tablas de Daimiel se localizan principalmente en el hábitat acuático (28 de 40 puntos de escucha), aunque algunos de ellos presentan una importante fracción de terreno agrícola.

El resto de los hábitats están menos representados, siendo el dominado por los cultivos el más frecuente (7 puntos), respecto a zonas arboladas (1 punto) y herbáceas (4 puntos). En este sentido, se ha comparado la evolución de las especies entre los ambientes acuáticos y agrícolas.

En ambos hábitats, el número de especies distintas que se citan cada año, aunque con ligeras fluctuaciones, no muestra una tendencia al cambio, de manera que la evolución de la variable se considera **ESTABLE** en el tiempo. Así, tanto en el enclave acuático como en el dominado por los cultivos las oscilaciones interanuales no se alejan significativamente entre unos años y otros. El número de especies que se contabilizan por temporada en el hábitat acuático se sitúa entre los 75 y 83 taxones mientras que, en el ambiente agrícola, se suele concentrar entre los 33 y 37 taxones por campaña.

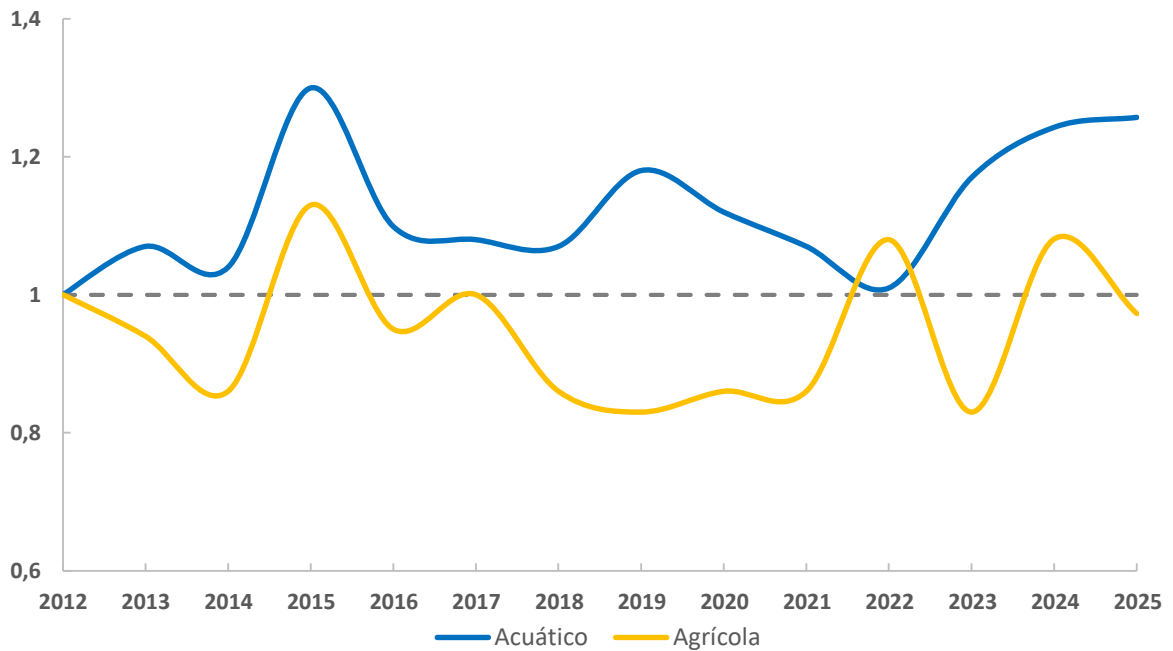


Ilustración 64. Índice de cambio del número especies contabilizadas anualmente en los distintos hábitats del Parque Nacional de Las Tablas de Daimiel

Al analizar la abundancia total de individuos en los distintos hábitats, se observa una evolución dispar. En el enclave acuático, las fluctuaciones interanuales son muy marcadas, lo que impide establecer una tendencia clara en la dinámica de la variable (tendencia incierta). En cambio, en el hábitat agrícola, se detecta un **INCREMENTO MODERADO*** de la abundancia, con una tasa media de crecimiento anual del 2,6 %.

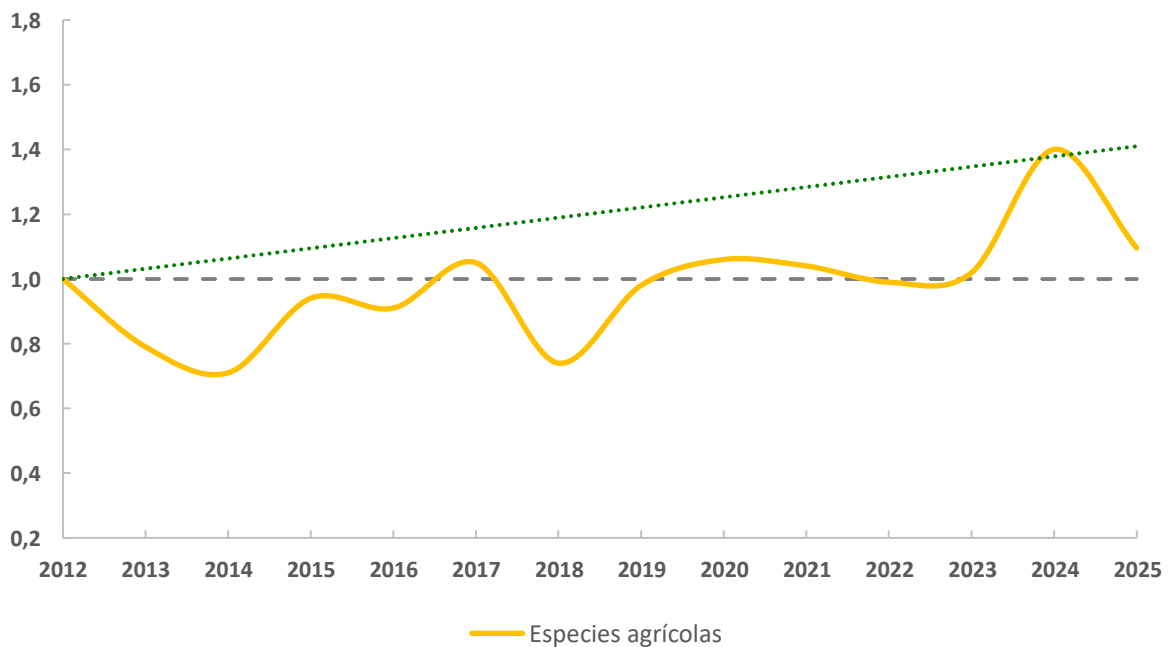


Ilustración 65. Índice de cambio del número total de individuos contabilizados anualmente en los distintos hábitats del Parque Nacional de Las Tablas de Daimiel

Por otro lado, se ha analizado conjuntamente la abundancia total de diversas especies propias del ambiente acuático (buscarla unicolor, lavandera boyera y pájaro moscón) y de aquellas otras propias de enclaves agrícolas (pardillo común, gorrión común y tarabilla común).

Los resultados no son concluyentes en ninguno de los dos casos. Se observa fluctuaciones interanuales acusadas que impiden establecer, con un nivel de confianza razonable, un patrón sostenido en el tiempo, por lo que ambos análisis han desembocado en tendencias INCIERTAS. Es decir, no es posible discernir si los cambios en la abundancia de las especies propias de estos ecosistemas responden a una dinámica concreta o simplemente corresponden a variaciones aleatorias.

Parque Nacional de Cabañeros

Durante los muestreos realizados este año en época reproductora en el Parque Nacional de Cabañeros se ha identificado 64 especies distintas de aves, que contabilizaron un total de 2.059 individuos. Entre los taxones más abundantes destaca el gorrión moruno y, en menor medida, el pinzón vulgar.

Tabla 4. Especies y número de individuos contabilizados en el Parque Nacional de Cabañeros en primavera de 2025.

| NOMBRE CIENTÍFICO | NOMBRE COMÚN | INDIVIDUOS |
|--------------------------------------|------------------------|------------|
| <i>Aegithalos caudatus</i> | Mito común | 43 |
| <i>Aegypius monachus</i> | Buitre negro | 13 |
| <i>Alauda arvensis</i> | Alondra común | 1 |
| <i>Alectoris rufa</i> | Perdiz roja | 8 |
| <i>Apus apus</i> | Vencejo común | 24 |
| <i>Calandrella brachydactyla</i> | Terrera común | 1 |
| <i>Carduelis carduelis</i> | Jilguero europeo | 10 |
| <i>Cecropis daurica</i> | Golondrina dáurica | 5 |
| <i>Certhia brachydactyla</i> | Agateador europeo | 47 |
| <i>Chloris chloris</i> | Verderón común | 14 |
| <i>Ciconia ciconia</i> | Cigüeña blanca | 22 |
| <i>Circaetus gallicus</i> | Culebrera europea | 1 |
| <i>Cisticola juncidis</i> | Cisticola buitrón | 3 |
| <i>Coccothraustes coccothraustes</i> | Picogordo común | 10 |
| <i>Columba palumbus</i> | Paloma torcaz | 144 |
| <i>Corvus corax</i> | Cuervo grande | 6 |
| <i>Coturnix coturnix</i> | Codorniz común | 9 |
| <i>Cuculus canorus</i> | Cuco común | 8 |
| <i>Cyanistes caeruleus</i> | Herrerillo común | 100 |
| <i>Cyanopica cookii</i> | Rabilargo ibérico | 25 |
| <i>Dendrocopos major</i> | Pico picapinos | 28 |
| <i>Emberiza calandra</i> | Escribano triguero | 54 |
| <i>Erithacus rubecula</i> | Petirrojo europeo | 96 |
| <i>Falco naumanni</i> | Cernícalo primilla | 1 |
| <i>Falco tinnunculus</i> | Cernícalo vulgar | 1 |
| <i>Fringilla coelebs</i> | Pinzón vulgar | 234 |
| <i>Galerida cristata</i> | Cogujada común | 14 |
| <i>Galerida theklae</i> | Cogujada montesina | 1 |
| <i>Garrulus glandarius</i> | Arrendajo euroasiático | 27 |
| <i>Gyps fulvus</i> | Buitre leonado | 30 |
| <i>Hieraaetus pennatus</i> | Águila calzada | 4 |
| <i>Hippolais polyglotta</i> | Zarcero polígloa | 2 |
| <i>Lanius senator</i> | Alcaudón común | 17 |
| <i>Linaria cannabina</i> | Pardillo común | 12 |

| NOMBRE CIENTÍFICO | NOMBRE COMÚN | INDIVIDUOS |
|--------------------------------|----------------------|------------|
| <i>Lophophanes cristatus</i> | Herrerillo capuchino | 32 |
| <i>Lullula arborea</i> | Alondra totovía | 35 |
| <i>Luscinia megarhynchos</i> | Ruiseñor común | 29 |
| <i>Melanocorypha calandra</i> | Calandria común | 36 |
| <i>Merops apiaster</i> | Abejaruco europeo | 4 |
| <i>Oriolus oriolus</i> | Oropéndola europea | 34 |
| <i>Parus major</i> | Carbonero común | 58 |
| <i>Passer domesticus</i> | Gorrión común | 6 |
| <i>Passer hispaniolensis</i> | Gorrión moruno | 283 |
| <i>Petronia petronia</i> | Gorrión chillón | 3 |
| <i>Phylloscopus bonelli</i> | Mosquitero papialbo | 12 |
| <i>Picus sharpei</i> | Pito real ibérico | 1 |
| <i>Ptyonoprogne rupestris</i> | Avión roquero | 3 |
| <i>Regulus ignicapilla</i> | Reyezuelo listado | 4 |
| <i>Saxicola rubicola</i> | Tarabilla europea | 1 |
| <i>Serinus serinus</i> | Serín verdicillo | 33 |
| <i>Sitta europaea</i> | Trepador azul | 63 |
| <i>Streptopelia decaocto</i> | Tórtola turca | 7 |
| <i>Streptopelia turtur</i> | Tórtola europea | 91 |
| <i>Sturnus unicolor</i> | Estornino negro | 5 |
| <i>Sylvia atricapilla</i> | Curruca capirozada | 8 |
| <i>Sylvia cantillans</i> | Curruca carrasqueña | 41 |
| <i>Sylvia hortensis</i> | Curruca mirlona | 4 |
| <i>Sylvia melanocephala</i> | Curruca cabecinegra | 29 |
| <i>Sylvia undata</i> | Curruca rabilarga | 51 |
| <i>Troglodytes troglodytes</i> | Chochín común | 35 |
| <i>Turdus merula</i> | Mirlo común | 110 |
| <i>Turdus philomelos</i> | Zorzal común | 2 |
| <i>Turdus viscivorus</i> | Zorzal charlo | 18 |
| <i>Upupa epops</i> | Abubilla | 6 |

Tendencias generales

El número de especies contabilizadas cada año ha experimentado un ligero descenso desde el inicio del programa de seguimiento. Esta disminución ha sido relativamente progresiva hasta alcanzar el mínimo en 2021 con 62 taxones. Posteriormente, este valor se ha recuperado ligeramente, pero sin llegar a alcanzar los valores iniciales. De hecho, entre 2012 y 2015 el promedio de especies citadas fue de 73 frente a 68 del periodo 2017-2025. En consecuencia, la tendencia resultante se ajusta a un **DESCENSO MODERADO***, con una tasa promedio de pérdida anual del 1,0%.

Algunas especies como el azor común, el pico menor, la collalba rubia y el sisón común estaban presentes de manera regular en los primeros años del estudio, mientras que en las últimas temporadas no han sido registrados.

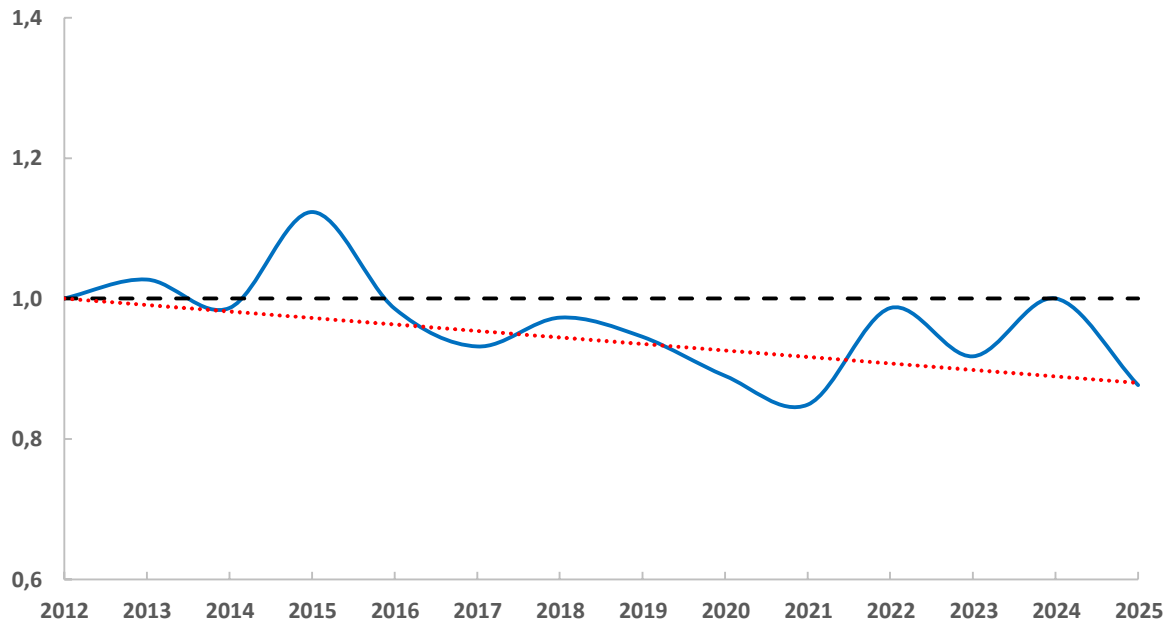


Ilustración 66. Índice de cambio del número de especies detectadas en el Parque Nacional de Cabañeros

Los próximos años son importantes para determinar si la tendencia se confirma y adoptar medidas de gestión si fuera necesario.

La abundancia total de individuos ha mostrado fluctuaciones interanuales notables, pero los cambios no reflejan una tendencia clara de aumento o disminución en el número de efectivos reproductores a lo largo del tiempo. Además, los valores actuales no difieren significativamente de los registrados al inicio de la serie temporal, por lo que esta variable se considera **ESTABLE**.

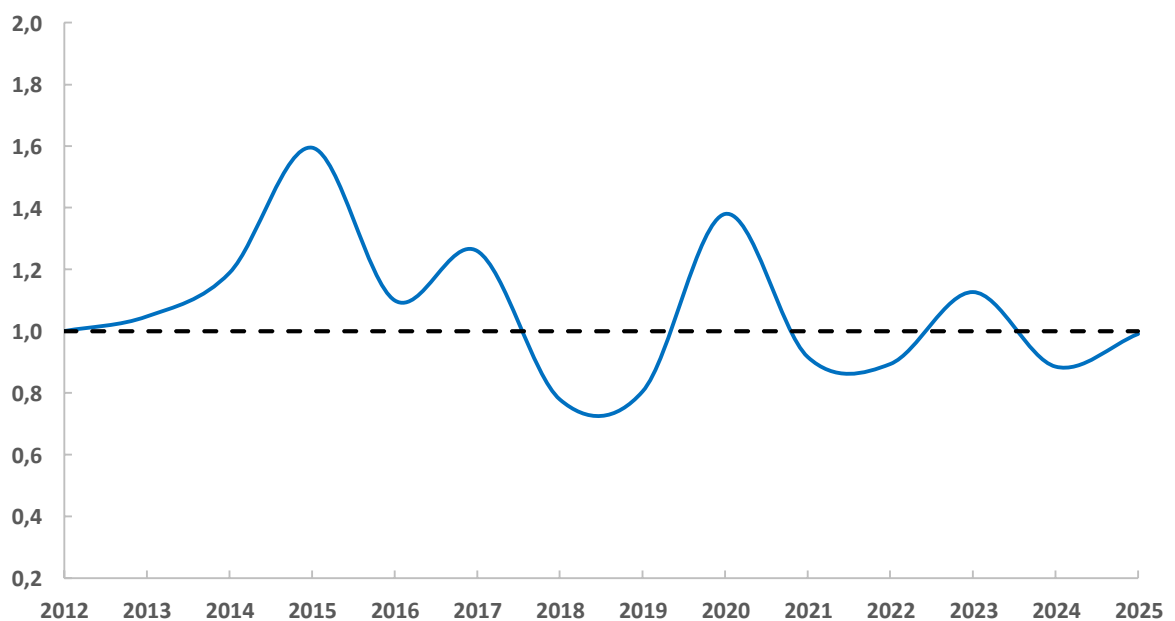


Ilustración 67. Índice de cambio del número de individuos detectados en el Parque Nacional de Cabañeros

En promedio, el número total de aves que se contabilizan anualmente se sitúa en torno a los 1.900-2.500 ejemplares.

Tendencia por especies

Se ha evaluado la tendencia poblacional de 49 especies de aves presentes en el parque nacional, seleccionadas por contar con datos suficientes de abundancia. En la mayoría de los casos (29 taxones; 59%), no se ha podido determinar una dinámica poblacional clara a lo largo del tiempo, por lo que han sido clasificadas como de tendencia incierta.

Entre las especies con cambios estadísticamente significativos a lo largo de la serie temporal, la mayoría (12 taxones) presentan una tendencia descendente en sus poblaciones reproductoras, aunque con diferentes grados de intensidad. Por el contrario, dos especies muestran una tendencia creciente, mientras que seis mantienen poblaciones estables.

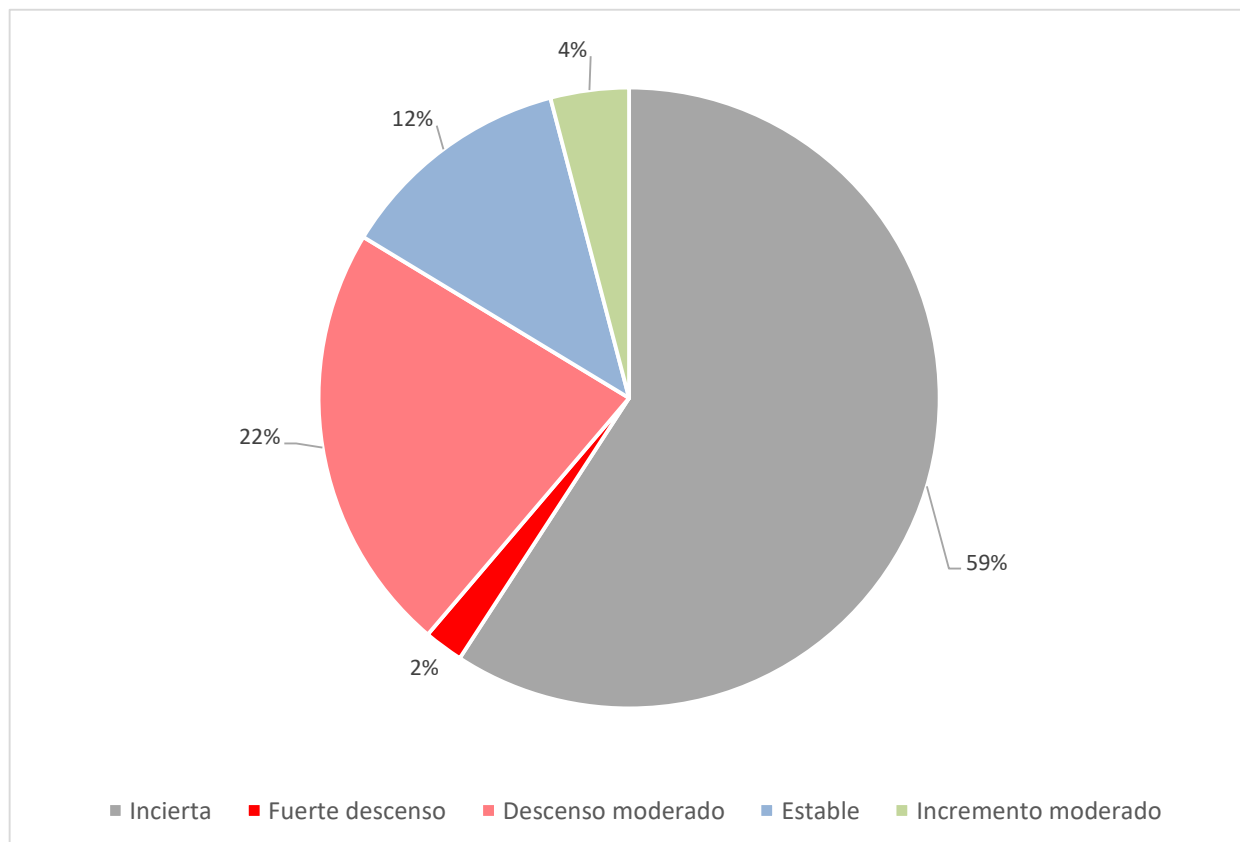


Ilustración 68. Proporción de tendencias poblacionales obtenidas en el Parque Nacional de Cabañeros

A continuación, se muestran las especies que mostraron variaciones poblacionales estadísticamente significativas según su tendencia.

Fuerte descenso

Arrendajo euroasiático (*Garrulus glandarius*) Tendencia (2012-2025): -8,5%

La evolución poblacional del arrendajo euroasiático muestra dos periodos claramente diferenciados. Un periodo sería el comprendido entre los años 2012 y 2017, cuando se contabilizaban un promedio de 70 individuos. En el otro, posterior y que abarcaría hasta la

presente campaña, su abundancia promedia 31 ejemplares, es decir, una pérdida poblacional superior al 50% de efectivos.

Esta regresión se ha producido drásticamente, de manera que los datos se ajustan estadísticamente a un **FUERTE DESCENSO***.

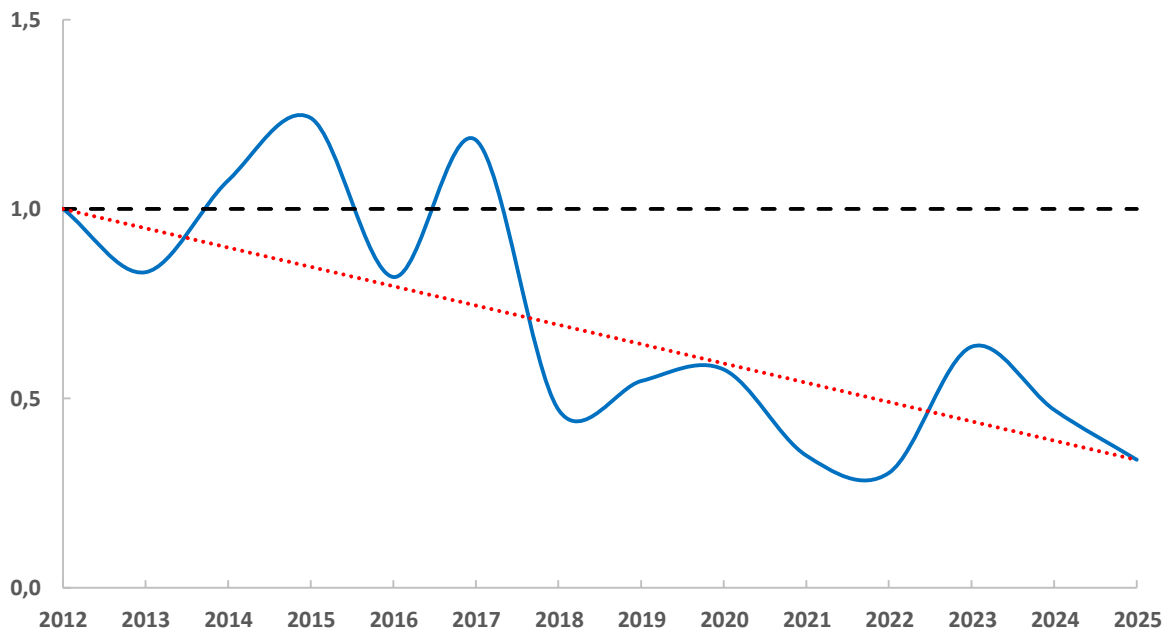


Ilustración 69. Índice de cambio del número de individuos de arrendajo euroasiático en el Parque Nacional de Cabañeros

Esta dinámica poblacional no se ha detectado en otros programas de seguimiento de aves en la península ibérica. En efecto, tanto en Cataluña como en el conjunto del territorio español, el arrendajo euroasiático ha mostrado poblaciones relativamente estables durante, al menos, la última década (Escandell *et al.* 2023, ICO 2025). Estos resultados apuntan a la existencia de factores locales como posibles responsables del retroceso poblacional observado en el parque.

Descenso moderado

Perdiz roja (*Alectoris rufa*) Tendencia (2012-2025): -10,1%

El número de individuos contabilizados por temporada se ha mantenido en valores similares o incluso superiores al año de referencia durante las primeras campañas. Sin embargo, a partir de la temporada reproductora de 2018, las observaciones de la especie comenzaron a disminuir progresivamente. En 2024 se registró el valor más bajo de toda la serie temporal, con tan solo 2 individuos detectados.

Aunque en la campaña actual (2025) se ha observado un leve repunte, las cifras siguen siendo muy inferiores a las registradas al inicio del programa de seguimiento, alcanzando únicamente el 60% del valor tomado como referencia.

Este descenso se ha producido de forma paulatina, sin indicios de recuperación sostenida en los últimos años. Por lo tanto, todo indica que la especie está experimentando un **DESCENSO MODERADO*** de su población reproductora en el parque nacional,

Los programas de seguimiento desarrollados en Cataluña y a escala estatal indican que, durante la última década (periodo más comparable al considerado en el presente estudio), la tendencia de la población reproductora de la especie es incierta. Sin embargo, al ampliar el análisis a todo el periodo disponible (aproximadamente 25 años), ambos programas evidencian un descenso moderado (Escandell *et al.* 2023, ICO 2025). En este contexto, la evolución observada en el parque nacional podría estar reflejando una dinámica poblacional coherente con la tendencia general de la especie a nivel regional o estatal.

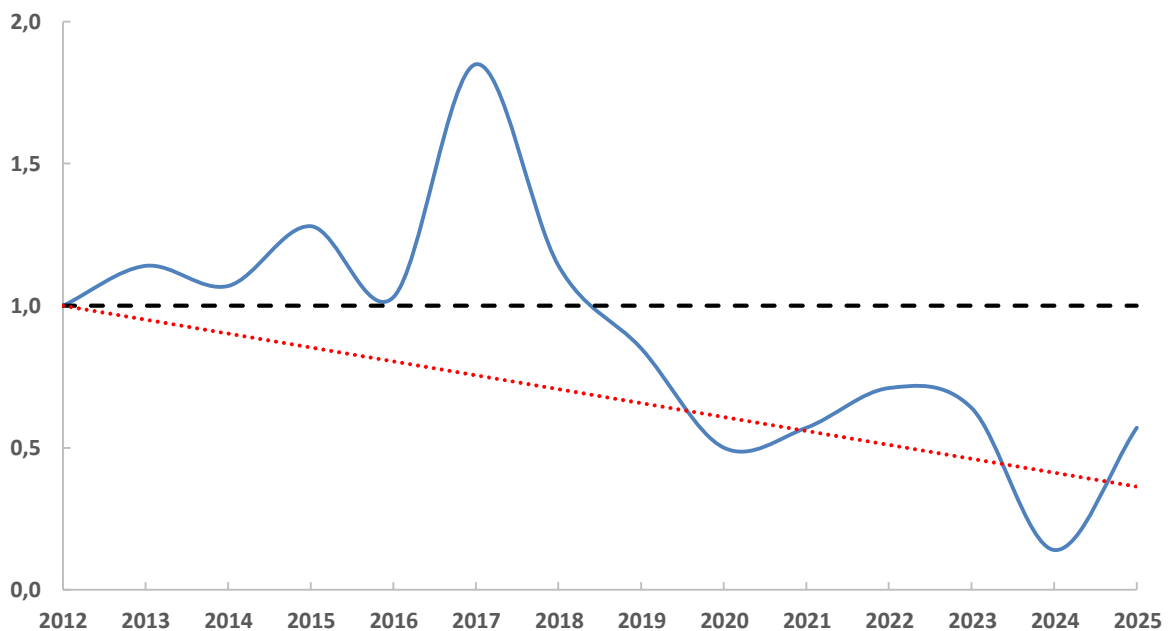


Ilustración 70. Índice de cambio del número de individuos de perdiz roja en el Parque Nacional de Cabañeros

Descenso moderado

Golondrina daurica (*Cecropis daurica*) Tendencia (2012-2025): -6,4%

Las estimas poblacionales de la golondrina daurica a lo largo de la serie temporal ha mostrado diversos altibajos, pero con una clara tendencia al recuento cada vez menor del número de ejemplares. Esta pérdida, aunque gradual, es significativa de manera que los recuentos de la presente campaña suponen únicamente el 30% de los registrados en el año de comparación. Por todo ello, la especie muestra un **DESCENSO MODERADO*** en el parque nacional.

En los programas de seguimiento consultados que abarcan un periodo temporal similar, la dinámica poblacional de la especie muestra resultados diferentes. A nivel estatal, se considera que sus efectivos reproductores permanecen estables (Escandell *et al.* 2023), mientras que, en los muestreos realizados en Cataluña, no se puede obtener una conclusión concreta sobre su dinámica poblacional (ICO 2025). En cualquier caso, no parece que la evolución sea negativa, por lo que los factores que pueden estar influyendo sobre su dinámica poblacional deben tener carácter local.

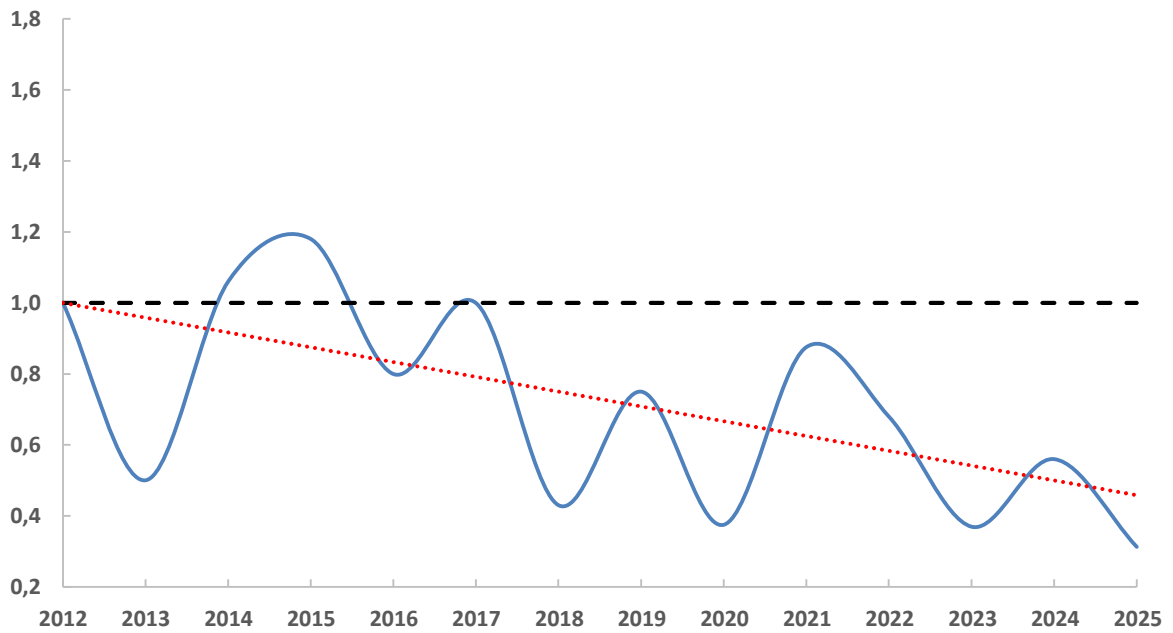


Ilustración 71. Índice de cambio del número de individuos de golondrina daurica en el Parque Nacional de Cabañeros

Descenso moderado

Agateador europeo (*Certhia brachydactyla*) Tendencia (2012-2025): -3,8%

Según los muestreos realizados, la población reproductora de la especie muestra un **DESCENSO MODERADO****, con una tasa de disminución anual cercana al 4%

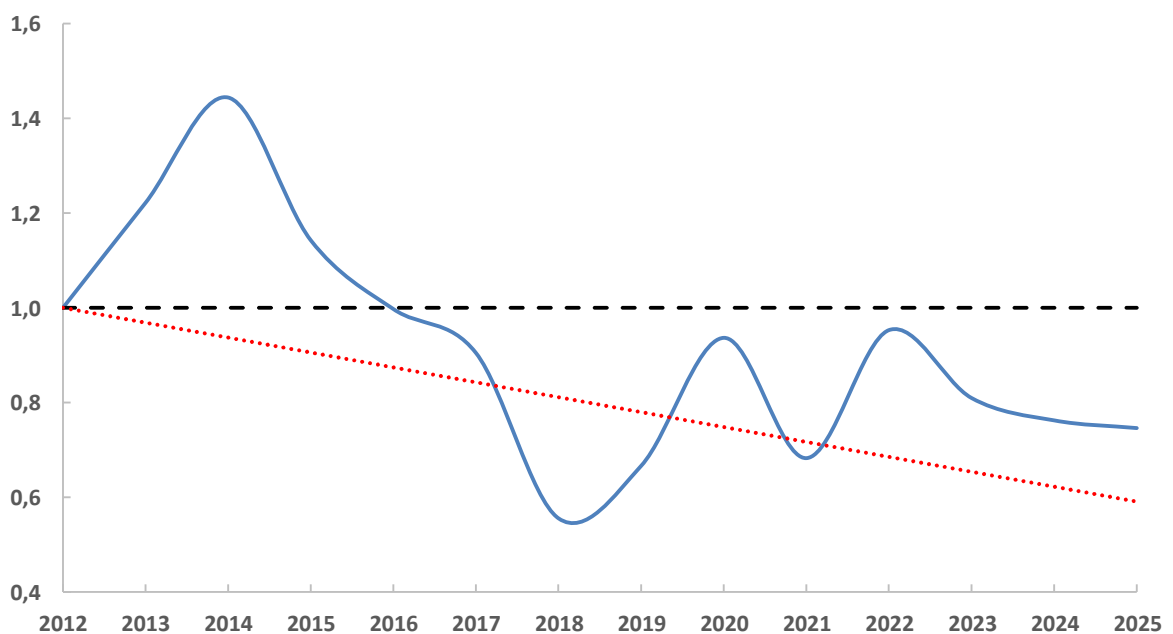


Ilustración 72. Índice de cambio del número de individuos de agateador europeo en el Parque Nacional de Cabañeros

La abundancia del agateador a lo largo de la serie temporal se divide en dos etapas. La inicial, con mayores valores de densidad, y una posterior a partir del año 2017 con unos valores

claramente por debajo de los obtenidos en el año de comparación. Aunque en las últimas campañas el número de efectivos parece estabilizarse, sigue situándose por debajo de los recuentos iniciales, ofreciendo esta tendencia negativa. Actualmente, los registros de agateador común son un 25% inferiores al os iniciales.

La evolución encontrada es opuesta a la obtenida en los programas de seguimiento de aves a largo plazo que se llevan a cabo a nivel nacional y en Cataluña, donde se ha encontrado que su población reproductora se encuentra al alza (Escandell *et al.* 2023, ICO 2025). Por lo tanto, las causas de su retroceso cabría buscarlas en factores intrínsecos al parque nacional, relacionados con el estado de conservación de las masas forestales donde la especie muestra especial preferencia.

Descenso moderado

Cuco común (*Cuculus canorus*) Tendencia (2012-2025): -9,6%

La evolución poblacional del cuco común muestra un **DESCENSO MODERADO**** de sus efectivos reproductores. Su disminución ha sido relativamente constante, pero especialmente drástica en los últimos dos años. Así, los recuentos de 2025 sólo suponen el 21% de los registrados al inicio de la serie temporal (8 frente a 37 individuos respectivamente).

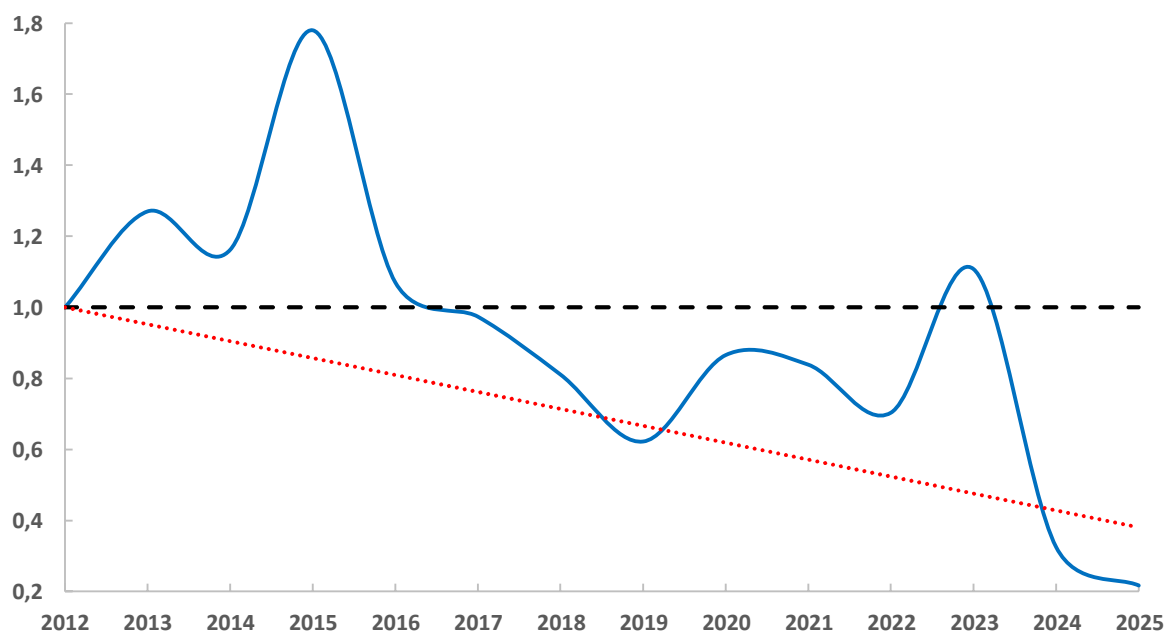


Ilustración 73. Índice de cambio del número de individuos de cuco común en el Parque Nacional de Cabañeros

Esta misma tendencia se ha encontrado en Cataluña (ICO 2025) por lo que cabría pensar que podría tratarse de una tendencia general para el conjunto de la especie. Sin embargo, a nivel nacional, la evolución encontrada es totalmente la opuesta, con un incremento moderado de su población nidificante (Escandell *et al.* 2023). Por lo tanto, no es posible aventurar si la dinámica poblacional que se ha encontrado en el parque nacional responde a acontecimientos locales o si, por el contrario, responde a aspectos de ámbito geográfico más amplio.

Descenso moderado

Herrerillo común (*Cyanistes caeruleus*) Tendencia (2012-2025): -2,1%

El análisis de los datos obtenidos, indica que el herrerillo común presenta un **DESCENSO MODERADO*** en sus efectivos reproductores a lo largo del periodo analizado. No obstante, en las campañas más recientes, los valores de abundancia se sitúan en niveles muy similares a los registrados al inicio de la serie (año 2012). Esto sugiere que la tendencia negativa observada podría estar condicionada por estimaciones elevadas en los primeros años del seguimiento, y que, en realidad, la población podría mantenerse estable en el parque nacional.

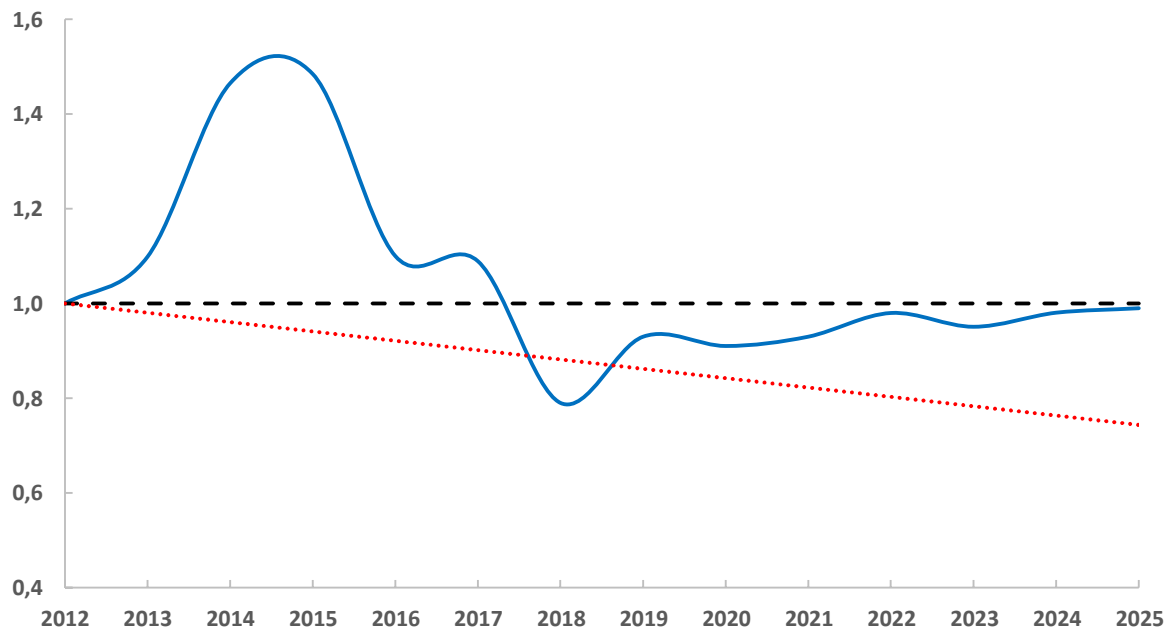


Ilustración 74. Índice de cambio del número de individuos de herrerillo común en el Parque Nacional de Cabañeros

Este posible patrón de estabilidad es coherente con los resultados obtenidos a escala autonómica en Cataluña, donde la población ofrece una tendencia estable (ICO 2025). Pero también existe un resultado de regresión negativa si se consideran los recuentos a nivel nacional (Escandell *et al.* 2023), por lo que la continuidad del seguimiento en los próximos años será clave para confirmar si la aparente recuperación observada recientemente se consolida y modifica la tendencia de la especie en el ámbito del parque.

Descenso moderado

Escribano triguero (*Emberiza calandra*) Tendencia (2012-2025): -3,1%

Las estimaciones de abundancia del escribano triguero se han mantenido relativamente estables a lo largo de la serie temporal analizada. Sin embargo, durante las tres últimas campañas de primavera se han registrado densidades particularmente bajas. Aunque en el último año se ha observado una ligera recuperación, los valores siguen por debajo de los niveles iniciales, lo que ha contribuido decisivamente a que la tendencia general se interprete como un **DESCENSO MODERADO***.

En base a los resultados del último muestreo, su población reproductora en el parque nacional se ha reducido cerca de un 16% respecto a los valores iniciales.

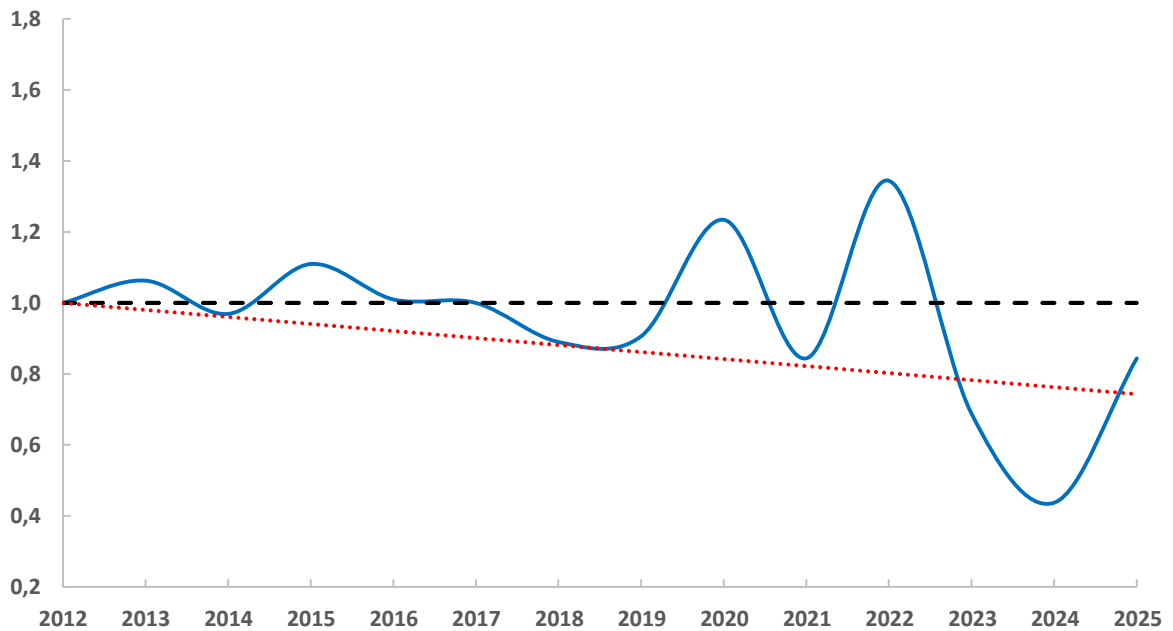


Ilustración 75. Índice de cambio del número de individuos de escribano triguero en el Parque Nacional de Cabañeros

Esta tendencia es coherente con los resultados obtenidos en el programa de seguimiento a nivel estatal, donde el escribano triguero también muestra un retroceso poblacional (Escandell *et al.* 2023). No obstante, en Cataluña, las estimaciones de la última década indican una población estable (ICO 2025).

En este contexto, los datos que se obtengan en las próximas campañas en el parque nacional serán clave para esclarecer si la especie está experimentando una disminución real de efectivos o si, por el contrario, está en proceso de recuperación hacia los valores de densidad iniciales.

Descenso moderado

Escribano montesino (*Emberiza cia*) Tendencia (2012-2025): -9,1%

La abundancia del escribano montesino en el Parque Nacional de Cabañeros ha mostrado un **DESCENSO MODERADO**** a lo largo del periodo analizado, con una disminución especialmente marcada a partir de la campaña de 2018. En el primer año del programa de seguimiento se registraron valores relativamente elevados, con un máximo de 19 ejemplares. Posteriormente, en 2017, el muestreo fue de 14 individuos, pero desde entonces los registros se han reducido de forma notable, con una media de entre 3 y 4 ejemplares por temporada en los años más recientes. Esta tendencia descendente se ha acentuado en la presente campaña, en la que no se ha detectado ningún individuo.

La tendencia negativa observada en el parque nacional no constituye un fenómeno aislado. De hecho, resultados similares se han registrado en otros programas de seguimiento. Tanto a escala estatal como en el ámbito catalán, los estudios realizados coinciden en señalar una regresión de la población de escribano montesino, lo que sugiere que este declive forma parte de un proceso más amplio que está afectando a la especie (Escandell *et al.* 2023, ICO 2025).

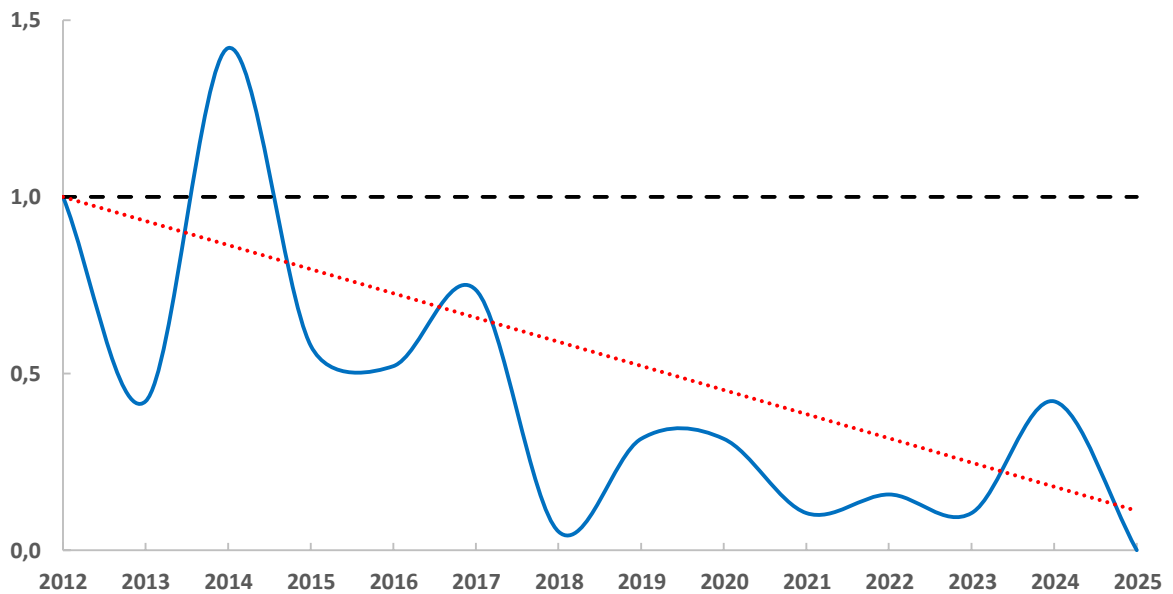


Ilustración 76. Índice de cambio del número de individuos de escribano montesino en el Parque Nacional de Cabañeros

Descenso moderado

Alondra totovía (*Lullula arborea*) Tendencia (2012-2025): -4,4%

La especie parece estar experimentando un **DESCENSO MODERADO*** de su población reproductora en el parque nacional.

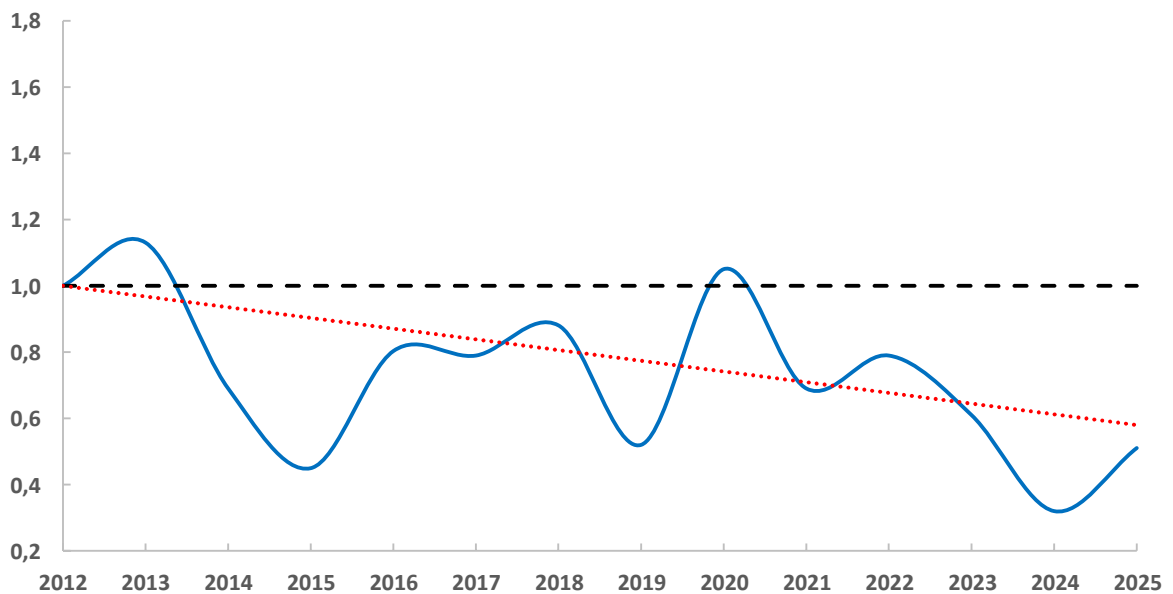


Ilustración 77. Índice de cambio del número de individuos de alondra totovía en el Parque Nacional de Cabañeros

Experimenta una rápida disminución de su abundancia tras los primeros muestreos, contabilizándose un 55% menos de ejemplares en 2015. Desde este momento, y tras una leve recuperación, su densidad ha permanecido más o menos constante, en torno a los 54 individuos. Pero en estas dos últimas campañas se ha vuelto a producir un nuevo descenso, más acusado, que parece confirmar su tendencia negativa.

Esta evolución, dista mucha de la observada en los programas de seguimiento realizados en Cataluña o a nivel estatal, donde la especie se considera estable durante el periodo reproductor (ICO 2025) o incluso en crecimiento moderado (Escandell *et al.* 2023). Por lo tanto, las razones de esta disminución poblacional habría que buscarlas en la propia dinámica del parque nacional.

Descenso moderado

Carbonero común (*Parus major*) Tendencia (2012-2025): -3,5%

La abundancia de la especie se ha mantenido relativamente estable a lo largo de la serie temporal, con valores próximos a los del año de referencia. No obstante, en las dos campañas más recientes se ha registrado una disminución significativa respecto a dicho valor, lo que ha contribuido a que la tendencia global se catalogue como de **DESCENSO MODERADO****.

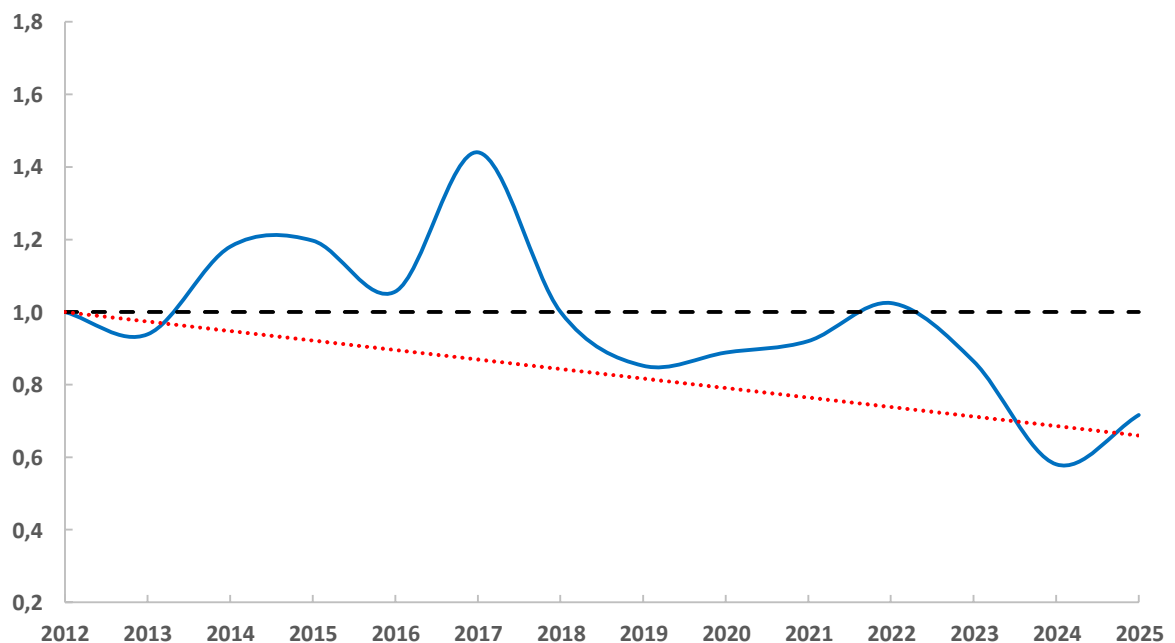


Ilustración 78. Índice de cambio del número de individuos de carbonero común en el Parque Nacional de Cabañeros

Ante esta situación, resulta necesario prolongar los muestreos en futuras temporadas con el fin de confirmar la posible regresión de la especie en el parque nacional, especialmente considerando que, en otros estudios, sus poblaciones no muestran variaciones relevantes (Escandell *et al.* 2023, ICO 2025).

Descenso moderado

Reyezuelo listado (*Regulus ignicapilla*) Tendencia (2012-2025): -12,1%

Los datos de densidad del reyezuelo listado se ajustan estadísticamente a un **DESCENSO MODERADO**** de su población reproductora en el Parque Nacional de Cabañeros. Cabría pensar que este resultado es fruto de una primera campaña de muestreo con unos registros de abundancia inusualmente elevados. No obstante, también merece destacar que desde 2013 a 2017, el promedio de individuos censados se situaba en torno a los 14-15 ejemplares, mientras que, en los últimos 5 años, el promedio se ha reducido a tan sólo 5 individuos, por lo que la dinámica encontrada no está condicionada exclusivamente por el valor inicial.

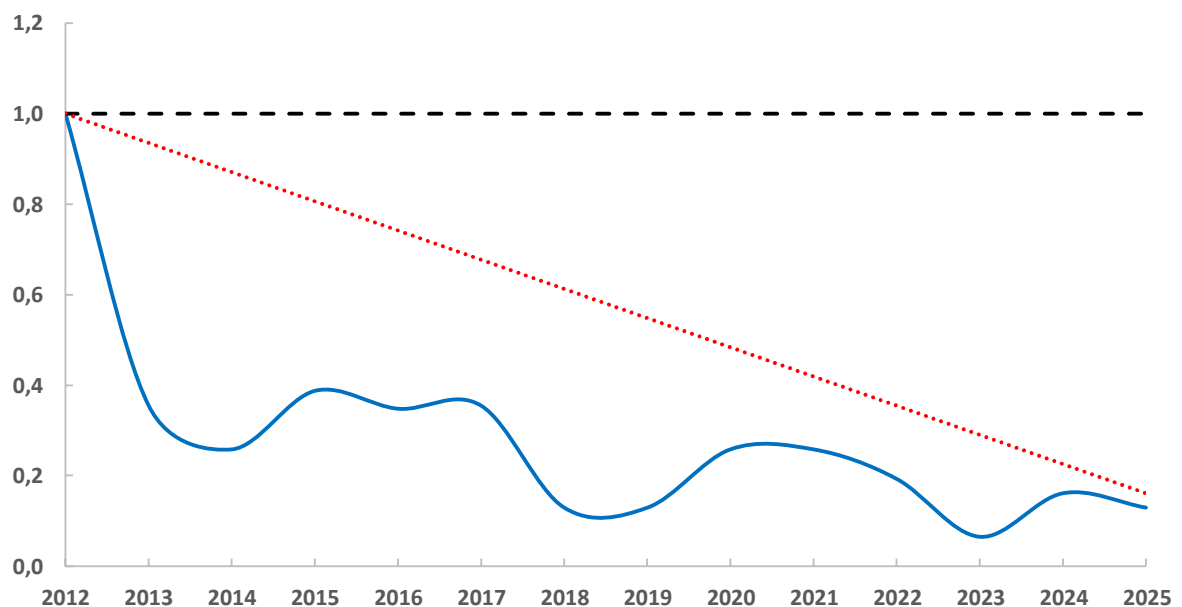


Ilustración 79. Índice de cambio del número de individuos de reyezuelo listado en el Parque Nacional de Cabañeros

Las causas de este declive podrían estar asociadas a factores intrínsecos del propio parque nacional, dado que esta tendencia no se ha observado en otras poblaciones. En este sentido, los programas de seguimiento realizados a escala nacional y en Cataluña muestran una población reproductora estable (Escandell *et al.* 2023, ICO 2025).

Descenso moderado

Mirlo común (*Turdus merula*) Tendencia (2012-2025): -5,0%

El mirlo común mostró un incremento sostenido durante los primeros años del programa de seguimiento hasta alcanzar el máximo recuento en 2015 con 203 ejemplares contabilizados. Posteriormente, se produjo un descenso paulatino, situando los valores de abundancia por debajo de los obtenidos en el año de referencia. Aunque en los últimos años parece haberse observado cierto repunte de sus efectivos, no se han vuelto a recuperar los registros iniciales, calificando su dinámica poblacional en el parque nacional como de **DESCENSO MODERADO****.

Esta tendencia no coincide con los resultados obtenidos en otros programas de seguimiento, donde la especie muestra una población estable en Cataluña (ICO 2025) e incluso un incremento moderado a escala nacional (Escandell *et al.* 2023).

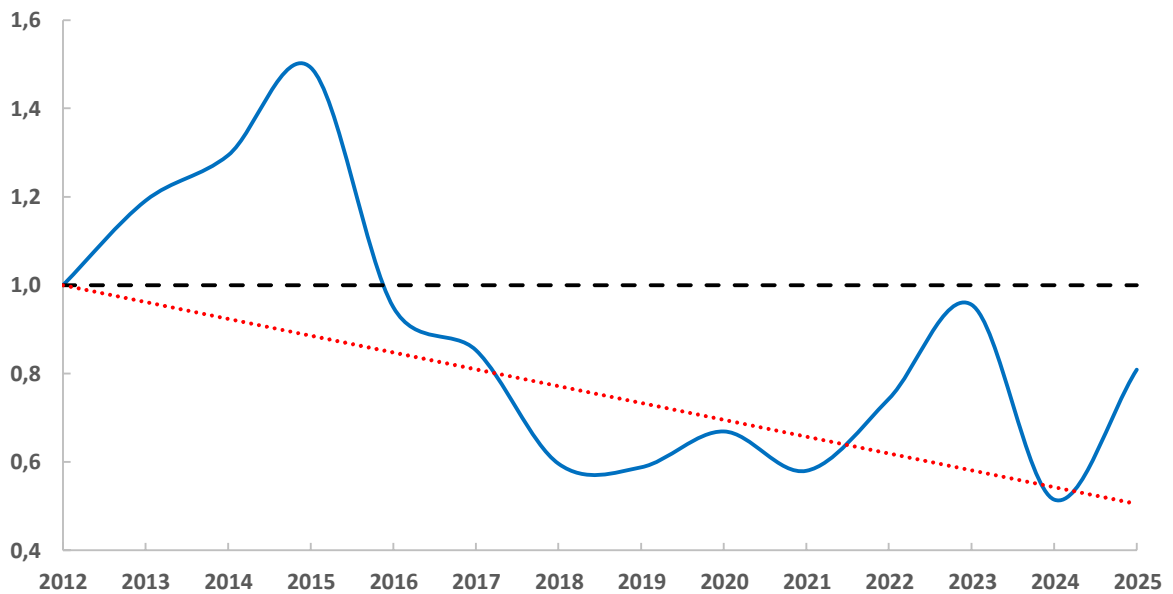


Ilustración 80. Índice de cambio del número de individuos de mirlo común en el Parque Nacional de Cabañeros

Varias especies no han mostrado cambios significativos en su abundancia con respecto a los valores registrados al inicio de la serie temporal, por lo que se consideran poblaciones estables. Estas especies son las siguientes:

Estable

Paloma torcaz (*Columba palumbus*)

La población de paloma torcaz en el parque nacional se considera estable en el periodo analizado, pese a que en otras regiones su dinámica es de claro incremento (Escandell *et al.* 2023, ICO 2025).

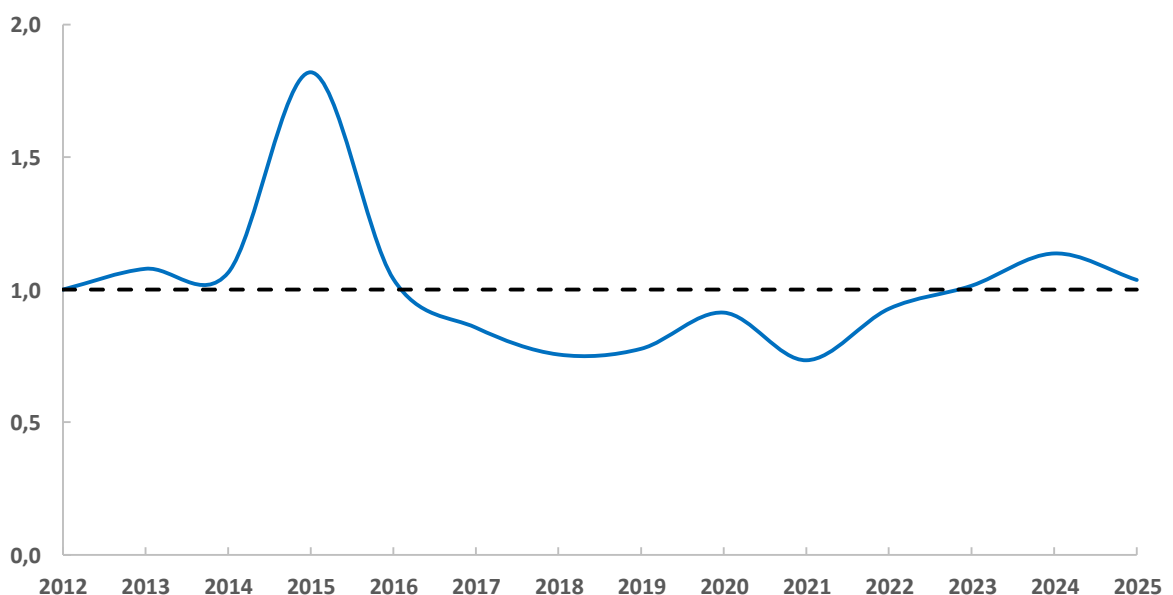


Ilustración 81. Índice de cambio del número de individuos de paloma torcaz en el Parque Nacional de Cabañeros

Estable

Pico picapinos (*Dendrocopos major*)

Aunque con fluctuaciones interanuales, la abundancia del pico picapinos se considera estable, al igual que se ha encontrado a nivel nacional y en Cataluña (Escandell *et al.* 2023, ICO 2025).

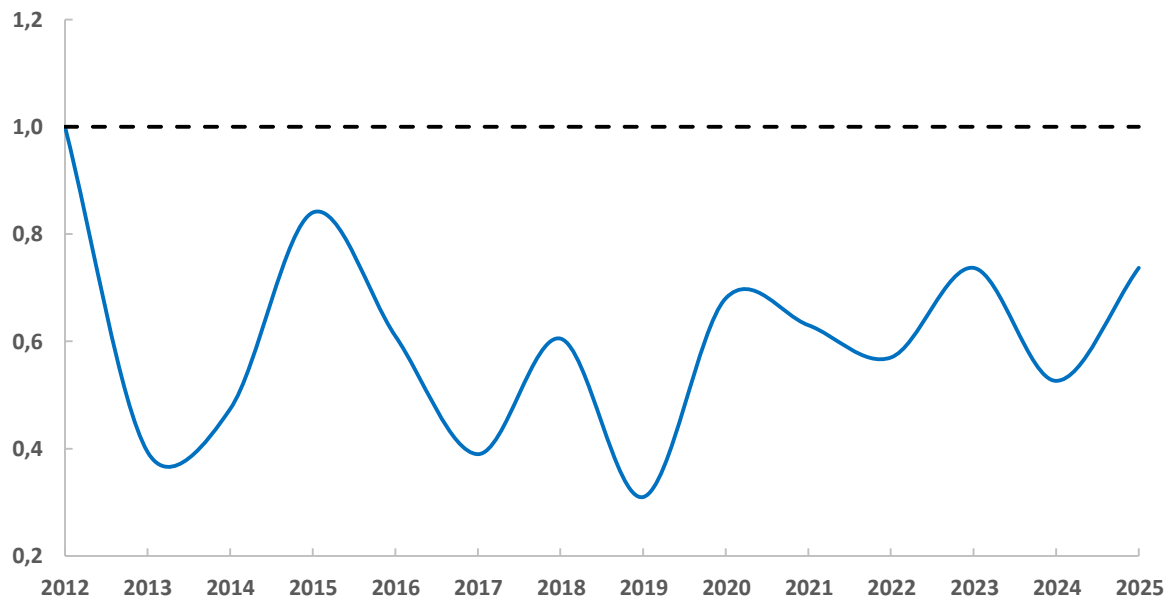


Ilustración 82. Índice de cambio del número de individuos de pico picapinos en el Parque Nacional de Cabañeros

Estable

Pinzón vulgar (*Fringilla coelebs*)

Aunque en el parque nacional muestra estabilidad, a nivel nacional y en Cataluña se aprecia un incremento de su población (Escandell *et al.* 2023, ICO 2025).

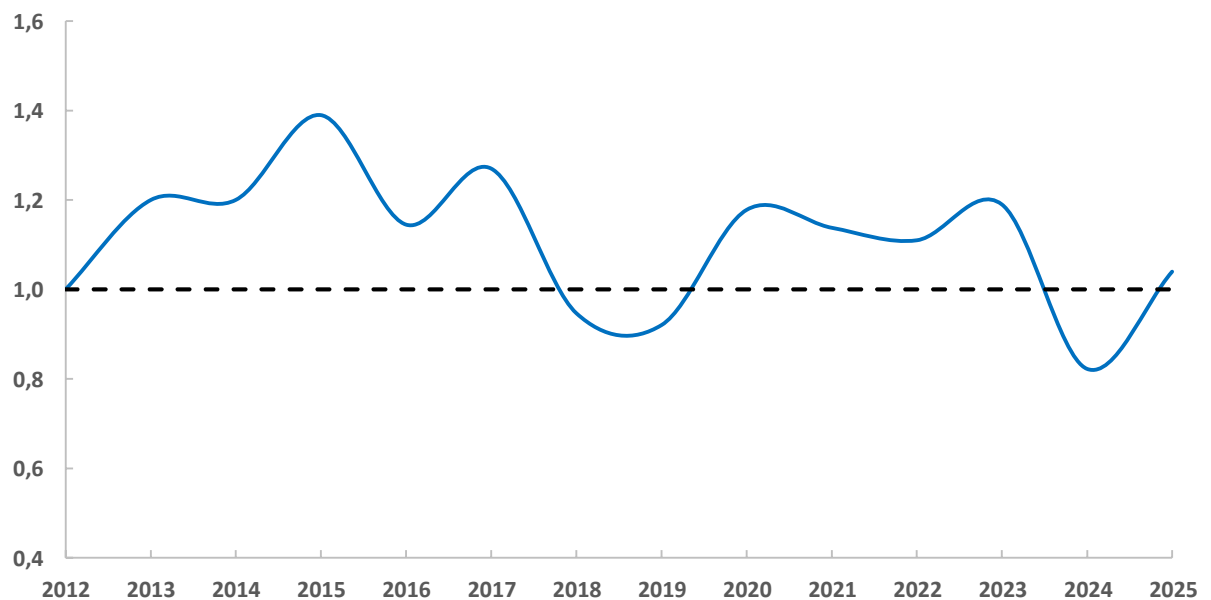


Ilustración 83. Índice de cambio del número de individuos de pinzón vulgar en el Parque Nacional de Cabañeros

Estable

Oropéndola europea (*Oriolus oriolus*)

Su población es estable en el parque nacional, como también se ha encontrado en Cataluña (ICO 225). Sin embargo, a nivel nacional, se estima un incremento moderado (Escandell *et al.* 2023).

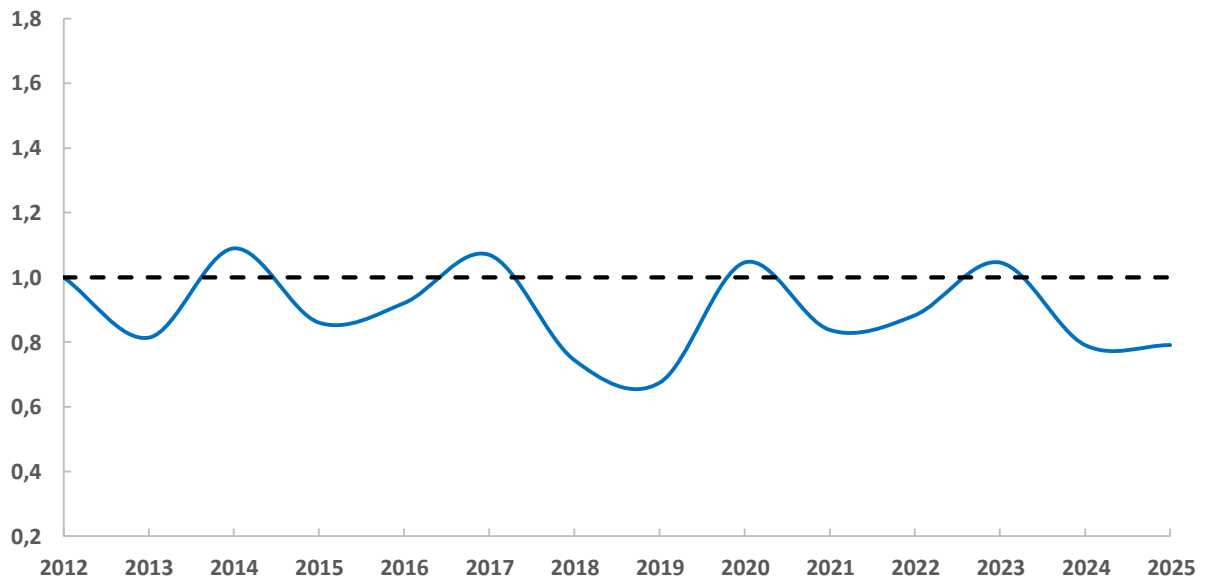


Ilustración 84. Índice de cambio del número de individuos de oropéndola en el Parque Nacional de Cabañeros

Estable

Trepador azul (*Sitta europaea*)

Su población en el parque nacional se considera estable en el periodo analizado, pese a que en otras regiones su dinámica está en claro aumento (Escandell *et al.* 2023, ICO 2025).

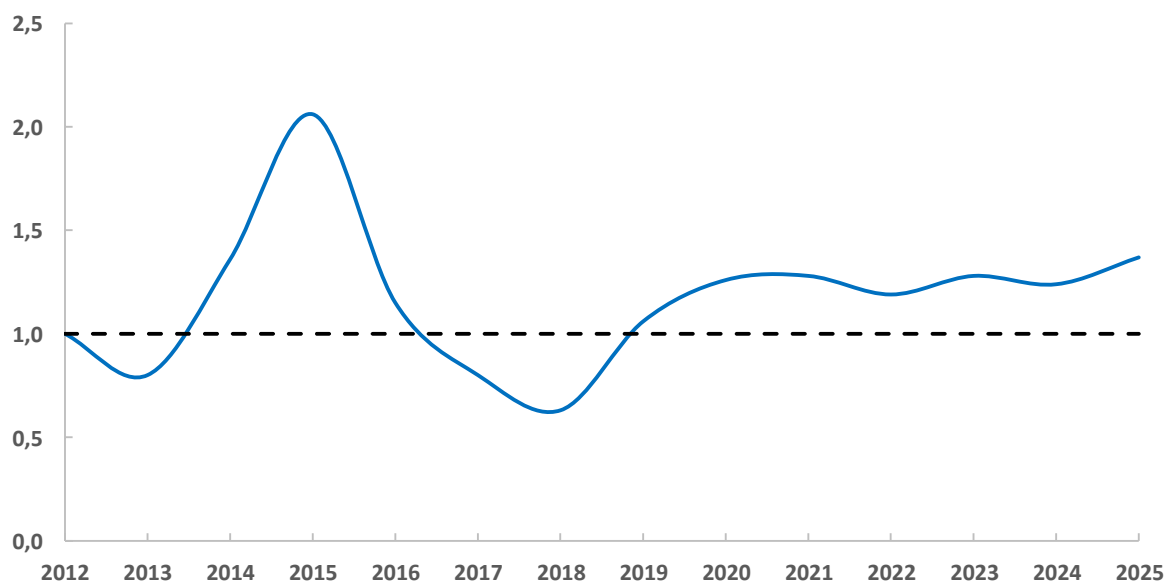


Ilustración 85. Índice de cambio del número de individuos de trepador azul en el Parque Nacional de Cabañeros

Estable

Chochín paleártico (*Troglodytes troglodytes*)

La especie se mantiene estable en el parque nacional frente a otras tendencias que reflejan incrementos (Escandell *et al.* 2023) o descensos (ICO 2025) poblacionales.

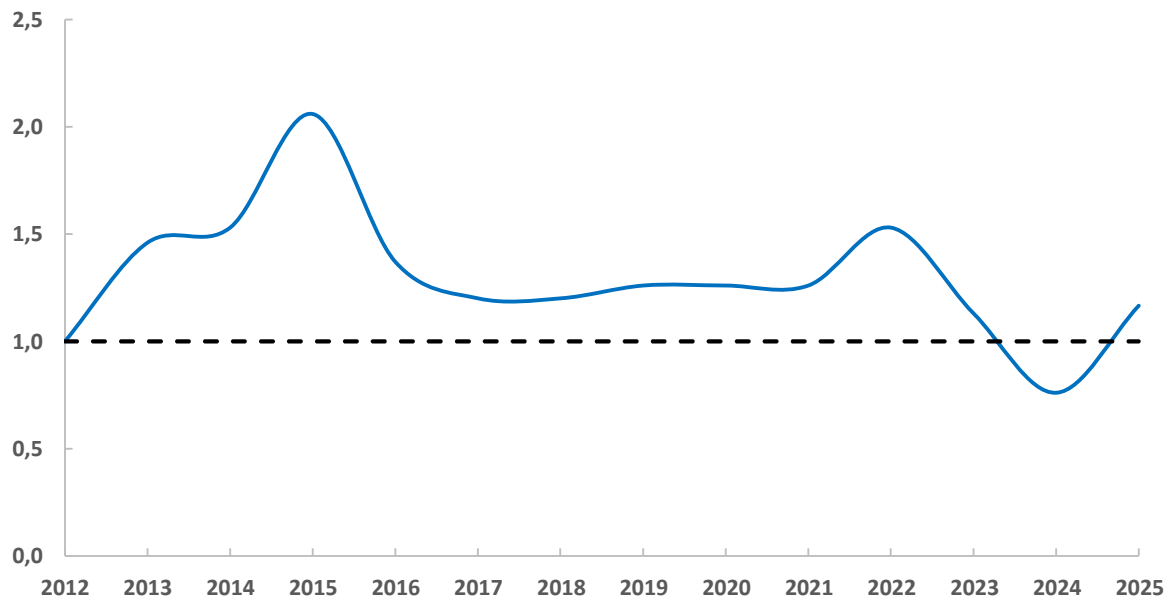


Ilustración 86. Índice de cambio del número de individuos de chochín paleártico en el Parque Nacional de Cabañeros

Varias especies han mostrado incrementos significativos en su abundancia con respecto a los valores registrados al inicio de la serie temporal. Estas especies son las siguientes:

Incremento moderado

Petirrojo europeo (*Erithacus rubecula*) Tendencia (2012-2025): -4,6%

El número de aves que se contabilizan cada año mostró importantes oscilaciones interanuales durante las primeras campañas del programa de seguimiento, aunque siempre acababan por situarse cerca de los valores obtenidos en el año inicial de comparación.

Sin embargo, a partir de la campaña de 2018, aunque estas fluctuaciones se mantienen entre unos años y otros, los valores de abundancia se sitúan y mantienen por encima de los registrados en el año de comparación, ajustándose a una dinámica poblacional de **INCREMENTO MODERADO***.

Actualmente, la población nidificante contabilizada en el parque nacional en base a los puntos de muestreo prácticamente duplica a la obtenida al inicio de la serie temporal.

Esta tendencia creciente coincide con los resultados obtenidos en los programas de seguimiento de Cataluña y España, donde también se estima que la población se encuentra en claro incremento (Escandell *et al.* 2023, ICO 2025).

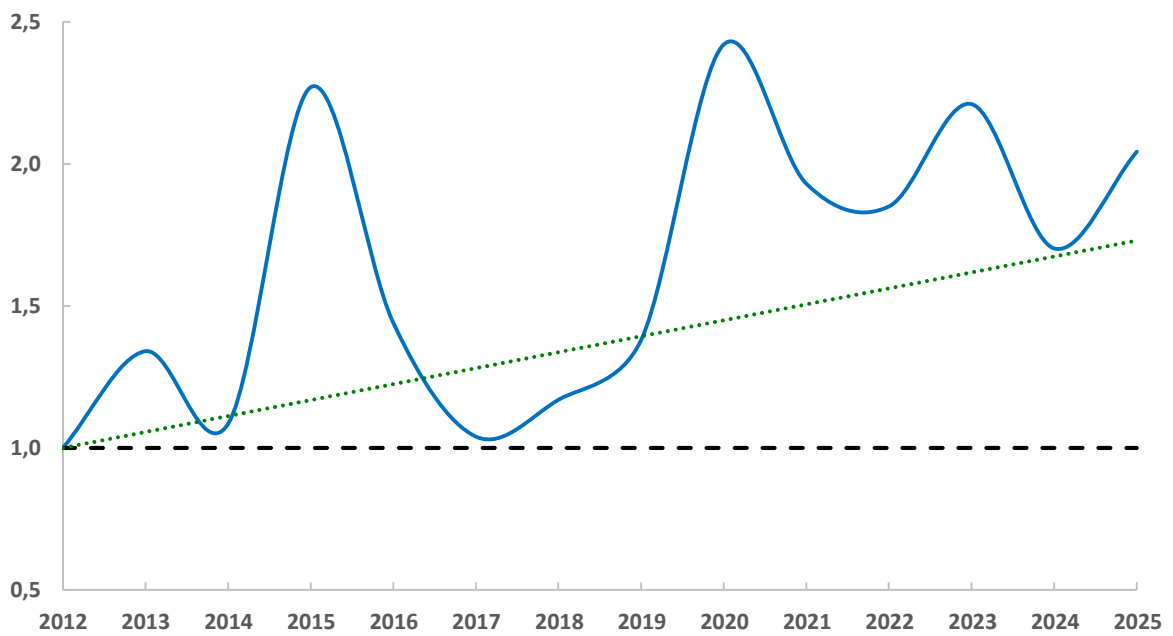


Ilustración 87. Índice de cambio del número de individuos de petirrojo europeo en el Parque Nacional de Cabañeros

Incremento moderado

Tórtola europea (*Streptopelia turtur*) Tendencia (2012-2025): -4,8%

La tórtola europea presenta una tendencia creciente en sus índices de abundancia a lo largo de la serie temporal, lo que se traduce en un **INCREMENTO MODERADO**** y significativo de su población reproductora. En este sentido, la estimación poblacional ha pasado de 42 individuos en 2012 a más de 90 ejemplares en la última campaña

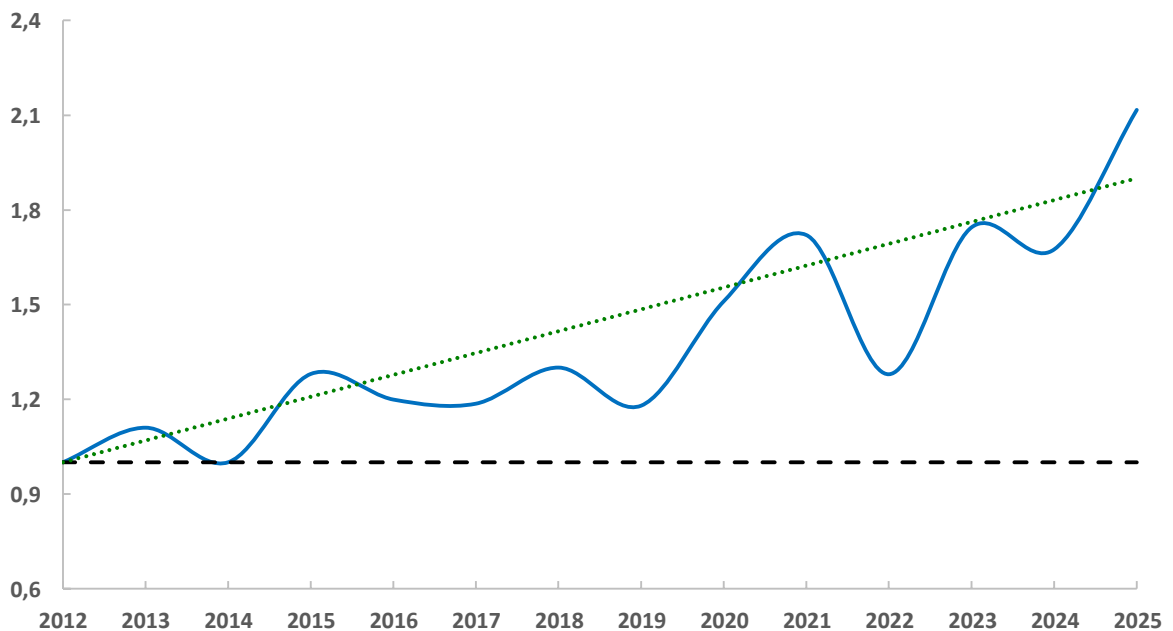


Ilustración 88. Índice de cambio del número de individuos de tórtola europea en el Parque Nacional de Cabañeros

La tendencia observada es coherente con los resultados obtenidos en el programa de seguimiento estatal, donde se ha registrado un aumento de la población (Escandell *et al.* 2023). Este crecimiento podría estar relacionado con la moratoria aplicada en España y en otros países del corredor migratorio occidental entre 2021 y 2024, que supuso la suspensión total de la caza de la tórtola europea. No obstante, esta recuperación no se ha reflejado en los estudios a largo plazo realizados en Cataluña, donde la población se mantiene estable desde 2002 (ICO 2025).

Tendencia por hábitats

La mayoría de los puntos de muestreo se sitúan en áreas dominadas por masas forestales (54 puntos), principalmente formadas por robledales, aunque también se encuentran pequeños bosquetes de coníferas. En menor proporción, los muestreos se localizan en zonas de matorral, con una notable presencia de jara pringosa (*Cistus ladanifer*; 20 puntos). Finalmente, en las cotas más bajas, el paisaje está constituido por pastizales salpicados de ejemplares dispersos de carrasca (*Quercus sp.*; 6 puntos).

Cuando se analiza la riqueza de especies en los distintos hábitats únicamente el dominado por el estrato arbustivo mantiene unos valores similares a lo largo de toda la serie temporal analizada, calificando como de tendencia **ESTABLE**.

Por el contrario, en los enclaves forestales y herbazales, el número de especies se reduce paulatinamente con el transcurso de las campañas, ajustándose en ambos casos a un **DESCENSO MODERADO***. En el primero de ellos la tasa promedio de pérdida se sitúa en torno al 1,1% anual, mientras que en el hábitat herbáceo esta tasa se estima en un 1,6% anual.

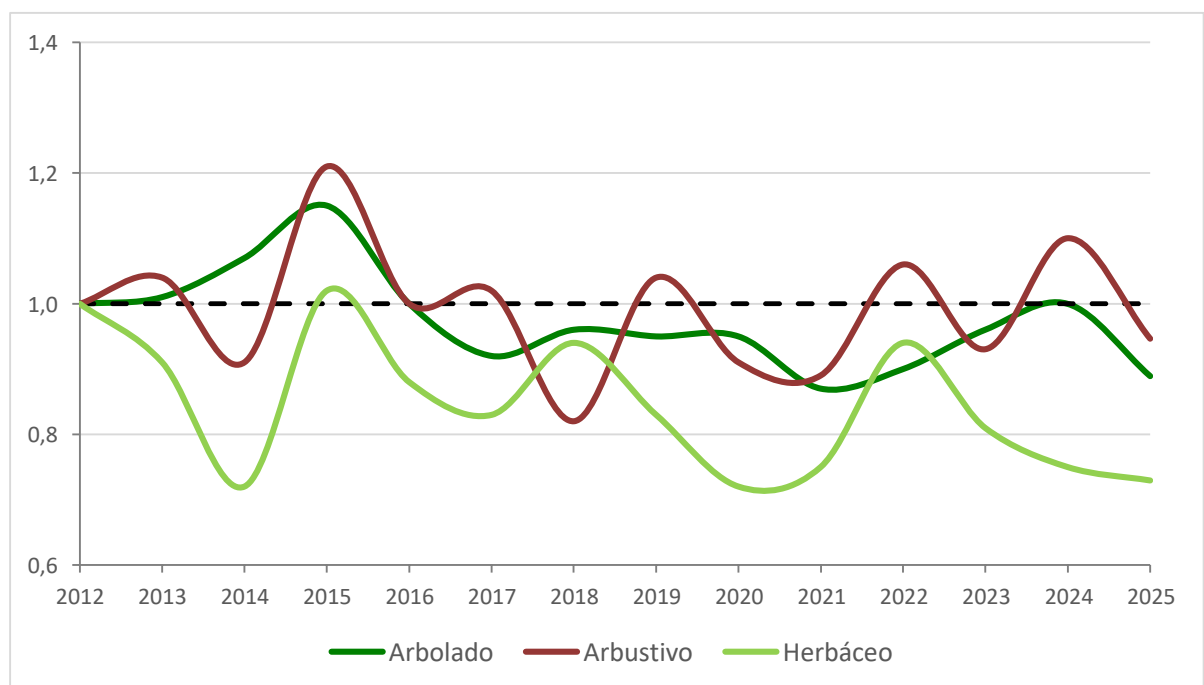


Ilustración 89. Índice de cambio del número especies contabilizadas anualmente en los distintos hábitats del Parque Nacional de Cabañeros

En base los recuentos de la presente campaña, la diversidad de especies en el hábitat forestal y herbáceo es un 12% y un 27% inferior respectivamente con respecto al año de referencia.

Si se considera la abundancia de individuos en los distintos ambientes los resultados son similares. La densidad de aves en las áreas arbustivas no ha presentado variaciones significativas durante los años de seguimiento, de manera que permanece **ESTABLE**, y en las masas forestales se observa un **DESCENSO MODERADO***, con una tasa promedio de pérdida anual próxima al 1,8%.

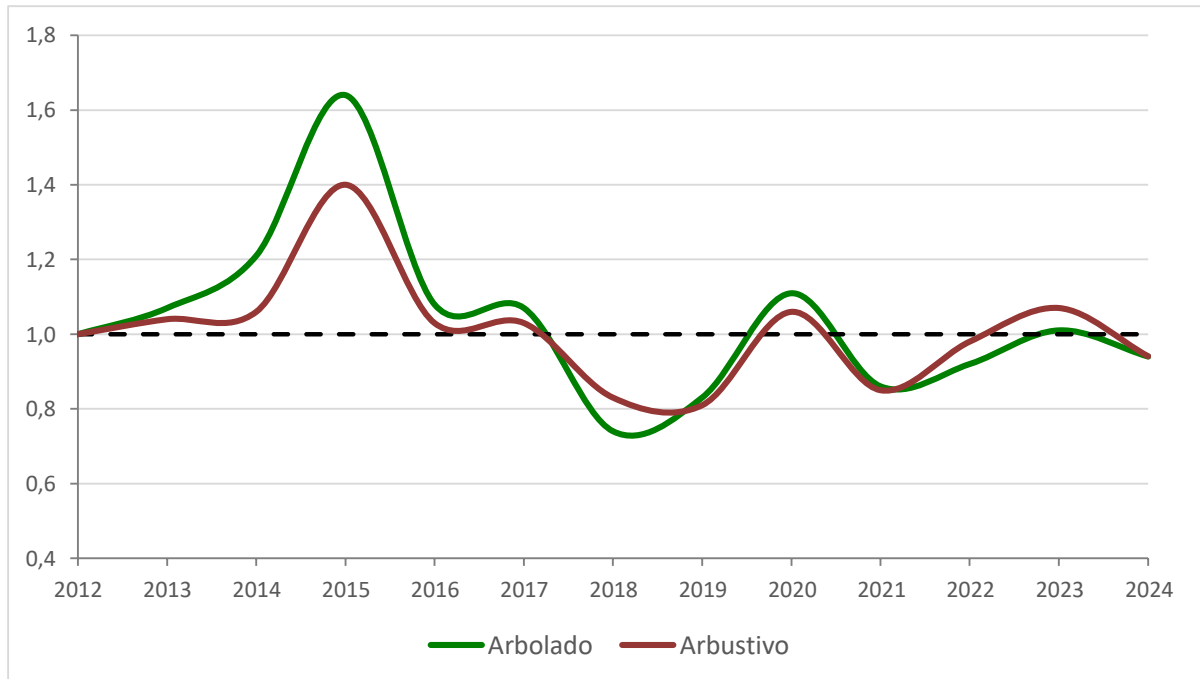


Ilustración 90. Índice de cambio del número total de individuos contabilizadas anualmente en los distintos hábitats del Parque Nacional de Cabañeros

Tan sólo el ambiente herbáceo muestra un resultado diferente, calificando como de tendencia **INCIERTA** a tenor de las notables variaciones interanuales entre campañas.

Son necesarias nuevas campañas para certificar las tendencias encontradas en los distintos hábitats, al menos en el forestal, porque, como se aprecia en las ilustraciones anteriores, la riqueza y abundancia de aves muestra cierta similitud desde la campaña 2017 con los valores obtenidos en el año de comparación, lo que podría significar cierta estabilidad en las variables. De lo contrario, cabe suponer que la pérdida de riqueza de especies que se está produciendo en el parque nacional en términos generales, puede tener su origen en los hábitats forestales y herbáceo.

Se ha analizado la tendencia poblacional conjunta de ciertas aves como representativas de los hábitats forestal (zorzal charlo, herrerillo capuchino y mito común) y arbustivo (alcaudón común y currucas cabecinegra y rabilarga; no ha sido posible obtener especies distintivas del ecosistema herbáceo).

En ambos casos, la abundancia permanece relativamente invariable a lo largo del periodo de seguimiento, calificando como de tendencia **ESTABLE**.

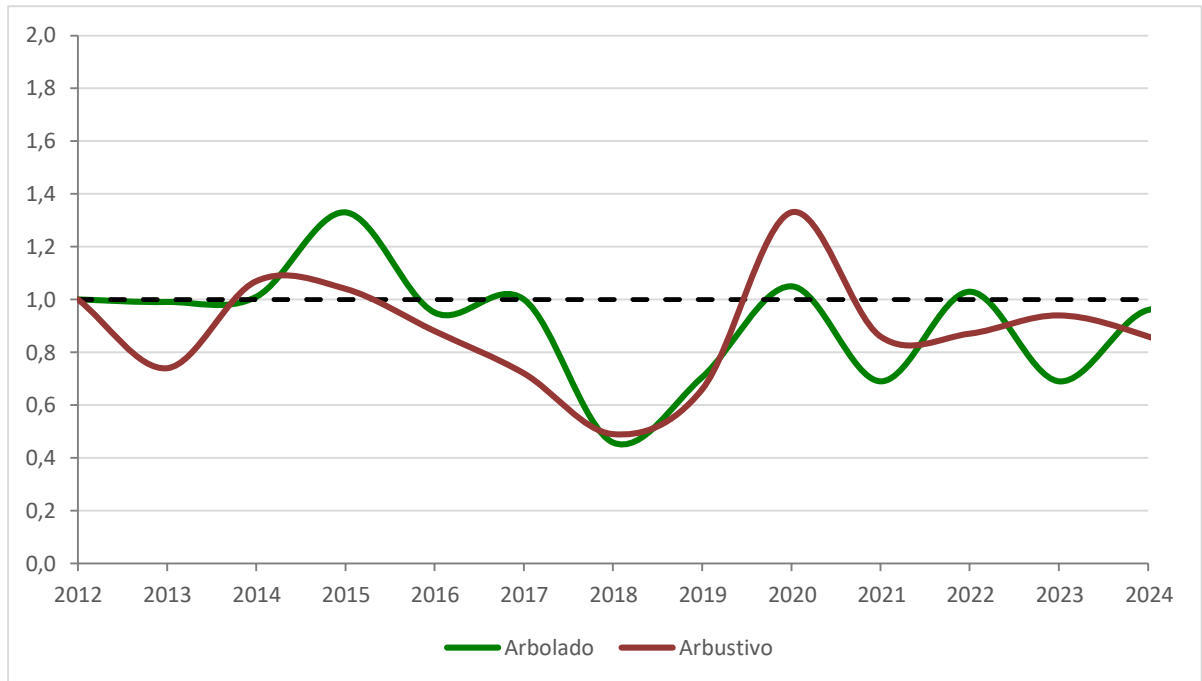


Ilustración 91. Índice de cambio del número total de individuos de especies representativas de los distintos hábitats del Parque Nacional de Cabañeros (véase texto para más detalles).

Por lo tanto, una vez más, las especies propias de estratos arbustivos siguen mostrando una tendencia estable, en contraposición con las aves características de las masas arboladas que, en esta ocasión, discrepan de los resultados negativos anteriores y señalan hacia una estabilidad de las poblaciones.

Parque Nacional de los Picos de Europa

En el Parque Nacional de los Picos de Europa se registraron 79 especies diferentes de aves, con un total de 2.201 individuos censados. La especie más numerosa fue la chova piquirroja, mientras que otras como el pinzón vulgar y el pardillo común alcanzaron cifras superiores al centenar de ejemplares. Cabe resaltar, asimismo, la primera observación de mochuelo europeo desde el inicio del programa de seguimiento en el parque.

Tabla 5. Especies y número de individuos contabilizados en el Parque Nacional de los Picos de Europa en primavera de 2025.

| NOMBRE CIENTÍFICO | NOMBRE COMÚN | INDIVIDUOS |
|------------------------------|------------------------|------------|
| <i>Aegithalos caudatus</i> | Mito común | 17 |
| <i>Alauda arvensis</i> | Alondra común | 5 |
| <i>Alectoris rufa</i> | Perdiz roja | 2 |
| <i>Anas platyrhynchos</i> | Ánade azulón | 10 |
| <i>Anthus spinoletta</i> | Bisbita alpino | 90 |
| <i>Anthus trivialis</i> | Bisbita arbóreo | 11 |
| <i>Apus apus</i> | Vencejo común | 1 |
| <i>Aquila chrysaetos</i> | Águila real | 5 |
| <i>Athene noctua</i> | Mochuelo europeo | 1 |
| <i>Buteo buteo</i> | Busardo ratonero | 7 |
| <i>Carduelis carduelis</i> | Jilguero europeo | 4 |
| <i>Certhia brachydactyla</i> | Agateador europeo | 9 |
| <i>Certhia familiaris</i> | Agateador euroasiático | 3 |
| <i>Cettia cetti</i> | Cetia ruiseñor | 1 |
| <i>Cinclus cinclus</i> | Mirlo-acuático europeo | 1 |
| <i>Circaetus gallicus</i> | Culebrera europea | 1 |
| <i>Columba palumbus</i> | Paloma torcaz | 6 |
| <i>Corvus corax</i> | Cuervo grande | 17 |
| <i>Corvus corone</i> | Corneja negra | 22 |
| <i>Coturnix coturnix</i> | Codorniz común | 4 |
| <i>Cuculus canorus</i> | Cuco común | 7 |
| <i>Cyanistes caeruleus</i> | Herrerillo común | 66 |
| <i>Delichon urbicum</i> | Avión común | 3 |
| <i>Dendrocopos major</i> | Pico picapinos | 11 |
| <i>Dendrocopos medius</i> | Pico median | 8 |
| <i>Dryocopus martius</i> | Picamaderos negro | 2 |
| <i>Emberiza calandra</i> | Escribano triguero | 1 |
| <i>Emberiza cia</i> | Escribano montesino | 6 |
| <i>Emberiza citrinella</i> | Escribano cerillo | 4 |
| <i>Erithacus rubecula</i> | Petirrojo europeo | 105 |
| <i>Falco tinnunculus</i> | Cernícalo vulgar | 10 |
| <i>Fringilla coelebs</i> | Pinzón vulgar | 129 |
| <i>Fulica atra</i> | Focha común | 38 |
| <i>Garrulus glandarius</i> | Arrendajo euroasiático | 10 |
| <i>Gypaetus barbatus</i> | Quebrantahuesos | 4 |

| NOMBRE CIENTÍFICO | NOMBRE COMÚN | INDIVIDUOS |
|--------------------------------|--------------------------|------------|
| <i>Gyps fulvus</i> | Buitre leonado | 73 |
| <i>Jynx torquilla</i> | Torcecuello euroasiático | 1 |
| <i>Linaria cannabina</i> | Pardillo común | 114 |
| <i>Lophophanes cristatus</i> | Herrerillo capuchino | 15 |
| <i>Milvus migrans</i> | Milano negro | 2 |
| <i>Monticola saxatilis</i> | Roquero rojo | 4 |
| <i>Montifringilla nivalis</i> | Gorrión alpino | 2 |
| <i>Motacilla alba</i> | Lavandera blanca | 8 |
| <i>Motacilla cinerea</i> | Lavandera cascadeña | 8 |
| <i>Muscicapa striata</i> | Papamoscas gris | 1 |
| <i>Neophron percnopterus</i> | Alimoche común | 4 |
| <i>Oenanthe oenanthe</i> | Collalba gris | 23 |
| <i>Oriolus oriolus</i> | Oropéndola europea | 2 |
| <i>Parus major</i> | Carbonero común | 84 |
| <i>Periparus ater</i> | Carbonero garrapinos | 31 |
| <i>Phoenicurus ochruros</i> | Colirrojo tizón | 30 |
| <i>Phylloscopus bonelli</i> | Mosquitero papialbo | 26 |
| <i>Phylloscopus collybita</i> | Mosquitero común | 4 |
| <i>Phylloscopus ibericus</i> | Mosquitero ibérico | 15 |
| <i>Pica pica</i> | Urraca común | 2 |
| <i>Picus sharpei</i> | Pito real ibérico | 11 |
| <i>Poecile palustris</i> | Carbonero palustre | 4 |
| <i>Prunella collaris</i> | Acentor alpino | 7 |
| <i>Prunella modularis</i> | Acentor común | 75 |
| <i>Ptyonoprogne rupestris</i> | Avión roquero | 45 |
| <i>Pyrhacorax graculus</i> | Chova piquigualda | 107 |
| <i>Pyrhacorax pyrrhacorax</i> | Chova piquirroja | 307 |
| <i>Pyrrhula pyrrhula</i> | Camachuelo común | 4 |
| <i>Regulus ignicapilla</i> | Reyezuelo listado | 33 |
| <i>Regulus regulus</i> | Reyezuelo sencillo | 12 |
| <i>Saxicola rubicola</i> | Tarabilla europea | 30 |
| <i>Serinus serinus</i> | Serín verdicillo | 30 |
| <i>Sitta europaea</i> | Trepador azul | 17 |
| <i>Strix aluco</i> | Cárabo común | 1 |
| <i>Sylvia atricapilla</i> | Curruca capirotada | 101 |
| <i>Sylvia borin</i> | Curruca mosquitera | 27 |
| <i>Sylvia communis</i> | Curruca zarcera | 23 |
| <i>Sylvia undata</i> | Curruca rabilarga | 1 |
| <i>Tachybaptus ruficollis</i> | Zampullín común | 3 |
| <i>Tachymarptis melba</i> | Veencejo real | 10 |
| <i>Troglodytes troglodytes</i> | Chochín paleártico | 113 |
| <i>Turdus merula</i> | Mirlo común | 113 |
| <i>Turdus philomelos</i> | Zorzal común | 50 |
| <i>Turdus viscivorus</i> | Zorzal charlo | 7 |

Tendencias generales

El número anual de especies detectadas muestra una variabilidad mínima a lo largo de la serie temporal analizada. En varias campañas, el valor registrado ha resultado muy similar al obtenido al inicio del seguimiento. En consecuencia, la tendencia de esta variable puede considerarse **ESTABLE**, con fluctuaciones leves que se sitúan en torno a las 70 especies por campaña.

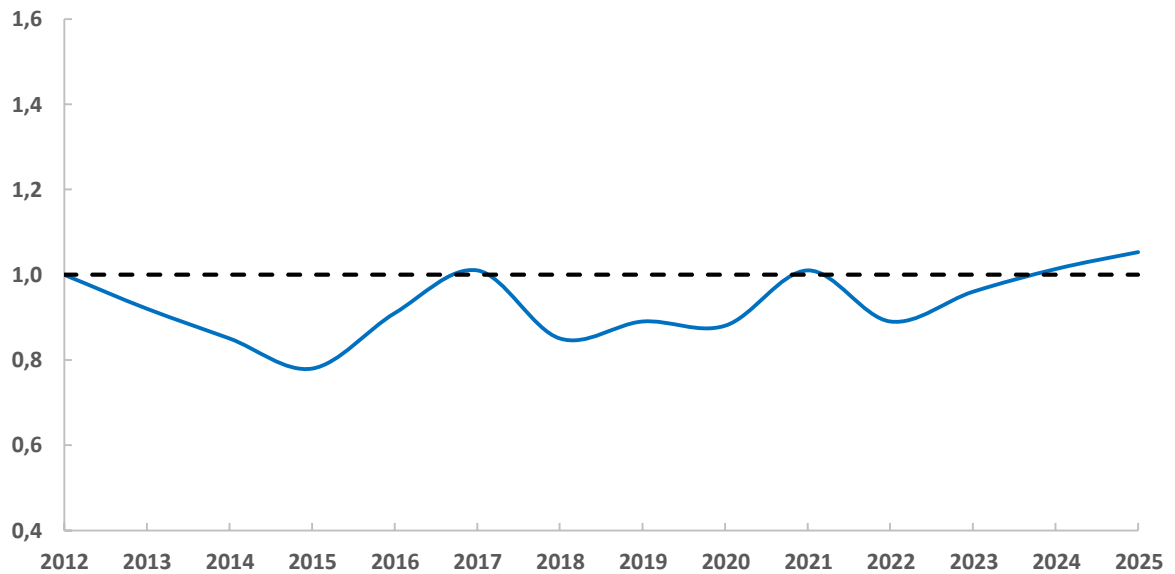


Ilustración 92. Índice de cambio del número total de especies detectadas anualmente en el Parque Nacional de los Picos de Europa

En cuanto a la abundancia total de aves, las fluctuaciones interanuales son más acusadas que en la riqueza de especies. Tras valores bajos en las primeras campañas, las estimas recientes se asemejan a las del año de referencia. No obstante, en conjunto, la serie muestra una dinámica **ESTABLE**, con un promedio anual de entre 1.900 y 2.000 individuos censados.

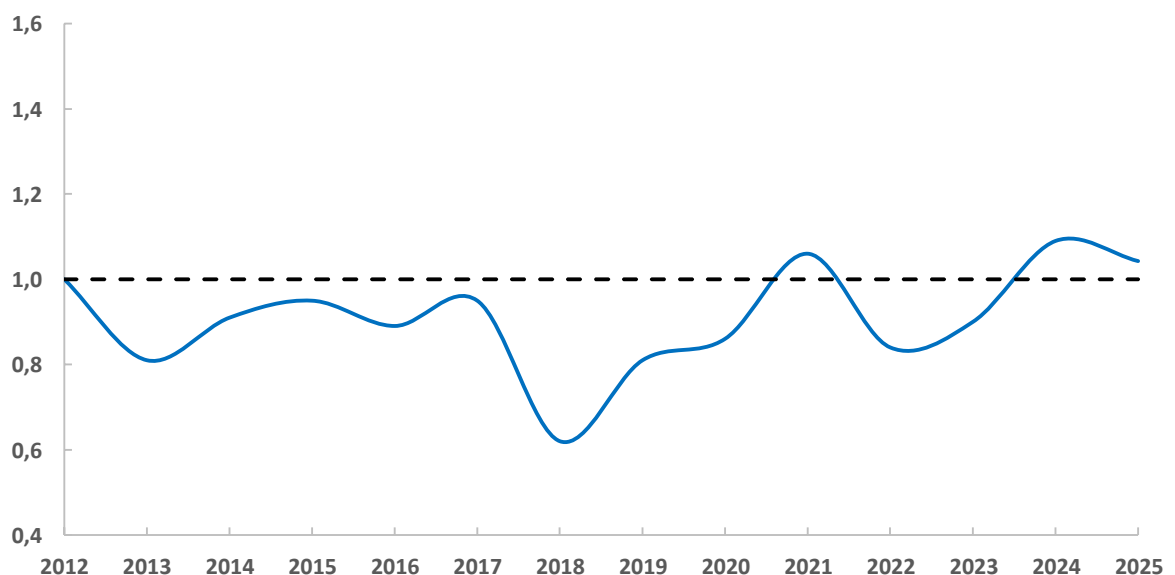


Ilustración 93. Índice de cambio del número total de individuos detectados anualmente en el Parque Nacional de los Picos de Europa

Tendencia por especies

En el Parque Nacional de los Picos de Europa se ha evaluado la dinámica poblacional de 54 especies de aves reproductoras. De ellas, siete mantienen sus poblaciones estables a lo largo del periodo de seguimiento. En contraste, cinco especies evidencian una disminución estadísticamente significativa en el número de efectivos reproductores, mientras que en tres se constata la tendencia opuesta, con un incremento de densidad igualmente significativo.

El resto de las especies, que representan la mayoría (39 taxones; 72%), ofrecen fluctuaciones notables en su abundancia interanual, lo que impide definir una tendencia clara y obliga a clasificarlas como de evolución incierta.

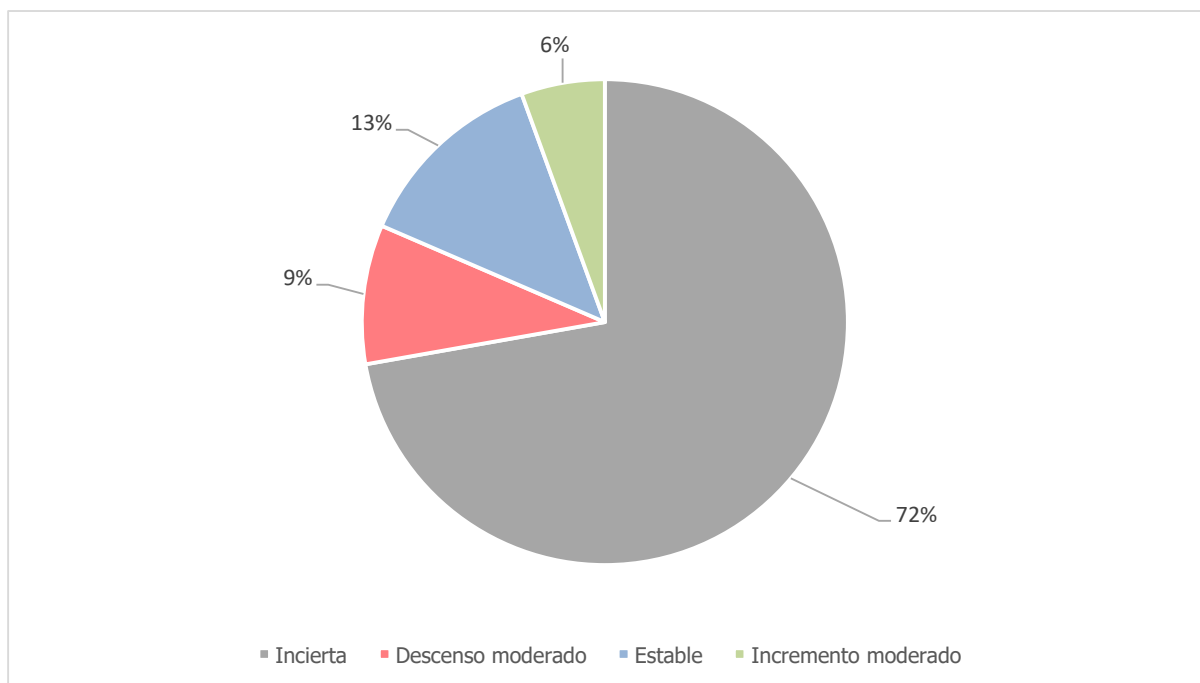


Ilustración 94. Proporción de tendencias poblacionales obtenidas en el Parque Nacional de los Picos de Europa

A continuación, se muestra las especies que mostraron variaciones poblacionales estadísticamente significativas según su tendencia.

Descenso moderado

Ánade azulón (*Anas platyrhynchos*) Tendencia (2012-2025): -11,4%

La abundancia del ánade azulón muestra un máximo destacado en 2014, con valores por encima de los 44 individuos, seguido de un descenso brusco en 2015. A partir de ese momento, la dinámica se caracteriza por fluctuaciones periódicas con picos en torno a 2016, 2018, 2020 y 2022, aunque cada máximo se registra a niveles progresivamente más bajos.

La tendencia general es negativa, lo que indica una pérdida sostenida de abundancia a lo largo del tiempo. Así, mientras en 2012 la serie arrancaba con un valor de referencia de 29 ejemplares, en los últimos años los valores se sitúan claramente por debajo, alcanzando mínimos en 2019 y 2024. Estadísticamente, esta dinámica poblacional se ajusta a un **DESCENSO MODERADO**** en el parque nacional.

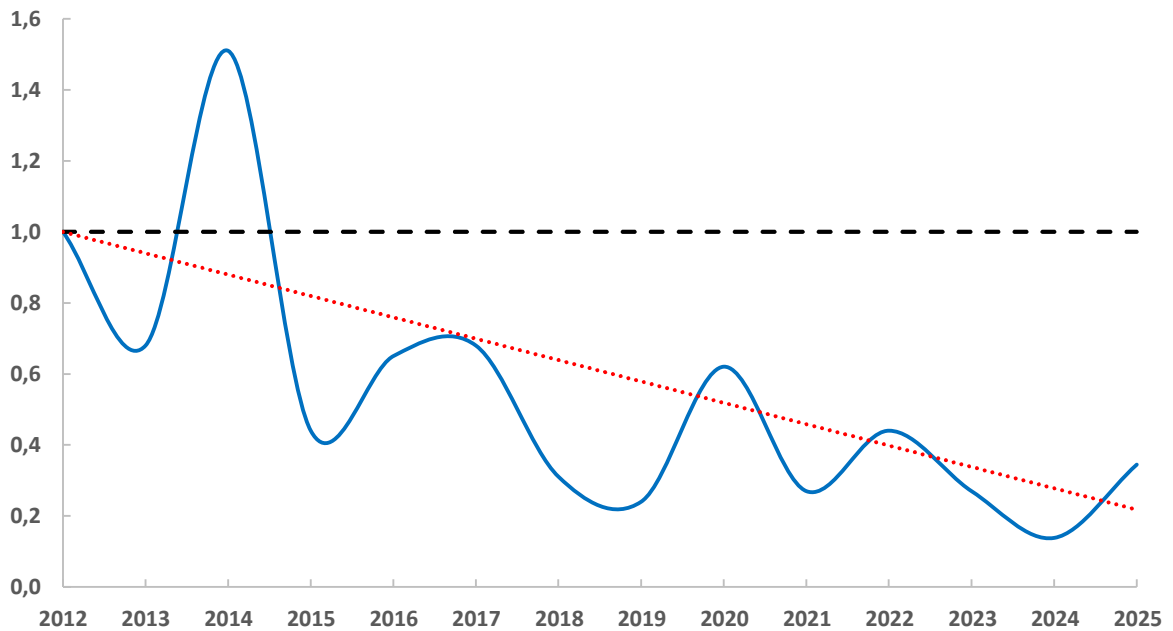


Ilustración 95. Índice de cambio del número total de individuos de ánade azulón contabilizados anualmente en el Parque Nacional de los Picos de Europa

Los programas de seguimiento realizados a nivel nacional y en Cataluña (Escandell *et al.* 2023, ICO 2025) muestran estabilidad en su población durante la última década. En concreto, en la región eurosiberiana, parece estar experimentando un ligero incremento (Molina 2022), que incluiría la zona de Picos de Europa. En ese caso, el declive de la especie detectado en el parque nacional podría ser consecuencia principalmente de factores locales.

Descenso moderado

Bisbita arbóreo (*Anthus trivialis*) Tendencia (2012-2025): -7,6%

El bisbita arbóreo también está mostrando un **DESCENSO MODERADO**** de su población reproductora en el parque nacional. Durante los primeros años se produjo un drástico descenso que culminó en 2015 con la ausencia total de avistamientos.

En 2017 se produjo la recuperación de la especie, pero desde entonces se ha venido observando una paulatina regresión de sus efectivos reproductores. Por ejemplo, en esta campaña se ha contabilizado 11 individuos frente a los 16 registrados en 2017.

En cualquier caso, su abundancia sigue siendo notablemente inferior a la detectada al inicio del programa de seguimiento, ajustándose estadísticamente a un retroceso poblacional. Su población actual se estima que se ha reducido en un 60% respecto a la inicial. En 2012 se contabilizaron 26 individuos frente a los 11 de la presente campaña.

En Cataluña también se detecta un retroceso poblacional en los últimos 21 años (ICO 2025), pero en el seguimiento llevado a cabo a nivel nacional, su tendencia parece estable (Escandell *et al.* 2023). Por lo tanto, no se puede deducir si la tendencia registrada responde a variables intrínsecas del espacio protegido o son de un ámbito geográfico mayor.

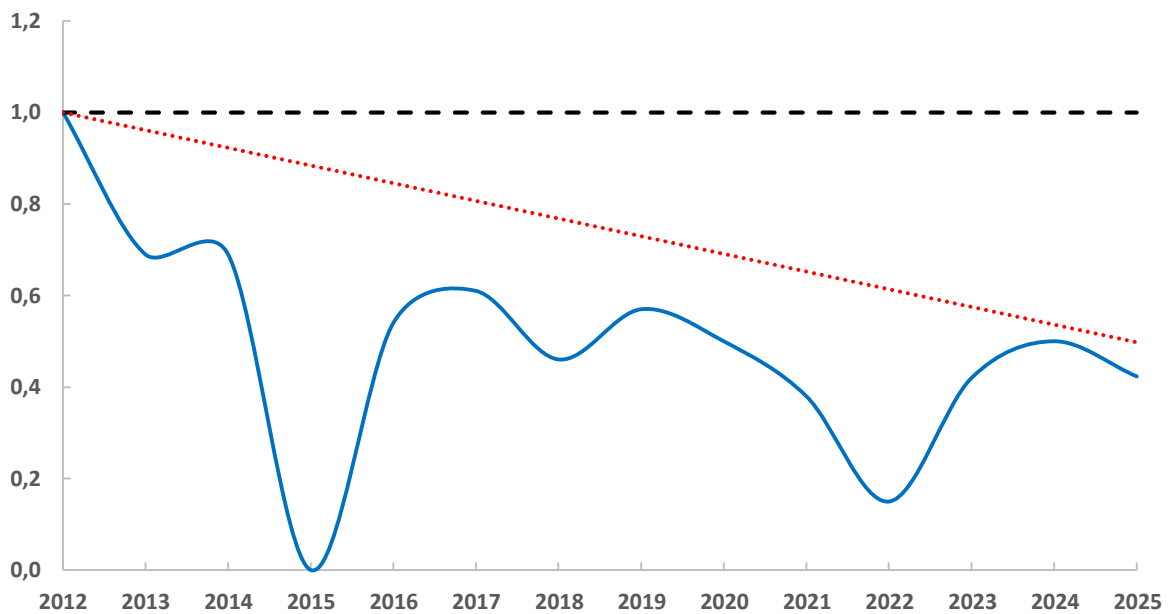


Ilustración 96. Índice de cambio del número total de individuos de bisbita arbóreo contabilizados anualmente en el Parque Nacional de los Picos de Europa

Descenso moderado

Paloma torcaz (*Columba palumbus*) Tendencia (2012-2025): -9,1%

La evolución poblacional de la especie en el parque nacional se ajusta estadísticamente a una dinámica de **DESCENSO MODERADO****.

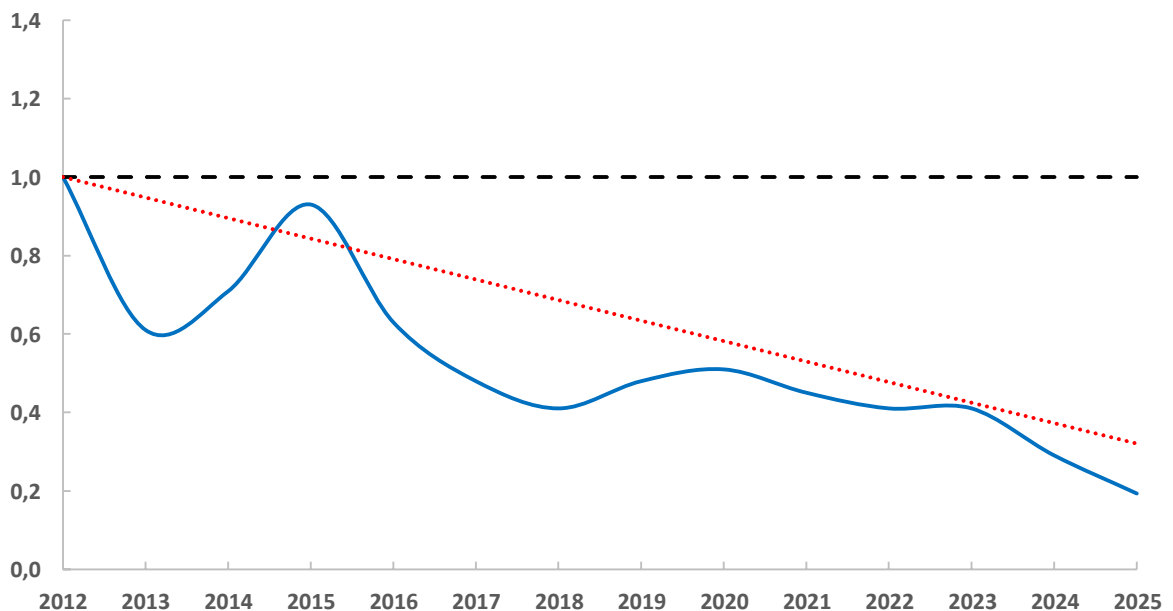


Ilustración 97. Índice de cambio del número total de individuos de paloma torcaz contabilizados anualmente en el Parque Nacional de los Picos de Europa

El crecimiento de la población de la paloma torcaz a nivel nacional, y en particular en Cataluña, es claro y está bien documentado (Escandell *et al.* 2023, ICO 2025), por lo que sorprende la tendencia observada en el parque nacional que resulta completamente opuesta a la esperada.

Este declive poblacional es difícil de explicar, dado que la especie es muy adaptable. Por ello, se puede deducir que hay factores específicos dentro del parque nacional que afectan negativamente a la demografía de estas aves.

Descenso moderado

Escribano cerillo (*Emberiza citrinella*) Tendencia (2012-2025): -14,3%

Según los datos del programa de seguimiento, la población de escribano cerillo mostró un incremento notable inicial, llegando a un máximo de 18 individuos en 2015. Sin embargo, en 2017 se registró un descenso significativo, con solo 8 ejemplares. A partir de ese año, la tendencia ha sido un declive progresivo y moderado, confirmado por el análisis del programa TRIM, que se ajusta estadísticamente a un **DESCENSO MODERADO****.

Actualmente, su población resulta un 60% inferior a la registrada en el año de referencia (2012).

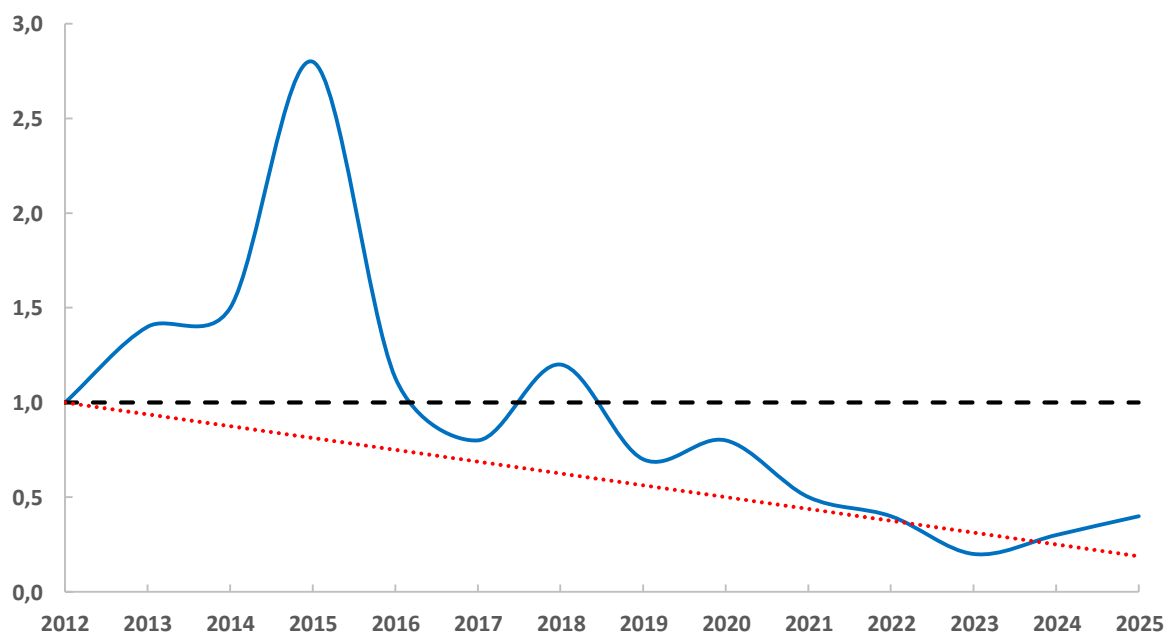


Ilustración 98. Índice de cambio del número total de individuos de escribano cerillo contabilizados anualmente en el Parque Nacional de los Picos de Europa

Esta misma tendencia regresiva se observa a nivel nacional en un periodo de tiempo similar (Escandell *et al.* 2023). Aunque los motivos se desconocen, es un proceso que se extiende también por toda Europa (BirdLife International 2015), de manera que la disminución de la especie (también en cuanto a área de distribución) parece responder a factores suprarregionales más que variables locales.

Descenso moderado

Arrendajo euroasiático (*Garrulus glandarius*) Tendencia (2012-2025): -10,0%

Como en el caso anterior, el arrendajo euroasiático también experimentó una densidad máxima en la primavera de 2015, pero posteriormente a ella, su abundancia no ha hecho más que disminuir. Aunque se registró una leve recuperación la temporada pasada, ésta no se ha consolidado posteriormente puesto que, en este año 2025, las estimas han sido nuevamente inferiores.

Los efectivos censados durante la presente campaña representan cerca del 70% de la población que se contabilizó durante el primer año del programa de seguimiento. El ajuste estadístico de los datos de abundancia obtenidos en el periodo analizado indica que sus efectivos reproductores en el parque muestran un **DESCENSO MODERADO***.

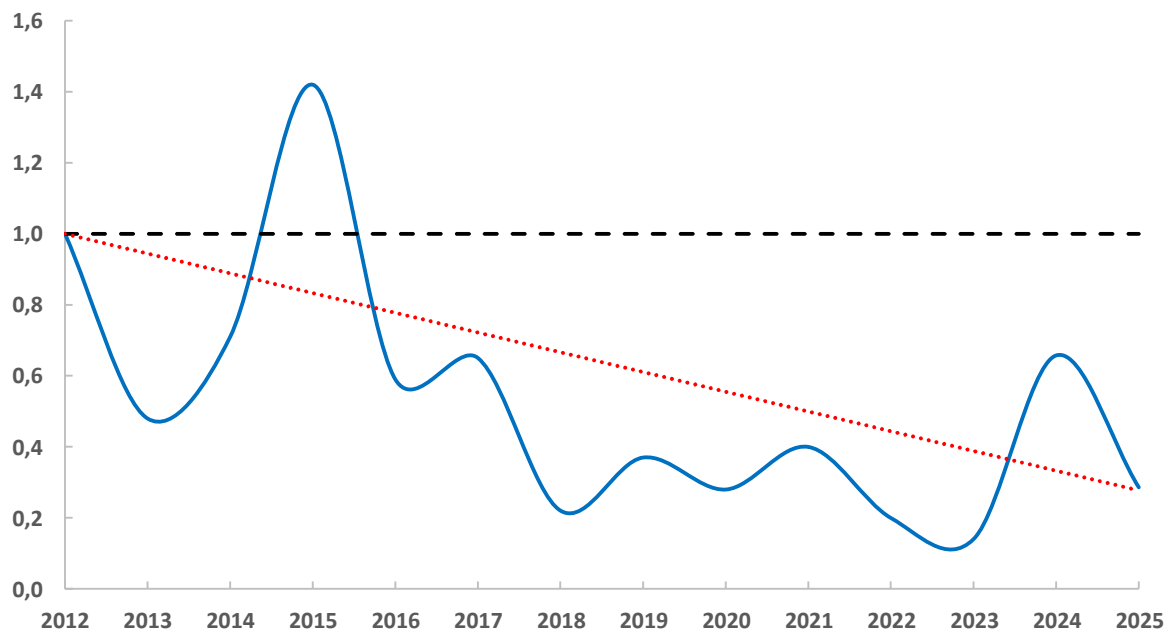


Ilustración 99. Índice de cambio del número total de individuos de arrendajo euroasiático contabilizados anualmente en el Parque Nacional de los Picos de Europa

En otros programas de seguimiento, como los realizados en Cataluña y a nivel nacional, no se observa una tendencia al cambio. En ambos trabajos la abundancia de la especie durante el periodo reproductor permanece estable (Escandell *et al* 2023, ICO 2025), al menos durante la última década (que coincide con el periodo aquí analizado). Estos resultados, contrarios a los obtenidos en este estudio, sugieren que las causas que están detrás del retroceso poblacional del arrendajo euroasiático en el parque nacional deben tener un origen local, más relacionado con factores propios de este enclave protegido que una dinámica global de la especie.

Estable

Un total de siete especies diferentes han mostrado escasas fluctuaciones de su abundancia anual tras los muestreos realizados a lo largo de la serie temporal, mostrando estabilidad en sus poblaciones. Son las siguientes:

Bisbita alpino (*Anthus spinoletta*)

El bisbita alpino ha presentado fluctuaciones notables a lo largo del periodo de estudio, aunque de forma recurrente alcanza valores cercanos al centenar de individuos, sin evidenciar una tendencia clara de cambio, por lo que se considera estable. En Cataluña, sin embargo, los programas de seguimiento indican un retroceso poblacional desde 2002 (ICO 2025).

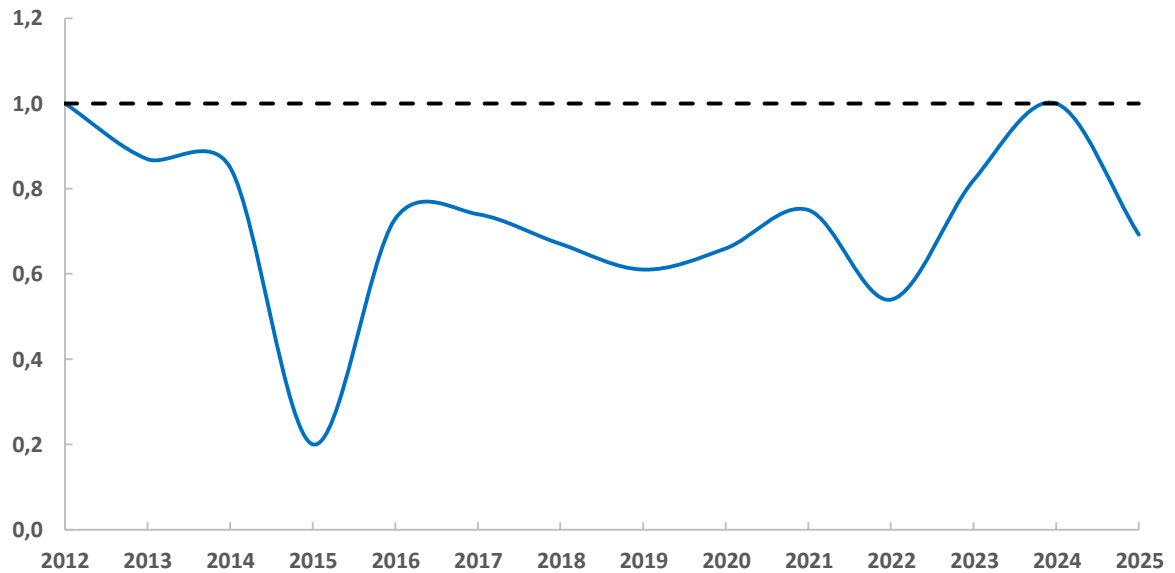


Ilustración 100. Índice de cambio del número total de individuos de bisbita alpino contabilizados anualmente en el Parque Nacional de los Picos de Europa

Herrerillo común (*Cyanistes caeruleus*)

Muestra igualmente importantes oscilaciones interanuales, pero, a lo largo de la serie temporal, los registros regresan cada cierto tiempo a los valores iniciales.

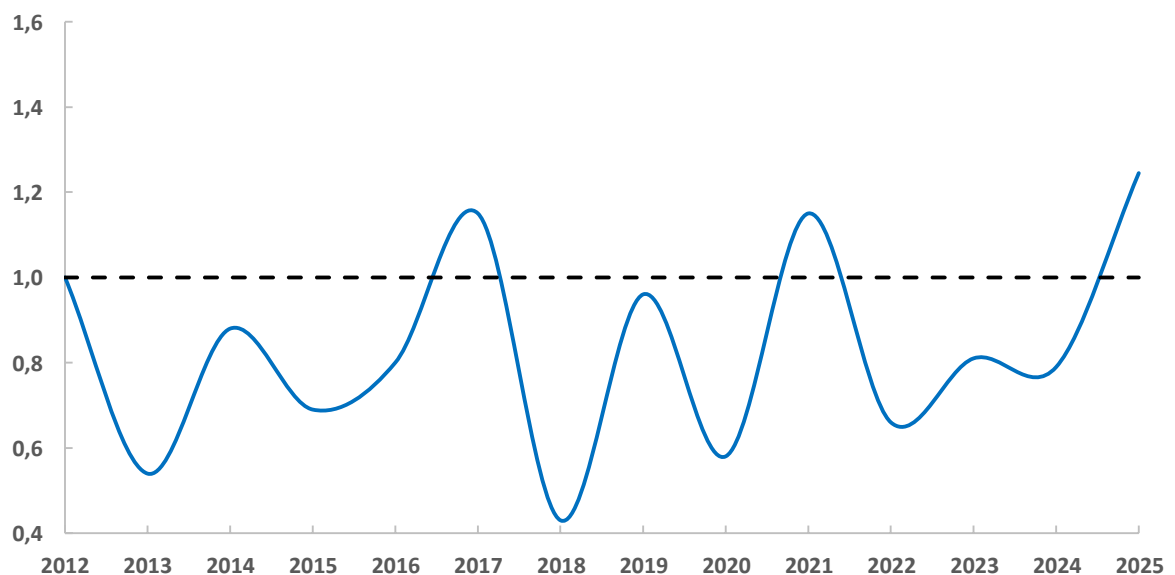


Ilustración 101. Índice de cambio del número total de individuos de herrerillo común contabilizados anualmente en el Parque Nacional de los Picos de Europa

Su población también se estima estable en Cataluña (ICO 2025), aunque a nivel nacional, se ha detectado un descenso moderado desde 2012 (Escandell *et al.* 2023).

Petirrojo europeo (*Erithacus rubecula*)

El petirrojo europeo mantiene su población estable en el parque nacional, pese a que en otros seguimientos a largo plazo muestra una tendencia positiva (Escandell *et al.* 2023, ICO 2025).

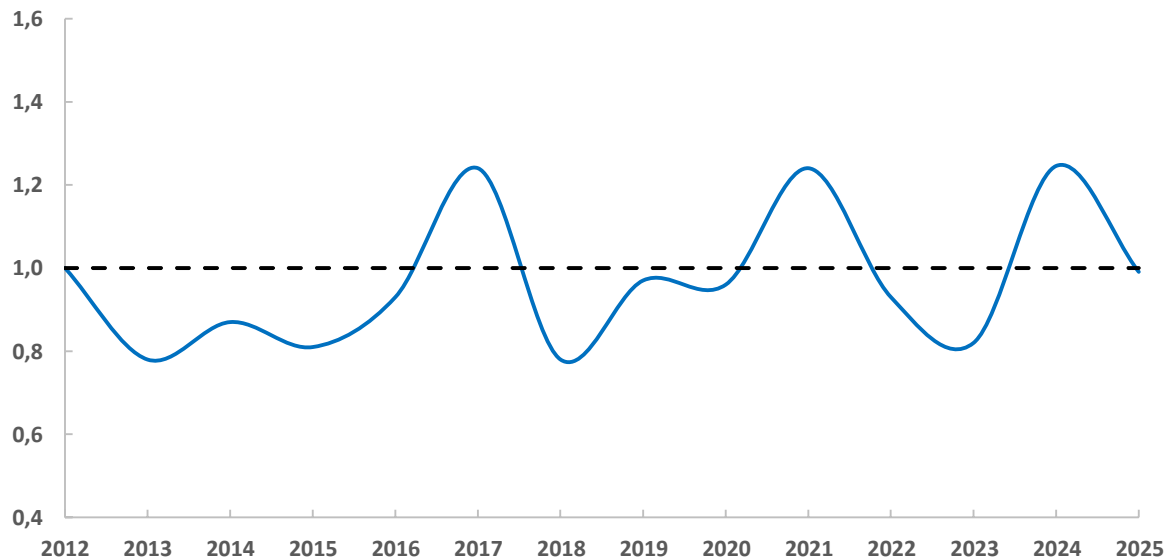


Ilustración 102. Índice de cambio del número total de individuos de petirrojo europeo contabilizados anualmente en el Parque Nacional de los Picos de Europa

Pinzón vulgar (*Fringilla coelebs*)

Igualmente, la especie no sigue la misma tendencia observada en otros estudios, donde muestra un aumento poblacional (Escandell *et al.* 2023, ICO 2025), y califica como estable.

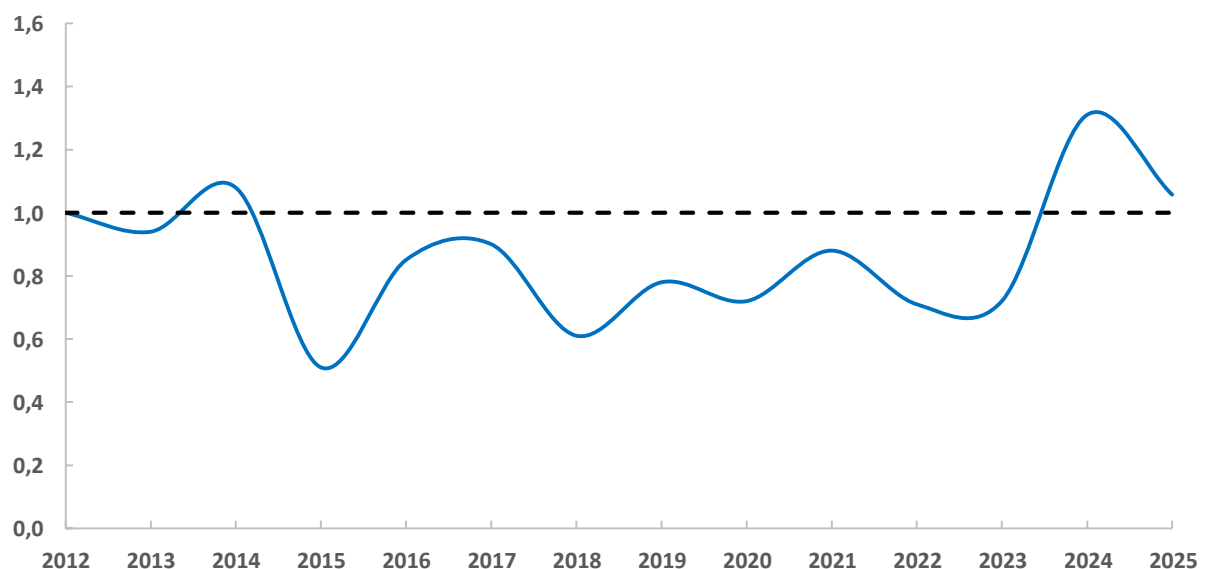


Ilustración 103. Índice de cambio del número total de individuos de pinzón vulgar contabilizados anualmente en el Parque Nacional de los Picos de Europa

Acentor común (*Prunella modularis*)

Su estabilidad poblacional coincide con los resultados encontrados a nivel nacional (Escandell *et al* 2023), aunque en Cataluña muestra una dinámica ligeramente negativa (ICO 2025).

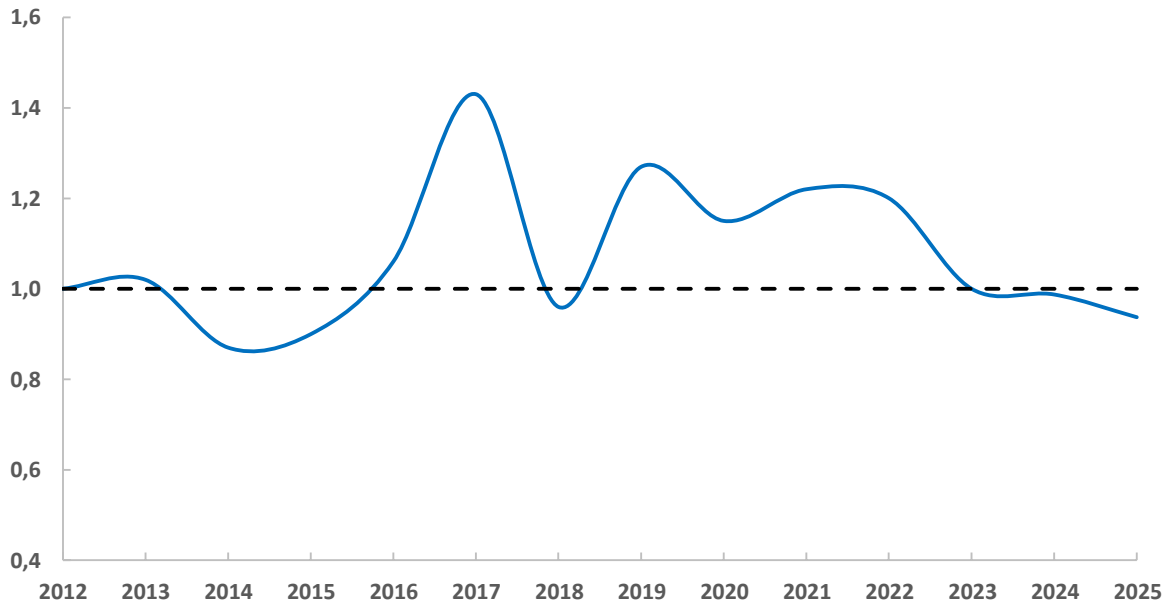


Ilustración 104. Índice de cambio del número total de individuos de acentor común contabilizados anualmente en el Parque Nacional de los Picos de Europa

Curruca capirotada (*Sylvia atricapilla*)

La curruca capirotada califica como estable mientras que, en los programas de seguimiento nacional y catalán, su densidad está en aumento (Escandell *et al.* 2023, ICO 2025).

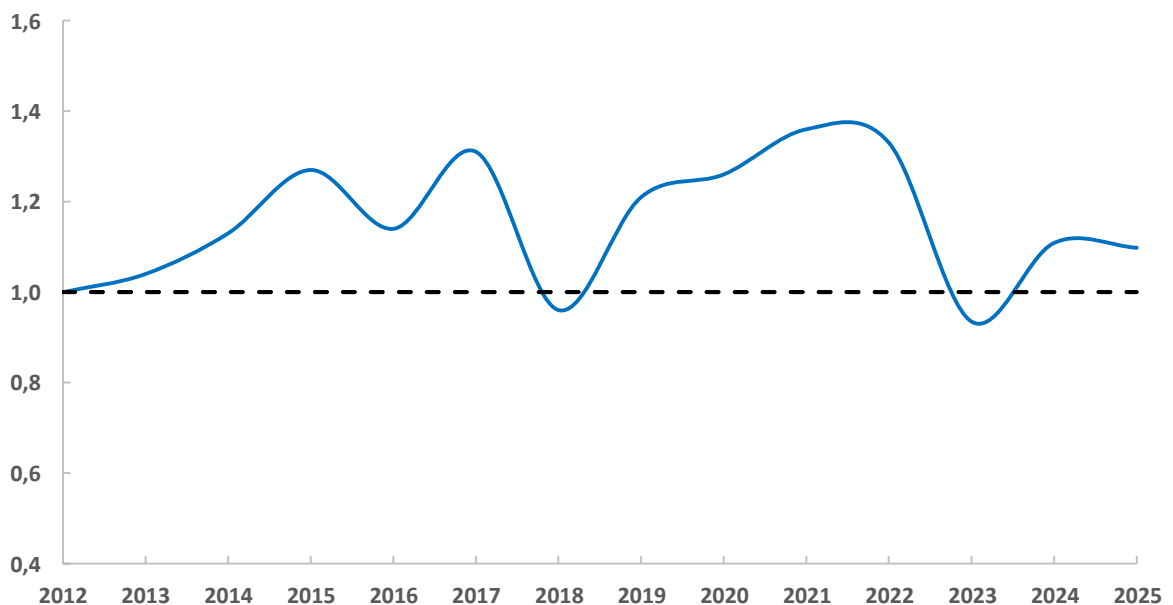


Ilustración 105. Índice de cambio del número total de individuos de curruca capirotada contabilizados anualmente en el Parque Nacional de los Picos de Europa

Mirlo común (*Turdus merula*)

El mirlo común muestra una dinámica poblacional estable en el parque nacional. Esta misma tendencia ha sido encontrada en la población catalana durante la última década (ICO 2025). No obstante, en ese mismo periodo, se estima que la población de la especie a nivel nacional, está experimentando un incremento moderado (Escandell *et al.* 2023).

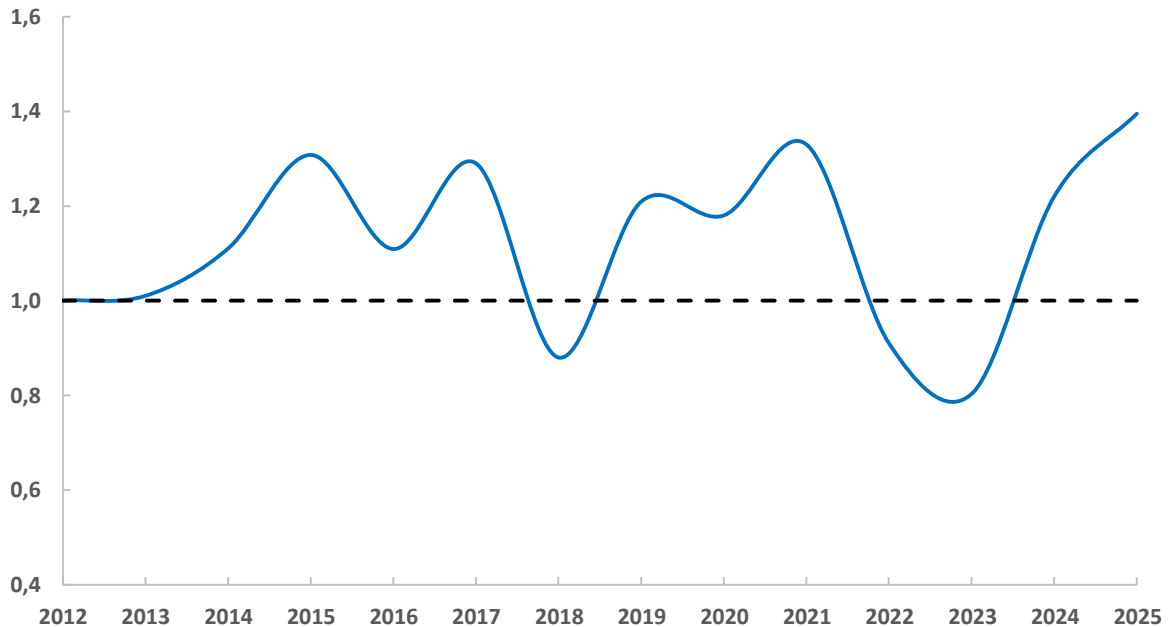


Ilustración 106. Índice de cambio del número total de individuos de mirlo común contabilizados anualmente en el Parque Nacional de los Picos de Europa

Incremento moderado

Mosquitero ibérico (*Phylloscopus ibericus*) Tendencia (2012-2025): +7,5%

Las estimaciones de abundancia del mosquitero ibérico mostraron un descenso acusado durante los primeros años del periodo analizado, alcanzando en 2015 el valor más bajo de toda la serie. A partir de esa fecha se observa un cambio de tendencia muy claro, con una recuperación progresiva y sostenida de la población. En términos generales, la especie ha experimentado un **INCREMENTO MODERADO*** y prácticamente continuado, aunque en algunas temporadas concretas las estimas reflejaron pequeñas caídas que no alteraron la trayectoria global de crecimiento.

En la actualidad, el número de individuos reproductores presentes en el parque nacional se estima en torno a un 50% más que al inicio de la serie temporal, lo que confirma la solidez de esta recuperación.

Si se amplía la perspectiva al conjunto del territorio nacional, los datos disponibles indican que entre 2012 y 2023 la población del mosquitero ibérico se ha mantenido estable. No obstante, al considerar un marco temporal más amplio, que abarca desde 1998, la tendencia nacional coincide con la detectada en el parque: un incremento moderado de ejemplares durante la primavera, reflejo de una evolución positiva que se consolida a largo plazo.

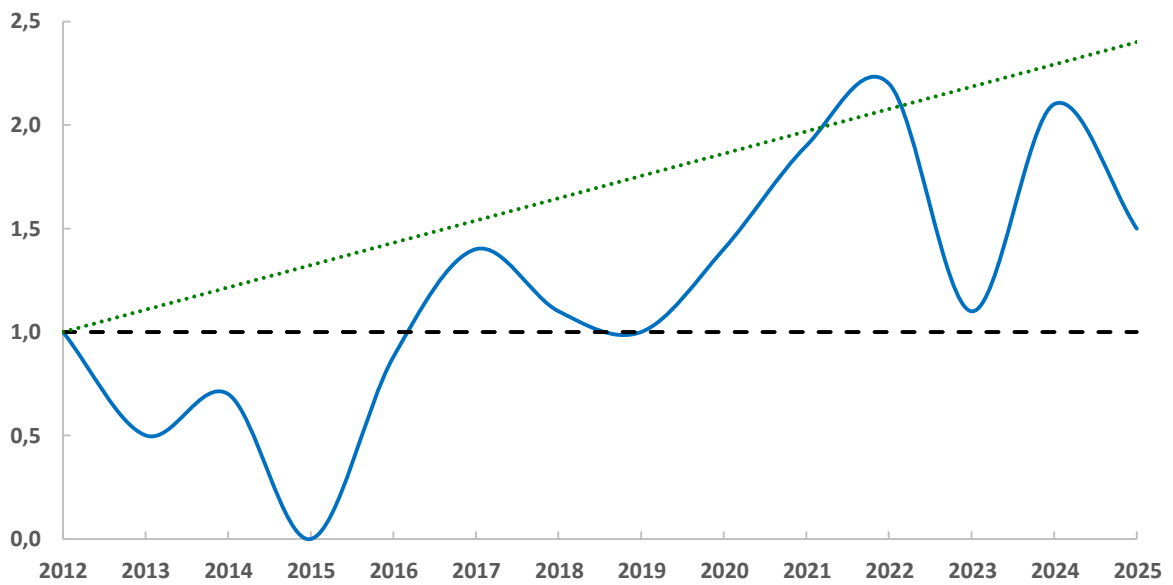


Ilustración 107. Índice de cambio del número total de individuos de mosquitero ibérico contabilizados anualmente en el Parque Nacional de los Picos de Europa

Tendencia por hábitats

Los muestreos dentro del parque nacional se ubican mayoritariamente en zonas de arbolado, con predominio de hayedos y otras planifolias (63 puntos de muestreo). También están bien representados el hábitat herbáceo (26 puntos) y el de matorral (8 puntos). Aunque existen otros hábitats como el acuático (2 puntos) y hábitats sin vegetación (1 punto) no se analizan por estar escasamente representados.

La riqueza de especies en los distintos hábitats permanece **ESTABLE** a lo largo del tiempo. Únicamente en el hábitat dominado por el matorral la tendencia es **INCIERTA**.

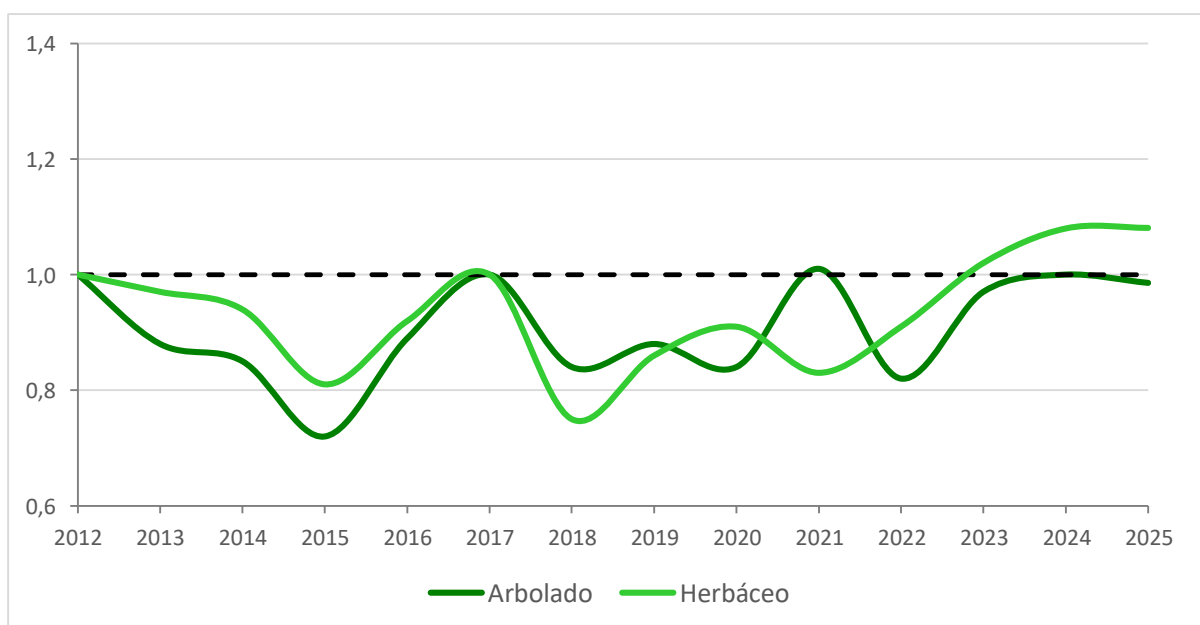


Ilustración 108. Índice de cambio del número especies contabilizadas anualmente en los distintos hábitats del Parque Nacional de los Picos de Europa

La abundancia total de aves sigue el mismo patrón. En todos los hábitats el número de aves que se contabilizan anualmente no muestra una tendencia al cambio a lo largo del periodo analizado, calificando como **ESTABLE**.

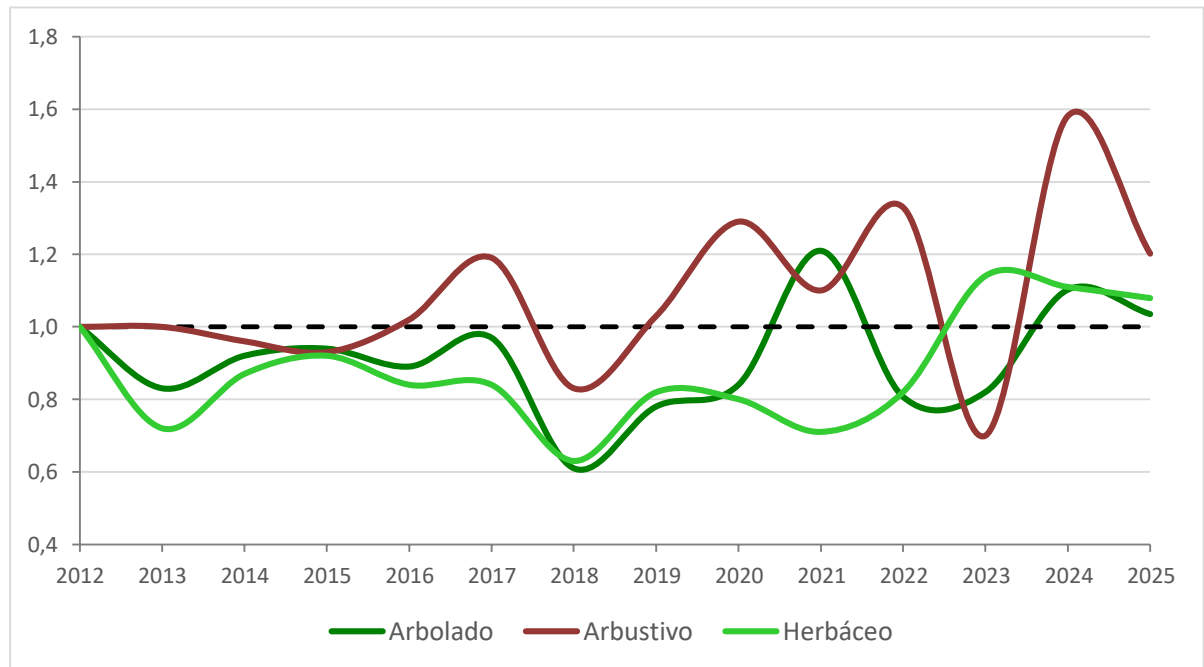


Ilustración 109. Índice de cambio del número total de individuos contabilizados anualmente en los distintos hábitats del Parque Nacional de los Picos de Europa

Cuando se seleccionan aves representantes de ambientes forestales (mito común, agateador europeo, carbonero garrapinos y trepador azul), arbustivos (escribano montesino, curruca zarcera y tarabilla común) y herbáceos (alondra común y collalba gris), únicamente en este último se aprecia un **DESCENSO MODERADO**** de la población, con una tasa promedio de pérdida del 4,5% anual. En el resto de ambientes la tendencia es **INCIERTA**.

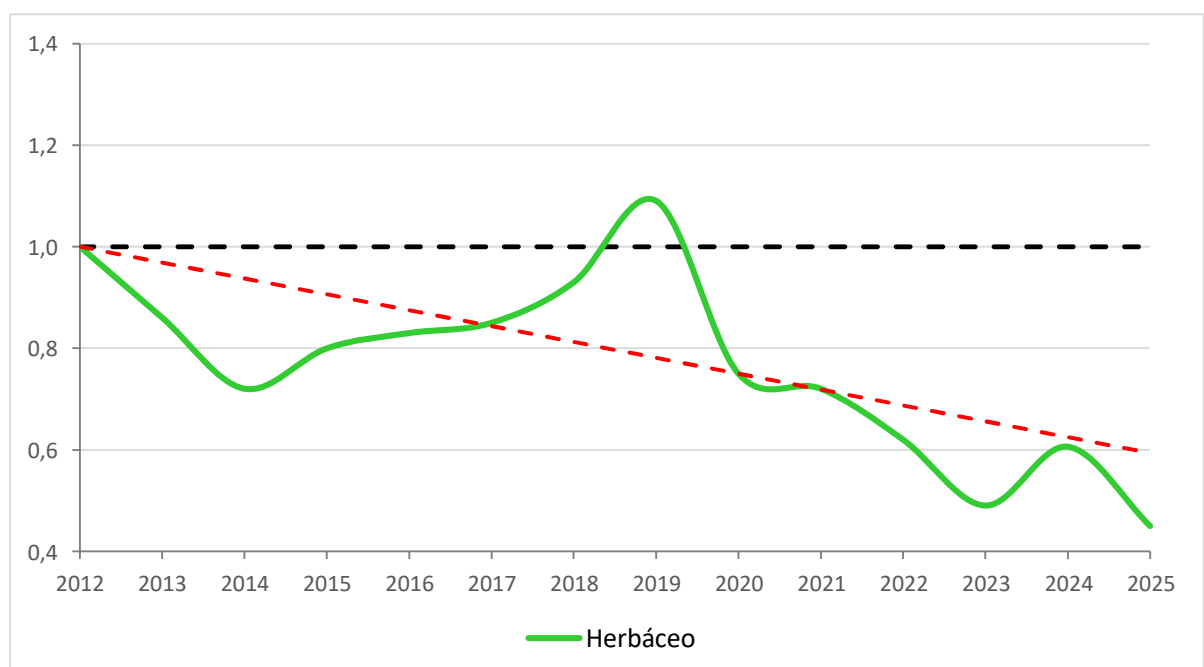


Ilustración 110. Índice de cambio del número total de individuos de especies representativas de los distintos hábitats del Parque Nacional de los Picos de Europa (véase texto para más detalles).

Parque Nacional de Ordesa y Monte Perdido

En el Parque Nacional de Ordesa y Monte Perdido se ha registrado un total de 45 especies distintas de aves. De todas ellas, la más abundante fue nuevamente la chova piquirroja por la detección de diversos bandos por encima del medio centenar de individuos. También merece mención especial los avistamientos de cetia ruiseñor y jilguero lúgano por suponer las primeras citas en el parque nacional dentro del programa de seguimiento.

Tabla 6. Especies y número total de individuos contabilizados en el Parque Nacional de Ordesa y Monte Perdido en primavera de 2025.

| NOMBRE CIENTÍFICO | NOMBRE COMÚN | INDIVIDUOS |
|-------------------------------|------------------------|------------|
| <i>Aegithalos caudatus</i> | Mito común | 4 |
| <i>Alauda arvensis</i> | Alondra común | 2 |
| <i>Carduelis citrinella</i> | Verderón serrano | 4 |
| <i>Certhia brachydactyla</i> | Agateador europeo | 8 |
| <i>Cettia cetti</i> | Cetia ruiseñor | 3 |
| <i>Cinclus cinclus</i> | Mirlo-acuático europeo | 7 |
| <i>Corvus corax</i> | Cuervo grande | 4 |
| <i>Corvus corone</i> | Corneja negra | 19 |
| <i>Coturnix coturnix</i> | Codorniz común | 23 |
| <i>Cyanistes caeruleus</i> | Herrerillo común | 3 |
| <i>Delichon urbicum</i> | Avión común | 39 |
| <i>Dendrocopos major</i> | Pico picapinos | 10 |
| <i>Dryocopus martius</i> | Picamaderos negro | 7 |
| <i>Emberiza citrinella</i> | Escribano cerillo | 1 |
| <i>Erithacus rubecula</i> | Petirrojo europeo | 57 |
| <i>Falco tinnunculus</i> | Cernícalo vulgar | 5 |
| <i>Fringilla coelebs</i> | Pinzón vulgar | 87 |
| <i>Garrulus glandarius</i> | Arrendajo euroasiático | 12 |
| <i>Gypaetus barbatus</i> | Quebrantahuesos | 31 |
| <i>Gyps fulvus</i> | Buitre leonado | 120 |
| <i>Lanius collurio</i> | Alcaudón dorsirrojo | 3 |
| <i>Linaria cannabina</i> | Pardillo común | 26 |
| <i>Loxia curvirostra</i> | Piquituerto común | 1 |
| <i>Milvus milvus</i> | Milano real | 3 |
| <i>Motacilla cinerea</i> | Lavandera cascadeña | 2 |
| <i>Neophron percnopterus</i> | Alimoche común | 11 |
| <i>Oenanthe oenanthe</i> | Collalba gris | 20 |
| <i>Parus major</i> | Carbonero común | 12 |
| <i>Periparus ater</i> | Carbonero garrapinos | 31 |
| <i>Phoenicurus ochruros</i> | Colirrojo tizón | 26 |
| <i>Phylloscopus bonelli</i> | Mosquitero papialbo | 7 |
| <i>Phylloscopus collybita</i> | Mosquitero común | 6 |
| <i>Poecile palustris</i> | Carbonero palustre | 2 |
| <i>Ptyonoprogne rupestris</i> | Avión roquero | 41 |

| NOMBRE CIENTÍFICO | NOMBRE COMÚN | INDIVIDUOS |
|--------------------------------|--------------------|------------|
| <i>Pyrrhonorax graculus</i> | Chova piquigualda | 22 |
| <i>Pyrrhonorax pyrrhonorax</i> | Chova piquirroja | 430 |
| <i>Pyrrhula pyrrhula</i> | Camachuelo común | 4 |
| <i>Regulus ignicapilla</i> | Reyezuelo listado | 12 |
| <i>Sitta europaea</i> | Trepador azul | 17 |
| <i>Spinus spinus</i> | Jilguero lúgano | 1 |
| <i>Sylvia atricapilla</i> | Curruca capirotada | 60 |
| <i>Troglodytes troglodytes</i> | Chochín paleártico | 36 |
| <i>Turdus merula</i> | Mirlo común | 15 |
| <i>Turdus philomelos</i> | Zorzal común | 11 |
| <i>Turdus viscivorus</i> | Zorzal charlo | 10 |

Tendencias generales

El parque nacional parece estar experimentando un **DESCENSO MODERADO**** en el número de especies que se identifica cada año, con una tasa promedio de pérdida cercana al 2,4% anual.

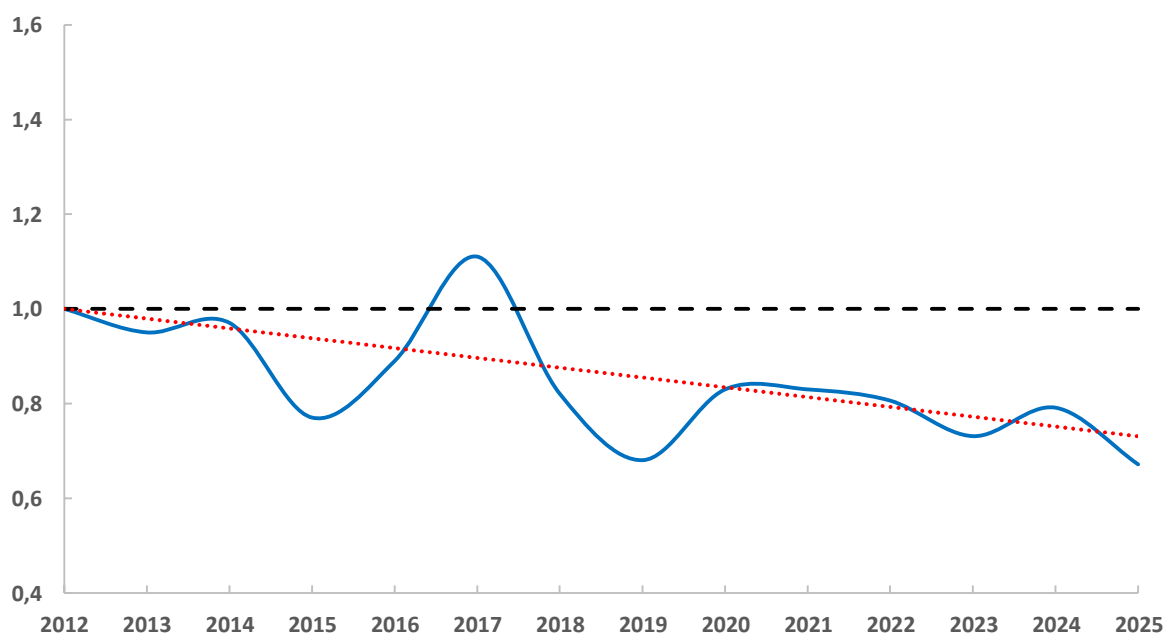


Ilustración 111. Índice de cambio del número total de especies detectadas anualmente en el Parque Nacional de Ordesa y Monte Perdido

En 2012, año en que se inició el seguimiento, se contabilizaron 67 especies. Sin embargo, en esta última campaña de 2025, únicamente se han registrado 45 taxones, lo que supone una disminución cercana a un tercio en comparación con los valores iniciales.

Especies tales como la perdiz roja, el águila real, el agateador euroasiático, la lavandera blanca, el pito real o la curruca mosquitera son ahora cada vez más difíciles de observar con respecto al inicio de la serie temporal.

La abundancia total de aves ha experimentado importantes fluctuaciones a lo largo de todos estos años, con máximos en 2017 con 1.475 individuos contabilizados y mínimos de 659

ejemplares en 2019. A pesar de ello, no existe una tendencia clara de cambio a medio y largo plazo, pues los valores no suelen alejarse significativamente de los registrados al inicio de la serie temporal. Por lo tanto, a pesar de existir unas fluctuaciones interanuales importantes, los datos no se desvían significativamente de un promedio anual cercano al millar de ejemplares, calificando la variable como de evolución **ESTABLE**. En este sentido, a pesar de la pérdida de diversidad, la abundancia total de aves permanece invariable.

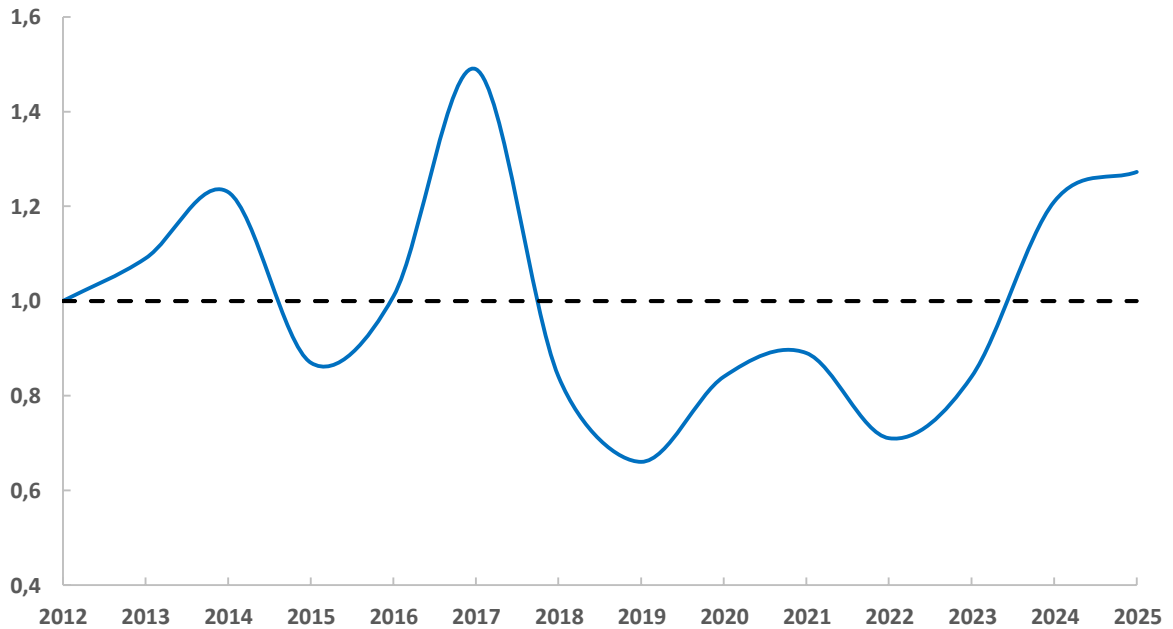


Ilustración 112. Índice de cambio del número total de individuos detectados anualmente en el Parque Nacional de Ordesa y Monte Perdido

Tendencia por especie

Se ha llevado a cabo un análisis detallado de la tendencia poblacional de 35 especies de aves reproductoras presentes en el parque nacional, a partir de las series temporales disponibles de abundancia. Los resultados ponen de manifiesto que, en la mayoría de los casos (25 taxones; 71% del total), no es posible identificar un patrón claro de evolución en sus poblaciones. En estos casos, la variabilidad interanual y la ausencia de una dirección estadísticamente significativa obligan a calificar su tendencia como incierta, lo que implica una falta de consistencia en la trayectoria a lo largo del periodo de seguimiento.

En cambio, para el grupo restante de especies sí se detectan dinámicas poblacionales que se ajustan de manera robusta a una tendencia definida. Concretamente, seis taxones muestran una disminución significativa de sus efectivos reproductores. Por el contrario, dos especies presentan una evolución positiva, con incrementos estadísticamente constatables a lo largo de los años. Finalmente, en otros dos taxones se observa estabilidad, lo que indica que sus poblaciones se mantienen en niveles similares a los iniciales, sin grandes fluctuaciones (Ilustración 113).

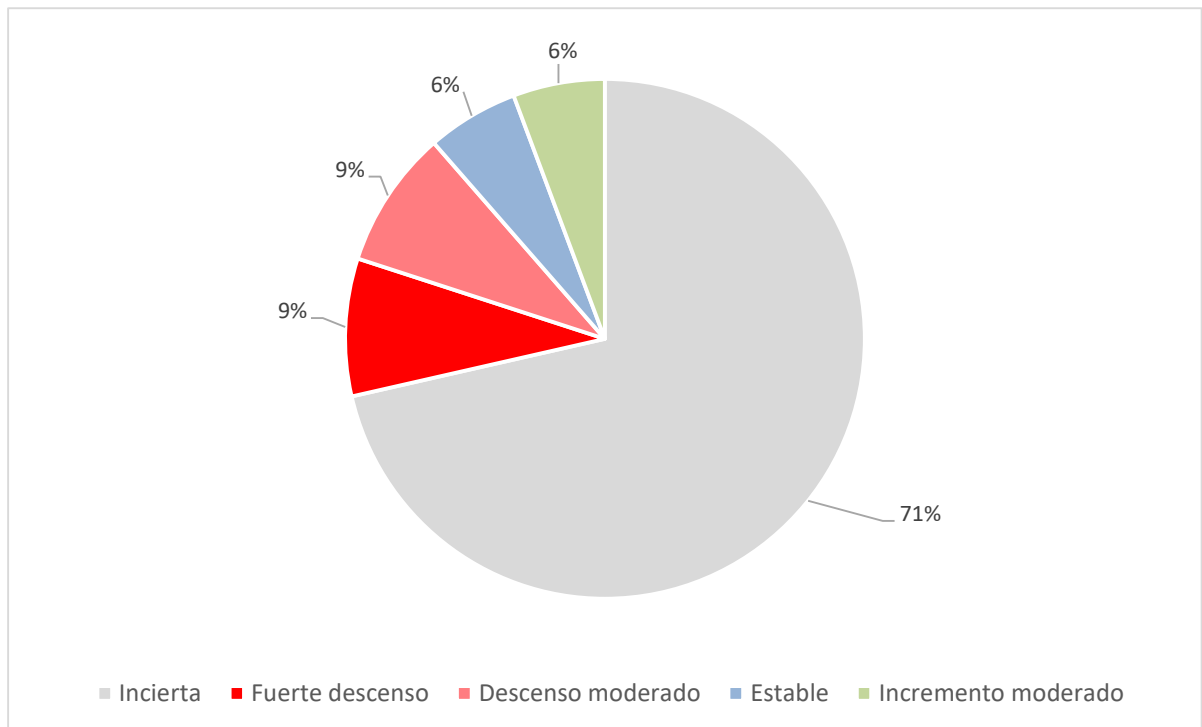


Ilustración 113. Proporción de tendencias poblacionales obtenidas en el Parque Nacional de Ordesa y Monte Perdido

A continuación, se muestran las especies que mostraron variaciones poblacionales según su tendencia.

Fuerte descenso

Herrerillo común (*Cyanistes caeruleus*) Tendencia (2012-2025): -15,8%

El herrerillo común muestra una marcada tendencia regresiva en sus poblaciones reproductoras desde el inicio del programa de seguimiento en 2012. Aunque la serie temporal refleja cierta variabilidad interanual, con oscilaciones notables durante los primeros años, la trayectoria global se ajusta a un **FUERTE DESCENSO***.

El retroceso progresivo de su abundancia tuvo una excepción en la campaña de 2017, en la que se registró un repunte excepcional de aves que llegó a duplicar los valores iniciales. Sin embargo, este aumento resultó puntal, pues a partir de 2018, se produjo un descenso abrupto, situando las estimas por debajo del 20% respecto al valor de referencia y manteniéndose en niveles muy reducidos durante el resto del periodo analizado.

Desde la temporada de cría de 2018 las estimas de densidad son extraordinariamente bajas, con recuentos de 3-5 ejemplares por año, cuando al inicio de la serie temporal, su número estaba próximo a la veintena de individuos, lo que representa una pérdida del 75% aproximadamente con respecto a los valores iniciales.

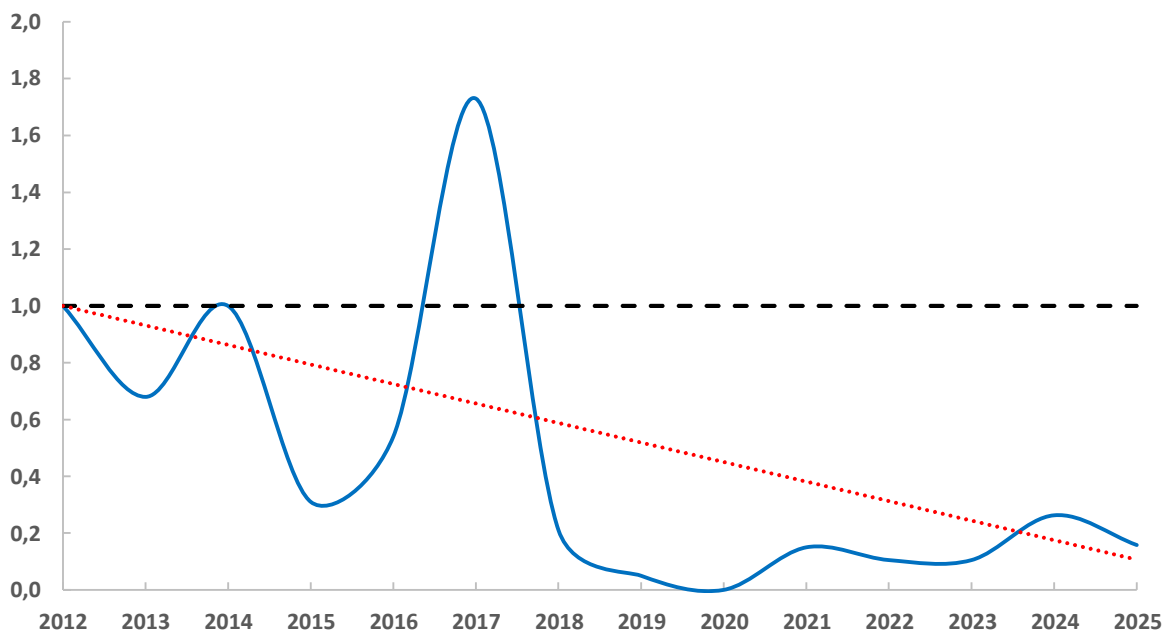


Ilustración 114. Índice de cambio del número total de individuos de herrerillo común contabilizados anualmente en el Parque Nacional de Ordesa y Monte Perdido

Aunque en Cataluña su situación parece estable (ICO 2025), el seguimiento a nivel nacional señala un descenso moderado en los últimos años (Escandell *et al.* 2023), sugiriendo que las causas de este declive podrían escapar de los límites del parque nacional y ser un fenómeno más global, o al menos, de un ámbito geográfico mayor.

Por tratarse de una especie fundamentalmente forestal, las principales causas de su retroceso en el parque nacional podrían estar relacionadas con el estado de conservación de este hábitat.

Fuerte descenso

Lavandera cascadeña (*Motacilla cinerea*) Tendencia (2012-2025): -16,9%

La dinámica poblacional de la lavandera cascadeña se ha caracterizado igualmente por marcadas oscilaciones interanuales a lo largo de toda la serie temporal. No obstante, a pesar de esa variabilidad, se aprecia un patrón consistente: los picos de abundancia alcanzados en determinados años han ido reduciéndose progresivamente, sin lograr recuperar los valores anteriores. Este modelo refleja una tendencia claramente negativa, con un **FUERTE DESCENSO*** en el número de efectivos reproductores a lo largo de la serie temporal.

La magnitud de esta regresión queda especialmente patente en la campaña actual, en la que apenas se ha contabilizado un 10% de los ejemplares registrados en 2012, tomado como año de referencia.

La tendencia observada en el parque nacional contrasta de manera notable con la situación descrita en otras áreas geográficas. Así, los programas de seguimiento desarrollados en Cataluña y a escala nacional indican que la especie se mantiene estable, sin variaciones significativas en sus poblaciones durante un periodo similar (Escandell *et al.* 2023, ICO 2025). En este sentido, sería necesario profundizar en el análisis de las causas de este retroceso, prestando especial atención a factores locales o intrínsecos al parque nacional que pudieran estar condicionando la

dinámica poblacional de la especie, especialmente en cursos de agua dulce donde la especie encuentra su hábitat óptimo.

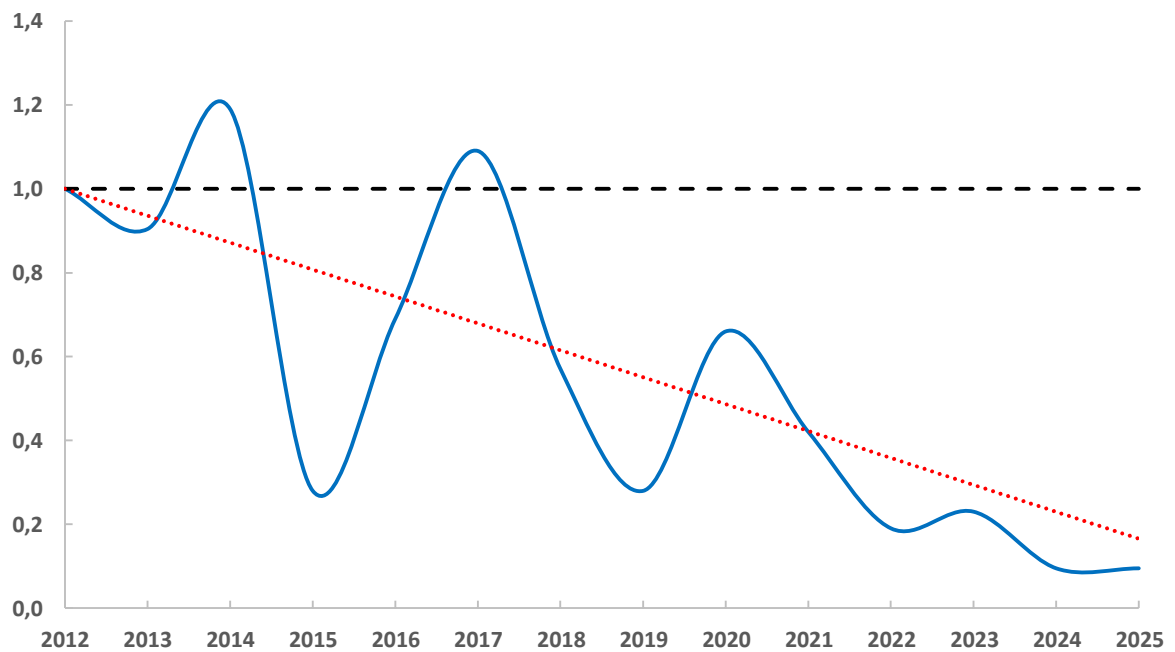


Ilustración 115. Índice de cambio del número total de individuos de lavandera cascadeña contabilizados anualmente en el Parque Nacional de Ordesa y Monte Perdido

Fuerte descenso

Acentor común (*Prunella modularis*) Tendencia (2012-2025): -18,8%

En los años iniciales del programa de seguimiento de aves en el parque nacional, la abundancia del acentor común mostró una marcada variabilidad interanual. No obstante, a partir de 2018, se registró una drástica disminución en su densidad poblacional, tendencia que se ha mantenido consistentemente hasta la fecha.

Este descenso ha sido continuado hasta el punto de que no ha sido citado en la presente campaña, es decir, se ha pasado de los recuentos iniciales de aproximadamente treinta ejemplares a la ausencia total de individuos en el muestreo más reciente, clasificándose la tendencia como **FUERTE DESCENSO***.

La dinámica demográfica observada en el parque nacional es coherente con los resultados del estudio a largo plazo llevado a cabo en Cataluña donde la especie también experimenta regresiones poblacionales (ICO 2025). Sin embargo, la severidad de la regresión en el espacio protegido es significativamente mayor que la registrada en el estudio catalán.

A nivel nacional la dinámica encontrada no coincide con la del presente trabajo y considera que la situación de la especie se mantiene estable (Escandell *et al.* 2023).

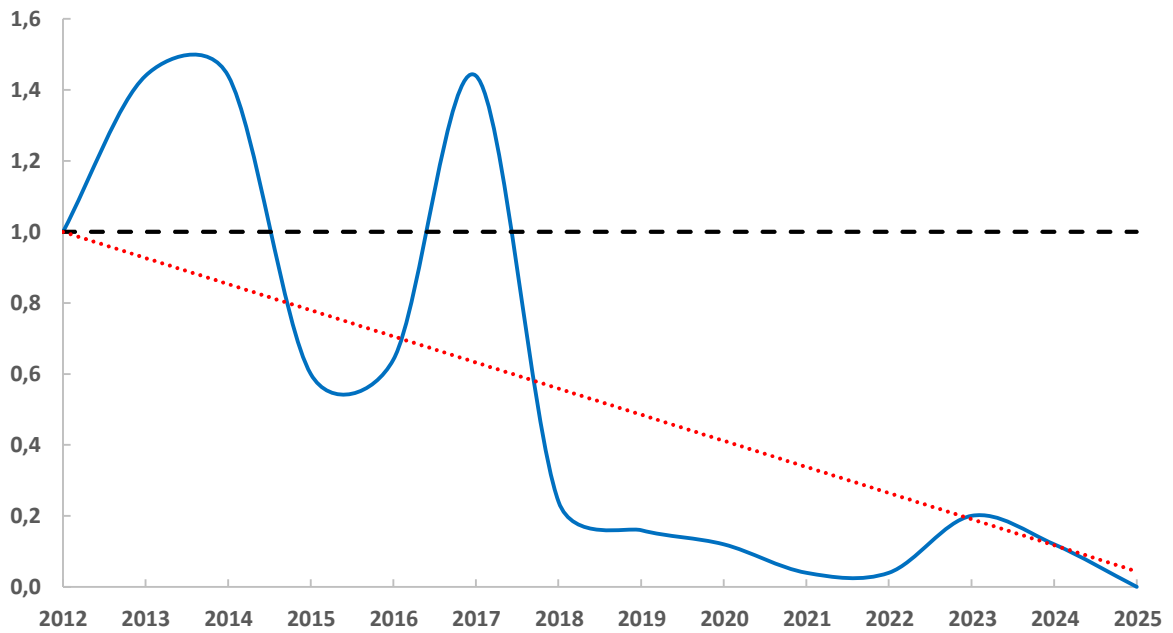


Ilustración 116. Índice de cambio del número total de individuos de acentor común contabilizados anualmente en el Parque Nacional de Ordesa y Monte Perdido

Descenso moderado

Agateador europeo (*Certhia brachydactyla*) Tendencia (2012-2025): -10,2%

La abundancia de la especie ha mostrado fluctuaciones interanuales, pero con una clara evolución hacia la progresiva reducción de efectivos reproductores, calificando como **DESCENSO MODERADO****.

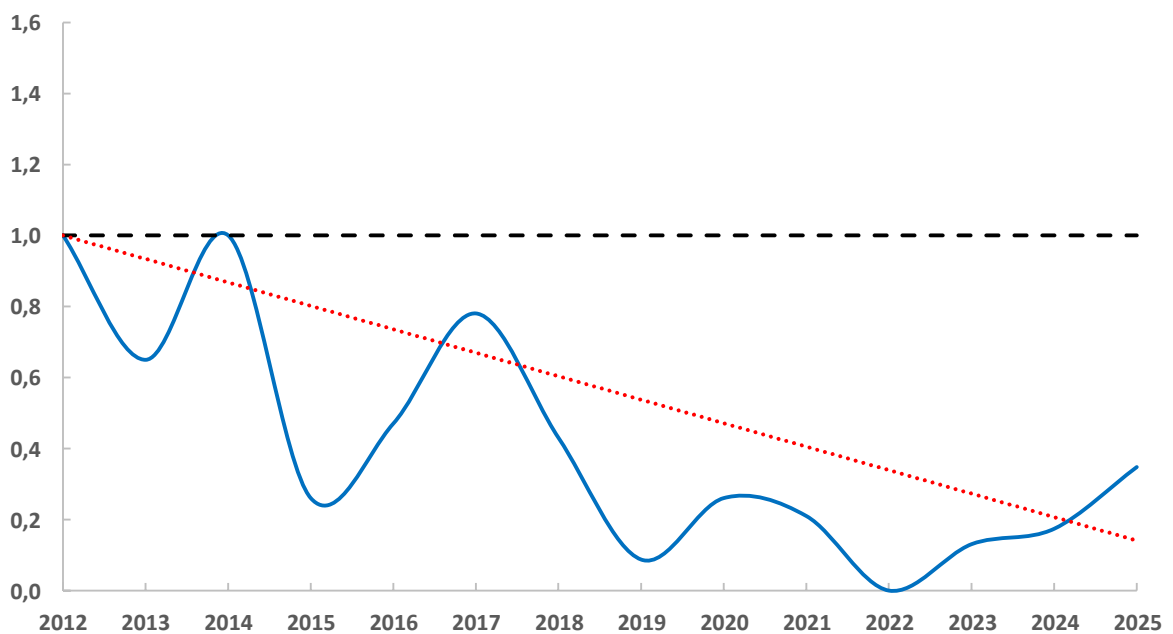


Ilustración 117. Índice de cambio del número total de individuos de agateador europeo contabilizados anualmente en el Parque Nacional de Ordesa y Monte Perdido

En los últimos años, parece haberse producido una cierta recuperación poblacional, por lo que los próximos años son importantes para confirmar si esta nueva tendencia se consolida. A pesar de ello, las estimas actuales son cerca de un 65% inferiores a las del primer año de seguimiento.

La tendencia observada en el parque nacional contrasta con los resultados de los programas de seguimiento consultados, en los que la especie muestra un incremento poblacional (Escandell *et al.* 2023; ICO 2025). Por ello, la regresión detectada en el área protegida debe explicarse por factores locales, posiblemente vinculados al estado de conservación de los bosques que constituyen su hábitat óptimo.

Descenso moderado

Escribano cerillo (*Emberiza citrinella*) Tendencia (2012-2025): -15,6%

La abundancia del escribano cerillo evidencia un **DESCENSO MODERADO****. Tras iniciar el seguimiento en 2012 con el valor máximo registrado, la población ha mostrado un descenso progresivo hasta 2015, con un breve repunte en 2016–2017 que no llegó a alcanzar los valores iniciales. A partir de 2018 se produjo un brusco descenso poblacional, llegando a desaparecer en 2019 y mostrando únicamente fluctuaciones de baja magnitud en años posteriores. Aunque en 2020 se observó un incremento puntual, la especie no recuperó estabilidad, manteniéndose desde 2021 en valores reducidos y descendiendo hasta cifras mínimas en 2025.

En conjunto, los resultados reflejan un retroceso de más del 90 % respecto al inicio de la serie temporal, lo que pone de manifiesto un proceso de declive sostenido.

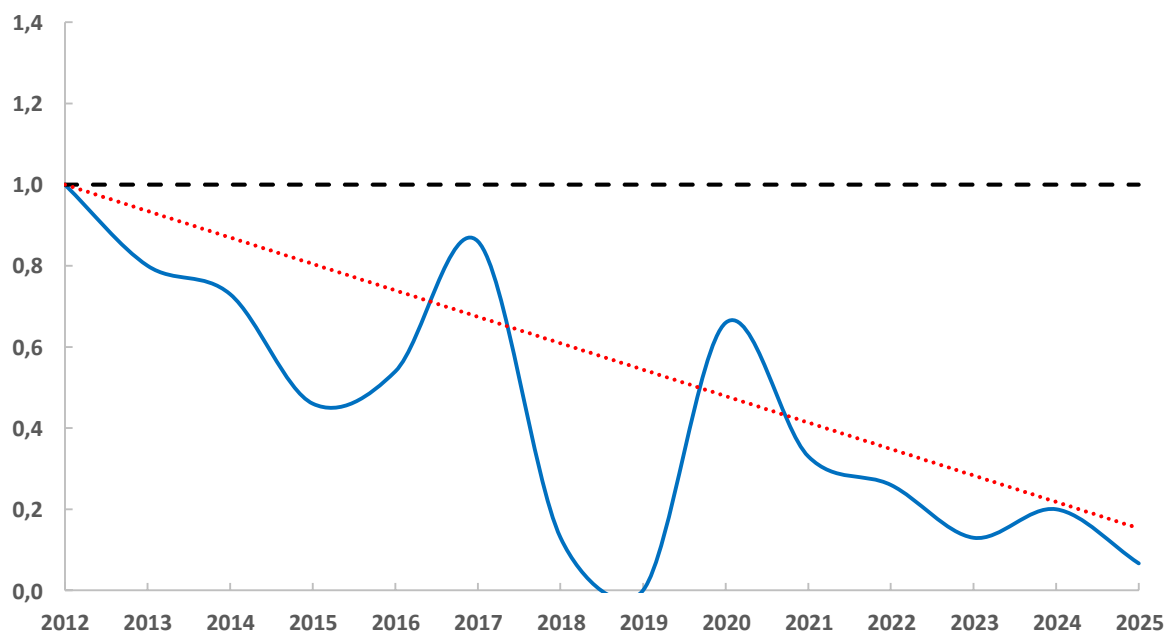


Ilustración 118. Índice de cambio del número total de individuos de escribano cerillo contabilizados anualmente en el Parque Nacional de Ordesa y Monte Perdido

Esta evolución podría responder a una tendencia general de la especie, al menos si se considera una escala peninsular, ya que el programa de seguimiento muestra un patrón igualmente regresivo (Escandell *et al.* 2023). Sin embargo, esta situación no se reproduce en Cataluña, donde el escribano parece mantener su población relativamente estable (ICO 2025)

Descenso moderado

Mirlo común (*Turdus merula*) Tendencia (2012-2025): -7,7%

La abundancia de la especie muestra una marcada variabilidad interanual, aunque con una tendencia general de **DESCENSO MODERADO**** respecto a los valores iniciales. Tras un inicio estable entre 2012 y 2014, la población experimentó un fuerte descenso en 2015. Posteriormente se registró una recuperación parcial en 2017, aunque no consiguió restablecer los niveles de partida. A partir de 2018 se observa un nuevo retroceso, con un mínimo en 2019, seguido de oscilaciones en valores reducidos durante los años siguientes. Aunque en 2023 y 2024 se detecta un repunte (0,64 y 0,61, respectivamente), la tendencia vuelve a ser negativa en 2025.

En conjunto, los resultados evidencian un declive sostenido, con pérdidas superiores al 70 % respecto al inicio de la serie temporal.

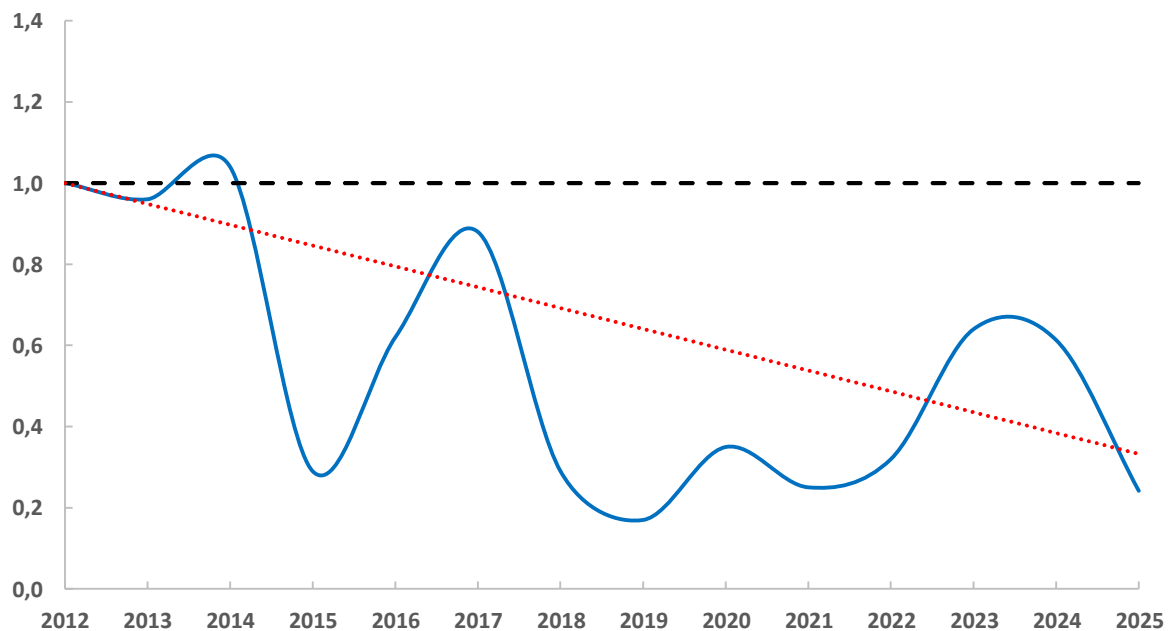


Ilustración 119. Índice de cambio del número total de individuos de mirlo común contabilizados anualmente en el Parque Nacional de Ordesa y Monte Perdido

A nivel nacional y en Cataluña, los programas de seguimiento indican que la población de mirlo común se encuentra en aumento (Escandell *et al.* 2023, ICO 2025) o, al menos, ha mantenido una situación estable durante la última década (ICO 2025).

Este patrón contrasta de manera notable con los resultados obtenidos en el parque nacional, donde la serie temporal refleja un acusado descenso poblacional. La divergencia entre las tendencias sugiere que los factores que explican el retroceso en el área protegida podrían responder a dinámicas locales.

Estable

Pinzón vulgar (*Fringilla coelebs*)

El pinzón vulgar mantiene su población estable en el parque nacional, a pesar de que a nivel nacional y en Cataluña, la especie está en aumento (Escandell *et al.* 2023, ICO 2025).

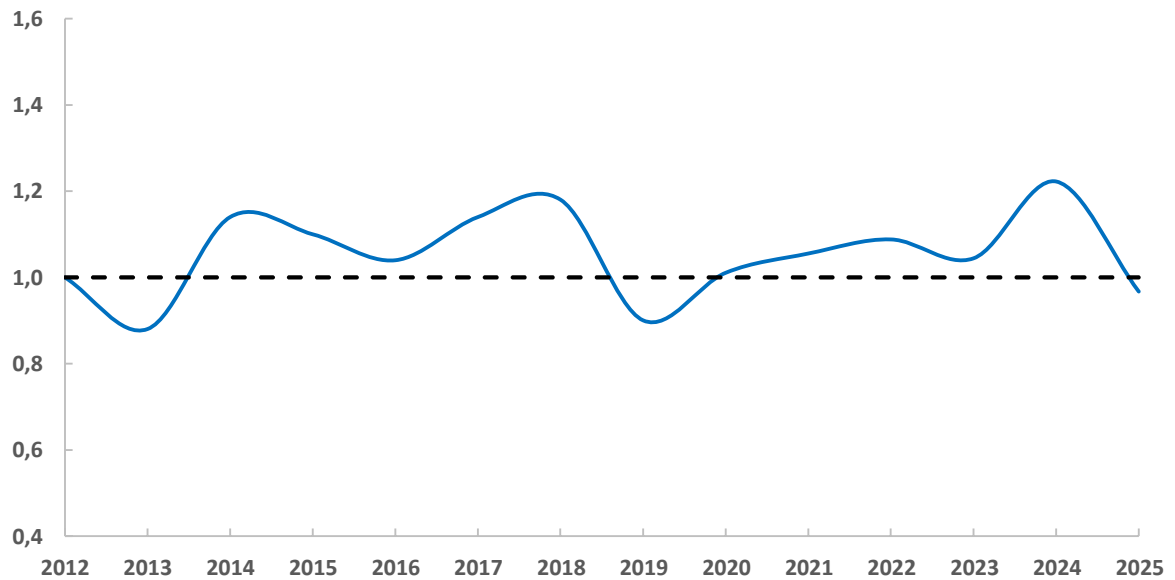


Ilustración 120. Índice de cambio del número total de individuos de pinzón vulgar contabilizados anualmente en el Parque Nacional de Ordesa y Monte Perdido

Estable

Curruca capirotada (*Sylvia atricapilla*)

Igualmente, la curruca capirotada se encuentra en expansión a nivel nacional y en Cataluña (Escandell *et al.* 2023, ICO 2025) mientras que, en el parque nacional permanece estable.

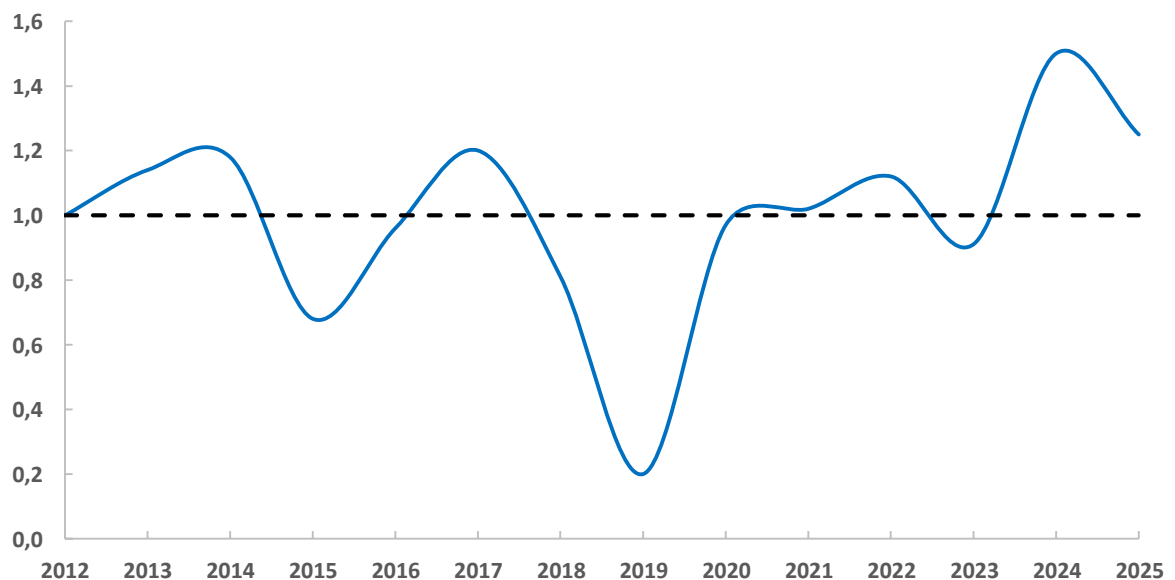


Ilustración 121. Índice de cambio del número total de individuos de curruca capirotada contabilizados anualmente en el Parque Nacional de Ordesa y Monte Perdido

Incremento moderado

Petirrojo europeo (*Erithacus rubecula*) Tendencia (2012-2025): +3,2%

La especie muestra un **INCREMENTO MODERADO*** en el periodo analizado. Desde 2012, la población experimenta un crecimiento sostenido hasta 2014, seguido de un descenso puntual en 2015 que constituye el mínimo de la serie. A partir de aquí se registra una recuperación progresiva, con valores estables por encima de los iniciales y máximos destacados en 2023 y 2024. Aunque en 2025 se observa una ligera reducción, la abundancia se mantiene muy por encima de los valores iniciales, con una tendencia claramente positiva.

Los resultados evidencian un incremento neto superior al 30 % respecto a 2012, lo que confirma una evolución favorable de la especie en el parque nacional.

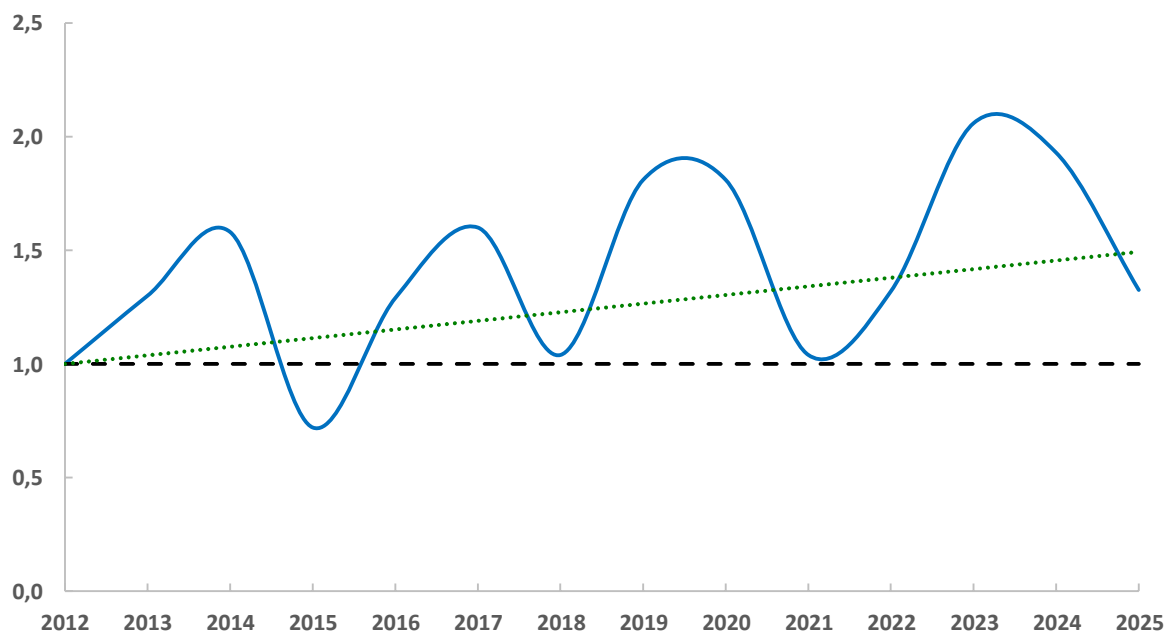


Ilustración 122. Índice de cambio del número total de individuos de petirrojo europeo contabilizados anualmente en el Parque Nacional de Ordesa y Monte Perdido

En esta ocasión, la evolución encontrada en el parque nacional se ajusta los resultados obtenidos en otros programas de seguimiento con un marco geográfico mayor. Así, tanto a nivel nacional como en Cataluña se estima un crecimiento moderado de su población reproductora (Escandell *et al.* 2023, ICO 2025).

Incremento moderado

Buitre leonado (*Gyps fulvus*) Tendencia (2012-2025): +14,20

Desde el inicio del programa de seguimiento, la presencia del buitre leonado en los muestreos ha sido cada vez más frecuente. Así, la cifra inicial de 8 individuos registrada en 2012 siempre ha sido superada en campañas posteriores. Aunque en algunos años se han producido notables fluctuaciones, la población reproductora muestra una evolución claramente ascendente y sostenida en el tiempo, que puede caracterizarse como de **INCREMENTO MODERADO****. En la campaña más reciente se ha obtenido la mayor estimación hasta la fecha, con 120 ejemplares.

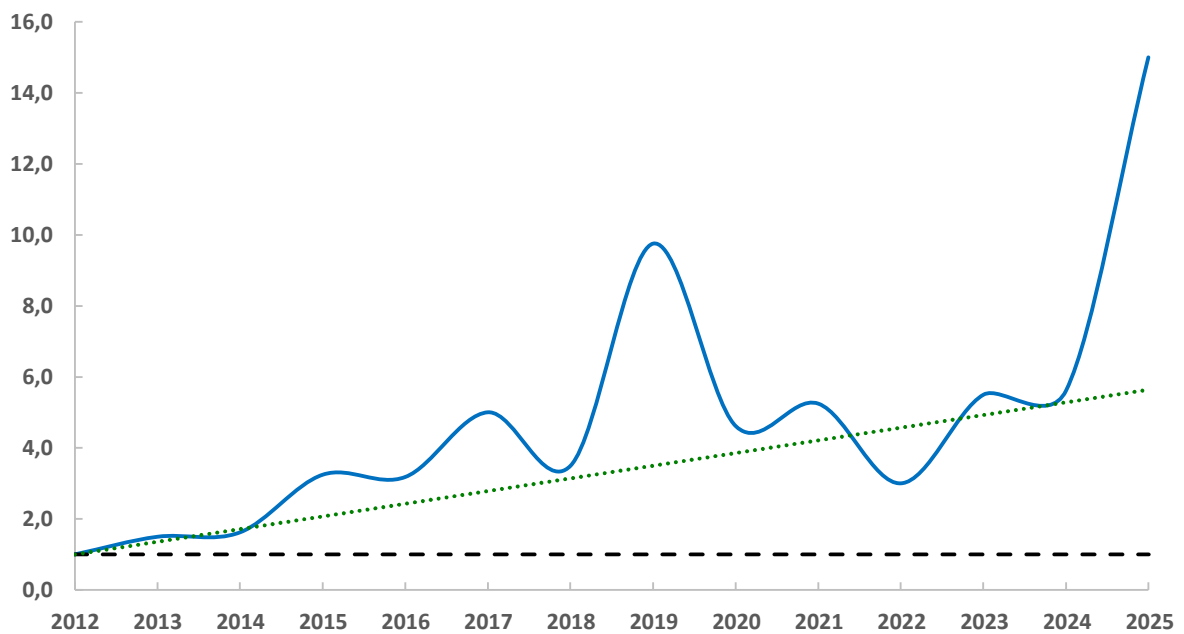


Ilustración 123. Índice de cambio del número total de individuos de buitre leonado contabilizados anualmente en el Parque Nacional de Ordesa y Monte Perdido

Únicamente se dispone de información para Cataluña, donde los datos señalan también un aumento de la abundancia desde 2002 (ICO 2025). Este paralelismo sugiere que la tendencia detectada podría responder a un patrón más amplio de la especie, al menos en el ámbito de la cordillera pirenaica.

Tendencia por hábitats

El paisaje del parque nacional por donde discurren los muestreos primaverales se caracteriza fundamentalmente por la presencia de arbolado (hayedos y pinar), así como también zonas de prados alpinos. Sobre estos dos grandes hábitats (arbolado y herbáceo) se ha examinado su posible influencia sobre las tendencias observadas. Para el hábitat arbolado se han considerado 30 puntos de muestreo, mientras que para el hábitat herbáceo 17 puntos.

Existen otros ambientes, como matorral de boj, pero están representados en muy bajo número y no se han tenido en cuenta para los análisis.

La pérdida de diversidad de especies que se muestra a nivel general no resulta patente en el ambiente arbolado. En este hábitat, el número de taxones que se contabilizan cada año muestra una tendencia **ESTABLE**.

Sin embargo, en el enclave dominado por la vegetación herbácea y praderas efectivamente se aprecia **DESCENSO MODERADO*** de la riqueza de especies, con una tasa promedio de reducción del orden del 2,8% anual. Por lo tanto, la reducción de la biodiversidad afecta, al menos en mayor, a las aves presentes en este último ecosistema.

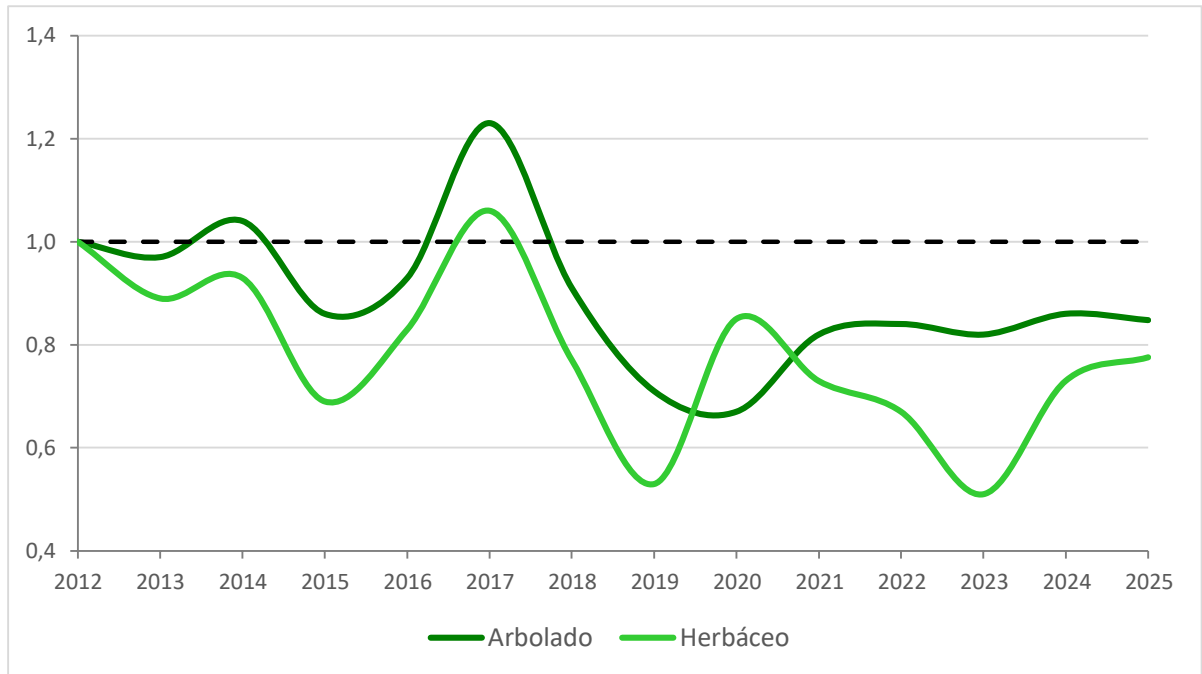


Ilustración 124. Índice de cambio del número especies contabilizadas anualmente en los distintos hábitats del Parque Nacional de Ordesa y Monte Perdido

Cuando se analiza la abundancia total de aves en distintos ambientes, en el hábitat dominado por el herbazal, existen importantes fluctuaciones interanuales, de manera que no se obtiene una evolución clara de cambio o estabilidad, calificando como de tendencia INCIERTA.

Sin embargo, aunque también con oscilaciones interanuales importantes, la abundancia de aves en el ecosistema forestal, permanece en unos valores más constantes a lo largo de la serie temporal, ajustándose estadísticamente a una dinámica ESTABLE.

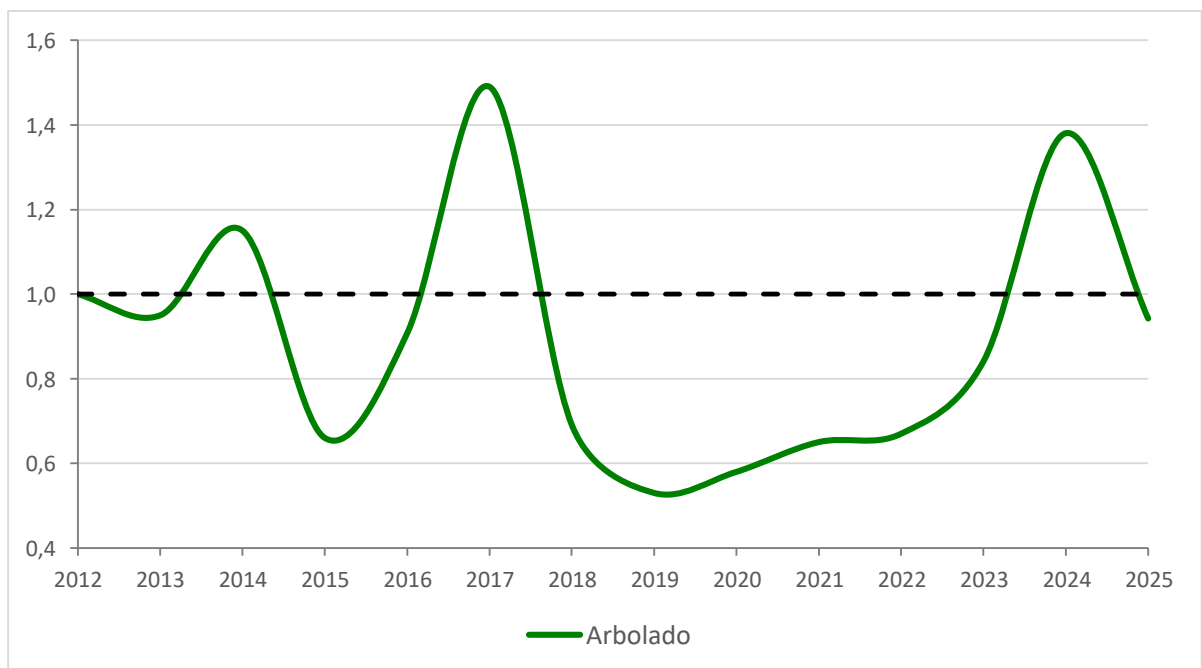


Ilustración 125. Índice de cambio del número total de individuos contabilizados anualmente en los distintos hábitats del Parque Nacional de Ordesa y Monte Perdido

Al considerar de forma específica a las especies ligadas al medio arbolado (mito común, carbonero común y carbonero garrapinos) se observa que su abundancia muestra un **DESCENSO MODERADO**** a lo largo de la serie temporal. La tendencia calculada indica una pérdida media en torno al 6,3% anual de sus efectivos reproductores, lo que refleja un deterioro de este hábitat dentro del parque nacional.

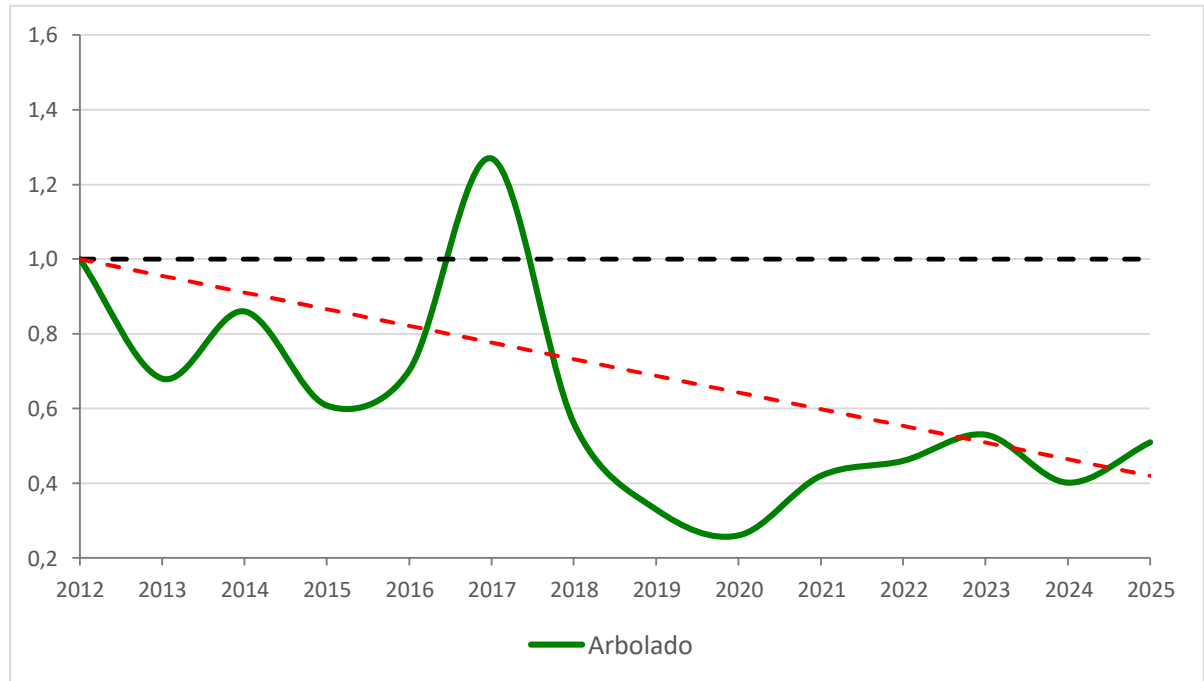


Ilustración 126. Índice de cambio del número total de individuos de especies representativas del ambiente forestal en el Parque Nacional de Ordesa y Monte Perdido.

En contraste, para las especies asociadas a ambientes herbáceos, representadas en este análisis por la alondra común y la collalba gris, no se ha detectado un patrón estadísticamente definido. Su dinámica poblacional se califica, por tanto, como **INCIERTA**, al no poder establecerse con claridad una tendencia de aumento, estabilidad o regresión a partir de las series disponibles.

Parque Nacional de Aigüestortes i Estany de Sant Maurici

En el Parque Nacional de Aigüestortes i Estany de Sant Maurici se ha contabilizado un total de 37 especies distintas. Como en la campaña del pasado año, el pinzón vulgar sigue siendo la especie más abundante. Merece la pena también destacar los avistamientos de busardo ratonero y culebrera europea que constituyen las primeras citas en el parque nacional desde el inicio de los trabajos de seguimiento.

Tabla 7. Especies y número de individuos contabilizados en el Parque Nacional de Aigüestortes i Estany de Sant Maurici en primavera de 2025.

| NOMBRE CIENTÍFICO | NOMBRE COMÚN | INDIVIDUOS |
|--------------------------------|------------------------|------------|
| <i>Buteo buteo</i> | Busardo ratonero | 1 |
| <i>Carduelis citrinella</i> | Verderón serrano | 7 |
| <i>Certhia brachydactyla</i> | Agateador europeo | 2 |
| <i>Circaetus gallicus</i> | Culebrera europea | 1 |
| <i>Columba palumbus</i> | Paloma torcaz | 10 |
| <i>Corvus corone</i> | Corneja negra | 5 |
| <i>Cuculus canorus</i> | Cuco común | 2 |
| <i>Cyanistes caeruleus</i> | Herrerillo común | 3 |
| <i>Dendrocopos major</i> | Pico picapinos | 7 |
| <i>Dryocopus martius</i> | Picamaderos negro | 6 |
| <i>Erithacus rubecula</i> | Petirrojo europeo | 27 |
| <i>Falco tinnunculus</i> | Cernícalo vulgar | 1 |
| <i>Fringilla coelebs</i> | Pinzón vulgar | 48 |
| <i>Garrulus glandarius</i> | Arrendajo euroasiático | 16 |
| <i>Gyps fulvus</i> | Buitre leonado | 10 |
| <i>Linaria cannabina</i> | Pardillo común | 3 |
| <i>Lophophanes cristatus</i> | Herrerillo capuchino | 1 |
| <i>Motacilla cinerea</i> | Lavandera cascadeña | 1 |
| <i>Oenanthe oenanthe</i> | Collalba gris | 13 |
| <i>Parus major</i> | Carbonero común | 1 |
| <i>Periparus ater</i> | Carbonero garrapinos | 25 |
| <i>Phoenicurus ochruros</i> | Colirrojo tizón | 18 |
| <i>Phylloscopus bonelli</i> | Mosquitero papialbo | 1 |
| <i>Phylloscopus collybita</i> | Mosquitero común | 1 |
| <i>Poecile palustris</i> | Carbonero palustre | 2 |
| <i>Prunella modularis</i> | Acentor común | 2 |
| <i>Ptyonoprogne rupestris</i> | Avión roquero | 5 |
| <i>Pyrrhonorax pyrrhonorax</i> | Chova piquirroja | 25 |
| <i>Pyrrhula pyrrhula</i> | Camachuelo común | 2 |
| <i>Regulus ignicapilla</i> | Reyezuelo listado | 2 |
| <i>Sitta europaea</i> | Trepador azul | 1 |
| <i>Sylvia atricapilla</i> | Curruca capirotada | 21 |
| <i>Troglodytes troglodytes</i> | Chochín paleártico | 12 |
| <i>Turdus merula</i> | Mirlo común | 1 |

| NOMBRE CIENTÍFICO | NOMBRE COMÚN | INDIVIDUOS |
|--------------------------|------------------|------------|
| <i>Turdus philomelos</i> | Zorzal común | 1 |
| <i>Turdus torquatus</i> | Mirlo capiblanco | 1 |
| <i>Turdus viscivorus</i> | Zorzal charlo | 18 |

Tendencias generales

La evolución de la riqueza de especies entre 2012 y 2025 muestra un patrón con ligeras oscilaciones, pero con una tendencia de **DESCENSO MODERADO*** en el conjunto de la serie, con una tasa promedio de pérdida del 1,0% anual.

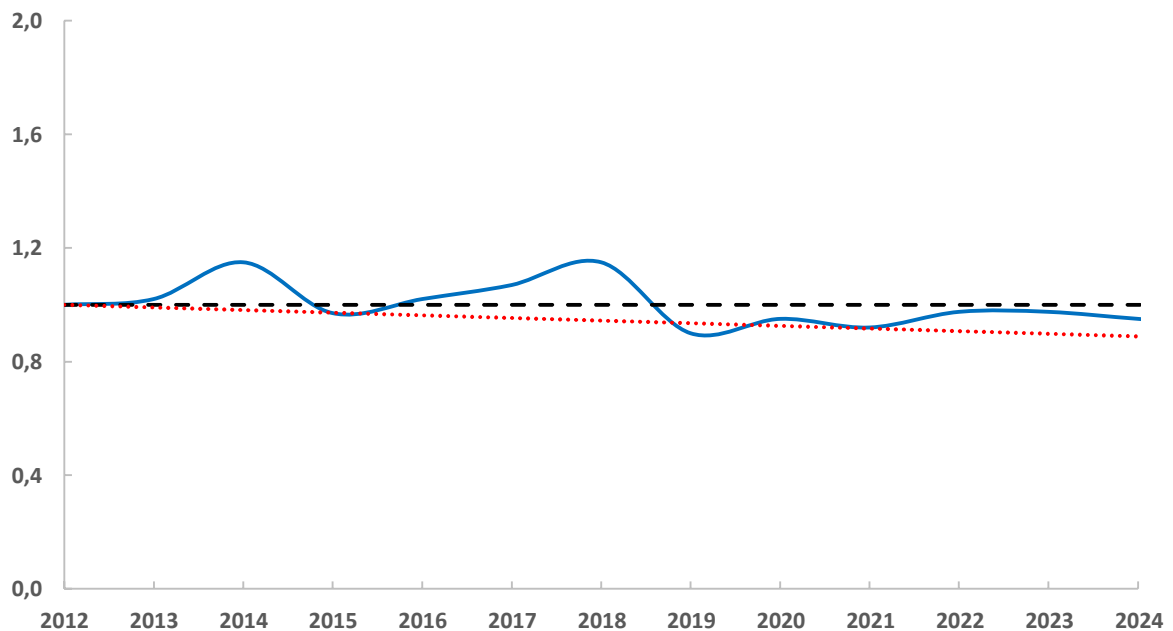


Ilustración 127. Índice de cambio del número total de especies detectadas anualmente en el Parque Nacional de Aigüestortes i Estany de Sant Maurici

Los valores no se alejan mucho de las estimas registradas en el año de comparación, pero parece apreciarse una ligera disminución a partir de 2019, cuando los datos descienden y se mantienen en un rango más bajo, hasta alcanzar en 2025 el valor mínimo de toda la serie temporal.

La tendencia deberá confirmarse en los próximos años puesto que la pendiente está muy próxima a la unidad (valor de comparación), si bien es cierto que ciertas especies como el bisbita arbóreo, agateador euroasiático, escribano montesino, piquituerto común y reyezuelo sencillo se detectan con menor regularidad en los últimos años.

Por el contrario, la abundancia total de aves muestra una dinámica **ESTABLE**, a pesar de mostrar recuentos con mayores oscilaciones de un año a otro. Esto ocurre porque las fluctuaciones interanuales, aunque amplias, no muestran una dirección clara hacia el aumento o el descenso, de modo que la tendencia estadística a lo largo del periodo analizado resulta más o menos constante (en este caso torno a los 400 individuos).

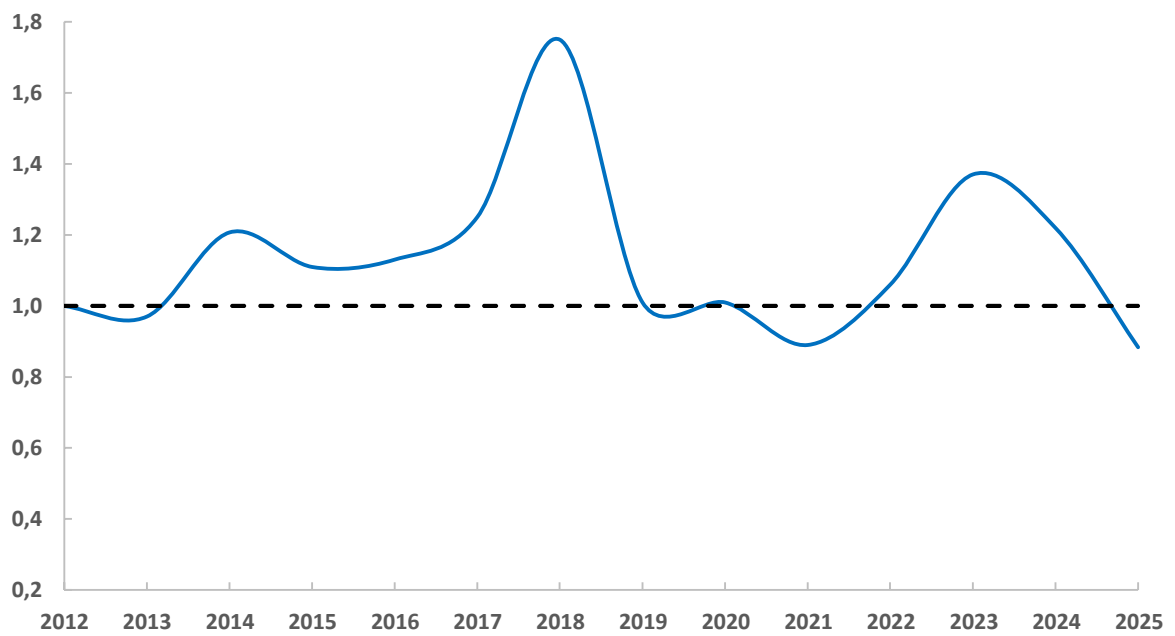


Ilustración 128. Índice de cambio del número total de ejemplares detectados anualmente en el Parque Nacional de Aiguestortes i Estany de Sant Maurici

Tendencia por especies

Se ha podido analizar la tendencia poblacional de 22 especies de aves con datos suficientes de abundancia. En la mayoría de los casos (18 taxones) la dinámica obtenida es incierta. En un único caso se ha demostrado un descenso poblacional moderado, mientras que tres especies han ofrecido una tendencia opuesta positiva.

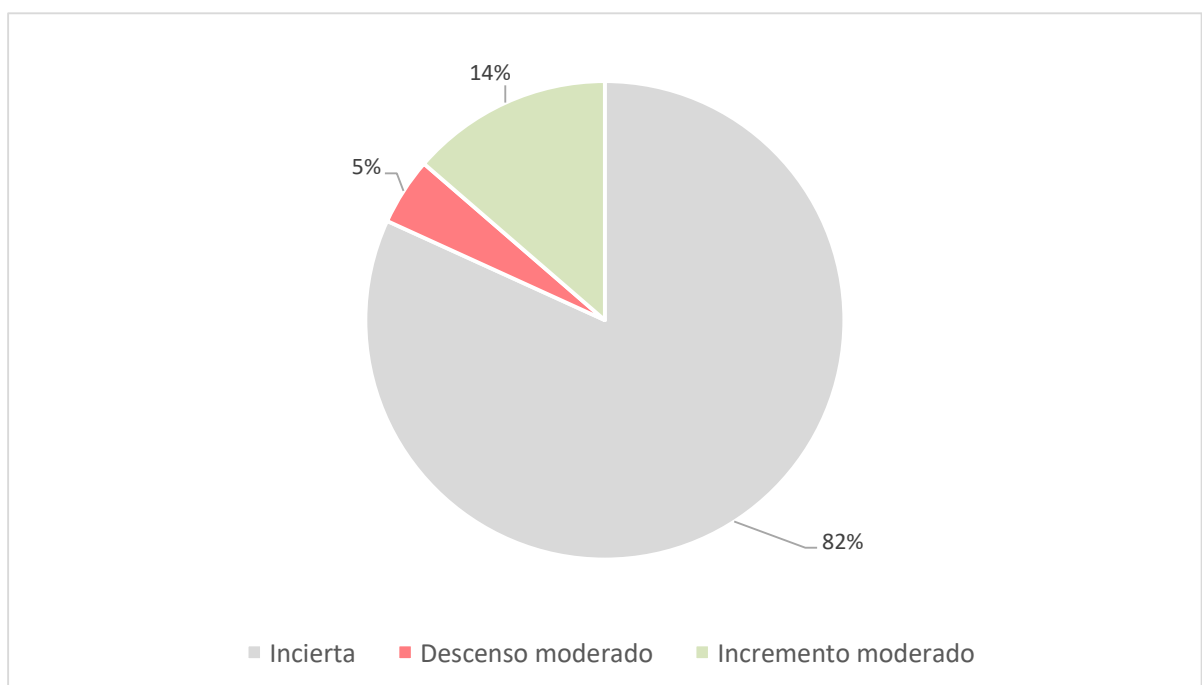


Ilustración 129. Proporción de tendencias poblacionales obtenidas en el Parque Nacional de Aiguestortes i Estany de Sant Maurici

A continuación, se muestran las especies que mostraron variaciones poblacionales estadísticamente significativas según su tendencia.

Descenso moderado

Colirrojo tizón (*Phoenicurus ochruros*) Tendencia (2012-2025): -5,7%

La serie temporal muestra una evolución con oscilaciones marcadas entre años, en la que se alternan repuntes puntuales con descensos acusados. A pesar de esta variabilidad interanual, el patrón general refleja un **DESCENSO MODERADO**** a lo largo del periodo, de manera que los valores más recientes tienden a situarse por debajo de los iniciales.

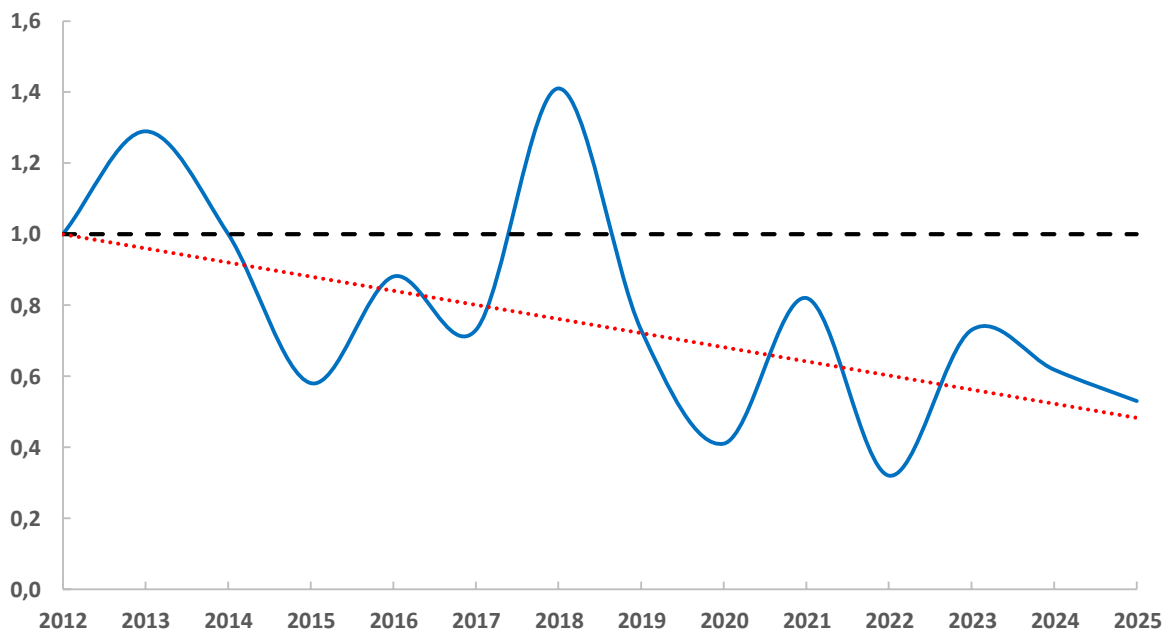


Ilustración 130. Índice de cambio del número total de individuos de colirrojo tizón contabilizados anualmente en el Parque Nacional de Aigüestortes i Estany de Sant Maurici

La abundancia obtenida durante la presente campaña resulta un 48% inferior a la obtenida en el año de comparación.

La tendencia registrada en el parque nacional es opuesta a la obtenida en otros programas de seguimiento. En Cataluña su población se estima como estable en la última década (ICO 2025) y, a una escala geográfica mayor, a nivel nacional, se considera que su población está en aumento (Escandell *et al.* 2023). Esta disparidad sugiere que las causas del retroceso del colirrojo tizón podrían tener su origen en factores inherentes al parque nacional.

Incremento moderado

Pinzón vulgar (*Fringilla coelebs*) Tendencia (2012-2025): +5,4%

El pinzón vulgar está experimentando un **INCREMENTO MODERADO**** de su población reproductora, prácticamente desde la puesta en marcha del programa de seguimiento en el parque nacional.

Inicialmente la tasa de incremento fue baja, pero en las últimas campañas se ha visto incrementada la velocidad de crecimiento poblacional, hasta alcanzar su máximo en 2024. A

pesar de los bajos recuentos de esta campaña, los valores siguen situándose por encima del año de comparación.

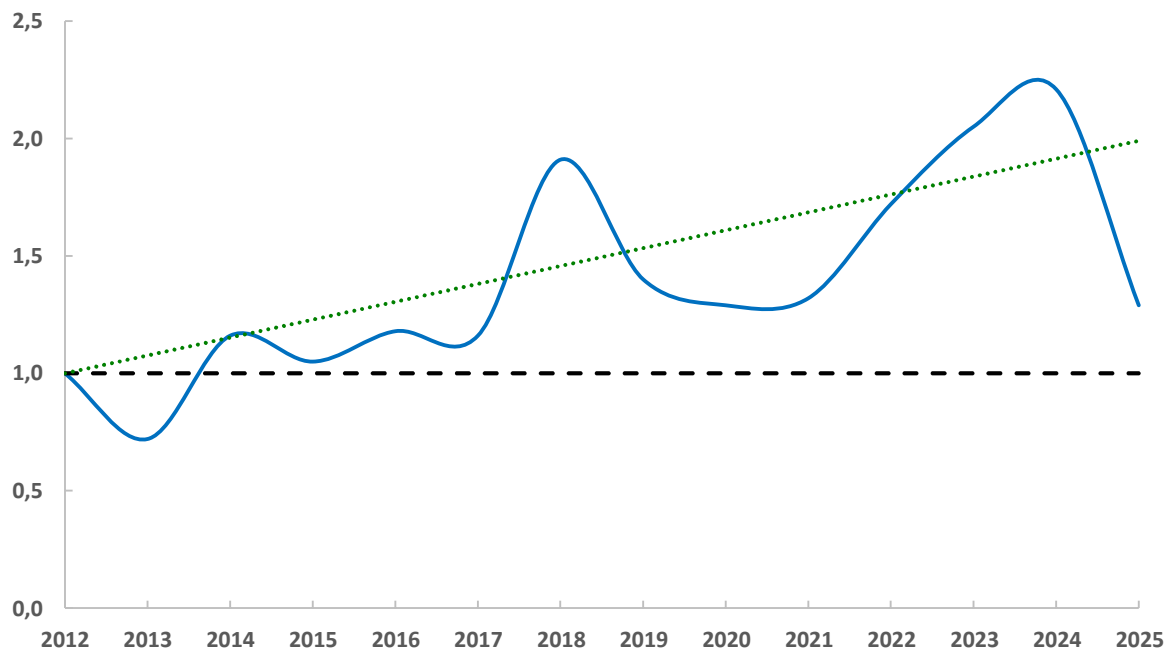


Ilustración 131. Índice de cambio del número total de individuos de pinzón vulgar contabilizados anualmente en el Parque Nacional de Aigüestortes i Estany de Sant Maurici

Este resultado se alinea con las tendencias positivas que se han observado en otros programas de seguimiento de aves, como el realizado por SEO/BirdLife a nivel nacional y el ICO en Cataluña. En ambos casos también se ha registrado un aumento poblacional del pinzón vulgar en primavera (Escandell *et al.* 2023, ICO 2025). Entre las posibles causas de este crecimiento podría encontrarse el aumento de la superficie forestal en los Pirineos (Améztegui *et al.* 2016) y la capacidad de adaptación de la especie a una amplia variedad de hábitats forestales.

Incremento moderado

Arrendajo euroasiático (*Garrulus glandarius*) Tendencia (2012-2025): +6,8%

La especie está experimentando un **INCREMENTO MODERADO*** de su población nidificante que ha sido especialmente evidente desde la temporada de 2015, cuando se ha observado un crecimiento prácticamente sostenido (salvo en el año 2021) de sus efectivos reproductores a lo largo de los años.

Esta campaña de 2025 se han alcanzado las mayores estimas de abundancia, siendo casi tres veces superiores a las obtenidas en 2012 (año de comparación).

Esta tendencia contrasta con la registrada en los programas de seguimiento llevados a cabo en el ámbito estatal y en Cataluña, donde se estima que la especie mantiene sus poblaciones estables (Escandell *et al.* 2023, ICO 2025).

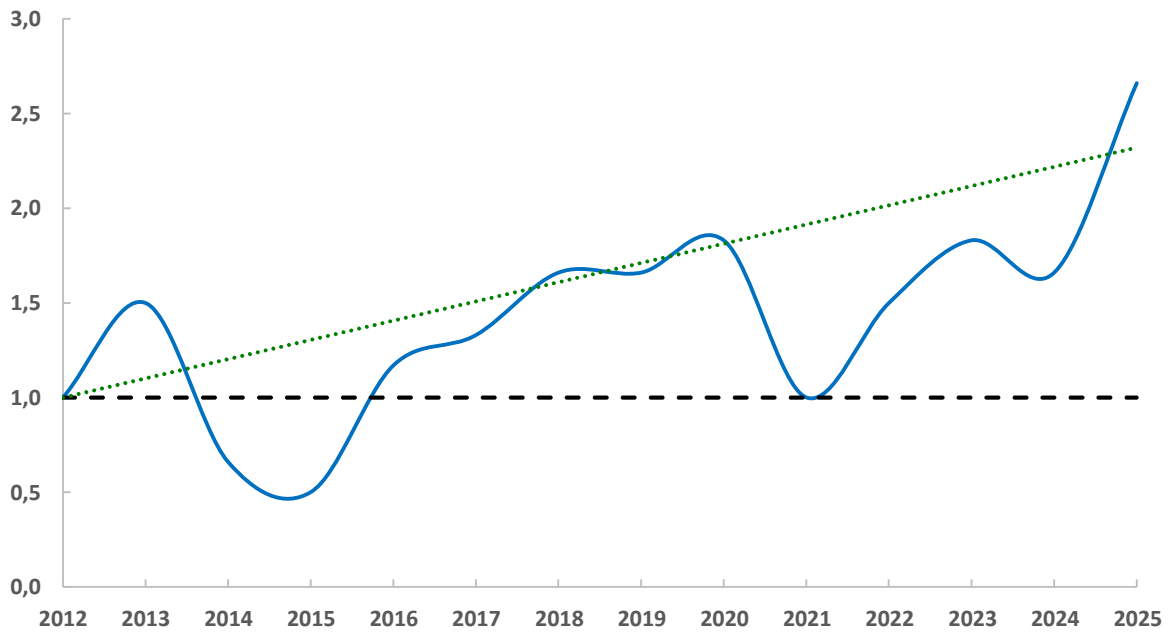


Ilustración 132. Índice de cambio del número total de individuos de arrendajo euroasiático contabilizados anualmente en el Parque Nacional de Aigüestortes i Estany de Sant Maurici

Incremento moderado

Curruca capirotada (*Sylvia atricapilla*) Tendencia (2012-2025): +8,8%

Durante las primeras campañas de la serie temporal se han descrito significativas oscilaciones interanuales, alcanzándose el mínimo histórico en 2015. Desde entonces la abundancia de la curruca capirotada ha mostrado un **INCREMENTO MODERADO**** estadísticamente significativo.

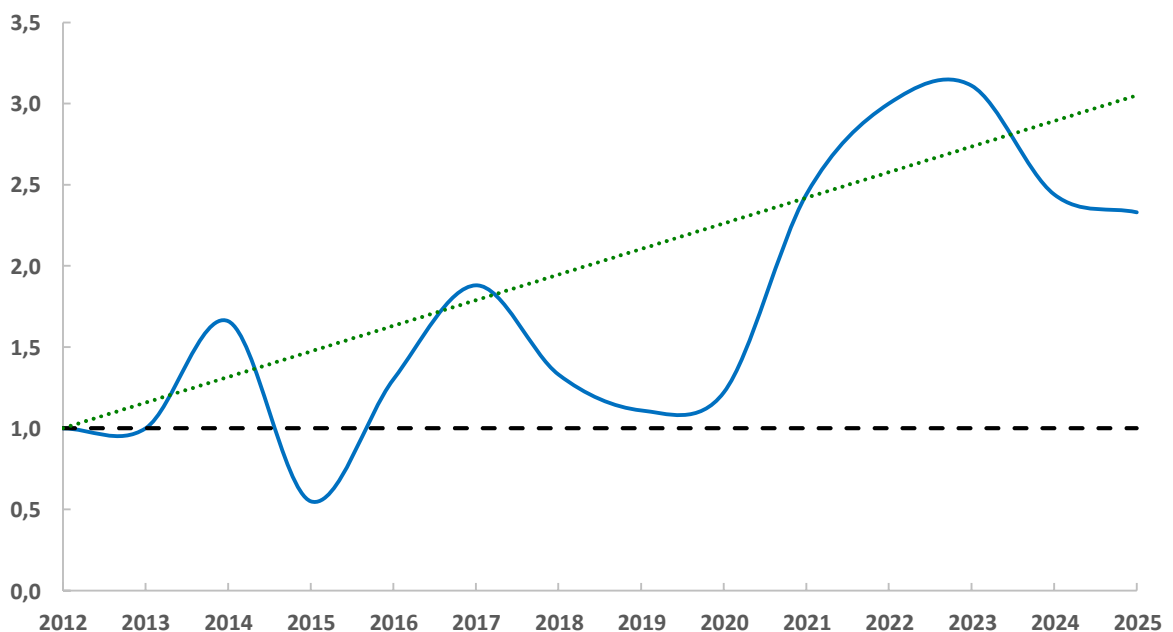


Ilustración 133. Índice de cambio del número total de individuos de curruca capirotada contabilizados anualmente en el Parque Nacional de Aigüestortes i Estany de Sant Maurici

Esta misma evolución de incremento poblacional se refleja igualmente en los programas de seguimiento llevados a cabo en Cataluña (ICO 2025) y a nivel nacional, (Escandell *et al.* 2023), sugiriendo que puede tratarse de una dinámica global de la especie.

Tendencia por hábitats

Los muestreos en el parque nacional Aigüestortes i Estany de Sant Maurici se ubican, por lo general, en ambientes dominados por masas forestales de coníferas (22 puntos de muestreo). En menor medida quedan representados el hábitat arbustivo (7 puntos), herbáceo y con escasa vegetación (ambos con 5 puntos de muestreo).

El número de especies que se detecta cada año en los diferentes ecosistemas permanece **ESTABLE** a lo largo de la serie temporal, aunque este resultado únicamente resulta estadísticamente significativo en los hábitats arbolado, arbustivo y herbáceo. En todos ellos los datos no se alejan significativamente de la estimación obtenida en el año de referencia, es decir, sin una tendencia clara de cambio con respecto a dicho valor.

No obstante, existen marcadas diferencias entre unos ambientes y otros y, mientras en el hábitat arbolado las oscilaciones entre los distintos años son poco acusadas, situándose, en la mayoría de las ocasiones en torno a las 30 especies, en los ecosistemas arbustivos y herbáceo las fluctuaciones interanuales son de mayor entidad (especialmente en este último). En este sentido, se contabilizan alrededor de 15-20 y 10-15 taxones de forma anual respectivamente.

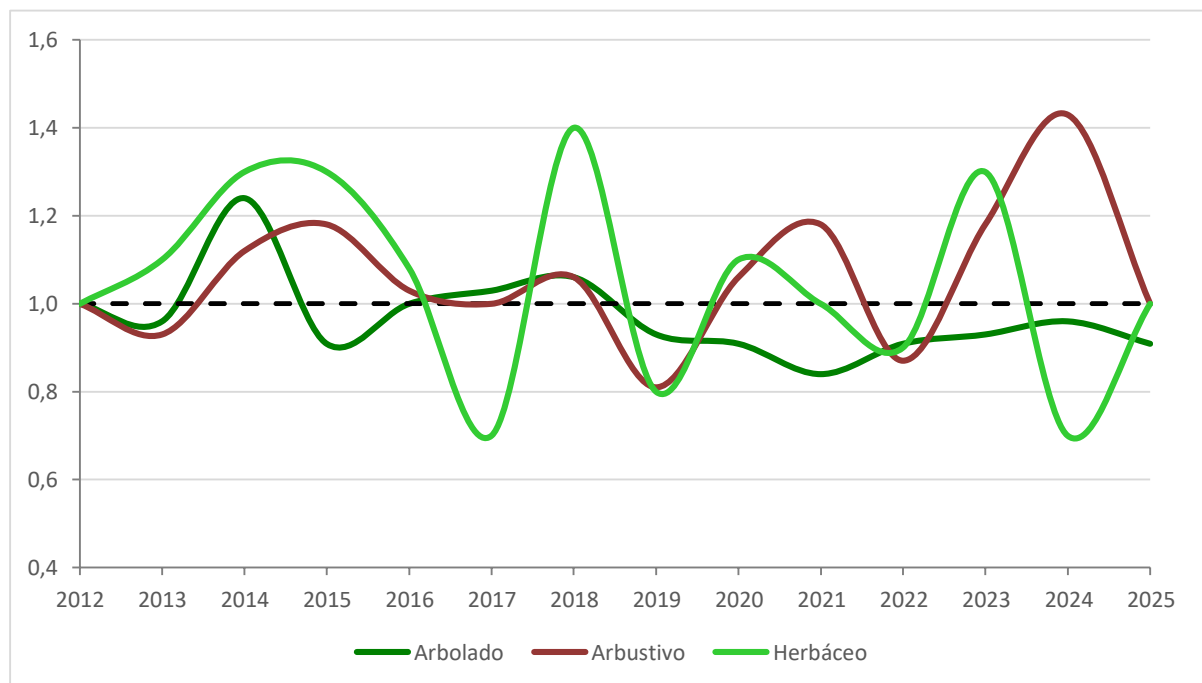


Ilustración 134. Índice de cambio del número especies contabilizadas anualmente en los distintos hábitats del Parque Nacional de Aigüestortes i Estany de Sant Maurici

En el hábitat con escasa vegetación no se observa un patrón claro en la serie temporal calificando como de tendencia INCIERTA.

En lo que respecta a la abundancia total de aves en los distintos hábitats, los resultados son muy similares. En esta ocasión, la evolución del número de individuos muestra una evolución INCIERTA en los ecosistemas herbáceos y con escasa vegetación, pero los valores en los ambientes

forestales y dominados por el estrato arbustivo se siguen manteniendo dentro de los valores iniciales, calificando como de tendencia **ESTABLE**.

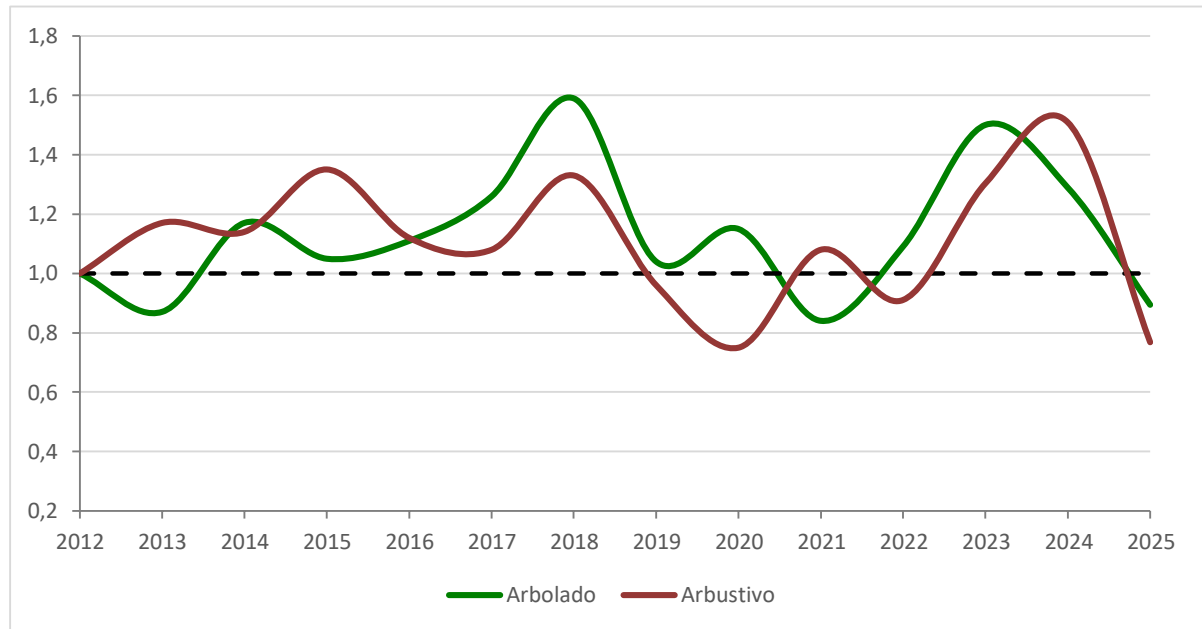


Ilustración 135. Índice de cambio del número total de individuos contabilizados anualmente en los distintos hábitats del Parque Nacional de Aigüestortes i Estany de Sant Maurici

Se ha analizado conjuntamente la abundancia total de diversas especies propias del ambiente forestal (verderón serrano, pico picapinos, herrerillo capuchino y carbonero garrapinos) y de aquellas otras propias de enclaves arbustivos (petirrojo europeo, acentor común y chochín paleártico). En el primero de los casos se ha obtenido un **DESCENSO MODERADO*** de su abundancia conjunta, con una pérdida promedio del 4,6% anual.

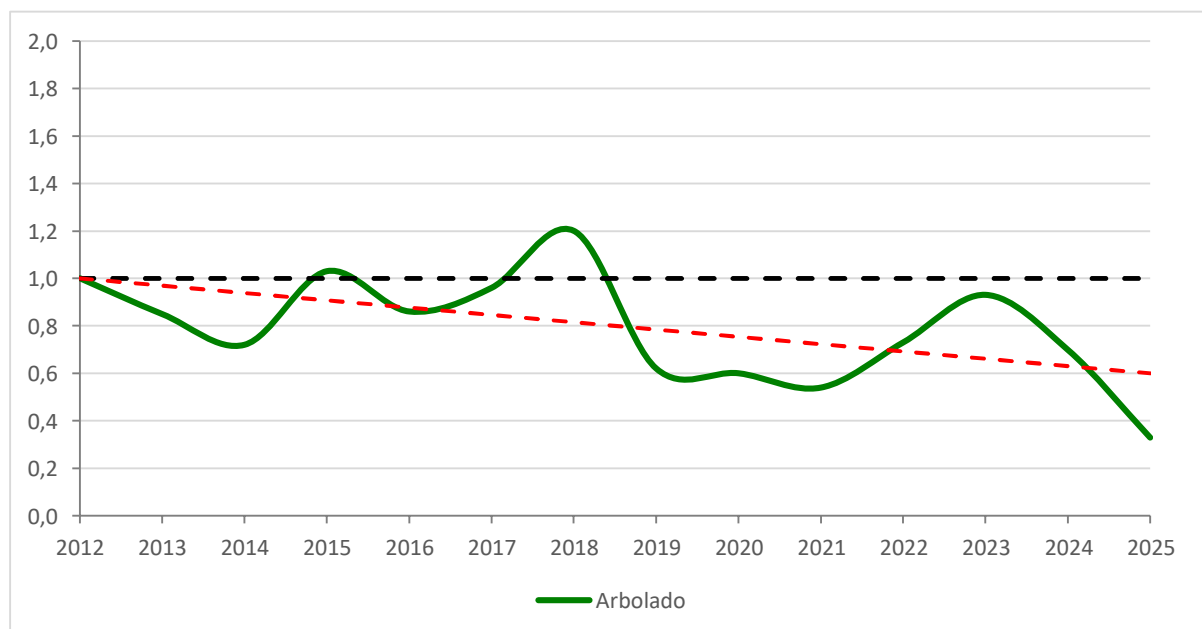


Ilustración 136. Índice de cambio del número total de individuos de especies representativas de los distintos hábitats del Parque Nacional de Aigüestortes i Estany de Sant Maurici.

En el caso de las aves asociadas al matorral, las variaciones observadas entre años son especialmente pronunciadas, de manera que no es posible identificar una tendencia clara ni hacia

el incremento ni hacia la disminución de sus poblaciones. Esta situación hace que su comportamiento se clasifique como de tendencia INCIERTA.

Para el resto de los hábitats, no se han registrado diferentes especies representativas para permitir la realización de un análisis conjunto.

Parque Nacional marítimo-terrestre del Archipiélago de Cabrera

Durante la presente campaña se han registrado un total de 34 especies distintas de aves, con una suma global de 510 individuos censados. Las especies más abundantes han sido la paloma torcaz y la gaviota patiamarilla. Cabe destacar, igualmente, la detección de la calandria común y el torcecuello euroasiático, ya que se trata de las primeras citas de estos taxones en el parque desde el inicio del programa de seguimiento ornitológico.

Tabla 8. Especies y número de individuos contabilizados en el Parque Nacional del Archipiélago de Cabrera en primavera de 2025.

| NOMBRE CIENTÍFICO | NOMBRE COMÚN | INDIVIDUOS |
|----------------------------------|--------------------------|------------|
| <i>Apus apus</i> | Vencejo común | 53 |
| <i>Apus pallidus</i> | Vencejo pálido | 43 |
| <i>Calandrella brachydactyla</i> | Terrera común | 3 |
| <i>Carduelis carduelis</i> | Jilguero europeo | 2 |
| <i>Chloris chloris</i> | Verderón común | 23 |
| <i>Columba palumbus</i> | Paloma torcaz | 70 |
| <i>Corvus corax</i> | Cuervo grande | 1 |
| <i>Erithacus rubecula</i> | Petirrojo europeo | 1 |
| <i>Falco eleonora</i> | Halcón de Eleonora | 4 |
| <i>Falco peregrinus</i> | Halcón peregrino | 6 |
| <i>Falco tinnunculus</i> | Cernícalo vulgar | 1 |
| <i>Ficedula hypoleuca</i> | Papamoscas cerrojillo | 4 |
| <i>Fringilla coelebs</i> | Pinzón vulgar | 2 |
| <i>Hieraaetus pennatus</i> | Águila calzada | 3 |
| <i>Hirundo rustica</i> | Golondrina común | 1 |
| <i>Jynx torquilla</i> | Torcecuello euroasiático | 1 |
| <i>Lanius senator</i> | Alcaudón común | 3 |
| <i>Larus audouinii</i> | Gaviota de Audouin | 10 |
| <i>Larus michahellis</i> | Gaviota patiamarilla | 70 |
| <i>Linaria cannabina</i> | Pardillo común | 28 |
| <i>Monticola solitarius</i> | Roquero solitario | 12 |
| <i>Motacilla flava</i> | Lavandera boyera | 2 |
| <i>Muscicapa striata</i> | Papamoscas gris | 6 |
| <i>Oriolus oriolus</i> | Oropéndola europea | 1 |
| <i>Pandion haliaetus</i> | Águila pescadora | 4 |
| <i>Passer domesticus</i> | Gorrión común | 1 |
| <i>Phoenicurus phoenicurus</i> | Colirrojo real | 6 |
| <i>Phylloscopus bonelli</i> | Mosquitero papialbo | 10 |
| <i>Phylloscopus trochilus</i> | Mosquitero musical | 17 |
| <i>Streptopelia turtur</i> | Tórtola europea | 4 |
| <i>Sylvia balearica</i> | Curruca balear | 52 |
| <i>Sylvia melanocephala</i> | Curruca cabecinegra | 50 |
| <i>Sylvia subalpina</i> | Curruca subalpina | 7 |

| NOMBRE CIENTÍFICO | NOMBRE COMÚN | INDIVIDUOS |
|--------------------|--------------|------------|
| <i>Upupa epops</i> | Abubilla | 9 |

Tendencias generales

En los primeros años del programa de seguimiento, el número de especies detectadas anualmente se mantuvo relativamente constante, con una media aproximada de 27 taxones por campaña. No obstante, a partir del año 2015, se ha observado un incremento progresivo en la riqueza específica, registrándose actualmente entre 7 y 10 especies más por año en comparación con la temporada de referencia. Esta tendencia responde estadísticamente a un **INCREMENTO MODERADO*** con una tasa media de crecimiento anual estimada en torno al 2,8%. Sin embargo, en los últimos años este ritmo de aumento parece haberse atenuado ligeramente.

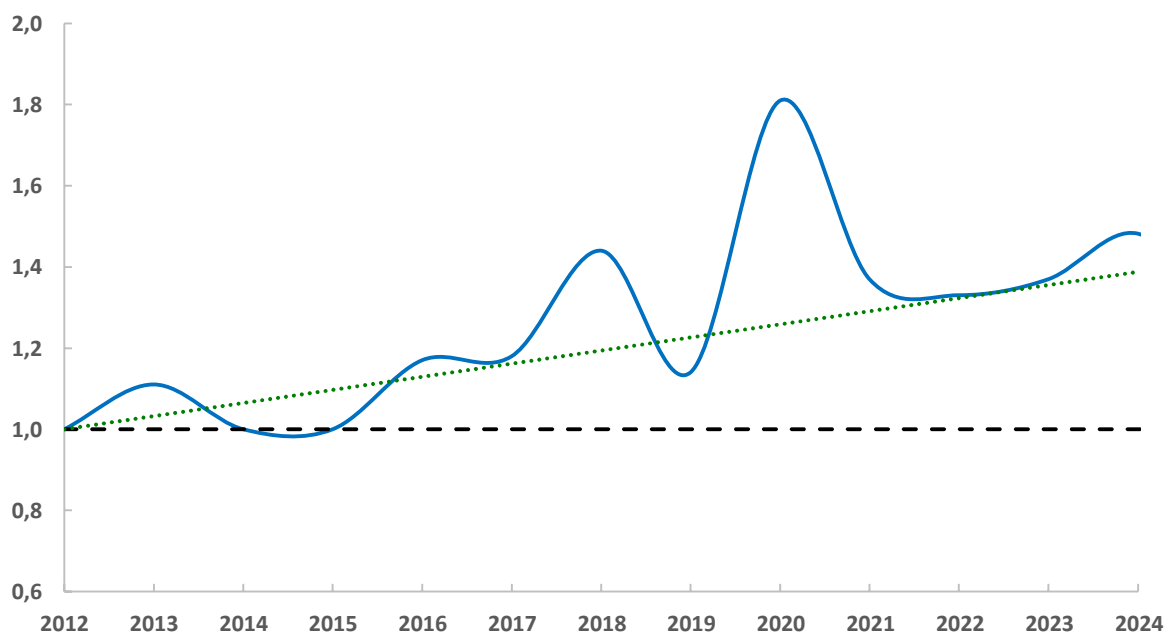


Ilustración 137. Índice de cambio del número total de especies detectadas anualmente en el Parque Nacional del Archipiélago de Cabrera.

En este contexto, se ha constatado un aumento en la frecuencia de detección de determinadas especies, entre las que destacan el cernícalo vulgar, el papamoscas cerrojillo, el águila calzada, la golondrina común y la gaviota de Audouin, las cuales presentan actualmente una presencia más habitual en comparación con los primeros años del programa de muestreos.

Por el contrario, la abundancia total de aves registrada a lo largo del periodo de seguimiento no presenta una evolución clara ni consistente, ya que no se observa un patrón definido de incremento, estabilidad o disminución. Las variaciones interanuales son notables, reflejándose en una tendencia INCIERTA. Esta falta de direccionalidad en la serie temporal impide, por el momento, establecer conclusiones robustas sobre su evolución a medio y largo plazo.

Tendencias por especie

Se ha llevado a cabo un análisis temporal de la abundancia de 18 especies de aves presentes en el parque nacional durante la primavera. De ellas, 13 taxones (72%) presentan marcadas fluctuaciones interanuales, lo que impide identificar patrones consistentes en su dinámica poblacional a medio o largo plazo. En consecuencia, estas especies se clasifican como de tendencia incierta.

Las cinco especies restantes muestran variaciones poblacionales estadísticamente significativas. En concreto, se ha detectado un incremento en las poblaciones reproductoras de dos taxones dentro del parque nacional, mientras que los otros tres evidencian un descenso en sus efectivos nidificantes.

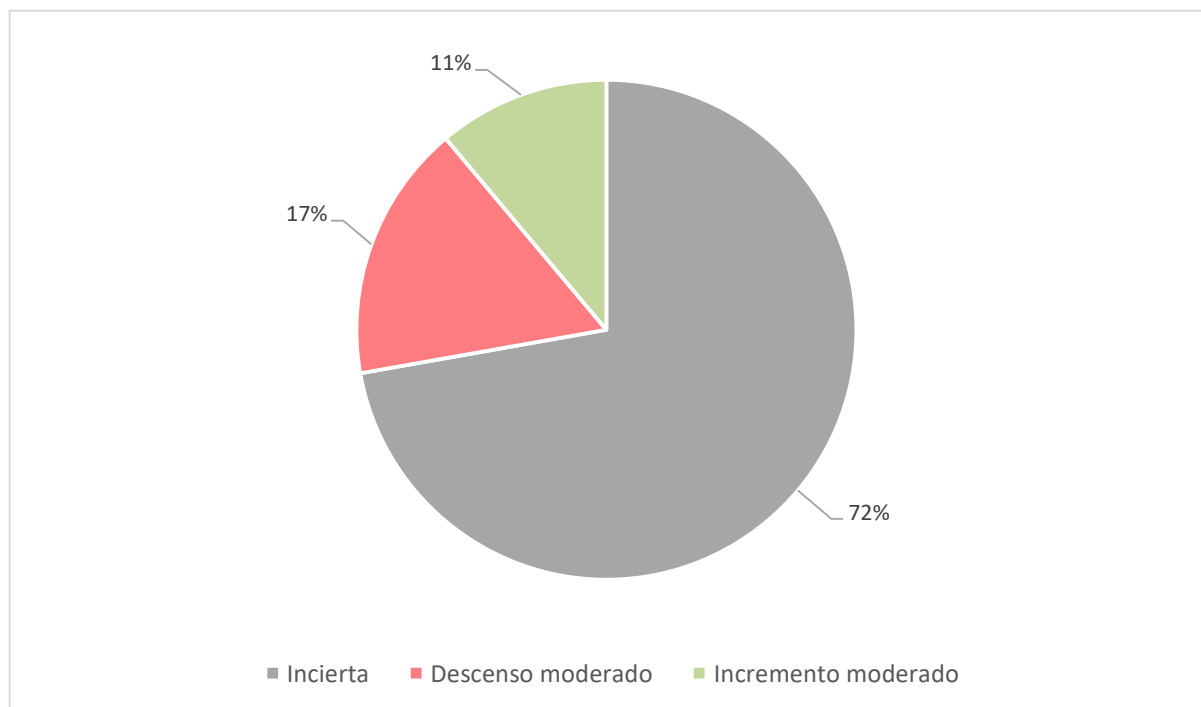


Ilustración 138. Proporción de tendencias poblacionales obtenidas en el Parque Nacional del Archipiélago de Cabrera

A continuación, se muestra las especies que mostraron variaciones poblacionales estadísticamente significativas según su tendencia

Descenso moderado

Papamoscas gris (*Muscicapa striata*) Tendencia (2012-2025): -10,6%

Durante los primeros años del periodo el papamoscas gris presentó una fase de incremento poblacional, alcanzando su valor máximo de abundancia relativa en 2014 y 2015. A partir de 2016, se observa un cambio abrupto en la dinámica poblacional, con una caída pronunciada en los valores de abundancia, registrándose en las campañas de 2024 y 2025 los valores mínimos hasta la fecha, lo que indica una posible consolidación de la especie en umbrales bajos de abundancia. Actualmente, los recuentos de la especie apenas alcanzan el 30% de la densidad obtenida en el año de referencia.

Por lo tanto, la trayectoria temporal del papamoscas gris evidencia un patrón de **DESCENSO MODERADO****, especialmente acentuado a partir de 2016.

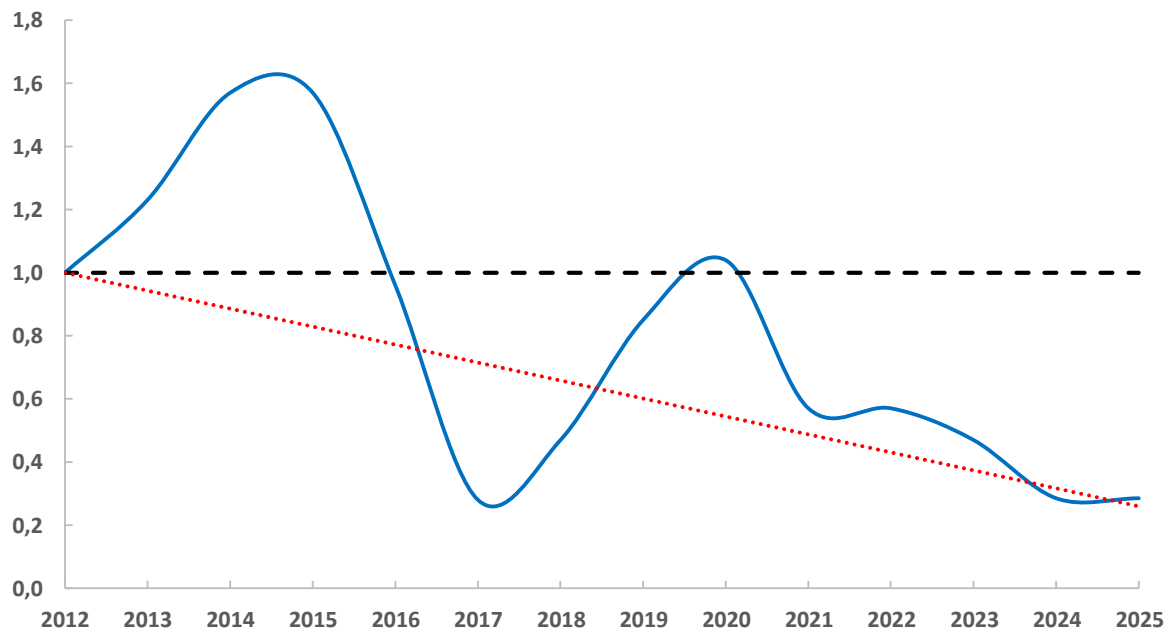


Ilustración 139. Índice de cambio del número total de individuos de papamoscas gris contabilizados anualmente en el Parque Nacional del Archipiélago de Cabrera

Esta tendencia contrasta con los patrones observados en otras regiones, como Cataluña y el conjunto de España, donde la especie muestra una dinámica estable según los datos disponibles (Escandell *et al.* 2023, ICO 2025).

Este comportamiento diferencial sugiere que el declive registrado es un fenómeno localizado, posiblemente motivado por factores ambientales específicos del entorno. No obstante, se requieren muestreos específicos para confirmar la tendencia y adoptar medidas de gestión si fuera necesario.

Descenso moderado

Curruca balear (*Sylvia balearica*) Tendencia (2012-2025): -3,6%

La evolución temporal de la abundancia relativa de la especie muestra una tendencia general de **DESCENSO MODERADO****, con fluctuaciones interanuales moderadas.

Tras alcanzar un valor máximo en 2013, los niveles de abundancia se mantuvieron relativamente estables hasta 2020. A partir de este año se observa una progresiva disminución, registrándose valores significativamente inferiores al promedio inicial y sin una posterior recuperación.

En las últimas campañas de la serie temporal (2022–2025) la abundancia parece haberse estabilizado, pero la estima de abundancia más reciente se sitúa por debajo del valor de referencia de 2012, suponiendo una reducción del 25% respecto a las estimas iniciales.

Por lo tanto, la evolución general indica una tendencia suave de disminución.

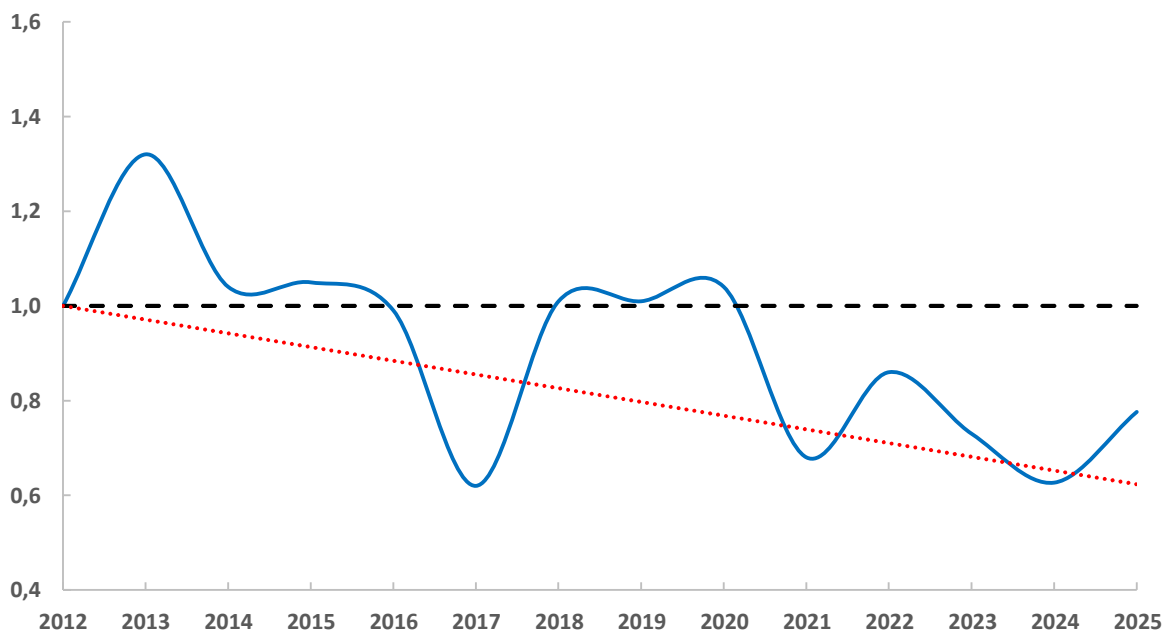


Ilustración 140. Índice de cambio del número total de individuos de curruca balear contabilizados anualmente en el Parque Nacional del Archipiélago de Cabrera

No se dispone de datos actualizados sobre la tendencia poblacional de la curruca balear a nivel más general que permitan establecer comparaciones directas con los resultados del presente estudio. Algunos trabajos previos, como el de Suñer (2008), no detectaron indicios claros de declive en la especie; sin embargo, dichas conclusiones se basan en información anterior al periodo aquí analizado, por lo que podrían no reflejar la situación actual bien a nivel balear o del parque nacional en particular.

Dada su condición de endemismo y su limitada área de distribución, se considera necesario llevar a cabo estudios concretos de seguimiento y evaluación poblacional para actualizar el conocimiento sobre su estado de conservación.

Descenso moderado

Curruca cabecinegra (*Sylvia melanocephala*) Tendencia (2012-2025): -3,9%

La evolución de la abundancia relativa de la curruca cabecinegra muestra una tendencia significativa de **DESCENSO MODERADO****. La serie se inicia con una fase de crecimiento, alcanzando su valor máximo en 2014, tras lo cual comienza un proceso de disminución sostenida, interrumpido únicamente por oscilaciones moderadas en algunos años.

El descenso más acusado se produce en 2017, cuando se contabilizan 43 individuos frente a los 82 ejemplares del año de referencia. A partir de aquí se observa una recuperación parcial, pero sin alcanzar nuevamente los niveles previos, lo que confirma una pérdida progresiva de abundancia en la población. Por lo tanto, El patrón observado sugiere un deterioro paulatino del estado poblacional, compatible con una dinámica regresiva de la especie en el área de estudio.

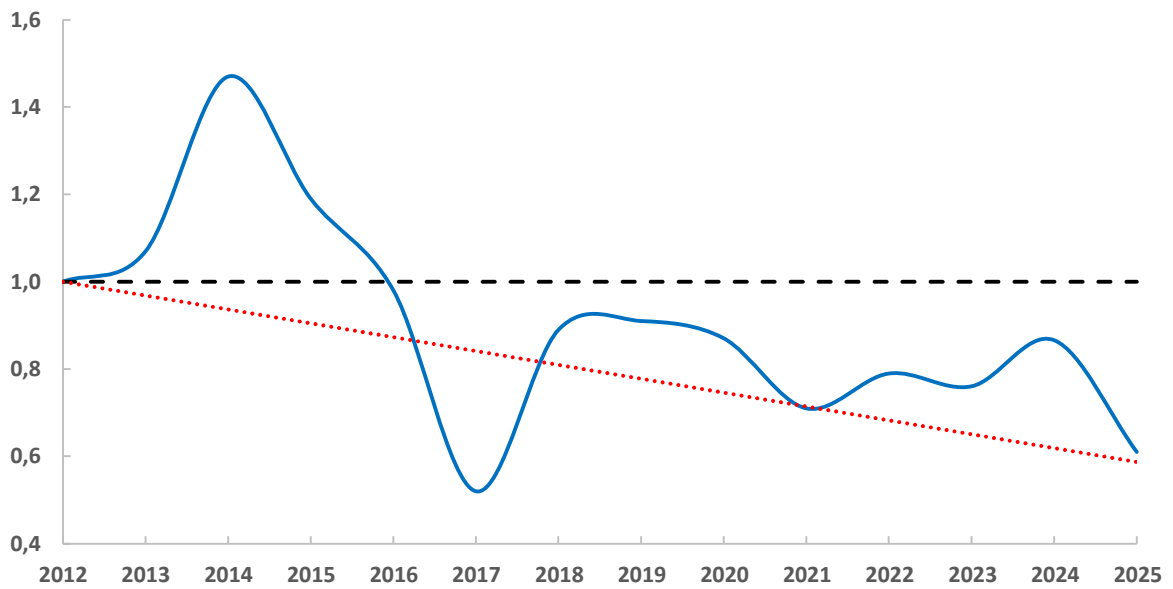


Ilustración 141. Índice de cambio del número total de individuos de curruca cabecinegra contabilizados anualmente en el Parque Nacional del Archipiélago de Cabrera

Sin embargo, la población nidificante de la especie se considera estable tanto a nivel nacional como en Cataluña (Escandell *et al.* 2023, ICO 2025). Esta discrepancia sugiere que los factores responsables del retroceso observado en el área de estudio podrían estar relacionados con condicionantes específicos de ámbito insular.

Incremento moderado

Paloma torcaz (*Columba palumbus*) Tendencia (2012-2025): +3,4%

La paloma torcaz está experimentando un **INCREMENTO MODERADO*** de su población reproductora.

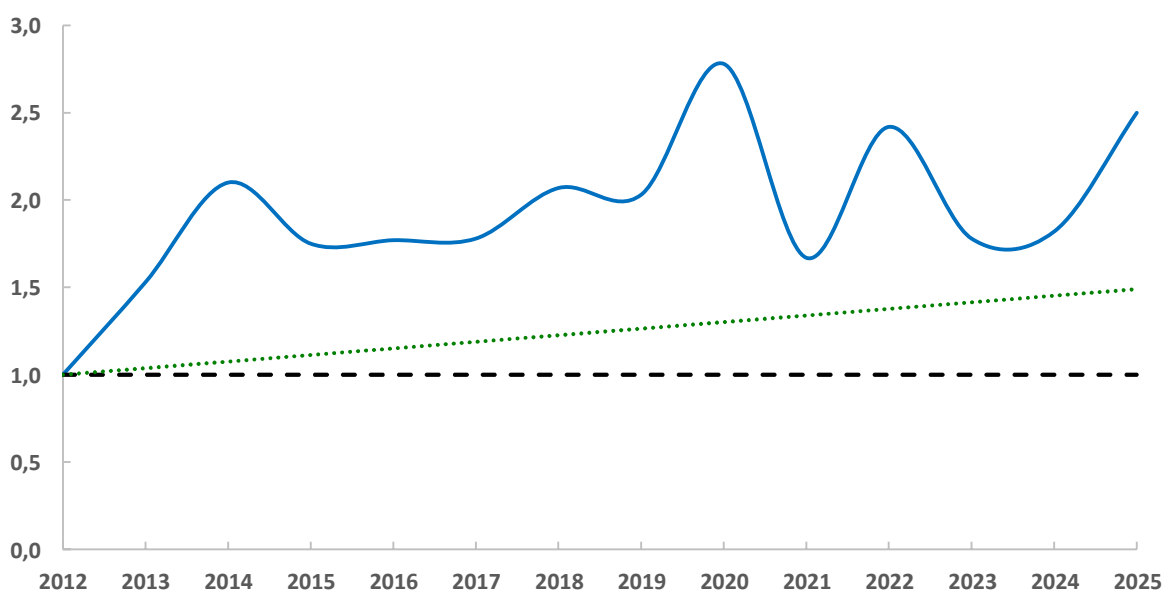


Ilustración 142. Índice de cambio del número total de individuos de paloma torcaz contabilizados anualmente en el Parque Nacional del Archipiélago de Cabrera

En este caso, parece ser el resultado colateral de la dinámica poblacional que está mostrando la especie en los últimos años a nivel global, confirmado por los distintos programas de seguimiento que muestran que sus efectivos reproductores se encuentran en claro aumento (Escandell *et al.* 2023, ICO 2025).

Incremento moderado

Pardillo común (*Carduelis cannabina*) Tendencia (2012-2025): +9,8%

En 2013, la abundancia de la especie experimentó una caída abrupta respecto al año anterior. Sin embargo, en los años posteriores se ha registrado una recuperación progresiva y sostenida, alcanzando su valor máximo en 2020. Durante las siguientes temporadas (2021 a 2023), la especie mostró cierta estabilidad, pero con valores que se mantuvieron en niveles relativamente altos. En las dos últimas campañas, aunque se observa una ligera disminución, las estimaciones de densidad continúan por encima del valor de referencia inicial, lo que se ajusta a una tendencia general de **INCREMENTO MODERADO***.

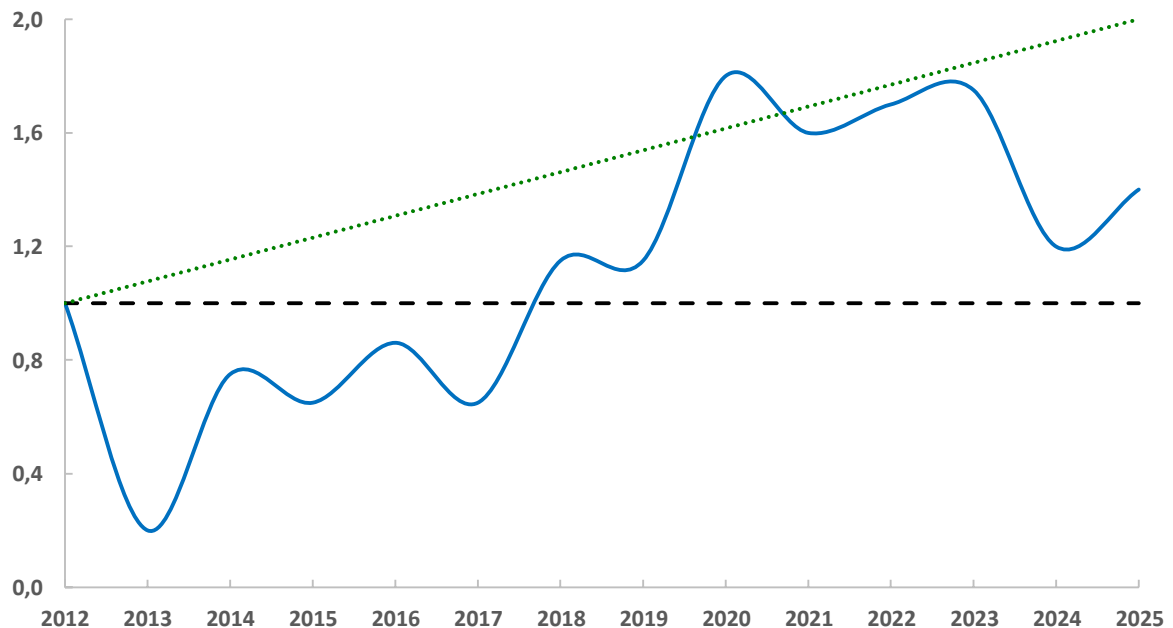


Ilustración 143. Índice de cambio del número total de individuos de pardillo común contabilizados anualmente en el Parque Nacional del Archipiélago de Cabrera

En los programas de seguimiento realizados en Cataluña y a nivel estatal los resultados muestran una estabilidad de su población reproductora (Escandell *et al.* 2023, ICO 2025), de manera que el pardillo común podría estar encontrando factores positivos dentro del ámbito del parque nacional que están favoreciendo su crecimiento poblacional.

Tendencia por hábitats

El ambiente que prevalece en los puntos de muestreo es el arbustivo o con dominio de matorral (11 puntos). El estrato arbolado y herbáceo están presentes en menor proporción (6 y 3 puntos respectivamente).

Los datos obtenidos reflejan que, en los ambientes dominados por el matorral y en aquellos de características herbáceas, la riqueza de especies está experimentando un **INCREMENTO MODERADO**. En el primero de los casos, la tasa promedio de aumento se ha estimado en un 2,8% anual, mientras que, en el hábitat herbáceo, esta tasa se aproxima al 4,4% anual.

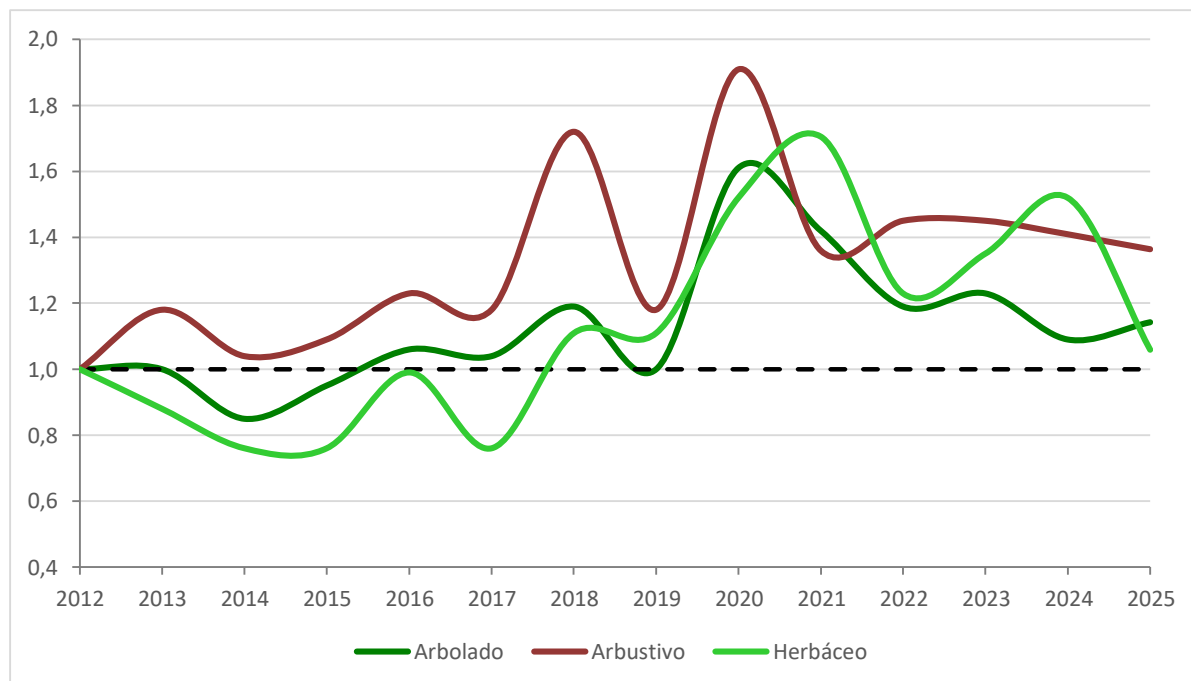


Ilustración 144. Índice de cambio del número especies contabilizadas anualmente en los distintos hábitats del Parque Nacional del Archipiélago de Cabrera

El incremento de la diversidad parece ser más contundente en el enclave arbustivo si nos fijamos exclusivamente en los resultados de la presente campaña, pues se han contabilizado 30 especies frente a las 22 de 2012 en el matorral, mientras que en el ambiente herbáceo se han registrado 18 taxones en 2025 frente a los 17 de 2012.

Por el contrario, en el ámbito forestal, la riqueza de especies se mantiene **ESTABLE**, quedando fuera de esta tendencia general que se observa en el parque nacional y, señalando, que son los otros enclaves los responsables principales de la tendencia al alza que se aprecia en esta variable cuando se analizan los datos conjuntamente.

La abundancia total de individuos que se contabilizan en los distintos hábitats varía significativamente entre años, de manera que ninguno de los ecosistemas muestra una evolución clara en el tiempo, calificando todos ellos como de tendencia **INCIERTA**.

No se tiene un número suficiente de especies con datos de densidad continuada para poder representar a cada uno de los distintos hábitats, de manera que no ha sido posible realizar análisis de la evolución de su abundancia conjunta.

Parque Nacional de La Caldera de Taburiente

En la primavera de 2025, los muestreos realizados en el parque nacional permitieron identificar 16 especies de aves diferentes, con un cómputo total de 275 ejemplares. Entre ellas, el mosquitero canario destacó como la especie más numerosa, seguido a cierta distancia por la chova piquirroja.

Tabla 9. Especies y número de individuos contabilizados en el Parque Nacional de La Caldera de Taburiente en primavera de 2025.

| NOMBRE CIENTÍFICO | NOMBRE COMÚN | INDIVIDUOS |
|---------------------------------|--------------------|------------|
| <i>Accipiter nisus</i> | Gavilán común | 1 |
| <i>Anthus berthelotii</i> | Bisbita caminero | 9 |
| <i>Apus unicolor</i> | Vencejo unicolor | 20 |
| <i>Columba junoniae</i> | Paloma rabiche | 14 |
| <i>Columba livia</i> | Paloma bravía | 22 |
| <i>Corvus corax</i> | Cuervo grande | 9 |
| <i>Cyanistes teneriffae</i> | Herrerillo canario | 14 |
| <i>Erithacus rubecula</i> | Petirrojo europeo | 1 |
| <i>Falco pelegrinoides</i> | Halcón tagarote | 2 |
| <i>Falco tinnunculus</i> | Cernícalo vulgar | 7 |
| <i>Fringilla coelebs</i> | Pinzón vulgar | 35 |
| <i>Phylloscopus canariensis</i> | Mosquitero canario | 51 |
| <i>Pyrhacorax pyrrhocorax</i> | Chova piquirroja | 44 |
| <i>Regulus regulus</i> | Reyezuelo sencillo | 15 |
| <i>Serinus canaria</i> | Serín canario | 30 |
| <i>Sylvia atricapilla</i> | Curruca capirotada | 1 |

Tendencias generales

La serie temporal del número de especies que se detectan cada año refleja un patrón de relativa estabilidad durante gran parte del periodo analizado, con fluctuaciones de baja magnitud en torno al valor inicial. No obstante, tras una ligera reducción en 2013 y oscilaciones puntuales en los años siguientes, a partir de 2023 se observa un incremento sostenido que culmina en los valores máximos registrados en 2024 y 2025.

El análisis estadístico confirma que, más allá de la aparente constancia, la trayectoria global describe una tendencia de **INCREMENTO MODERADO****, estadísticamente significativo, con una tasa promedio de crecimiento del orden del 1,2% anual.

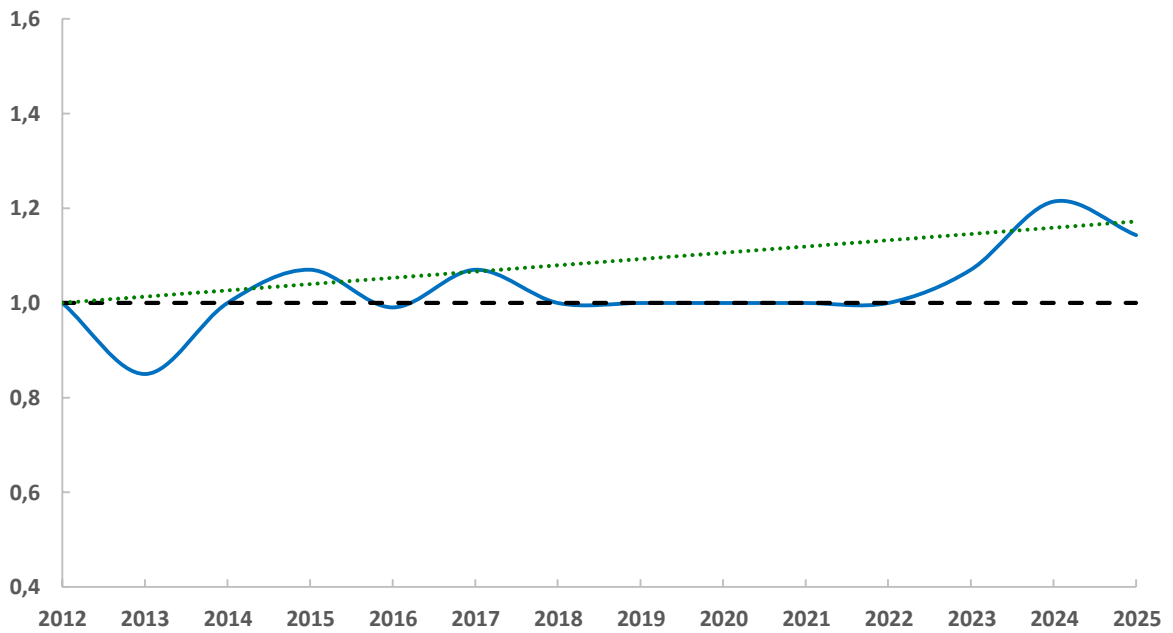


Ilustración 145. Índice de cambio del número total de especies detectadas anualmente en el Parque Nacional de la Caldera de Taburiente.

En comparación con la riqueza de especies, la abundancia total de aves manifiesta fluctuaciones interanuales más acusadas. La serie temporal presenta un comportamiento más variable donde se aprecian descensos marcados en determinados años, como 2013 y especialmente 2015, seguidos de recuperaciones rápidas que llevan a máximos en 2017, 2019 y, de manera más destacada, en 2023. Pese a estas oscilaciones, el tramo final de la serie mantiene valores elevados, con un cierre en 2025 por encima del valor inicial, mostrando una tendencia de **INCREMENTO MODERADO***, con una tasa promedio de crecimiento del orden del 2.6% anual.

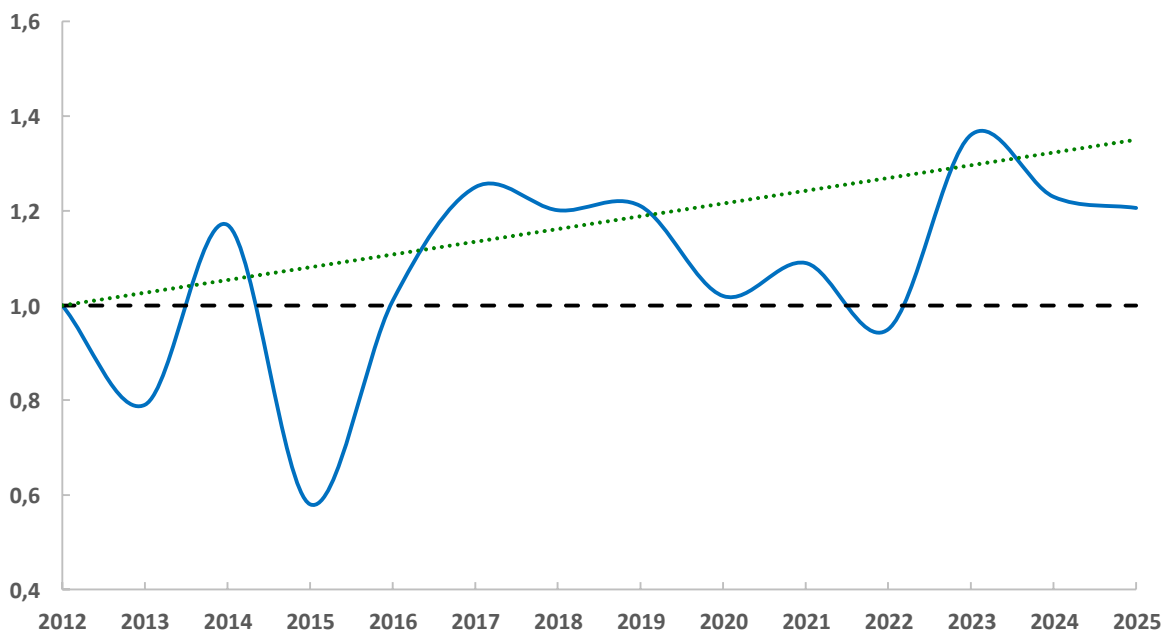


Ilustración 146. Índice de cambio del número total de individuos detectados anualmente en el Parque Nacional de la Caldera de Taburiente.

Tendencia por especies

Se ha examinado la evolución temporal de 11 aves reproductoras en el Parque Nacional de la Caldera de Taburiente para las cuales existía datos suficientes de abundancia. La mayoría de ellas (73%) mostraron una tendencia incierta. Por el contrario, una de ellas muestra un aumento significativo de su población reproductora mientras que, otros dos, se mantuvieron estables.

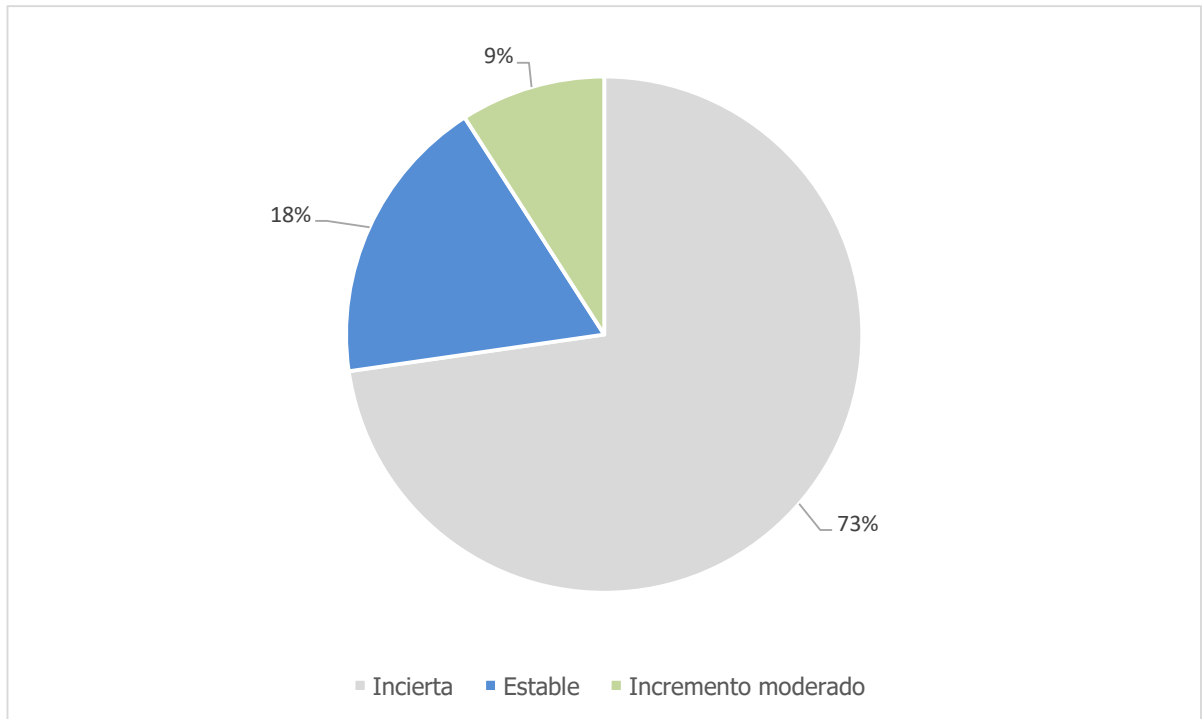


Ilustración 147. Proporción de tendencias poblacionales obtenidas en el Parque Nacional de la Caldera de Taburiente

A continuación, se muestra las especies que mostraron una dinámica poblacional estadísticamente significativas

Estable

Herrerillo canario (*Cyanistes teneriffae*)

La serie temporal presenta fluctuaciones interanuales notables, con descensos acusados en 2015 y 2021 y repuntes puntuales en 2014 y, especialmente, en 2023. Sin embargo, estas oscilaciones no configuran un cambio direccional claro a lo largo del periodo.

Los valores finales se mantienen próximos a los iniciales, lo que indica que, pese a las variaciones encontradas, el patrón general describe una tendencia **ESTABLE**.

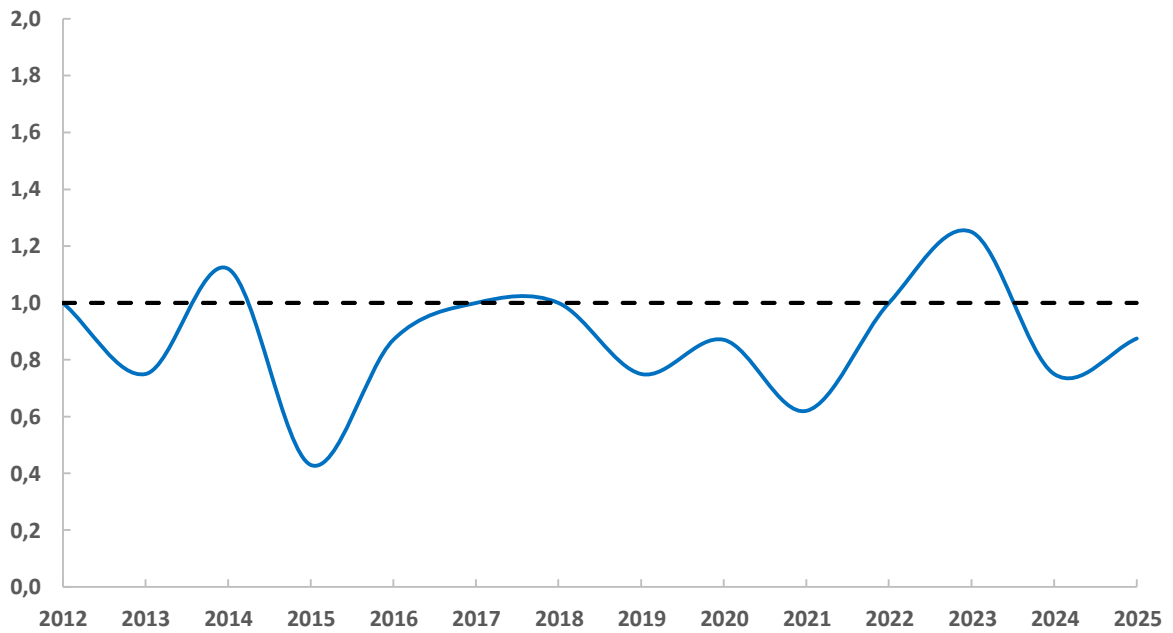


Ilustración 148. Índice de cambio del número total de individuos de herrerillo canario contabilizados anualmente en el Parque Nacional de la Caldera de Taburiente

Estable

Pinzón vulgar (*Fringilla coelebs*)

Los datos muestran una dinámica caracterizada por fluctuaciones interanuales, con descensos acusados en 2015 y 2017 y una recuperación parcial en los años posteriores. A pesar de estos altibajos, la serie no presenta un patrón direccional definido y califica como **ESTABLE**.

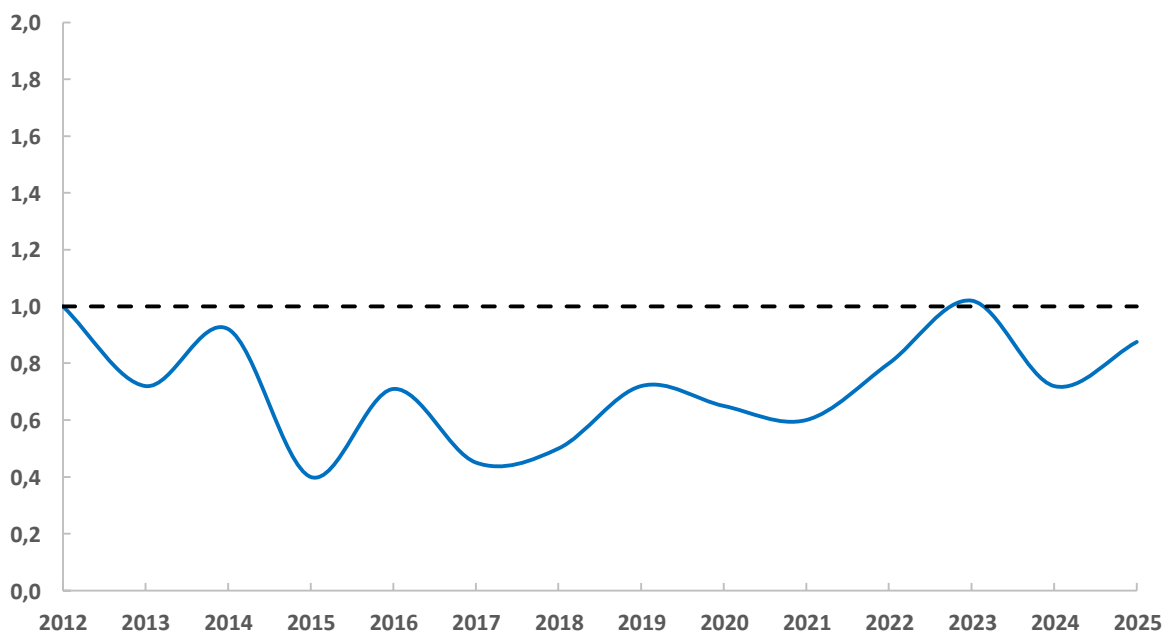


Ilustración 149. Índice de cambio del número total de individuos de herrerillo canario contabilizados anualmente en el Parque Nacional de la Caldera de Taburiente

Incremento moderado

Bisbita caminero (*Anthus berthelotii*) Tendencia (2012-2025): +5,5%

El bisbita caminero experimento una fuerte caída poblacional en 2014, llegando a alcanzar el mínimo de la serie temporal. A partir de esta temporada, se ha registrado un progresivo **INCREMENTO MODERADO***, hasta el punto de que, en la presente campaña, se han obtenido las estimas máximas de abundancia, con 9 individuos contabilizados, lo que representa un 30% más de lo registrado en el año de comparación.

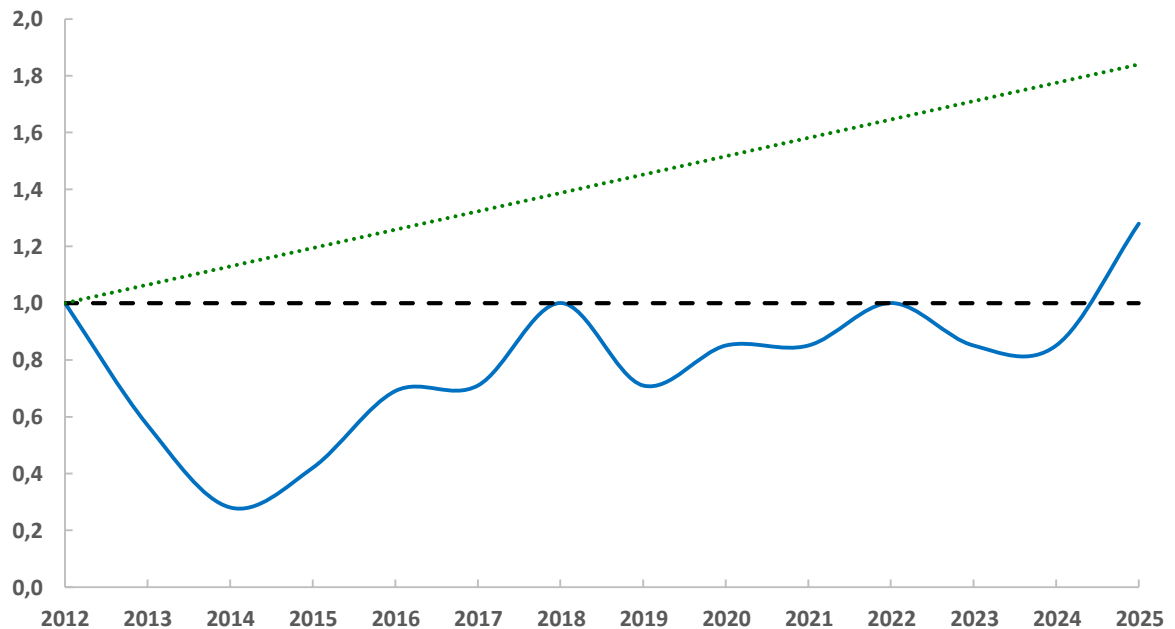


Ilustración 150. Índice de cambio del número total de individuos de bisbita caminero contabilizados anualmente en el Parque Nacional de la Caldera de Taburiente

Se desconoce su evolución en el archipiélago canario, dado que no existen datos cuantitativos sobre la variación temporal de las poblaciones de bisbita caminero en la zona. En consecuencia, tampoco es posible establecer una comparación con los resultados obtenidos en el presente estudio.

Tendencia por hábitats

La totalidad de los puntos de muestreo dentro del parque nacional se encuentran en áreas dominadas por bosque de coníferas, lo que impide analizar posibles variaciones en relación con el tipo de hábitat.

Cuando se analiza la abundancia conjunta de tres especies forestales (mosquitero canario, reyezuelo sencillo y serín canario) no se obtiene una evolución concreta ni fiable, calificando como INCIERTA, por lo que no se puede extraer posibles cambios en este hábitat.

Parque Nacional de Garajonay

Los muestreos de aves reproductoras en el parque nacional de Garajonay han registrado un total de 296 ejemplares, pertenecientes a 12 especies distintas. El mirlo común y el mosquitero canario fueron las aves más comunes en el espacio protegido.

Tabla 10. Especies y número de individuos contabilizados en el Parque Nacional de Garajonay en primavera de 2025.

| NOMBRE CIENTÍFICO | NOMBRE COMÚN | INDIVIDUOS |
|---------------------------------|---------------------|------------|
| <i>Apus unicolor</i> | Vencejo unicolor | 39 |
| <i>Buteo buteo</i> | Busardo ratonero | 5 |
| <i>Columba bollii</i> | Paloma turquí | 5 |
| <i>Cyanistes teneriffae</i> | Herrerillo canario | 34 |
| <i>Erithacus rubecula</i> | Petirrojo europeo | 6 |
| <i>Fringilla coelebs</i> | Pinzón vulgar | 35 |
| <i>Phylloscopus canariensis</i> | Mosquitero canario | 58 |
| <i>Regulus regulus</i> | Reyezuelo sencillo | 35 |
| <i>Serinus canaria</i> | Serín canario | 4 |
| <i>Sylvia atricapilla</i> | Curruca capirotada | 8 |
| <i>Sylvia melanocephala</i> | Curruca cabecinegra | 5 |
| <i>Turdus merula</i> | Mirlo común | 62 |

Tendencias generales

El número de especies detectadas cada temporada de cría se mantiene **ESTABLE** a lo largo del periodo de estudio, ya que los datos oscilan mínimamente en torno a una media constante que es cercana al recuento obtenido en el año de comparación y las desviaciones puntuales demuestran ser temporales, ya que la serie tiene la capacidad de retornar a su valor inicial.

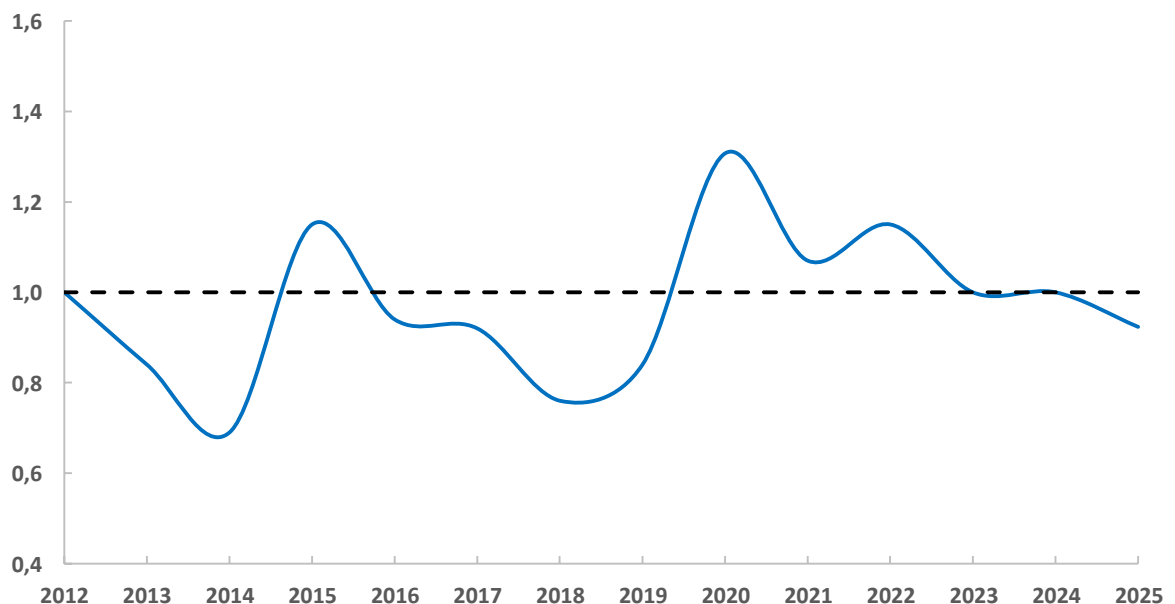


Ilustración 151. Índice de cambio del número total de especies detectadas anualmente en el Parque Nacional de Garajonay.

También la densidad total de aves se mantiene **ESTABLE** a lo largo de los 14 años de seguimiento. A pesar de las notables fluctuaciones interanuales, especialmente relevantes al inicio de la serie temporal, con un valor mínimo en 2015 y máximo en 2017, los recuentos regresan a un valor promedio cercano a los 300 individuos que se suelen contabilizar anualmente.

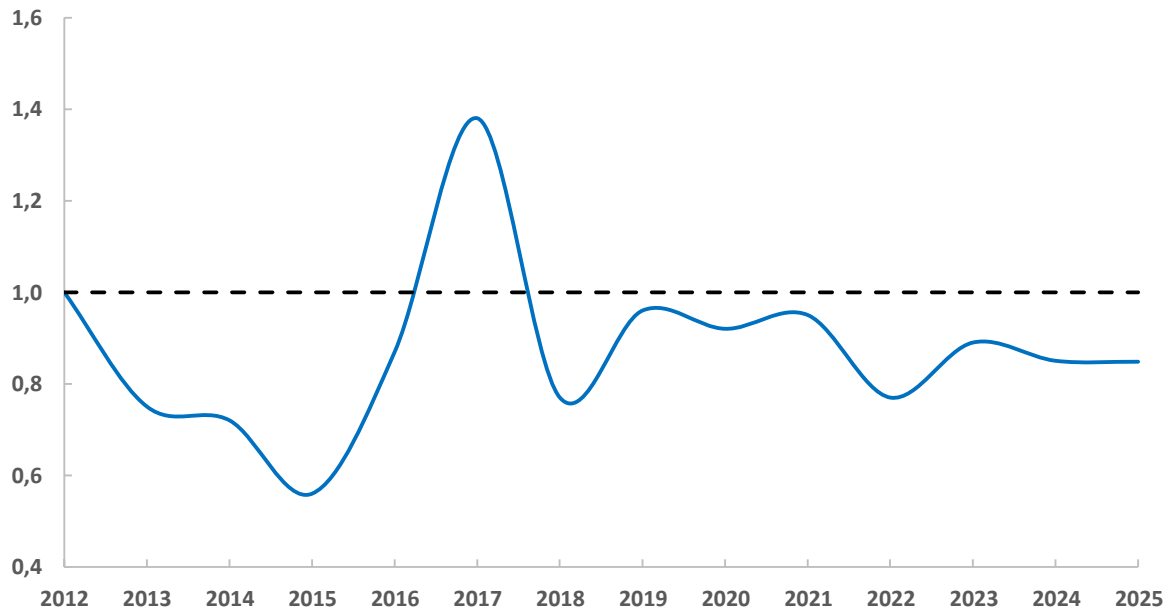


Ilustración 152. Índice de cambio del número total de ejemplares detectados anualmente en el Parque Nacional de Garajonay

Tendencia por especie

Se ha estimado la tendencia poblacional de diez especies de aves. Sólo tres de ellas han mostrado una dinámica estadísticamente significativa. Todas se ajustaron con una población estable.

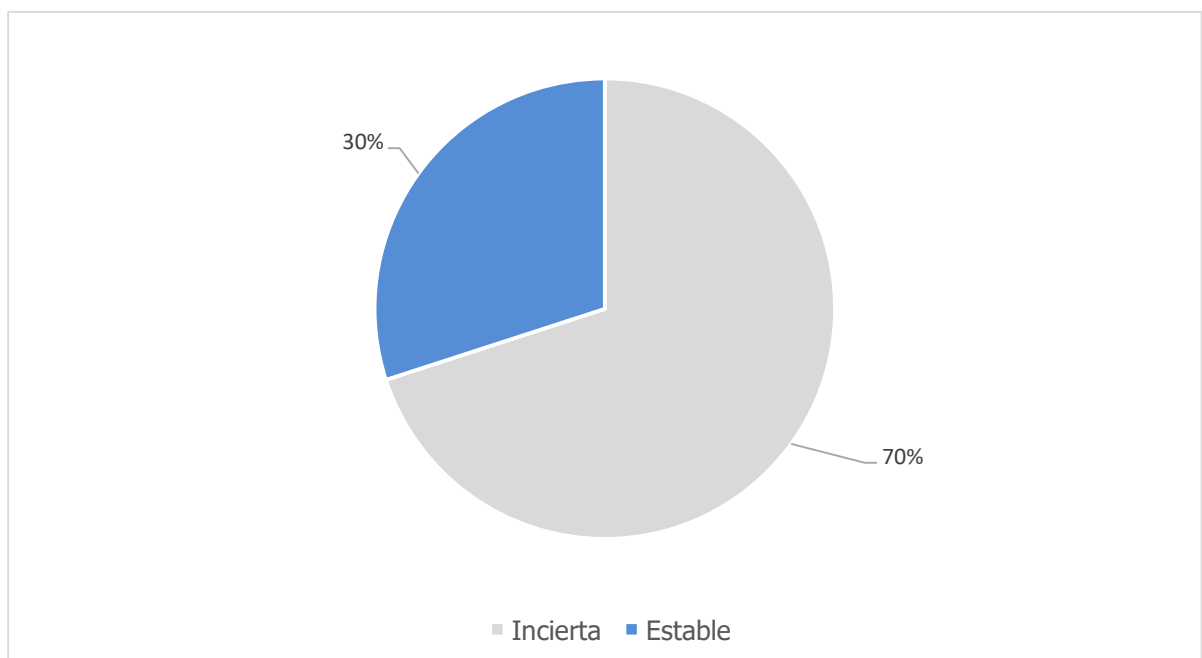


Ilustración 153. Proporción de tendencias poblacionales obtenidas en el Parque Nacional de Garajonay

A continuación, se muestran las especies que mostraron variaciones poblacionales según su tendencia.

Estable

Herrerillo canario (*Cyanistes teneriffae*)

En el parque nacional no existe una tendencia clara de cambio poblacional de manera que, aún con las fluctuaciones interanuales propias de una dinámica demográfica, las estimas no suelen alejarse demasiado de los 30-40 ejemplares que se contabilizan cada año.

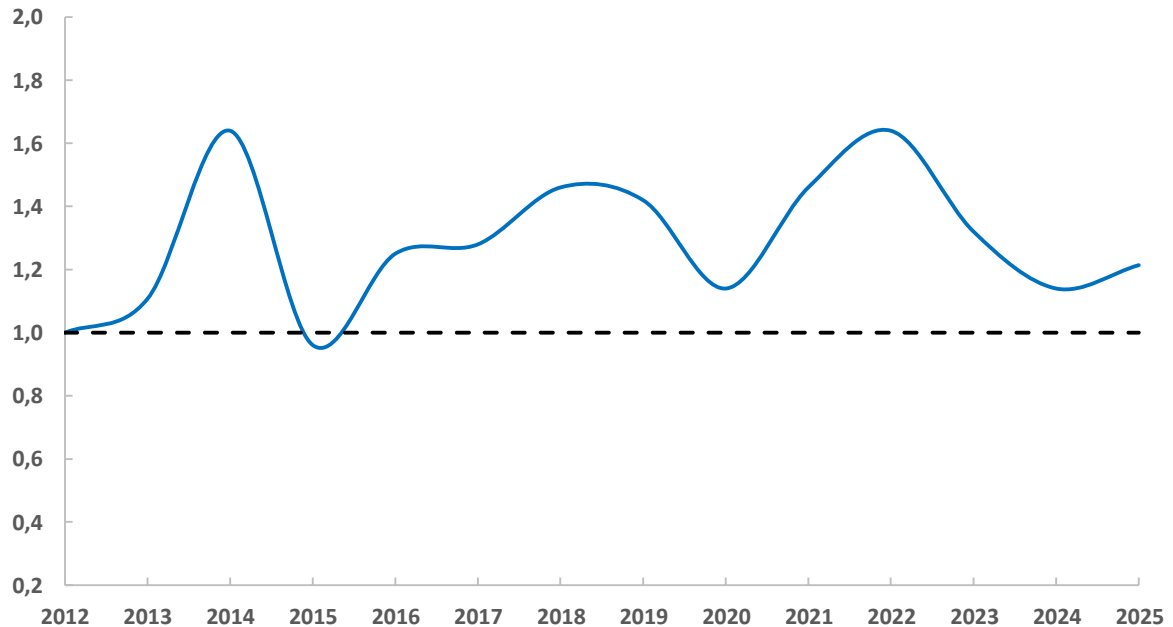


Ilustración 154. Índice de cambio del número total de individuos de herrerillo canario contabilizados anualmente en el Parque Nacional de Garajonay

No se dispone de información fiable sobre su evolución demográfica en otros programas de seguimiento de manera que no es posible verificar si la tendencia observada en el parque nacional se ajusta a la evolución de la especie en otras islas canarias.

Estable

Pinzón vulgar (*Fringilla coelebs*)

El pinzón vulgar muestra oscilaciones a lo largo de los años, pero sin una dirección clara de incremento o descenso poblacional. Como en el caso anterior, se contabilizan anualmente un número de ejemplares situado en torno a los 30 individuos, de manera que califica como estable en el parque nacional.

Es conocido que la especie está experimentando un incremento moderado de su población reproductora a nivel peninsular en general (Escandell *et al.* 2023) y en Cataluña en particular (ICO 2025), pero no se tiene constancia de que la evolución del pinzón vulgar en el archipiélago canario siga esta misma dinámica positiva. Según el presente trabajo su población permanece estable, al menos, dentro de los límites del parque nacional.

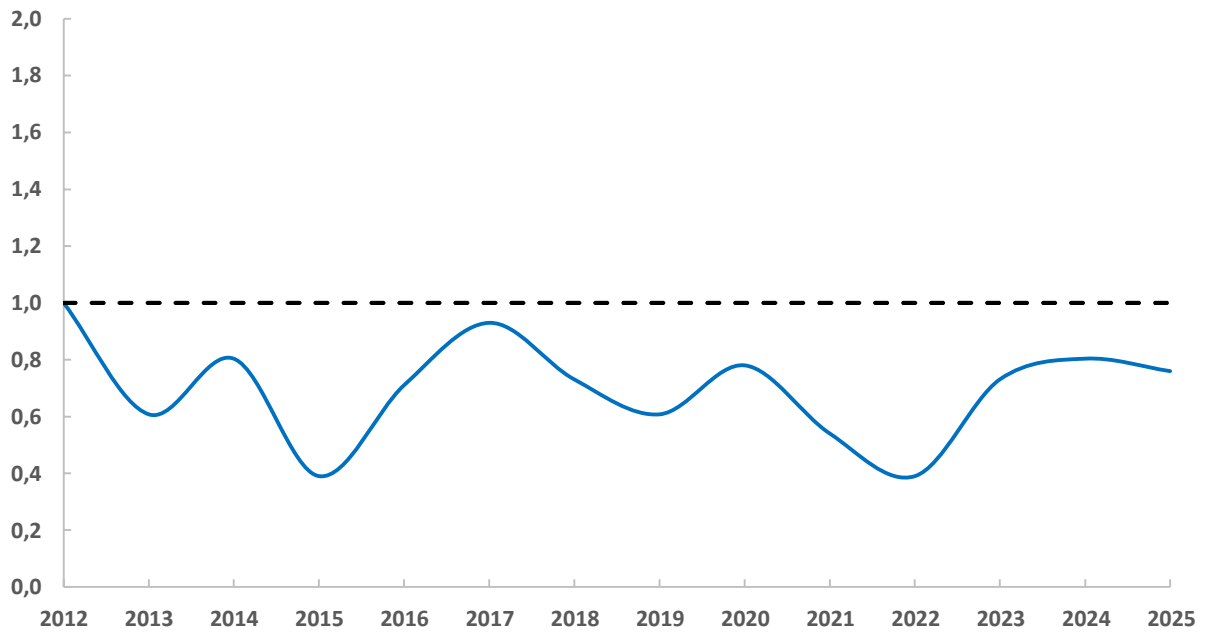


Ilustración 155. Índice de cambio del número total de individuos de pinzón vulgar contabilizados anualmente en el Parque Nacional de Garajonay

Estable

Mosquitero canario (*Phylloscopus canariensis*)

En el parque nacional los recuentos se mantienen estable, con unos 60 individuos. En el resto del archipiélago no hay datos sobre su dinámica, aunque se estima invariable al no haberse modificado su área de distribución en los últimos años (Illera 2022).

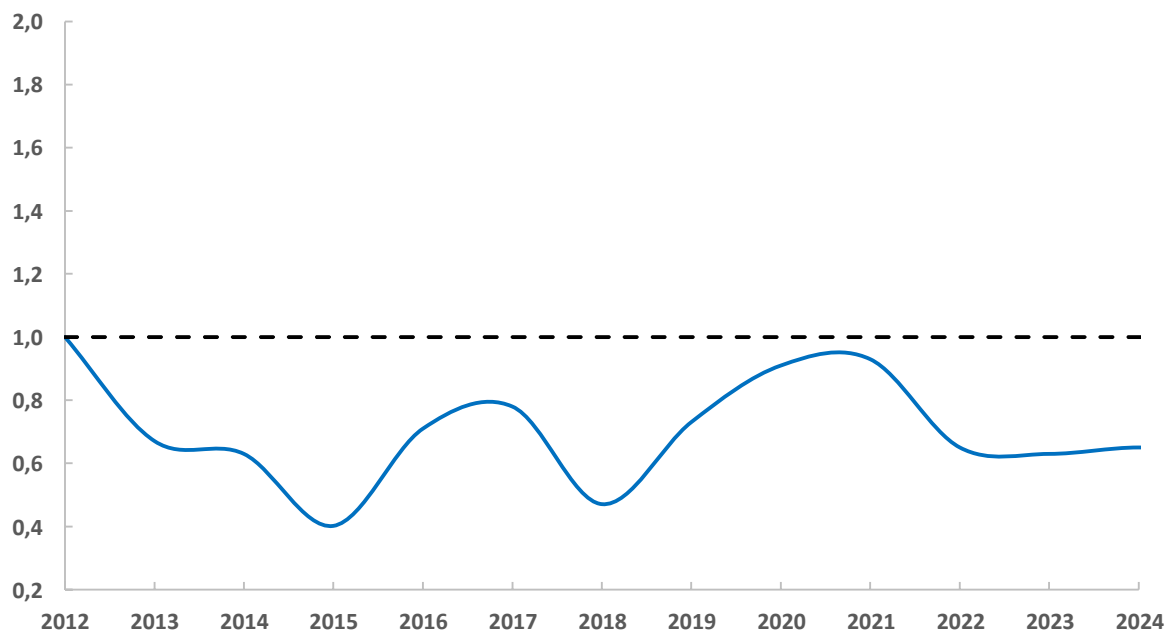


Ilustración 156. Índice de cambio del número total de individuos de mosquitero canario contabilizados anualmente en el Parque Nacional de Garajonay

Tendencia por hábitat

Todos los puntos de muestreo se encuentran en entornos dominados por formaciones arboladas. Esta característica no permite evaluar si los cambios observados en la biodiversidad de aves pueden estar influidos por variaciones en el tipo de hábitat.

Tampoco se tiene un número suficiente de aves propias de los hábitats arbolados (o de otro tipo) que permita analizar la evolución de su abundancia conjunta a lo largo de los años de seguimiento.

.

Parque Nacional del Teide

En los muestreos realizados durante la primavera se han identificado 10 especies, sumando un total de 112 individuos. Al igual que en años anteriores, el mosquitero canario ha sido la especie más numerosa, seguido por el bisbita caminero y el vencejo unicolor respectivamente.

Tabla 11. Especies y número de individuos contabilizados en el Parque Nacional del Teide en primavera de 2025.

| NOMBRE CIENTÍFICO | NOMBRE COMÚN | INDIVIDUOS |
|---------------------------------|--------------------|------------|
| <i>Anthus berthelotii</i> | Bisbita caminero | 25 |
| <i>Apus unicolor</i> | Vencejo unicolor | 20 |
| <i>Columba livia</i> | Paloma bravía | 2 |
| <i>Cyanistes teneriffae</i> | Herrerillo canario | 3 |
| <i>Falco tinnunculus</i> | Cernícalo vulgar | 4 |
| <i>Fringilla teydea</i> | Pinzón azul | 4 |
| <i>Lanius excubitor</i> | Alcaudón norteño | 4 |
| <i>Phylloscopus canariensis</i> | Mosquitero canario | 39 |
| <i>Serinus canaria</i> | Serín canario | 8 |
| <i>Sylvia conspicillata</i> | Curruca tomillera | 3 |

Tendencias generales

La riqueza de especies muestra un comportamiento caracterizado por fluctuaciones interanuales moderadas, con un ligero incremento en 2013 y un máximo en 2015, seguido de una tendencia descendente que se prolonga hasta el final del periodo. Durante los últimos años, los valores se estabilizan en niveles inferiores a los iniciales, con registros comprendidos mayoritariamente entre 10 y 11, calificando como **DESCENSO MODERADO**** a lo largo de la serie temporal, con una tasa promedio de pérdida de un 1,8% anual.

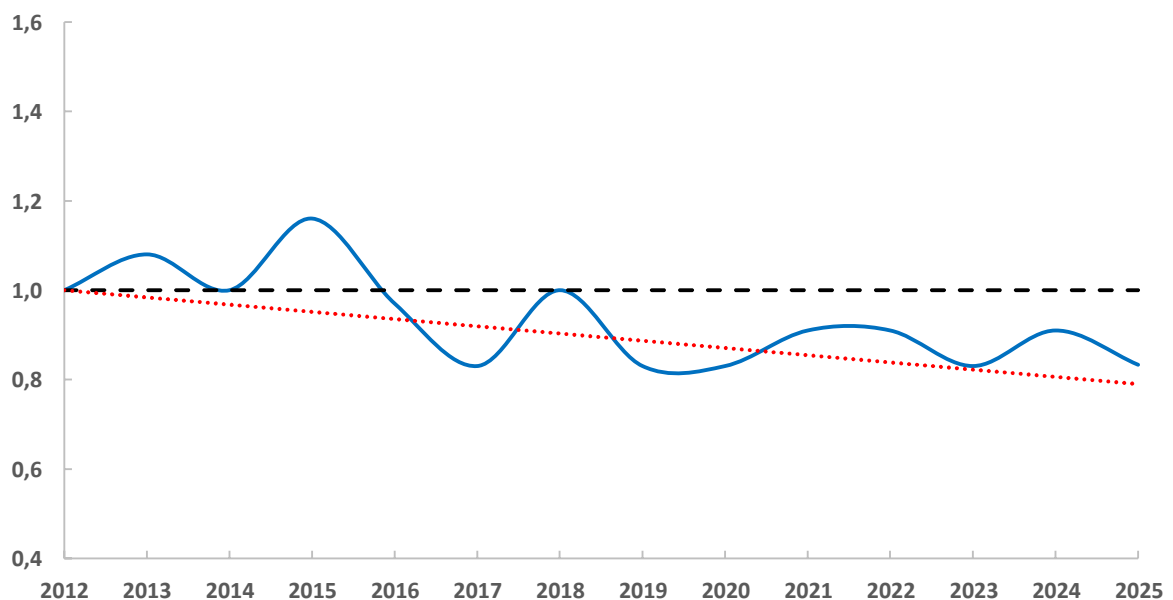


Ilustración 157. Índice de cambio del número total de especies detectadas anualmente en el Parque Nacional del Teide.

Especies como el halcón de tagarote, el cuervo grande y la perdiz moruna aparecen cada vez con menos frecuencia en los muestreos.

La abundancia total de aves muestra una dinámica con oscilaciones interanuales acusadas, pero tras alcanzarse un máximo en 2017, los datos se ajustan a un **DESCENSO MODERADO***, con una tasa media de pérdida de efectivos reproductores cercana al 4,4% anual. No obstante, en los últimos años, la densidad de aves parece haberse estabilizado en torno al centenar de individuos.

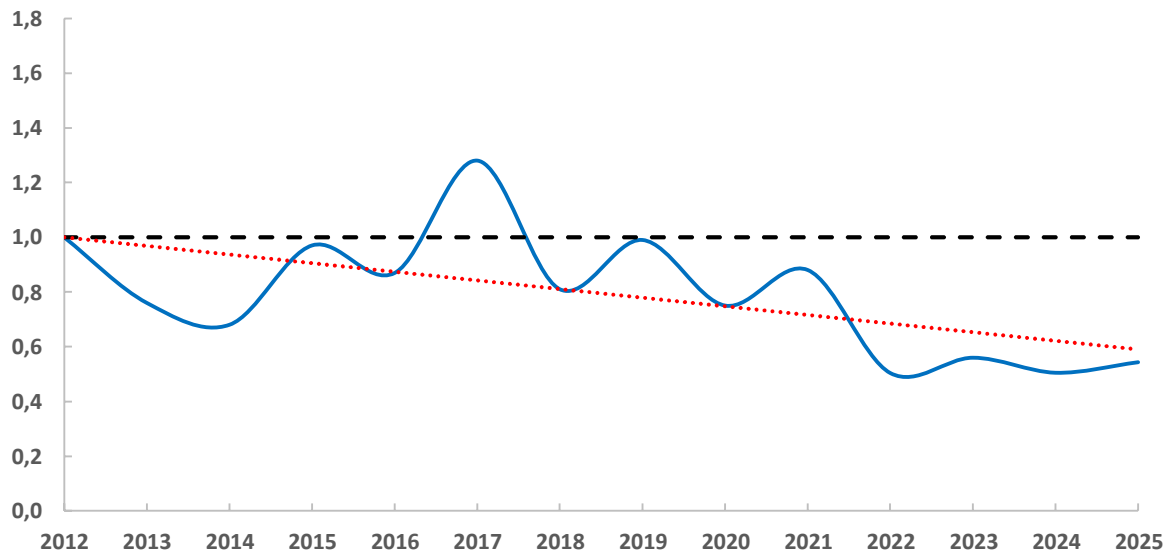


Ilustración 158. Índice de cambio del número total de individuos detectados anualmente en el Parque Nacional del Teide.

Tendencia por especies

Se ha analizado la tendencia poblacional de nueve especies de aves y sólo dos de ellas han ofrecido una evolución significativa, en ambos casos, de retroceso poblacional.

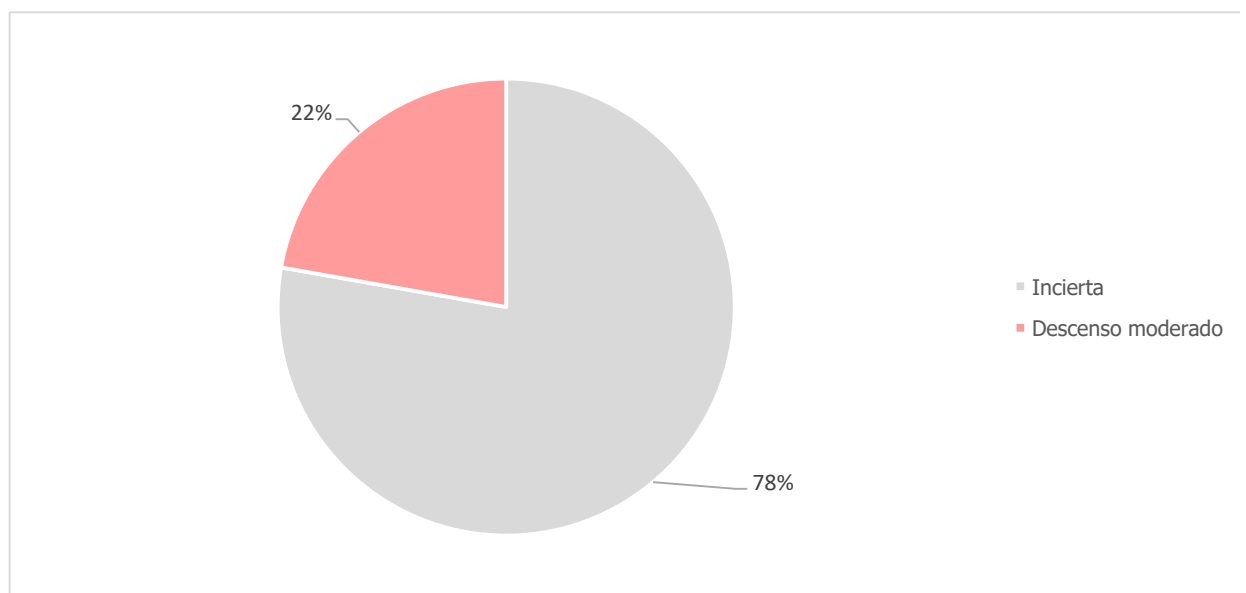


Ilustración 159. Proporción de tendencias poblacionales obtenidas en el Parque Nacional del Teide

A continuación, se muestra las especies que mostraron variaciones poblacionales estadísticamente significativas según su tendencia.

Descenso moderado

Cernícalo vulgar (*Falco tinnunculus*) Tendencia (2012-2025): -6,9%

La población del cernícalo vulgar en el parque nacional muestra una tendencia de **DESCENSO MODERADO****. En los primeros años del programa de seguimiento se registraban valores superiores a siete ejemplares anuales, pero a partir de 2015 la densidad ha experimentado una disminución progresiva —con la excepción puntual de 2019— hasta alcanzar un mínimo de tres individuos en 2022. En la campaña más reciente se han contabilizado cuatro ejemplares, lo que confirma la continuidad de esta tendencia negativa.

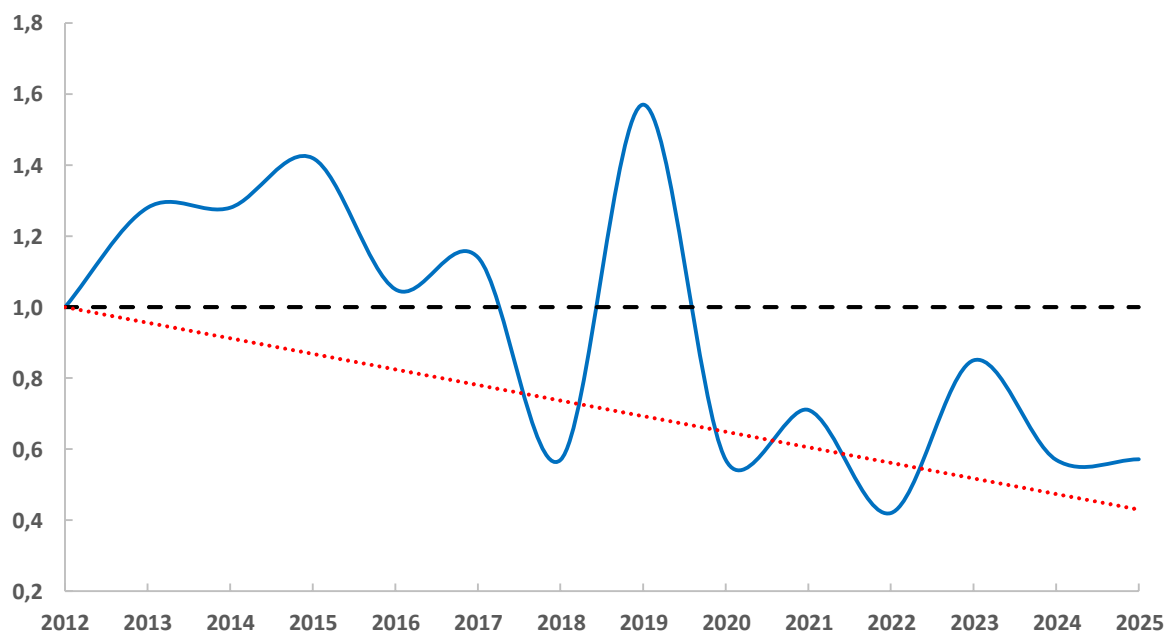


Ilustración 160. Índice de cambio del número total de individuos de cernícalo vulgar contabilizados anualmente en el Parque Nacional del del Teide

Los últimos datos sobre la evolución de la especie en las Islas Canarias muestran una tendencia incierta (Martínez-Padilla 2022), por lo que no es posible verificar si la tendencia encontrada en este estudio se circunscribe a los límites del parque nacional, es decir, responde a factores propios o, por el contrario, es una tendencia más general, extensible al conjunto del archipiélago.

Descenso moderado

Mosquitero canario (*Phylloscopus canariensis*) Tendencia (2012-2025): -3,9%

El mosquitero canario parece estar experimentando igualmente un **DESCENSO MODERADO**** de sus efectivos reproductores a razón de un 4,2% anual. Sin embargo, la tendencia encontrada parece ser el resultado de unos recuentos anormalmente elevados en 2012 que lastran el resultado obtenido hacia la reducción de su densidad. De hecho, si se excluye este año y se analiza la serie temporal desde 2013, la tendencia obtenida es estable, con cifras que se mueven en torno a los 45 individuos. Se ajustaría al pensamiento más extendido de que el ave no ha variado significativamente su abundancia al no existir modificaciones en su área de distribución (Illera

2022). En el vecino Parque Nacional de Garajonay, de hecho, la tendencia encontrada ha sido de estabilidad en el número de efectivos reproductores (véase Tendencia por especie).

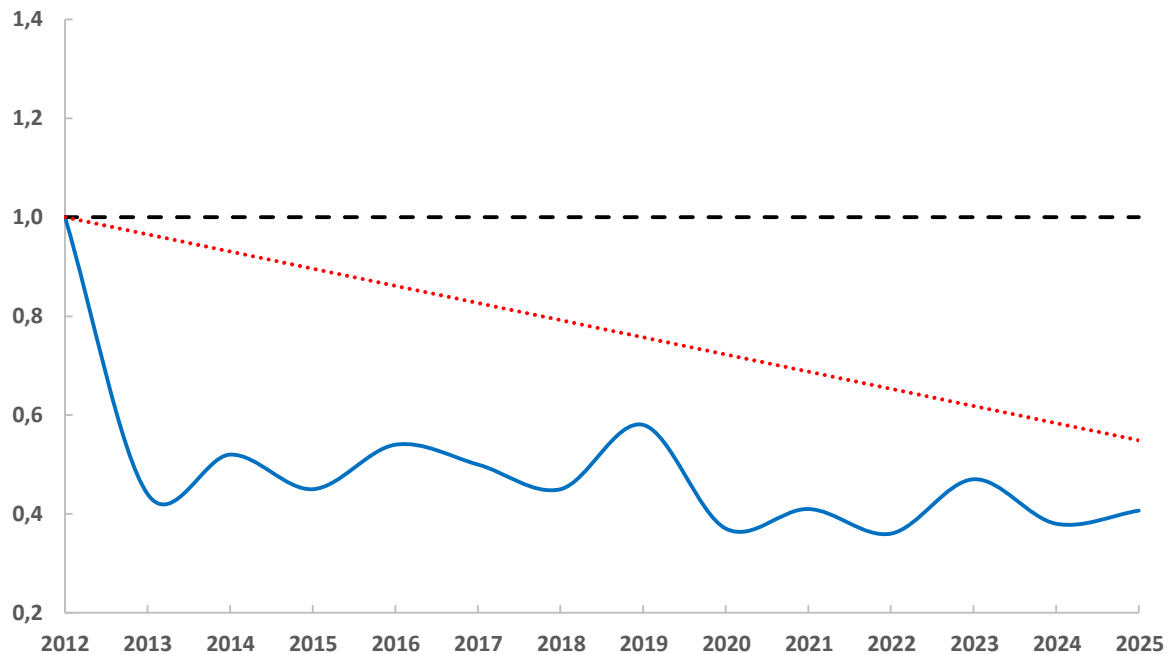


Ilustración 161. Índice de cambio del número total de individuos de mosquitero canario contabilizados anualmente en el Parque Nacional del Teide

Tendencia por hábitats

Los puntos de escucha del Parque Nacional del Teide están ubicados en su mayoría en zonas dominadas por el estrato arbustivo (35 puntos; 87,5%). Tan sólo cinco de estos puntos (12,5%) están localizados sobre terrenos dominados por el estrato arbóreo.

El análisis muestra que, en el hábitat dominado por el matorral, la diversidad de aves experimenta un **DESCENSO MODERADO***, con una tasa promedio de pérdida de efectivos reproductores del 1,8% anual.

Sin embargo, la tendencia regresiva que se observa a nivel general no se traslada a los ambientes dominados por la masa forestal. Aquí, los datos muestran una mayor variabilidad interanual y no se ajustan a una dinámica temporal clara, calificando como de tendencia INCIERTA.

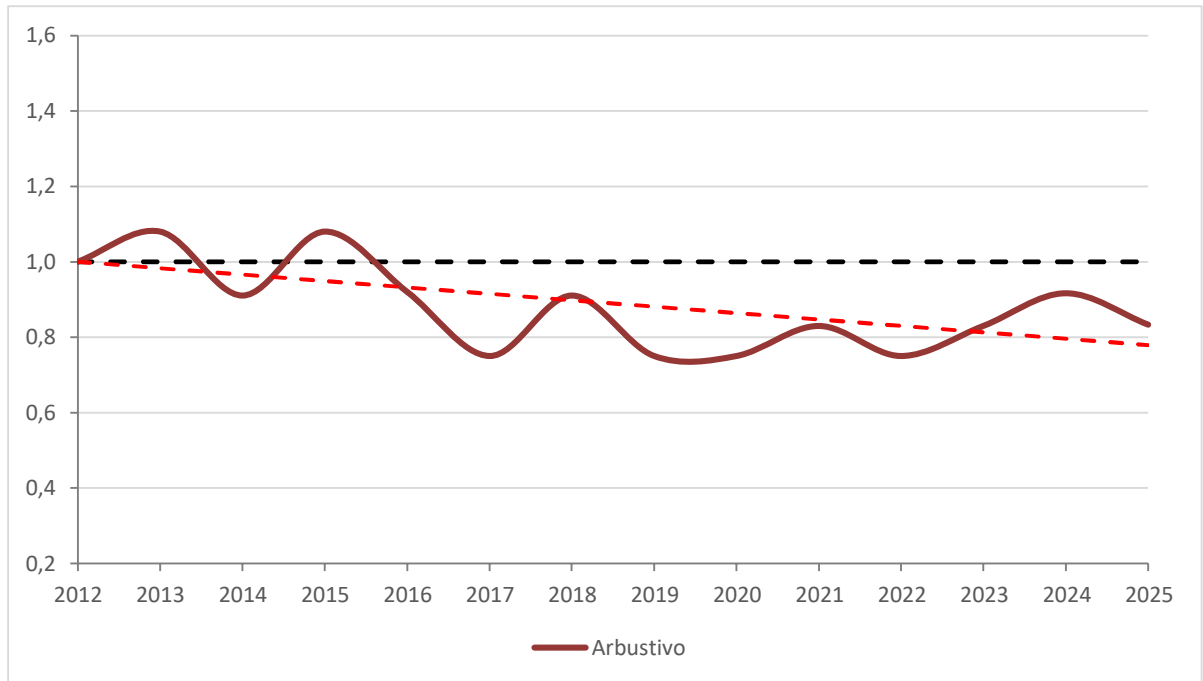


Ilustración 162. Índice de cambio del número especies contabilizadas anualmente en los distintos hábitats del Parque Nacional del Teide

Cuando se examina la variable de abundancia total de aves los resultados son idénticos. Igualmente, en los ecosistemas arbolados los datos ofrecen una gran variabilidad y la evolución temporal se considera INCIERTA y en las zonas de matorral, la densidad de aves ofrece un **DESCENSO MODERADO***, con un ritmo de pérdida promedio de un 4,5% anual.

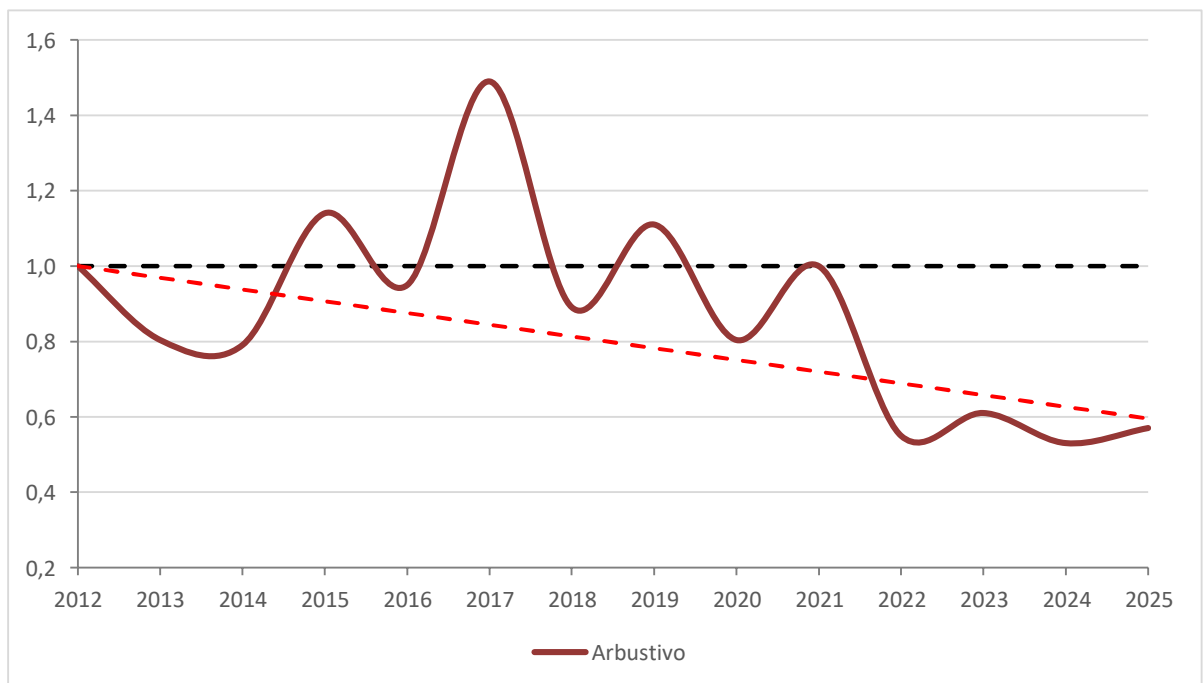


Ilustración 163. Índice de cambio del número de individuos contabilizados anualmente en los distintos hábitats del Parque Nacional del Teide

No debe resultar sorprendente que la tendencia negativa observada en la riqueza de especies y en el número de individuos coincida a nivel general y en el hábitat dominado por el matorral. Hay que considerar que casi el 90% de los puntos de muestreo quedan representados por este hábitat. Así, si se comparan las gráficas resultantes puede observarse que son muy similares entre si e incluso la tasa anual promedio de retroceso es prácticamente idéntica. Es decir, la tendencia negativa detectada en la riqueza y abundancia de aves refleja sobre todo la situación del matorral, ya que este hábitat concentra la mayoría de los puntos de muestreo.

El examen de las series temporales correspondientes a especies indicadoras de hábitats forestales (herrerillo canario y pinzón azul) y arbustivos (bisbita caminero y curruca tomillera) no evidencia patrones de cambio consistentes, lo que lleva a clasificar la tendencia poblacional en ambos hábitats como INCIERTA.

Parque Nacional de Timanfaya

Durante esta primavera, se ha contabilizado un total de 232 individuos pertenecientes a 13 especies distintas de aves. La pardela cenicienta canaria ha constituido el taxón más abundante, aunque destacan la golondrina común y el págalo grande por suponer primeras citas en el parque nacional desde el inicio del seguimiento.

Tabla 12. Especies y número de individuos contabilizados en el Parque Nacional de Timanfaya en primavera de 2025.

| NOMBRE CIENTÍFICO | NOMBRE COMÚN | INDIVIDUOS |
|------------------------------|----------------------------|------------|
| <i>Alectoris barbara</i> | Perdiz moruna | 1 |
| <i>Anthus berthelotii</i> | Bisbita caminero | 16 |
| <i>Apus pallidus</i> | Vencejo pálido | 1 |
| <i>Bucanetes githagineus</i> | Camachuelo trompetero | 11 |
| <i>Calonectris borealis</i> | Pardela cenicienta canaria | 145 |
| <i>Corvus corax</i> | Cuervo grande | 4 |
| <i>Falco pelegrinoides</i> | Halcón tagarote | 2 |
| <i>Hirundo rustica</i> | Golondrina común | 1 |
| <i>Lanius excubitor</i> | Alcaudón norteño | 1 |
| <i>Larus michahellis</i> | Gaviota patiamarilla | 47 |
| <i>Numenius phaeopus</i> | Zarapito trinador | 1 |
| <i>Stercorarius skua</i> | Págalo grande | 1 |
| <i>Sylvia conspicillata</i> | Curruca tomillera | 1 |

Tendencias generales

El número de especies citadas por campaña muestra variaciones interanuales, pero sin una predisposición clara de cambio, calificando como de tendencia **ESTABLE**.

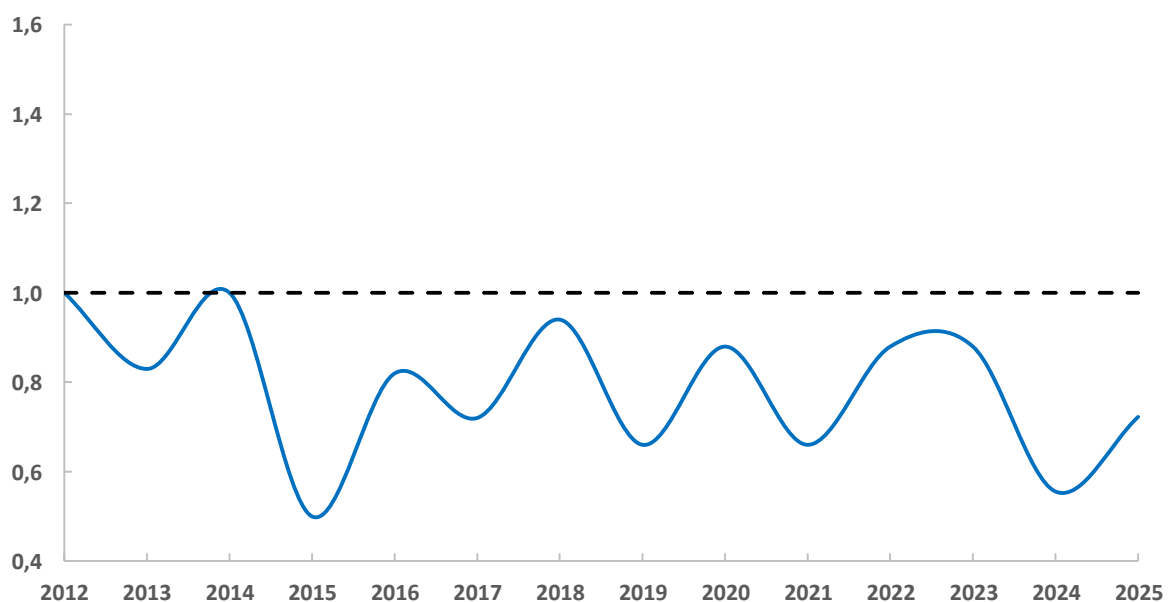


Ilustración 164. Índice de cambio del número total de especies detectadas anualmente en el Parque Nacional de Timanfaya.

Tras el reducido número de especies detectado en 2024, la presente temporada ha mostrado un leve repunte, alcanzando un valor que se sitúa dentro del rango más frecuentemente registrado en el parque nacional, comprendido entre las 12 y las 16 especies.

Las fluctuaciones en la abundancia total de aves son aún más acusadas. No obstante, a pesar de que en algunos años los valores se desvían considerablemente respecto al valor de referencia de 2012, el análisis estadístico no revela una tendencia clara de cambio. En conjunto, los datos (pese a las marcadas variaciones interanuales) se mantienen próximos a la cifra registrada en el año de comparación, lo que sugiere un patrón demográfico consistente con una población **ESTABLE**.

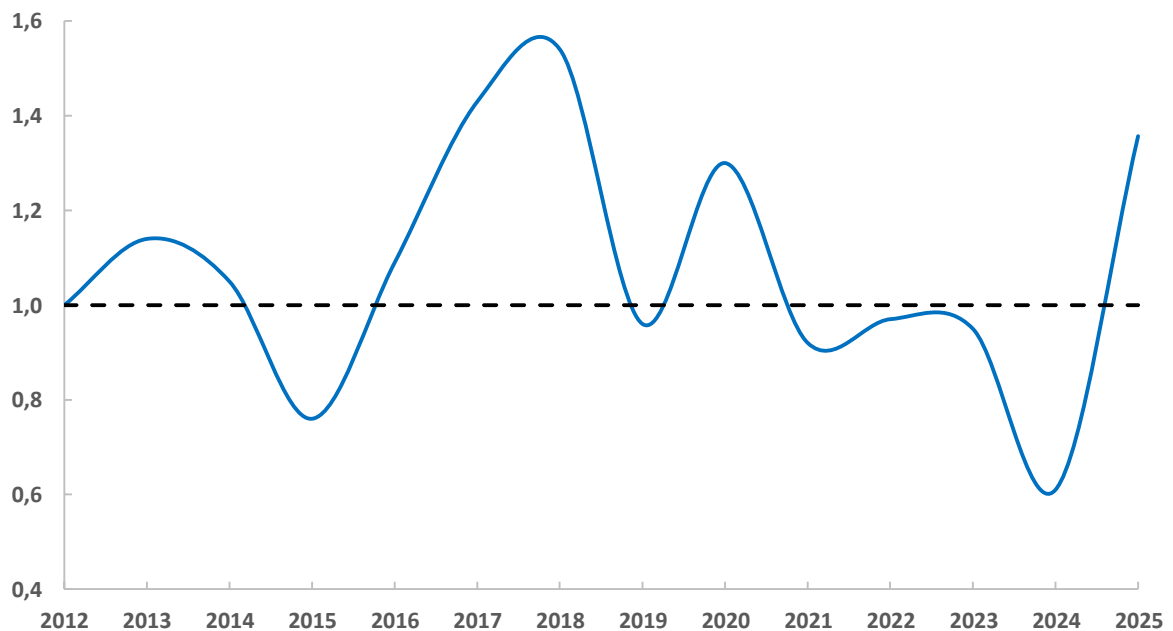


Ilustración 165. Índice de cambio del número total de individuos detectados en el Parque Nacional de Timanfaya

Tendencia por especies

Solo se dispone de estimaciones de abundancia para seis especies reproductoras del parque nacional. Todas ellas han presentado oscilaciones marcadas a lo largo de las diferentes campañas, lo que implica que la dinámica de sus poblaciones resulta INCIERTA en todos los casos. (Anexo 33).

Tendencia por hábitats

Todos los puntos de muestreo del parque nacional están ubicados en un ambiente más o menos homogéneo, dominado por enclaves con escasa cobertura vegetal (roquedos, acantilados marinos, ...), por lo que no es posible determinar variaciones en función del hábitat.

Parque Nacional Marítimo-Terrestre de las Islas Atlánticas de Galicia

En los muestreos primaverales realizados en el conjunto de las islas se registraron un total de 41 especies, uno de los valores más bajos de toda la serie temporal. La especie más abundante fue, al igual que en años anteriores, la gaviota patiamarilla. No obstante, destaca especialmente la detección del bisbita pratense, que constituye la primera cita de este taxón desde el inicio del programa de seguimiento en el parque nacional.

Tabla 13. Especies y número de individuos contabilizados en el Parque Nacional de las Islas Atlánticas de Galicia en primavera de 2025.

| NOMBRE CIENTÍFICO | NOMBRE COMÚN | INDIVIDUOS |
|----------------------------------|-------------------------------|------------|
| <i>Aegithalos caudatus</i> | Mito común | 15 |
| <i>Anthus pratensis</i> | Bisbita pratense | 1 |
| <i>Buteo buteo</i> | Busardo ratonero | 5 |
| <i>Carduelis carduelis</i> | Jilguero europeo | 105 |
| <i>Certhia brachydactyla</i> | Agateador europeo | 8 |
| <i>Chloris chloris</i> | Verderón común | 152 |
| <i>Circus aeruginosus</i> | Aguilucho lagunero occidental | 3 |
| <i>Cisticola juncidis</i> | Cisticola buitrón | 4 |
| <i>Columba palumbus</i> | Paloma torcaz | 87 |
| <i>Corvus corone</i> | Corneja negra | 10 |
| <i>Cyanistes caeruleus</i> | Herrerillo común | 3 |
| <i>Dendrocopos major</i> | Pico picapinos | 9 |
| <i>Erithacus rubecula</i> | Petirrojo europeo | 101 |
| <i>Falco peregrinus</i> | Halcón peregrino | 5 |
| <i>Falco tinnunculus</i> | Cernícalo vulgar | 6 |
| <i>Fringilla coelebs</i> | Pinzón vulgar | 23 |
| <i>Haematopus ostralegus</i> | Ostrero euroasiático | 6 |
| <i>Hirundo rustica</i> | Golondrina común | 15 |
| <i>Larus michahellis</i> | Gaviota patiamarilla | 284 |
| <i>Linaria cannabina</i> | Pardillo común | 87 |
| <i>Motacilla alba</i> | Lavandera blanca | 7 |
| <i>Motacilla flava</i> | Lavandera boyera | 7 |
| <i>Numenius phaeopus</i> | Zarapito trinador | 2 |
| <i>Parus major</i> | Carbonero común | 15 |
| <i>Passer domesticus</i> | Gorrión común | 3 |
| <i>Periparus ater</i> | Carbonero garrapinos | 13 |
| <i>Phalacrocorax aristotelis</i> | Cormorán moñudo | 1 |
| <i>Phoenicurus ochruros</i> | Colirrojo tizón | 19 |
| <i>Phylloscopus collybita</i> | Mosquitero común | 1 |
| <i>Picus sharpei</i> | Pito real ibérico | 2 |
| <i>Prunella modularis</i> | Acentor común | 86 |
| <i>Pyrrhula pyrrhula</i> | Camachuelo común | 2 |
| <i>Regulus ignicapilla</i> | Reyezuelo listado | 15 |
| <i>Saxicola rubicola</i> | Tarabilla europea | 81 |

| NOMBRE CIENTÍFICO | NOMBRE COMÚN | INDIVIDUOS |
|--------------------------------|---------------------|------------|
| <i>Serinus serinus</i> | Serín verdecillo | 31 |
| <i>Sylvia atricapilla</i> | Curruca capirotada | 126 |
| <i>Sylvia melanocephala</i> | Curruca cabecinegra | 25 |
| <i>Sylvia undata</i> | Curruca rabilarga | 18 |
| <i>Troglodytes troglodytes</i> | Chochín paleártico | 145 |
| <i>Turdus merula</i> | Mirlo común | 73 |
| <i>Turdus philomelos</i> | Zorzal común | 16 |

Tendencias generales

La riqueza de especies en el parque nacional se mantiene **ESTABLE** a lo largo de la serie temporal analizada. Si bien se registran descensos puntuales —como los observados en 2015 y 2025— y ligeros incrementos en determinados años —como 2022 y 2024—, la magnitud de dichas variaciones resulta reducida. En términos generales, los valores se mantienen próximos a un promedio estable de 47–49 especies, hacia el cual tienden a converger de manera recurrente tras las fluctuaciones interanuales.

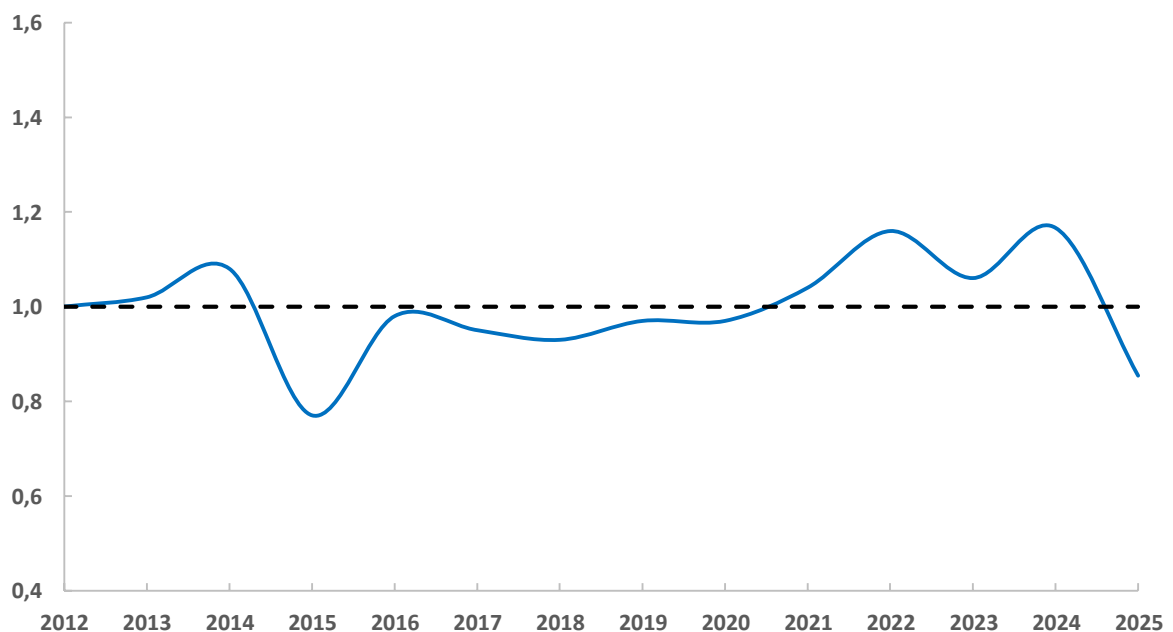


Ilustración 166. Índice de cambio del número total de especies detectadas anualmente en el Parque Nacional de las Islas Atlánticas de Galicia

Sin embargo, cuando se analiza la abundancia total de aves en el espacio protegido el resultado obtenido se ajusta significativamente a una tendencia de **DESCENSO MODERADO***, con una tasa promedio de pérdida de efectivos reproductores del 2,2% anual.

Los valores, hasta la temporada 2022, rondaban los 3.000 individuos, pero en las tres últimas temporadas esta cifra se ha reducido significativamente, especialmente en 2023 y en la presente campaña, donde los recuentos suponen la mitad, en torno a los 1.600-1.700 ejemplares.

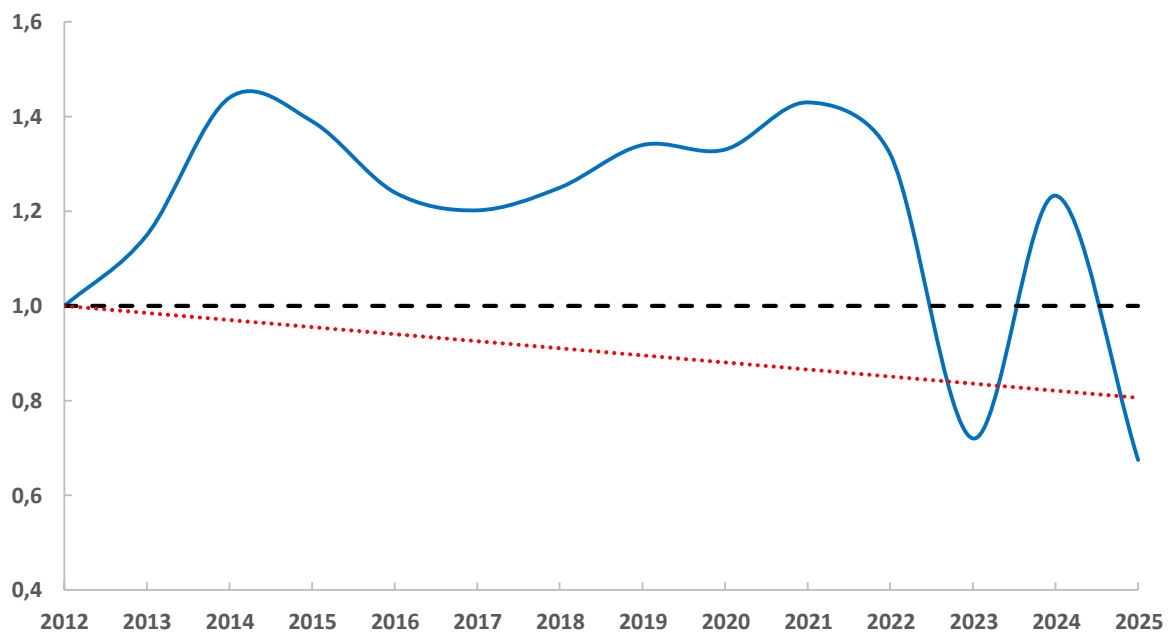


Ilustración 167. Índice de cambio del número total de individuos detectados anualmente en el Parque Nacional de las Islas Atlánticas de Galicia

El motivo cabe achacarlo a las variaciones que se producen en la detección de gaviotas patiamarillas. En la presente temporada no se ha llegado a contabilizar 300 ejemplares, mientras que en los primeros años fueron cerca de 2.000. Sin duda, esta especie, modula la evolución de la abundancia global de aves en el parque natural a lo largo de la serie temporal como consecuencia de su importancia relativa. Los próximos muestreos serán determinantes para confirmar si se consolida la tendencia obtenida o si, por el contrario, es fruto del azar y responde a unos últimos años con escasez de avistamientos de este lárido.

Tendencia por especies

Del conjunto de 31 especies de aves analizadas —todas ellas con datos suficientes de abundancia—, cinco mantienen valores similares de densidad a lo largo de la serie temporal, por lo que se consideran de tendencia estable. En ocho especies se han detectado variaciones significativas en el tamaño de sus poblaciones reproductoras respecto a los valores iniciales de seguimiento: seis de ellas muestran incrementos poblacionales, mientras que las dos restantes han reducido sus efectivos.

El grupo mayoritario, integrado por 20 taxones (58%), no presenta una tendencia estadísticamente significativa. En estos casos, las estimas de densidad muestran una elevada variabilidad interanual, lo que impide definir una dirección clara en su dinámica poblacional.

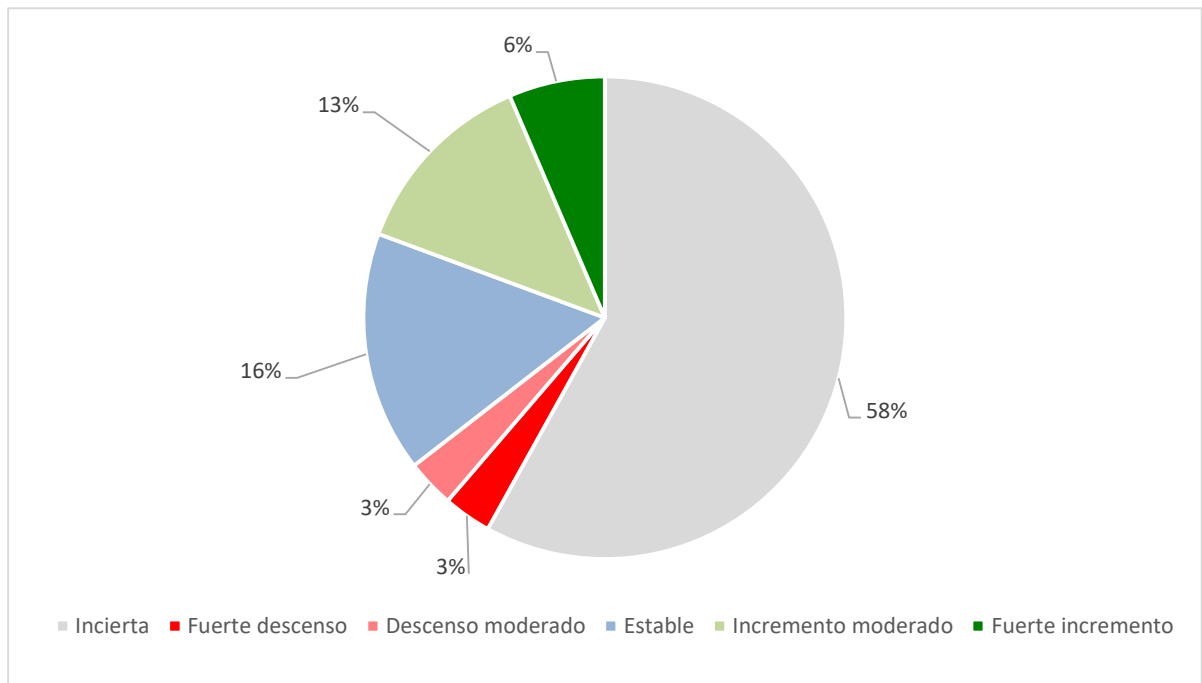


Ilustración 168. Proporción de tendencias poblacionales obtenidas en el Parque Nacional de las Islas Atlánticas de Galicia

A continuación, se muestra las especies que mostraron variaciones poblacionales estadísticamente significativas según su tendencia.

Fuerte descenso

Curruca cabecinegra (*Sylvia melanocephala*) Tendencia (2012-2025): -9,4%

Partiendo de un valor máximo en 2012 (69 individuos), los datos reflejan un declive progresivo, con pequeñas oscilaciones interanuales. Tras una leve recuperación en 2017, los valores continúan disminuyendo de forma casi continua hasta alcanzar los mínimos más acusados en 2022 (con tan sólo 11 ejemplares contabilizados) y mantenerse en niveles muy bajos en los últimos años (25 individuos en 2025). Por lo tanto, las estimas actuales resultan ser un 65% inferiores a las obtenidas en el año de referencia.

En conjunto, la evolución indica una reducción sostenida y significativa del parámetro analizado, sin que los repuntes puntuales de 2016–2017 y 2023 lleguen a alterar la tendencia general de **FUERTE DESCENSO*** detectada estadísticamente.

La evolución poblacional registrada en el parque nacional muestra un patrón divergente respecto a los resultados obtenidos en otros programas de seguimiento de ámbito más amplio. Tanto los análisis realizados a nivel nacional como los desarrollados en Cataluña indican que la población reproductora de la curruca cabecinegra se mantiene estable durante la última década (Escandell *et al.* 2023, ICO 2025), sin evidencias de fluctuaciones significativas en su abundancia.

Esta discrepancia sugiere que los procesos responsables del descenso detectado en el parque no responden a una tendencia general de la especie, sino que podrían estar relacionados con factores locales.

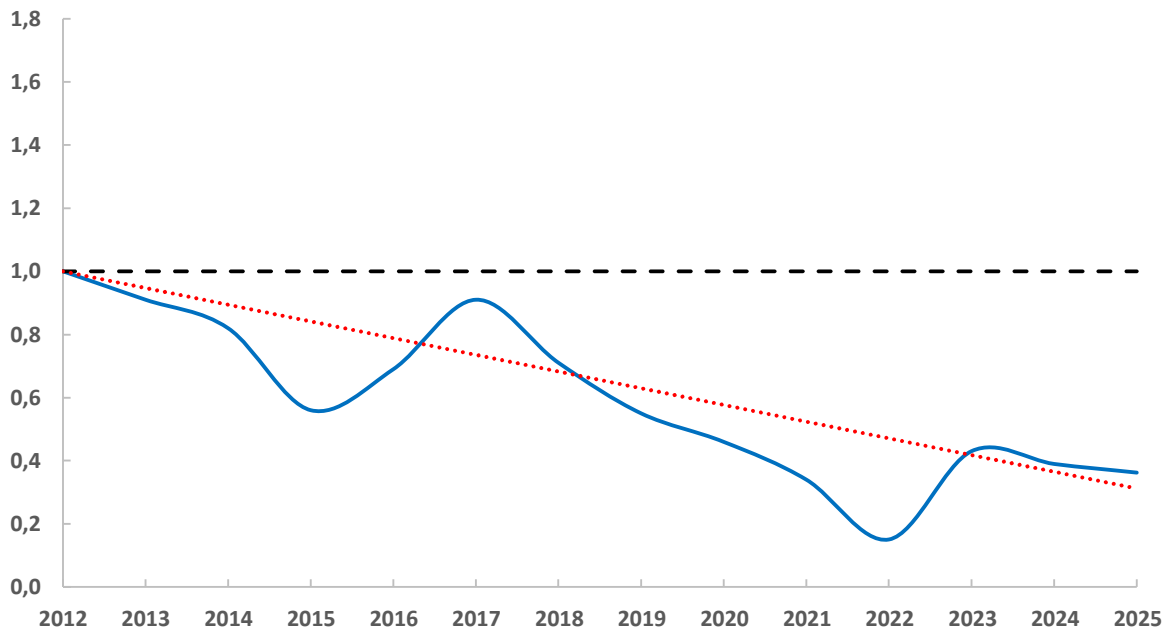


Ilustración 169. Índice de cambio del número total de individuos de curruca cabecinegra contabilizados anualmente en el Parque Nacional de las Islas Atlánticas de Galicia

Descenso moderado

Agateador europeo (*Certhia brachydactyla*) Tendencia (2012-2025): -5,1%

Los valores densidad de la especie muestran un **DESCENSO MODERADO*** a lo largo de la serie temporal estadísticamente significativo.

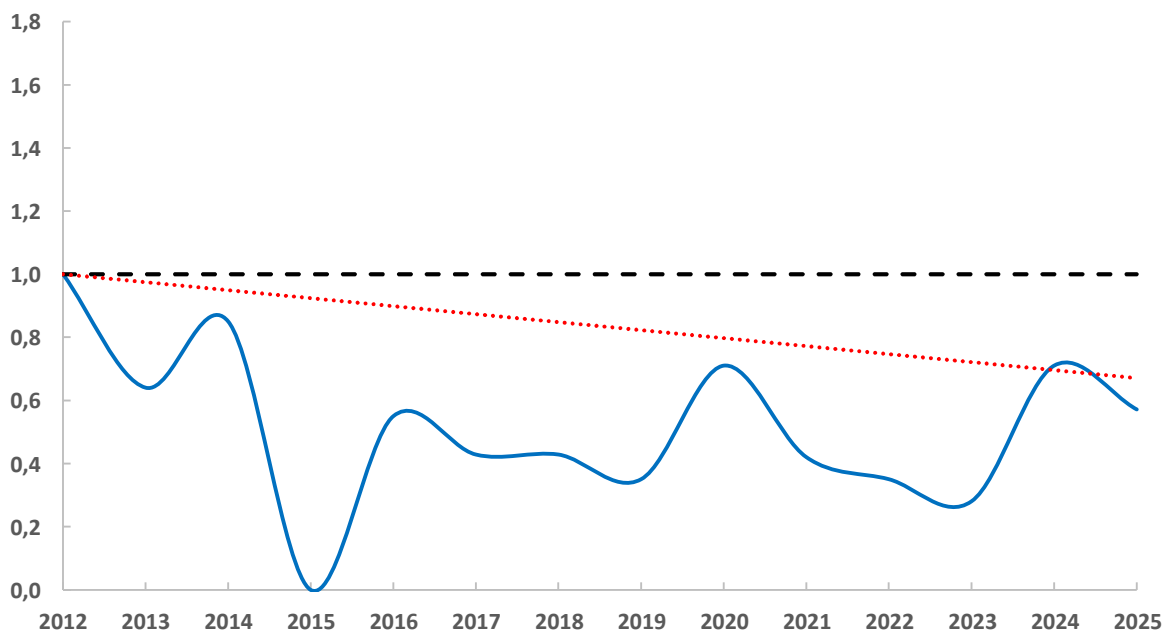


Ilustración 170. Índice de cambio del número total de individuos de agateador europeo contabilizados anualmente en el Parque Nacional de las Islas Atlánticas de Galicia

Las estimas de abundancia de la especie comenzaron a disminuir desde la puesta en marcha del programa de seguimiento, alcanzando su valor mínimo en 2015, al no haberse detectado ningún

individuo. Posteriormente se produjo una recuperación, con una densidad que se ha mantenido relativamente constante en torno a los 6 individuos por temporada entre 2017 y la presente campaña. Pero estos datos siguen alejados de los recuentos obtenidos al inicio de la serie temporal, por lo que su dinámica se considera como negativa.

En los programas de seguimiento desarrollados en otras regiones, la tendencia del agateador europeo es contraria a la observada en el Parque Nacional marítimo-terrestre de las Islas Atlánticas, mostrando un aumento en el tamaño de la población reproductora (Escandell *et al.* 2023, ICO 2025). Este incremento se ha asociado a la expansión de los bosques en zonas anteriormente agrícolas o ganaderas y al desarrollo de plantaciones de coníferas.

Los datos obtenidos en el parque apuntan a una evolución poblacional desfavorable, lo que sugiere la influencia de factores locales en la disminución registrada. No obstante, conviene disponer de una serie temporal más amplia, dado el bajo número de individuos detectados anualmente, que permita confirmar si la tendencia negativa observada responde realmente a la dinámica poblacional de la especie en el ámbito del parque.

Estable

Petirrojo europeo (*Erithacus rubecula*)

El petirrojo europeo mantiene **ESTABLE** sus efectivos reproductores a lo largo del periodo analizado. Sin embargo, en los últimos años, parece experimentar una tendencia creciente en su abundancia, lo que coincidiría con los resultados de los programas de seguimiento desarrollados a nivel peninsular y en Cataluña donde la especie parece estar experimentando un incremento de su población reproductora (Escandell *et al.* 2023, ICO 2025).

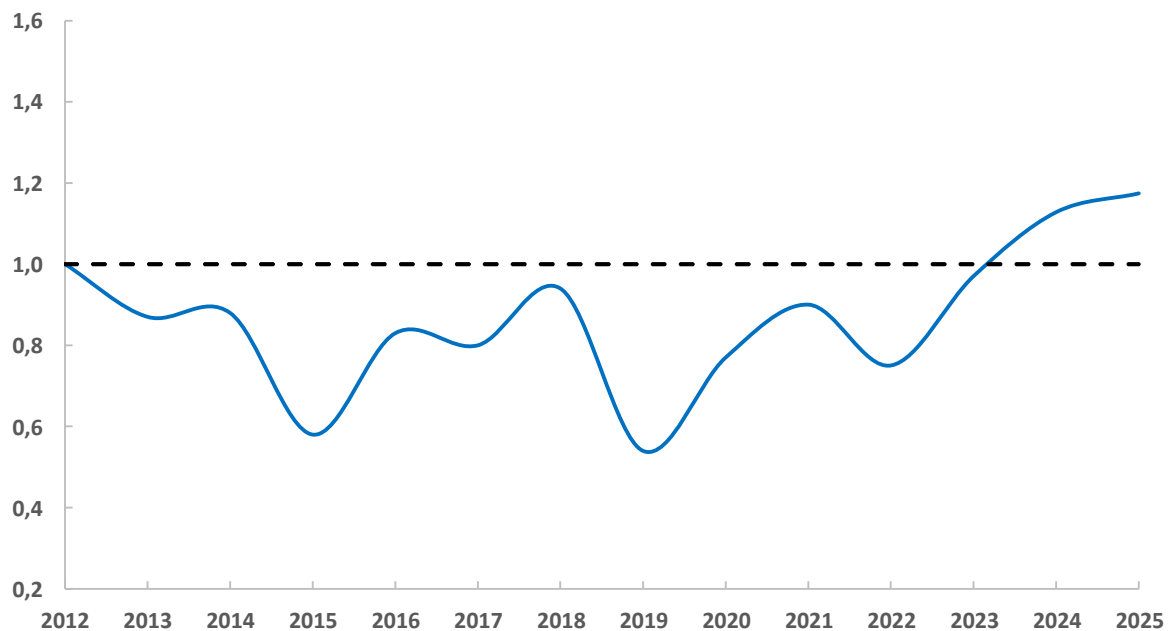


Ilustración 171. Índice de cambio del número total de individuos de petirrojo europeo contabilizados anualmente en el Parque Nacional de las Islas Atlánticas de Galicia

Estable

Carbonero garrapinos (*Periparus ater*)

Su abundancia se mantiene **ESTABLE** pese a la drástica disminución sufrida en esta campaña. Este resultado se alinea con otros seguimientos a largo plazo geográficamente próximos donde la especie también se considera estable (Escandell *et al.* 2023, ICO 2025).

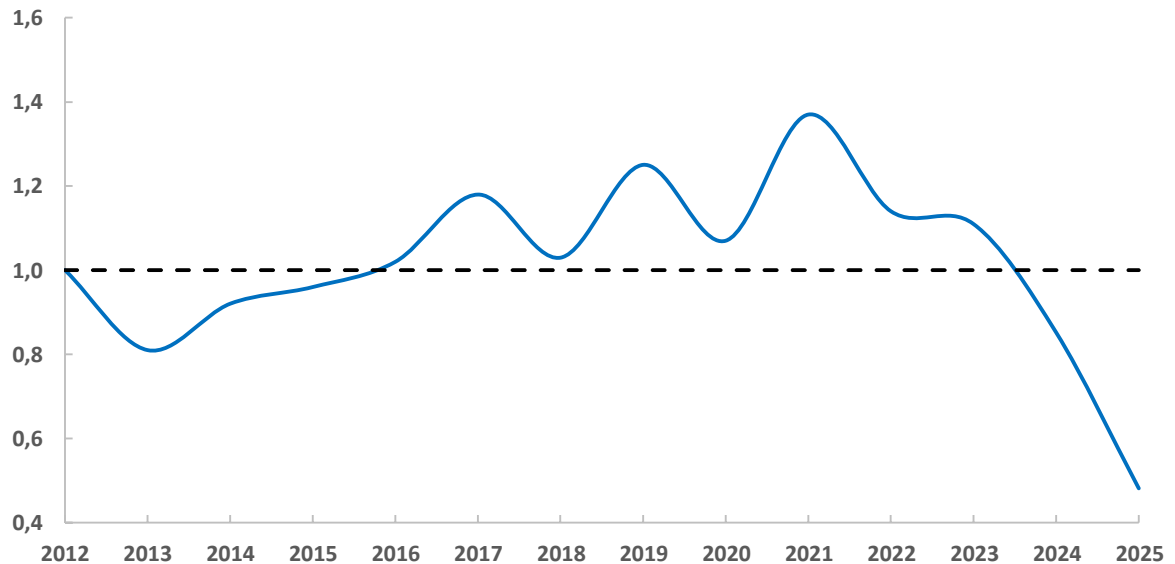


Ilustración 172. Índice de cambio del número total de individuos de carbonero garrapinos contabilizados anualmente en el Parque Nacional de las Islas Atlánticas de Galicia

Estable

Colirrojo tizón (*Phoenicurus ochruros*)

La especie mantiene población reproductora **ESTABLE** en el parque nacional.

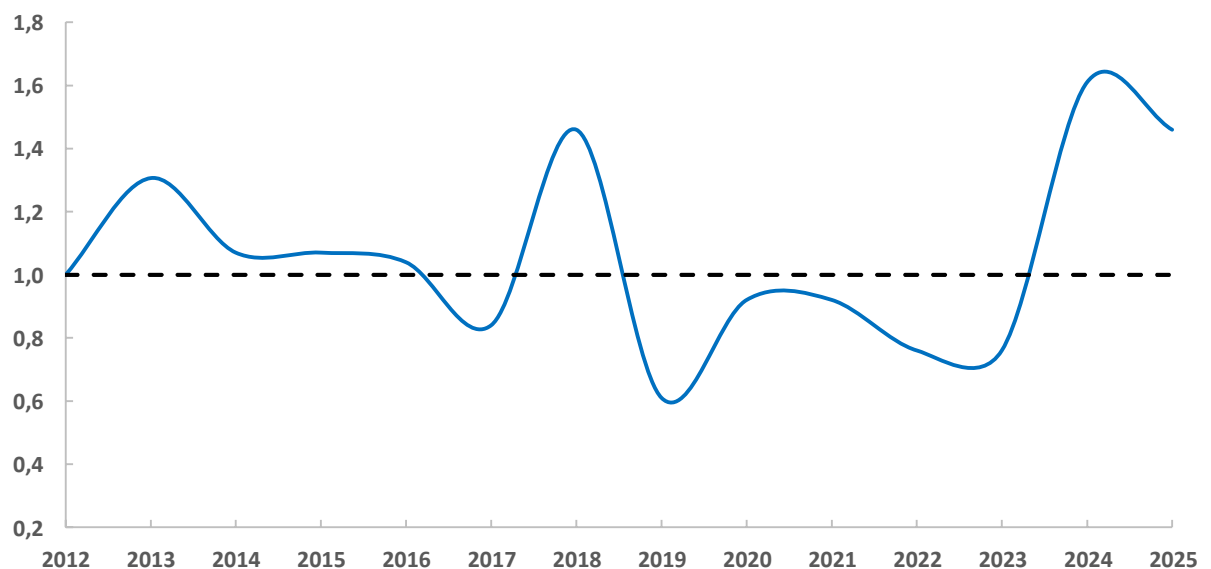


Ilustración 173. Índice de cambio del número total de individuos de colirrojo tizón contabilizados anualmente en el Parque Nacional de las Islas Atlánticas de Galicia

En Cataluña también se considera estable (ICO 2025), aunque en el resto de España se estima que está en aumento (Escandell *et al.* 2023).

Estable

Chochín paleártico (*Troglodytes troglodytes*)

Las variaciones interanuales de abundancia resultan notables, aunque de forma cíclica las estimas tienden a aproximarse a los valores registrados en el año de referencia. El patrón se ajusta estadísticamente a una tendencia **ESTABLE**, sugiriendo que los factores que determinan su abundancia en las islas se mantienen sin cambios relevantes.

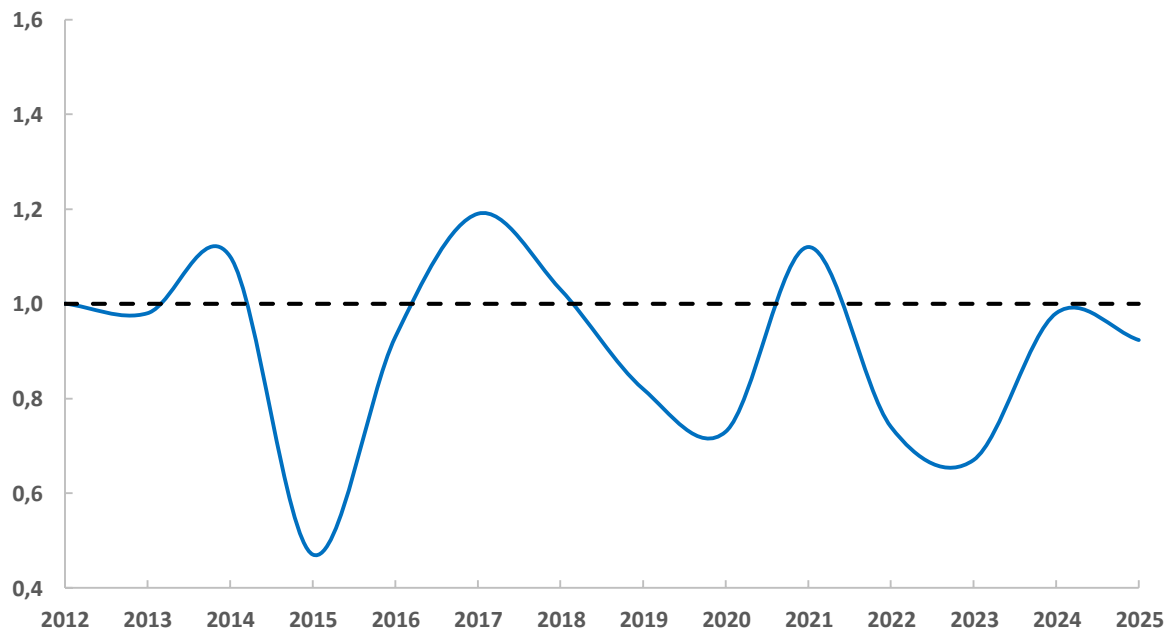


Ilustración 174. Índice de cambio del número total de individuos de chochín paleártico contabilizados anualmente en el Parque Nacional de las Islas Atlánticas de Galicia

Los resultados obtenidos en el parque nacional difieren de las tendencias observadas en otros programas de seguimiento. A escala nacional, la especie muestra indicios de aumento en el número de efectivos reproductores (Escandell *et al.* 2023), mientras que, en Cataluña, las estimas apuntan a un posible descenso de su población (ICO 2025).

Estable

Mirlo común (*Turdus merula*)

La serie temporal muestra fluctuaciones interanuales moderadas, con valores que oscilan en torno al año de referencia. Se observan ligeros repuntes en 2015, 2017 y 2024, seguidos de descensos puntuales en años intermedios, aunque sin una tendencia clara de aumento o disminución sostenida.

En conjunto, la evolución de la serie refleja una dinámica **ESTABLE** de la población a lo largo del periodo analizado, lo que sugiere que no se han producido cambios significativos en los factores que condicionan su abundancia dentro del ámbito de estudio.

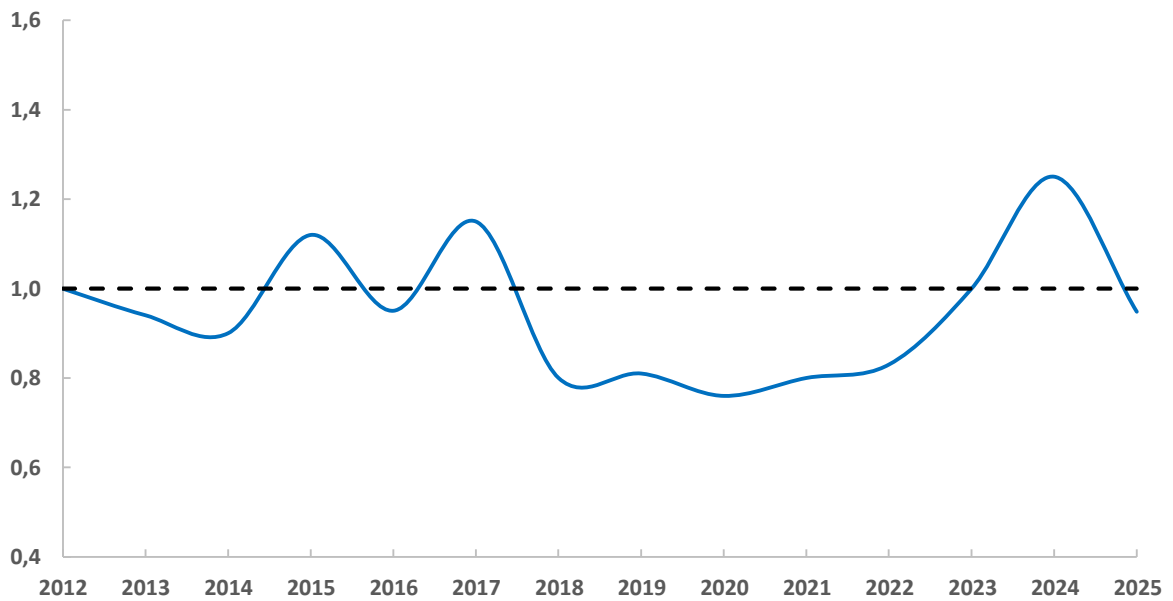


Ilustración 175. Índice de cambio del número total de individuos de mirlo común contabilizados anualmente en el Parque Nacional de las Islas Atlánticas de Galicia

El resultado coincide con las estimas obtenidas en Cataluña (ICO 2025), aunque a nivel nacional la especie se considera en aumento moderado (Escandell *et al.* 2023).

Incremento moderado

Mito común (*Aegithalos caudatus*) Tendencia (2012-2025): +20,4%

La especie muestra un **INCREMENTO MODERADO*** de su abundancia primaveral, con valores especialmente elevados desde 2022.

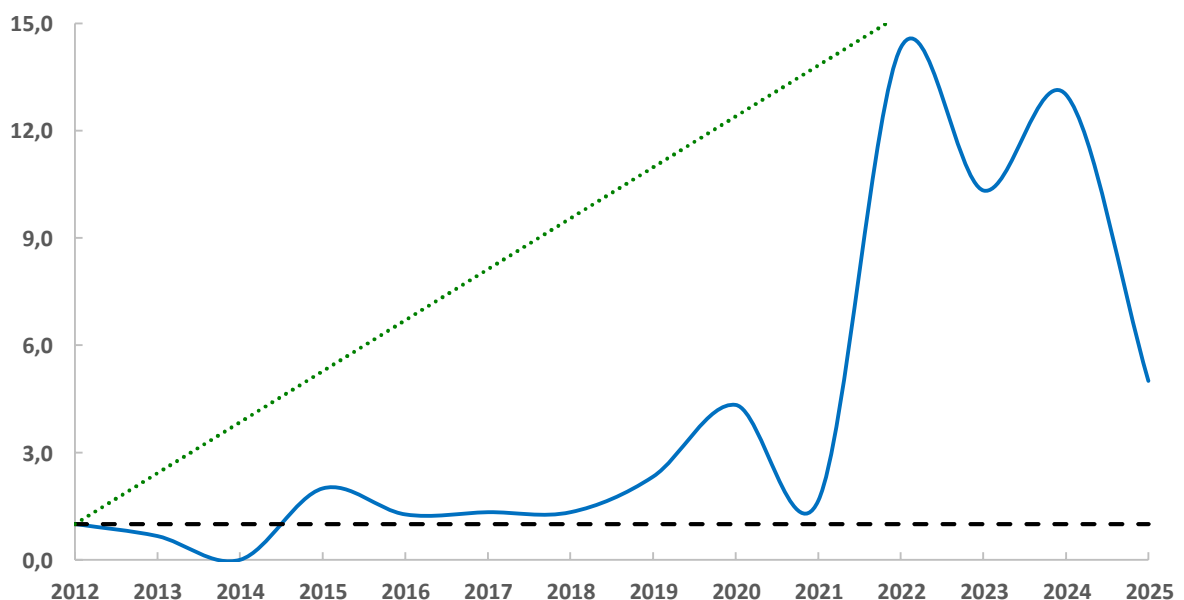


Ilustración 176. Índice de cambio del número total de individuos de verderón común contabilizados anualmente en el Parque Nacional de las Islas Atlánticas de Galicia

Durante los primeros años de seguimiento, la especie presentaba una presencia muy reducida en el parque nacional, con estimas cercanas a cuatro individuos por campaña. Sin embargo, en los últimos años se ha registrado un notable incremento, alcanzando un máximo de 43 ejemplares en 2022. En la campaña actual se han detectado 15 individuos, lo que supone multiplicar por cinco los valores del año de referencia.

Mientras que en otros programas de seguimiento la especie mantiene una tendencia estable (Escandell *et al.* 2023, ICO 2025), los resultados obtenidos en el parque nacional sugieren la existencia de condiciones especialmente favorables que estarían incentivando su expansión local y el aumento de su población reproductora.

Incremento moderado

Verderón común (*Chloris chloris*) Tendencia (2012-2025): +2,6%

Durante los primeros años de muestreo existieron variaciones interanuales significativas de su abundancia, pero desde 2017 parece estar experimentando un **INCREMENTO MODERADO*** de su abundancia primaveral en el parque nacional.

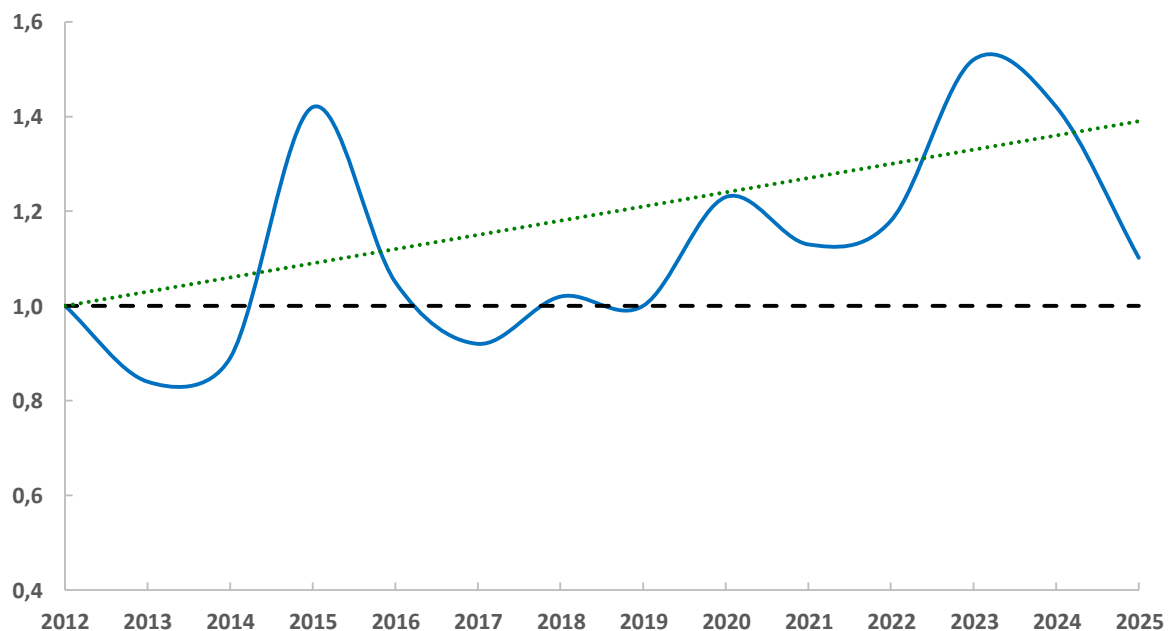


Ilustración 177. Índice de cambio del número total de individuos de verderón común contabilizados anualmente en el Parque Nacional de las Islas Atlánticas de Galicia

En 2023 se alcanzó su máximo histórico con una estimación por encima de los 200 ejemplares. Aunque este año las citas se han reducido, todavía se encuentran un 10% por encima de los registros obtenidos en la campaña de referencia.

La tendencia observada en el parque nacional contrasta claramente con la evolución registrada en otros programas de seguimiento. A escala nacional, la especie mantiene una población estable (Escandell *et al.* 2023), mientras que en Cataluña se describe un descenso significativo de sus efectivos (ICO 2025).

El retroceso detectado durante la presente campaña sitúa los valores de abundancia próximos a los obtenidos en los primeros años de seguimiento. Por ello, resulta necesario prolongar la serie temporal con nuevas campañas que permitan confirmar si esta tendencia refleja un cambio real en la dinámica poblacional o responde a fluctuaciones puntuales.

Incremento moderado

Pinzón vulgar (*Fringilla coelebs*) Tendencia (2012-2025): +10,8%

La serie temporal muestra una evolución irregular, pero con una tendencia general de **INCREMENTO MODERADO****. Durante la primera mitad del periodo (2012-2019) se observan valores bajos y fluctuantes, con varios años consecutivos de abundancia reducida. A partir de 2020 se produce un aumento acusado en las estimas, alcanzándose los valores más altos de toda la serie entre 2022 y 2024, con máximos superiores al triple del valor inicial.

Aunque en 2025 se registra un descenso respecto a los picos anteriores, las cifras siguen situándose por encima de las obtenidas en los primeros años, lo que confirma una tendencia positiva y sostenida en la evolución poblacional de la especie dentro del periodo analizado.

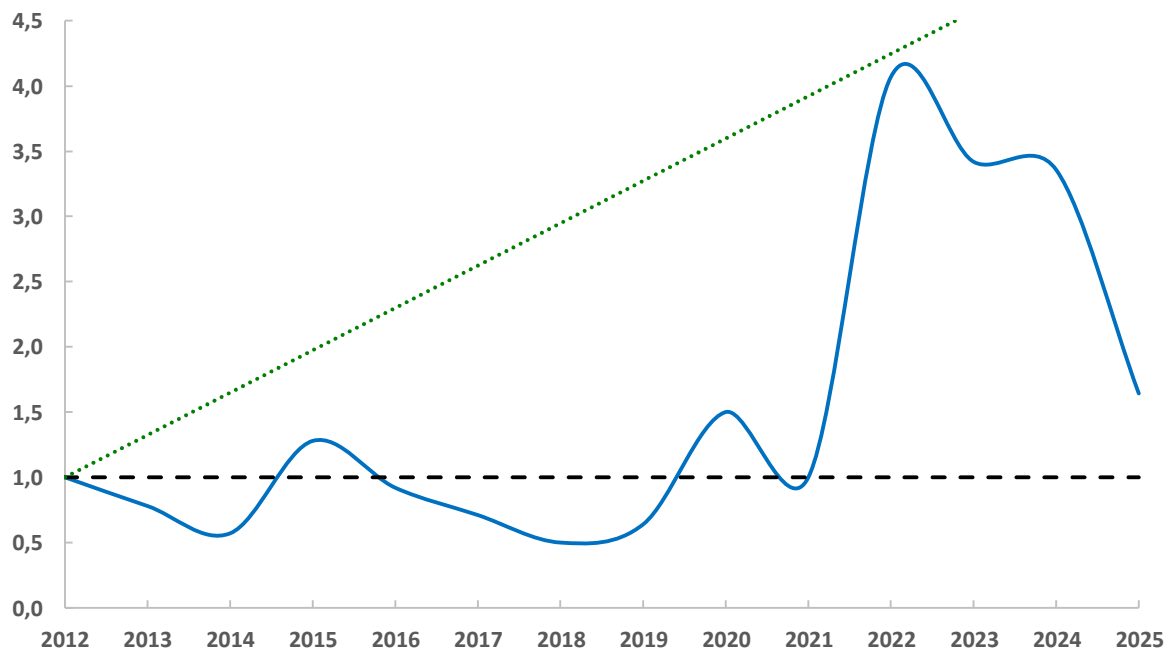


Ilustración 178. Índice de cambio del número total de individuos de pinzón vulgar contabilizados anualmente en el Parque Nacional de las Islas Atlánticas de Galicia

Los resultados son coherentes con las tendencias observadas en los programas de seguimiento nacional y catalán, donde también se constata un incremento de la población reproductora (Escandell *et al.* 2023, ICO 2025). Por ello, no puede descartarse que el aumento registrado en el parque responda a una dinámica general de expansión de la especie, más que a factores locales o a condiciones especialmente favorables dentro de sus límites.

Incremento moderado

Acentor común (*Prunella modularis*) Tendencia (2012-2025): +4,3%

Salvo la primavera del año 2015, los datos de abundancia de acentor común se han mantenido relativamente estables en torno a los valores obtenidos en el año de comparación. Sin embargo, durante la pasada campaña y en esta, el número de individuos ha aumentado notablemente, siendo un 70% superior a la estimada en 2012. Estos valores finales tan elevados probablemente hayan determinado que la tendencia resultante sea considerada como de **INCREMENTO MODERADO****.

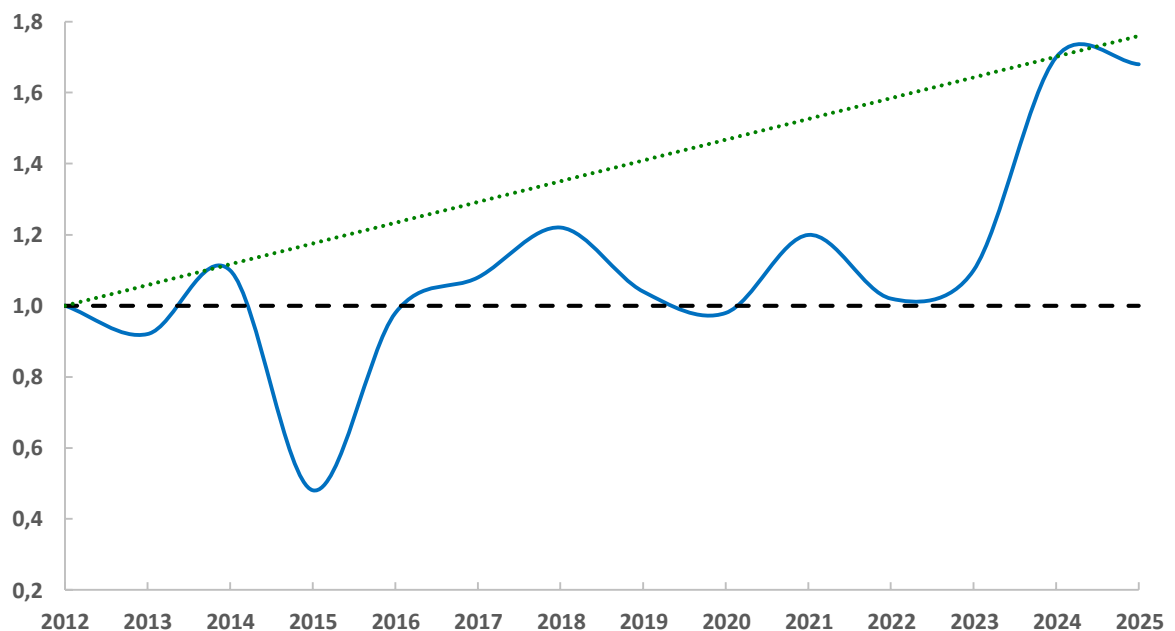


Ilustración 179. Índice de cambio del número total de individuos de acentor común contabilizados anualmente en el Parque Nacional de las Islas Atlánticas de Galicia

Resulta necesario extender la serie temporal con el fin de confirmar si esta tendencia alcista se mantiene puesto que en otros seguimientos a largo plazo su dinámica poblacional permanece estable (Escandell *et al.* 2023) o en ligero retroceso (ICO 2025).

Fuerte incremento

Jilguero europeo (*Carduelis carduelis*) Tendencia (2012-2025): +12,6%

En los primeros años de seguimiento se registraban en torno a medio centenar de ejemplares de jilguero europeo. Tras alcanzar su valor mínimo en 2015, la población ha mostrado un crecimiento continuado, especialmente acusado en las campañas más recientes, en las que los recuentos superan ampliamente el centenar de individuos. En consecuencia, la especie se considera que está experimentando un **FUERTE INCREMENTO*** de su población reproductora.

La campaña actual refleja un aumento de la abundancia del más del doble con respecto a la registrada en el año de referencia.

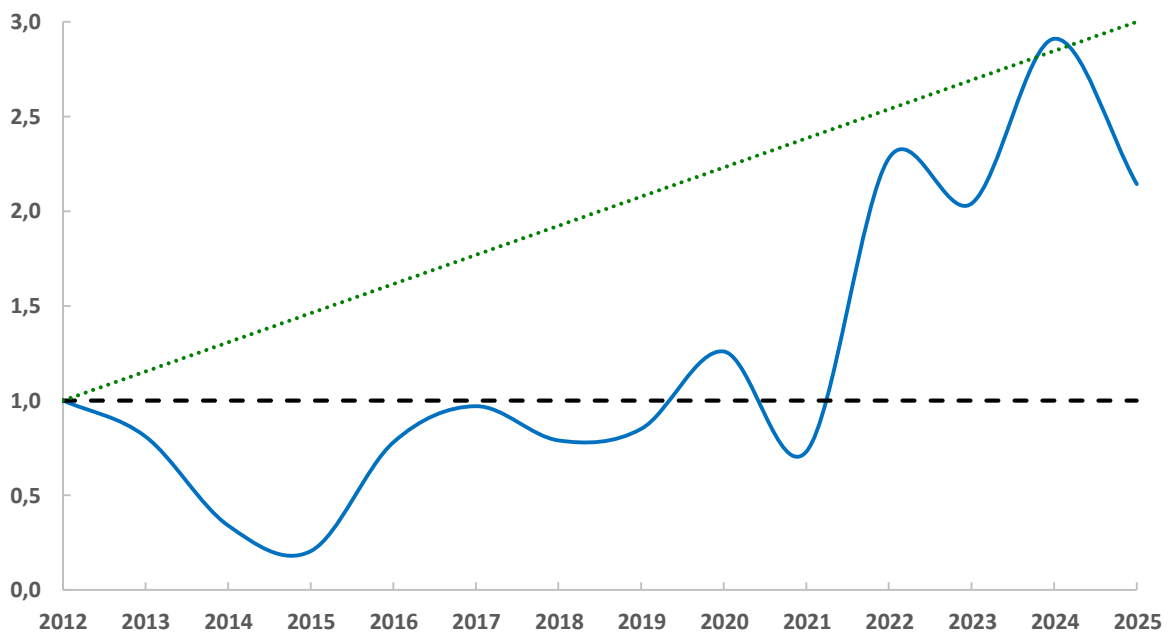


Ilustración 180. Índice de cambio del número total de individuos de jilguero europeo contabilizados anualmente en el Parque Nacional de las Islas Atlánticas de Galicia

Este resultado muestra una tendencia contraria a la encontrada en otros trabajos de seguimiento realizados en la actualidad. Así, en Cataluña la situación del jilguero europeo se considera estable en la última década (ICO 2025), mientras que, a nivel nacional, se ha encontrado una dinámica negativa, con un ligero descenso de su población reproductora (Escandell *et al.* 2023).

Por lo tanto, la tendencia observada en el parque nacional es particular y puede responder a factores intrínsecos del espacio protegido.

Fuerte incremento

Tarabilla europea (*Saxicola rubicola*) Tendencia (2012-2025): +12,8%

Se pueden distinguir tres etapas en la dinámica poblacional de la tarabilla europea a lo largo del periodo analizado. En una primera fase, entre 2012 y 2014, se contabilizaban unos 20 individuos por temporada. Posteriormente, entre 2015 y 2021, los registros se duplicaron y se registraban del orden de 40 individuos al año. Desde esa fecha hasta la presente campaña, su abundancia se ha vuelto a incrementar y actualmente se contabilizan del orden del centenar de ejemplares, lo que supone un incremento del 350% con respecto a los valores iniciales. Esta evolución se ajusta estadísticamente a una tendencia temporal de **FUERTE INCREMENTO**** de su población reproductora.

Otros seguimientos realizados a mayor escala no muestran la misma tendencia. Tanto en Cataluña como a nivel estatal, se observa que la especie mantiene estable su contingente reproductor en la última década (Escandell *et al.* 2023, ICO 2025), e incluso se consideraría en retroceso si se tuviera en cuenta toda la serie temporal (aproximadamente ambas iniciadas en torno al año 2000). Por lo tanto, los motivos de este notable aumento poblacional cabrían buscarlos dentro de los límites del parque nacional.

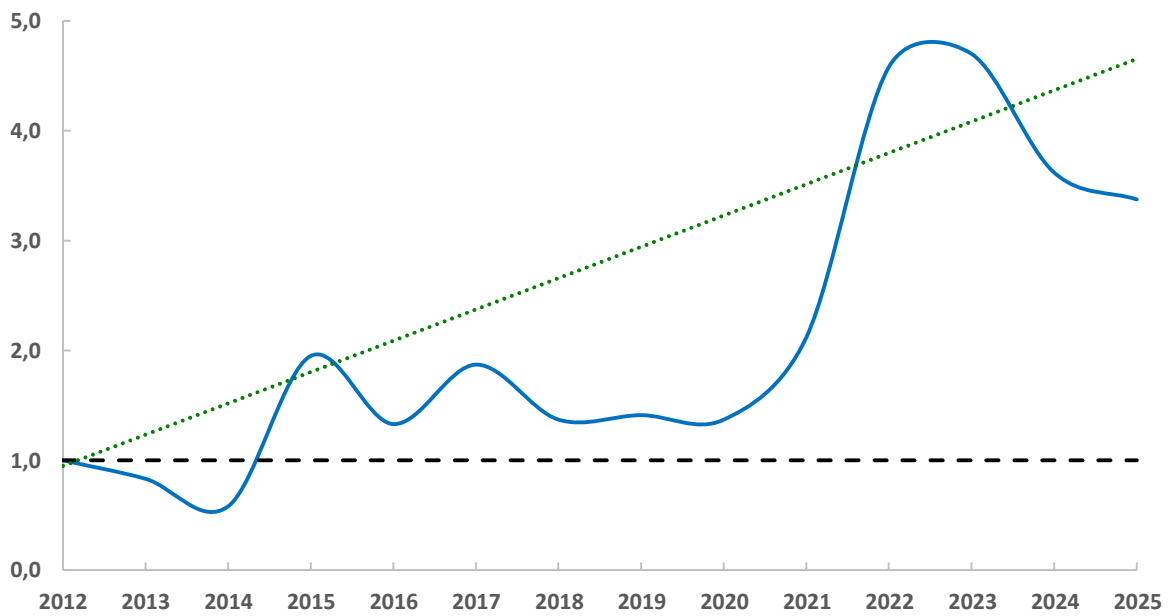


Ilustración 181. Índice de cambio del número total de individuos de tarabilla europea contabilizados anualmente en el Parque Nacional de las Islas Atlánticas de Galicia

Tendencia por hábitat

El paisaje está dominado por matorrales de tojo y brezo (34 puntos de muestreo), aunque existen zonas ricas en masa forestal (16 puntos), zonas de influencia agrícola (7) y áreas de escasa vegetación (3). Este último enclave, por su escasa representatividad y datos insuficientes, no se ha tenido en cuenta en posteriores análisis. Cuando se analiza separadamente los distintos ambientes se encuentra que la riqueza de especies no sigue la misma evolución en todos ellos.

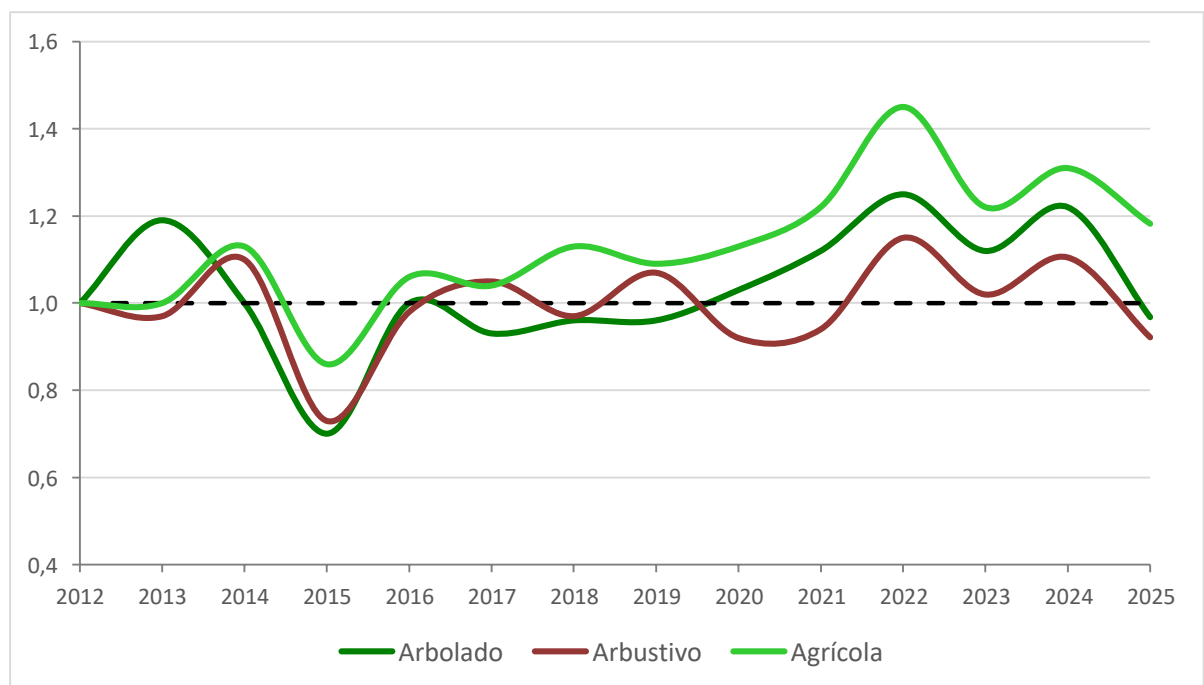


Ilustración 182. Índice de cambio del número especies contabilizadas anualmente en los distintos hábitats del Parque Nacional de las Islas Atlánticas de Galicia

Mientras que los enclaves forestales y arbustivos siguen la misma tendencia general, es decir, el número de taxones que se identifican anualmente se mantiene **ESTABLE** en el tiempo, en el enclave agrícola se registra un **INCREMENTO MODERADO**** estadísticamente significativo, con una tasa positiva promedio del 2,3% anual, los que sugiere cambios significativos con respecto a las condiciones iniciales del muestreo.

Cuando se considera la abundancia total de individuos los análisis muestran que los hábitats arbolado y agrícola siguen una dinámica poblacional **ESTABLE**, mientras que las zonas de matorral ofrecen una tendencia **INCIERTA**.

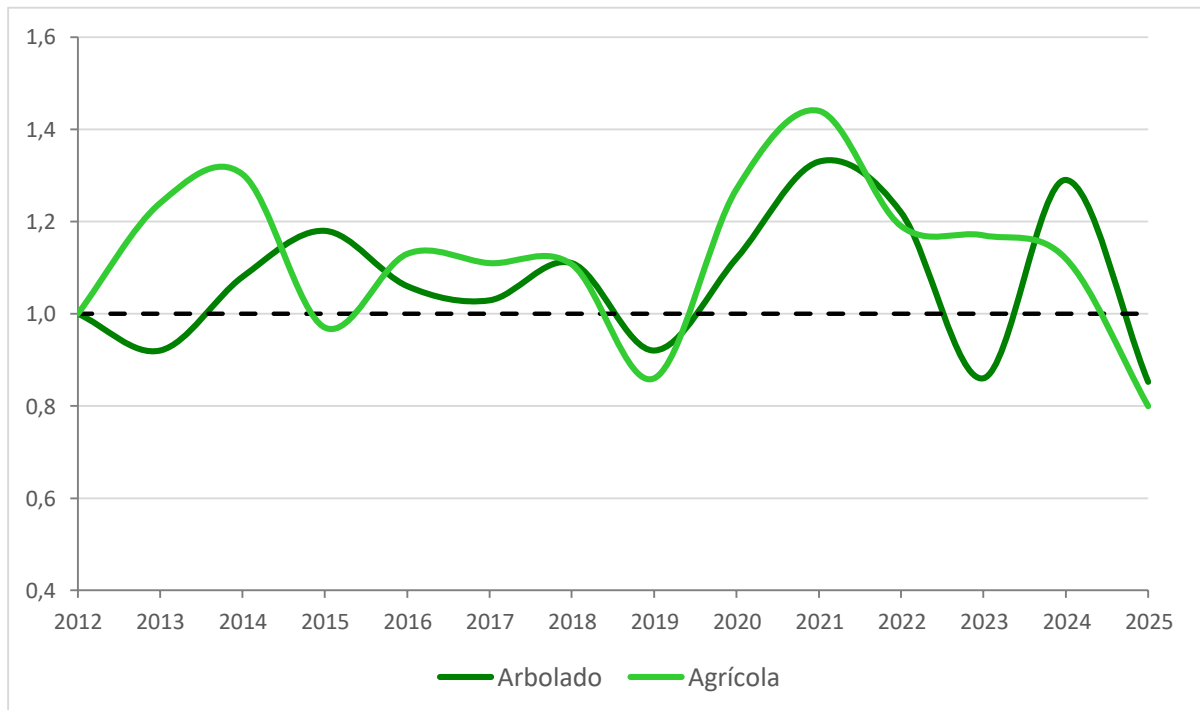


Ilustración 183. Índice de cambio del número total de aves contabilizadas anualmente en los distintos hábitats del Parque Nacional de las Islas Atlánticas de Galicia

Resulta llamativo que ninguno de los hábitats analizados muestre una tendencia descendente en el número de efectivos reproductores, pese a que el patrón general se ha calificado como de descenso moderado. Esta aparente discrepancia podría explicarse por la influencia diferencial de la gaviota patiamarilla en los distintos tipos de hábitat.

En los puntos de muestreo forestales y agrícolas, las observaciones de este lárido son escasas y con un número reducido de individuos, por lo que las disminuciones registradas en las últimas campañas apenas han afectado al total de aves censadas, amortiguando así el resultado global y manteniendo una tendencia estable.

En cambio, en los ambientes arbustivos el número de gaviotas registradas es muy elevado, alcanzando en ocasiones valores superiores al millar en un solo itinerario. En este caso, la drástica reducción de individuos ha generado fuertes variaciones interanuales y los datos no se ajustan estadísticamente a ninguna tendencia definida, clasificando como de tendencia incierta.

Se ha analizado la tendencia poblacional conjunta de ciertas aves como representativas de los hábitats forestal (pico picapinos, carbonero común y reyezuelo listado), arbustivo (curruca capirotada y zorzal común) y agrícola (serín verdecillo y pardillo común).

Únicamente las especies propias de ambientes boscosos han mostrado una dinámica poblacional estadísticamente significativa, apreciándose cómo su abundancia se mantiene **ESTABLE** a lo largo del periodo de estudio, sugiriendo la ausencia de cambios sustanciales en el ecosistema.

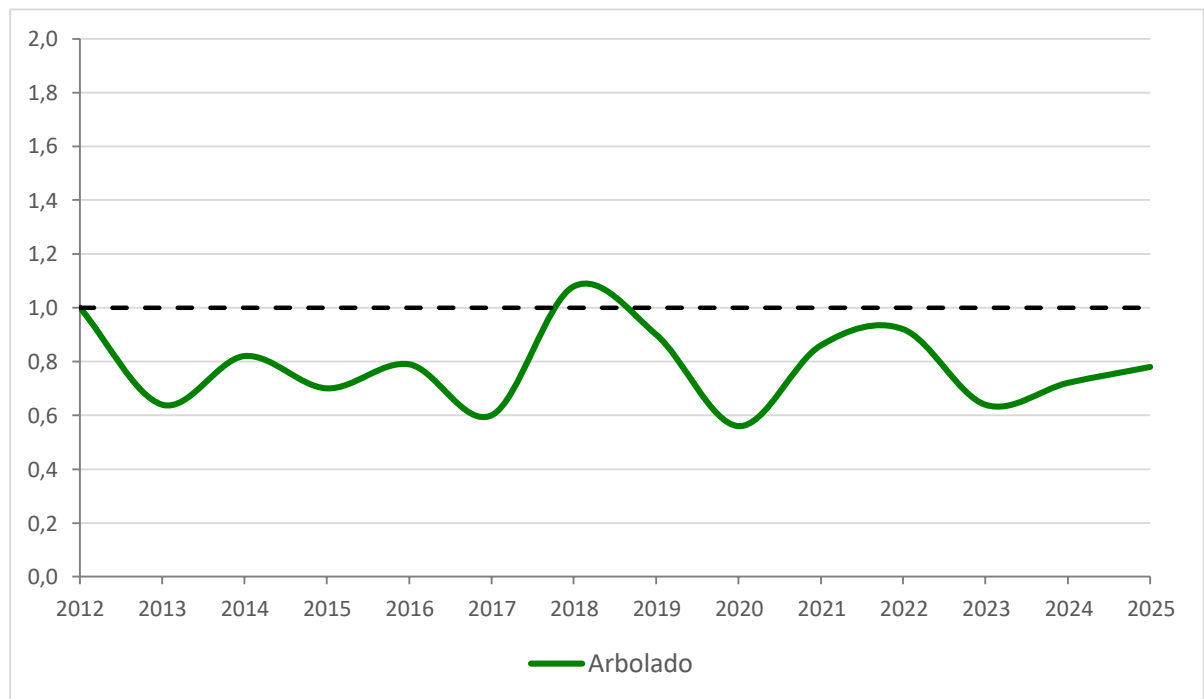


Ilustración 184. Índice de cambio del número total de individuos de especies representativas del hábitat arbolado en el Parque Nacional de las Islas Atlánticas de Galicia.

Parque Nacional de Monfragüe

En el parque nacional de Monfragüe se ha contabilizado un total de 3.312 individuos pertenecientes a 66 especies distintas de aves. Nuevamente, la especie más abundante durante la presente campaña ha sido, con diferencia, el avión común.

Tabla 14. Especies y número de individuos contabilizados en el Parque Nacional de Monfragüe en primavera de 2025.

| NOMBRE CIENTÍFICO | NOMBRE COMÚN | INDIVIDUOS |
|--------------------------------------|------------------------|------------|
| <i>Aegithalos caudatus</i> | Mito común | 60 |
| <i>Aegypius monachus</i> | Buitre negro | 31 |
| <i>Alcedo atthis</i> | Martín pescador común | 1 |
| <i>Alectoris rufa</i> | Perdiz roja | 42 |
| <i>Apus caffer</i> | Vencejo cafre | 3 |
| <i>Carduelis carduelis</i> | Jilguero europeo | 42 |
| <i>Cecropis daurica</i> | Golondrina dáurica | 21 |
| <i>Certhia brachydactyla</i> | Agateador europeo | 77 |
| <i>Cettia cetti</i> | Cetia ruiseñor | 3 |
| <i>Chloris chloris</i> | Verderón común | 7 |
| <i>Ciconia nigra</i> | Cigüeña negra | 2 |
| <i>Coccothraustes coccothraustes</i> | Picogordo común | 30 |
| <i>Columba livia</i> | Paloma bravía | 80 |
| <i>Columba palumbus</i> | Paloma torcaz | 102 |
| <i>Corvus corax</i> | Cuervo grande | 10 |
| <i>Cuculus canorus</i> | Cuco común | 18 |
| <i>Cyanistes caeruleus</i> | Herrerillo común | 90 |
| <i>Cyanopica cookii</i> | Rabilargo ibérico | 19 |
| <i>Delichon urbicum</i> | Avión común | 730 |
| <i>Dendrocopos major</i> | Pico picapinos | 4 |
| <i>Emberiza calandra</i> | Escribano triguero | 26 |
| <i>Emberiza cia</i> | Escribano montesino | 5 |
| <i>Emberiza cirulus</i> | Escribano soteño | 10 |
| <i>Erithacus rubecula</i> | Petirrojo europeo | 71 |
| <i>Fringilla coelebs</i> | Pinzón vulgar | 363 |
| <i>Galerida theklae</i> | Cogujada montesina | 31 |
| <i>Garrulus glandarius</i> | Arrendajo euroasiático | 30 |
| <i>Gyps fulvus</i> | Buitre leonado | 340 |
| <i>Hippolais polyglotta</i> | Zarcero políglota | 6 |
| <i>Hirundo rustica</i> | Golondrina común | 2 |
| <i>Lanius meridionalis</i> | Alcaudón real | 1 |
| <i>Lanius senator</i> | Alcaudón común | 11 |
| <i>Linaria cannabina</i> | Pardillo común | 8 |
| <i>Lophophanes cristatus</i> | Herrerillo capuchino | 16 |

| NOMBRE CIENTÍFICO | NOMBRE COMÚN | INDIVIDUOS |
|--------------------------------|---------------------|------------|
| <i>Lullula arborea</i> | Alondra totovía | 61 |
| <i>Luscinia megarhynchos</i> | Ruiseñor común | 55 |
| <i>Merops apiaster</i> | Abejaruco europeo | 41 |
| <i>Milvus migrans</i> | Milano negro | 5 |
| <i>Monticola solitarius</i> | Roquero solitario | 10 |
| <i>Motacilla alba</i> | Lavandera blanca | 2 |
| <i>Motacilla cinerea</i> | Lavandera cascadeña | 1 |
| <i>Neophron percnopterus</i> | Alimoche común | 2 |
| <i>Oenanthe hispanica</i> | Collalba rubia | 4 |
| <i>Oriolus oriolus</i> | Oropéndola europea | 23 |
| <i>Parus major</i> | Carbonero común | 89 |
| <i>Passer domesticus</i> | Gorrión común | 130 |
| <i>Petronia petronia</i> | Gorrión chillón | 13 |
| <i>Phoenicurus ochruros</i> | Colirrojo tizón | 2 |
| <i>Picus sharpei</i> | Pito real ibérico | 6 |
| <i>Ptyonoprogne rupestris</i> | Avión roquero | 46 |
| <i>Saxicola rubicola</i> | Tarabilla europea | 6 |
| <i>Serinus serinus</i> | Serín verdecillo | 32 |
| <i>Sitta europaea</i> | Trepador azul | 6 |
| <i>Streptopelia decaocto</i> | Tórtola turca | 7 |
| <i>Streptopelia turtur</i> | Tórtola europea | 45 |
| <i>Sturnus unicolor</i> | Estornino negro | 32 |
| <i>Sylvia atricapilla</i> | Curruca capirotada | 29 |
| <i>Sylvia cantillans</i> | Curruca carrasqueña | 59 |
| <i>Sylvia hortensis</i> | Curruca mirlona | 20 |
| <i>Sylvia melanocephala</i> | Curruca cabecinegra | 96 |
| <i>Sylvia undata</i> | Curruca rabilarga | 24 |
| <i>Tachymarptis melba</i> | Vencejo real | 9 |
| <i>Troglodytes troglodytes</i> | Chochín paleártico | 26 |
| <i>Turdus merula</i> | Mirlo común | 134 |
| <i>Turdus viscivorus</i> | Zorzal charlo | 2 |
| <i>Upupa epops</i> | Abubilla | 3 |

Tendencias generales

La riqueza de especies que se contabilizan cada año en el parque nacional muestra pocas variaciones respecto al año de comparación. Salvo el máximo detectado en 2017 con 91 taxones y el mínimo registrado en esta campaña, los valores suelen distanciarse poco a lo largo de la serie temporal de un promedio cercano a las 75 especies, de manera que la variable se estima como ESTABLE.

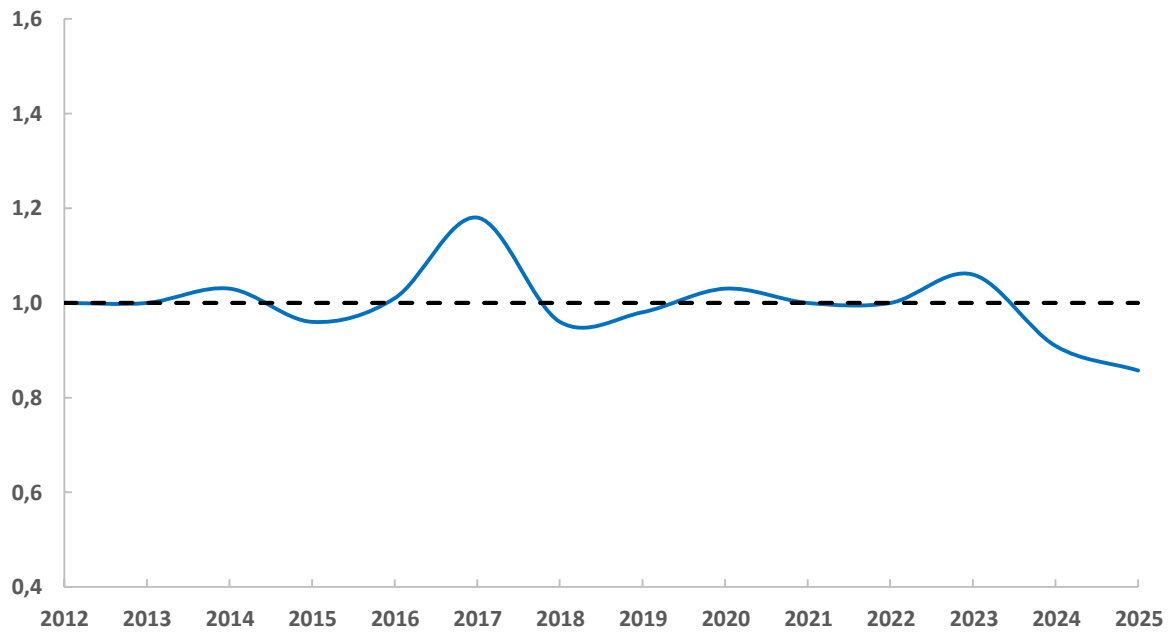


Ilustración 185. Índice de cambio del número total de especies detectadas anualmente en el Parque Nacional de Monfragüe

En ese mismo periodo comprendido entre 2012 y 2025, se observa una tendencia general de **INCREMENTO MODERADO**** en la abundancia total de aves, con una tasa promedio del 2,6% anual. Las fluctuaciones a lo largo de la serie temporal han sido importantes con un máximo relativo en 2017 y un descenso significativo en 2018. Desde entonces, la densidad de aves vuelve a aumentar de forma sostenida, alcanzando en 2025 uno de los valores más altos de todo el periodo analizado. En este sentido, el número de ejemplares contabilizados esta temporada resulta un 50% superior que al inicio del programa de seguimiento.

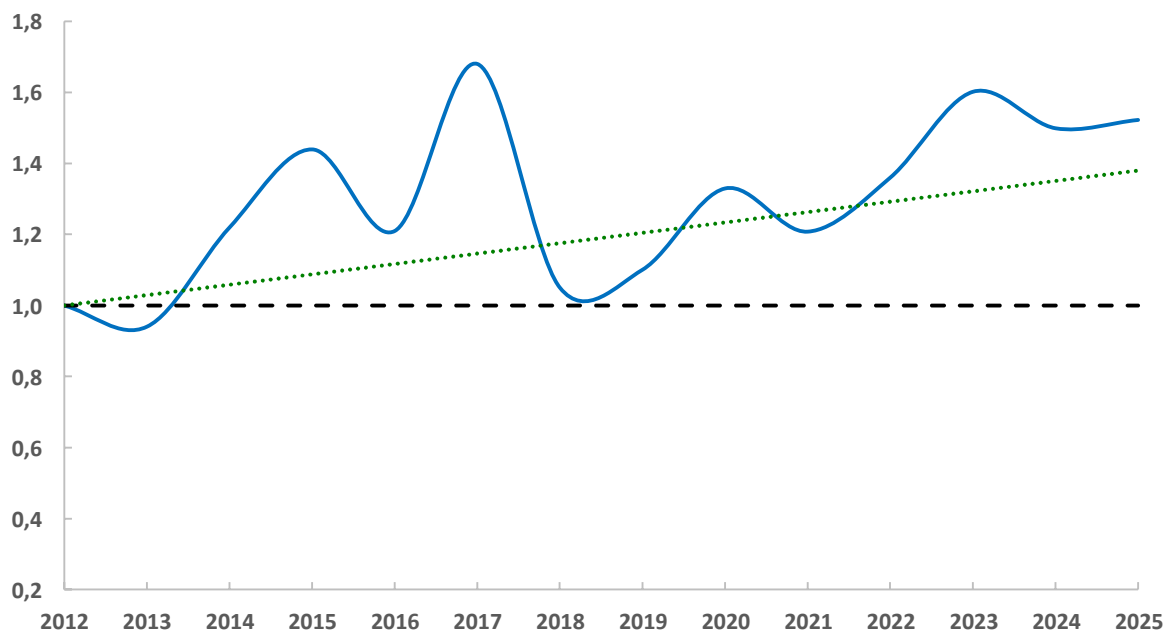


Ilustración 186. Índice de cambio del número total de individuos detectados anualmente en el Parque Nacional de Monfragüe

Tendencia por especies

Se ha examinado la tendencia poblacional para un total de 58 especies de aves para las cuales se disponía de datos suficientes de abundancia a lo largo de la serie temporal.

Para la mayor parte de ellas (40 especies; 69%) no existe una evolución clara del número de efectivos reproductores, siendo clasificadas como de tendencia incierta.

Son mayoritarias las especies que muestran un incremento de su población en primavera y, en menor medida, aquellas que se mantienen estables en el tiempo. Únicamente dos especies experimentan pérdida de efectivos reproductores.

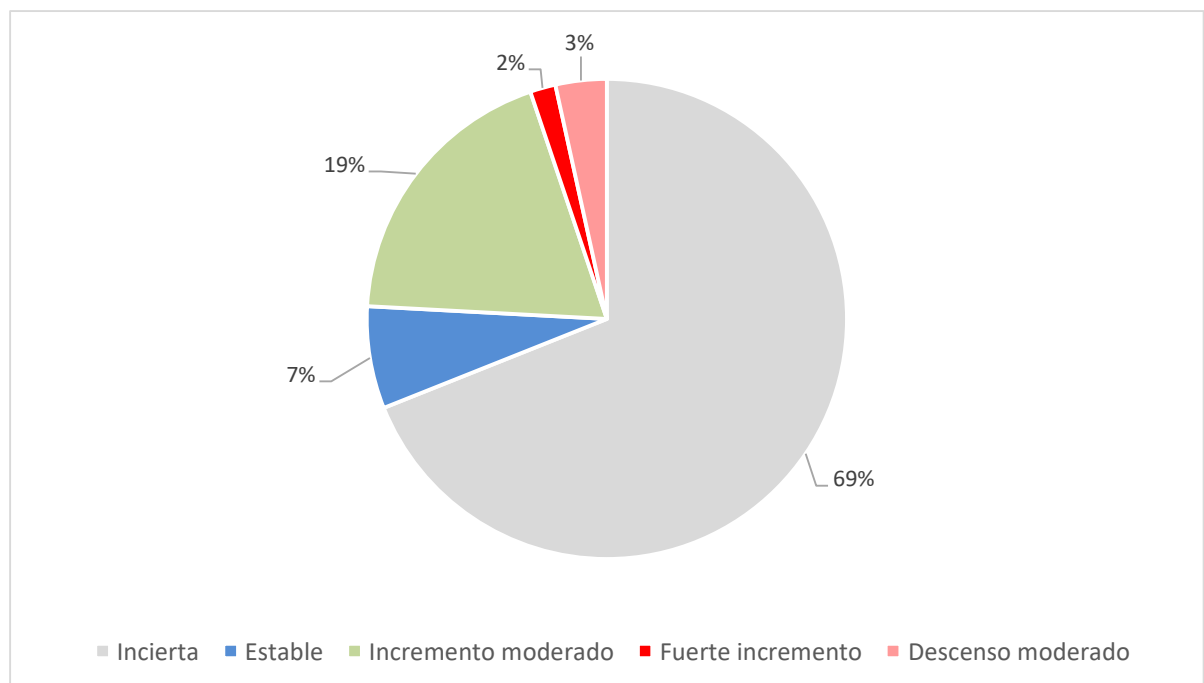


Ilustración 187. Proporción de tendencias poblacionales obtenidas en el Parque Nacional de Monfragüe

A continuación, se muestran las especies que mostraron variaciones poblacionales estadísticamente significativas según su tendencia.

Descenso moderado

Golondrina común (*Hirundo rustica*) Tendencia (2012-2025): -12,0%

La estima poblacional de la golondrina común en el parque nacional ha mostrado fuertes oscilaciones interanuales, especialmente durante los primeros años, cuando se alcanzaron máximos de 17 individuos en 2015 y mínimos de 3 en el año 2018. Aunque posteriormente se produjo nuevamente un incremento de su abundancia (en 2020 y 2021), ésta no alcanzó la magnitud de los valores iniciales. Desde entonces, se puede hablar de que la especie muestra un **DESCENSO MODERADO***. Este año y el pasado se ha alcanzado el mínimo histórico, con únicamente dos individuos contabilizados.

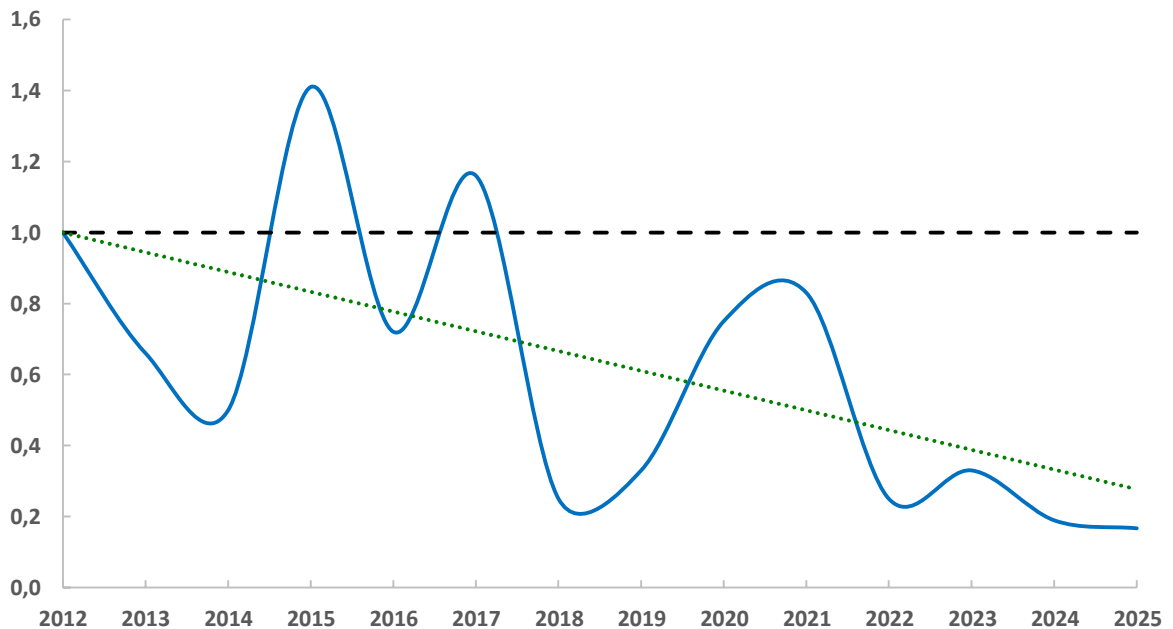


Ilustración 188. Índice de cambio del número total de individuos de golondrina común contabilizados anualmente en el Parque Nacional de Monfragüe

El resultado obtenido parece responder a la situación que está experimentando la especie a nivel general, más que a adversidades propias del parque nacional. En otros programas de seguimiento su tendencia también es negativa (Escandell *et al.* 2023, ICO 2025), si bien es cierto que en el conjunto del estado español su dinámica en los últimos años parece estable (Escandell *et al.* 2023).

Descenso moderado

Milano negro (*Milvus migrans*) Tendencia (2012-2025): -13,7%

Durante los primeros años (2012-2014) se observa un aumento pronunciado de los avistamientos de milano negro, alcanzando el valor máximo en 2014 con 74 ejemplares. A partir de ese punto, la abundancia experimenta una disminución progresiva, con un breve repunte en 2017 y otro en 2021, ambos insuficientes para revertir la tendencia negativa general.

Desde 2018, los valores se mantienen mayoritariamente por debajo de los obtenidos en el año de referencia, destacando los mínimos obtenidos en estas dos últimas temporadas que representan los niveles más bajos de toda la serie.

En conjunto, los resultados evidencian un **DESCENSO MODERADO*** pero sostenido en la población de la rapaz a lo largo del periodo de estudio. En la presente campaña se ha contabilizado cerca de un 85% menos de individuos que en 2012 (año de comparación).

La especie presenta una tendencia contraria a la observada en otros programas de seguimiento, como el desarrollado en Cataluña, donde muestra un marcado incremento (ICO 2025). A escala nacional, las estimaciones apuntan a una población estable o en ligero aumento (Blanco y Sergio 2022). En este contexto, el descenso detectado en el parque nacional podría deberse a factores

locales específicos, como la reducción de la disponibilidad trófica, la alteración del hábitat o la competencia con otras especies rapaces dentro del propio espacio protegido.

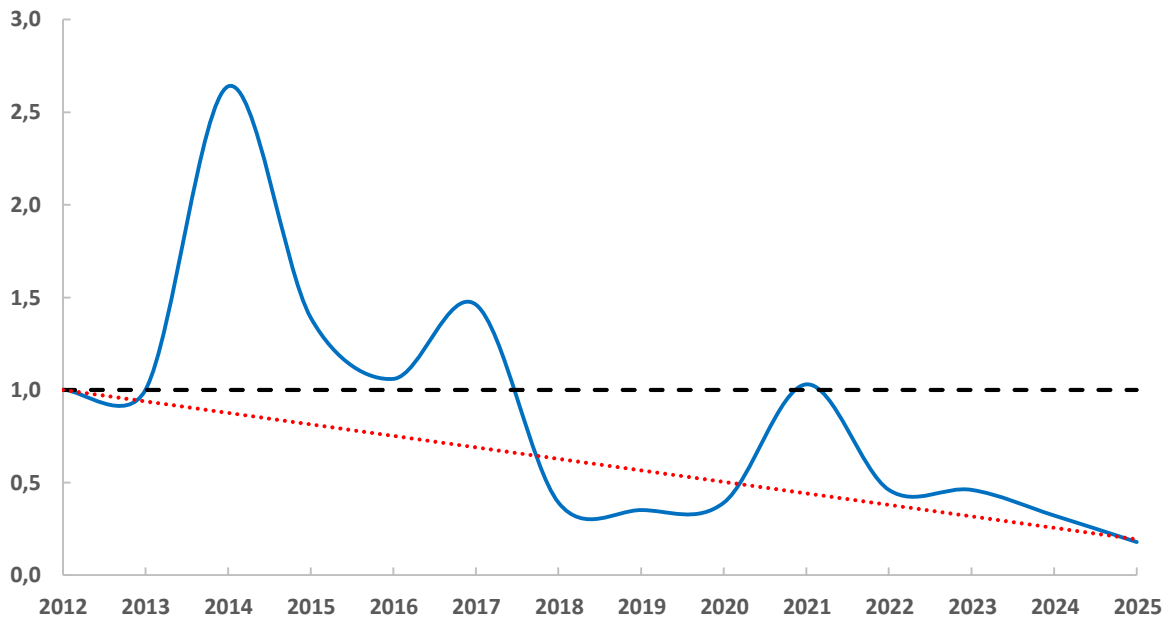


Ilustración 189. Índice de cambio del número total de individuos de milano negro contabilizados anualmente en el Parque Nacional de Monfragüe

Estable

Herrerillo común (*Cyanistes caeruleus*)

Tras unos primeros años con fluctuaciones importantes, en la actualidad su población se estima **ESTABLE**, con respecto a los valores iniciales.

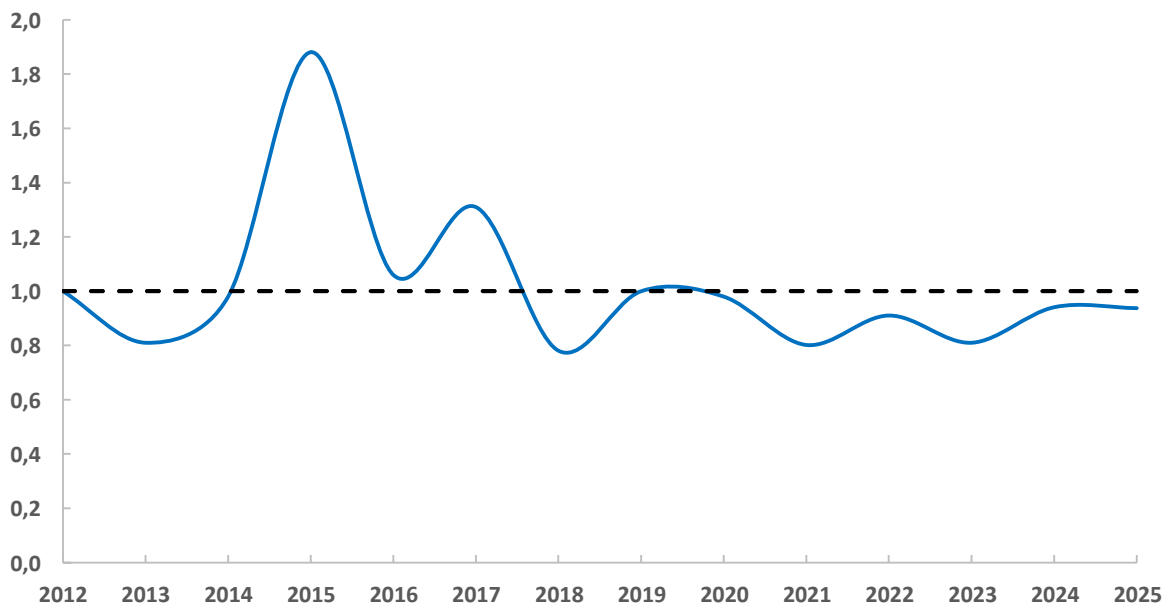


Ilustración 190. Índice de cambio del número total de individuos de agateador europeo contabilizados anualmente en el Parque Nacional de Monfragüe

En Cataluña se obtiene este mismo resultado (ICO 2025), aunque a nivel nacional se aprecia un ligero retroceso poblacional en la última década (Escandell *et al.* 2023).

Estable

Alondra totovía (*Lullula arborea*)

La especie presenta marcadas fluctuaciones interanuales en sus valores de abundancia, aunque hasta el momento tiende a recuperar las cifras iniciales, lo que permite considerarla una población **ESTABLE**. En Cataluña también se mantiene en equilibrio (ICO 2025), mientras que a escala peninsular los datos apuntan a un ligero incremento poblacional (Escandell *et al.* 2023).

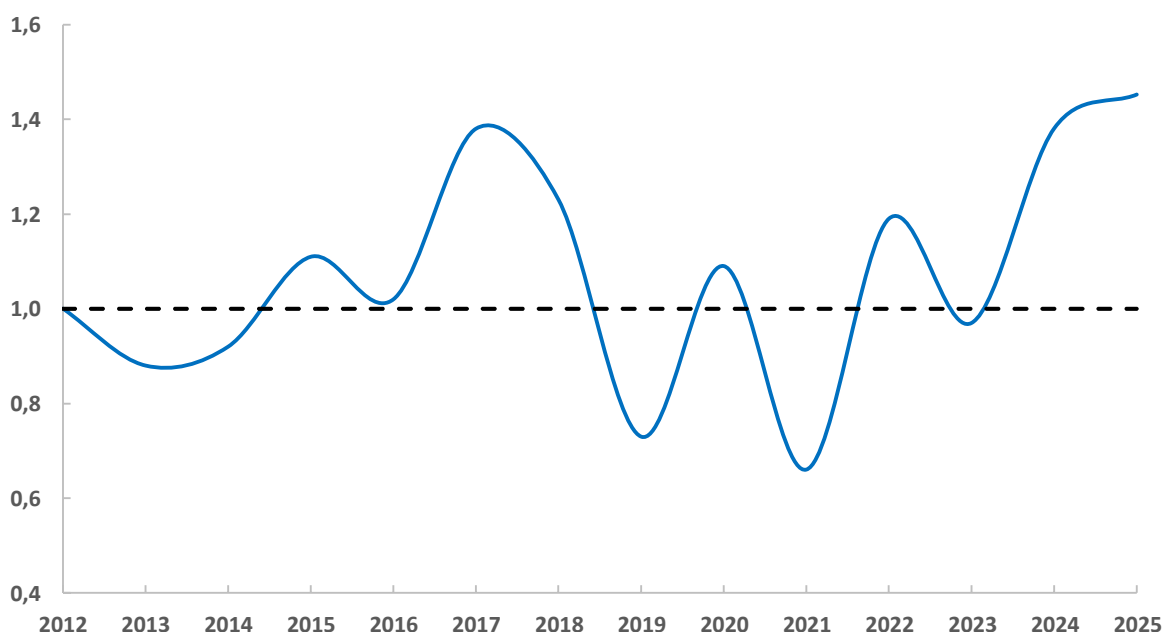


Ilustración 191. Índice de cambio del número total de individuos de alondra totovía contabilizados anualmente en el Parque Nacional de Monfragüe

Estable

Oropéndola europea (*Oriolus oriolus*)

La abundancia de la oropéndola europea a lo largo de la serie temporal refleja una tendencia **ESTABLE**, aunque con fluctuaciones interanuales notables que no se traducen en una variación sostenida ni claramente ascendente o descendente en el tiempo. Así, durante el primer tramo (2012–2015) se observa una cierta variabilidad, destacando el máximo de 2015, seguido de un descenso hacia niveles más moderados en los años posteriores.

Entre 2016 y 2025, la serie mantiene valores próximos a la media general, con pequeñas oscilaciones que evidencian una dinámica poblacional equilibrada, sin indicios de declive ni de crecimiento sostenido.

A nivel nacional y en Cataluña la situación de la especie es positiva, con estimas de incrementos poblacionales desde los inicios de los programas de seguimiento, si bien es cierto que, el análisis concreto de la última década en territorio catalán señala también hacia un mantenimiento constante de su población reproductora (Escandell *et al.* 2023, ICO 2025).

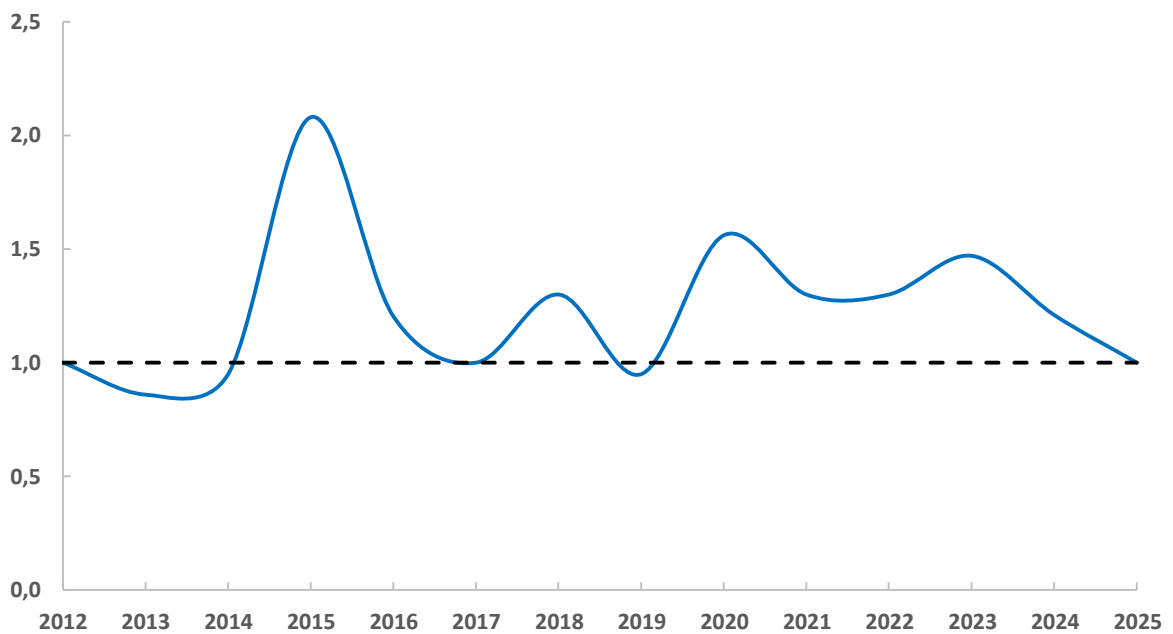


Ilustración 192. Índice de cambio del número total de individuos de oropéndola europea contabilizados anualmente en el Parque Nacional de Monfragüe

Estable

Mirlo común (*Turdus merula*)

La densidad del mirlo común ofrece pocas variaciones a lo largo del periodo estudiado, sin una evolución clara de cambio, por lo que su población reproductora se considera [ESTABLE](#).

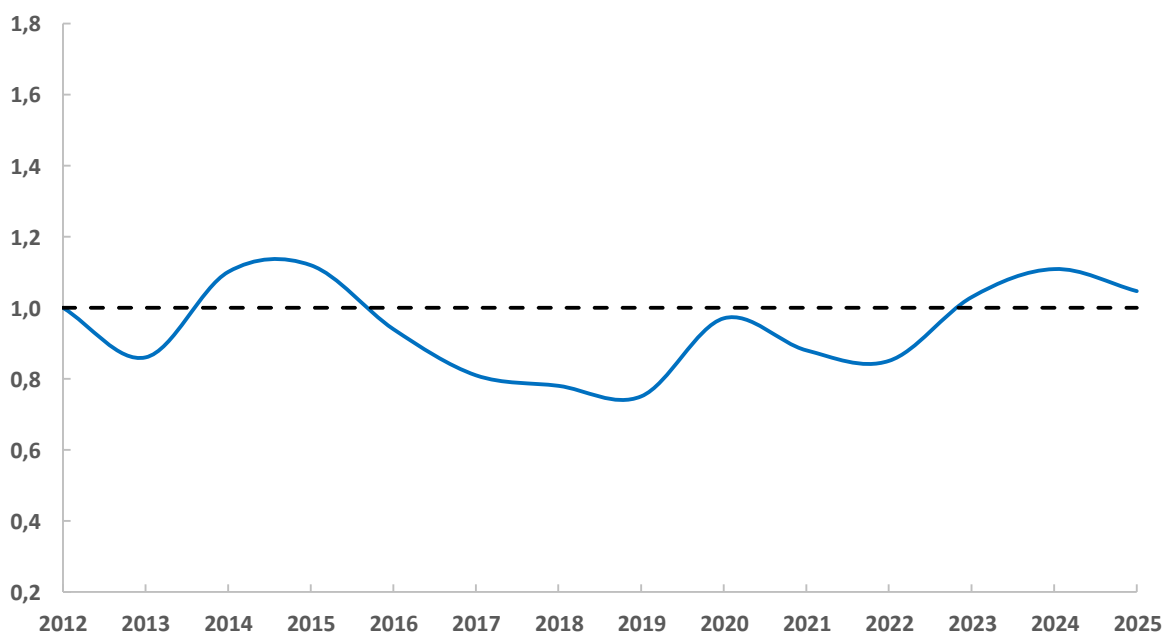


Ilustración 193. Índice de cambio del número total de individuos de mirlo común contabilizados anualmente en el Parque Nacional de Monfragüe

En Cataluña se obtiene este mismo resultado analizando la última década (ICO 2025), mientras que, a nivel nacional, el mirlo común parece estar al alza (Escandell *et al.* 2023).

Incremento moderado

Perdiz roja (*Alectoris rufa*) Tendencia (2012-2025): +4,0%

En 2015 se estimó la abundancia más baja de perdiz roja en el parque nacional. Posteriormente la especie experimentó una importante recuperación hasta alcanzar los valores iniciales y, tras una leve recaída en 2018, su densidad no ha dejado de aumentar, ajustándose a **INCREMENTO MODERADO***.

En los últimos años su población parece haberse estancado o disminuido ligeramente, pero su población sigue siendo superior a la obtenida al inicio del programa de seguimiento, concretamente cerca de un 30% mayor de la que se existía en 2012.

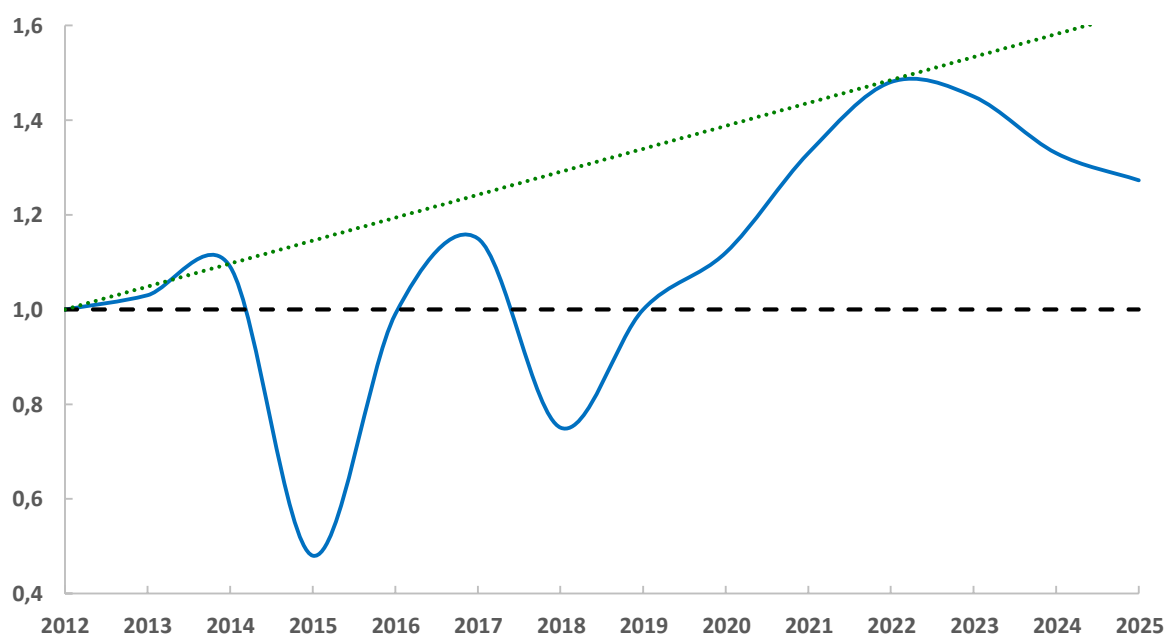


Ilustración 194. Índice de cambio del número total de individuos de perdiz roja contabilizados anualmente en el Parque Nacional de Monfragüe

Paradójicamente, las estimaciones de la dinámica poblacional de la especie a nivel nacional y en Cataluña ofrecen resultados opuestos, con un claro retroceso de su contingente reproductor (Escandell *et al.* 2023, ICO 2025), sugiriendo influencias positivas dentro del parque nacional.

Incremento moderado

Agateador europeo (*Certhia brachydactyla*) Tendencia (2012-2025): +3,2%

Las estimas de densidad del agateador europeo fueron relativamente estables en los primeros compases de la serie temporal, con ligeras oscilaciones interanuales. Sin embargo, tras la campaña del año 2021, el recuento de individuos ha crecido de manera sostenida, hasta el punto de que, en la presente temporada, se ha estimado una población reproductora que duplica a la inicial. En este sentido, los valores se ajustan estadísticamente a un **INCREMENTO MODERADO****.

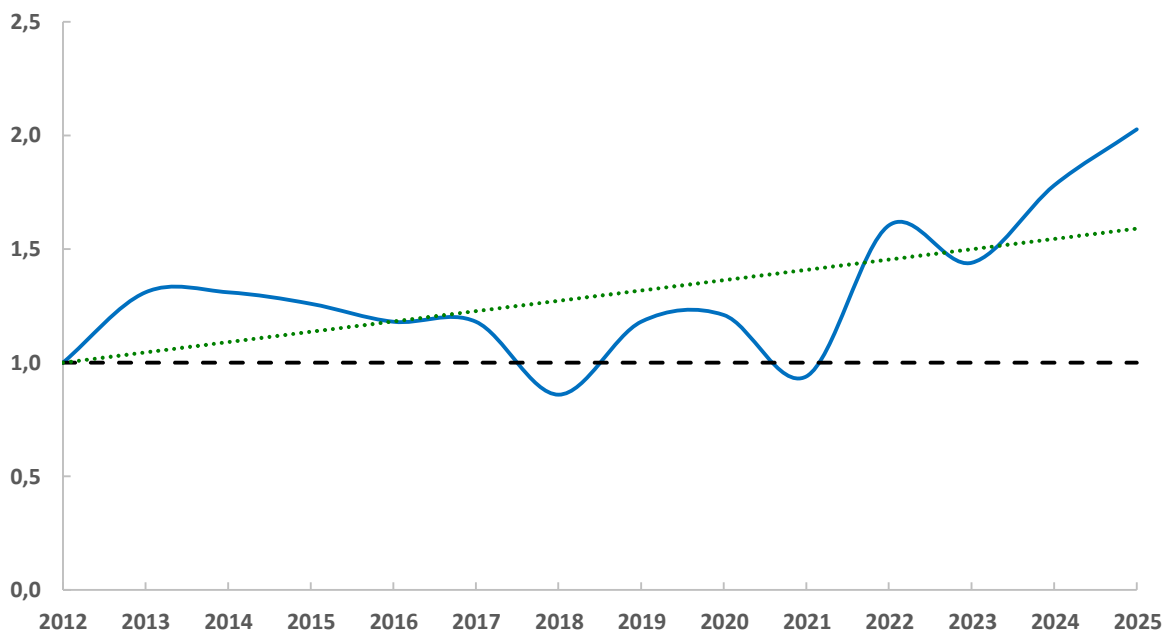


Ilustración 195. Índice de cambio del número total de individuos de agateador europeo contabilizados anualmente en el Parque Nacional de Monfragüe

La tendencia positiva encontrada en el parque nacional se ajusta al mismo proceso de crecimiento de efectivos reproductores que está experimentando la especie a gran escala en la última década, al menos, en Cataluña y a nivel nacional (Escandell *et al.* 2023, ICO 2025), lo que no permite atribuir su aumento poblacional exclusivamente a características ambientales de este espacio protegido.

Incremento moderado

Paloma torcaz (*Columba palumbus*) Tendencia (2012-2025): +5,9%

La paloma torcaz muestra un **INCREMENTO MODERADO**** y estadísticamente significativo de sus efectivos reproductores dentro del parque nacional. A lo largo de la serie temporal analizada, se aprecia una evolución claramente ascendente, con las oscilaciones normales derivadas de la propia dinámica poblacional, pero sin interrupciones destacables en la tendencia general de crecimiento. Este aumento ha sido gradual y sostenido, reflejando una expansión favorable de la especie en el área de estudio. En la actualidad, la población reproductora se estima en algo más del doble de la registrada en 2012, lo que confirma una consolidación progresiva de la especie en el parque nacional.

Como en el caso anterior, también en otros programas de seguimiento se obtiene esta tendencia favorable. Tanto en los trabajos llevados a cabo a nivel nacional como particularmente en Cataluña, la especie muestra un aumento de su población reproductora (Escandell *et al.* 2023, ICO 2025), por lo que no es descartable que la dinámica encontrada responda a aspectos de un ámbito geográfico mayor.

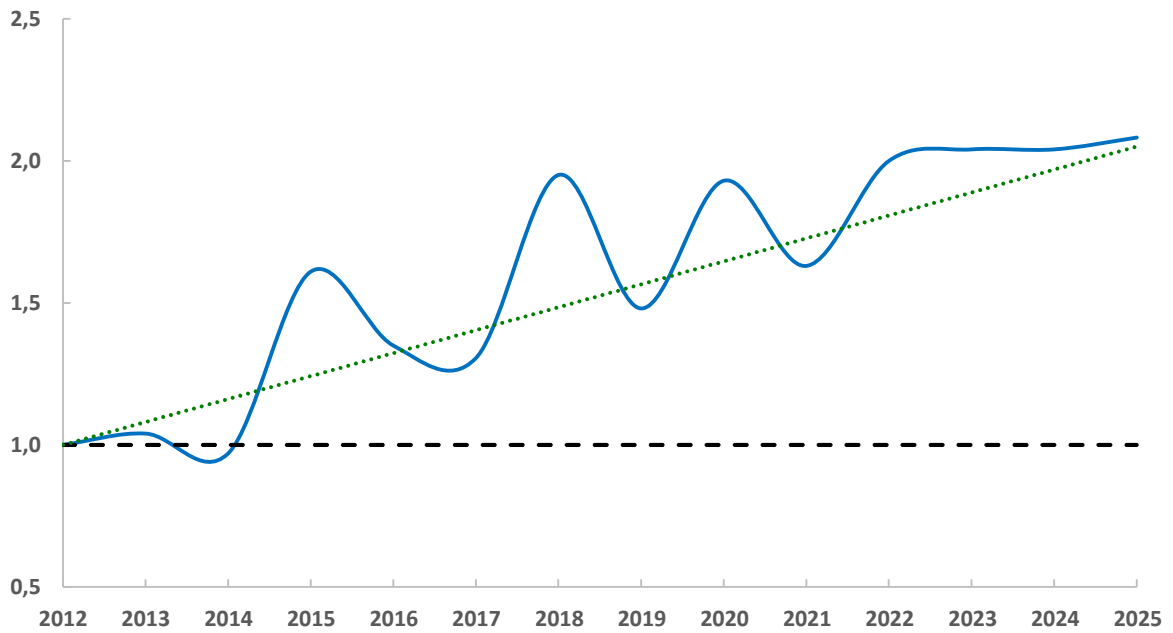


Ilustración 196. Índice de cambio del número total de individuos de paloma torcaz contabilizados anualmente en el Parque Nacional de Monfragüe

Incremento moderado

Petirrojo europeo (*Erithacus rubecula*) Tendencia (2012-2025): +4,9%

Se estima que la población reproductora del petirrojo europeo muestra un **INCREMENTO MODERADO**** en el parque nacional.

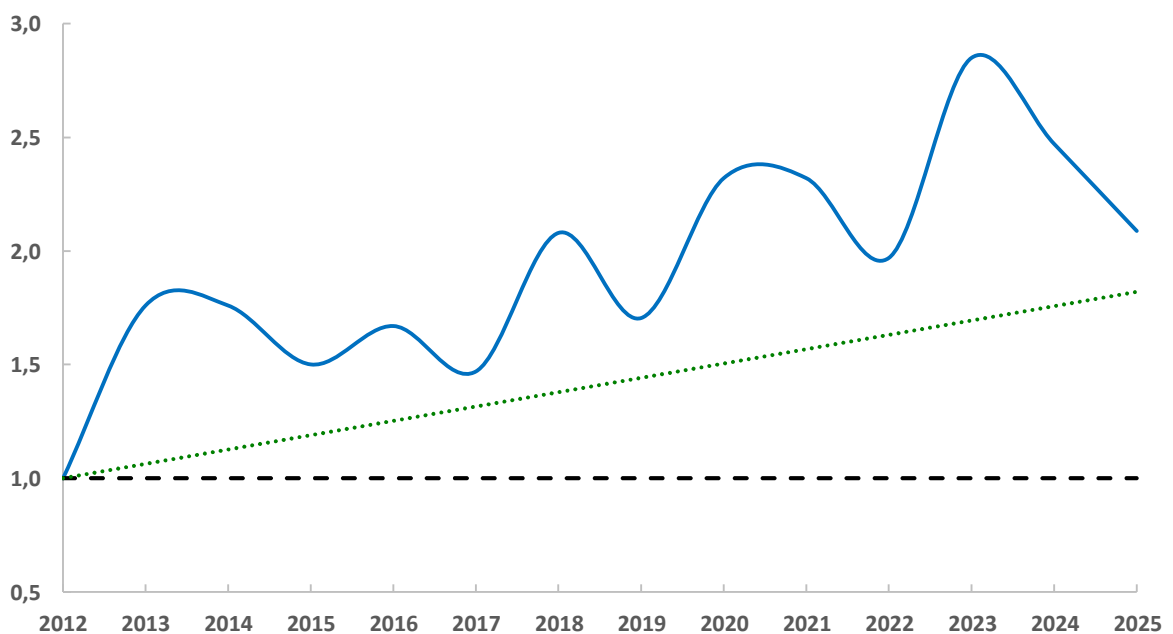


Ilustración 197. Índice de cambio del número total de individuos de petirrojo europeo contabilizados anualmente en el Parque Nacional de Monfragüe

En los primeros años (2012–2017) se observa cierta variabilidad en la densidad, sin una dirección clara, con valores que oscilan entre 34 y 60 individuos. A partir de 2018, sin embargo, comienza

una etapa de crecimiento más definido, con un aumento progresivo y sostenido, intercalado por ligeras fluctuaciones anuales.

El valor máximo se registra en 2023 (97 ejemplares), seguido de una ligera reducción en 2024 y 2025, que no altera la tendencia ascendente global.

La tendencia ascendente observada en este estudio concuerda con los incrementos poblacionales registrados en Cataluña y en el conjunto del territorio nacional (Escandell *et al.* 2023, ICO 2025). Esta coincidencia refuerza la interpretación del crecimiento como un fenómeno generalizado y sostenido en los últimos años.

Incremento moderado

Pinzón vulgar (*Fringilla coelebs*) Tendencia (2012-2025): +5,5%

El pinzón vulgar muestra un **INCREMENTO MODERADO**** de su población nidificante en el parque. Durante los primeros años (2012–2019) se aprecia una fase inicial de estabilidad relativa, con ligeras oscilaciones en torno a valores próximos a 67 ejemplares. A partir de 2020, la serie tiene un cambio claro de tendencia, iniciándose un crecimiento continuo y más acusado, que se mantiene hasta el final del periodo analizado.

El valor máximo se registra en esta última temporada, con una estima que supone más del doble del valor de partida en 2012.

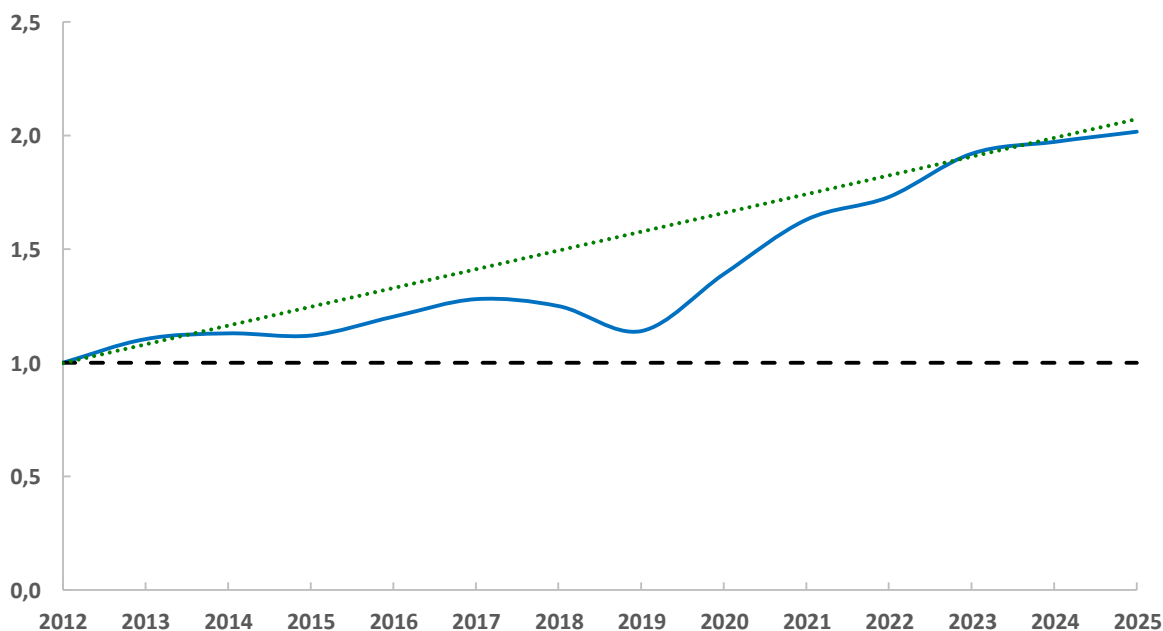


Ilustración 198. Índice de cambio del número total de individuos de pinzón vulgar contabilizados anualmente en el Parque Nacional de Monfragüe

La coincidencia de esta tendencia con la observada a nivel nacional y en Cataluña (Escandell *et al.* 2023, ICO 2025) puede explicarse por la influencia de factores ambientales y ecológicos comunes que están favoreciendo la expansión de la especie en amplias zonas de su área de distribución y que, por lo tanto, no se circunscriben exclusivamente a los límites del parque nacional.

Incremento moderado

Ruiseñor común (*Luscinia megarhynchos*) Tendencia (2012-2025): +5,7%

La abundancia de la especie estuvo marcada en sus inicios por oscilaciones interanuales importantes, alcanzándose en 2015 su valor histórico más bajo con 19 individuos. A partir de aquí, el ruiseñor común ha experimentado un **INCREMENTO MODERADO****, doblando prácticamente su población reproductora en el periodo de estudio, especialmente en las últimas temporadas. Actualmente, la estima actual resulta cerca de un 72% superior a la inicial.

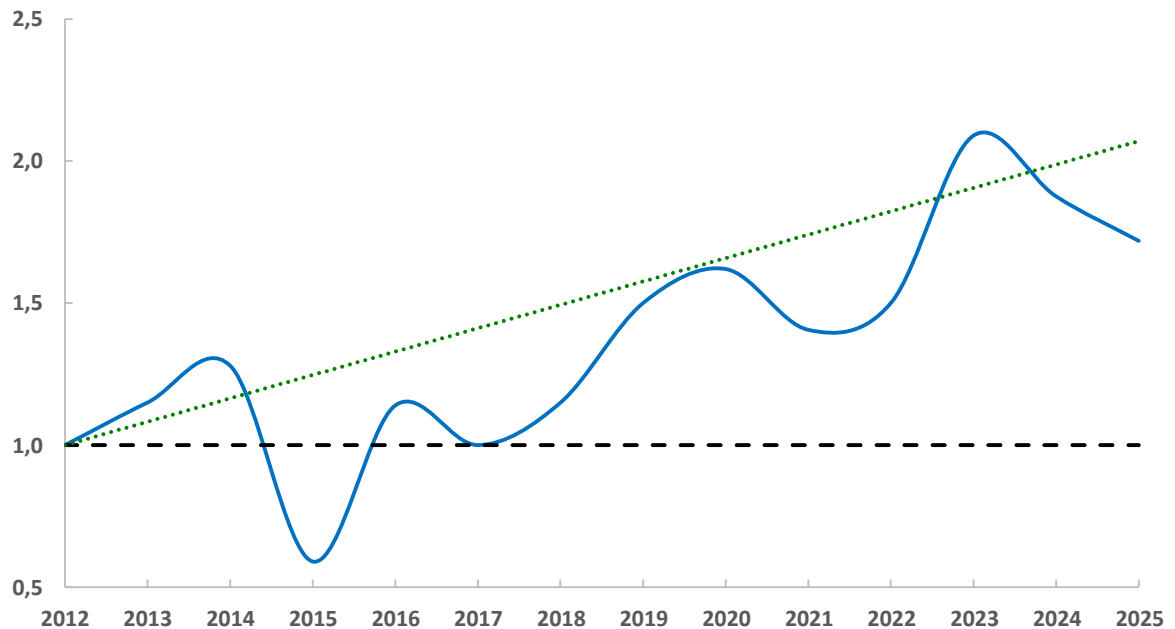


Ilustración 199. Índice de cambio del número total de individuos de ruiseñor común contabilizados anualmente en el Parque Nacional de Monfragüe

Su dinámica poblacional coincide con la tendencia registrada en el seguimiento de aves realizado en Cataluña, con una evolución igualmente positiva (ICO 2025). A nivel nacional, también se aprecia esta misma tendencia si se considera todo el periodo de estudio (1998-2023). En la última década su evolución es incierta (Escandell *et al.* 2023).

Incremento moderado

Carbonero común (*Parus major*) Tendencia (2012-2025): +3,9%

El carbonero común ofrece un **INCREMENTO MODERADO*** de su población reproductora en el parque nacional. No obstante, en 2015 se obtuvo una estima anormalmente baja con respecto al resto de la serie temporal que podría estar lastrando el resultado obtenido.

Efectivamente, si se analiza los datos excluyendo esa temporada, la tendencia obtenida es estable, lo que coincidiría con los programas de seguimiento llevados a cabo en Cataluña y en España, donde se estima que su población permanece sin cambios (Escandell *et al.* 2023, ICO 2025).

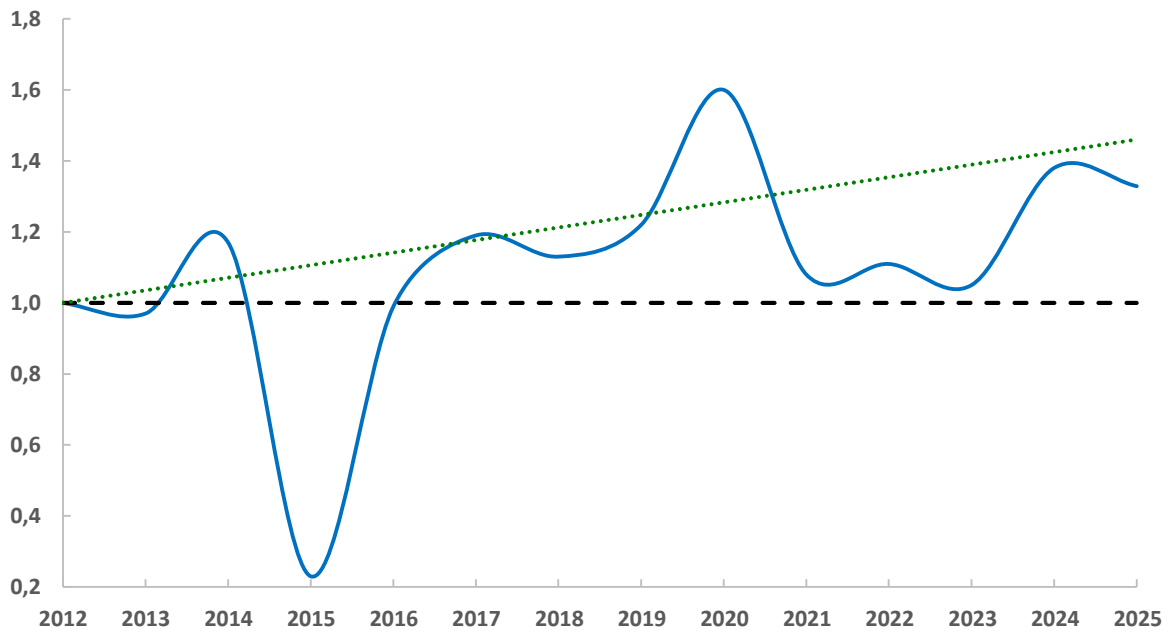


Ilustración 200. Índice de cambio del número total de individuos de carbonero común contabilizados anualmente en el Parque Nacional de Monfragüe

Incremento moderado

Tórtola europea (*Streptopelia turtur*) Tendencia (2012-2025): +7,5%

La tórtola europea muestra un **INCREMENTO MODERADO**** a lo largo de la serie temporal dentro del parque nacional.

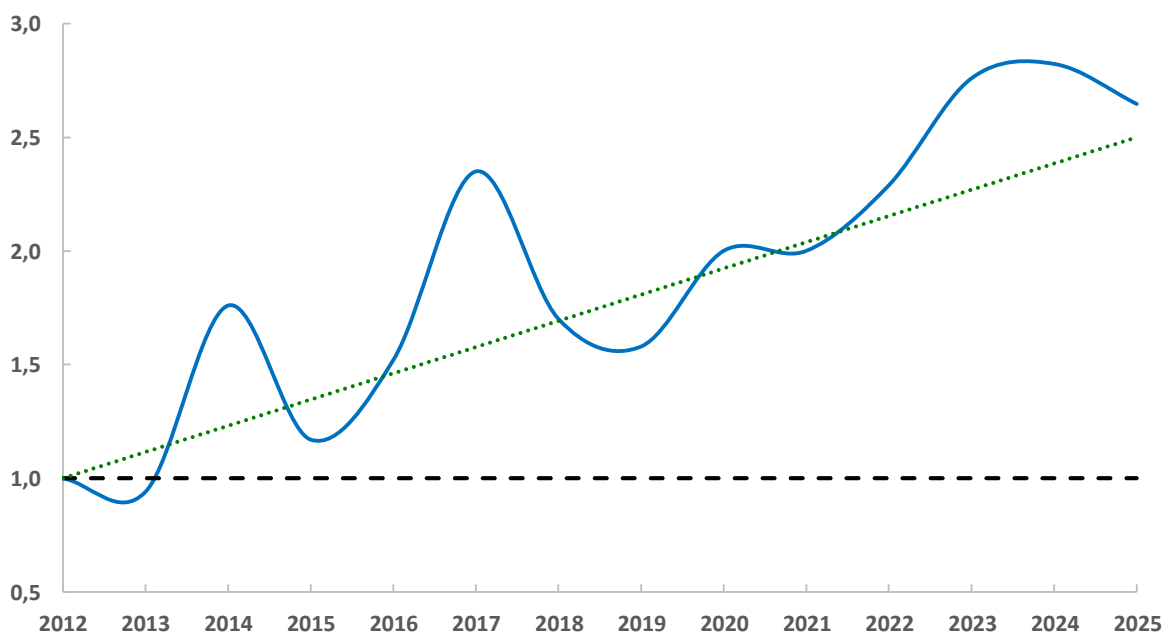


Ilustración 201. Índice de cambio del número total de individuos de tórtola europea contabilizados anualmente en el Parque Nacional de Monfragüe

Especialmente en los primeros años han existido profundas fluctuaciones interanuales, pero con una tendencia positiva clara. Las estimas de abundancia de la presente campaña representan dos veces y media la población que se llegó a registrar en 2012 (año de comparación).

La tendencia de la tórtola europea en el parque nacional coincide con el seguimiento realizado a nivel nacional, donde la especie también muestra una evolución positiva en la última década (Escandell *et al.* 2023). En Cataluña no se observa esta recuperación, pero su población reproductora se considera estable (ICO 2025).

Incremento moderado

Curruca capirotada (*Sylvia atricapilla*) Tendencia (2012-2025): +8,7%

En los primeros años (2012–2014) las estimas poblacionales de la especie se mantienen bajas, incluso con un ligero descenso inicial. A partir de 2015 se observa un salto notable, seguido de un periodo de variaciones irregulares, pero en niveles progresivamente más altos.

El crecimiento se acentúa especialmente entre 2020 y 2022, alcanzándose el valor máximo en este último año. Posteriormente, entre 2023 y 2025 se produce una ligera disminución, aunque los valores se mantienen por encima de los observados en la primera mitad de la serie, calificando como **INCREMENTO MODERADO****.

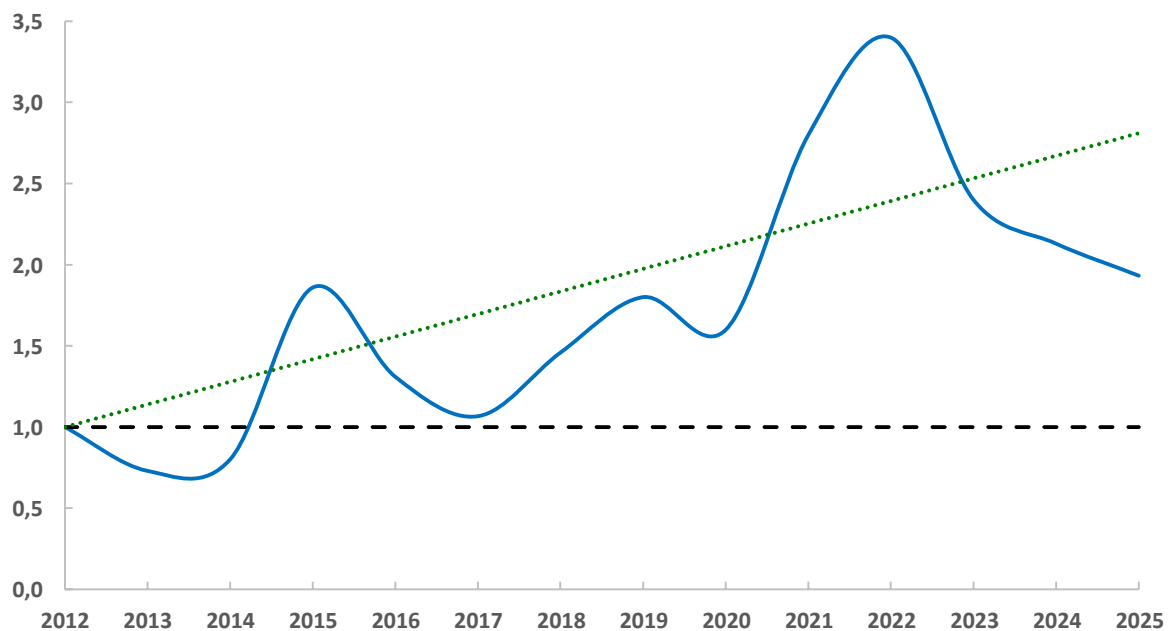


Ilustración 202. Índice de cambio del número total de individuos de curruca capirotada contabilizados anualmente en el Parque Nacional de Monfragüe

El resultado obtenido en el seno del parque nacional parece ser el fiel reflejo del proceso que está experimentando la especie a nivel global. En sentido, la misma tendencia se registra en Cataluña y a nivel nacional, con aumentos moderados de su población reproductora (Escandell *et al.* 2023, ICO 2025).

Incremento moderado

Curruca carrasqueña (*Sylvia cantillans*) Tendencia (2012-2025): +4,6%

La curruca carrasqueña mostró un descenso muy significativo de su abundancia en la campaña de 2015, que posiblemente haya acentuado la tendencia encontrada. Pero, no cabe duda de que la especie se encuentra experimentando un **INCREMENTO MODERADO*** de sus efectivos reproductores, especialmente evidente desde la campaña de 2017. Desde entonces, las estimas de abundancia han ido creciendo paulatinamente hasta alcanzar su máximo en 2023 con 67 ejemplares. En los dos últimos años su población se ha mantenido en torno a los 60 individuos, lo que supone un valor un 50% superior al año de comparación, y certifica el incremento poblacional de la especie.

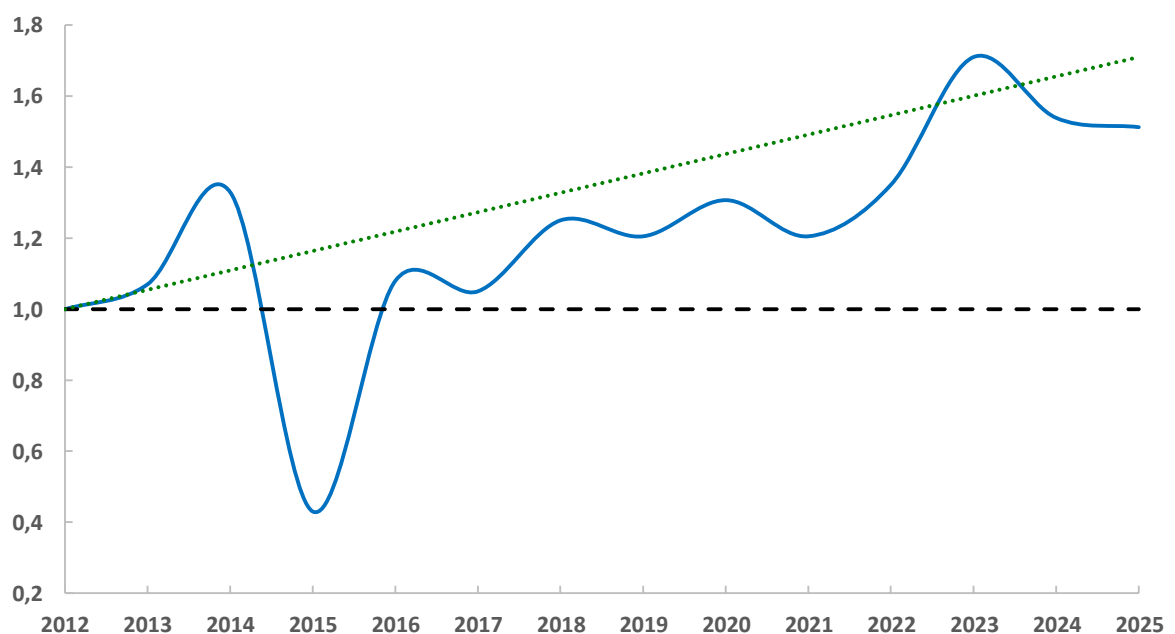


Ilustración 203. Índice de cambio del número total de individuos de curruca carrasqueña contabilizados anualmente en el Parque Nacional de Monfragüe

La evolución observada en este trabajo se alinea con los resultados obtenidos en el ámbito catalán, donde la especie también se comprueba que está en expansión (ICO 2025). A nivel nacional su población se considera estable, aunque si se considera la serie temporal desde 1998 su dinámica poblacional es positiva (Escandell *et al.* 2023).

Incremento moderado

Chochín paleártico (*Troglodytes troglodytes*) Tendencia (2012-2025): +5,1%

Las primeras estimaciones de abundancia de la especie han correspondido a las mínimas de la serie temporal, cuando se contabilizaron únicamente nueve individuos en 2012. Este resultado probablemente haya condicionado la intensidad de la tendencia positiva obtenida, es decir, su tasa promedio de aumento anual, pero sí parece claro que la especie se encuentra experimentando un **INCREMENTO MODERADO*** en el parque nacional, puesto que los valores de densidad han ido aumentando con el avance de las campañas y en las últimas se han alcanzado los más elevados del periodo analizado.

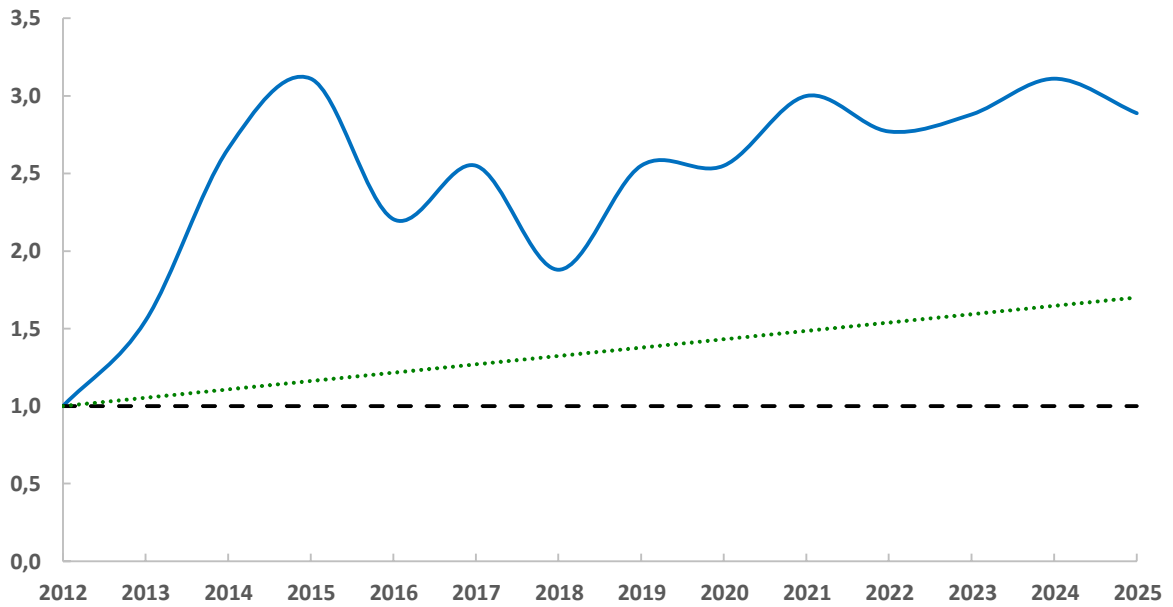


Ilustración 204. Índice de cambio del número total de individuos de chochín paleártico contabilizados anualmente en el Parque Nacional de Monfragüe

A nivel nacional, la especie también muestra un aumento de sus efectivos reproductores (Escandell *et al.* 2023), lo que sugiere una dinámica general. Sin embargo, en Cataluña, parece existir un claro retroceso de su abundancia (ICO 2025).

Fuerte incremento

Curruca cabecinegra (*Sylvia melanocephala*) Tendencia (2012-2025): +9,7%

La curruca cabecinegra ha evidenciado un **FUERTE INCREMENTO*** poblacional en el parque nacional.

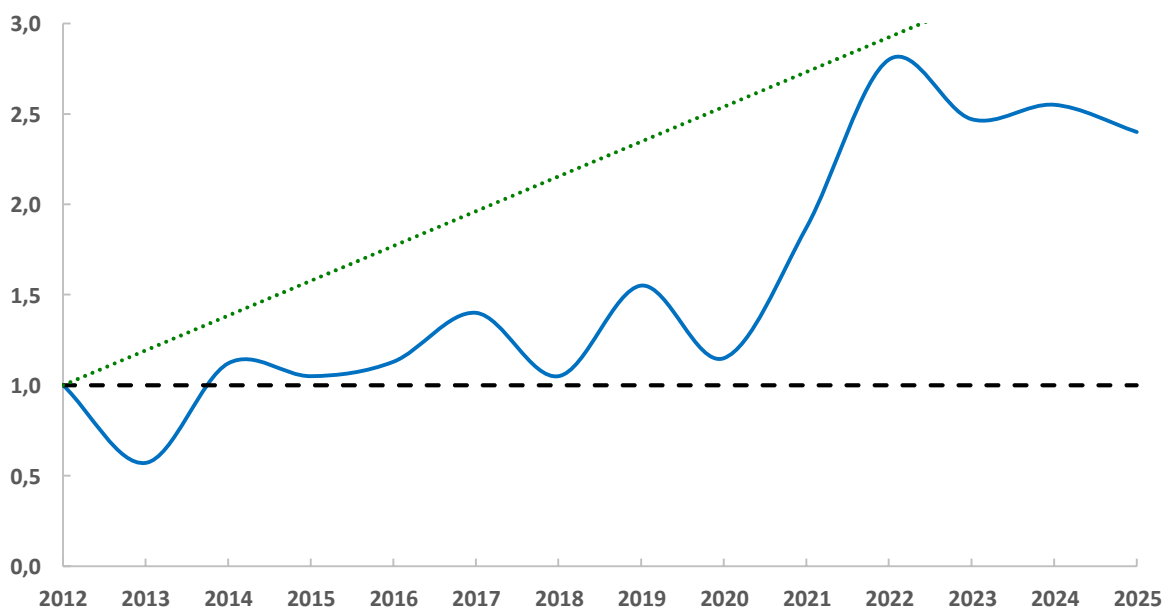


Ilustración 205. Índice de cambio del número total de individuos de curruca cabecinegra contabilizados anualmente en el Parque Nacional de Monfragüe

Hasta la primavera de 2018 los registros de abundancia se situaron en valores similares a los obtenidos al inicio de la serie temporal. Pero tras este año, y especialmente desde 2020, se ha producido un incremento drástico que se ha mantenido en las últimas campañas.

Sorprende este resultado si se compara con los trabajos de seguimiento realizados a nivel catalán y nacional, pues en ambos casos existe un aumento de efectivos reproductores de la especie, pero en la última década (cuyo abanico temporal coincide con el de este estudio) su población se ha mantenido y se estima como estable. Por este motivo, es posible que ciertos factores exclusivos del parque nacional hayan favorecido a la especie, especialmente en estos últimos años.

Tendencia por hábitat

Los puntos de muestreo en el parque nacional se ubican en dos ambientes diferenciados. El más frecuente es el bosque mediterráneo (52 puntos) dominado, por lo general, por especies arbóreas del género *Quercus*. El otro hábitat, menos significativo (8 puntos), es el del matorral mediterráneo, con amplia representación de especies arbustivas del género *Cistus* sp.

Al analizar el efecto de los distintos hábitats sobre la riqueza de especies se observa que no existe un efecto significativo. Tanto las masas forestales como los ambientes dominados por el matorral mantienen un número relativamente constante de taxones a lo largo de la serie temporal, calificando ambos como de tendencia **ESTABLE**.

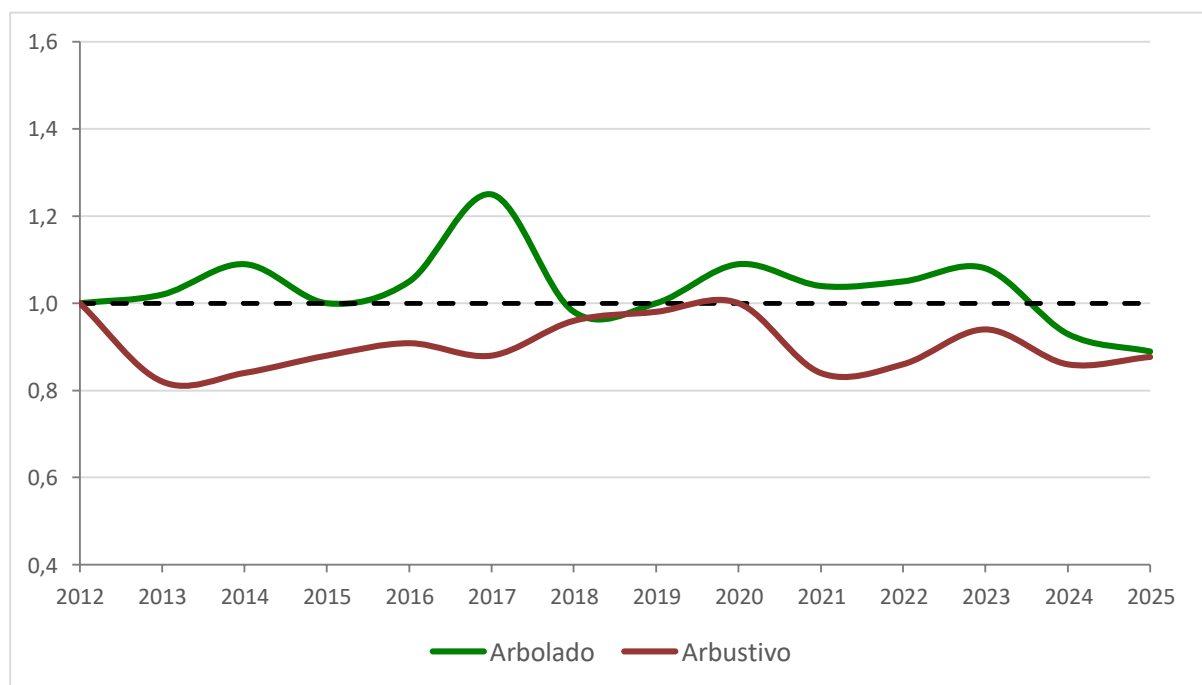


Ilustración 206. Índice de cambio del número especies contabilizadas anualmente en los distintos hábitats del Parque Nacional de Monfragüe

No obstante, el aumento general observado en la abundancia total de aves solo se mantiene en el hábitat forestal, donde la tendencia se califica igualmente como de **INCREMENTO MODERADO****, con una tasa media de aumento del 2,9% anual. En cambio, en las áreas dominadas por matorral, la densidad de aves se mantiene **ESTABLE**, sin variaciones apreciables a lo largo del periodo analizado.

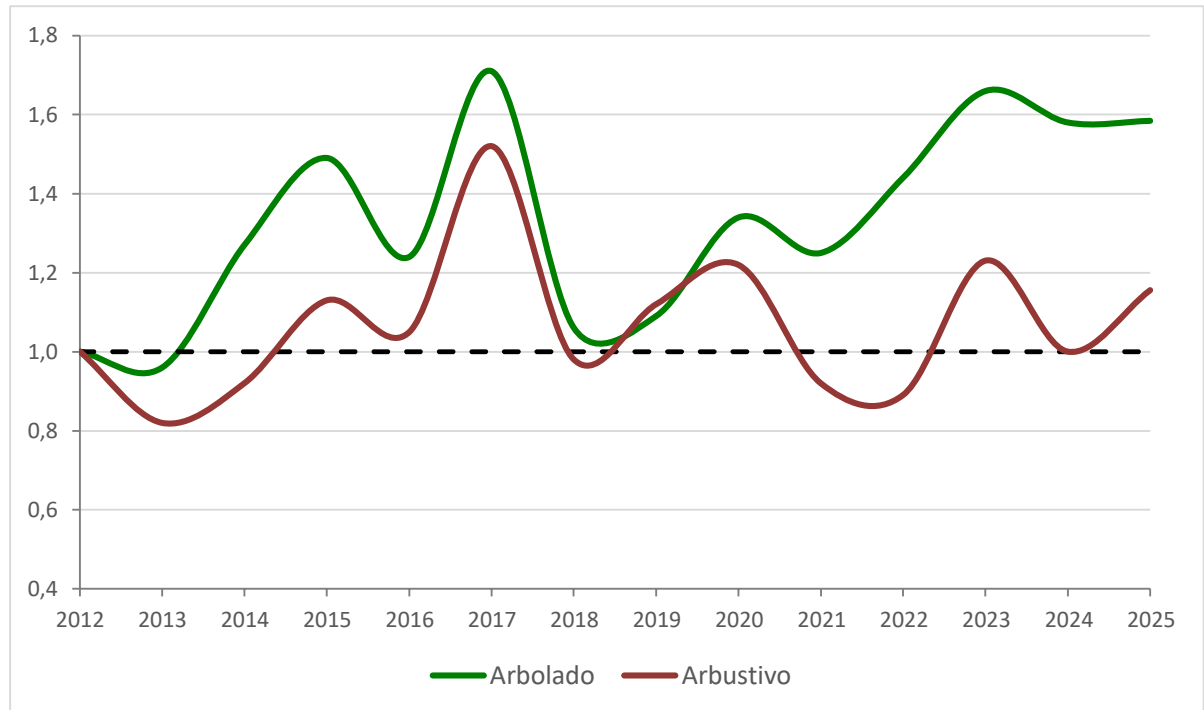


Ilustración 207. Índice de cambio del número total de individuos contabilizados anualmente en los distintos hábitats del Parque Nacional de Monfragüe

La causa de este incremento en la densidad de aves dentro de la masa forestal podría estar relacionada con diversos aspectos no excluyentes, como un mejor estado de conservación del bosque (mayor cobertura, productividad, etc.) o unas condiciones microclimáticas más estables de humedad frente a las crecientes temperaturas externas como consecuencia del cambio climático entre otros.

También se ha evaluado si esta tendencia se mantiene al analizar de forma conjunta las aves características de los distintos hábitats, las cuales, por separado, no mostraban una tendencia significativa. El objetivo es comprobar si su análisis combinado puede generar efectos sinérgicos que hagan más evidente la posible evolución de la abundancia en cada uno de los enclaves.

Se ha seleccionado al azar, como aves como representantes del hábitat arbolado al mito común, picogordo y herrerillo capuchino, mientras que las representativas del enclave arbustivo fueron la curruca rabilarga, la collalba rubia y la curruca mirlona.

Cuando se analiza matemáticamente la abundancia de estas últimas especies no se distingue una dinámica concreta. Existe una gran variabilidad interanual a lo largo del periodo analizado que no permite afirmar con seguridad si la abundancia aumenta, disminuye o se mantiene estable, calificando como de tendencia INCIERTA (lo cual no implica que necesariamente la variable permanezca sin cambios realmente).

Por el contrario, el análisis de las aves características de ambientes forestales tiene un patrón definido y estadísticamente significativo. Se ha encontrado una evolución positiva de su abundancia, alcanzándose los valores más elevados al final de la serie temporal con respecto a los iniciales. Los datos se ajustan a un **INCREMENTO MODERADO***, con una tasa promedio de incremento del 4,8 anual.

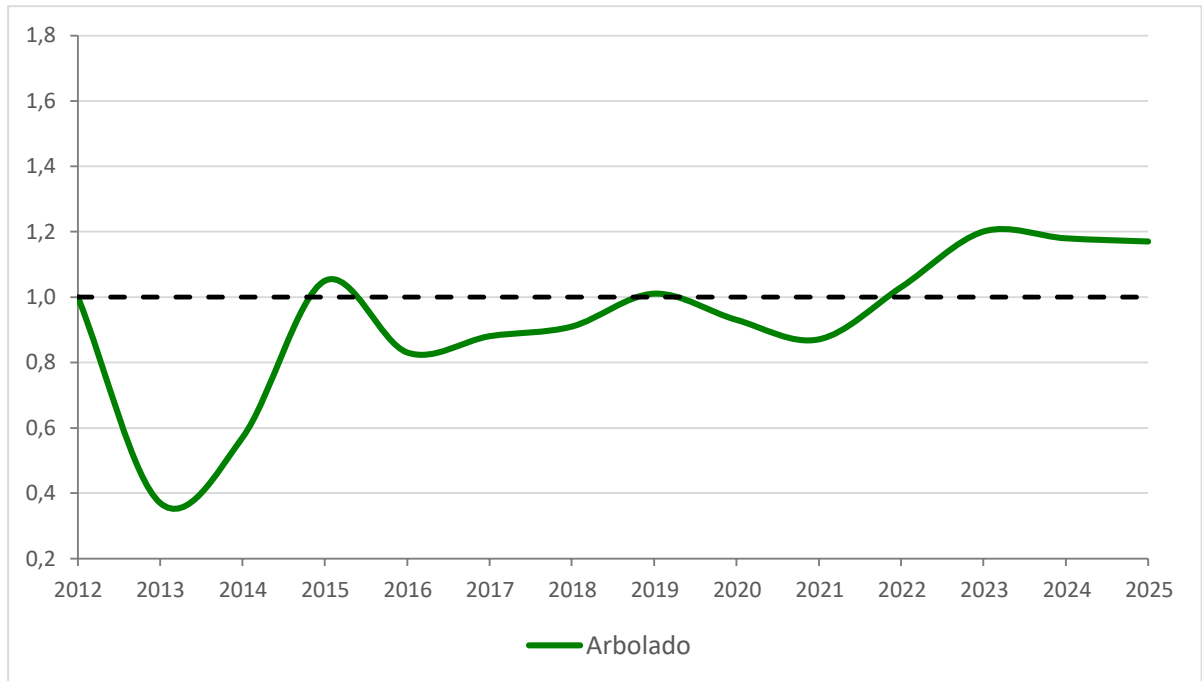


Ilustración 208. Índice de cambio del número total de individuos de especies representativas del hábitat arbolado en el Parque Nacional de Monfragüe

Por lo tanto, el examen conjunto de diversas especies forestales obtiene una dinámica poblacional que se alinea con el resultado general obtenido en dicho hábitat, consolidando, por lo tanto, que el bosque parece estar experimentando un aumento en la densidad de aves.

Parque Nacional de la Sierra de Guadarrama

En los muestreos realizados en el Parque Nacional de la Sierra de Guadarrama se registraron 54 especies diferentes de aves, con un total de 901 individuos contabilizados. Las especies más abundantes fueron, por este orden, el pinzón vulgar y el carbonero garrapinos. Cabe destacar que se producido la primera cita de cigüeña blanca en el parque nacional desde el inicio de las campañas de seguimiento

Tabla 15. Especies y número de individuos contabilizados en el Parque Nacional de la Sierra de Guadarrama en primavera de 2025.

| NOMBRE CIENTÍFICO | NOMBRE COMÚN | INDIVIDUOS |
|------------------------------|------------------------|------------|
| <i>Aegithalos caudatus</i> | Mito común | 2 |
| <i>Aegypius monachus</i> | Buitre negro | 15 |
| <i>Alauda arvensis</i> | Alondra común | 9 |
| <i>Anthus campestris</i> | Bisbita campestre | 6 |
| <i>Anthus spinoletta</i> | Bisbita alpino | 9 |
| <i>Aquila chrysaetos</i> | Águila real | 1 |
| <i>Carduelis carduelis</i> | Jilguero europeo | 2 |
| <i>Carduelis citrinella</i> | Verderón serrano | 10 |
| <i>Certhia brachydactyla</i> | Agateador europeo | 25 |
| <i>Chloris chloris</i> | Verderón común | 1 |
| <i>Ciconia ciconia</i> | Cigüeña blanca | 1 |
| <i>Columba palumbus</i> | Paloma torcaz | 17 |
| <i>Corvus corax</i> | Cuervo grande | 13 |
| <i>Corvus corone</i> | Corneja negra | 17 |
| <i>Cuculus canorus</i> | Cuco común | 5 |
| <i>Cyanistes caeruleus</i> | Herrerillo común | 3 |
| <i>Dendrocopos major</i> | Pico picapinos | 5 |
| <i>Emberiza cia</i> | Escribano montesino | 11 |
| <i>Emberiza cirius</i> | Escribano soteño | 1 |
| <i>Erithacus rubecula</i> | Petirrojo europeo | 77 |
| <i>Falco peregrinus</i> | Halcón peregrino | 1 |
| <i>Falco tinnunculus</i> | Cernícalo vulgar | 2 |
| <i>Ficedula hypoleuca</i> | Papamoscas cerrojillo | 9 |
| <i>Fringilla coelebs</i> | Pinzón vulgar | 120 |
| <i>Garrulus glandarius</i> | Arrendajo euroasiático | 14 |
| <i>Gyps fulvus</i> | Buitre leonado | 34 |
| <i>Linaria cannabina</i> | Pardillo común | 14 |
| <i>Lophophanes cristatus</i> | Herrerillo capuchino | 51 |
| <i>Loxia curvirostra</i> | Piquituerto común | 7 |
| <i>Lullula arborea</i> | Alondra totovía | 15 |
| <i>Luscinia megarhynchos</i> | Ruiseñor común | 1 |
| <i>Luscinia svecica</i> | Ruiseñor pechiazul | 2 |

| NOMBRE CIENTÍFICO | NOMBRE COMÚN | INDIVIDUOS |
|--------------------------------|----------------------|------------|
| <i>Monticola saxatilis</i> | Roquero rojo | 5 |
| <i>Motacilla alba</i> | Lavandera blanca | 2 |
| <i>Oenanthe oenanthe</i> | Collalba gris | 27 |
| <i>Parus major</i> | Carbonero común | 22 |
| <i>Periparus ater</i> | Carbonero garrapinos | 115 |
| <i>Phoenicurus ochruros</i> | Colirrojo tizón | 5 |
| <i>Picus sharpei</i> | Pito real ibérico | 11 |
| <i>Prunella modularis</i> | Acentor común | 61 |
| <i>Pyrhacorax pyrrhacorax</i> | Chova piquirroja | 23 |
| <i>Regulus ignicapilla</i> | Reyezuelo listado | 17 |
| <i>Regulus regulus</i> | Reyezuelo sencillo | 6 |
| <i>Saxicola rubicola</i> | Tarabilla europea | 22 |
| <i>Serinus serinus</i> | Serín verdecillo | 7 |
| <i>Sitta europaea</i> | Trepador azul | 7 |
| <i>Strix aluco</i> | Cárabo común | 1 |
| <i>Sturnus unicolor</i> | Estornino negro | 1 |
| <i>Sylvia atricapilla</i> | Curruca capirotada | 7 |
| <i>Sylvia borin</i> | Curruca mosquitera | 1 |
| <i>Sylvia cantillans</i> | Curruca carrasqueña | 1 |
| <i>Troglodytes troglodytes</i> | Chochín paleártico | 22 |
| <i>Turdus merula</i> | Mirlo común | 20 |
| <i>Turdus viscivorus</i> | Zorzal charlo | 18 |

Tendencias generales

La riqueza de especies en el parque nacional presenta una tendencia **ESTABLE**, sin variaciones pronunciadas ni incrementos o descensos sostenidos a lo largo del tiempo. Durante los primeros años, se observa valores al alza hasta alcanzar el máximo de 66 taxones en 2015. Entre 2016 y 2020, la serie describe pequeñas fluctuaciones, con ligeras caídas (por ejemplo, en 2018) seguidas de recuperaciones puntuales (como en 2019).

A partir de 2021, los valores continúan dentro del mismo rango de variabilidad, reflejando un comportamiento estable y sin tendencias significativas. Aunque se registran leves repuntes en 2023 y 2024, estos no representan un cambio sustancial en la trayectoria general, ya que el valor de 2025 vuelve a situarse en torno al promedio.

En conjunto, la riqueza de especies se caracteriza por pequeñas oscilaciones en torno a un valor medio de 60 taxones, lo que implica estabilidad a lo largo del periodo de estudio.

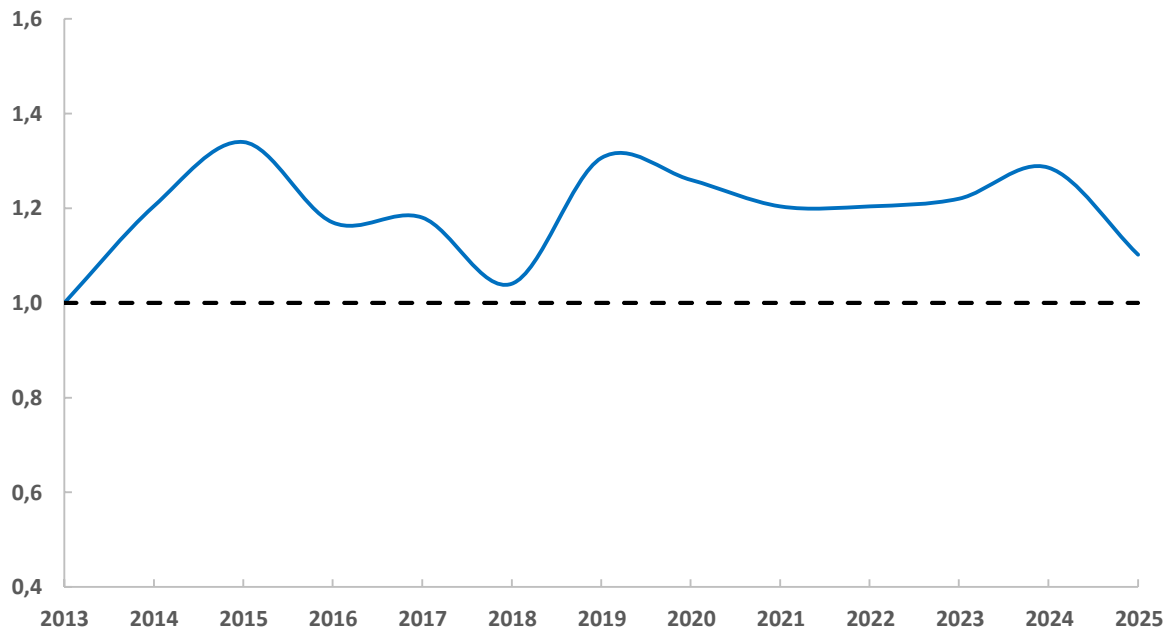


Ilustración 209. Índice de cambio del número de especies detectadas en el Parque Nacional de la Sierra de Guadarrama

Respecto a la abundancia total de aves, las variaciones interanuales son más significativas, especialmente en los primeros años de la serie temporal, cuando se alcanzó el valor máximo de 1152 individuos en 2015, frente a los 800-900 ejemplares que suelen registrarse por temporada.

A pesar de estas oscilaciones puntuales, los datos describen en conjunto una tendencia **ESTABLE**, sin evidenciar un incremento o descenso sostenido a lo largo de los años.

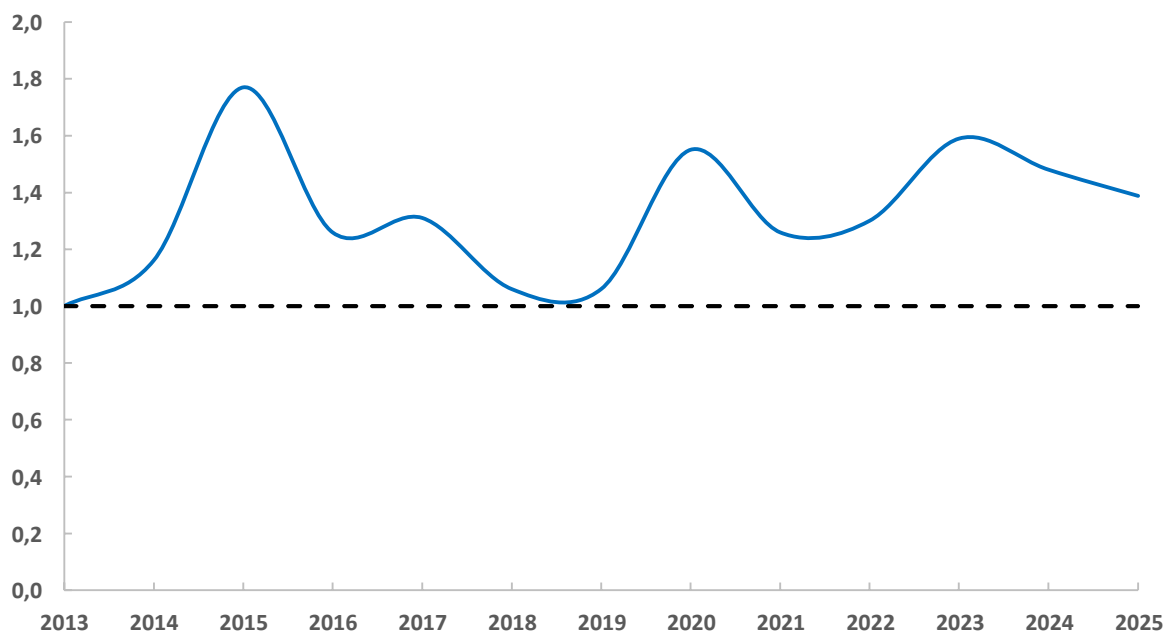


Ilustración 210. Índice de cambio del número total de individuos detectados en el Parque Nacional de la Sierra de Guadarrama

Tendencia por especies

Se ha analizado la evolución temporal de la abundancia de 36 especies de aves a lo largo de la serie temporal considerada. La mayoría de ellas (28 taxones; 78%) no presentan una tendencia estadísticamente significativa en la dinámica de sus poblaciones, por lo que se clasifican como de tendencia incierta.

Entre las especies que sí muestran una tendencia demográfica significativa, tres mantienen una situación estable, una evidencia una disminución en el número de efectivos reproductores y cuatro reflejan la tendencia contraria, con un incremento en su contingente reproductor dentro del parque nacional.

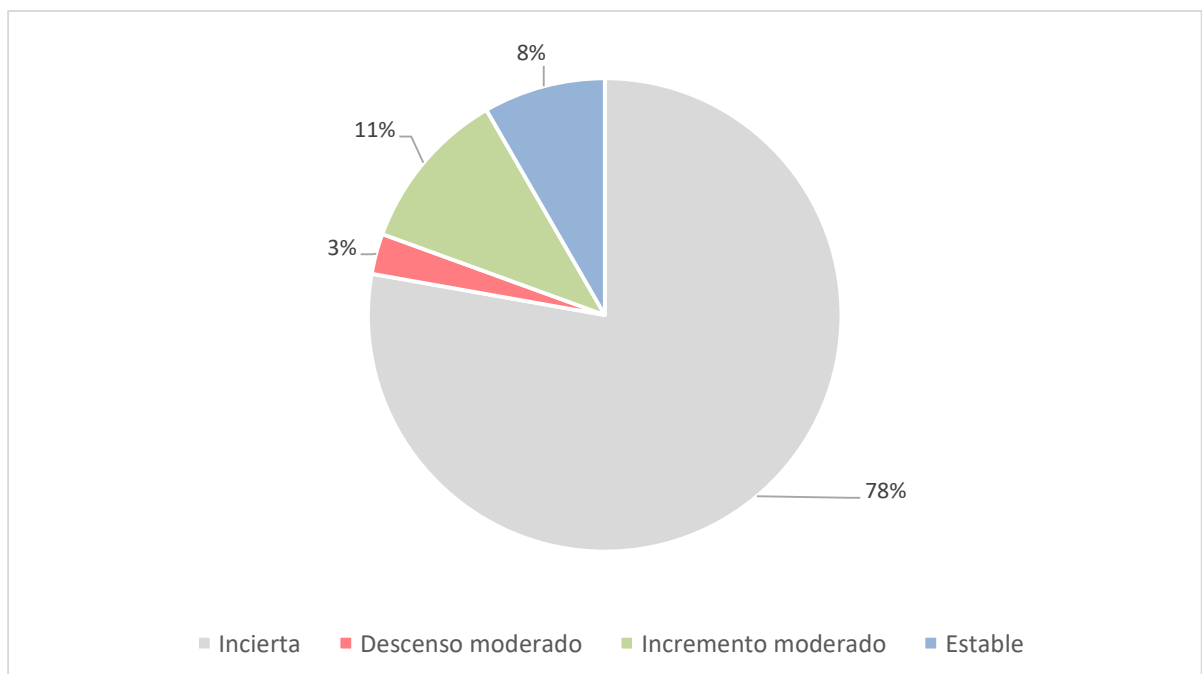


Ilustración 211. Proporción de tendencias poblacionales obtenidas en el Parque Nacional de la Sierra del Guadarrama

A continuación, se muestra las especies que mostraron variaciones poblacionales estadísticamente significativas según su tendencia.

Descenso moderado

Reyezuelo sencillo (*Regulus regulus*) Tendencia (2013-2025): -9,9%

La población reproductora de reyezuelo sencillo experimentó un descenso acusado a partir de 2015, reduciéndose desde unas estimas iniciales de 14 ejemplares hasta un único individuo en 2019, lo que supone una caída muy marcada en un corto periodo de tiempo.

En los años posteriores se aprecia cierta recuperación poblacional, aunque los valores actuales de abundancia continúan siendo claramente inferiores a los registrados al comienzo de la serie temporal. En esta campaña de 2025 se han contabilizado seis individuos, lo que equivale aproximadamente al 42% de las estimas de 2012, por lo que la especie mantiene una tendencia de **DESCENSO MODERADO*** en el parque nacional.

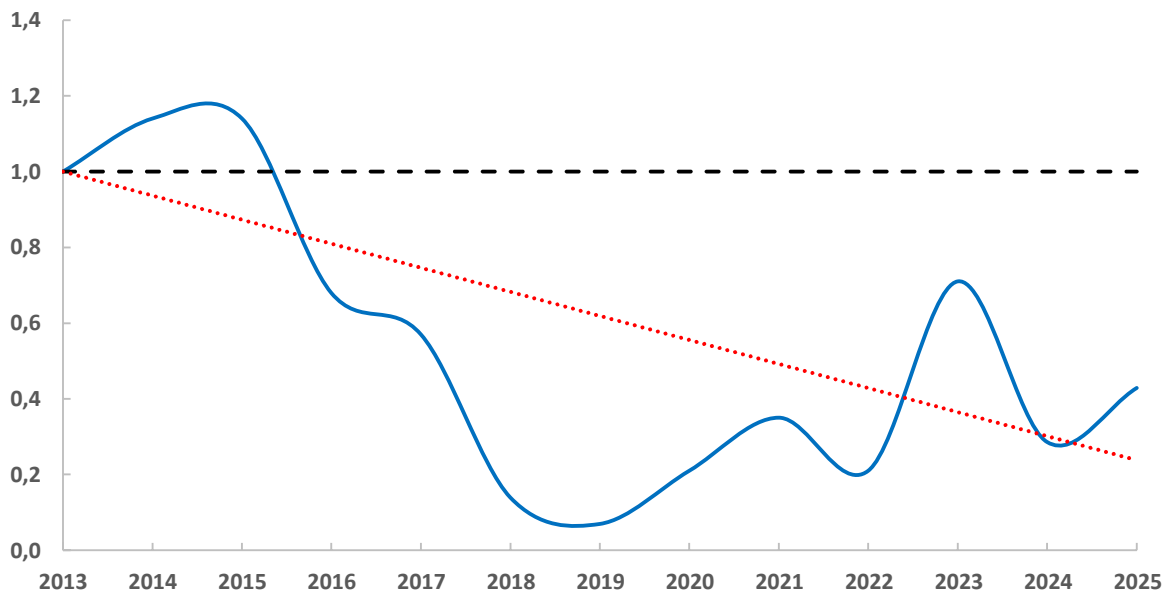


Ilustración 212. Índice de cambio del número total de individuos de reyezuelo sencillo contabilizados anualmente en el Parque Nacional de la Sierra de Guadarrama

En Cataluña también se aprecia una disminución de reproductores a lo largo del periodo analizado (2002-2023), pero su situación se considera estable si se examina exclusivamente la última década (ICO 2025). La situación a nivel nacional es desconocida, puesto que el resultado estadístico de la serie temporal proporciona una tendencia incierta (Escandell *et al.* 2023).

Estable

Pinzón vulgar (*Fringilla coelebs*)

La dinámica poblacional de pinzón vulgar se considera **ESTABLE**, aunque en los seguimientos en Cataluña y a nivel nacional la población muestra tendencia al incremento.

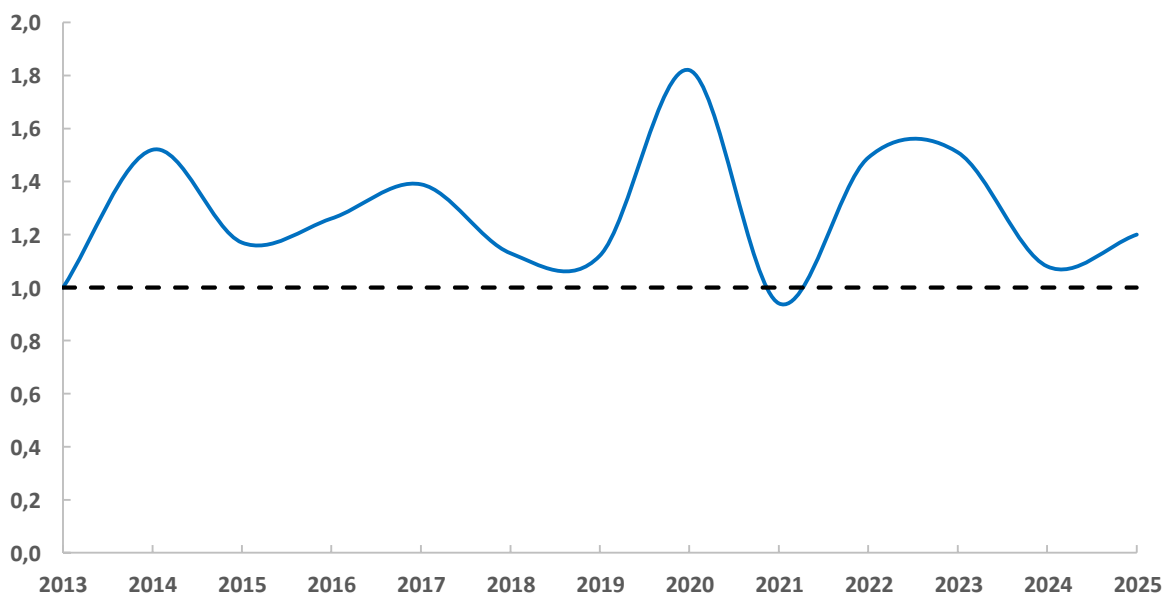


Ilustración 213. Índice de cambio del número total de individuos de pinzón vulgar contabilizados anualmente en el Parque Nacional de la Sierra de Guadarrama

Estable

Acentor común (*Prunella modularis*)

La población de acentor común se estima **ESTABLE**, como también ocurre a nivel nacional (Escandell *et al.* 2023). En Cataluña, por el contrario, se observa un retroceso (ICO 2025).

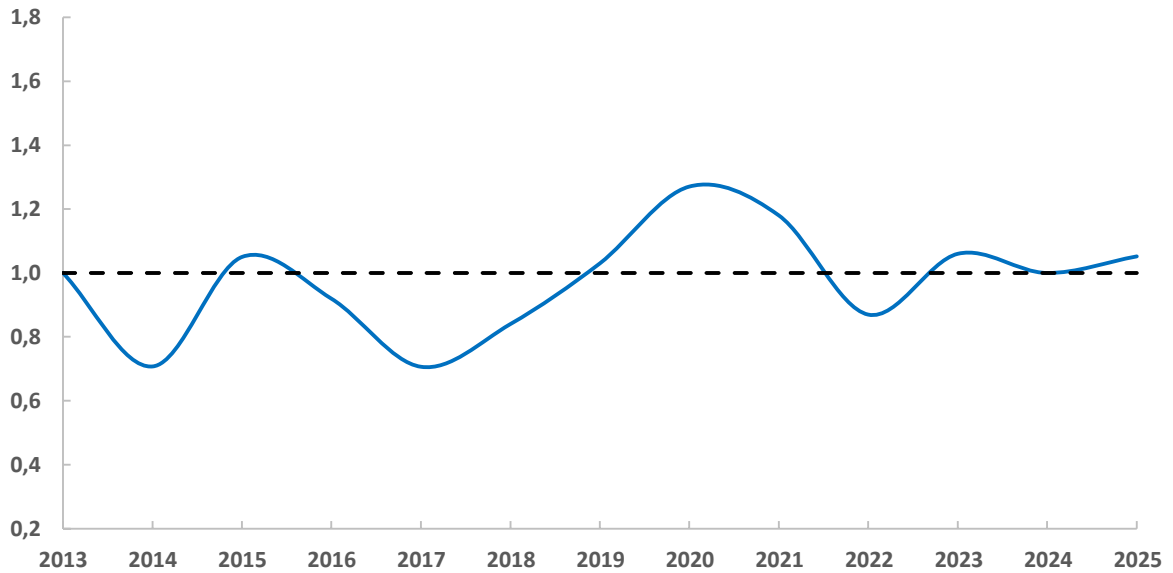


Ilustración 214. Índice de cambio del número total de individuos de acentor común contabilizados anualmente en el Parque Nacional de la Sierra de Guadarrama

Estable

Reyezuelo listado (*Regulus ignicapilla*)

Los datos de abundancia se ajustan a dinámica poblacional **ESTABLE**. En Cataluña y a nivel nacional los resultados son coincidentes (Escandell *et al.* 2023, ICO 2025).

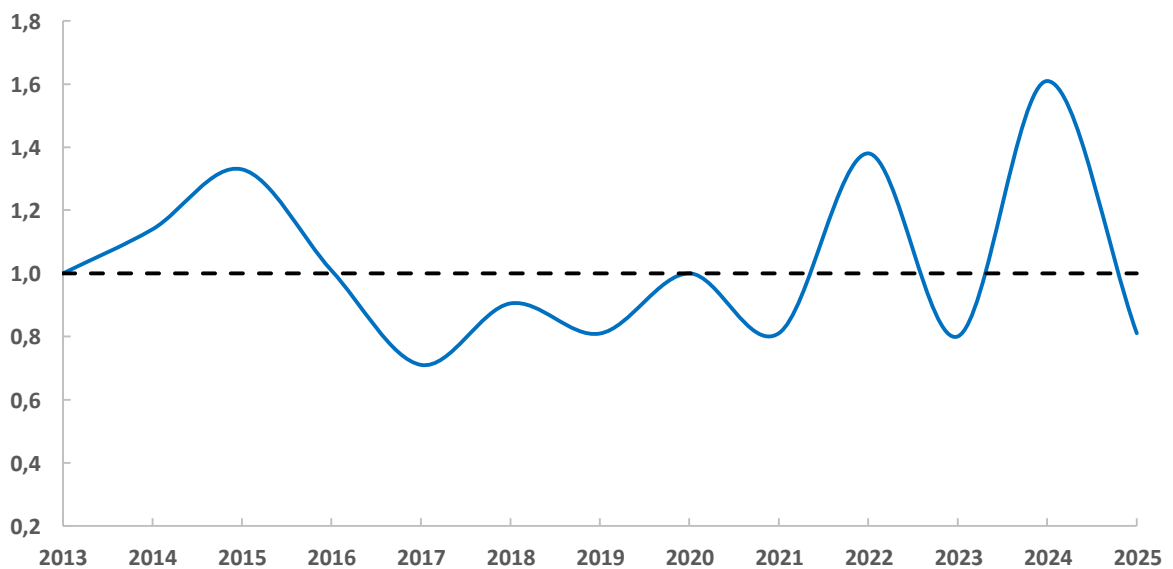


Ilustración 215. Índice de cambio del número total de individuos de reyezuelo listado contabilizados anualmente en el Parque Nacional de la Sierra de Guadarrama

Incremento moderado

Agateador europeo (*Certhia brachydactyla*) Tendencia (2013-2025): +6,5%

La especie presenta un **INCREMENTO MODERADO*** en su población reproductora a lo largo del periodo de seguimiento. En los primeros años, los valores se mantuvieron relativamente estables, sin variaciones destacables, hasta que a partir de 2019 se inició un aumento más evidente y sostenido de sus efectivos. En la campaña más reciente se ha registrado una leve disminución respecto a las temporadas anteriores; sin embargo, la abundancia actual continúa situándose por encima de los niveles observados en el año de referencia (superior en un 20%), lo que confirma la persistencia de una tendencia positiva en la serie temporal.

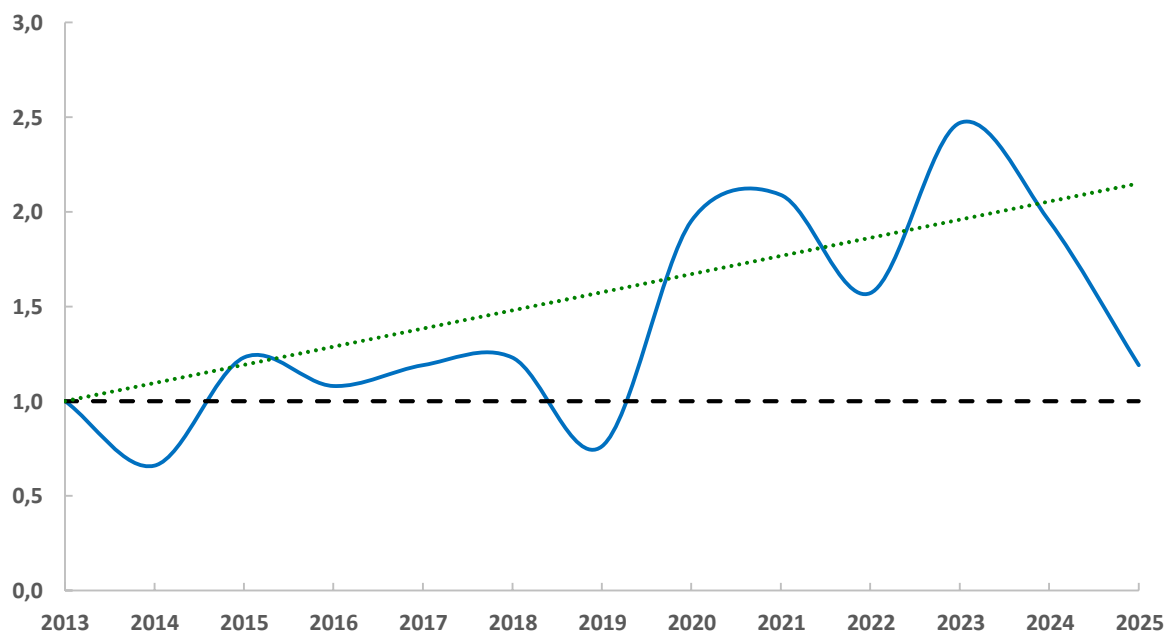


Ilustración 216. Índice de cambio del número total de individuos de agateador europeo contabilizados anualmente en el Parque Nacional de la Sierra de Guadarrama

Esta misma tendencia positiva también se ha constatado en los programas de seguimiento desarrollados a escala nacional y en Cataluña (Escandell *et al.* 2023, ICO 2025), lo que sugiere que el patrón observado en el parque nacional forma parte de una dinámica de crecimiento generalizada para la especie.

Incremento moderado

Carbonero garrapinos (*Periparus ater*) Tendencia (2013-2025): +2,8%

Durante los primeros años (2013–2018), la abundancia del carbonero garrapinos se mantuvo relativamente estables, con fluctuaciones leves y una ligera disminución tras el pico de 2015. A partir de 2019, se observa un cambio de tendencia, con un incremento sostenido que se mantiene hasta el final del periodo analizado. En las últimas campañas (2020–2025), las estimas de abundancia se sitúan de forma constante por encima de los valores iniciales, alcanzando en 2024 y 2025 los registros más altos de toda la serie.

En conjunto, los datos reflejan una evolución alcista, coherente con la clasificación estadística de **INCREMENTO MODERADO*** en su tendencia poblacional.

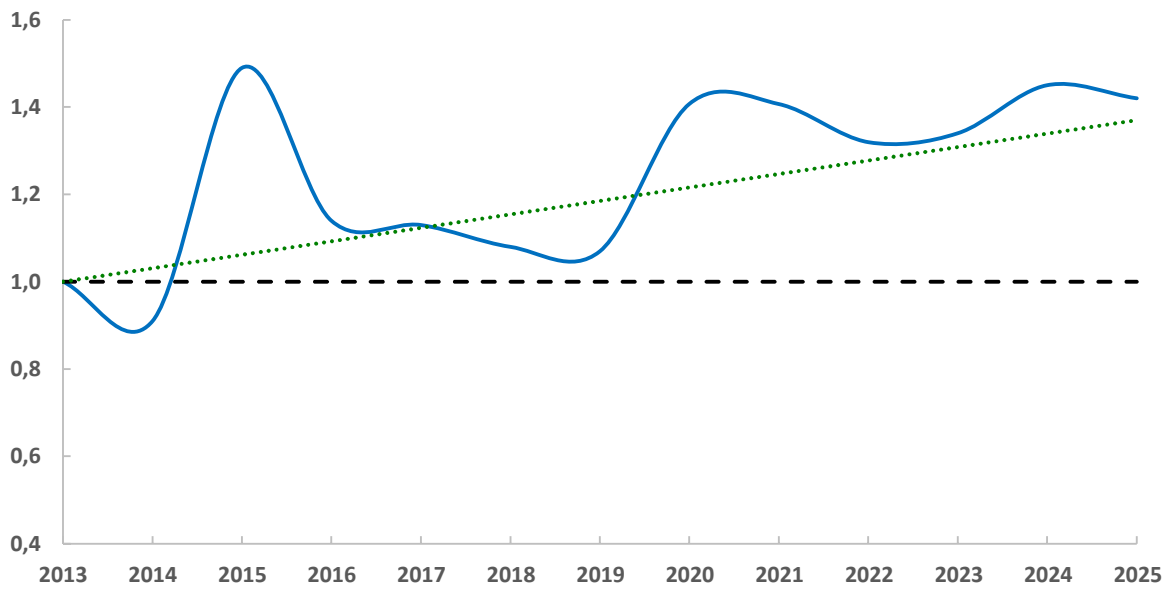


Ilustración 217. Índice de cambio del número total de individuos de carbonero garrapinos contabilizados anualmente en el Parque Nacional de la Sierra de Guadarrama

Por el contrario, en los seguimientos a largo plazo que se están llevando a cabo en Cataluña y a nivel peninsular, se estima que su población se mantiene estable durante este mismo periodo (Escandell *et al.* 2023, ICO 2025)

Incremento moderado

Pito real ibérico (*Picus sharpei*) Tendencia (2013-2025): +17,5%

El pito real es otra de las especies que muestra un **INCREMENTO MODERADO*** en el parque nacional.

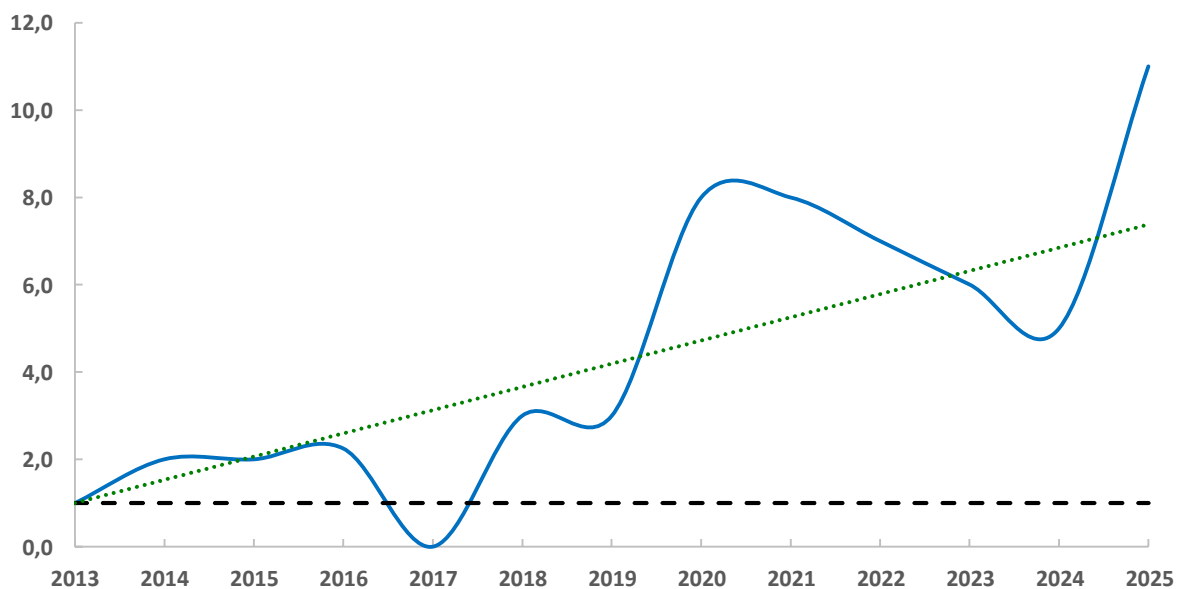


Ilustración 218. Índice de cambio del número total de individuos de pito real ibérico contabilizados anualmente en el Parque Nacional de la Sierra de Guadarrama

En los primeros años (2013–2016) la población se mantiene en niveles bajos y relativamente estables, seguidos por un mínimo puntual en 2017, cuando no se registran individuos. A partir de 2018, la especie experimenta una recuperación notable, alcanzando un crecimiento sostenido que culmina en 2020 y 2021 con valores máximos intermedios (8 ejemplares). Tras un leve descenso entre 2022 y 2024, en la última campaña (2025) se observa un nuevo incremento hasta el valor máximo de toda la serie (11 ejemplares).

En conjunto, la evolución temporal refleja una dinámica positiva, con una clara tendencia ascendente a largo plazo.

Incremento moderado

Zorzal charlo (*Turdus viscivorus*) Tendencia (2013-2025): +8,1%

La evolución positiva del zorzal charlo comenzó a ser evidente desde los primeros años de seguimiento y se puede considerar como gradual salvo por fluctuaciones puntuales en su abundancia.

En conjunto, el patrón refleja un **INCREMENTO MODERADO*** claro, con episodios de oscilación interanual, compatible con un aumento real de la población a medio plazo.

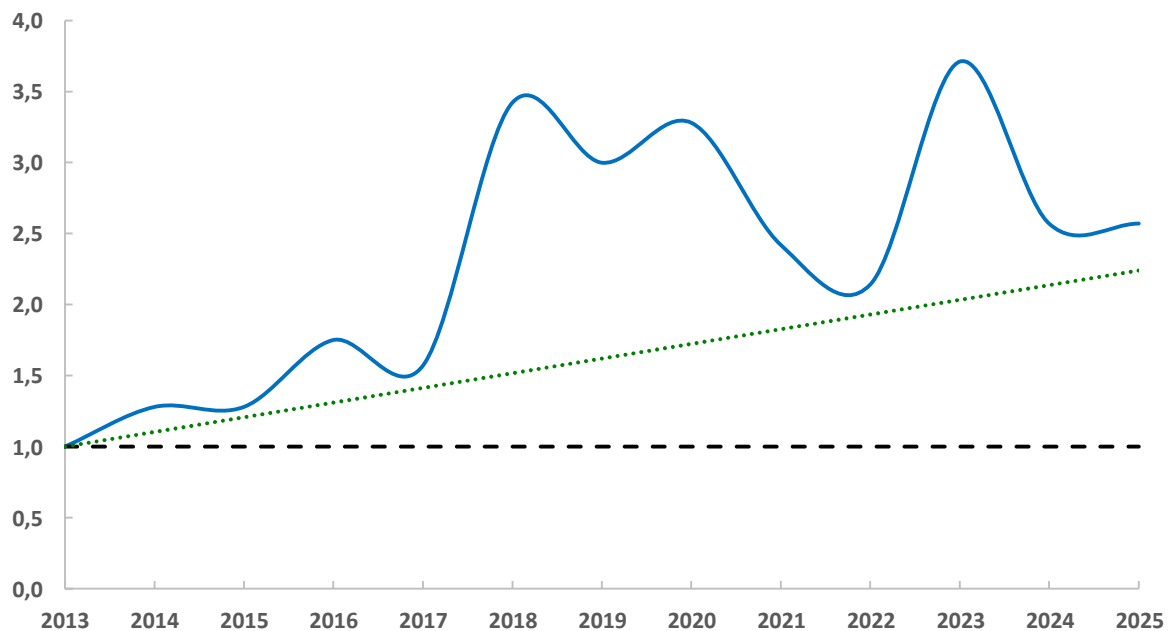


Ilustración 219. Índice de cambio del número total de individuos de zorzal charlo contabilizados anualmente en el Parque Nacional de la Sierra de Guadarrama

A nivel nacional y en Cataluña, la evolución de las estimas poblacionales de la especie se mantiene estables (Escandell *et al.* 2023, ICO 2025), sugiriendo que el incremento registrado en el parque nacional podría estar determinado por factores propios del espacio protegido, probablemente relacionados con la superficie forestal, su densidad o productividad, pues el zorzal charlo tiene su hábitat preferente en bosques abiertos.

Tendencia por hábitat

El Parque Nacional de la Sierra de Guadarrama tiene ubicados los puntos de muestreo mayoritariamente en zonas arboladas con claro dominio de las coníferas (38 puntos). También están representados otros hábitats, como el arbustivo (14) y el herbáceo de las cumbres (8).

La evolución de la riqueza de especies en el hábitat arbolado presenta un patrón muy similar al observado para el conjunto del parque nacional (véase la Ilustración 209). Esto se debe a la elevada representación de este tipo de hábitat en el total de puntos de muestreo, lo que confiere un peso notable a sus resultados dentro del análisis global. En consecuencia, también el hábitat arbolado se ajusta igualmente a una evolución **ESTABLE**.

Sin embargo, el número de taxones que se registran en el ambiente herbáceo ha ido incrementándose paulatinamente a un ritmo promedio de un 4,3% anual, ajustándose estadísticamente a una serie temporal de **INCREMENTO MODERADO***.

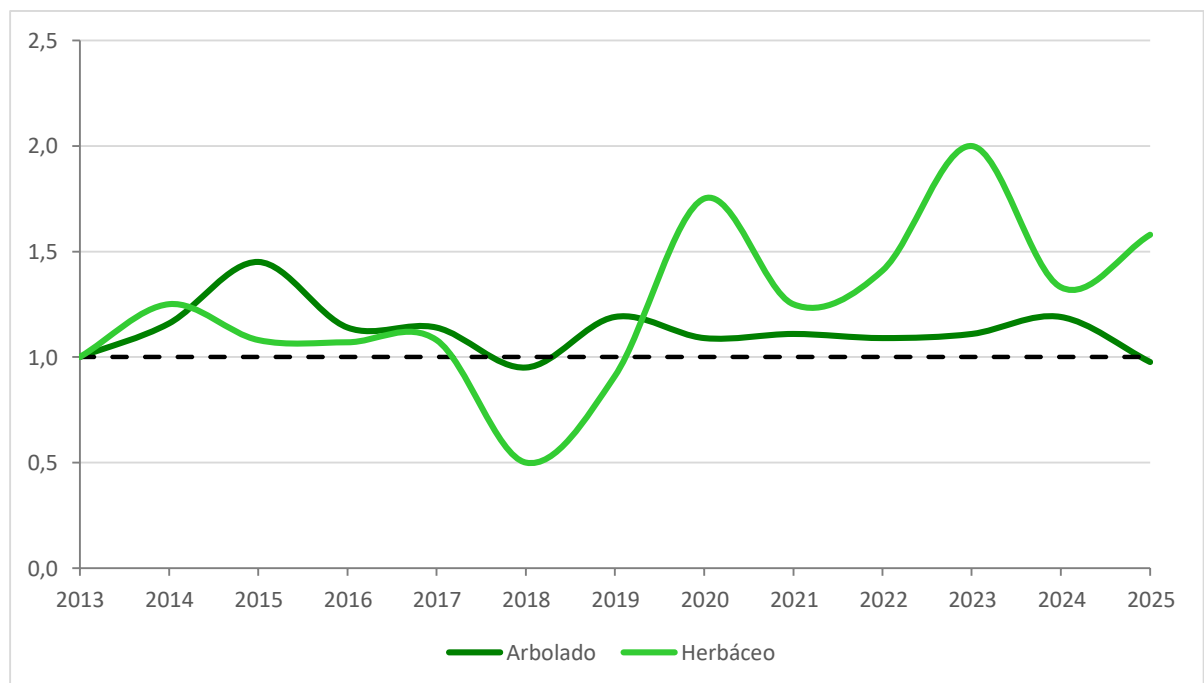


Ilustración 220. Índice de cambio del número especies contabilizadas anualmente en los distintos hábitats del Parque Nacional de la Sierra de Guadarrama

Por su parte, la riqueza de especies en el hábitat arbustivo difiere significativamente entre años, sin una tendencia clara de cambio o estabilidad, calificando como de dinámica incierta.

Con respecto a la abundancia total de aves los resultados son relativamente similares. De igual modo, la densidad de individuos en las masas forestales no ha mostrado cambios sustanciales desde el inicio del programa de seguimiento de manera que vuelve a obtenerse una tendencia **ESTABLE** en el tiempo.

Igualmente, el hábitat herbáceo muestra un **INCREMENTO MODERADO*** con una tasa promedio de un 6,5% anual, apreciándose cómo la densidad de aves aumenta conforme avanza el periodo de estudio.

Esta misma tendencia se muestra también en los ambientes dominados por el matorral. En esta ocasión, la pendiente es menos acusada, estimándose un ritmo de crecimiento del 4,0% anual.

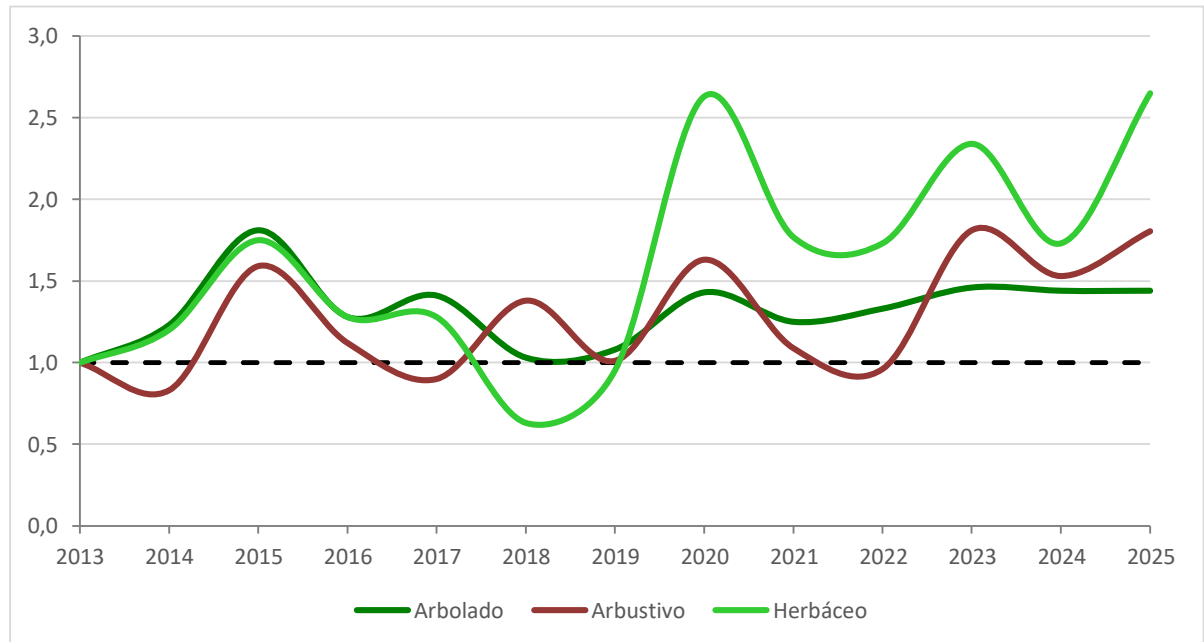


Ilustración 221. Índice de cambio del número total de individuos contabilizados anualmente en los distintos hábitats del Parque Nacional de la Sierra de Guadarrama

Cuando se analiza ciertas aves como representativas de los distintos hábitats se obtiene que las forestales (herrerillo capuchino, piquituerto y carbonero común) y herbáceas (collalba gris, alondra común y alondra totovía) no muestran tendencias significativas, por lo que su dinámica se considera INCIERTA. Sin embargo, las aves del ambiente arbustivo (petirrojo europeo, chochín paleártico y escribano montesino) presentan una evolución ESTABLE.

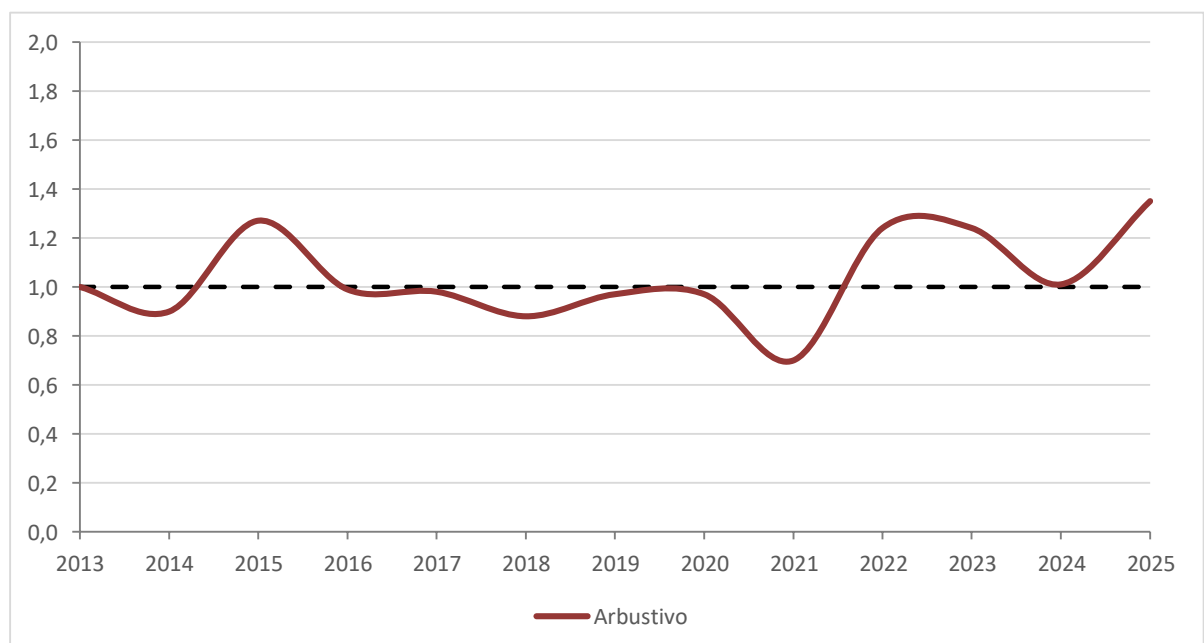


Ilustración 222. Índice de cambio del número total de individuos de especies representativas de distintos hábitats del Parque Nacional de la Sierra de Guadarrama (véase texto para más detalles)

DISCUSIÓN

El número de especies identificadas en programas de seguimiento a largo plazo y su evolución temporal suele emplearse como indicador del estado de conservación de áreas geográficas concretas, pues ha mostrado estar correlacionada positivamente con el número de especies de otros grupos taxonómicos (Myers *et al.* 2000; Billeter *et al.* 2008, Qian y Ricklefs 2008, Xu *et al.* 2008, Vera *et al.* 2011). En este sentido, el estado de conservación de la mayoría de los parques nacionales analizados puede considerarse adecuado, pues gran parte de ellos (8 de 15; 53%) mantienen los valores de riqueza y abundancia estables a lo largo de la serie temporal.

No obstante, existen particularidades dentro de cada parque asociadas a su localización biogeográfica que merecen ser destacadas. A continuación, se analizan de forma detallada los resultados obtenidos en cada uno de ellos, destacando las particularidades más relevantes e intentando argumentar sobre los cambios observados y sus posibles repercusiones.

En el **Parque Nacional de Doñana** se han registrado durante la presente campaña un total de 104 especies de aves, una cifra muy similar a la de años anteriores. La riqueza específica se mantiene estable a lo largo de la serie temporal analizada, con valores siempre próximos al centenar de taxones, a pesar de las oscilaciones interanuales habituales en cualquier programa de seguimiento a largo plazo.

En contraste, la abundancia total de individuos muestra fluctuaciones mucho más acusadas y de carácter marcadamente aleatorio, lo que impide establecer tendencias claras a medio y largo plazo. Existen campañas, como la actual, en las que se superan los 10.000 individuos censados, mientras que en otras no se alcanza siquiera la mitad de esta cifra.

El análisis separado por hábitats revela que los ecosistemas forestales y arbustivos mantienen poblaciones de aves relativamente estables en el tiempo, con índices de abundancia que apenas presentan desviaciones relevantes. Son los ambientes acuáticos los que introducen la mayor variabilidad, hasta el punto de que la dinámica poblacional de las aves asociadas a humedales se califica como incierta. Este patrón responde a la fuerte dependencia de estos ecosistemas respecto a la disponibilidad hídrica anual: en años húmedos, la marisma y las lagunas albergan grandes concentraciones de aves acuáticas, mientras que en periodos secos su capacidad de acogida se reduce drásticamente.

La comparación entre hábitats pone de manifiesto que los sistemas arbolados y de matorral responden de manera más gradual a las alteraciones climáticas, manteniendo una estructura relativamente constante. Por el contrario, los humedales de Doñana son extremadamente sensibles a la variabilidad de las precipitaciones y a la recarga del acuífero, lo que repercute directamente en la extensión de superficie inundada y, en consecuencia, en la abundancia de aves dependientes de este medio.

Las tendencias poblacionales más evidentes se registran en especies generalistas y poco especializadas, ligadas a hábitats secos y arbustivos, como la tarabilla común, la urraca, la paloma torcaz, el verderón común o la curruca cabecinegra, todas ellas en expansión. Este comportamiento podría reflejar una reducción progresiva de la superficie encharcada y un avance del estrato arbustivo, que coloniza áreas antes ocupadas por comunidades higrófilas.

En cambio, las especies estrictamente ligadas a humedales no muestran tendencias estadísticamente significativas dentro de la serie temporal analizada. La única excepción destacable es el milano negro, que tiene querencia por los bosques de ribera y cuya población presentan un fuerte retroceso. Conviene subrayar, no obstante, que la metodología SACRE no es la más adecuada para evaluar rapaces, por lo que este resultado debe tomarse con cautela y complementarse con estudios específicos.

Los resultados coinciden con trabajos recientes que advierten de una reducción general de la superficie inundada en Doñana y de un acortamiento de los periodos húmedos. Los humedales permanentes presentan fluctuaciones cada vez mayores en su nivel hídrico y dependen crecientemente de episodios de lluvia intensa, mientras que muchas lagunas temporales se secan ahora incluso en años de pluviometría media o alta. Si esta tendencia se consolida, es previsible que tanto la riqueza como la abundancia de aves acuáticas se vean afectadas negativamente, comprometiendo a medio plazo el papel de Doñana como enclave de referencia para la avifauna.

Los resultados obtenidos a partir del seguimiento de la avifauna sugieren que el **Parque Nacional de Sierra Nevada** podría estar experimentando un deterioro progresivo de su estado de conservación. La dinámica poblacional de las aves indica una disminución significativa tanto en la riqueza de especies como en la densidad de individuos a lo largo del periodo analizado. Esta tendencia implica una pérdida sostenida de diversidad específica y una reducción del número total de aves presentes en el espacio protegido.

Al desglosar los datos en función de los principales tipos de hábitat, se constata que esta pérdida de biodiversidad ornitológica es especialmente evidente en los ambientes forestales y arbustivos, donde las tendencias descendentes en riqueza y abundancia resultan consistentes. En cambio, en las áreas de alta montaña con escasa cobertura vegetal, los resultados muestran estabilidad en el número de especies, aunque no permiten establecer una tendencia clara en el caso de la densidad de aves, por lo que se consideran inciertos desde el punto de vista estadístico.

Estos hallazgos indican que las formaciones forestales y los matorrales constituyen los hábitats más sensibles a los procesos de cambio que afectan actualmente al parque nacional. En coherencia con esta interpretación, la mayoría de las especies que presentan retrocesos poblacionales significativos están vinculadas ecológicamente a estos dos tipos de hábitat.

Esta evolución negativa podría estar estrechamente vinculada con los cambios ambientales registrados durante el mismo periodo en Sierra Nevada; concretamente el incremento sostenido de la temperatura media y la disminución de la precipitación, que han sido documentados por distintas fuentes, como el Observatorio de Cambio Global de Sierra Nevada y la AEMET.

En particular, estudios del Observatorio de Cambio Global de Sierra Nevada (OAPN-CSIC 2020) han puesto de manifiesto una tendencia al aumento de la temperatura media anual de entre 0,3 y 0,5 °C por década en cotas medias y altas, acompañada de una reducción del espesor y duración de la nieve. Asimismo, los informes de la AEMET (2022) confirman un descenso progresivo de la precipitación acumulada en el sureste peninsular, así como una mayor frecuencia de años secos y olas de calor primaverales, con impacto potencial sobre los ecosistemas de montaña.

Estas condiciones climáticas adversas pueden tener un impacto especialmente relevante en los hábitats forestales y arbustivos, donde se concentra buena parte del esfuerzo de muestreo y que albergan un número elevado de especies reproductoras. La pérdida progresiva de humedad edáfica, el estrés térmico y la alteración de las comunidades vegetales (Zamora *et al.* 2015a) pueden estar comprometiendo la capacidad de acogida de estos hábitats, reduciendo tanto la riqueza específica como la densidad de las poblaciones de aves.

En este sentido, estudios anteriores (Zamora *et al.* 2015b, Bonet *et al.* 2020) ya han indicado que la falta prolongada de agua, junto con el aumento de la pérdida de humedad del suelo y los cambios en la vegetación, están deteriorando el funcionamiento natural de los ecosistemas. Como consecuencia, estos espacios ofrecen cada vez peores condiciones para que muchas especies encuentren refugio, alimento o puedan reproducirse con éxito.

En conjunto, los datos sugieren que los cambios climáticos observados en Sierra Nevada durante la última década están afectando negativamente a este ecosistema de alta montaña, produciéndose una transformación ecológica progresiva con repercusiones directas sobre la comunidad de aves.

En el **Parque Nacional de Las Tablas de Daimiel** se ha registrado un total de 93 especies distintas de aves, lo que representa uno de los valores más altos registrados hasta la fecha, junto con 2024 y el máximo alcanzado en 2015 con 95 taxones.

El número de especies que se citan cada año permanece constante a lo largo del periodo analizado, pero se sospecha que las fluctuaciones más acusadas en este valor deben responder directamente de la extensión y profundidad de la superficie de agua. Por ejemplo, en mayo de 2015 la superficie inundada era de aproximadamente 1.200 hectáreas y ese año se contabilizó el mayor número de especies de toda la serie temporal.

En 2022 se acentuó significativamente la prolongada sequía de años anteriores, quedando inundada tan sólo 49 hectáreas. Ese año, se obtuvo la menor diversidad de la serie temporal con 75 taxones.

Un ejemplo más. Como se mencionó con anterioridad, las dos últimas campañas 2024 y 2025 han mostrado un buen nivel hídrico (623 y 1123 hectáreas inundadas en el mes de mayo respectivamente) alcanzándose igualmente cifras elevadas de biodiversidad (93 especies).

Se sospecha que los periodos de sequía han provocado probablemente la pérdida de hábitat palustre (reduciendo su superficie) y han permitido su reemplazo por la vegetación circundante más oportunista. Este puede ser el motivo por el que las especies de aves que muestran incrementos poblacionales en el parque nacional son más propias de ambientes agrícolas o de mosaicos agropecuarios, como la codorniz, la cogujada común y el escribano triguero. De hecho, éstas dos últimas, han frenado radicalmente su crecimiento poblacional en estas dos últimas temporadas, cuando ha existido una mayor superficie inundada.

Del mismo modo que la sequía favorece una mayor densidad de aves generalistas, se reduce la abundancia de aquellas unidas estrechamente a ambientes acuáticos y, así, todas las especies con retroceso poblacional son palustres o muy ligadas a estos medios (carriceros común y tordal, cetia ruiseñor y buitrón).

Como en el caso anterior, pero en sentido opuesto, dichas especies han experimentado una ligera recuperación en estos dos últimos años de hidrología positiva.

Por tanto, a partir de la evolución del número total de especies registradas, podría afirmarse que el parque nacional mantiene un estado de conservación similar al observado al inicio del seguimiento. Sin embargo, un análisis más detallado de las especies que presentan cambios en su dinámica poblacional revela que su valor medioambiental está estrechamente condicionado por la superficie inundada. Esta variable guarda una relación positiva con la biodiversidad de aves, y, en consecuencia, con la riqueza de otros grupos faunísticos y botánicos.

En definitiva, un buen nivel hídrico permite el asentamiento de un mayor número de especies y su mayor abundancia, pudiendo favorecer, además, a algunas aves amenazadas de extinción como el escribano palustre iberoriental, la garcilla cangrejera (*Ardeola ralloides*) o el avetoro (*Botaurus stellaris*) entre otros.

En el **Parque Nacional de Cabañeros** se ha observado que la riqueza de especies tiende a disminuir conforme avanzan los años. Este fenómeno se viene produciendo desde 2018, cuando la diversidad de aves se situó ligeramente por debajo del valor obtenido en el año de comparación para no volver a recuperarse nuevamente desde entonces (salvo en 2024). No obstante, el resultado hay que tomarlo con cautela pues el retroceso es de baja magnitud (el valor mínimo se alcanzó en 2021, representando una pérdida sólo del 15% con respecto a 2012) y limitado a unos pocos años finales, de manera que resulta conveniente extender el seguimiento algunos años más para certificar esta disminución.

Cuando se analiza esta variable en función del hábitat se aprecia que este decrecimiento se expresa únicamente en los enclaves forestal y herbáceo, permaneciendo sin cambios significativos en el ambiente arbustivo. Por lo tanto, las perturbaciones responsables de esta disminución podrían tener su origen en estos ecosistemas.

Del mismo modo, aunque la abundancia total de ejemplares permanece constante cuando los datos se analizan conjuntamente, si se disgregan por ambientes nuevamente el forestal experimenta un descenso moderado en la densidad. En el caso del ambiente herbáceo la tendencia es incierta mientras que en el arbustivo permanece igualmente estable en el tiempo. Por lo tanto, los resultados parecen sugerir un deterioro en el estado de conservación de las masas forestales principalmente o, al menos, de manera más significativa.

Otro dato que sugiere una pérdida de abundancia en este hábitat es el hecho de que la mayor parte de las especies que muestran dinámicas poblacionales negativas estadísticamente significativas son propias de este ambiente (arrendajo euroasiático, herrerillo común, carbonero común, reyezuelo listado y agateador euroasiático), aunque cabe señalar que la razón podría estar en que este hábitat es donde se concentra la mayor parte de los puntos de muestreo y se obtiene una mayor diversidad de especies.

Por otro lado, también existen especies de ámbitos forestales que, en el parque nacional, mantienen poblaciones estables, pero que a nivel nacional y Cataluña muestran un incremento consolidado, como es el caso de la paloma torcaz, pinzón vulgar y trepador azul. Podría interpretarse como que ciertos factores locales y específicos del hábitat boscoso podrían estar ralentizando o impidiendo que este aumento poblacional se viera reflejado en el parque nacional.

Sin embargo, la pérdida de abundancia de efectivos reproductores afecta realmente a todos los hábitats, tanto arbustivos (representados por el cuco común, escribano montesino y mirlo común) como herbáceos (perdiz roja, alondra totovía y escribano triguero).

Considerando todo lo anterior, tendemos a pensar que en el parque nacional no se está produciendo realmente una pérdida de especies, pero sí una disminución de su abundancia. Este retroceso parece menos acusado en los terrenos dominados por el matorral, pues la mayoría de las variables analizadas permanecen estables aquí.

La disminución parece ser más intensa en el hábitat forestal y en el herbáceo. En este último, la sobrepoblación de ungulados podría estar afectando a las especies que crían en el suelo. Se tienen estimas de 70 ciervos/km² y 50 jabalíes/km² lo que podría suponer erosión del suelo, pérdida de vegetación y degradación de hábitats. Consumen la vegetación herbácea que emplean estas aves para ocultar sus nidos, compactan el sustrato y pueden ocasionar la pérdida de la nidada por molestias continuas, destrucción accidental o por depredación directa (en el caso del jabalí).

El descenso en el hábitat forestal no parece tener una posible explicación tan evidente. No se han producido incendios en los últimos años que hayan afectado de manera significativa a los bosques, de hecho, aunque no se tienen datos concretos, parece que la masa forestal ha aumentado desde su declaración como parque nacional.

Se realiza un seguimiento periódico de las tasas de defoliación en bosques de encinas, alcornoques y robles y estos controles no muestran cambios relevantes en los últimos años según se informa en la página web de MITECO (2025), con niveles admisibles en 2024, aunque algunas zonas presentan una situación desfavorable, como pueden ser, entre otras, las vaguadas y solanas en Navalucillos y carretera de la sierra (CM-4157), vaguadas o zonas con suelos muy someros/sobre fuertes pendientes en Gargantilla, arroyo de las Peralosas en Cabañeros y algunos enclaves de la raña/zona pública (Fernández-Barragán *et al.* 2025).

Por otro lado, no se dispone de estudios concretos que indiquen que la patología forestal de “la seca” (que afecta sobre todo a la encina y al alcornoque) se encuentre avanzando, al menos hasta donde tenemos constancia, no se ha publicado alertas específicas dentro del parque.

Únicamente es posible que exista cierta pérdida de pies de quejigo (*Quercus faginea*) pues requieren más humedad y el creciente calentamiento global puede estar generando estrés hídrico que afecta a su estado de salud, llevándose a cabo repoblaciones desde 2015 en el interior de este enclave protegido. En cualquier caso, no parece plausible que este hecho por si sólo suponga el principal motivo responsable de la disminución en la abundancia de ciertas especies de aves forestales.

El estado de conservación del **Parque Nacional de los Picos de Europa** puede considerarse en términos generales favorable y estable durante el periodo analizado. Los indicadores principales —la riqueza de especies y la abundancia total de aves— no han mostrado variaciones de gran magnitud respecto a los valores iniciales, lo que sugiere un equilibrio a lo largo del tiempo.

Al examinar los distintos hábitats por separado, se observa que esta estabilidad se mantiene de forma consistente, sin que ninguno de ellos presente dinámicas divergentes respecto a la

tendencia general. Dicho patrón refuerza la idea de que no existen actualmente hábitats más vulnerables o beneficiados en el conjunto del parque.

Un signo adicional de este buen estado de conservación es la existencia de nueve especies cuya población reproductora se ha mantenido invariable, concretamente el bisbita ribereño alpino, el herrerillo común, el petirrojo europeo, el pinzón vulgar, el colirrojo tizón, el acentor común, la chova piquirroja, la curruca capirotada y el mirlo común.

En contraste, los casos de descenso poblacional son menos numerosos. Solo cinco especies muestran una tendencia regresiva: el ánade azulón, el arrendajo euroasiático, el bisbita arbóreo, la paloma torcaz y el escribano cerillo. En algunos de estos casos, la evolución local coincide con la observada en programas de seguimiento realizados tanto en Cataluña como a escala nacional, lo que sugiere que dichos descensos podrían responder a factores que operan en un contexto geográfico más amplio, y no exclusivamente a presiones dentro del propio parque.

Finalmente, conviene destacar que las especies con tendencias estadísticamente significativas no son propias de un hábitat concreto. Esto permite descartar, por ahora, que alguno de los ambientes del parque esté siendo especialmente favorecido o, por el contrario, se encuentre en una situación de deterioro particular.

Únicamente el análisis conjunto de especies propias de herbazales ha mostrado un descenso poblacional estadísticamente significativo. Este resultado hay que considerarlo con cautela porque sólo dos taxones han podido ser empleados en el análisis, pero pone el foco de atención para posibles estudios ya que se sugiere que las especies alpinas serán vulnerables en el futuro por el retroceso de los hábitats de alta montaña como consecuencia del cambio climático.

En el **Parque Nacional de Ordesa y Monte Perdido** se aprecia una tendencia al descenso progresivo en el número anual de especies registradas. Este patrón no es uniforme en todos los ambientes. Mientras en las masas forestales la diversidad se mantiene estable, la reducción es especialmente marcada en los herbazales y praderas de alta montaña.

Este resultado podría estar indicando una reducción de este último hábitat. En este sentido, parece estar produciéndose un avance del matorral en los pastos supraforestales, consecuencia tanto del abandono del pastoreo tradicional como de los efectos del cambio climático. Alados *et al.* (2011) han documentado cómo la expansión del matorral reduce la superficie de pastizales abiertos y, ello podría reducir la disponibilidad de hábitat para aves especializadas en estos ecosistemas.

Junto con el desarrollo del matorral, también parece estar produciéndose un avance de la masa forestal, reforzado por el abandono de actividades agroganaderas tradicionales y otros factores (García-Ruiz y Lasanta 2018). Sin embargo, no parece estar traduciéndose en un incremento en el número de aves propias de estos ambientes. Resulta cada vez más esporádica la observación de especies como el herrerillo capuchino, el mosquitero común o el carbonero palustre. Otras aves muestran una evidente reducción de sus efectivos reproductores, como el herrerillo común o el agateador europeo. Tampoco parece muy favorable la situación del pinzón vulgar, pues, aunque se encuentra estable en el parque nacional, en otros programas de seguimiento su evolución es positiva, de incremento poblacional.

Por lo tanto, los muestreos de aves en el parque nacional parecen estar mostrando cambios en el uso del suelo, con pérdida de enclaves dominados por herbazal que son sustituidos por matorral y, en menor medida, especies arbóreas. No obstante, también sería necesario profundizar en el estado de conservación de estas masas forestales porque gran parte de las especies con retroceso poblacional emplean este hábitat.

El **Parque Nacional de Aigüestortes i Estany de Sant Maurici** parece estar experimentando un retroceso en el número de especies que se identifica cada año. Este fenómeno parece ser muy gradual, estimándose una tasa de pérdida promedio inferior al 1% anual. Quizás esta "lentitud" sea el motivo por el que, el análisis de esta variable en los diferentes hábitats resulte paradójicamente como estable, en contraposición al resultado global, es decir, es posible que matemáticamente todavía no se haya trasladado a los distintos ecosistemas y sólo pueda apreciarse si se analiza en su conjunto.

Son necesarios más años de estudio para certificar la tendencia encontrada, pero los resultados encontrados hasta el momento parecen estar señalando hacia una degradación del estado de conservación del parque nacional.

El calentamiento global parece estar favoreciendo la densificación forestal y que el límite superior del bosque se desplaza hacia cotas mayores en los Pirineos (Sangüesa-Barreda *et al* 2018). Este hecho podría explicar la tendencia encontrada pues verían reducida su superficie los prados de siega y pastos subalpinos que constituyen espacios abiertos claves para determinadas especies [como la perdiz pardilla (*Perdix perdix*)], ocasionando posiblemente la pérdida de biodiversidad ornitológica. También las especies propias de climas fríos podrían reducir su abundancia o modificar su rango altitudinal de distribución ante el creciente aumento de las temperaturas.

El aumento poblacional, registrado en este trabajo, de especies típicamente forestales como el pinzón vulgar o el arrendajo euroasiático o la menor detección del bisbita arbóreo en los últimos años parecen sustentar esta hipótesis.

No obstante, otros indicadores señalan en la dirección opuesta. Especies como el escribano montesino, piquituerto común y reyezuelo sencillo deberían verse favorecidas por esta situación y, sin embargo, cada vez aparecen con menos frecuencia en los muestreos. También el análisis de la abundancia conjunta de aves forestales como verderón serrano, pico picapinos, herrerillo capuchino y carbonero garrapinos muestra un descenso paulatino.

Por lo tanto, como se mencionó con anterioridad, son necesarias más campañas de muestreo para confirmar el resultado de pérdida de diversidad de aves en el parque nacional, pero en caso de concretarse, debería examinarse la evolución del área de distribución de la masa forestal y del matorral y sus efectos sobre la biodiversidad.

En el **Parque Nacional marítimo-terrestre del Archipiélago de Cabrera** se han citado un total de 34 especies distintas de aves durante la presente campaña de 2025. Este valor se enmarca en la tendencia positiva que se ha observado en campañas anteriores, originando un incremento moderado de la variable a lo largo de la serie temporal.

El aumento progresivo de la diversidad es evidente en los hábitats arbustivos y dominados por herbazales, pero esta dinámica no se aprecia en el ambiente forestal, donde la riqueza de especies se muestra estable a lo largo del tiempo.

En relación con la abundancia global de aves, no es posible establecer conclusiones claras, ya que la tendencia observada resulta incierta tanto a escala general como al analizar los distintos tipos de hábitats por separado. Se registran importantes fluctuaciones interanuales, probablemente atribuibles a la variabilidad en los conteos de determinadas especies, como los vencejos o los láridos. Estas oscilaciones introducen una alta dispersión en los resultados, lo que da lugar a una evolución temporal que aparenta ser aleatoria o, al menos, caracterizada por una dinámica difícilmente predecible.

Atendiendo exclusivamente a la riqueza específica, podría considerarse que el estado de conservación del parque nacional es favorable. No obstante, la regresión detectada en las poblaciones reproductoras de determinadas especies, tanto forestales (como el papamoscas gris) como de medios arbustivos (como la curruca balear o la curruca cabecinegra), cuestiona dicha valoración y sugiere la necesidad de un análisis más detallado. Por lo tanto, hay que considerar estos resultados como orientativos a falta de una serie temporal más larga o de estudios más específicos. En este sentido, se considera prioritario llevar a cabo estudios concretos de seguimiento y evaluación poblacional de la curruca balear, dada su condición de endemismo y su limitada área de distribución, con el objetivo de actualizar el conocimiento sobre su estado de conservación.

A raíz de los datos obtenidos, se puede inferir que el **Parque Nacional de la Caldera de Taburiente** muestra un buen estado de conservación. En este sentido, tanto la riqueza de especies como la abundancia de aves experimentan un incremento moderado.

Este resultado se sustenta también en el hecho de que ninguna de las especies analizadas ha sufrido una pérdida de efectivos reproductores. Los taxones con tendencias estadísticamente significativas bien mantienen sus poblaciones estables o bien las incrementan. Así, la estabilidad de aves como el herrerillo canario y el pinzón vulgar sugieren un estado de conservación similar de la masa forestal respecto al inicio del programa de seguimiento.

Por otro lado, la única especie que muestra un incremento poblacional es el bisbita caminero. No se tienen datos temporales sobre la evolución de esta especie en La Palma o en otras islas canarias, de manera que no se puede verificar si la tendencia encontrada responde a una dinámica poblacional global de la especie o, por el contrario, es un hecho exclusivo del parque nacional. En este último caso, podría estar sugiriendo un avance de los herbazales y formaciones arbustivas que constituyen su hábitat óptimo (frente a otros como los forestales) como consecuencia de un incremento de las temperaturas medias y de una disminución de las precipitaciones como consecuencia del cambio climático.

No se tienen datos de otras aves no forestales que pudieran confirmar o poner en duda esta interpretación.

El estado de conservación del **Parque Nacional de Garajonay** puede considerarse favorable, ya que los indicadores analizados muestran estabilidad a lo largo del tiempo.

La riqueza de especies se mantiene constante, lo que refleja ausencia de pérdidas significativas en la diversidad. Del mismo modo, la abundancia total de aves no presenta variaciones relevantes, lo que sugiere que no existen alteraciones en la capacidad del espacio protegido para sostener a la comunidad.

Finalmente, el hecho de que tres especies concretas con seguimiento mantengan poblaciones estables refuerza la idea de un sistema equilibrado y sin señales evidentes de deterioro.

No obstante, conviene mantener el monitoreo a largo plazo, pues la estabilidad actual no garantiza que no se produzcan cambios futuros derivados de presiones externas como el cambio climático o el turismo entre otros aspectos.

En el **Parque Nacional del Teide** se observa que tanto la riqueza de especies como la abundancia de individuos está experimentando una disminución a lo largo de estos últimos 14 años de seguimiento.

Esta pérdida de biodiversidad, cuando se analiza los distintos hábitats, queda patente exclusivamente en el enclave arbustivo. Esto se debe a que la mayor parte del esfuerzo de muestreo se concentra en este tipo de ambiente. En consecuencia, los patrones que se registran en el conjunto del parque están fuertemente condicionados por lo que ocurre en el matorral. En otras palabras, el descenso general detectado en las comunidades de aves del parque nacional refleja principalmente la dinámica de las poblaciones presentes en el matorral, que al concentrar la mayoría de los puntos de muestreo ejerce un peso determinante sobre los resultados globales.

No obstante, no es descartable que la reducción de la biodiversidad se produzca también en la masa forestal y que no haya quedado reflejada debido al escaso tamaño muestral.

Como posibles causas de este retroceso podría estar el aumento sostenido de las temperaturas y la irregularidad en el régimen de precipitaciones como consecuencia del cambio climático, que podrían estar incidiendo de manera indirecta sobre las aves (mediante cambios en la distribución y productividad de los vegetales, obtención de recursos, etc.), particularmente en aquellas especies endémicas altamente especializadas y adaptadas a condiciones de altitud y aridez.

No obstante, no se debe excluir otras causas, como la presión que ejerce el turismo y sus infraestructuras asociadas.

En el **Parque Nacional de Timanfaya** el número de especies detectadas a lo largo del periodo analizado sigue una tendencia estable, contabilizándose un número más o menos similar en las distintas temporadas.

En cuanto a la abundancia total de aves el resultado es idéntico, ajustándose los valores a una dinámica poblacional estable, si bien las fluctuaciones interanuales son de mayor envergadura, motivado principalmente por la mayor o menor detección de aves marinas.

En base a estas dos variables se puede afirmar que el estado de conservación del parque nacional es similar al encontrado al inicio de la serie temporal (año 2012). No obstante, resultaría necesario aumentar los muestreos en este parque nacional para refrendar esta afirmación. Esto es así porque la abundancia de la mayoría de las especies analizadas es escasa y ello impide que se puedan obtener estimas fiables de tendencia poblacional. De hecho, todas ellas han mostrado tendencias inciertas.

Cuando los valores de densidad son altos, las fluctuaciones relativas tienden a ser menos sensibles al error y los resultados estadísticos son más precisos y concluyentes.

En el **Parque Nacional marítimo-terrestre de las Islas Atlánticas de Galicia** el número de especies que se identifican anualmente muestra una tendencia estable, sugiriendo estabilidad de las condiciones ambientales desde el inicio del programa de seguimiento.

Cuando los datos se diferencian por hábitats, la riqueza de especies en las masas forestales y en los enclaves dominados por el matorral muestra la misma dinámica estable. Sin embargo, en los puntos de muestreo influidos por el medio agrícola, existe una tendencia hacia un mayor recuento de taxones, es decir, existe un incremento moderado de la diversidad de aves. Así, se ha pasado de citarse unas 20 especies al inicio de la serie temporal a cerca de 25-30 (alrededor de un 25% más) en las últimas campañas.

Este resultado parece estar mostrando la desaparición de los usos agrícolas y ganaderos tradicionales en las islas, de modo que la vegetación natural ha experimentado un notable proceso de recolonización. En este sentido, parece que existe constancia de que los antiguos terrenos de cultivo y pastizales han sido progresivamente ocupados por comunidades arbustivas y herbáceas propias del matorral atlántico, dominadas por *Ulex europaeus*, *Erica* spp. y *Pteridium aquilinum* (González-García *et al.* 2009, OAPN 2022). En sectores más avanzados del proceso sucesional, especialmente en la isla de Cortegada, se observa la expansión del bosque laurifolio, con una regeneración destacada de *Laurus nobilis* y otras especies arbóreas autóctonas (Campos *et al.* 2014, Xunta de Galicia 2022).

Este proceso de sucesión ecológica secundaria está generando una mayor heterogeneidad estructural del hábitat, lo que parece reflejarse en un incremento de la riqueza y diversidad de aves detectadas en estos ambientes. La colonización vegetal proporciona nuevas oportunidades tróficas y de refugio, favoreciendo la presencia tanto de especies forestales como de otras asociadas a matorrales densos.

A nivel particular, únicamente dos especies muestran retrocesos poblacionales, concretamente la curruca cabecinegra y el agateador europeo. Son mayoritarios los taxones que ofrecen poblaciones reproductoras estables o con tendencia al incremento de efectivos. Entre estas últimas, sorprende que todas ellas han experimentado un drástico repunte más o menos a partir del año 2022-2023 (véase por ejemplo la Ilustración 178 o la Ilustración 181). El motivo de este aumento se desconoce. En estas fechas se iniciaron actuaciones de eliminación de especies exóticas invasoras (acacias, margarita africana, etc.) en las islas Cíes, Ons y Sálvora del parque nacional, buscando conseguir la restauración integrada de hábitats insulares en islas del océano Atlántico, pero nos ha sido posible determinar si existe una relación directa entre ambos sucesos.

La abundancia total de aves muestra un descenso moderado, pero tendemos a pensar que es una consecuencia de los bajos recuentos de gaviota patiamarilla que se han obtenido en las últimas temporadas. Al contabilizarse centenares de individuos su peso relativo en el cómputo general es muy importante, de manera que esta disminución en los últimos años ha podido propiciar la tendencia resultante. De hecho, en los hábitats donde la influencia de la gaviota no es importante (arbolado y agrícola) porque se recuentan pocos ejemplares, la dinámica de la densidad de aves califica como estable.

No obstante, conviene extender la serie temporal para determinar si realmente se trata de un resultado fruto de la variabilidad interanual o está respondiendo a cambios ambientales.

En el **Parque Nacional de Monfragüe**, el número de especies detectadas anualmente se mantiene estable a lo largo de la serie temporal y sin diferencias apreciables entre los distintos hábitats analizados.

En cuanto a la abundancia de aves, se observa un incremento con respecto a los primeros años de seguimiento. No obstante, los análisis por hábitats indican que este aumento se concentra exclusivamente en el medio forestal, mientras que en el hábitat arbustivo la densidad de aves se mantiene estable.

Las causas de esta diferencia no se conocen con certeza, aunque podrían estar relacionadas con una mayor productividad actual del bosque, que proporcionaría más recursos tróficos o mejores condiciones para la nidificación que en años anteriores. Esta circunstancia sugeriría que procesos fitopatológicos como “la seca” no estarían afectando de forma significativa al estado de salud de las masas forestales. Otra explicación plausible sería que el bosque ofrece condiciones más estables de humedad y temperatura, lo que favorecería su utilización frente a otras áreas más expuestas a un calor y sequedad que se incrementan como consecuencia del cambio climático.

Sin embargo, no puede descartarse que el aumento de abundancia se esté produciendo también en ambos hábitats, ya que varias de las especies que han mostrado incrementos significativos en sus poblaciones —como el ruiseñor común, el petirrojo o las currucas cabecinegra y capirotada— son típicas de ambientes arbustivos, tanto húmedos como secos.

En conjunto, el estado de conservación del parque nacional parece mantenerse similar al existente al inicio del programa de seguimiento, dado que la riqueza de especies permanece estable y solo dos de ellas presentan un retroceso poblacional apreciable. En este contexto, sería conveniente comprobar mediante estudios específicos si el milano negro se encuentra realmente en regresión dentro del parque, ya que la metodología empleada en los programas de seguimiento de aves comunes no resulta la más adecuada para censar rapaces. Dado que esta especie se asocia principalmente a hábitats ribereños, su aparente descenso podría reflejar algún grado de afección en dichos ambientes, lo que hace recomendable complementar el seguimiento con estudios específicos sobre las zonas fluviales, actualmente poco representadas en los itinerarios del programa.

En el **Parque Nacional de la Sierra de Guadarrama** tanto la riqueza de especies como la abundancia total de aves se mantienen estables a lo largo de la serie temporal analizada. Este patrón sugiere que, en términos generales, su estado de conservación es similar al existente en el año 2012.

No obstante, cuando se disgregan los análisis en función de los distintos hábitats, se observa que, efectivamente, el ambiente arbolado mantiene esta misma dinámica de estabilidad en ambas variables, pero la tendencia es diferente en los enclaves arbustivos y dominados por la vegetación herbácea. En este último, tanto la diversidad de aves como su abundancia muestran un incremento significativo a lo largo del periodo de estudio. También muestra esta misma dinámica positiva el ambiente dominado por el matorral, aunque sólo en la abundancia de aves.

Cuando se analiza las especies individualmente, ninguna de las que muestran querencia por el ambiente herbáceo incrementa su población reproductora de manera estadísticamente

significativa. Son, más bien, aquellas propias de ambientes forestales como el agateador europeo, el carbonero garrapinos, el zorzal charlo o el pito real ibérico.

Una interpretación general de estos resultados sugiere un posible avance de las masas forestales y del matorral hacia las cumbres, llegando progresivamente a las praderas existentes en los picos más elevados. Esto explicaría que la riqueza de especies y su abundancia a nivel general se mantiene constante y, al mismo tiempo, que se incrementa en los herbazales alpinos, puesto que las especies en conjunto son las mismas, pero ahora existe más biodiversidad en las cimas de las montañas como consecuencia de esta colonización.

En este sentido, se tiene constancia que el abandono de la actividad ganadera tradicional y las temperaturas invernales más cálidas en la Sierra de Guadarrama han causado la expansión de las plantas leñosas autóctonas en los pastos alpinos en detrimento de las plantas herbáceas con flores (Sanz-Elorza *et al.* 2003; García-Romero *et al.* 2010).

Por lo tanto, los indicadores relativos al estado de conservación del parque nacional se muestran estables a lo largo de la serie temporal, indicando que las condiciones medioambientales iniciales perduran. Sin embargo, parecen existir evidencias de cambio en la comunidad ornitológica de las praderas alpinas hacia un aumento de su biodiversidad. Resultaría interesante llevar estudios en este sentido, para confirmar la mayor aparición de aves en este hábitat y si ello pudiera estar relacionado con un avance de plantas leñosas en altitud.

A nivel del conjunto de la Red de Parques Nacionales los espacios en una situación más desfavorable serían el Parque Nacional de Sierra Nevada y Parque Nacional del Teide. Ambos constituyen los únicos enclaves en los que la biodiversidad de aves (tanto en términos de riqueza como abundancia de especies) muestran una tendencia negativa, con pérdida apreciable de efectivos reproductores. Estos parques comparten un marcado gradiente altitudinal y se sitúan bajo la influencia de un clima templado, mientras que otros parques nacionales de similares características, pero con influencia atlántica, no muestran esta evolución.

Las zonas de alta montaña se consideran especialmente vulnerables al cambio climático debido a su limitada capacidad de amortiguar los incrementos térmicos y a la fuerte especialización ecológica de sus comunidades. En estos entornos, pequeñas variaciones en la temperatura o en el régimen de precipitaciones pueden provocar desplazamientos altitudinales, modificaciones en la estructura de la vegetación y, en consecuencia, alteraciones en la composición y abundancia de las comunidades faunísticas.

En este contexto, los esfuerzos de conservación deben orientarse a reducir la exposición y sensibilidad de estos ecosistemas frente al cambio climático, mediante actuaciones que pueden incluir desde la limitación de acceso al turismo hasta la restauración de hábitat y la eliminación de especies exóticas invasoras.

Resulta fundamental mantener series temporales continuas para detectar cambios poblacionales y evaluar la eficacia de las medidas de gestión implementadas. Además, en entornos de alta montaña —donde los efectos del cambio climático pueden manifestarse con mayor rapidez y magnitud—, la información derivada de los programas de seguimiento constituye una herramienta esencial para la toma de decisiones adaptativas y la planificación de actuaciones de conservación a medio y largo plazo.

Las aves desempeñan un papel esencial como bioindicadores, dado que muchas de ellas cumplen funciones ecológicas clave —como la dispersión de semillas, el control de plagas, la polinización o el reciclaje de nutrientes—, de modo que su estado y evolución reflejan directamente la salud del sistema. Además, responden de forma rápida a las alteraciones del medio, ya sea por cambios en el uso del suelo, contaminación, fragmentación del hábitat o efectos del cambio climático, lo que las convierte en excelentes herramientas para evaluar la eficacia de las medidas de gestión y conservación aplicadas y determinar si es necesario ajustarlas.

BIBLIOGRAFÍA

- AEMET. 2022. Análisis climático de Andalucía Oriental: tendencias y anomalías térmicas. Agencia Estatal de Meteorología.
- Améztegui, A., Coll, L., Brotons, L., & Ninot, J. M. 2016. Land-use legacies rather than climate change are driving the recent upward shift of the mountain treeline in the Pyrenees. *Global Ecology and Biogeography*, 25(3), 263-273
- Alados, C. L., Komac, B., Bueno, G., Gartzia, M., Escós, J., Gómez-García, D., García-González, R., Fillat, F., Camarero, J. J., Herrero, J., & Pueyo, Y. 2011. *Modelización de la matorralización de los pastos del Parque Nacional de Ordesa y Monte Perdido y su relación con el cambio global*. En *Proyectos de Investigación en Parques Nacionales: 2007-2010* (pp. 101-124). *Organismo Autónomo de Parques Nacionales*, Ministerio de Medio Ambiente, Madrid.
- Bermejo, A. 2004. Programa PASER: más de diez años trabajando para la conservación de las aves. *Revista de Anillamiento* 13-14: 2-26.
- Billeter, R., J. Liira, D. Bailey *et al.* 2008. Indicators for biodiversity in agricultural landscapes: a pan-European study. *Journal of Applied Ecology* 45: 141–150.
- BirdLife International 2015. European Red List of Birds. Yellowhammer. Supplementary Material.
- Bonet, F. J., Pérez-Luque, A. J., *et al.* 2020. Seguimiento de biodiversidad y procesos ecológicos en Sierra Nevada: 2008–2020. Laboratorio de Ecología, Universidad de Granada.
- Blanco, G. y Sergio, F. 2022. Milano negro *Milvus migrans*. En, B. Molina, A. Nebreda, A. R. Muñoz, J. Seoane, R. Real, J. Bustamante y J. C. del Moral: *III Atlas de las aves en época de reproducción en España*. SEO/BirdLife. Madrid. <https://atlasaves.seo.org/ave/milano-negro/>
- Campos, J. A., Herrera, M., & Izco, J. 2014. Vegetation dynamics in abandoned croplands of Atlantic Islands National Park (NW Spain). *Plant Ecology*, 215(5): 581–596.
- Escandell, V., Herrando, S. y Escudero, E. 2023. Tendencia de las aves en primavera. En, SEO/BirdLife. *Programas de seguimiento y grupos de trabajo de SEO/BirdLife 2023*, pp. 4-9. SEO/BirdLife. Madrid.
- Fernández-Barragán, J., Reina, I., Chamorro, G., Rollán, D. & Blanco, R. (2025). Revisión del estado to-sanitario de las masas forestales en la Red de Parques Nacionales. Informe de resultados del período 1986-2024. Organismo Autónomo Parques Nacionales. Ministerio para la Transición Ecológica y el Reto Demográfico.
- García-Romero, A., Muñoz, J., Andrés, N. y Palacios, D. 2010. Relationship between climate change and vegetation distribution in the Mediterranean mountains: Manzanares Head Valley, Sierra de Guadarrama (Central Spain). *Climatic Change* 100: 645–666.
- García-Ruiz, J. M., & Lasanta, T. 2018. El Pirineo aragonés como paisaje cultural. *Pirineos*, 173
- González-García, A., Izco, J., & Silva-Pando, F. J. 2009. La vegetación del Parque Nacional de las Islas Atlánticas de Galicia. *Ecosistemas*, 18(2): 3–15.
- ICO 2025. SIOC: servidor d'informació ornitològica de Catalunya. ICO, Barcelona. (<http://www.sioc.cat>).

- Illera, J. C. 2022. Mosquitero canario *Phylloscopus canariensis*. En, B. Molina, A. Nebreda, A. R. Muñoz, J. Seoane, R. Real, J. Bustamante y J. C. del Moral: III Atlas de las aves en época de reproducción en España. SEO/BirdLife.
- Martínez-Padilla, J. 2022. Cernícalo vulgar *Falco tinnunculus*. En, B. Molina, A. Nebreda, A. R. Muñoz, J. Seoane, R. Real, J. Bustamante y J. C. del Moral: III Atlas de las aves en época de reproducción en España. SEO/BirdLife. Madrid.
- MITECO 2025. Parque Nacional de Cabañeros. <https://www.miteco.gob.es/es/parques-nacionales-oapn/red-parques-nacionales/parques-nacionales/cabaneros/conservacion-biodiversidad.html>
- Molina, B. 2022. Ánade azulón *Anas platyrhynchos*. En, B. Molina, A. Nebreda, A. R. Muñoz, J. Seoane, R. Real, J. Bustamante y J. C. del Moral: III Atlas de las aves en época de reproducción en España. SEO/BirdLife. Madrid. <https://atlasaves.seo.org/ave/anade-azulon/>
- Myers, N., R.A. Mittermeier, C.G. Mittermeier *et al.* 2000. Biodiversity hotspots for conservation priorities. *Nature* 403:853–858.
- OAPN–CSIC. 2020. Estado de conservación del Parque Nacional de Sierra Nevada. Indicadores del Observatorio de Cambio Global. Ministerio para la Transición Ecológica y el Reto Demográfico.
- Organismo Autónomo de Parques Nacionales (OAPN). 2022. Plan Rector de Uso y Gestión del Parque Nacional Marítimo-Terrestre de las Islas Atlánticas de Galicia. Boletín Oficial del Estado, n.º 121, 21 de mayo de 2022.
- Pannekoek, J. y A. van Strien. 2005. TRIM 3.0 for Windows. (Trends and Indices for Monitoring data). Statistics Netherlands, Voorburg, Netherlands.
- Qian, H. y R.E. Ricklefs. 2008. Global concordance in diversity patterns of vascular plants and terrestrial vertebrates. *Ecology Letters* 11: 547–553.
- Rodrigues, A.S.L., S.J. Andelman y M.I. Bakarr. 2004. Effectiveness of the global protected area network in representing species diversity. *Nature* 428:640–643.
- Sánchez-Bayo F. y Wyckhuys, K.A. 2019. Worldwide decline of the entomofauna: a review of its drivers. *Biological Conservation*, 232: 8-27.
- Sangüesa-Barreda, G., Camarero, J. J., Esper, J., Galván, J. D., & Büntgen, U. 2018. A millennium-long perspective on high-elevation pine recruitment in the Spanish central Pyrenees. *Canadian Journal of Forest Research*, 48(9), 1108-1113.
- Sanz-Elorza, M., Dana, E.D., Gonzalez, A. y Sobrino, E. 2003. Changes in the high-mountain vegetation of the central Iberian Peninsula as a probable sign of global warming. *Annals of Botany* 92: 273–280.
- Sunyer, J. 2008. Biología de la Curruca Balear *Sylvia balearica*. GOB Mallorca. Informe técnico.
- Vera, P., M. Sasa, S.I. Encabo, E. Barba, E.J. Belda y J.S. Monrós. 2011. Land use and biodiversity congruences at local scale: applications to conservation strategies. *Biodiversity and Conservation* 20: 1287-1317.
- Xu, H., J. Wu, Y. Liu *et al.* 2008. Biodiversity congruence and conservation strategies: a national test. *Bioscience* 58: 632–639.

Xunta de Galicia. 2022. Plan de conservación y seguimiento ambiental del Parque Nacional Marítimo-Terrestre das Illas Atlánticas de Galicia. Consellería de Medio Ambiente, Territorio e Vivenda.

Zamora, R., Bonet, F. J., Pérez-Luque, A. J., & Sánchez, J. 2015a. Cambio global en ecosistemas mediterráneos de montaña: efectos sobre biodiversidad y funcionamiento ecológico. *Ecosistemas*, 24(1), 1–10. <https://doi.org/10.7818/ECOS.2015.24-1.01>.

Zamora, R., & Barea-Azcón, J.M. 2015b. Long-term changes in mountain passerine bird communities in the Sierra Nevada (Southern Spain): A 30-year case study. *Ardeola*, 62(1), 3–18.

Anexos

Anexo 1. Plantilla para la caracterización del hábitat en los distintos puntos de muestreo en la Red de parques Nacionales.

Los códigos 1 y 2 son necesarios en las fichas de campo que se envíen

Estos dos códigos adicionales son opcionales

| CÓDIGO 1 | HÁBITATS | CATEGORÍAS | CÓDIGO 2 | CÓDIGO 3 | CÓDIGO 4 | | |
|---|--|---|---|---|--|------------------------------------|--|
| A | ARBOLADOS Hábitats en los que los árboles (más de 3 m de altura) alcanzan una cobertura en el área de estudio superior al 3% [excepto en el caso de las agrícolas y las urbanas, que se codifican en agrícolas y humanizadas respectivamente] | Enebrales y Sabinares | | | | | |
| | | | 01 | | | | |
| | | Comunes | Pinares y abetales [incluye pinapares] | Cobertura del arbolado del 5-40%... | 02 | | Cobertura del matorral: 0-25% 01 >25% 02 |
| | | | | ...o mayor del 40% | 03 | | Cobertura del matorral: 0-25% 01 >25% 02 |
| | | Cultivos | Hayedos | Cobertura del arbolado del 5-40%... | 04 | | Cobertura del matorral: 0-25% 01 >25% 02 |
| | | | | ...o mayor del 40% | 05 | | Cobertura del matorral: 0-25% 01 >25% 02 |
| | | Cultivos | Castaños | Cobertura del arbolado del 5-40%... | 06 | | Cobertura del matorral: 0-25% 01 >25% 02 |
| | | | | ...o mayor del 40% | 07 | | Cobertura del matorral: 0-25% 01 >25% 02 |
| | | Cultivos | Choperas [excepto aquellas que sean claramente ribereñas] | Cobertura del arbolado del 5-40%... | 08 | | Cobertura del matorral: 0-25% 01 >25% 02 |
| | | | | ...o mayor del 40% | 09 | | Cobertura del matorral: 0-25% 01 >25% 02 |
| | | Cultivos | Robedales | Cobertura del arbolado del 5-40%... | 10 | | Cobertura del matorral: 0-25% 01 >25% 02 |
| | | | | ...o mayor del 40% | 11 | | Cobertura del matorral: 0-25% 01 >25% 02 |
| | | Cultivos | Fresnedales [excepto aquellos que sean claramente ribereñas] | Cobertura del arbolado del 5-40%... | 12 | | Cobertura del matorral: 0-25% 01 >25% 02 |
| | | | | ...o mayor del 40% | 13 | | Cobertura del matorral: 0-25% 01 >25% 02 |
| | | Cultivos | Encinares y alcornocales | Cobertura del arbolado del 5-40% (incluyendo las típicas DEHESAS).. | 14 | Presencia de cultivos: SI 01 NO 02 | Cobertura del matorral: 0-25% 01 >25% 02 |
| | | | | ...o mayor del 40% | 15 | | Cobertura del matorral: 0-25% 01 >25% 02 |
| | | Cultivos | Mezclas de planifolias Cualquier combinación relevante de los caducifolios y esclerófilos anteriores | Cobertura del arbolado del 5-40%... | 16 | | Cobertura del matorral: 0-25% 01 >25% 02 |
| | | | | ...o mayor del 40% | 17 | | Cobertura del matorral: 0-25% 01 >25% 02 |
| | | Cultivos | Mezclas de planifolias y coníferas Cualquier combinación relevante de los planifolios y coníferas anteriores | Cobertura del arbolado del 5-40%... | 18 | | Cobertura del matorral: 0-25% 01 >25% 02 |
| | | | | ...o mayor del 40% | 19 | | Cobertura del matorral: 0-25% 01 >25% 02 |
| | | Cultivos | Eucaliptales | | 20 | | Cobertura del matorral: 0-25% 01 >25% 02 |
| | | | | | 21 | | Cobertura del matorral: 0-25% 01 >25% 02 |
| | | Cultivos | Lavajos y monteverde (sólo en Canarias) | | 22 | | Cobertura del matorral: 0-25% 01 >25% 02 |
| | | | | | 23 | Anchura del cauce: 1-5m 01 >5m 02 | Cobertura del matorral: 0-25% 01 >25% 02 |
| Cultivos | Bosque de ribera (Ríos, arroyos, acequias, etc.) [incluyendo choperas y fresnedales claramente ribereñas] | | 24 | | Cobertura del matorral: 0-25% 01 >25% 02 | | |
| | | | 24 | | Cobertura del matorral: 0-25% 01 >25% 02 | | |
| B | ARBUSTIVOS Hábitats desarbolados (<3% en los que la cobertura de matorral (menos de 3 m de altura, pero más de 20 cm) sea superior al 3% [excepto en el caso de las agrícolas y las urbanas, que se codifican en agrícolas y humanizadas respectivamente] | Todo tipo de formaciones | Cobertura del matorral del 35-40%... | 25 | | | |
| | | | ...o mayor del 40% | 26 | | | |
| C | HERBACEOS Hábitats abiertos (<3% de arbolado y <3% de matorral) en los que la vegetación predominante no sea arbórea [excepto en el caso de las agrícolas y las urbanas, que se codifican en agrícolas y humanizadas respectivamente] | En altitudes inferiores a 1000 metros (prados, pastizales, tumbas, etc.) | Altura de la vegetación entre +20 cm... | 27 | | | |
| | | | ...o mayor de 20 cm | 28 | | | |
| | | En zonas de alta montaña, altitudes superiores a 1000 metros (prados, pastizales, tumbas, etc.) | Altura de la vegetación entre +20 cm... | 46 | | | |
| | | | ...o mayor de 20 cm | 47 | | | |
| D | ACUÁTICOS [excepto en el caso de los bosques de ribera, que se codifican en arbolados] | Riberas fluviales desarboladas (ríos, arroyos, acequias, etc.) | 29 | Anchura del cauce: 1-5m 01 >5m 02 | Cobertura del matorral: 0-25% 01 >25% 02 | | |
| | | Embalses, lagunas, charcas, albuferas, etc. | 30 | Presencia del agua: Permanente 01 Estacional 02 | Cobertura del matorral: 0-25% 01 >25% 02 | | |
| | | Cantales, enalles, espadañales | 48 | | | | |
| | | Mar | 49 | | | | |
| E | AGRICOLAS Hábitats bajo manejo agrícola evidente que alcanzan una cobertura en el área de estudio superior al 3% [excepto en el caso de las urbanas, que se codifican en urbanas] | Cultivos de secano (trigo, cebada, etc.) Más del 75% del área muestreada | 31 | | | | |
| | | | 32 | | | | |
| | | Cultivos de regadío (alfalfa, maíz, etc.) Más del 75% del área muestreada | 33 | | | | |
| | | | 34 | | | | |
| | | Cultivos de inundación (arroz) Más del 75% del área muestreada | 35 | | | | |
| | | | 36 | | | | |
| | | Oliveras Más del 75% del área muestreada | 37 | Cobertura de arbolado: 5-40% 01 >40% 02 | Cobertura del matorral: 0-25% 01 >25% 02 | | |
| | | | 38 | | | | |
| | | Viñedos Más del 75% del área muestreada | 39 | | | | |
| | | | 40 | | | | |
| Frutales (naranjas, almendras, etc.) Más del 75% del área muestreada | 41 | | | | | | |
| | 42 | | | | | | |
| Mosaicos agropecuarios mediterráneos (España menos franja norte) Cobertura del 35-75% de una o varias categorías agrícolas anteriores y diversas combinaciones de otros hábitats | 43 | Cobertura de arbolado: 5-40% 01 >40% 02 | Cobertura del matorral: 0-25% 01 >25% 02 | | | | |
| | 44 | | | | | | |
| Mosaicos agropecuarios del norte (campaña cantábrica) Cobertura del 35-75% de una o varias categorías agrícolas anteriores y diversas combinaciones de otros hábitats | 45 | Cobertura de arbolado: 5-40% 01 >40% 02 | Cobertura del matorral: 0-25% 01 >25% 02 | | | | |
| | 46 | | | | | | |
| Huertos | 47 | | | | | | |
| | 48 | | | | | | |
| Cultivos bajo plástico | 49 | | | | | | |
| | 50 | | | | | | |
| F | HUMANIZADOS Hábitats sujetos a la presencia humana constante, y/o intencionalmente degradados [excepto en el caso de las agrícolas, que se codifican en agrícolas] | Ciudades Poblaciones en que la superficie edificada supera los 2 km² | 38 | Cobertura de arbolado: 5-40% 01 >40% 02 | Cobertura del matorral: 0-25% 01 >25% 02 | | |
| | | Pueblos Poblaciones en que la superficie edificada no supera los 2 km² | 39 | Cobertura de arbolado: 5-40% 01 >40% 02 | Cobertura del matorral: 0-25% 01 >25% 02 | | |
| | | Urbanizaciones Residenciales ajardinadas a las afueras del núcleo urbano principal | 40 | Cobertura de arbolado: 5-40% 01 >40% 02 | Cobertura del matorral: 0-25% 01 >25% 02 | | |
| | | Otras áreas urbanas (parques urbanos grandes, campos de golf, cementerios, etc.) | 41 | Cobertura de arbolado: 5-40% 01 >40% 02 | Cobertura del matorral: 0-25% 01 >25% 02 | | |
| | | Polígono industrial | 51 | | | | |
| | | Carreteras Cuando el área de estudio se localice a menos de 50 m de una carretera asfaltada no urbana, de al menos dos carriles, y con tráfico continuado. | 42 | | | | |
| | | Áreas degradadas (canchales, escombros, vertederos, etc.) | 43 | | | | |
| | | 44 | | | | | |
| G | CON POCOA O NINGUNA VEGETACIÓN Hábitats en los que la cobertura con vegetación no supera el 3% [excepto en el caso de las urbanas, que se codifican en humanizadas] | Roquetes, canchales, cortados y malpaisés | 44 | | | | |
| | | Arenales, playas y campos de dunas | 45 | | | | |
| | | Acartillado marino | 52 | | | | |

Anexo 2. Número total de especies detectadas en los distintos parques nacionales a lo largo de los diferentes años de estudio. Se muestra la categoría de cambio según los análisis del programa TRIM (* P<0,05; ** P<0,01).

| PARQUE NACIONAL | 2012 | 2013 | 2014 | 2015 | 2017 | 2018 | 2019 | 2020 | 2021 | 2022 | 2023 | 2024 | 2025 | TENDENCIA |
|------------------------------------|------|------|------|------|------|------|------|------|------|------|------|------|------|-----------------------|
| DOÑANA | 79 | 95 | 91 | 92 | 106 | 105 | 102 | 96 | 92 | 89 | 84 | 101 | 104 | ESTABLE |
| SIERRA NEVADA | 72 | 78 | 78 | 57 | 73 | 56 | 54 | 55 | 60 | 58 | 56 | 57 | 62 | DESCENSO MODERADO** |
| TABLAS DE DAIMIEL | 80 | 82 | 76 | 95 | 80 | 80 | 80 | 84 | 77 | 75 | 88 | 93 | 93 | ESTABLE |
| CABAÑEROS | 73 | 75 | 72 | 82 | 68 | 71 | 69 | 65 | 62 | 72 | 67 | 73 | 64 | DESCENSO MODERADO* |
| PICOS DE EUROPA | 75 | 69 | 64 | 59 | 76 | 64 | 67 | 66 | 76 | 67 | 72 | 76 | 79 | ESTABLE |
| ORDESA Y MONTE PERDIDO | 67 | 64 | 65 | 52 | 75 | 55 | 46 | 56 | 56 | 54 | 49 | 53 | 45 | DESCENSO MODERADO** |
| AIGÜESTORTES I ESTANY SANT MAURICI | 40 | 41 | 46 | 39 | 43 | 46 | 36 | 38 | 37 | 39 | 39 | 38 | 37 | DESCENSO MODERADO* |
| ARCHIPIÉLAGO DE CABRERA | 27 | 30 | 27 | 27 | 32 | 39 | 31 | 49 | 37 | 39 | 37 | 40 | 34 | INCREMENTO MODERADO* |
| CALDERA DE TABURIENTE | 14 | 12 | 14 | 15 | 15 | 14 | 14 | 14 | 14 | 14 | 15 | 17 | 16 | INCREMENTO MODERADO** |
| GARAJONAY | 13 | 11 | 9 | 15 | 12 | 10 | 11 | 17 | 14 | 15 | 13 | 13 | 12 | ESTABLE |
| TEIDE | 12 | 13 | 12 | 14 | 10 | 12 | 10 | 10 | 11 | 11 | 10 | 11 | 10 | DESCENSO MODERADO** |
| TIMANFAYA | 18 | 15 | 18 | 9 | 13 | 17 | 12 | 16 | 12 | 16 | 16 | 10 | 13 | ESTABLE |
| ISLAS ATLÁNTICAS | 48 | 49 | 52 | 37 | 46 | 45 | 47 | 47 | 50 | 56 | 51 | 56 | 41 | ESTABLE |
| MONFRAGÜE | 77 | 77 | 80 | 74 | 91 | 74 | 76 | 80 | 77 | 77 | 82 | 70 | 66 | ESTABLE |
| GUADARRAMA | - | 49 | 60 | 66 | 58 | 51 | 64 | 62 | 59 | 59 | 60 | 63 | 54 | ESTABLE |

Anexo 3. Número total de individuos detectados en los distintos parques nacionales a lo largo de los diferentes años de estudio. Se muestra muestra la categoría de cambio según los análisis del programa TRIM (* P<0,05; ** P<0,01).

| PARQUE NACIONAL | 2012 | 2013 | 2014 | 2015 | 2017 | 2018 | 2019 | 2020 | 2021 | 2022 | 2023 | 2024 | 2025 | TENDENCIA |
|------------------------------------|-------|-------|-------|-------|-------|-------|-------|-------|-------|-------|-------|-------|--------|-----------------------|
| DOÑANA | 2.643 | 5.828 | 4.716 | 3.728 | 7.466 | 8.001 | 4.457 | 4.759 | 3.973 | 3.379 | 3.394 | 6.278 | 10.128 | INCIERTA |
| SIERRA NEVADA | 2.189 | 2.284 | 2.025 | 2.078 | 2.024 | 1.709 | 1.718 | 1.824 | 1.787 | 1.685 | 1.458 | 1.724 | 1.857 | DESCENSO MODERADO** |
| TABLAS DE DAIMIEL | 3.311 | 1.444 | 1.396 | 1.617 | 1.525 | 1.400 | 1.436 | 2.094 | 1.946 | 1.594 | 1.935 | 3.023 | 1.936 | ESTABLE |
| CABAÑEROS | 2.078 | 2.178 | 2.472 | 3.315 | 2.627 | 1.620 | 1.671 | 2.870 | 1.905 | 1.858 | 2.342 | 1.840 | 2.059 | ESTABLE |
| PICOS DE EUROPA | 2.111 | 1.720 | 1.930 | 2.024 | 2.023 | 1.327 | 1.716 | 1.816 | 2.253 | 1.777 | 1.901 | 2.319 | 2.201 | ESTABLE |
| ORDESA Y MONTE PERDIDO | 986 | 1.075 | 1.219 | 862 | 1.475 | 833 | 659 | 840 | 882 | 701 | 833 | 1.196 | 1.255 | ESTABLE |
| AIGÜESTORTES I ESTANY SANT MAURICI | 343 | 333 | 414 | 383 | 431 | 601 | 348 | 347 | 307 | 365 | 473 | 421 | 303 | ESTABLE |
| ARCHIPIÉLAGO DE CABRERA | 471 | 577 | 631 | 628 | 396 | 972 | 832 | 925 | 810 | 804 | 644 | 605 | 510 | INCIERTA |
| CALDERA DE TABURIENTE | 228 | 182 | 267 | 133 | 285 | 274 | 277 | 234 | 249 | 218 | 311 | 281 | 275 | INCREMENTO MODERADO* |
| GARAJONAY | 349 | 265 | 252 | 198 | 484 | 269 | 336 | 324 | 334 | 272 | 311 | 300 | 296 | ESTABLE |
| TEIDE | 206 | 157 | 141 | 201 | 265 | 168 | 205 | 156 | 182 | 104 | 116 | 104 | 112 | DESCENSO MODERADO* |
| TIMANFAYA | 171 | 195 | 181 | 131 | 246 | 264 | 166 | 223 | 158 | 167 | 164 | 105 | 232 | ESTABLE |
| ISLAS ATLÁNTICAS | 2.391 | 2.750 | 3.464 | 3.347 | 2.875 | 3.000 | 3.223 | 3.180 | 3.423 | 3.160 | 1.726 | 2.948 | 1.617 | DESCENSO MODERADO* |
| MONFRAGÜE | 2.175 | 2.055 | 2.656 | 3.132 | 3.675 | 2.291 | 2.396 | 2.898 | 2.629 | 2.964 | 3.486 | 3.261 | 3312 | INCREMENTO MODERADO** |
| GUADARRAMA | - | 649 | 754 | 1.152 | 853 | 689 | 689 | 1.012 | 822 | 844 | 1.035 | 964 | 901 | ESTABLE |

Anexo 4. Evolución de la abundancia anual de las especies más comunes en el **Parque Nacional de Doñana**. Se muestra la tendencia de cambio según los análisis del programa TRIM. Para aquellas tendencias estadísticamente significativas se indica el grado de significatividad (* P<0,05; ** P<0,01).

| ESPECIE | 2012 | 2013 | 2014 | 2015 | 2017 | 2018 | 2019 | 2020 | 2021 | 2022 | 2023 | 2024 | 2025 | TENDENCIA |
|----------------------------------|------|------|------|------|------|------|------|------|------|------|------|------|------|-----------------------|
| <i>Alaudala rufescens</i> | 7 | 13 | 22 | 0 | 4 | 25 | 23 | 62 | 21 | 20 | 21 | 14 | 2 | INCIERTA |
| <i>Alectoris rufa</i> | 16 | 18 | 9 | 22 | 22 | 30 | 43 | 32 | 28 | 37 | 21 | 18 | 35 | INCIERTA |
| <i>Anas platyrhynchos</i> | 103 | 36 | 16 | 51 | 67 | 71 | 18 | 79 | 26 | 14 | 19 | 34 | 22 | INCIERTA |
| <i>Apus apus</i> | 44 | 287 | 94 | 205 | 77 | 118 | 105 | 174 | 21 | 99 | 77 | 72 | 94 | INCIERTA |
| <i>Ardea cinerea</i> | 15 | 19 | 17 | 13 | 13 | 19 | 5 | 19 | 5 | 0 | 5 | 13 | 39 | INCIERTA |
| <i>Bubulcus ibis</i> | 41 | 352 | 111 | 63 | 139 | 169 | 121 | 92 | 114 | 66 | 74 | 64 | 312 | INCIERTA |
| <i>Calandrella brachydactyla</i> | 37 | 38 | 46 | 16 | 38 | 49 | 31 | 26 | 40 | 33 | 42 | 34 | 11 | INCIERTA |
| <i>Carduelis carduelis</i> | 85 | 134 | 160 | 154 | 97 | 112 | 167 | 151 | 120 | 111 | 110 | 99 | 131 | ESTABLE |
| <i>Certhia brachydactyla</i> | 51 | 62 | 65 | 29 | 45 | 44 | 52 | 9 | 57 | 63 | 44 | 43 | 43 | INCIERTA |
| <i>Cettia cetti</i> | 10 | 15 | 9 | 6 | 8 | 11 | 13 | 12 | 13 | 17 | 10 | 11 | 9 | INCIERTA |
| <i>Chloris chloris</i> | 41 | 56 | 101 | 35 | 68 | 91 | 126 | 48 | 103 | 123 | 95 | 102 | 79 | INCREMENTO MODERADO** |
| <i>Ciconia ciconia</i> | 26 | 106 | 90 | 137 | 120 | 77 | 84 | 50 | 91 | 67 | 41 | 68 | 60 | INCIERTA |
| <i>Circaetus gallicus</i> | 7 | 6 | 7 | 1 | 1 | 3 | 3 | 9 | 5 | 5 | 13 | 4 | 5 | INCIERTA |
| <i>Cisticola juncidis</i> | 21 | 44 | 61 | 55 | 48 | 27 | 62 | 72 | 61 | 21 | 19 | 22 | 21 | INCIERTA |
| <i>Columba palumbus</i> | 104 | 146 | 188 | 103 | 203 | 194 | 233 | 112 | 304 | 259 | 217 | 213 | 187 | INCREMENTO MODERADO** |
| <i>Corvus corax</i> | 25 | 8 | 23 | 15 | 15 | 16 | 15 | 10 | 37 | 30 | 40 | 10 | 11 | INCIERTA |
| <i>Coturnix coturnix</i> | 7 | 7 | 9 | 2 | 28 | 16 | 8 | 10 | 12 | 10 | 9 | 2 | 14 | INCIERTA |
| <i>Cuculus canorus</i> | 12 | 10 | 9 | 8 | 12 | 18 | 25 | 13 | 33 | 19 | 26 | 12 | 14 | INCIERTA |
| <i>Cyanistes caeruleus</i> | 16 | 28 | 42 | 13 | 17 | 20 | 14 | 14 | 6 | 18 | 13 | 9 | 12 | DESCENSO MODERADO* |
| <i>Cyanopica cooki</i> | 56 | 71 | 122 | 85 | 44 | 82 | 90 | 150 | 78 | 71 | 91 | 76 | 73 | ESTABLE |
| <i>Delichon urbicum</i> | 4 | 29 | 11 | 4 | 5 | 7 | 7 | 9 | 0 | 3 | 7 | 4 | 1 | INCIERTA |
| <i>Egretta garzetta</i> | 4 | 6 | 6 | 22 | 62 | 80 | 23 | 30 | 2 | 26 | 9 | 22 | 63 | INCIERTA |
| <i>Emberiza calandra</i> | 48 | 67 | 84 | 55 | 53 | 45 | 61 | 107 | 86 | 59 | 31 | 26 | 27 | INCIERTA |
| <i>Falco tinnunculus</i> | 9 | 16 | 9 | 35 | 8 | 1 | 5 | 21 | 3 | 10 | 4 | 0 | 2 | INCIERTA |
| <i>Fringilla coelebs</i> | 105 | 111 | 138 | 127 | 130 | 110 | 115 | 133 | 85 | 88 | 85 | 74 | 83 | DESCENSO MODERADO** |
| <i>Galerida cristata</i> | 31 | 18 | 17 | 15 | 25 | 20 | 27 | 26 | 17 | 14 | 39 | 24 | 12 | INCIERTA |
| <i>Galerida theklae</i> | 41 | 97 | 122 | 112 | 94 | 103 | 100 | 67 | 110 | 74 | 69 | 81 | 63 | INCIERTA |

| ESPECIE | 2012 | 2013 | 2014 | 2015 | 2017 | 2018 | 2019 | 2020 | 2021 | 2022 | 2023 | 2024 | 2025 | TENDENCIA |
|-------------------------------|------|------|------|------|------|------|------|------|------|------|------|------|------|-----------------------|
| <i>Gallinula chloropus</i> | 3 | 2 | 1 | 22 | 8 | 21 | 3 | 3 | 1 | 1 | 1 | 2 | 6 | INCIERTA |
| <i>Hieraaetus pennatus</i> | 19 | 19 | 25 | 43 | 25 | 13 | 32 | 15 | 15 | 25 | 18 | 23 | 19 | INCIERTA |
| <i>Hippolais polyglotta</i> | 21 | 24 | 32 | 19 | 20 | 28 | 20 | 17 | 29 | 23 | 19 | 12 | 15 | INCIERTA |
| <i>Hirundo rustica</i> | 15 | 76 | 35 | 115 | 54 | 37 | 49 | 48 | 14 | 16 | 22 | 21 | 25 | INCIERTA |
| <i>Lanius meridionalis</i> | 4 | 8 | 15 | 2 | 10 | 12 | 25 | 3 | 17 | 6 | 7 | 9 | 17 | INCIERTA |
| <i>Lanius senator</i> | 14 | 28 | 30 | 23 | 11 | 10 | 16 | 12 | 21 | 8 | 7 | 6 | 7 | DESCENSO MODERADO** |
| <i>Larus michahellis</i> | 1 | 2 | 2 | 7 | 1 | 14 | 4 | 1 | 11 | 15 | 12 | 2 | 2 | INCIERTA |
| <i>Linaria cannabina</i> | 7 | 3 | 9 | 5 | 3 | 6 | 10 | 3 | 5 | 4 | 3 | 13 | 1 | INCIERTA |
| <i>Lophophanes cristatus</i> | 29 | 34 | 43 | 34 | 39 | 34 | 30 | 18 | 37 | 42 | 21 | 50 | 23 | INCIERTA |
| <i>Lullula arborea</i> | 5 | 10 | 5 | 5 | 10 | 3 | 9 | 8 | 4 | 10 | 2 | 5 | 6 | INCIERTA |
| <i>Luscinia megarhynchos</i> | 142 | 191 | 162 | 104 | 169 | 145 | 154 | 71 | 185 | 149 | 152 | 144 | 124 | ESTABLE |
| <i>Melanocorypha calandra</i> | 29 | 12 | 30 | 0 | 27 | 34 | 50 | 43 | 42 | 32 | 28 | 14 | 34 | INCIERTA |
| <i>Merops apiaster</i> | 68 | 97 | 76 | 70 | 70 | 57 | 82 | 173 | 54 | 62 | 115 | 60 | 59 | INCIERTA |
| <i>Milvus migrans</i> | 217 | 272 | 302 | 280 | 139 | 121 | 235 | 123 | 128 | 120 | 114 | 103 | 110 | FUERTE DESCENSO * |
| <i>Motacilla flava</i> | 10 | 113 | 21 | 8 | 28 | 25 | 13 | 100 | 14 | 11 | 1 | 16 | 11 | INCIERTA |
| <i>Muscicapa striata</i> | 50 | 17 | 45 | 31 | 41 | 32 | 47 | 44 | 67 | 37 | 22 | 17 | 25 | INCIERTA |
| <i>Nycticorax nycticorax</i> | 1 | 34 | 1 | 11 | 10 | 13 | 1 | 28 | 6 | 3 | 0 | 6 | 43 | INCIERTA |
| <i>Oriolus oriolus</i> | 6 | 14 | 3 | 0 | 2 | 9 | 4 | 6 | 18 | 13 | 8 | 20 | 8 | INCIERTA |
| <i>Parus major</i> | 56 | 43 | 42 | 52 | 78 | 79 | 57 | 54 | 62 | 60 | 57 | 52 | 53 | ESTABLE |
| <i>Passer domesticus</i> | 44 | 130 | 180 | 108 | 122 | 80 | 157 | 85 | 88 | 72 | 86 | 128 | 82 | INCIERTA |
| <i>Phoenicopiterus roseus</i> | 9 | 969 | 502 | 250 | 2975 | 3335 | 35 | 390 | 190 | 14 | 338 | 2181 | 2063 | INCIERTA |
| <i>Pica pica</i> | 16 | 15 | 23 | 14 | 13 | 22 | 33 | 27 | 33 | 31 | 38 | 38 | 25 | INCREMENTO MODERADO** |
| <i>Platalea leucorodia</i> | 2 | 45 | 175 | 64 | 50 | 13 | 32 | 34 | 35 | 10 | 14 | 33 | 236 | INCIERTA |
| <i>Plegadis falcinellus</i> | 67 | 175 | 7 | 77 | 163 | 772 | 115 | 169 | 92 | 13 | 0 | 380 | 1381 | INCIERTA |
| <i>Saxicola rubicola</i> | 15 | 7 | 12 | 5 | 11 | 21 | 20 | 26 | 35 | 14 | 22 | 20 | 29 | INCREMENTO MODERADO* |
| <i>Serinus serinus</i> | 171 | 145 | 182 | 105 | 166 | 132 | 158 | 157 | 81 | 127 | 117 | 98 | 112 | DESCENSO MODERADO* |
| <i>Streptopelia decaocto</i> | 0 | 2 | 7 | 8 | 10 | 10 | 2 | 26 | 2 | 6 | 6 | 5 | 6 | INCIERTA |
| <i>Streptopelia turtur</i> | 25 | 6 | 9 | 5 | 20 | 17 | 23 | 8 | 36 | 23 | 32 | 52 | 54 | INCREMENTO MODERADO** |
| <i>Sturnus unicolor</i> | 61 | 127 | 257 | 56 | 92 | 78 | 70 | 181 | 224 | 94 | 97 | 79 | 71 | INCIERTA |

| ESPECIE | 2012 | 2013 | 2014 | 2015 | 2017 | 2018 | 2019 | 2020 | 2021 | 2022 | 2023 | 2024 | 2025 | TENDENCIA |
|--------------------------------|------|------|------|------|------|------|------|------|------|------|------|------|------|-----------------------|
| <i>Sylvia melanocephala</i> | 182 | 216 | 295 | 180 | 281 | 231 | 325 | 167 | 306 | 306 | 301 | 314 | 319 | INCREMENTO MODERADO** |
| <i>Sylvia undata</i> | 59 | 134 | 148 | 85 | 112 | 100 | 131 | 70 | 119 | 112 | 101 | 82 | 69 | ESTABLE |
| <i>Troglodytes troglodytes</i> | 36 | 50 | 40 | 0 | 40 | 48 | 24 | 8 | 54 | 49 | 43 | 34 | 26 | INCIERTA |
| <i>Turdus merula</i> | 77 | 84 | 78 | 72 | 107 | 109 | 118 | 56 | 131 | 131 | 111 | 118 | 100 | INCREMENTO MODERADO** |
| <i>Upupa epops</i> | 40 | 20 | 30 | 32 | 57 | 58 | 42 | 23 | 66 | 43 | 34 | 52 | 31 | INCIERTA |

Anexo 5. Evolución del número de especies contabilizadas en el Parque Nacional de **Doñana** según el tipo de hábitat. Se muestra la tendencia de cambio según los análisis del programa TRIM. Para aquellas tendencias estadísticamente significativas se indica el grado de significatividad (* P<0,05; ** P<0,01)

| HÁBITAT | 2012 | 2013 | 2014 | 2015 | 2017 | 2018 | 2019 | 2020 | 2021 | 2022 | 2023 | 2024 | 2025 | TENDENCIA |
|-----------|------|------|------|------|------|------|------|------|------|------|------|------|------|-----------|
| Arbolado | 66 | 65 | 69 | 64 | 72 | 68 | 69 | 67 | 69 | 66 | 64 | 60 | 68 | ESTABLE |
| Arbustivo | 41 | 44 | 43 | 34 | 43 | 46 | 46 | 46 | 43 | 42 | 39 | 40 | 46 | ESTABLE |
| Acuático | 57 | 80 | 68 | 70 | 85 | 87 | 81 | 79 | 70 | 68 | 61 | 82 | 82 | ESTABLE |

Anexo 6. Evolución del número total de individuos contabilizados en el Parque Nacional de **Doñana** según el tipo de hábitat. Se muestra la tendencia de cambio según los análisis del programa TRIM. Para aquellas tendencias estadísticamente significativas se indica el grado de significatividad (* P<0,05; ** P<0,01)

| HÁBITAT | 2012 | 2013 | 2014 | 2015 | 2017 | 2018 | 2019 | 2020 | 2021 | 2022 | 2023 | 2024 | 2025 | TENDENCIA |
|-----------|------|------|------|------|------|------|------|------|------|------|------|------|------|-----------|
| Arbolado | 1679 | 2687 | 2561 | 1938 | 2661 | 2963 | 2245 | 1873 | 2307 | 2055 | 1845 | 1904 | 2216 | ESTABLE |
| Arbustivo | 380 | 772 | 664 | 494 | 561 | 590 | 619 | 478 | 567 | 530 | 545 | 472 | 501 | ESTABLE |
| Acuático | 605 | 2393 | 1524 | 1322 | 4268 | 4475 | 1617 | 2441 | 1135 | 818 | 1027 | 3904 | 7411 | INCIERTA |

Anexo 7. Evolución de la abundancia anual de las especies más comunes en el **Parque Nacional de Sierra Nevada**. Se muestra la tendencia de cambio según los análisis del programa TRIM. Para aquellas tendencias estadísticamente significativas se indica el grado de significatividad (* P<0,05; ** P<0,01).

| ESPECIE | 2012 | 2013 | 2014 | 2015 | 2017 | 2018 | 2019 | 2020 | 2021 | 2022 | 2023 | 2024 | 2025 | TENDENCIA |
|------------------------------|------|------|------|------|------|------|------|------|------|------|------|------|------|---------------------|
| <i>Aegithalos caudatus</i> | 34 | 14 | 23 | 11 | 18 | 21 | 26 | 31 | 13 | 15 | 14 | 11 | 29 | INCIERTA |
| <i>Alauda arvensis</i> | 152 | 197 | 183 | 141 | 196 | 151 | 167 | 173 | 160 | 169 | 117 | 147 | 140 | ESTABLE |
| <i>Alectoris rufa</i> | 50 | 24 | 32 | 25 | 24 | 28 | 32 | 16 | 14 | 18 | 11 | 16 | 8 | DESCENSO MODERADO** |
| <i>Anthus campestris</i> | 38 | 39 | 31 | 11 | 50 | 7 | 16 | 18 | 6 | 10 | 9 | 7 | 19 | DESCENSO MODERADO* |
| <i>Apus apus</i> | 175 | 98 | 143 | 206 | 42 | 183 | 110 | 160 | 82 | 106 | 175 | 81 | 205 | INCIERTA |
| <i>Certhia brachydactyla</i> | 28 | 15 | 24 | 32 | 36 | 18 | 17 | 13 | 6 | 7 | 11 | 10 | 9 | DESCENSO MODERADO** |
| <i>Columba palumbus</i> | 23 | 25 | 55 | 63 | 38 | 71 | 82 | 47 | 53 | 58 | 53 | 61 | 75 | INCIERTA |
| <i>Cuculus canorus</i> | 13 | 8 | 3 | 8 | 12 | 8 | 11 | 4 | 7 | 6 | 5 | 4 | 6 | INCIERTA |
| <i>Cyanistes caeruleus</i> | 18 | 46 | 51 | 28 | 61 | 15 | 27 | 7 | 32 | 11 | 10 | 45 | 18 | INCIERTA |
| <i>Delichon urbicum</i> | 1 | 29 | 21 | 44 | 0 | 12 | 19 | 92 | 114 | 79 | 36 | 42 | 19 | INCIERTA |
| <i>Dendrocopos major</i> | 8 | 4 | 3 | 0 | 7 | 3 | 6 | 2 | 5 | 4 | 7 | 8 | 5 | INCIERTA |
| <i>Emberiza cia</i> | 57 | 50 | 81 | 156 | 95 | 95 | 89 | 86 | 70 | 81 | 86 | 52 | 91 | ESTABLE |
| <i>Emberiza hortulana</i> | 30 | 18 | 38 | 19 | 5 | 18 | 23 | 17 | 17 | 16 | 26 | 25 | 19 | INCIERTA |
| <i>Erithacus rubecula</i> | 18 | 7 | 12 | 20 | 3 | 5 | 1 | 3 | 2 | 4 | 6 | 2 | 2 | FUERTE DESCENSO * |
| <i>Falco tinnunculus</i> | 3 | 9 | 3 | 2 | 6 | 3 | 0 | 5 | 6 | 7 | 9 | 6 | 12 | INCIERTA |
| <i>Fringilla coelebs</i> | 196 | 177 | 166 | 220 | 218 | 195 | 197 | 189 | 199 | 153 | 176 | 185 | 170 | ESTABLE |
| <i>Garrulus glandarius</i> | 27 | 18 | 25 | 23 | 17 | 13 | 12 | 9 | 10 | 7 | 8 | 11 | 10 | DESCENSO MODERADO** |
| <i>Gyps fulvus</i> | 0 | 3 | 2 | 9 | 7 | 6 | 4 | 33 | 17 | 23 | 20 | 18 | 18 | INCIERTA |
| <i>Hieraetus pennatus</i> | 7 | 6 | 10 | 3 | 5 | 8 | 10 | 6 | 10 | 11 | 6 | 8 | 7 | INCIERTA |
| <i>Linaria cannabina</i> | 153 | 126 | 119 | 174 | 104 | 104 | 124 | 81 | 112 | 134 | 94 | 125 | 161 | ESTABLE |
| <i>Lophophanes cristatus</i> | 11 | 33 | 32 | 28 | 35 | 13 | 10 | 7 | 9 | 6 | 15 | 11 | 8 | DESCENSO MODERADO** |
| <i>Loxia curvirostra</i> | 77 | 26 | 67 | 0 | 77 | 18 | 10 | 13 | 25 | 31 | 15 | 9 | 12 | FUERTE DESCENSO * |
| <i>Lullula arborea</i> | 41 | 23 | 37 | 30 | 31 | 4 | 8 | 0 | 39 | 37 | 17 | 42 | 17 | INCIERTA |
| <i>Luscinia megarhynchos</i> | 1 | 3 | 2 | 0 | 2 | 1 | 4 | 2 | 2 | 1 | 1 | 2 | 1 | INCIERTA |
| <i>Monticola saxatilis</i> | 4 | 3 | 2 | 0 | 4 | 2 | 2 | 2 | 4 | 3 | 4 | 3 | 3 | INCIERTA |

| ESPECIE | 2012 | 2013 | 2014 | 2015 | 2017 | 2018 | 2019 | 2020 | 2021 | 2022 | 2023 | 2024 | 2025 | TENDENCIA |
|--------------------------------|------|------|------|------|------|------|------|------|------|------|------|------|------|----------------------|
| <i>Oenanthe oenanthe</i> | 87 | 57 | 59 | 69 | 49 | 61 | 45 | 76 | 104 | 111 | 54 | 107 | 102 | INCREMENTO MODERADO* |
| <i>Parus major</i> | 51 | 50 | 86 | 84 | 70 | 55 | 57 | 63 | 45 | 44 | 26 | 35 | 41 | DESCENSO MODERADO* |
| <i>Passer domesticus</i> | 40 | 104 | 12 | 9 | 32 | 34 | 21 | 47 | 28 | 5 | 0 | 4 | 14 | INCIERTA |
| <i>Periparus ater</i> | 72 | 73 | 73 | 118 | 135 | 135 | 123 | 128 | 110 | 100 | 113 | 109 | 94 | INCIERTA |
| <i>Phoenicurus ochruros</i> | 39 | 20 | 30 | 38 | 48 | 31 | 28 | 35 | 35 | 30 | 30 | 34 | 34 | ESTABLE |
| <i>Pica pica</i> | 9 | 4 | 1 | 10 | 7 | 6 | 2 | 3 | 6 | 7 | 9 | 9 | 11 | INCIERTA |
| <i>Picus sharpei</i> | 16 | 19 | 29 | 1 | 10 | 4 | 11 | 6 | 7 | 3 | 2 | 4 | 4 | INCIERTA |
| <i>Ptyonoprogne rupestris</i> | 87 | 63 | 55 | 48 | 49 | 73 | 154 | 94 | 62 | 72 | 75 | 70 | 96 | INCIERTA |
| <i>Phyrrocorax pyrrhocorax</i> | 92 | 190 | 14 | 0 | 109 | 50 | 9 | 85 | 54 | 78 | 25 | 26 | 68 | INCIERTA |
| <i>Regulus ignicapilla</i> | 11 | 12 | 6 | 13 | 12 | 6 | 4 | 3 | 10 | 7 | 7 | 12 | 12 | INCIERTA |
| <i>Saxicola rubicola</i> | 27 | 28 | 33 | 36 | 55 | 30 | 23 | 27 | 29 | 15 | 24 | 36 | 34 | INCIERTA |
| <i>Serinus serinus</i> | 71 | 110 | 63 | 109 | 72 | 67 | 51 | 60 | 33 | 22 | 19 | 28 | 38 | DESCENSO MODERADO** |
| <i>Sylvia conspicillata</i> | 31 | 19 | 22 | 34 | 26 | 14 | 20 | 9 | 21 | 15 | 13 | 16 | 17 | DESCENSO MODERADO* |
| <i>Sylvia melanocephala</i> | 24 | 22 | 16 | 27 | 15 | 8 | 7 | 15 | 8 | 9 | 7 | 6 | 11 | DESCENSO MODERADO** |
| <i>Sylvia undata</i> | 6 | 16 | 29 | 29 | 28 | 9 | 9 | 17 | 14 | 9 | 10 | 18 | 14 | INCIERTA |
| <i>Troglodytes troglodytes</i> | 30 | 45 | 52 | 24 | 10 | 18 | 18 | 32 | 28 | 54 | 19 | 42 | 33 | ESTABLE |
| <i>Turdus merula</i> | 24 | 47 | 46 | 70 | 41 | 73 | 49 | 33 | 51 | 22 | 40 | 50 | 32 | INCIERTA |

Anexo 8. Evolución del número de especies contabilizadas en el **Parque Nacional de Sierra Nevada** según el tipo de hábitat. Se muestra la tendencia de cambio según los análisis del programa TRIM. Para aquellas tendencias estadísticamente significativas se indica el grado de significatividad (* P<0,05; ** P<0,01)

| HÁBITAT | 2012 | 2013 | 2014 | 2015 | 2017 | 2018 | 2019 | 2020 | 2021 | 2022 | 2023 | 2024 | 2025 | TENDENCIA |
|----------------|------|------|------|------|------|------|------|------|------|------|------|------|------|---------------------|
| Arbolado | 53 | 52 | 58 | 41 | 55 | 30 | 32 | 30 | 37 | 35 | 28 | 30 | 46 | DESCENSO MODERADO** |
| Arbustivo | 60 | 64 | 60 | 48 | 59 | 50 | 43 | 46 | 46 | 45 | 50 | 46 | 49 | DESCENSO MODERADO** |
| Sin vegetación | 19 | 29 | 24 | 25 | 21 | 24 | 21 | 20 | 21 | 20 | 23 | 20 | 22 | ESTABLE |

Anexo 9. Evolución del número total de individuos contabilizados en el **Parque Nacional de Sierra Nevada** según el tipo de hábitat. Se muestra la tendencia de cambio según los análisis del programa TRIM. Para aquellas tendencias estadísticamente significativas se indica el grado de significatividad (* P<0,05; ** P<0,01)

| HÁBITAT | 2012 | 2013 | 2014 | 2015 | 2017 | 2018 | 2019 | 2020 | 2021 | 2022 | 2023 | 2024 | 2025 | TENDENCIA |
|----------------|------|------|------|------|------|------|------|------|------|------|------|------|------|---------------------|
| Arbolado | 823 | 594 | 726 | 582 | 723 | 546 | 482 | 496 | 561 | 466 | 486 | 524 | 570 | DESCENSO MODERADO** |
| Arbustivo | 1297 | 1584 | 1193 | 1390 | 1176 | 1084 | 1126 | 1234 | 1112 | 1111 | 872 | 1002 | 1136 | DESCENSO MODERADO* |
| Sin vegetación | 69 | 106 | 106 | 106 | 125 | 79 | 110 | 94 | 114 | 108 | 100 | 165 | 151 | INCIERTA |

Anexo 10. Evolución de la abundancia anual de las especies detectadas en el **Parque Nacional de Las Tablas de Daimiel** a lo largo de la serie temporal. Se muestra la tendencia de cambio según los análisis del programa TRIM para aquellas especies con datos ininterrumpidos de abundancia y su grado de significatividad (* P<0,05; ** P<0,01).

| ESPECIE | 2012 | 2013 | 2014 | 2015 | 2017 | 2018 | 2019 | 2020 | 2021 | 2022 | 2023 | 2024 | 2025 | TENDENCIA |
|----------------------------------|------|------|------|------|------|------|------|------|------|------|------|------|------|---------------------|
| <i>Acrocephalus arundinaceus</i> | 50 | 45 | 39 | 23 | 42 | 35 | 27 | 20 | 9 | 15 | 10 | 12 | 21 | FUERTE DESCENSO** |
| <i>Acrocephalus scirpaceus</i> | 103 | 108 | 94 | 94 | 110 | 72 | 56 | 83 | 92 | 33 | 24 | 41 | 49 | DESCENSO MODERADO** |
| <i>Anas platyrhynchos</i> | 59 | 49 | 16 | 43 | 54 | 53 | 21 | 48 | 27 | 48 | 122 | 10 | 43 | INCIERTA |
| <i>Apus apus</i> | 225 | 92 | 4 | 29 | 56 | 169 | 206 | 67 | 83 | 94 | 109 | 198 | 37 | INCIERTA |
| <i>Ardea alba</i> | 3 | 2 | 12 | 5 | 8 | 3 | 4 | 24 | 9 | 8 | 1 | 6 | 14 | INCIERTA |
| <i>Ardea purpurea</i> | 4 | 17 | 17 | 27 | 20 | 10 | 5 | 8 | 3 | 7 | 2 | 7 | 6 | INCIERTA |
| <i>Aythya ferina</i> | 31 | 13 | 2 | 9 | 9 | 3 | 9 | 13 | 4 | 29 | 2 | 22 | 10 | INCIERTA |
| <i>Carduelis carduelis</i> | 29 | 55 | 45 | 55 | 30 | 42 | 41 | 54 | 45 | 45 | 29 | 46 | 48 | ESTABLE |
| <i>Cecropis daurica</i> | 2 | 1 | 1 | 4 | 5 | 2 | 2 | 1 | 3 | 0 | 8 | 2 | 1 | INCIERTA |
| <i>Cettia cetti</i> | 33 | 50 | 54 | 74 | 72 | 45 | 46 | 55 | 38 | 36 | 26 | 28 | 40 | DESCENSO MODERADO* |
| <i>Chloris chloris</i> | 6 | 0 | 6 | 14 | 12 | 3 | 11 | 9 | 9 | 5 | 7 | 8 | 12 | INCIERTA |
| <i>Ciconia ciconia</i> | 8 | 7 | 5 | 17 | 10 | 9 | 8 | 38 | 9 | 7 | 13 | 38 | 3 | INCIERTA |
| <i>Circus aeruginosus</i> | 20 | 23 | 31 | 46 | 37 | 29 | 39 | 31 | 33 | 27 | 12 | 17 | 18 | INCIERTA |
| <i>Cisticola juncidis</i> | 65 | 69 | 83 | 80 | 81 | 38 | 62 | 61 | 6 | 29 | 25 | 50 | 56 | DESCENSO MODERADO* |
| <i>Columba livia</i> | 27 | 9 | 37 | 11 | 32 | 21 | 7 | 4 | 3 | 0 | 5 | 4 | 7 | INCIERTA |
| <i>Columba palumbus</i> | 43 | 48 | 44 | 52 | 100 | 57 | 65 | 87 | 65 | 57 | 56 | 46 | 77 | INCIERTA |
| <i>Coracias garrulus</i> | 0 | 3 | 1 | 1 | 1 | 5 | 1 | 6 | 6 | 5 | 17 | 12 | 9 | FUERTE INCREMENTO* |
| <i>Coturnix coturnix</i> | 4 | 1 | | 1 | 2 | 5 | 14 | 22 | 22 | 22 | 33 | 21 | 31 | FUERTE INCREMENTO* |
| <i>Cyanistes caeruleus</i> | 4 | 13 | 20 | 24 | 7 | 11 | 10 | 11 | 6 | 12 | 11 | 10 | 3 | INCIERTA |
| <i>Emberiza calandra</i> | 67 | 56 | 50 | 41 | 67 | 79 | 99 | 150 | 141 | 117 | 131 | 132 | 126 | FUERTE INCREMENTO** |
| <i>Falco tinnunculus</i> | 1 | 3 | 2 | 5 | 3 | 1 | 1 | 5 | 2 | 3 | 7 | 2 | 1 | INCIERTA |
| <i>Fulica atra</i> | 1355 | 86 | 93 | 79 | 2 | 5 | 47 | 117 | 302 | 35 | 37 | 183 | 121 | INCIERTA |
| <i>Galerida cristata</i> | 11 | 20 | 7 | 28 | 26 | 19 | 17 | 40 | 41 | 48 | 81 | 64 | 40 | FUERTE INCREMENTO** |

| ESPECIE | 2012 | 2013 | 2014 | 2015 | 2017 | 2018 | 2019 | 2020 | 2021 | 2022 | 2023 | 2024 | 2025 | TENDENCIA |
|--------------------------------|------|------|------|------|------|------|------|------|------|------|------|------|------|-----------------------|
| <i>Gallinula chloropus</i> | 12 | 22 | 11 | 12 | 2 | 12 | 10 | 4 | 0 | 4 | 6 | 7 | 17 | INCIERTA |
| <i>Hirundo rustica</i> | 24 | 38 | 98 | 82 | 122 | 24 | 26 | 42 | 62 | 17 | 52 | 38 | 73 | INCIERTA |
| <i>Linaria cannabina</i> | 10 | 15 | 4 | 17 | 19 | 64 | 63 | 161 | 118 | 90 | 41 | 41 | 33 | INCIERTA |
| <i>Locustella luscinioides</i> | 6 | 11 | 12 | 5 | 42 | 29 | 15 | 12 | 7 | 16 | 10 | 10 | 13 | INCIERTA |
| <i>Luscinia megarhynchos</i> | 30 | 38 | 33 | 30 | 31 | 35 | 34 | 43 | 50 | 50 | 46 | 48 | 59 | INCREMENTO MODERADO** |
| <i>Mareca strepera</i> | 29 | 4 | 10 | 15 | 2 | 2 | 3 | 47 | 4 | 0 | 2 | 5 | 8 | INCIERTA |
| <i>Merops apiaster</i> | 32 | 28 | 20 | 29 | 34 | 10 | 11 | 27 | 32 | 50 | 58 | 37 | 31 | INCIERTA |
| <i>Motacilla flava</i> | 2 | 1 | 5 | 8 | 10 | 8 | 7 | 19 | 5 | 12 | 8 | 10 | 11 | INCIERTA |
| <i>Netta rufina</i> | 45 | 7 | 2 | 16 | 4 | 12 | 9 | 24 | 185 | 61 | 67 | 167 | 87 | INCIERTA |
| <i>Oriolus oriolus</i> | 5 | 5 | 3 | 2 | 5 | 5 | 5 | 7 | 4 | 3 | 6 | 3 | 4 | INCIERTA |
| <i>Parus major</i> | 4 | 10 | 6 | 13 | 6 | 11 | 10 | 15 | 15 | 6 | 8 | 4 | 10 | INCIERTA |
| <i>Passer domesticus</i> | 33 | 21 | 14 | 32 | 14 | 20 | 27 | 18 | 27 | 9 | 8 | 37 | 15 | INCIERTA |
| <i>Passer montanus</i> | 1 | 25 | 22 | 17 | 22 | 10 | 37 | 29 | 35 | 30 | 7 | 25 | 19 | INCIERTA |
| <i>Pica pica</i> | 34 | 68 | 60 | 39 | 73 | 47 | 50 | 82 | 60 | 49 | 46 | 42 | 53 | ESTABLE |
| <i>Picus sharpei</i> | 4 | 2 | 2 | 2 | 2 | 6 | 6 | 5 | 2 | 2 | 4 | 2 | 1 | INCIERTA |
| <i>Podiceps cristatus</i> | 22 | 22 | 41 | 39 | 23 | 21 | 18 | 18 | 31 | 21 | 2 | 30 | 35 | INCIERTA |
| <i>Remiz pendulinus</i> | 3 | 10 | 23 | 4 | 13 | 9 | 4 | 6 | 4 | 8 | 3 | 4 | 2 | INCIERTA |
| <i>Saxicola rubicola</i> | 14 | 9 | 6 | 55 | 9 | 21 | 25 | 54 | 28 | 22 | 26 | 31 | 40 | INCIERTA |
| <i>Streptopelia decaocto</i> | 11 | 3 | 7 | 19 | 11 | 8 | 15 | 14 | 11 | 12 | 33 | 17 | 10 | INCIERTA |
| <i>Sturnus unicolor</i> | 20 | 45 | 16 | 27 | 28 | 117 | 26 | 38 | 36 | 107 | 69 | 132 | 96 | INCREMENTO MODERADO** |
| <i>Tachybaptus ruficollis</i> | 28 | 17 | 12 | 3 | 11 | 5 | 3 | 16 | 4 | 10 | 3 | 5 | 10 | INCIERTA |
| <i>Turdus merula</i> | 4 | 2 | 2 | 3 | 7 | 6 | 2 | 2 | 2 | 3 | 6 | 4 | 4 | INCIERTA |
| <i>Upupa epops</i> | 25 | 17 | 12 | 22 | 26 | 25 | 34 | 39 | 38 | 29 | 29 | 31 | 24 | INCREMENTO MODERADO* |

Anexo 11. Evolución del número de especies contabilizadas en el **Parque Nacional de Las Tablas de Daimiel** según el tipo de hábitat. Se muestra la tendencia de cambio según los análisis del programa TRIM. Para aquellas tendencias estadísticamente significativas se indica el grado de significatividad (* $P < 0,05$; ** $P < 0,01$)

| HÁBITAT | 2012 | 2013 | 2014 | 2015 | 2017 | 2018 | 2019 | 2020 | 2021 | 2022 | 2023 | 2024 | 2025 | Tendencia |
|----------|------|------|------|------|------|------|------|------|------|------|------|------|------|-----------|
| Acuático | 70 | 75 | 73 | 91 | 76 | 75 | 83 | 79 | 75 | 71 | 82 | 87 | 88 | ESTABLE |
| Agrícola | 37 | 35 | 32 | 42 | 37 | 32 | 31 | 32 | 32 | 40 | 31 | 40 | 36 | ESTABLE |

Anexo 12. Evolución del número total de individuos contabilizados en el **Parque Nacional de Las Tablas de Daimiel** según el tipo de hábitat. Se muestra la tendencia de cambio según los análisis del programa TRIM. Para aquellas tendencias estadísticamente significativas se indica el grado de significatividad (* $P < 0,05$; ** $P < 0,01$)

| HÁBITAT | 2012 | 2013 | 2014 | 2015 | 2017 | 2018 | 2019 | 2020 | 2021 | 2022 | 2023 | 2024 | 2025 | Tendencia |
|----------|------|------|------|------|------|------|------|------|------|------|------|------|------|-----------------------|
| Acuático | 2303 | 1081 | 1022 | 1204 | 1054 | 1060 | 1015 | 1672 | 1537 | 1201 | 1465 | 2506 | 1487 | INCIERTA |
| Agrícola | 231 | 184 | 165 | 218 | 243 | 173 | 228 | 245 | 241 | 229 | 236 | 325 | 253 | INCREMENTO MODERADO** |

Anexo 13. Evolución de la abundancia anual de las especies detectadas en el **Parque Nacional de Cabañeros** a lo largo de la serie temporal. Se muestra la tendencia de cambio y su grado de significatividad (* P<0,05; ** P<0,01) según los análisis del programa TRIM para aquellas especies con más de 10 años con datos de abundancia.

| ESPECIE | 2012 | 2013 | 2014 | 2015 | 2017 | 2018 | 2019 | 2020 | 2021 | 2022 | 2023 | 2024 | 2025 | TENDENCIA |
|--------------------------------------|------|------|------|------|------|------|------|------|------|------|------|------|------|----------------------|
| <i>Aegithalos caudatus</i> | 55 | 58 | 67 | 60 | 55 | 23 | 36 | 46 | 39 | 39 | 28 | 53 | 43 | INCIERTA |
| <i>Aegypius monachus</i> | 10 | 14 | 31 | 51 | 18 | 14 | 15 | 30 | 19 | 13 | 69 | 15 | 13 | INCIERTA |
| <i>Alectoris rufa</i> | 14 | 16 | 15 | 18 | 26 | 16 | 12 | 7 | 8 | 10 | 9 | 2 | 8 | DESCENSO MODERADO* |
| <i>Carduelis carduelis</i> | 12 | 5 | 2 | 29 | 8 | 1 | 17 | 4 | 2 | 2 | 4 | 12 | 10 | INCIERTA |
| <i>Cecropis daurica</i> | 16 | 8 | 17 | 19 | 16 | 7 | 12 | 6 | 14 | 11 | 6 | 9 | 5 | DESCENSO MODERADO* |
| <i>Certhia brachydactyla</i> | 63 | 77 | 91 | 72 | 57 | 35 | 42 | 59 | 43 | 60 | 51 | 48 | 47 | DESCENSO MODERADO** |
| <i>Ciconia ciconia</i> | 66 | 8 | 87 | 90 | 24 | 55 | 23 | 40 | 48 | 3 | 68 | 52 | 22 | INCIERTA |
| <i>Coccothraustes coccothraustes</i> | 0 | 3 | 6 | 4 | 4 | 10 | 16 | 4 | 1 | 1 | 2 | 5 | 10 | INCIERTA |
| <i>Columba palumbus</i> | 139 | 150 | 148 | 253 | 119 | 105 | 108 | 127 | 102 | 129 | 141 | 158 | 144 | ESTABLE |
| <i>Corvus corax</i> | 12 | 7 | 7 | 1 | 4 | 5 | 5 | 5 | 2 | 2 | 2 | 6 | 6 | INCIERTA |
| <i>Coturnix coturnix</i> | 11 | 9 | 1 | 5 | 3 | 6 | 4 | 6 | 5 | 4 | 0 | 2 | 9 | INCIERTA |
| <i>Cuculus canorus</i> | 37 | 47 | 43 | 66 | 36 | 30 | 23 | 32 | 31 | 26 | 41 | 12 | 8 | DESCENSO MODERADO** |
| <i>Cyanistes caeruleus</i> | 101 | 111 | 149 | 154 | 112 | 80 | 98 | 92 | 94 | 99 | 96 | 99 | 100 | DESCENSO MODERADO* |
| <i>Cyanopica cookii</i> | 34 | 28 | 14 | 45 | 26 | 13 | 24 | 37 | 25 | 17 | 26 | 20 | 25 | INCIERTA |
| <i>Dendrocopos major</i> | 38 | 15 | 18 | 32 | 15 | 23 | 12 | 26 | 24 | 22 | 28 | 20 | 28 | ESTABLE |
| <i>Emberiza calandra</i> | 64 | 68 | 62 | 71 | 64 | 57 | 58 | 79 | 54 | 86 | 44 | 28 | 54 | DESCENSO MODERADO* |
| <i>Emberiza cia</i> | 19 | 8 | 27 | 11 | 14 | 1 | 6 | 6 | 2 | 3 | 2 | 8 | 0 | DESCENSO MODERADO* |
| <i>Erithacus rubecula</i> | 47 | 63 | 51 | 107 | 49 | 55 | 65 | 114 | 91 | 87 | 104 | 80 | 96 | INCREMENTO MODERADO* |
| <i>Fringilla coelebs</i> | 225 | 270 | 270 | 314 | 286 | 213 | 207 | 265 | 256 | 250 | 268 | 185 | 234 | ESTABLE |
| <i>Garrulus glandarius</i> | 66 | 55 | 71 | 82 | 78 | 31 | 36 | 38 | 23 | 20 | 42 | 31 | 27 | FUERTE DESCENSO* |
| <i>Gyps fulvus</i> | 30 | 35 | 8 | 37 | 9 | 9 | 21 | 18 | 109 | 23 | 272 | 35 | 30 | INCIERTA |
| <i>Hieraetus pennatus</i> | 1 | 3 | 2 | 6 | 4 | 1 | 3 | 3 | 7 | 2 | 3 | 4 | 4 | INCIERTA |
| <i>Hirundo rustica</i> | 19 | 7 | 14 | 27 | 31 | 8 | 5 | 4 | 2 | 1 | 7 | 5 | 0 | INCIERTA |
| <i>Lanius senator</i> | 9 | 9 | 11 | 13 | 6 | 8 | 8 | 8 | 14 | 9 | 9 | 17 | 17 | INCIERTA |
| <i>Lophophanes cristatus</i> | 36 | 30 | 34 | 75 | 37 | 20 | 20 | 19 | 28 | 34 | 30 | 33 | 32 | INCIERTA |

| ESPECIE | 2012 | 2013 | 2014 | 2015 | 2017 | 2018 | 2019 | 2020 | 2021 | 2022 | 2023 | 2024 | 2025 | TENDENCIA |
|--------------------------------|------|------|------|------|------|------|------|------|------|------|------|------|------|-----------------------|
| <i>Lullula arborea</i> | 68 | 77 | 47 | 31 | 54 | 60 | 36 | 72 | 47 | 54 | 42 | 22 | 35 | DESCENSO MODERADO* |
| <i>Luscinia megarhynchos</i> | 23 | 27 | 29 | 17 | 26 | 15 | 25 | 28 | 26 | 36 | 35 | 26 | 29 | INCIERTA |
| <i>Melanocorypha calandra</i> | 35 | 47 | 49 | 75 | 43 | 34 | 40 | 75 | 43 | 34 | 56 | 12 | 36 | INCIERTA |
| <i>Merops apiaster</i> | 28 | 17 | 26 | 24 | 37 | 4 | 9 | 7 | 1 | 18 | 24 | 17 | 4 | INCIERTA |
| <i>Oriolus oriolus</i> | 43 | 35 | 47 | 37 | 46 | 32 | 29 | 45 | 36 | 38 | 45 | 34 | 34 | ESTABLE |
| <i>Parus major</i> | 81 | 76 | 96 | 97 | 117 | 81 | 69 | 72 | 75 | 83 | 70 | 47 | 58 | DESCENSO MODERADO** |
| <i>Passer hispaniolensis</i> | 8 | 127 | 206 | 289 | 641 | 125 | 99 | 702 | 93 | 43 | 60 | 146 | 283 | INCIERTA |
| <i>Petronia petronia</i> | 5 | 8 | 12 | 19 | 8 | 1 | 8 | 17 | 3 | 6 | 14 | 24 | 3 | INCIERTA |
| <i>Phylloscopus bonelli</i> | 8 | 6 | 2 | 0 | 9 | 2 | 10 | 14 | 8 | 8 | 8 | 14 | 12 | INCIERTA |
| <i>Regulus ignicapilla</i> | 31 | 11 | 8 | 12 | 11 | 4 | 4 | 8 | 8 | 6 | 2 | 5 | 4 | DESCENSO MODERADO** |
| <i>Serinus serinus</i> | 29 | 22 | 24 | 51 | 20 | 12 | 13 | 7 | 14 | 15 | 18 | 26 | 33 | INCIERTA |
| <i>Sitta europaea</i> | 46 | 37 | 63 | 95 | 37 | 29 | 49 | 58 | 59 | 55 | 59 | 57 | 63 | ESTABLE |
| <i>Streptopelia decaocto</i> | 2 | 6 | 6 | 37 | 3 | 7 | 5 | 4 | 3 | 5 | 4 | 1 | 7 | INCIERTA |
| <i>Streptopelia turtur</i> | 43 | 48 | 43 | 55 | 51 | 56 | 51 | 65 | 74 | 55 | 75 | 72 | 91 | INCREMENTO MODERADO** |
| <i>Sturnus unicolor</i> | 18 | 23 | 17 | 78 | 30 | 11 | 13 | 149 | 15 | 14 | 7 | 30 | 5 | INCIERTA |
| <i>Sylvia atricapilla</i> | 15 | 17 | 19 | 22 | 10 | 13 | 14 | 2 | 3 | 1 | 7 | 7 | 8 | INCIERTA |
| <i>Sylvia cantillans</i> | 29 | 46 | 42 | 55 | 14 | 39 | 35 | 34 | 59 | 60 | 44 | 47 | 41 | INCIERTA |
| <i>Sylvia hortensis</i> | 3 | 4 | 2 | 4 | 1 | 0 | 8 | 4 | 7 | 11 | 8 | 6 | 4 | INCIERTA |
| <i>Sylvia melanocephala</i> | 71 | 24 | 51 | 35 | 23 | 42 | 49 | 96 | 55 | 55 | 58 | 38 | 29 | INCIERTA |
| <i>Sylvia undata</i> | 54 | 67 | 82 | 92 | 68 | 16 | 32 | 75 | 47 | 53 | 59 | 61 | 51 | INCIERTA |
| <i>Troglodytes troglodytes</i> | 30 | 44 | 46 | 62 | 36 | 36 | 38 | 38 | 38 | 46 | 34 | 23 | 35 | ESTABLE |
| <i>Turdus merula</i> | 136 | 162 | 176 | 203 | 116 | 81 | 80 | 91 | 79 | 101 | 130 | 70 | 110 | DESCENSO MODERADO** |
| <i>Turdus viscivorus</i> | 18 | 20 | 10 | 10 | 17 | 7 | 21 | 50 | 9 | 40 | 18 | 19 | 18 | INCIERTA |
| <i>Upupa epops</i> | 14 | 12 | 3 | 14 | 15 | 15 | 10 | 14 | 21 | 12 | 10 | 12 | 6 | INCIERTA |

Anexo 14. Evolución del número de especies contabilizadas en el **Parque Nacional de Cabañeros** según el tipo de hábitat. Se muestra la tendencia de cambio según los análisis del programa TRIM. Para aquellas tendencias estadísticamente significativas se indica el grado de significatividad (* P<0,05; ** P<0,01)

| HÁBITAT | 2012 | 2013 | 2014 | 2015 | 2017 | 2018 | 2019 | 2020 | 2021 | 2022 | 2023 | 2024 | 2025 | TENDENCIA |
|-----------|------|------|------|------|------|------|------|------|------|------|------|------|------|--------------------|
| Arbolado | 63 | 64 | 68 | 73 | 58 | 61 | 60 | 60 | 55 | 57 | 61 | 63 | 56 | DESCENSO MODERADO* |
| Arbustivo | 47 | 49 | 43 | 57 | 48 | 39 | 49 | 43 | 42 | 50 | 44 | 52 | 43 | ESTABLE |
| Herbáceo | 37 | 34 | 27 | 38 | 31 | 35 | 31 | 27 | 28 | 35 | 30 | 28 | 27 | DESCENSO MODERADO* |

Anexo 15. Evolución del número total de individuos contabilizados en el **Parque Nacional de Cabañeros** según el tipo de hábitat. Se muestra la tendencia de cambio según los análisis del programa TRIM. Para aquellas tendencias estadísticamente significativas se indica el grado de significatividad (* P<0,05; ** P<0,01)

| HÁBITAT | 2012 | 2013 | 2014 | 2015 | 2017 | 2018 | 2019 | 2020 | 2021 | 2022 | 2023 | 2024 | 2025 | TENDENCIA |
|-----------|------|------|------|------|------|------|------|------|------|------|------|------|------|--------------------|
| Arbolado | 1365 | 1461 | 1660 | 2245 | 1466 | 1022 | 1146 | 1521 | 1184 | 1257 | 1379 | 1248 | 1344 | DESCENSO MODERADO* |
| Arbustivo | 421 | 442 | 449 | 591 | 435 | 352 | 343 | 449 | 361 | 413 | 452 | 396 | 401 | ESTABLE |
| Herbáceo | 271 | 247 | 334 | 439 | 695 | 228 | 160 | 870 | 336 | 160 | 485 | 229 | 314 | INCIERTA |

Anexo 16. Evolución de la abundancia anual de las especies más comunes en el **Parque Nacional de los Picos de Europa**. Se muestra la tendencia de cambio según los análisis del programa TRIM. Para aquellas tendencias estadísticamente significativas se indica el grado de significatividad (* P<0,05; ** P<0,01).

| Especie | 2012 | 2013 | 2014 | 2015 | 2017 | 2018 | 2019 | 2020 | 2021 | 2022 | 2023 | 2024 | 2025 | TENDENCIA |
|------------------------------|------|------|------|------|------|------|------|------|------|------|------|------|------|----------------------|
| <i>Aegithalos caudatus</i> | 5 | 9 | 14 | 8 | 36 | 1 | 8 | 4 | 12 | 2 | 11 | 21 | 17 | INCIERTA |
| <i>Alauda arvensis</i> | 10 | 11 | 14 | 14 | 9 | 9 | 9 | 7 | 7 | 5 | 1 | 5 | 5 | INCIERTA |
| <i>Anas platyrhynchos</i> | 29 | 20 | 44 | 13 | 20 | 9 | 7 | 18 | 8 | 13 | 8 | 4 | 10 | DESCENSO MODERADO** |
| <i>Anthus spinoletta</i> | 130 | 113 | 111 | 26 | 97 | 88 | 80 | 87 | 98 | 71 | 107 | 131 | 90 | ESTABLE |
| <i>Anthus trivialis</i> | 26 | 18 | 18 | 0 | 16 | 12 | 15 | 13 | 10 | 4 | 11 | 13 | 11 | DESCENSO MODERADO** |
| <i>Buteo buteo</i> | 5 | 2 | 3 | 15 | 4 | 3 | 8 | 1 | 12 | 8 | 8 | 13 | 7 | INCIERTA |
| <i>Certhia brachydactyla</i> | 7 | 8 | 9 | 2 | 3 | 4 | 10 | 10 | 10 | 5 | 10 | 11 | 9 | INCIERTA |
| <i>Cinclus cinclus</i> | 1 | 1 | 5 | 2 | 5 | 1 | 1 | 2 | 2 | 1 | 0 | 2 | 1 | INCIERTA |
| <i>Columba palumbus</i> | 31 | 19 | 22 | 29 | 15 | 13 | 15 | 16 | 14 | 13 | 13 | 9 | 6 | DESCENSO MODERADO** |
| <i>Corvus corax</i> | 7 | 7 | 5 | 37 | 1 | 4 | 10 | 11 | 8 | 10 | 13 | 12 | 17 | INCIERTA |
| <i>Corvus corone</i> | 26 | 27 | 27 | 44 | 18 | 29 | 16 | 19 | 19 | 16 | 16 | 29 | 22 | INCIERTA |
| <i>Cuculus canorus</i> | 6 | 7 | 5 | 6 | 12 | 13 | 12 | 13 | 8 | 9 | 8 | 13 | 7 | INCIERTA |
| <i>Cyanistes caeruleus</i> | 54 | 31 | 47 | 37 | 61 | 23 | 52 | 31 | 61 | 35 | 43 | 42 | 66 | ESTABLE |
| <i>Delichon urbicum</i> | 15 | 0 | 10 | 65 | 1 | 15 | 2 | 3 | 1 | 21 | 3 | 19 | 3 | INCIERTA |
| <i>Dendrocopos major</i> | 11 | 5 | 10 | 2 | 7 | 5 | 13 | 10 | 10 | 8 | 8 | 10 | 11 | INCIERTA |
| <i>Emberiza cia</i> | 20 | 19 | 27 | 116 | 19 | 8 | 9 | 1 | 12 | 13 | 5 | 9 | 6 | INCIERTA |
| <i>Emberiza citrinella</i> | 10 | 14 | 15 | 28 | 8 | 12 | 7 | 8 | 5 | 4 | 2 | 3 | 4 | DESCENSO MODERADO** |
| <i>Erithacus rubecula</i> | 106 | 83 | 93 | 86 | 132 | 83 | 103 | 102 | 132 | 99 | 87 | 132 | 105 | ESTABLE |
| <i>Falco tinnunculus</i> | 4 | 3 | 1 | 1 | 4 | 5 | 3 | 2 | 6 | 5 | 3 | 2 | 10 | INCIERTA |
| <i>Fringilla coelebs</i> | 122 | 115 | 132 | 63 | 111 | 75 | 96 | 88 | 108 | 87 | 89 | 161 | 129 | ESTABLE |
| <i>Fulica atra</i> | 22 | 15 | 25 | 16 | 12 | 30 | 19 | 25 | 11 | 30 | 13 | 11 | 38 | INCIERTA |
| <i>Garrulus glandarius</i> | 35 | 17 | 25 | 50 | 23 | 8 | 13 | 10 | 14 | 7 | 5 | 23 | 10 | DESCENSO MODERADO** |
| <i>Gyps fulvus</i> | 37 | 85 | 13 | 102 | 19 | 4 | 34 | 26 | 34 | 29 | 58 | 91 | 73 | INCIERTA |
| <i>Linaria cannabina</i> | 71 | 61 | 84 | 53 | 99 | 53 | 82 | 65 | 57 | 69 | 81 | 132 | 114 | INCREMENTO MODERADO* |
| <i>Lophophanes cristatus</i> | 6 | 5 | 6 | 0 | 3 | 2 | 3 | 1 | 6 | 2 | 5 | 17 | 15 | INCIERTA |

| Especie | 2012 | 2013 | 2014 | 2015 | 2017 | 2018 | 2019 | 2020 | 2021 | 2022 | 2023 | 2024 | 2025 | TENDENCIA |
|--------------------------------|------|------|------|------|------|------|------|------|------|------|------|------|------|----------------------|
| <i>Monticola saxatilis</i> | 5 | 6 | 5 | 1 | 8 | 0 | 2 | 2 | 3 | 3 | 4 | 2 | 4 | INCIERTA |
| <i>Motacilla alba</i> | 15 | 5 | 7 | 13 | 6 | 9 | 9 | 4 | 6 | 4 | 15 | 14 | 8 | INCIERTA |
| <i>Motacilla cinerea</i> | 19 | 15 | 5 | 6 | 9 | 7 | 8 | 15 | 7 | 10 | 13 | 14 | 8 | INCIERTA |
| <i>Oenanthe oenanthe</i> | 51 | 42 | 30 | 35 | 43 | 48 | 58 | 39 | 37 | 33 | 29 | 32 | 23 | INCIERTA |
| <i>Parus major</i> | 60 | 43 | 51 | 36 | 36 | 27 | 29 | 40 | 52 | 34 | 40 | 97 | 84 | INCIERTA |
| <i>Periparus ater</i> | 51 | 37 | 31 | 19 | 17 | 19 | 29 | 32 | 50 | 46 | 30 | 104 | 31 | INCIERTA |
| <i>Phoenicurus ochruros</i> | 57 | 44 | 62 | 32 | 55 | 53 | 58 | 53 | 46 | 30 | 39 | 50 | 30 | INCIERTA |
| <i>Phylloscopus bonelli</i> | 21 | 23 | 31 | 0 | 30 | 24 | 27 | 25 | 24 | 20 | 21 | 20 | 26 | INCIERTA |
| <i>Phylloscopus ibericus</i> | 10 | 5 | 7 | 0 | 14 | 11 | 10 | 14 | 19 | 22 | 11 | 21 | 15 | INCREMENTO MODERADO* |
| <i>Picus sharpei</i> | 6 | 2 | 0 | 4 | 5 | 5 | 4 | 7 | 4 | 6 | 2 | 3 | 11 | INCIERTA |
| <i>Poecile palustris</i> | 6 | 1 | 2 | 19 | 1 | 11 | 1 | 5 | 3 | 2 | 11 | 6 | 4 | INCIERTA |
| <i>Prunella collaris</i> | 10 | 8 | 17 | 3 | 6 | 3 | 8 | 4 | 3 | 0 | 5 | 4 | 7 | INCIERTA |
| <i>Prunella modularis</i> | 80 | 82 | 70 | 72 | 115 | 77 | 102 | 92 | 98 | 96 | 80 | 79 | 75 | ESTABLE |
| <i>Ptyonoprogne rupestris</i> | 15 | 13 | 8 | 61 | 30 | 10 | 22 | 17 | 44 | 23 | 26 | 12 | 45 | INCIERTA |
| <i>Pyrrhocorax graculus</i> | 117 | 100 | 27 | 11 | 114 | 36 | 47 | 120 | 403 | 210 | 191 | 111 | 107 | INCIERTA |
| <i>Pyrrhocorax pyrrhocorax</i> | 261 | 117 | 212 | 0 | 145 | 59 | 106 | 179 | 166 | 144 | 295 | 194 | 307 | INCIERTA |
| <i>Pyrrhula pyrrhula</i> | 8 | 3 | 14 | 7 | 3 | 2 | 2 | 5 | 11 | 3 | 0 | 11 | 4 | INCIERTA |
| <i>Regulus ignicapilla</i> | 18 | 18 | 25 | 51 | 19 | 8 | 18 | 17 | 16 | 14 | 18 | 40 | 33 | INCIERTA |
| <i>Regulus regulus</i> | 7 | 2 | 10 | 0 | 9 | 6 | 3 | 8 | 3 | 5 | 7 | 15 | 12 | INCIERTA |
| <i>Saxicola rubicola</i> | 21 | 11 | 16 | 32 | 22 | 10 | 22 | 25 | 9 | 13 | 20 | 23 | 30 | INCIERTA |
| <i>Serinus serinus</i> | 27 | 16 | 27 | 11 | 27 | 12 | 27 | 31 | 32 | 21 | 33 | 17 | 30 | INCIERTA |
| <i>Sitta europaea</i> | 30 | 25 | 46 | 41 | 35 | 12 | 8 | 10 | 36 | 28 | 29 | 51 | 17 | INCIERTA |
| <i>Sylvia atricapilla</i> | 92 | 96 | 104 | 117 | 121 | 89 | 112 | 116 | 126 | 123 | 86 | 102 | 101 | ESTABLE |
| <i>Sylvia borin</i> | 15 | 5 | 30 | - | 31 | 19 | 22 | 27 | 17 | 25 | 18 | 26 | 27 | INCIERTA |
| <i>Sylvia communis</i> | 13 | 38 | 29 | - | 32 | 24 | 21 | 32 | 25 | 26 | 25 | 17 | 23 | INCIERTA |
| <i>Troglodytes troglodytes</i> | 91 | 82 | 94 | 18 | 103 | 82 | 107 | 118 | 106 | 93 | 73 | 107 | 113 | INCREMENTO MODERADO* |
| <i>Turdus merula</i> | 81 | 82 | 90 | 106 | 105 | 72 | 98 | 96 | 108 | 74 | 65 | 99 | 113 | ESTABLE |

| Especie | 2012 | 2013 | 2014 | 2015 | 2017 | 2018 | 2019 | 2020 | 2021 | 2022 | 2023 | 2024 | 2025 | TENDENCIA |
|--------------------------|------|------|------|------|------|------|------|------|------|------|------|------|------|-----------|
| <i>Turdus philomelos</i> | 47 | 49 | 50 | 9 | 41 | 45 | 37 | 43 | 65 | 48 | 40 | 49 | 50 | INCIERTA |
| <i>Turdus viscivorus</i> | 21 | 10 | 16 | 0 | 24 | 8 | 17 | 23 | 5 | 8 | 17 | 7 | 7 | INCIERTA |

Anexo 17. Evolución del número de especies contabilizadas en el **Parque Nacional de los Picos de Europa** según el tipo de hábitat. Se muestra la tendencia de cambio según los análisis del programa TRIM. Para aquellas tendencias estadísticamente significativas se indica el grado de significatividad (* $P < 0,05$; ** $P < 0,01$)

| HÁBITAT | 2012 | 2013 | 2014 | 2015 | 2017 | 2018 | 2019 | 2020 | 2021 | 2022 | 2023 | 2024 | 2025 | TENDENCIA |
|-----------|------|------|------|------|------|------|------|------|------|------|------|------|------|-----------|
| Arbolado | 69 | 61 | 59 | 50 | 69 | 58 | 61 | 58 | 70 | 57 | 67 | 69 | 68 | ESTABLE |
| Arbustivo | 25 | 26 | 18 | 13 | 25 | 21 | 26 | 24 | 22 | 25 | 16 | 36 | 26 | INCIERTA |
| Herbáceo | 37 | 36 | 35 | 30 | 37 | 28 | 32 | 34 | 31 | 34 | 38 | 40 | 40 | ESTABLE |

Anexo 18. Evolución del número total de individuos contabilizados en el **Parque Nacional de los Picos de Europa** según el tipo de hábitat. Se muestra la tendencia de cambio según los análisis del programa TRIM. Para aquellas tendencias estadísticamente significativas se indica el grado de significatividad (* $P < 0,05$; ** $P < 0,01$)

| HÁBITAT | 2012 | 2013 | 2014 | 2015 | 2017 | 2018 | 2019 | 2020 | 2021 | 2022 | 2023 | 2024 | 2025 | TENDENCIA |
|-----------|------|------|------|------|------|------|------|------|------|------|------|------|------|-----------|
| Arbolado | 1386 | 1164 | 1276 | 1314 | 1356 | 848 | 1092 | 1168 | 1677 | 1119 | 1145 | 1528 | 1435 | ESTABLE |
| Arbustivo | 119 | 120 | 115 | 111 | 142 | 99 | 123 | 154 | 132 | 159 | 84 | 189 | 143 | ESTABLE |
| Herbáceo | 541 | 390 | 474 | 498 | 458 | 345 | 445 | 433 | 387 | 445 | 619 | 604 | 584 | ESTABLE |

Anexo 19. Evolución de la abundancia anual de las especies más comunes en el **Parque Nacional de Ordesa y Monte Perdido**. Se muestra la tendencia de cambio según los análisis del programa TRIM. Para aquellas tendencias estadísticamente significativas se indica el grado de significatividad (* P<0,05; ** P<0,01).

| ESPECIE | 2012 | 2013 | 2014 | 2015 | 2017 | 2018 | 2019 | 2020 | 2021 | 2022 | 2023 | 2024 | 2025 | TENDENCIA |
|-------------------------------|------|------|------|------|------|------|------|------|------|------|------|------|------|-----------------------|
| <i>Aegithalos caudatus</i> | 22 | 10 | 15 | 24 | 24 | 2 | 1 | 2 | 6 | 2 | 1 | 0 | 4 | INCIERTA |
| <i>Alauda arvensis</i> | 2 | 2 | 4 | 12 | 8 | 5 | 5 | 5 | 5 | 2 | 10 | 3 | 2 | INCIERTA |
| <i>Certhia brachydactyla</i> | 23 | 15 | 23 | 6 | 18 | 10 | 2 | 6 | 5 | 0 | 3 | 4 | 8 | DESCENSO MODERADO** |
| <i>Cinclus cinclus</i> | 8 | 7 | 9 | 5 | 9 | 9 | 1 | 7 | 8 | 6 | 2 | 2 | 7 | INCIERTA |
| <i>Corvus corax</i> | 6 | 7 | 4 | 10 | 4 | 2 | 16 | 0 | 2 | 8 | 6 | 2 | 4 | INCIERTA |
| <i>Corvus corone</i> | 7 | 10 | 11 | 2 | 14 | 9 | 15 | 3 | 7 | 5 | 14 | 17 | 19 | INCIERTA |
| <i>Cyanistes caeruleus</i> | 19 | 13 | 19 | 6 | 33 | 4 | 1 | 0 | 3 | 2 | 2 | 5 | 3 | FUERTE DESCENSO* |
| <i>Dendrocopos major</i> | 1 | 2 | 3 | 2 | 5 | 5 | 11 | 7 | 6 | 6 | 3 | 8 | 10 | INCIERTA |
| <i>Dryocopus martius</i> | 2 | 3 | 4 | 0 | 8 | 7 | 5 | 5 | 9 | 8 | 10 | 1 | 7 | INCIERTA |
| <i>Emberiza citrinella</i> | 15 | 12 | 11 | 7 | 13 | 2 | 0 | 10 | 5 | 4 | 2 | 3 | 1 | DESCENSO MODERADO** |
| <i>Erithacus rubecula</i> | 43 | 56 | 68 | 31 | 69 | 45 | 78 | 78 | 45 | 57 | 89 | 83 | 57 | INCREMENTO MODERADO* |
| <i>Falco tinnunculus</i> | 2 | 2 | 1 | 1 | 3 | 3 | 6 | 1 | 6 | 3 | 6 | 3 | 5 | INCIERTA |
| <i>Fringilla coelebs</i> | 90 | 80 | 103 | 99 | 103 | 107 | 81 | 91 | 95 | 98 | 94 | 110 | 87 | ESTABLE |
| <i>Garrulus glandarius</i> | 19 | 2 | 25 | 1 | 10 | 8 | 2 | 5 | 10 | 10 | 8 | 8 | 12 | INCIERTA |
| <i>Gypaetus barbatus</i> | 16 | 15 | 9 | 13 | 21 | 5 | 21 | 15 | 23 | 15 | 9 | 16 | 31 | INCIERTA |
| <i>Gyps fulvus</i> | 8 | 12 | 13 | 26 | 40 | 28 | 78 | 37 | 42 | 24 | 44 | 45 | 120 | INCREMENTO MODERADO** |
| <i>Linaria cannabina</i> | 20 | 11 | 17 | 33 | 12 | 34 | 9 | 30 | 34 | 23 | 14 | 26 | 26 | INCIERTA |
| <i>Milvus milvus</i> | 1 | 2 | 1 | 4 | 1 | 2 | 5 | 3 | 5 | 3 | 3 | 12 | 3 | INCIERTA |
| <i>Motacilla cinerea</i> | 21 | 19 | 25 | 6 | 23 | 12 | 6 | 14 | 9 | 4 | 5 | 2 | 2 | FUERTE DESCENSO* |
| <i>Neophron percnopterus</i> | 4 | 1 | 3 | 0 | 5 | 3 | 4 | 2 | 2 | 3 | 1 | 2 | 11 | INCIERTA |
| <i>Oenanthe oenanthe</i> | 23 | 20 | 30 | 23 | 26 | 44 | 24 | 35 | 12 | 24 | 11 | 17 | 20 | INCIERTA |
| <i>Parus major</i> | 21 | 16 | 27 | 26 | 45 | 18 | 12 | 8 | 4 | 9 | 4 | 1 | 12 | INCIERTA |
| <i>Periparus ater</i> | 49 | 37 | 38 | 6 | 48 | 32 | 18 | 14 | 29 | 32 | 44 | 36 | 31 | INCIERTA |
| <i>Phoenicurus ochruros</i> | 19 | 18 | 24 | 13 | 24 | 24 | 30 | 11 | 21 | 9 | 26 | 14 | 26 | INCIERTA |
| <i>Prunella modularis</i> | 25 | 36 | 36 | 15 | 36 | 6 | 4 | 3 | 1 | 1 | 5 | 3 | 0 | FUERTE DESCENSO* |
| <i>Ptyonoprogne rupestris</i> | 32 | 47 | 38 | 35 | 112 | 32 | 11 | 4 | 15 | 4 | 8 | 3 | 41 | INCIERTA |
| <i>Pyrhcorax graculus</i> | 33 | 106 | 56 | 75 | 36 | 82 | 37 | 27 | 103 | 18 | 17 | 67 | 22 | INCIERTA |

| ESPECIE | 2012 | 2013 | 2014 | 2015 | 2017 | 2018 | 2019 | 2020 | 2021 | 2022 | 2023 | 2024 | 2025 | TENDENCIA |
|--------------------------------|------|------|------|------|------|------|------|------|------|------|------|------|------|---------------------|
| <i>Pyrrhocorax pyrrhocorax</i> | 41 | 104 | 128 | 0 | 123 | 81 | 44 | 175 | 175 | 52 | 140 | 423 | 430 | INCIERTA |
| <i>Pyrrhula pyrrhula</i> | 3 | 4 | 5 | 2 | 6 | 4 | 2 | 2 | 5 | 7 | 3 | 4 | 4 | INCIERTA |
| <i>Sitta europaea</i> | 5 | 2 | 6 | 9 | 16 | 10 | 3 | 4 | 4 | 3 | 12 | 20 | 17 | INCIERTA |
| <i>Sylvia atricapilla</i> | 48 | 55 | 57 | 33 | 58 | 39 | 10 | 47 | 49 | 54 | 44 | 72 | 60 | ESTABLE |
| <i>Troglodytes troglodytes</i> | 46 | 49 | 63 | 23 | 58 | 1 | 1 | 16 | 18 | 42 | 40 | 27 | 36 | INCIERTA |
| <i>Turdus merula</i> | 62 | 60 | 65 | 18 | 55 | 18 | 11 | 22 | 16 | 20 | 40 | 38 | 15 | DESCENSO MODERADO** |
| <i>Turdus philomelos</i> | 30 | 32 | 39 | 23 | 37 | 36 | 16 | 28 | 16 | 35 | 34 | 18 | 11 | INCIERTA |
| <i>Turdus viscivorus</i> | 8 | 8 | 18 | 9 | 13 | 11 | 38 | 29 | 14 | 22 | 46 | 15 | 10 | INCIERTA |

Anexo 20. Evolución del número de especies contabilizadas en el **Parque Nacional de Ordesa y Monte Perdido** según el tipo de hábitat. Se muestra la tendencia de cambio según los análisis del programa TRIM. Para aquellas tendencias estadísticamente significativas se indica el grado de significatividad (* P<0,05; ** P<0,01)

| HÁBITAT | 2012 | 2013 | 2014 | 2015 | 2017 | 2018 | 2019 | 2020 | 2021 | 2022 | 2023 | 2024 | 2025 | TENDENCIA |
|----------|------|------|------|------|------|------|------|------|------|------|------|------|------|--------------------|
| Arbolado | 46 | 45 | 48 | 40 | 57 | 42 | 33 | 31 | 38 | 39 | 38 | 40 | 39 | ESTABLE |
| Herbáceo | 49 | 44 | 46 | 34 | 52 | 38 | 26 | 42 | 36 | 33 | 25 | 36 | 38 | DESCENSO MODERADO* |

Anexo 21. Evolución del número total de individuos contabilizados en el **Parque Nacional de Ordesa y Monte Perdido** según el tipo de hábitat. Se muestra la tendencia de cambio según los análisis del programa TRIM. Para aquellas tendencias estadísticamente significativas se indica el grado de significatividad (* P<0,05; ** P<0,01)

| HÁBITAT | 2012 | 2013 | 2014 | 2015 | 2017 | 2018 | 2019 | 2020 | 2021 | 2022 | 2023 | 2024 | 2025 | TENDENCIA |
|----------|------|------|------|------|------|------|------|------|------|------|------|------|------|-----------|
| Arbolado | 503 | 480 | 582 | 333 | 751 | 349 | 270 | 296 | 330 | 341 | 426 | 695 | 474 | ESTABLE |
| Herbáceo | 286 | 436 | 436 | 401 | 448 | 291 | 287 | 421 | 427 | 224 | 196 | 355 | 486 | INCIERTA |

Anexo 22. Evolución de la abundancia anual de las especies más comunes en el **Parque Nacional de Aigüestortes i Estany de Sant Maurici**. Se muestra la tendencia de cambio según los análisis del programa TRIM. Para aquellas tendencias estadísticamente significativas se indica el grado de significatividad (* P<0,05; ** P<0,01).

| ESPECIE | 2012 | 2013 | 2014 | 2015 | 2017 | 2018 | 2019 | 2020 | 2021 | 2022 | 2023 | 2024 | 2025 | TENDENCIA |
|--------------------------------|------|------|------|------|------|------|------|------|------|------|------|------|------|-----------------------|
| <i>Carduelis citrinella</i> | 6 | 20 | 5 | 17 | 12 | 31 | 23 | 17 | 19 | 10 | 18 | 17 | 7 | INCIERTA |
| <i>Columba palumbus</i> | 10 | 5 | 8 | 3 | 3 | 2 | 5 | 16 | 4 | 6 | 3 | 3 | 10 | INCIERTA |
| <i>Dendrocopos major</i> | 8 | 5 | 6 | 8 | 6 | 6 | 6 | 7 | 4 | 7 | 7 | 11 | 7 | INCIERTA |
| <i>Dryocopus martius</i> | 0 | 2 | 1 | 2 | 3 | 4 | 6 | 6 | 1 | 2 | 4 | 3 | 6 | INCIERTA |
| <i>Erithacus rubecula</i> | 22 | 25 | 24 | 34 | 33 | 34 | 21 | 46 | 15 | 37 | 33 | 46 | 27 | INCIERTA |
| <i>Fringilla coelebs</i> | 37 | 27 | 43 | 39 | 43 | 71 | 52 | 48 | 49 | 64 | 76 | 82 | 48 | INCREMENTO MODERADO** |
| <i>Garrulus glandarius</i> | 6 | 9 | 4 | 3 | 8 | 10 | 10 | 11 | 6 | 9 | 11 | 10 | 16 | INCREMENTO MODERADO* |
| <i>Gyps fulvus</i> | 0 | 1 | 1 | 2 | 1 | 5 | 7 | 2 | 7 | 1 | 21 | 5 | 10 | INCIERTA |
| <i>Lophophanes cristatus</i> | 19 | 20 | 24 | 19 | 24 | 21 | 5 | 5 | 6 | 11 | 2 | 5 | 1 | INCIERTA |
| <i>Motacilla cinerea</i> | 1 | 2 | 1 | 3 | 4 | 8 | 1 | 6 | 4 | 7 | 5 | 5 | 1 | INCIERTA |
| <i>Oenanthe oenanthe</i> | 9 | 8 | 14 | 8 | 10 | 19 | 14 | 17 | 5 | 11 | 13 | 8 | 13 | INCIERTA |
| <i>Periparus ater</i> | 67 | 40 | 37 | 59 | 54 | 62 | 28 | 31 | 25 | 45 | 66 | 37 | 25 | INCIERTA |
| <i>Phoenicurus ochruros</i> | 34 | 44 | 34 | 20 | 25 | 48 | 25 | 14 | 28 | 11 | 25 | 21 | 18 | DESCENSO MODERADO** |
| <i>Prunella modularis</i> | 13 | 12 | 22 | 25 | 21 | 9 | 17 | 1 | 3 | 1 | 3 | 0 | 2 | INCIERTA |
| <i>Ptyonoprogne rupestris</i> | 5 | 5 | 8 | 5 | 5 | 8 | 8 | 0 | 2 | 2 | 2 | 4 | 5 | INCIERTA |
| <i>Regulus ignicapilla</i> | 5 | 1 | 3 | 2 | 4 | 9 | 2 | 0 | 2 | 7 | 1 | 7 | 2 | INCIERTA |
| <i>Sylvia atricapilla</i> | 9 | 9 | 15 | 5 | 17 | 12 | 10 | 11 | 22 | 27 | 28 | 22 | 21 | INCREMENTO MODERADO** |
| <i>Troglodytes troglodytes</i> | 3 | 1 | 7 | 9 | 5 | 7 | 0 | 4 | 5 | 5 | 9 | 6 | 12 | INCIERTA |
| <i>Turdus merula</i> | 1 | 4 | 6 | 13 | 11 | 4 | 2 | 6 | 2 | 6 | 17 | 18 | 1 | INCIERTA |
| <i>Turdus philomelos</i> | 9 | 9 | 13 | 22 | 19 | 33 | 22 | 19 | 12 | 18 | 36 | 12 | 1 | INCIERTA |
| <i>Turdus torquatus</i> | 1 | 1 | 2 | 2 | 5 | 6 | 0 | 4 | 8 | 6 | 2 | 4 | 1 | INCIERTA |
| <i>Turdus viscivorus</i> | 9 | 15 | 13 | 15 | 18 | 18 | 22 | 25 | 20 | 15 | 8 | 28 | 18 | INCIERTA |

Anexo 23. Evolución del número de especies contabilizadas en el **Parque Nacional de Aigüestortes i Estany de Sant Maurici** según el tipo de hábitat. Se muestra la tendencia de cambio según los análisis del programa TRIM. Para aquellas tendencias estadísticamente significativas se indica el grado de significatividad (* P<0,05; ** P<0,01)

| HÁBITAT | 2012 | 2013 | 2014 | 2015 | 2017 | 2018 | 2019 | 2020 | 2021 | 2022 | 2023 | 2024 | 2025 | TENDENCIA |
|----------------|------|------|------|------|------|------|------|------|------|------|------|------|------|-----------|
| Arbolado | 33 | 32 | 41 | 30 | 34 | 35 | 31 | 30 | 28 | 30 | 31 | 32 | 30 | ESTABLE |
| Arbustivo | 16 | 15 | 18 | 19 | 16 | 17 | 13 | 17 | 19 | 14 | 19 | 23 | 16 | ESTABLE |
| Herbáceo | 10 | 11 | 13 | 13 | 7 | 14 | 8 | 11 | 10 | 9 | 13 | 7 | 10 | ESTABLE |
| Sin vegetación | 18 | 17 | 21 | 12 | 22 | 19 | 9 | 13 | 14 | 14 | 15 | 14 | 11 | INCIERTA |

Anexo 24. Evolución del número total de individuos contabilizados en el **Parque Nacional de Aigüestortes i Estany de Sant Maurici** según el tipo de hábitat. Se muestra la tendencia de cambio según los análisis del programa TRIM. Para aquellas tendencias estadísticamente significativas se indica el grado de significatividad (* P<0,05; ** P<0,01)

| HÁBITAT | 2012 | 2013 | 2014 | 2015 | 2017 | 2018 | 2019 | 2020 | 2021 | 2022 | 2023 | 2024 | 2025 | TENDENCIA |
|----------------|------|------|------|------|------|------|------|------|------|------|------|------|------|-----------|
| Arbolado | 209 | 183 | 246 | 220 | 264 | 334 | 219 | 241 | 177 | 229 | 315 | 271 | 187 | ESTABLE |
| Arbustivo | 56 | 66 | 64 | 76 | 61 | 75 | 54 | 42 | 61 | 51 | 73 | 85 | 43 | ESTABLE |
| Herbáceo | 28 | 32 | 39 | 44 | 29 | 45 | 25 | 25 | 27 | 35 | 28 | 21 | 22 | INCIERTA |
| Sin vegetación | 51 | 33 | 41 | 27 | 45 | 98 | 20 | 36 | 33 | 31 | 38 | 39 | 30 | INCIERTA |

Anexo 25. Evolución de la abundancia anual de las especies más comunes en el **Parque Nacional del Archipiélago de Cabrera**. Se muestra la tendencia de cambio según los análisis del programa TRIM. Para aquellas tendencias estadísticamente significativas se indica el grado de significatividad (* P<0,05; ** P<0,01).

| ESPECIE | 2012 | 2013 | 2014 | 2015 | 2017 | 2018 | 2019 | 2020 | 2021 | 2022 | 2023 | 2024 | 2025 | TENDENCIA |
|--------------------------------|------|------|------|------|------|------|------|------|------|------|------|------|------|----------------------|
| <i>Apus apus</i> | 14 | 112 | 84 | 74 | 13 | 259 | 140 | 160 | 212 | 169 | 29 | 97 | 53 | INCIERTA |
| <i>Apus pallidus</i> | 40 | 4 | 18 | 26 | 26 | 22 | 18 | 24 | 22 | 23 | 92 | 24 | 43 | INCIERTA |
| <i>Carduelis carduelis</i> | 6 | 10 | 7 | 8 | 13 | 21 | 6 | 4 | 7 | 3 | 0 | 5 | 2 | INCIERTA |
| <i>Chloris chloris</i> | 40 | 39 | 50 | 41 | 46 | 42 | 68 | 55 | 27 | 29 | 37 | 46 | 23 | INCIERTA |
| <i>Columba palumbus</i> | 28 | 43 | 59 | 49 | 50 | 58 | 57 | 78 | 47 | 68 | 50 | 51 | 70 | INCREMENTO MODERADO* |
| <i>Falco peregrinus</i> | 2 | 1 | 3 | 2 | 7 | 11 | 9 | 10 | 19 | 15 | 15 | 14 | 6 | INCIERTA |
| <i>Larus michahellis</i> | 62 | 60 | 67 | 64 | 68 | 193 | 246 | 124 | 106 | 184 | 88 | 67 | 70 | INCIERTA |
| <i>Linaria cannabina</i> | 20 | 4 | 15 | 13 | 13 | 23 | 23 | 36 | 32 | 34 | 35 | 24 | 28 | INCREMENTO MODERADO* |
| <i>Monticola solitarius</i> | 12 | 9 | 19 | 14 | 7 | 5 | 6 | 6 | 7 | 10 | 9 | 8 | 12 | INCIERTA |
| <i>Muscicapa striata</i> | 21 | 26 | 33 | 33 | 6 | 10 | 18 | 22 | 12 | 12 | 10 | 6 | 6 | DESCENSO MODERADO** |
| <i>Pandion haliaetus</i> | 3 | 2 | 4 | 4 | 0 | 4 | 7 | 5 | 9 | 22 | 10 | 8 | 4 | INCIERTA |
| <i>Phoenicurus phoenicurus</i> | 12 | 8 | 2 | 6 | 8 | 2 | 2 | 13 | 11 | 7 | 16 | 20 | 6 | INCIERTA |
| <i>Regulus ignicapilla</i> | 1 | 2 | 3 | 3 | 8 | 13 | 8 | 8 | 13 | 9 | 2 | 3 | 0 | INCIERTA |
| <i>Streptopelia turtur</i> | 5 | 2 | 5 | 4 | 6 | 8 | 9 | 6 | 12 | 3 | 3 | 4 | 4 | INCIERTA |
| <i>Sylvia balearica</i> | 67 | 89 | 70 | 71 | 42 | 68 | 68 | 70 | 46 | 58 | 49 | 42 | 52 | DESCENSO MODERADO** |
| <i>Sylvia melanocephala</i> | 82 | 88 | 121 | 98 | 43 | 73 | 75 | 72 | 59 | 65 | 63 | 71 | 50 | DESCENSO MODERADO** |
| <i>Sylvia subalpina</i> | 6 | 6 | 11 | 13 | 5 | 15 | 18 | 9 | 6 | 4 | 0 | 2 | 7 | INCIERTA |
| <i>Upupa epops</i> | 6 | 2 | 6 | 7 | 5 | 9 | 6 | 11 | 23 | 11 | 4 | 13 | 9 | INCIERTA |

Anexo 26. Evolución del número de especies contabilizadas en el **Parque Nacional del Archipiélago de Cabrera** según el tipo de hábitat. Se muestra la tendencia de cambio según los análisis del programa TRIM. Para aquellas tendencias estadísticamente significativas se indica el grado de significatividad (* P<0,05; ** P<0,01)

| HÁBITAT | 2012 | 2013 | 2014 | 2015 | 2017 | 2018 | 2019 | 2020 | 2021 | 2022 | 2023 | 2024 | 2025 | Tendencia |
|----------|------|------|------|------|------|------|------|------|------|------|------|------|------|-----------|
| Arbolado | 21 | 21 | 18 | 20 | 22 | 25 | 21 | 34 | 30 | 25 | 26 | 23 | 24 | ESTABLE |

| HÁBITAT | 2012 | 2013 | 2014 | 2015 | 2017 | 2018 | 2019 | 2020 | 2021 | 2022 | 2023 | 2024 | 2025 | Tendencia |
|-----------|------|------|------|------|------|------|------|------|------|------|------|------|------|-----------------------|
| Arbustivo | 22 | 26 | 23 | 24 | 26 | 38 | 26 | 42 | 30 | 32 | 32 | 31 | 30 | INCREMENTO MODERADO* |
| Herbáceo | 17 | 15 | 13 | 13 | 13 | 19 | 19 | 26 | 29 | 21 | 23 | 26 | 18 | INCREMENTO MODERADO** |

Anexo 27. Evolución del número total de individuos contabilizados en el **Parque Nacional del Archipiélago de Cabrera** según el tipo de hábitat. Se muestra la tendencia de cambio según los análisis del programa TRIM. Para aquellas tendencias estadísticamente significativas se indica el grado de significatividad (* P<0,05; ** P<0,01)

| HÁBITAT | 2012 | 2013 | 2014 | 2015 | 2017 | 2018 | 2019 | 2020 | 2021 | 2022 | 2023 | 2024 | 2025 | TENDENCIA |
|-----------|------|------|------|------|------|------|------|------|------|------|------|------|------|-----------|
| Arbolado | 145 | 194 | 208 | 172 | 117 | 253 | 200 | 273 | 279 | 280 | 194 | 188 | 155 | INCIERTA |
| Arbustivo | 274 | 327 | 358 | 357 | 215 | 570 | 419 | 534 | 433 | 423 | 352 | 323 | 283 | INCIERTA |
| Herbáceo | 57 | 73 | 74 | 67 | 41 | 129 | 78 | 180 | 148 | 93 | 71 | 94 | 72 | INCIERTA |

Anexo 28. Evolución de la abundancia anual de las especies más comunes en el **Parque Nacional de la Caldera de Taburiente**. Se muestra la tendencia de cambio según los análisis del programa TRIM. Para aquellas tendencias estadísticamente significativas se indica el grado de significatividad (* P<0,05; ** P<0,01).

| ESPECIE | 2012 | 2013 | 2014 | 2015 | 2017 | 2018 | 2019 | 2020 | 2021 | 2022 | 2023 | 2024 | 2025 | TENDENCIA |
|---------------------------------|------|------|------|------|------|------|------|------|------|------|------|------|------|----------------------|
| <i>Anthus berthelotii</i> | 7 | 4 | 2 | 3 | 5 | 7 | 5 | 6 | 6 | 7 | 6 | 6 | 9 | INCREMENTO MODERADO* |
| <i>Columba junoniae</i> | 5 | 8 | 7 | 1 | 19 | 7 | 7 | 4 | 6 | 11 | 11 | 10 | 14 | INCIERTA |
| <i>Columba livia</i> | 0 | 5 | 9 | 29 | 16 | 18 | 24 | 9 | 16 | 12 | 19 | 41 | 22 | INCIERTA |
| <i>Corvus corax</i> | 8 | 0 | 2 | 8 | 6 | 7 | 10 | 11 | 5 | 6 | 7 | 8 | 9 | INCIERTA |
| <i>Cyanistes teneriffae</i> | 16 | 12 | 18 | 7 | 16 | 16 | 12 | 14 | 10 | 16 | 20 | 12 | 14 | ESTABLE |
| <i>Falco tinnunculus</i> | 3 | 1 | 2 | 2 | 5 | 5 | 5 | 2 | 1 | 2 | 6 | 8 | 7 | INCIERTA |
| <i>Fringilla coelebs</i> | 40 | 29 | 37 | 16 | 18 | 20 | 29 | 26 | 24 | 32 | 41 | 29 | 35 | ESTABLE |
| <i>Phylloscopus canariensis</i> | 53 | 49 | 72 | 16 | 50 | 40 | 66 | 31 | 34 | 27 | 46 | 42 | 51 | INCIERTA |
| <i>Pyrrhocorax pyrrhocorax</i> | 53 | 41 | 62 | 0 | 44 | 41 | 38 | 47 | 41 | 22 | 26 | 32 | 44 | INCIERTA |

| ESPECIE | 2012 | 2013 | 2014 | 2015 | 2017 | 2018 | 2019 | 2020 | 2021 | 2022 | 2023 | 2024 | 2025 | TENDENCIA |
|------------------------|------|------|------|------|------|------|------|------|------|------|------|------|------|-----------|
| <i>Regulus regulus</i> | 28 | 18 | 35 | 3 | 38 | 20 | 26 | 28 | 23 | 10 | 16 | 14 | 15 | INCIERTA |
| <i>Serinus canaria</i> | 5 | 10 | 15 | 3 | 15 | 54 | 37 | 21 | 45 | 41 | 61 | 42 | 30 | INCIERTA |

Anexo 29. Evolución de la abundancia anual de las especies más comunes en el **Parque Nacional de Garajonay**. Se muestra la tendencia de cambio según los análisis del programa TRIM. Para aquellas tendencias estadísticamente significativas se indica el grado de significatividad (* P<0,05; ** P<0,01).

| ESPECIE | 2012 | 2013 | 2014 | 2015 | 2017 | 2018 | 2019 | 2020 | 2021 | 2022 | 2023 | 2024 | 2025 | TENDENCIA |
|---------------------------------|------|------|------|------|------|------|------|------|------|------|------|------|------|-----------|
| <i>Columba bollii</i> | 8 | 5 | 3 | 5 | 14 | 14 | 9 | 6 | 11 | 11 | 13 | 15 | 5 | INCIERTA |
| <i>Cyanistes teneriffae</i> | 28 | 31 | 46 | 27 | 36 | 41 | 40 | 32 | 41 | 46 | 37 | 32 | 34 | ESTABLE |
| <i>Erithacus rubecula</i> | 16 | 10 | 6 | 10 | 12 | 17 | 16 | 9 | 8 | 10 | 18 | 8 | 6 | INCIERTA |
| <i>Fringilla coelebs</i> | 46 | 28 | 37 | 18 | 43 | 34 | 28 | 36 | 25 | 18 | 34 | 37 | 35 | ESTABLE |
| <i>Phylloscopus canariensis</i> | 92 | 62 | 58 | 37 | 72 | 44 | 68 | 84 | 86 | 60 | 58 | 60 | 58 | ESTABLE |
| <i>Regulus regulus</i> | 72 | 41 | 61 | 20 | 67 | 24 | 34 | 50 | 47 | 37 | 35 | 37 | 35 | INCIERTA |
| <i>Serinus canaria</i> | 3 | 4 | 7 | 11 | 26 | 11 | 30 | 8 | 14 | 3 | 6 | 6 | 4 | INCIERTA |
| <i>Sylvia atricapilla</i> | 0 | 0 | 2 | 4 | 15 | 9 | 7 | 16 | 7 | 7 | 12 | 12 | 8 | INCIERTA |
| <i>Sylvia melanocephala</i> | 2 | 3 | 0 | 0 | 1 | 3 | 2 | 3 | 5 | 4 | 6 | 4 | 5 | INCIERTA |
| <i>Turdus merula</i> | 69 | 64 | 32 | 56 | 108 | 72 | 97 | 57 | 74 | 59 | 71 | 75 | 62 | INCIERTA |

Anexo 30. Evolución de la abundancia anual de las especies más comunes en el **Parque Nacional del Teide**. Se muestra la tendencia de cambio según los análisis del programa TRIM. Para aquellas tendencias estadísticamente significativas se indica el grado de significatividad (* P<0,05; ** P<0,01).

| ESPECIE | 2012 | 2013 | 2014 | 2015 | 2017 | 2018 | 2019 | 2020 | 2021 | 2022 | 2023 | 2024 | 2025 | TENDENCIA |
|---------------------------------|------|------|------|------|------|------|------|------|------|------|------|------|------|---------------------|
| <i>Anthus berthelotii</i> | 31 | 30 | 22 | 37 | 46 | 39 | 30 | 37 | 41 | 33 | 17 | 23 | 25 | INCIERTA |
| <i>Apus unicolor</i> | 27 | 43 | 38 | 51 | 128 | 56 | 89 | 46 | 66 | 7 | 18 | 14 | 20 | INCIERTA |
| <i>Columba livia</i> | 1 | 3 | 1 | 10 | 1 | 1 | 1 | 7 | 2 | 2 | 0 | 3 | 2 | INCIERTA |
| <i>Cyanistes teneriffae</i> | 6 | 0 | 1 | 4 | 9 | 5 | 5 | 3 | 5 | 2 | 4 | 4 | 3 | INCIERTA |
| <i>Falco tinnunculus</i> | 7 | 9 | 9 | 10 | 8 | 4 | 11 | 4 | 5 | 3 | 6 | 4 | 4 | DESCENSO MODERADO** |
| <i>Fringilla teydea</i> | 6 | 1 | 3 | 1 | 4 | 3 | 2 | 3 | 4 | 2 | 3 | 4 | 4 | INCIERTA |
| <i>Phylloscopus canariensis</i> | 96 | 43 | 50 | 44 | 48 | 44 | 56 | 36 | 40 | 35 | 46 | 37 | 39 | DESCENSO MODERADO** |

| ESPECIE | 2012 | 2013 | 2014 | 2015 | 2017 | 2018 | 2019 | 2020 | 2021 | 2022 | 2023 | 2024 | 2025 | TENDENCIA |
|-----------------------------|------|------|------|------|------|------|------|------|------|------|------|------|------|-----------|
| <i>Serinus canaria</i> | 17 | 14 | 11 | 22 | 19 | 7 | 9 | 14 | 13 | 16 | 17 | 8 | 8 | INCIERTA |
| <i>Sylvia conspicillata</i> | 7 | 1 | 1 | 4 | 1 | 4 | 1 | 3 | 3 | 0 | 2 | 2 | 3 | INCIERTA |

Anexo 31. Evolución del número de especies contabilizadas en el **Parque Nacional del Teide** según el tipo de hábitat. Se muestra la tendencia de cambio según los análisis del programa TRIM. Para aquellas tendencias estadísticamente significativas se indica el grado de significatividad (* P<0,05; ** P<0,01)

| HÁBITAT | 2012 | 2013 | 2014 | 2015 | 2017 | 2018 | 2019 | 2020 | 2021 | 2022 | 2023 | 2024 | 2025 | TENDENCIA |
|-----------|------|------|------|------|------|------|------|------|------|------|------|------|------|--------------------|
| Arbolado | 6 | 6 | 3 | 4 | 3 | 5 | 4 | 4 | 5 | 3 | 3 | 3 | 4 | INCIERTA |
| Arbustivo | 12 | 13 | 11 | 13 | 9 | 11 | 9 | 9 | 10 | 9 | 10 | 11 | 10 | DESCENSO MODERADO* |

Anexo 32. Evolución del número total de individuos contabilizados en el **Parque Nacional del Teide** según el tipo de hábitat. Se muestra la tendencia de cambio según los análisis del programa TRIM. Para aquellas tendencias estadísticamente significativas se indica el grado de significatividad (* P<0,05; ** P<0,01)

| HÁBITAT | 2012 | 2013 | 2014 | 2015 | 2017 | 2018 | 2019 | 2020 | 2021 | 2022 | 2023 | 2024 | 2025 | Tendencia |
|-----------|------|------|------|------|------|------|------|------|------|------|------|------|------|--------------------|
| Arbolado | 37 | 21 | 6 | 8 | 13 | 16 | 16 | 20 | 12 | 11 | 12 | 10 | 15 | INCIERTA |
| Arbustivo | 169 | 136 | 135 | 193 | 252 | 152 | 189 | 136 | 170 | 93 | 104 | 91 | 97 | DESCENSO MODERADO* |

Anexo 33. Evolución de la abundancia anual de las especies más comunes en el **Parque Nacional de Timanfaya**. Se muestra la tendencia de cambio según los análisis del programa TRIM. Para aquellas tendencias estadísticamente significativas se indica el grado de significatividad (* P<0,05; ** P<0,01).

| ESPECIE | 2012 | 2013 | 2014 | 2015 | 2017 | 2018 | 2019 | 2020 | 2021 | 2022 | 2023 | 2024 | 2025 | TENDENCIA |
|---------------------------|------|------|------|------|------|------|------|------|------|------|------|------|------|-----------|
| <i>Alectoris barbara</i> | 8 | 6 | 9 | 6 | 0 | 7 | 4 | 7 | 13 | 13 | 1 | 2 | 1 | INCIERTA |
| <i>Anthus berthelotii</i> | 29 | 19 | 23 | 12 | 20 | 49 | 40 | 36 | 29 | 32 | 17 | 9 | 16 | INCIERTA |

| ESPECIE | 2012 | 2013 | 2014 | 2015 | 2017 | 2018 | 2019 | 2020 | 2021 | 2022 | 2023 | 2024 | 2025 | TENDENCIA |
|------------------------------|------|------|------|------|------|------|------|------|------|------|------|------|------|-----------|
| <i>Bucanetes githagineus</i> | 5 | 1 | 9 | 27 | 11 | 36 | 9 | 3 | 17 | 16 | 13 | 5 | 11 | INCIERTA |
| <i>Falco pelegrinoides</i> | 2 | 7 | 4 | 4 | 5 | 4 | 6 | 2 | 6 | 6 | 8 | 3 | 2 | INCIERTA |
| <i>Lanius excubitor</i> | 1 | 1 | 2 | 3 | 8 | 5 | 7 | 5 | 3 | 0 | 1 | 1 | 1 | INCIERTA |
| <i>Larus michahellis</i> | 87 | 109 | 109 | 73 | 105 | 118 | 87 | 149 | 65 | 75 | 91 | 72 | 47 | INCIERTA |

Anexo 34. Evolución de la abundancia anual de las especies más comunes en el **Parque Nacional de las Islas Atlánticas de Galicia**. Se muestra la tendencia de cambio según los análisis del programa TRIM. Para aquellas tendencias estadísticamente significativas se indica el grado de significatividad (* P<0,05; ** P<0,01).

| ESPECIE | 2012 | 2013 | 2014 | 2015 | 2017 | 2018 | 2019 | 2020 | 2021 | 2022 | 2023 | 2024 | 2025 | TENDENCIA |
|----------------------------------|------|------|------|------|------|------|------|------|------|------|------|------|------|-----------------------|
| <i>Aegithalos caudatus</i> | 3 | 2 | 0 | 6 | 4 | 4 | 7 | 13 | 5 | 43 | 31 | 39 | 15 | INCREMENTO MODERADO* |
| <i>Buteo buteo</i> | 3 | 9 | 12 | 6 | 10 | 23 | 6 | 9 | 9 | 4 | 6 | 10 | 5 | INCIERTA |
| <i>Carduelis carduelis</i> | 49 | 40 | 17 | 10 | 48 | 39 | 42 | 62 | 36 | 112 | 100 | 143 | 105 | FUERTE INCREMENTO* |
| <i>Certhia brachydactyla</i> | 14 | 9 | 12 | 0 | 6 | 6 | 5 | 10 | 6 | 5 | 4 | 10 | 8 | DESCENSO MODERADO* |
| <i>Chloris chloris</i> | 138 | 116 | 124 | 197 | 128 | 142 | 138 | 171 | 156 | 164 | 211 | 196 | 152 | INCREMENTO MODERADO* |
| <i>Cisticola juncidis</i> | 24 | 23 | 17 | 11 | 34 | 0 | 2 | 12 | 23 | 8 | 25 | 14 | 4 | INCIERTA |
| <i>Columba palumbus</i> | 39 | 73 | 74 | 45 | 43 | 95 | 26 | 39 | 86 | 60 | 61 | 73 | 87 | INCIERTA |
| <i>Corvus corone</i> | 7 | 5 | 3 | 4 | 4 | 2 | 1 | 2 | 0 | 5 | 2 | 5 | 10 | INCIERTA |
| <i>Dendrocopos major</i> | 13 | 10 | 15 | 1 | 8 | 12 | 10 | 11 | 7 | 7 | 3 | 7 | 9 | INCIERTA |
| <i>Erithacus rubecula</i> | 86 | 75 | 76 | 50 | 69 | 81 | 47 | 67 | 78 | 65 | 84 | 97 | 101 | ESTABLE |
| <i>Falco peregrinus</i> | 1 | 2 | 4 | 0 | 3 | 2 | 1 | 6 | 6 | 4 | 3 | 3 | 5 | INCIERTA |
| <i>Falco tinnunculus</i> | 3 | 9 | 2 | 2 | 3 | 3 | 2 | 2 | 2 | 1 | 5 | 5 | 6 | INCIERTA |
| <i>Fringilla coelebs</i> | 14 | 11 | 8 | 18 | 10 | 7 | 9 | 21 | 14 | 57 | 48 | 47 | 23 | INCREMENTO MODERADO** |
| <i>Hirundo rustica</i> | 15 | 12 | 7 | 7 | 20 | 11 | 12 | 2 | 2 | 3 | 23 | 12 | 15 | INCIERTA |
| <i>Larus michahellis</i> | 1200 | 1597 | 2348 | 2545 | 1581 | 1777 | 1920 | 2044 | 2224 | 1883 | 302 | 1373 | 284 | INCIERTA |
| <i>Linaria cannabina</i> | 79 | 48 | 52 | 6 | 101 | 62 | 58 | 39 | 49 | 51 | 94 | 80 | 87 | INCIERTA |
| <i>Motacilla alba</i> | 2 | 8 | 5 | 0 | 11 | 8 | 7 | 9 | 4 | 8 | 10 | 7 | 7 | INCIERTA |
| <i>Motacilla flava</i> | 2 | 8 | 3 | 0 | 9 | 8 | 9 | 8 | 4 | 9 | 9 | 12 | 7 | INCIERTA |
| <i>Parus major</i> | 27 | 14 | 18 | 34 | 16 | 31 | 30 | 11 | 28 | 13 | 21 | 16 | 15 | INCIERTA |
| <i>Periparus ater</i> | 27 | 22 | 25 | 26 | 32 | 28 | 34 | 29 | 37 | 31 | 30 | 23 | 13 | ESTABLE |
| <i>Phalacrocorax aristotelis</i> | 0 | 18 | 18 | 16 | 48 | 19 | 171 | 80 | 59 | 2 | 2 | 12 | 1 | INCIERTA |
| <i>Phoenicurus ochruros</i> | 13 | 17 | 14 | 14 | 11 | 19 | 8 | 12 | 12 | 10 | 10 | 21 | 19 | ESTABLE |
| <i>Prunella modularis</i> | 50 | 46 | 55 | 24 | 54 | 61 | 52 | 49 | 60 | 51 | 55 | 85 | 86 | INCREMENTO MODERADO** |
| <i>Regulus ignicapilla</i> | 10 | 8 | 8 | 0 | 6 | 11 | 5 | 6 | 8 | 26 | 8 | 13 | 15 | INCIERTA |

| ESPECIE | 2012 | 2013 | 2014 | 2015 | 2017 | 2018 | 2019 | 2020 | 2021 | 2022 | 2023 | 2024 | 2025 | TENDENCIA |
|--------------------------------|------|------|------|------|------|------|------|------|------|------|------|------|------|---------------------|
| <i>Saxicola rubicola</i> | 24 | 20 | 14 | 47 | 45 | 33 | 34 | 33 | 51 | 110 | 113 | 87 | 81 | FUERTE INCREMENTO** |
| <i>Serinus serinus</i> | 60 | 58 | 40 | 0 | 41 | 46 | 44 | 64 | 44 | 20 | 40 | 44 | 31 | INCIERTA |
| <i>Sylvia atricapilla</i> | 105 | 122 | 102 | 9 | 110 | 99 | 165 | 84 | 53 | 90 | 103 | 122 | 126 | INCIERTA |
| <i>Sylvia melanocephala</i> | 69 | 63 | 57 | 39 | 63 | 49 | 38 | 32 | 24 | 11 | 30 | 27 | 25 | FUERTE DESCENSO* |
| <i>Troglodytes troglodytes</i> | 156 | 154 | 173 | 74 | 187 | 162 | 129 | 115 | 175 | 116 | 105 | 154 | 145 | ESTABLE |
| <i>Turdus merula</i> | 77 | 73 | 70 | 87 | 89 | 62 | 63 | 59 | 62 | 64 | 77 | 97 | 73 | ESTABLE |
| <i>Turdus philomelos</i> | 17 | 8 | 11 | 2 | 17 | 13 | 8 | 13 | 13 | 12 | 24 | 16 | 16 | INCIERTA |

Anexo 35. Evolución del número de especies contabilizadas en el **Parque Nacional de las Islas Atlánticas de Galicia** según el tipo de hábitat. Se muestra la tendencia de cambio según los análisis del programa TRIM. Para aquellas tendencias estadísticamente significativas se indica el grado de significatividad (* P<0,05; ** P<0,01)

| HÁBITAT | 2012 | 2013 | 2014 | 2015 | 2017 | 2018 | 2019 | 2020 | 2021 | 2022 | 2023 | 2024 | 2025 | TENDENCIA |
|-----------|------|------|------|------|------|------|------|------|------|------|------|------|------|-----------------------|
| Arbolado | 31 | 37 | 31 | 22 | 29 | 30 | 30 | 32 | 35 | 39 | 35 | 38 | 30 | ESTABLE |
| Arbustivo | 38 | 37 | 42 | 28 | 40 | 37 | 41 | 35 | 36 | 44 | 39 | 42 | 35 | ESTABLE |
| Agrícola | 22 | 22 | 25 | 19 | 23 | 25 | 24 | 25 | 27 | 32 | 27 | 29 | 26 | INCREMENTO MODERADO** |

Anexo 36. Evolución del número total de individuos contabilizados en el **Parque Nacional de las Islas Atlánticas de Galicia** según el tipo de hábitat. Se muestra la tendencia de cambio según los análisis del programa TRIM. Para aquellas tendencias estadísticamente significativas se indica el grado de significatividad (* P<0,05; ** P<0,01)

| HÁBITAT | 2012 | 2013 | 2014 | 2015 | 2017 | 2018 | 2019 | 2020 | 2021 | 2022 | 2023 | 2024 | 2025 | TENDENCIA |
|-----------|------|------|------|------|------|------|------|------|------|------|------|------|------|-----------|
| Arbolado | 446 | 413 | 482 | 530 | 459 | 497 | 412 | 501 | 597 | 548 | 386 | 576 | 380 | ESTABLE |
| Arbustivo | 1555 | 1846 | 2431 | 2430 | 2013 | 2088 | 2431 | 2291 | 2314 | 2188 | 1024 | 1991 | 1029 | INCIERTA |
| Agrícola | 214 | 267 | 279 | 208 | 238 | 237 | 186 | 273 | 309 | 256 | 251 | 241 | 171 | ESTABLE |

Anexo 37. Evolución de la abundancia anual de las especies más comunes en el **Parque Nacional de Monfragüe**. Se muestra la tendencia de cambio según los análisis del programa TRIM. Para aquellas tendencias estadísticamente significativas se indica el grado de significatividad (* P<0,05; ** P<0,01).

| ESPECIE | 2012 | 2013 | 2014 | 2015 | 2017 | 2018 | 2019 | 2020 | 2021 | 2022 | 2023 | 2024 | 2025 | TENDENCIA |
|--------------------------------------|------|------|------|------|------|------|------|------|------|------|------|------|------|-----------------------|
| <i>Aegithalos caudatus</i> | 53 | 19 | 20 | 57 | 42 | 47 | 57 | 37 | 40 | 49 | 60 | 58 | 60 | INCIERTA |
| <i>Aegypius monachus</i> | 6 | 45 | 16 | 80 | 44 | 40 | 33 | 43 | 39 | 94 | 59 | 39 | 31 | INCIERTA |
| <i>Alectoris rufa</i> | 33 | 34 | 36 | 16 | 38 | 25 | 33 | 37 | 44 | 49 | 48 | 44 | 42 | INCREMENTO MODERADO* |
| <i>Carduelis carduelis</i> | 49 | 24 | 46 | 83 | 47 | 36 | 30 | 42 | 33 | 27 | 26 | 31 | 42 | INCIERTA |
| <i>Cecropis daurica</i> | 24 | 22 | 24 | 32 | 29 | 26 | 28 | 15 | 18 | 18 | 17 | 19 | 21 | INCIERTA |
| <i>Certhia brachydactyla</i> | 38 | 50 | 50 | 48 | 45 | 33 | 45 | 46 | 36 | 61 | 55 | 68 | 77 | INCREMENTO MODERADO** |
| <i>Chloris chloris</i> | 15 | 10 | 2 | 29 | 12 | 13 | 16 | 15 | 10 | 3 | 5 | 7 | 7 | INCIERTA |
| <i>Ciconia nigra</i> | 5 | 3 | 4 | 6 | 3 | 1 | 5 | 1 | 6 | 6 | 3 | 3 | 2 | INCIERTA |
| <i>Coccothraustes coccothraustes</i> | 24 | 3 | 8 | 3 | 29 | 15 | 24 | 42 | 26 | 26 | 35 | 34 | 30 | INCIERTA |
| <i>Columba livia</i> | 10 | 17 | 91 | 100 | 158 | 118 | 112 | 141 | 138 | 74 | 29 | 67 | 80 | INCIERTA |
| <i>Columba palumbus</i> | 49 | 51 | 48 | 79 | 64 | 96 | 73 | 95 | 80 | 98 | 100 | 100 | 102 | INCREMENTO MODERADO** |
| <i>Corvus corax</i> | 3 | 8 | 1 | 4 | 5 | 12 | 5 | 6 | 3 | 7 | 12 | 9 | 10 | INCIERTA |
| <i>Cuculus canorus</i> | 26 | 17 | 22 | 15 | 46 | 24 | 23 | 25 | 13 | 20 | 22 | 20 | 18 | INCIERTA |
| <i>Cyanistes caeruleus</i> | 96 | 78 | 95 | 181 | 126 | 75 | 96 | 95 | 77 | 88 | 78 | 91 | 90 | ESTABLE |
| <i>Cyanopica cooki</i> | 27 | 14 | 24 | 53 | 45 | 10 | 33 | 18 | 14 | 19 | 23 | 21 | 19 | INCIERTA |
| <i>Delichon urbicum</i> | 201 | 358 | 683 | 457 | 845 | 246 | 348 | 502 | 301 | 386 | 767 | 729 | 730 | INCIERTA |
| <i>Dendrocopos major</i> | 13 | 8 | 2 | 11 | 3 | 12 | 6 | 5 | 2 | 5 | 8 | 4 | 4 | INCIERTA |
| <i>Emberiza calandra</i> | 44 | 22 | 29 | 40 | 92 | 40 | 31 | 38 | 32 | 31 | 25 | 24 | 26 | INCIERTA |
| <i>Emberiza cia</i> | 3 | 5 | 2 | 6 | 14 | 6 | 10 | 15 | 6 | 9 | 6 | 5 | 5 | INCIERTA |
| <i>Emberiza cirius</i> | 2 | 2 | 1 | 10 | 5 | 6 | 4 | 7 | 6 | 5 | 8 | 8 | 10 | INCIERTA |
| <i>Erithacus rubecula</i> | 34 | 60 | 60 | 51 | 50 | 71 | 58 | 79 | 79 | 67 | 97 | 84 | 71 | INCREMENTO MODERADO** |
| <i>Fringilla coelebs</i> | 180 | 199 | 204 | 202 | 232 | 226 | 206 | 251 | 294 | 313 | 347 | 355 | 363 | INCREMENTO MODERADO** |
| <i>Galerida theklae</i> | 43 | 17 | 23 | 46 | 26 | 24 | 27 | 31 | 25 | 25 | 25 | 34 | 31 | INCIERTA |
| <i>Garrulus glandarius</i> | 21 | 18 | 23 | 26 | 26 | 30 | 18 | 23 | 21 | 28 | 37 | 31 | 30 | INCIERTA |
| <i>Gyps fulvus</i> | 247 | 213 | 152 | 297 | 171 | 158 | 137 | 279 | 325 | 459 | 307 | 254 | 340 | INCIERTA |
| <i>Hirundo rustica</i> | 12 | 8 | 6 | 17 | 14 | 3 | 4 | 9 | 10 | 3 | 4 | 2 | 2 | DESCENSO MODERADO* |
| <i>Lanius senator</i> | 18 | 10 | 13 | 13 | 20 | 9 | 11 | 7 | 7 | 11 | 14 | 12 | 11 | INCIERTA |

| ESPECIE | 2012 | 2013 | 2014 | 2015 | 2017 | 2018 | 2019 | 2020 | 2021 | 2022 | 2023 | 2024 | 2025 | TENDENCIA |
|--------------------------------|------|------|------|------|------|------|------|------|------|------|------|------|------|-----------------------|
| <i>Linaria cannabina</i> | 8 | 22 | 25 | 19 | 25 | 9 | 30 | 25 | 24 | 25 | 16 | 8 | 8 | INCIERTA |
| <i>Lophophanes cristatus</i> | 13 | 12 | 24 | 35 | 9 | 20 | 10 | 5 | 13 | 18 | 13 | 15 | 16 | INCIERTA |
| <i>Lullula arborea</i> | 42 | 37 | 39 | 47 | 58 | 52 | 31 | 46 | 28 | 50 | 41 | 58 | 61 | ESTABLE |
| <i>Luscinia megarhynchos</i> | 32 | 37 | 41 | 19 | 32 | 37 | 48 | 52 | 45 | 48 | 67 | 60 | 55 | INCREMENTO MODERADO** |
| <i>Merops apiaster</i> | 68 | 46 | 23 | 90 | 112 | 39 | 30 | 43 | 35 | 21 | 46 | 49 | 41 | INCIERTA |
| <i>Milvus migrans</i> | 28 | 28 | 74 | 39 | 41 | 11 | 10 | 11 | 29 | 13 | 13 | 9 | 5 | DESCENSO MODERADO* |
| <i>Monticola solitarius</i> | 3 | 2 | 7 | 6 | 4 | 4 | 7 | 4 | 4 | 7 | 13 | 11 | 10 | INCIERTA |
| <i>Motacilla alba</i> | 2 | 1 | 3 | 1 | 1 | 2 | 2 | 2 | 1 | 2 | 2 | 3 | 2 | INCIERTA |
| <i>Neophron percnopterus</i> | 4 | 3 | 7 | 14 | 3 | 11 | 6 | 7 | 7 | 7 | 5 | 4 | 2 | INCIERTA |
| <i>Oenanthe hispanica</i> | 4 | 8 | 14 | 4 | 10 | 4 | 5 | 5 | 8 | 5 | 9 | 6 | 4 | INCIERTA |
| <i>Oriolus oriolus</i> | 23 | 20 | 22 | 48 | 23 | 30 | 22 | 36 | 30 | 30 | 34 | 28 | 23 | ESTABLE |
| <i>Parus major</i> | 67 | 65 | 79 | 16 | 80 | 76 | 82 | 78 | 73 | 75 | 71 | 93 | 89 | INCREMENTO MODERADO* |
| <i>Passer domesticus</i> | 27 | 5 | 15 | 117 | 188 | 8 | 22 | 17 | 19 | 9 | 211 | 133 | 130 | INCIERTA |
| <i>Phoenicurus ochruros</i> | 1 | 1 | 0 | 9 | 4 | 3 | 5 | 3 | 2 | 5 | 2 | 2 | 2 | INCIERTA |
| <i>Picus sharpei</i> | 4 | 9 | 17 | 5 | 0 | 13 | 12 | 18 | 7 | 7 | 9 | 8 | 6 | INCIERTA |
| <i>Ptyonoprogne rupestris</i> | 17 | 18 | 26 | 54 | 92 | 23 | 72 | 38 | 51 | 46 | 43 | 34 | 46 | INCIERTA |
| <i>Serinus serinus</i> | 59 | 56 | 51 | 36 | 76 | 73 | 51 | 50 | 54 | 48 | 39 | 36 | 32 | INCIERTA |
| <i>Sitta europaea</i> | 3 | 2 | 4 | 13 | 5 | 3 | 4 | 6 | 7 | 14 | 6 | 7 | 6 | INCIERTA |
| <i>Streptopelia decaocto</i> | 6 | 14 | 7 | 3 | 18 | 6 | 4 | 4 | 9 | 3 | 5 | 6 | 7 | INCIERTA |
| <i>Streptopelia turtur</i> | 17 | 16 | 30 | 20 | 40 | 29 | 27 | 34 | 34 | 39 | 47 | 48 | 45 | INCREMENTO MODERADO** |
| <i>Sturnus unicolor</i> | 45 | 39 | 40 | 56 | 112 | 80 | 56 | 66 | 60 | 36 | 76 | 35 | 32 | INCIERTA |
| <i>Sylvia atricapilla</i> | 15 | 11 | 12 | 28 | 16 | 22 | 27 | 24 | 42 | 51 | 36 | 32 | 29 | INCREMENTO MODERADO** |
| <i>Sylvia cantillans</i> | 39 | 42 | 52 | 17 | 41 | 49 | 47 | 51 | 47 | 53 | 67 | 60 | 59 | INCREMENTO MODERADO* |
| <i>Sylvia hortensis</i> | 24 | 8 | 10 | 1 | 23 | 17 | 24 | 18 | 15 | 19 | 29 | 20 | 20 | INCIERTA |
| <i>Sylvia melanocephala</i> | 40 | 23 | 45 | 42 | 56 | 42 | 62 | 46 | 75 | 112 | 99 | 102 | 96 | FUERTE INCREMENTO* |
| <i>Sylvia undata</i> | 29 | 36 | 43 | 80 | 36 | 27 | 34 | 48 | 15 | 32 | 29 | 24 | 24 | INCIERTA |
| <i>Tachymarptis melba</i> | 2 | 10 | 22 | 0 | 7 | 14 | 9 | 11 | 6 | 9 | 8 | 4 | 9 | INCIERTA |
| <i>Troglodytes troglodytes</i> | 9 | 14 | 24 | 28 | 23 | 17 | 23 | 23 | 27 | 25 | 26 | 28 | 26 | INCREMENTO MODERADO* |
| <i>Turdus merula</i> | 128 | 111 | 141 | 144 | 104 | 101 | 96 | 125 | 113 | 110 | 132 | 142 | 134 | ESTABLE |

| ESPECIE | 2012 | 2013 | 2014 | 2015 | 2017 | 2018 | 2019 | 2020 | 2021 | 2022 | 2023 | 2024 | 2025 | TENDENCIA |
|--------------------------|------|------|------|------|------|------|------|------|------|------|------|------|------|-----------|
| <i>Turdus viscivorus</i> | 5 | 3 | 2 | 1 | 5 | 4 | 2 | 9 | 8 | 1 | 3 | 1 | 2 | INCIERTA |
| <i>Upupa epops</i> | 14 | 12 | 7 | 14 | 37 | 13 | 18 | 15 | 17 | 12 | 9 | 6 | 3 | INCIERTA |

Anexo 38. Evolución del número de especies contabilizadas en el **Parque Nacional de Monfragüe** según el tipo de hábitat. Se muestra la tendencia de cambio según los análisis del programa TRIM. Para aquellas tendencias estadísticamente significativas se indica el grado de significatividad (* P<0,05; ** P<0,01)

| HÁBITAT | 2012 | 2013 | 2014 | 2015 | 2017 | 2018 | 2019 | 2020 | 2021 | 2022 | 2023 | 2024 | 2025 | TENDENCIA |
|-----------|------|------|------|------|------|------|------|------|------|------|------|------|------|-----------|
| Arbolado | 72 | 74 | 79 | 72 | 90 | 71 | 72 | 79 | 75 | 76 | 78 | 67 | 64 | ESTABLE |
| Arbustivo | 52 | 43 | 44 | 46 | 46 | 50 | 51 | 52 | 44 | 45 | 49 | 45 | 42 | ESTABLE |

Anexo 39. Evolución del número total de individuos contabilizados en el **Parque Nacional de Monfragüe** según el tipo de hábitat. Se muestra la tendencia de cambio según los análisis del programa TRIM. Para aquellas tendencias estadísticamente significativas se indica el grado de significatividad (* P<0,05; ** P<0,01)

| HÁBITAT | 2012 | 2013 | 2014 | 2015 | 2017 | 2018 | 2019 | 2020 | 2021 | 2022 | 2023 | 2024 | 2025 | TENDENCIA |
|-----------|------|------|------|------|------|------|------|------|------|------|------|------|------|-----------------------|
| Arbolado | 1861 | 1795 | 2364 | 2775 | 3197 | 1983 | 2044 | 2512 | 2337 | 2683 | 3098 | 2947 | 2949 | INCREMENTO MODERADO** |
| Arbustivo | 314 | 260 | 292 | 357 | 478 | 308 | 352 | 386 | 292 | 281 | 388 | 314 | 363 | ESTABLE |

Anexo 40. Evolución de la abundancia anual de las especies más comunes en el **Parque Nacional de la Sierra de Guadarrama**. Se muestra la tendencia de cambio según los análisis del programa TRIM. Para aquellas tendencias estadísticamente significativas se indica el grado de significatividad (* P<0,05; ** P<0,01).

| ESPECIE | 2013 | 2014 | 2015 | 2017 | 2018 | 2019 | 2020 | 2021 | 2022 | 2023 | 2024 | 2025 | TENDENCIA |
|------------------------------|------|------|------|------|------|------|------|------|------|------|------|------|----------------------|
| <i>Aegithalos caudatus</i> | 6 | 5 | 26 | 5 | 3 | 7 | 12 | 8 | 13 | 11 | 9 | 2 | INCIERTA |
| <i>Aegypius monachus</i> | 7 | 6 | 7 | 7 | 5 | 3 | 37 | 14 | 12 | 13 | 10 | 15 | INCIERTA |
| <i>Alauda arvensis</i> | 15 | 12 | 4 | 14 | 5 | 9 | 14 | 13 | 13 | 13 | 9 | 9 | INCIERTA |
| <i>Anthus campestris</i> | 0 | 7 | 3 | 4 | 5 | 3 | 3 | 3 | 4 | 3 | 3 | 6 | INCIERTA |
| <i>Carduelis citrinella</i> | 11 | 27 | 28 | 13 | 8 | 5 | 10 | 28 | 10 | 22 | 3 | 10 | INCIERTA |
| <i>Certhia brachydactyla</i> | 21 | 14 | 26 | 25 | 26 | 16 | 41 | 44 | 33 | 52 | 41 | 25 | INCREMENTO MODERADO* |
| <i>Columba palumbus</i> | 14 | 18 | 26 | 20 | 22 | 26 | 19 | 8 | 19 | 27 | 30 | 17 | INCIERTA |
| <i>Corvus corax</i> | 9 | 7 | 18 | 13 | 3 | 8 | 4 | 6 | 2 | 5 | 5 | 13 | INCIERTA |
| <i>Corvus corone</i> | 6 | 10 | 25 | 9 | 10 | 9 | 20 | 4 | 13 | 10 | 15 | 17 | INCIERTA |
| <i>Cuculus canorus</i> | 6 | 6 | 10 | 6 | 2 | 7 | 8 | 10 | 4 | 5 | 9 | 5 | INCIERTA |
| <i>Dendrocopos major</i> | 15 | 8 | 18 | 6 | 14 | 7 | 10 | 11 | 11 | 15 | 12 | 5 | INCIERTA |
| <i>Emberiza cia</i> | 25 | 20 | 11 | 16 | 13 | 21 | 9 | 13 | 12 | 19 | 14 | 11 | INCIERTA |
| <i>Erithacus rubecula</i> | 45 | 38 | 71 | 42 | 47 | 49 | 58 | 37 | 69 | 64 | 48 | 77 | INCIERTA |
| <i>Ficedula hypoleuca</i> | 4 | 0 | 1 | 3 | 2 | 10 | 10 | 8 | 9 | 15 | 7 | 9 | INCIERTA |
| <i>Fringilla coelebs</i> | 100 | 152 | 117 | 139 | 113 | 112 | 182 | 94 | 149 | 151 | 108 | 120 | ESTABLE |
| <i>Garrulus glandarius</i> | 8 | 11 | 24 | 17 | 15 | 18 | 21 | 11 | 3 | 13 | 13 | 14 | INCIERTA |
| <i>Gyps fulvus</i> | 11 | 7 | 27 | 46 | 29 | 16 | 43 | 48 | 12 | 18 | 59 | 34 | INCIERTA |
| <i>Lophophanes cristatus</i> | 10 | 22 | 57 | 26 | 29 | 21 | 30 | 28 | 29 | 37 | 39 | 51 | INCIERTA |
| <i>Loxia curvirostra</i> | 6 | 20 | 18 | 9 | 33 | 1 | 35 | 17 | 8 | 45 | 20 | 7 | INCIERTA |
| <i>Lullula arborea</i> | 21 | 17 | 13 | 12 | 6 | 9 | 18 | 6 | 9 | 9 | 19 | 15 | INCIERTA |
| <i>Monticola saxatilis</i> | 2 | 1 | 1 | 2 | 1 | 2 | 2 | 4 | 5 | 11 | 1 | 5 | INCIERTA |
| <i>Oenanthe oenanthe</i> | 8 | 14 | 40 | 12 | 11 | 13 | 31 | 32 | 15 | 34 | 28 | 27 | INCIERTA |
| <i>Parus major</i> | 13 | 21 | 31 | 24 | 1 | 9 | 10 | 9 | 15 | 10 | 24 | 22 | INCIERTA |
| <i>Periparus ater</i> | 81 | 74 | 121 | 92 | 88 | 87 | 114 | 114 | 107 | 109 | 118 | 115 | INCREMENTO MODERADO* |
| <i>Phoenicurus ochruros</i> | 7 | 2 | 2 | 5 | 0 | 2 | 13 | 1 | 3 | 16 | 7 | 5 | INCIERTA |

| ESPECIE | 2013 | 2014 | 2015 | 2017 | 2018 | 2019 | 2020 | 2021 | 2022 | 2023 | 2024 | 2025 | TENDENCIA |
|--------------------------------|------|------|------|------|------|------|------|------|------|------|------|------|----------------------|
| <i>Picus sharpei</i> | 1 | 2 | 2 | 0 | 3 | 3 | 8 | 8 | 7 | 6 | 5 | 11 | INCREMENTO MODERADO* |
| <i>Prunella modularis</i> | 58 | 41 | 61 | 41 | 49 | 60 | 74 | 69 | 51 | 62 | 58 | 61 | ESTABLE |
| <i>Regulus ignicapilla</i> | 21 | 24 | 28 | 15 | 19 | 17 | 21 | 17 | 29 | 17 | 34 | 17 | ESTABLE |
| <i>Regulus regulus</i> | 14 | 16 | 16 | 8 | 2 | 1 | 3 | 5 | 3 | 10 | 4 | 6 | DESCENSO MODERADO* |
| <i>Serinus serinus</i> | 8 | 6 | 18 | 8 | 6 | 3 | 8 | 6 | 6 | 6 | 11 | 7 | INCIERTA |
| <i>Sitta europaea</i> | 2 | 8 | 17 | 6 | 9 | 5 | 10 | 6 | 16 | 7 | 12 | 7 | INCIERTA |
| <i>Sylvia atricapilla</i> | 21 | 13 | 6 | 26 | 11 | 7 | 0 | 11 | 17 | 9 | 21 | 7 | INCIERTA |
| <i>Sylvia cantillans</i> | 2 | 3 | 11 | 6 | 2 | 4 | 4 | 0 | 5 | 10 | 6 | 1 | INCIERTA |
| <i>Troglodytes troglodytes</i> | 11 | 15 | 21 | 22 | 12 | 9 | 12 | 7 | 20 | 18 | 20 | 22 | INCIERTA |
| <i>Turdus merula</i> | 19 | 24 | 21 | 25 | 10 | 10 | 7 | 12 | 15 | 22 | 23 | 20 | INCIERTA |
| <i>Turdus viscivorus</i> | 7 | 9 | 9 | 11 | 24 | 21 | 23 | 17 | 15 | 26 | 18 | 18 | INCREMENTO MODERADO* |

Anexo 41. Evolución del número de especies contabilizadas en el **Parque Nacional de la Sierra de Guadarrama** según el tipo de hábitat. Se muestra la tendencia de cambio según los análisis del programa TRIM. Para aquellas tendencias estadísticamente significativas se indica el grado de significatividad (* P<0,05; ** P<0,01)

| HÁBITAT | 2013 | 2014 | 2015 | 2017 | 2018 | 2019 | 2020 | 2021 | 2022 | 2023 | 2024 | 2025 | TENDENCIA |
|-----------|------|------|------|------|------|------|------|------|------|------|------|------|----------------------|
| Arbolado | 42 | 49 | 61 | 48 | 40 | 50 | 46 | 47 | 46 | 47 | 50 | 41 | ESTABLE |
| Arbustivo | 25 | 17 | 40 | 27 | 32 | 25 | 27 | 29 | 24 | 35 | 33 | 27 | INCIERTA |
| Herbáceo | 12 | 15 | 13 | 13 | 6 | 11 | 21 | 15 | 17 | 24 | 16 | 19 | INCREMENTO MODERADO* |

Anexo 42. Evolución del número total de individuos contabilizados en el **Parque Nacional de la Sierra de Guadarrama** según el tipo de hábitat. Se muestra la tendencia de cambio según los análisis del programa TRIM. Para aquellas tendencias estadísticamente significativas se indica el grado de significatividad (* P<0,05; ** P<0,01)

| HÁBITAT | 2013 | 2014 | 2015 | 2017 | 2018 | 2019 | 2020 | 2021 | 2022 | 2023 | 2024 | 2025 | TENDENCIA |
|----------|------|------|------|------|------|------|------|------|------|------|------|------|-----------|
| Arbolado | 487 | 601 | 886 | 688 | 502 | 527 | 698 | 611 | 650 | 715 | 705 | 567 | ESTABLE |

| HÁBITAT | 2013 | 2014 | 2015 | 2017 | 2018 | 2019 | 2020 | 2021 | 2022 | 2023 | 2024 | 2025 | TENDENCIA |
|-----------|------|------|------|------|------|------|------|------|------|------|------|------|----------------------|
| Arbustivo | 113 | 94 | 180 | 102 | 156 | 115 | 185 | 124 | 109 | 205 | 174 | 204 | INCREMENTO MODERADO* |
| Herbáceo | 49 | 59 | 86 | 63 | 31 | 47 | 129 | 87 | 85 | 115 | 85 | 130 | INCREMENTO MODERADO* |